

This is a digital copy of a book that was preserved for generations on library shelves before it was carefully scanned by Google as part of a project to make the world's books discoverable online.

It has survived long enough for the copyright to expire and the book to enter the public domain. A public domain book is one that was never subject to copyright or whose legal copyright term has expired. Whether a book is in the public domain may vary country to country. Public domain books are our gateways to the past, representing a wealth of history, culture and knowledge that's often difficult to discover.

Marks, notations and other marginalia present in the original volume will appear in this file - a reminder of this book's long journey from the publisher to a library and finally to you.

### Usage guidelines

Google is proud to partner with libraries to digitize public domain materials and make them widely accessible. Public domain books belong to the public and we are merely their custodians. Nevertheless, this work is expensive, so in order to keep providing this resource, we have taken steps to prevent abuse by commercial parties, including placing technical restrictions on automated querying.

We also ask that you:

- + *Make non-commercial use of the files* We designed Google Book Search for use by individuals, and we request that you use these files for personal, non-commercial purposes.
- + Refrain from automated querying Do not send automated queries of any sort to Google's system: If you are conducting research on machine translation, optical character recognition or other areas where access to a large amount of text is helpful, please contact us. We encourage the use of public domain materials for these purposes and may be able to help.
- + *Maintain attribution* The Google "watermark" you see on each file is essential for informing people about this project and helping them find additional materials through Google Book Search. Please do not remove it.
- + *Keep it legal* Whatever your use, remember that you are responsible for ensuring that what you are doing is legal. Do not assume that just because we believe a book is in the public domain for users in the United States, that the work is also in the public domain for users in other countries. Whether a book is still in copyright varies from country to country, and we can't offer guidance on whether any specific use of any specific book is allowed. Please do not assume that a book's appearance in Google Book Search means it can be used in any manner anywhere in the world. Copyright infringement liability can be quite severe.

#### **About Google Book Search**

Google's mission is to organize the world's information and to make it universally accessible and useful. Google Book Search helps readers discover the world's books while helping authors and publishers reach new audiences. You can search through the full text of this book on the web at http://books.google.com/



#### Über dieses Buch

Dies ist ein digitales Exemplar eines Buches, das seit Generationen in den Regalen der Bibliotheken aufbewahrt wurde, bevor es von Google im Rahmen eines Projekts, mit dem die Bücher dieser Welt online verfügbar gemacht werden sollen, sorgfältig gescannt wurde.

Das Buch hat das Urheberrecht überdauert und kann nun öffentlich zugänglich gemacht werden. Ein öffentlich zugängliches Buch ist ein Buch, das niemals Urheberrechten unterlag oder bei dem die Schutzfrist des Urheberrechts abgelaufen ist. Ob ein Buch öffentlich zugänglich ist, kann von Land zu Land unterschiedlich sein. Öffentlich zugängliche Bücher sind unser Tor zur Vergangenheit und stellen ein geschichtliches, kulturelles und wissenschaftliches Vermögen dar, das häufig nur schwierig zu entdecken ist.

Gebrauchsspuren, Anmerkungen und andere Randbemerkungen, die im Originalband enthalten sind, finden sich auch in dieser Datei – eine Erinnerung an die lange Reise, die das Buch vom Verleger zu einer Bibliothek und weiter zu Ihnen hinter sich gebracht hat.

#### Nutzungsrichtlinien

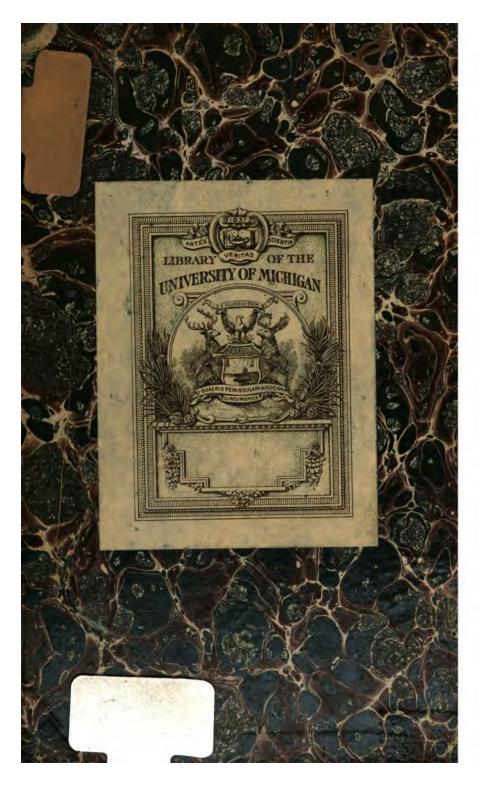
Google ist stolz, mit Bibliotheken in partnerschaftlicher Zusammenarbeit öffentlich zugängliches Material zu digitalisieren und einer breiten Masse zugänglich zu machen. Öffentlich zugängliche Bücher gehören der Öffentlichkeit, und wir sind nur ihre Hüter. Nichtsdestotrotz ist diese Arbeit kostspielig. Um diese Ressource weiterhin zur Verfügung stellen zu können, haben wir Schritte unternommen, um den Missbrauch durch kommerzielle Parteien zu verhindern. Dazu gehören technische Einschränkungen für automatisierte Abfragen.

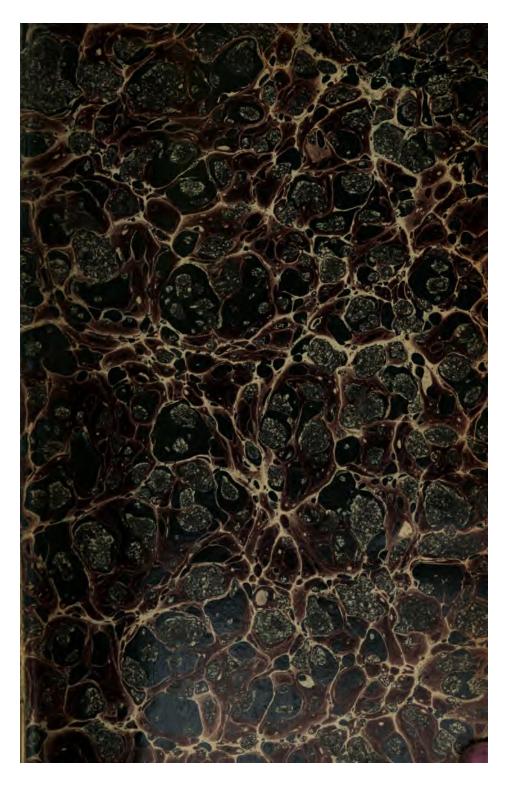
Wir bitten Sie um Einhaltung folgender Richtlinien:

- + *Nutzung der Dateien zu nichtkommerziellen Zwecken* Wir haben Google Buchsuche für Endanwender konzipiert und möchten, dass Sie diese Dateien nur für persönliche, nichtkommerzielle Zwecke verwenden.
- + *Keine automatisierten Abfragen* Senden Sie keine automatisierten Abfragen irgendwelcher Art an das Google-System. Wenn Sie Recherchen über maschinelle Übersetzung, optische Zeichenerkennung oder andere Bereiche durchführen, in denen der Zugang zu Text in großen Mengen nützlich ist, wenden Sie sich bitte an uns. Wir fördern die Nutzung des öffentlich zugänglichen Materials für diese Zwecke und können Ihnen unter Umständen helfen.
- + Beibehaltung von Google-Markenelementen Das "Wasserzeichen" von Google, das Sie in jeder Datei finden, ist wichtig zur Information über dieses Projekt und hilft den Anwendern weiteres Material über Google Buchsuche zu finden. Bitte entfernen Sie das Wasserzeichen nicht.
- + Bewegen Sie sich innerhalb der Legalität Unabhängig von Ihrem Verwendungszweck müssen Sie sich Ihrer Verantwortung bewusst sein, sicherzustellen, dass Ihre Nutzung legal ist. Gehen Sie nicht davon aus, dass ein Buch, das nach unserem Dafürhalten für Nutzer in den USA öffentlich zugänglich ist, auch für Nutzer in anderen Ländern öffentlich zugänglich ist. Ob ein Buch noch dem Urheberrecht unterliegt, ist von Land zu Land verschieden. Wir können keine Beratung leisten, ob eine bestimmte Nutzung eines bestimmten Buches gesetzlich zulässig ist. Gehen Sie nicht davon aus, dass das Erscheinen eines Buchs in Google Buchsuche bedeutet, dass es in jeder Form und überall auf der Welt verwendet werden kann. Eine Urheberrechtsverletzung kann schwerwiegende Folgen haben.

## Über Google Buchsuche

Das Ziel von Google besteht darin, die weltweiten Informationen zu organisieren und allgemein nutzbar und zugänglich zu machen. Google Buchsuche hilft Lesern dabei, die Bücher dieser Welt zu entdecken, und unterstützt Autoren und Verleger dabei, neue Zielgruppen zu erreichen. Den gesamten Buchtext können Sie im Internet unter http://books.google.com/durchsuchen.





4 5, 2 QC 1 ,AU3 . 

# ANNALEN

DER

# PHYSIK UND CHEMIE.

BAND CXXXIX

# ANNALEN

DER

# P H Y S I K

UND

# CHEMIE.

FÜNFTE REIHE.

HERAUSGEGEBEN ZU BERLIN

VON

J. C. POGGENDORFF.

NEUNZEHNTER BAND.

NEBST VIER FIGURENTAFELN.

LEIPZIG, 1870.
VERLAG VON JOHANN AMBROSIUS BARTE.

• • •

## ANNALEN

DER



# P H Y S I K

UND

# CHEMIE.

HERAUSGEGEBEN ZU BERLIN

von

## J. C. POGGENDORFF.

HUNDERTNEUNUNDDRÉISSIGSTER BAND.

DER GANZEN FOLGE ZWEIHUNDERTUNDFÜNFZEHNTER.

NERST VIER PIGURENTAPELN.

LEIPZIG, 1870.
VERLAG VON JOHANN AMBROSIUS BARTH.

• • The state of •

# Inhalt

des Bandes CXXXIX der Annalen der Physik und Chemie.

### Erstes Stück.

•	Seite
1. Ueber Capillaritäts - Erscheinungen an der gemeinschaftlichen Ober-	
fläche von Flüssigkeiten; von G. Quincke	1
I. Flache Tropfen oder Blasen in verschiedenen Flüssigkeiten S. 1. — II. Flache Tropfen oder Blasen mit heterogenen Flüssigkeiten überzogen S. 28. — III. Capillare Steig- höhen in untergetauchten Röhren, S. 39. — IV. Ueber die Ausbreitung der Flüssigkeiten auf anderen Flüssig- keiten S. 58. — Resultate S. 86.	
11. Ueber die Dämpfung der Tone fester Körper durch innere Wi-	
derstände; von E. Warburg	89
111. Ueber die Fortpflanzungsgeschwindigkeit des Schalls in Röhren;	
von A. Seebeck	104
1V. Ueber die Brechungsindices und die Dispersion undurchsichtiger	
Körper; von VV. Wernicke	132
V. Ueber den Durchgang der strahlenden Wärme durch Steinsalz	
und Sylvin; von H. Knoblauch	150
VI. Ueber eine Vereinfachung in der Construction und dem Gebrauch	
der Holtz'schen Influenzmaschine erster Art; von J. C. Pog-	
gendorff	158
VII. Ueber das Höhenmessen mit dem Barometer; von R. Rühl-	
mann	169
VIII. Ueber die Wärmeleitung in organischen Körpern; von C. B.	
Greifs	174

	Delle
IX. Ueber den Feldspath vom Nöröedal in Norwegen; von C. Ram-	
melsberg	178
X. Diathermansie einer Reihe von Stoffen für Wärme geringer Brech-	
barkeit; von G. Schultz-Sellack	182
XI. Auffindung von Diamanten in Böhmen; von A. Schafarik .	188
XII. Erste Entdeckung der Wärmewirkung der Mondstrahlen	192
(Geschlossen am 26. Januar 1870.)	
(Common 2010)	
Zweites Stück.	
•	
1. Thermochemische Untersuchungen; von J. Thomsen	193
IV. Ueber die Säuren des Bor, Silicium, Titan, Zinn und	
Platin, und die entsprechenden Fluor- und Chlorverbin-	
dungen,	
II. Ueber die Circularpolarisation bei einigen sechsgliedrigen unter-	99.4
schwefelsauren Salzen; von C. Pape	224
III. Ueber einige Punkte der Theorie der Capillar-Erscheinungen;	200
von J. Stahl	239
IV. Ueber den Antheil der Capillarität an den Erscheinungen der	222
Ausbreitung der Flüssigkeiten; von P. du Bois-Reymond	262
V. Bemerkungen zu zwei Aufsätzen von W. v. Bezold und E.	
Edlund über elektrische Erscheinungen; von R. Clausius	276
VI. Historische Bemerkung zu einer Veröffentlichung des Hrn. G.	
Magnus über die Reflexion der Wärme; von H. Knoblauch.	282
VII. Ueber die Beziehungen zwischen den Raumveränderungen bei	
der Bildung starrer Verbindungen und der chemichen Verwandt-	
schaft der Bestandtheile; von VV. Müller	287
VIII. Ueber Darstellung krystallisirter Kieselsäure auf trocknem Wege;	
von G. Rose	301
IX. Ueber den Enstatit im Meteoreisen von Breitenbach; von V. v.	
Lang	315
X. Ueber die Krystallform des Hypersthens; von Demselben	319
XI. Beitrag sur Ozonfrage; von O. Wolffenstein	<b>32</b> 0
XII. Untersuchung über die Verbindungen des Selens mit dem Schwe-	
fel; von A. Bettendorff und G. vom Rath	<b>32</b> 9
XIII. Ueber elektrische Spitsenwirkung; von J. C. Poggendorff.	341

	Seite
XIV. Ueber Aetzfiguren und Asterismus am Doppelspath; von H.	
Baumhauer	349
XV. Ueber eine neue fluorescirende Substanz; von J. Parnell .	350
(Geschlossen am 28. Februar 1870.)	
Drittes Stück.	
1. Ueber den Gang elektrischer Inductions - und Disjunctions - Ströme	
durch Gase von verschiedener Dichtigkeit und zwischen Polen von	,
verschiedener Form; von E. Edlund	353
II. Ueber die Zusammensetzung des Turmalins; von C. Rammels-	
berg	<b>3</b> 79
III. Zur Theorie der Farben; von J. J. Müller	411
IV. Ueber Emission, Absorption und Reflexion der bei niederer Tem-	
peratur ausgestrahlten Wärmearten; von G. Magnus	431
V. Zur Frage, wie nicht-leitende Substanzen influencirt werden; von	
J. C. Poggendorff	<b>45</b> 8
VI. Ueber die Breite der Spectrallinien; von F. Lippich	465
VII. Ueber die Modificationen des Schwefelsäure-Anhydrids; von	
C. Schultz-Sellack	480
VIII. Ueber Klaugfiguren durch Luftvibrationen gebildet; von F.	
Melde	485
IX. Beobachtungen an der Flamme eines Argand'schen Gasbren-	
ners, dessen Zugglas beseitigt ist; von E. Reusch	493
X. Ueber einen verbesserten Lichtregulator; von G. Mos	495
XI. Ueber den Einflus tönender Schwingungen auf den Magnetis-	
mus des Eisens; von E. Warburg	499
XII. Resultate einer Arbeit über das Absorptionsspectrum des Jod-	
dampfs; von R. Thalén	503
XIII. Physikalische Notizen; von J. Müller	504
XIV. Ueber die Minimal-Ablenkung des Lichtstrahls bei symmetrisch	
aufgestellten Prismen; von R. Most	<b>5</b> 05
XV. Ueber den chemischen Zusammensatz einer bactrischen Münze;	
von W. Flight	507
XVI. Die schwachen Funken betreffend; von P. Riefs	508

#### vnı

	Seite
XVII. Ungewöhnlicher Sehnesfall; von Ch. Naudin	510
XVIII. Complicirte Pendelschwingungen; von Emsmann	512
(Geschlossen am 29. März 1870.)	
Viertes Stück	
I. Ueber das Holtz'sche Rotationsphänomen; von J. C. Poggen-	
dorff	513
II. Ueber die Zusammensetzung des Turmalins; von C. Rammels-	
berg (Schluss)	<b>54</b> 7
III. Ueber Emission, Absorption und Beflexion der bei niederen	
Temperaturen ausgestrablien VVärmearten; von G. Magnus	
(Schlus)	<b>5</b> 82
IV. Zur Theorie der Farben; von J. J. Müller (Schlus)	593
V. Ueber die ungehinderte Drehung der beweglichen Leiter und des	
Solenoïds am Ampère'schen Gestell; von G. Krebs	614
VI. Ueber die Spannung flüssiger Lamellen; von R. Lüdtge	620
VII. Ueber den Einflus der Temperatur auf die Empfindlichkeit	
der Spectral-Reactionen; von E. Cappel	628
VIII. Ueber Knochenhauer's Vergleichung der Theorie mit der	·
Erfahrung für die oscillatorische elektrische Entladung in einem	•
verzweigten Schliessungsbogen; von VV. Feddersen	<b>63</b> 9
1X. Ueber das Schwimmen des festen Eisens auf flüssigem; nellet	
Bemerkung über den Trèves'schen Versuch; von L. Oversier .	65 f
X. Neue Schwefelsalze (Vierte Abhandlung); von R. Schneider .	661
XL Akustische Abstossung und Anniehung; von K. H. Schelibach	670
XII. Ueher die durch Muskelcontractionen geleistete Beugungsarbeit;	
yon R. Most	672
Nekrolog. Gustav Magnus's Tod	6 <b>76</b>
(Geschlossen am 25. April 1870.)	

## Nachweis zu den Figurentafeln.

- Taf. I. Quincke, Fig. 1 u. 2, S. 58; Fig. 3, S. 73; Fig. 4, S. 75. —
  Warburg, Fig. 5, S. 101. Scebeck, Fig. 6, S. 106. Stahl, Fig. 7, S. 245; Fig. 8, S. 248; Fig. 9, S. 251; Fig. 10, S. 252; Fig. 11, S. 253; Fig. 12, S. 256; Fig. 13, S. 260. P. du Bois-Reymond, Fig. 14, S. 266; Fig. 15, S. 267; Fig. 16, S. 269.
- Taf. II. V. v. Lang, Fig. 1, S. 316; Fig. 2, S. 317. G. v. Rath, Fig. 3, 4 u. 5, S. 335; Fig. 6, S. 336. Wolfenstein, Fig. 7, S. 325; Fig. 8, S. 326; Fig. 9, S. 329. Most, Fig. 10, S. 672; Fig. 11, S. 673. Most, Fig. 12, 13 u. 14, S. 506; Fig. 15, S. 507. G. Mos, Fig. 16, S. 496.
- Taf. III. J J. Müller, Fig. 1, S. 414; Fig. 1a u. 1b, S. 415; Fig. 2, S. 595; Fig. 3, S. 430; Fig. 4 u. 5, S. 611; Fig. 6, S. 612. G. Magnus, Fig. 7, S. 435; Fig. 8, S. 585.
- Taf. IV. Krebs, Fig. 1 bis 4, S. 614; Fig. 5 u. 6, S. 616; Fig. 7 bis 10, S. 617; Fig. 11 u. 16, S. 618. Lüdtge, Fig. 17, S. 623; Fig. 18, 19 u. 20, S. 624.

### Berichtigungen.

Zum Aufsatz von J. Stahl in diesem Bande.

- S. 258 Z. 6 v. u.: nach  $\lambda' = 0$  « schalte ein: »und x und x' geht über in -x, -x'«.
- S. 261 Z. 2 v. o.: noch »Es ist nun« schalte ein: »da die Y im Sinn der Schwere gerechnet werden.«
- S. 261 Z. 3 v. o. lies:

$$\delta \left[ f Y \partial V \right] = -\frac{k^2}{2} \delta X_0 + \int_{X_1}^{X_0} Y \partial Y \delta X.$$

- S. 261 Z. 2, 9, 13 v. u.: statt:  $+\frac{gc}{2}k^2$  lies  $-\frac{gc}{2}k^2$ .
- S. 261 Z. 8, 12 v. u.: statt +gc Y lies -gc Y.

Zum Aufsatz von Poggendorff in diesem Bande.

S. 464 Z. 15 v. u. lies: Schliessungsfunken statt: Schliessungswinkel

Zum Aufsatz von Mos ebendaselbst.

S. 497 Z. 1 v. o. sind die VVorte »das Licht« zn streichen.

# DER PHYSIK UND CHEMIE.

BAND CXXXIX.

Ueber Capillaritäts-Erscheinungen an der gemeinschaftlichen Oberfläche zweier Flüssigkeiten; von G. Quincke. 1)

I. Flache Tropfen oder Blasen in verschiedenen Flüssigkeiten.

1.

A chuliche Betrachtungen, wie man sie für die freie, d. h. vom luftleeren Raum oder Luft begränzte Oberfläche einer Flüssigkeit angestellt hat, lassen sich auch für die gemeinschaftliche Oberfläche zweier Flüssigkeiten anstellen.

Ich werde im Folgenden dieselben Bezeichnungen, wie in meinen früheren Mittheilungen über Capillaritäts-Erscheinungen<sup>3</sup>) benutzen, und die Größen, welche sich auf einen Punkt P, oder P, der freien Obersläche der Flüssigkeit 1 oder 2 beziehen durch den unteren Index 1 oder 2 unterscheiden, die Größen, welche sich auf einen Punkt P., der gemeinschaftlichen Obersläche zweier Flüssigkeiten 1 und 2 beziehen, durch den doppelten unteren Index 12.

Bezeichnen R und R' den kleinsten und größten Krümmungsradius in dem Punkte  $P_{12}$  der gemeinschaftlichen Oberfläche zweier Flüssigkeiten 1 und 2, so lässt sich durch analoge Betrachtungen wie bei freien Flüssigkeitsoberflächen 3) zeigen, dass in der Richtung der nach der concaven

<sup>1)</sup> Im Auszuge der Königl. Ges. d. Wissenschaften zu Göttingen mitgetheilt im October 1869.

<sup>2)</sup> Pogg. Ann. Bd. 105, S. 1 bis 48. 1858. 4b. Bd. 134, S. 356 bis 367. 1868. Ib. Bd. 135, S. 621 bis 646. Ib. Bd. 138, S. 141 bis 155, 1869.

<sup>3)</sup> Vergl. Pogg. Ann. Bd. 135. S. 623. 1868.

Seite der Oberfläche gelegenen Oberflächen-Normalen im Punkte P<sub>12</sub> ein Druck stattfindet

$$p_{12} = K_{12} + \frac{H_{12}}{2} \left( \frac{1}{R} + \frac{1}{R'} \right) \dots 1.$$

Die Größen  $K_{12}$  und  $H_{12}$  hängen nicht allein von der gegenseitigen Wirkung zweier Theilchen derselben Flüssigkeit gegeneinander ab, sondern auch von der Wirkung, die die Theilchen der Flüssigkeit 1 in sehr kleiner Entfernung auf die Theilchen der Flüssigkeit 2 ausüben, und umgekehrt.

Man übersieht aus der Form dieser Gl. 1, dass die gemeinschaftliche Obersläche zweier Flüssigkeiten ebenso, wie die freie Obersläche einer Flüssigkeit, so klein wie möglich seyn wird, dass in der gemeinschaftlichen Obersläche zweier Flüssigkeiten eine gewisse Spannung herrschen wird, wie in einer gespannten Membran, die in allen Punkten derselben dieselbe ist, und durch die Constante  $\frac{H_{12}}{2}$  oder wie im Folgenden statt dessen gewöhnlich gesagt werden wird, durch  $\alpha_{42}$  gemessen wird.

Der Randwinkel  $\dot{\omega}_{12}$ , unter dem das letzte Element der gemeinschaftlichen Oberfläche zweier Flüssigkeiten 1 und 2 eine feste Wand schneidet, wird nur von der Natur der beiden Flüssigkeiten und der festen Wand abhängen, und unabhängig seyn von der Gestalt der gemeinschaftlichen Flüssigkeits-Oberfläche und der Gestalt der festen Wand.

Die Größe  $K_{12}$ , der Normaldruck in der ebenen gemeinschaftlichen Obersläche zweier Flüssigkeiten 1 und 2 lässt sich ebenso wenig wie der Normaldruck  $K_1$  oder  $K_2$  in der ebenen freien Obersläche der Flüssigkeit 1 oder 2 bestimmen, sobald die Relation besteht

$$K_1 - K_2 = K_{12} = -K_{21}$$

Das per Längeneinheit der Durchschnittslinie einer festen verticalen Wand und der gemeinschaftlichen Obersläche zweier Flüssigkeiten getragene Gewicht ist

$$G_{12} = \frac{H_{12}}{2} \cos \omega_{12} = \alpha_{12} \cos \omega_{12}$$
 . . . 2

eine constante Größe, die nur von der Natur der beiden Flüssigkeiten und der festen Wand abhängt.

 $\alpha_{12}$  ist die in Milligrammen gemessene Spannung, welche auf eine Strecke der gemeinschaftlichen Oberfläche von der Breite eines Millimeters ausgeübt wird.

Die im Vorstehenden aufgeführten Sätze lassen sich wie die für freie Flüssigkeitsoberflächen geltenden entweder aus der Annahme von Molecularkräften herleiten, nach Art der Laplace'schen Betrachtungen, oder aus der Annahme einer Oberflächenspannung nach Art der Betrachtungen von Thomas Young.

2.

Die Erscheinungen an der gemeinschaftlichen Gränze zweier Flüssigkeiten sind, abgesehen von den bekannten Plate au'schen Versuchen ') über die Gleichgewichtsfiguren von Oeltropfen in wäßrigem Alkohol von gleichem specifischen Gewicht, nur sehr wenig untersucht worden.

Gay-Lussac<sup>2</sup>) beobachtete in einem Capillarrohr die Depression des Quecksilbers, wenn Wasser oder wasserhaltiger Alkohol auf dasselbe gegossen wurde, Bède<sup>3</sup>) die Steighöhe von Wasser oder Schwefelsäure in Capillarröhren, wenn über diese Flüssigkeiten in der Capillarröhre noch Steinöl, oder von Chloroform, wenn über dieses noch Wasser gebracht wurde.

Thomas Young ') fand, dass eine kleine Menge Oel auf die Wasserobersläche in einer Capillarröhre gebracht, die gemeinsame Steighöhe verminderte.

In diesen Versuchen hat man aber zwei unbekannte Größen, die Oberflächencohäsion  $\alpha_{12}$  der gemeinschaftlichen Oberfläche beider Flüssigkeiten und den Randwinkel

J. Plateau, Recherches expérimentales et théoriques sur les figures d'équilibre d'une masse liquide sans pésanteur. Sér. I – XI. Mém. d. Brux. t. XVI – XXXVII. 1842 – 68. 4°.

<sup>2)</sup> Laplace, Ocuvres 18, p. 496 und 524.

<sup>3)</sup> Mém. cour. Brux. XXX, p. 187. 1860.

<sup>4)</sup> Encyclopaedia Brittannica. Cohesion. Sect. II, 1816. - Young Works by Peacock I, p. 463. 1855.

 $\omega_{12}$ , der, wie ich weiter unten (§. 10) zeigen werde, nicht immer 0° oder 180° ist. Ans Beobachtung der Steighöbe läst sich nur das Product  $\alpha_{12}\cos\omega_{12}$  bestimmen.

Ich selbst ') habe die Höhe von Quecksilbertropfen in Wasser und Chlorwasserstoffsäure gemessen, ohne jedoch daran weitere Schlüsse über die Oberstächen-Cohäsion der gemeinschaftlichen Oberstäche jener Flüssigkeiten zu knüpfen.

Endlich hat Guthrie<sup>2</sup>) in verschiedenen Flüssigkeiten andere Flüssigkeiten herabtropfen lassen und die Größe dieser Tropfen gemessen.

Selbst in den wenigen Fällen, für welche Versuche vorliegen, hat man eine Uebereinstimmung der Theorie mit der Erfahrung nicht nachgewiesen, zum Theil weil man außer den oben erwähnten Sätzen und der Aunahme  $\omega_{12}=0^{\circ}$  oder  $180^{\circ}$ , auch noch Relationen annahm zwischen den Größen  $\alpha_1$   $\alpha_2$  und  $\alpha_{12}$ , welche, wie ich im Folgenden zeigen werde, durchaus nicht mit der Erfahrung übereinstimmen.

Die Unrichtigkeit der gewöhnlich angenommenen Relation  $\alpha_1 - \alpha_2 = \alpha_{12}$  ergiebt übrigens schon die einfache Ueberlegung, dass für zwei in jedem Verhältnis mischbare Flüssigkeiten die Capillaritätsconstante der gemeinschaftlichen Oberfläche  $\alpha_{12} = 0$  ist, während sie z. B. für Wasser und absoluten Alkohol  $8 - 2,5 = 5^{mgr},5$  seyn sollte.

Der von Poisson<sup>3</sup>) aufgestellte Satz, dass das in einer Capillarröhre gehobene Gewicht nur von der unteren Flüssigkeit abhängen soll, ist daher auch nicht in Uebereinstimmung mit der Erfahrung.

Thomas Young setzte die Capillarconstante der gemeinschaftlichen Oberfläche zweier Flüssigkeiten proportional der Differenz <sup>4</sup>) oder dem Quadrate <sup>5</sup>) der Differenz ihrer

- 1) Pogg. Ann. Bd. 105, S. 38. 1858.
- Proc. Roy. Soc. XIII, p. 444. XIV, p. 22. 1865. Im Auszuge Pogg. Ann. Bd. 131, S. 141. 1867.
- 3) Poisson, nouvelle théorie de l'action capillaire p. 142.
- 4) Young Works I, p. 435. 1855. Encycl. Britt. Cohesion Sect. II, 1816.
- 5) Ib. p. 463.

Dichtigkeiten. Diess ist jedoch ebenfalls nicht in Uebereinstimmung mit den weiter unten (§. 10) beschriebenen Versuchen.

Ein Zahlenwerth für die Größe  $\alpha_{12}$ , die Oberstächenspannung der gemeinschaftlichen Oberstäche zweier Flüssigkeiten, wird meines Wissens nirgends gegeben.

3.

Nennt man z den verticalen Abstand eines Punktes  $P_{12}$  der gemeinschaftlichen Oberfläche zweier Flüssigkeiten vom spec. Gewicht  $\sigma_1$  und  $\sigma_2$  von dem horizontalen Theile der gemeinschaftlichen Oberfläche beider Flüssigkeiten, und läst die positive z-Axe mit der Richtung der Schwerkraft zusammenfallen, so folgt aus Gl. 1 und dem Satze der Hydrostatik, dass in einer Horizontalebene im Innern derselben Flüssigkeit überall derselbe Druck seyn muss, die Gleichung

$$(\sigma_1 - \sigma_2) z = \alpha_{12} \left( \frac{1}{R} + \frac{1}{R'} \right) \dots 3.$$

Diese Gl. würde sich z. B. auf den Fall beziehen, wo ein flacher Quecksilbertropfen in Wasser auf eine horizontale Unterlage gegossen ist. Hat dieser Tropfen großen Durchmesser, oder ist er in eine muldenförmige Rinne gegossen, so ist R' sehr groß,  $\frac{1}{R'}$  gegen  $\frac{1}{R}$  zu vernachlässigen, und die Gl. 3 wird

$$z = \frac{\alpha_{12}}{\sigma_1 - \sigma_2} \frac{1}{R} = \frac{\alpha_{12}^2}{2} \cdot \frac{\frac{d^2z}{dz^2}}{\left[1 + \left(\frac{dz}{dz}\right)^2\right]^{\frac{5}{2}}} \cdot \cdot \cdot 4,$$

wo die specifische Cohäsion der gemeinschaftlichen Oberfläche beider Flüssigkeiten

$$a_{12}^2 = \frac{2 a_{12}}{\sigma_1 - \sigma_2} \dots \dots 5$$

statt der Capillaritäts-Constante oder Oberslächen-Spannung  $\alpha_{12}$  eingeführt ist.

Die Integration der Gl. 4 giebt

$$\frac{x^{2}}{a_{12}^{2}} = \text{const} - \frac{1}{\sqrt{1 + \left(\frac{dx}{dx}\right)^{2}}}$$

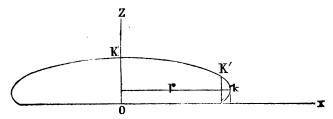
$$\frac{x^{2}}{a_{12}^{2}} = 1 - \cos o_{12} \dots \dots 6.$$

wo  $o_{12}$  der Winkel ist, den das Curvenelement des Meridianschnitts der Obersläche mit der horizontalen x Axe bildet. Für die horizontale obere Tropfensläche sind z und  $o_{12}$  gleichzeitig = 0.

Für ein verticales Curvenelement des Meridianschnitts wird

$$z = \overline{z}$$
  $o_{12} = 90^{\circ}$   $\frac{\overline{z}^{2}}{a^{2}} = 1$   $a_{13} = \overline{z}$ , . . . . 7.

d. h. die in Millimetern gemessene verticale Entfernung des horizontalen von dem verticalen Element der Meridiancurve (des Punktes K von dem Punkte k der nebenstehenden Figur, weswegen auch in der Folge diese Entfernung immer



mit K-k bezeichnet werden soll) giebt in das Quadrat erhoben die specifische Cohäsion der gemeinschaftlichen Oberfläche beider Flüssigkeiten, und durch Multiplication mit der halben Differenz der specifischen Gewichte die Capillaritäts - Constante  $\alpha_{12}$  oder die Oberflächenspannung der gemeinschaftlichen Gränze beider Flüssigkeiten.

Die Gleichung 7 gilt auch, und zwar in aller Strenge, wenn eine Flüssigkeit an eine verticale ebene Wand sich mit dem Randwinkel 180° anlehnt, z. B. Quecksilber an ein verticales von Alkohol oder Wasser benetztes Planglas.

Liegt der Tropfen auf einer horizontalen Unterlage, und bezeichnet man die verticale Entfernung der Tropfenkuppe K und des verticalen Meridianelementes k von der horizontalen Unterlage ebenfalls durch K und k, so ist

$$K - k = a_{12} \quad . \quad . \quad . \quad 8.$$

$$K = z_{a_{12}} = a_{12} \sqrt{1 - \cos \omega_{12}} \quad . \quad 9.$$

wo  $\omega_{12}$  der Winkel ist, unter welchem das letzte Element der Tropfenoberfläche die horizontale Unterlage schneidet. Durch Combination der Gleichung 8 und 9 lässt sich  $a_{12}$  und  $\cos \omega_{12}$  berechnen.

Wird die horizontale Unterlage von der Flüssigkeit 2 benetzt, was häufig vorkommt, so ist

$$\omega_{12} = 180^{\circ}$$
 $K = a_{12} V2 \dots 10.$ 

Je nachdem  $\sigma_1 >$  oder  $< \sigma_2$  werden z, z = and z = tiv oder negativ seyn. Ein Oeltropfur in Wasser unter einer horizontalen mit Wasser werdetzten Glasplatte hat dieselbe Gestalt z = ein Wassertropfen in Oel auf einer horizontalen mit Oel benetzten Unterlage u. s. f.

Man übersieht sofort, dass die Gleichungen 2 bis 9 in die für freie Flüssigkeitsoberslächen übergehen, wenn  $\sigma_2$  oder  $\sigma_1 = 0$  gesetzt wird. Im ersten Falle hätte man Tropfen in freier Luft oder dem luftleeren Raum, im zweiten Falle Luftblasen, die gegen eine horizontale oder schwach gewölbte Wand sich anlehnen. Natürlich werden die Größen K k und z in dem zweiten Falle stets negativ-

Eine Luftblase in Wasser unter einem horizontalen benetzten Planglas hat dieselbe Gestalt, wie ein Wassertropfen auf einer horizontalen Unterlage, die er gar nicht benetzt, z. B. auf einem wollenen Tuch oder einer mit Lycopodiumpulver bestäubten Glasplatte.

Misst man den verticalen Abstand — (K-k) der unteren Kuppe einer Luftblase und des verticalen Meridianelementes ihrer Oberfläche, so erhält man  $a_2$ , misst man die Entfernung — K der Kuppe der Luftblase von der horizon-

falen durch die Flüssigkeit 2 vollständig benetzten Glasplatte, so erhält man a. 1/2.

Es giebt dies eine Methode, die Capillar-Constanten durchsichtiger Flüssigkeiten zu bestimmen, die den großen Vorzug hat, das die betreffende Flüssigkeit nur mit Luft in Berührung kommt, und die freie Flüssigkeitsobersläche so viel wie möglich vor Verunreinigungen geschützt ist, die selbst in geringer Menge, wie ich weiter unten zeigen werde, die Oberslächenspannung oder Capillaritäts-Constante erheblich zu klein erscheinen lassen können.

4.

Um die Capillar-Constanten der im Folgenden auch nach anderen Methoden untersuchten Flüssigkeiten mit den aus der Beobachtung von capillaren Steighöhen h abgeleiteten Werthen vergleichen zu können, wurden diese in folgender was bestimmt.

Vor der Glasoläserlampe wurden aus einer möglichst gereinigten dickeren Glasrohre Fäden von passender Weite gezogen, oben zugeschmolzen, und mit zuzugeschmolzenen Ende durch zwei Kautschuckringe geschoben, die das von dem Glasfaden gebildete Capillarrohr auf einem reinen 10mm breiten und 100 bis 300mm langen Spiegelglasstreifen festhielten. Der Spiegelglasstreifen trug eine eingeätzte Millimetertheilung, und wurde mit dem unteren Ende der Capillarröhre gleichteitig in die zu untersuchende Flüssigkeit getaucht. Die Höhe h. bis zu welcher letztere, sobald das obere zugeschmolzene Ende des Capillatrohres abgeschniften wurde, sich über das horizontale Flüssigkeitsniveau erhob, wittde an der vertical gestellten Millimeterthellung mit einem horizontalen Fernrohr abgelesen, das Capillatrohr an der Stelle, wo sich der Flüssigkeitsmeniskus befunden hatte, mit dem Glasmesser durchschnitten und der großte und kleinste Durchmesser der Schnittfläche durch ein Mikroskop mit Ocular-Mikrometer bestimmt. Das letztere hatte 100 Scalentheile, von denen noch Zehntel zu schätzen waren. 1 Scalentheil entsprach je nach der angewandten Vergrößerung 0<sup>mm</sup>,007 bis 0<sup>mm</sup>,001. Die Mittel aus den gemessenen Werthen des Röhrendurchmessers sind in den folgenden Tabellen unter 2r angegeben. Die letzte Spalte enthält die Producte

Ich habe unterlassen an den beobachteten Steighöhen eine Correction wegen des Meniskus anzubringen, da andere unvermeidliche Fehlerquellen einen viel größeren Einflus, als diese Correction haben.

Der Vorsicht wegen wurde durch Neigen der Capillarröhre oder Emporziehen derselben in den Kautschuckringen der Meniskus an gut benetzte Stellen der Capillarröhre gebracht.

Man erhält nach dem beschriebenen Verfahren Glasröhren, die von den angewandten Flüssigkeiten stets leicht benetzt wurden, so dass man den Randwinkel  $\omega=0$  setzen konnte, und hr direct die specifische Cohäsion  $a^2$  gab, aus der durch Multiplication mit dem halben specifischen Gewicht  $\frac{\sigma}{2}$  dann die Capillar-Constante  $\alpha$  in Milligrammen erhalten wurde. Die specifischen Gewichte wurden nicht einem an einem dünnen Platindraht aufgehängten Senkgläschen und einer etnefindlichen Waage bestimmt.

I.
Steighöhen in Capillarröhren.

Wasser.				
No.	2 r	h	<b>h</b> r	
1 2 3 4 5	0,252 0,287 0,356 0,529 0,840	115,2 101,7 81,2 55,7 34,3	14,19 14,57 14,44 14,74 14,41	
		Mittel	14,47	

Unterso	:hwefligsaures	Natron.

No.	27	h	hr
1 2 3	mm 0,444 0,533 0,588	mm 60,6 50,8 46,7	13,45 13,55 13,74
		Mittel	18 58

	Schwefel	kohlensta	off.			O	ivenöl.	
No.	2 r	h	hr		No.	2 r	h ,	hr
1 2 3	mm 0,305 0,344 0,364	34,4 30,7 29	5,240 5,284 5,290		1 2 3	0,268 0,387 0,623	58 36,4 23,5	7,107 7,05 7,321
		Mittel	5,273	•			Mittel	7,159
	Terp	enthinöl.		,		Chi	or <b>oform.</b>	

i ei pentamoi.			
No.	2 <i>r</i>	h	hr
1 2 3 4	0,094 0,357 0,514 0,623	mm 164 35,1 24,5 19,7	☐mm 6,243 6,258 6,295 6,139
		Mittel	6,284

		l	
1	mm 0,079	mm 95	□mm 3,742
2	0,280	26,3	3,683
3	0,334	21,9	3,662
4	0,838	8,6	3,606
		Mittel	3,673

Steinöl.				
No.	21	h	h r	
1 2 3 4	0,211 0,235 0,350 0,364	55,1 36,5 35,8	6,348 6,484 6,393 6,519	
•		Mittel	6,434	

Alkohol.				
No.	2 <i>r</i> .	h	hr	
1 2 3	0,086 0,331 0,606	132,9 33,6 18,8 Mittel	5,720 5,562 5,696 5,659	

Vie flittel aus diesen Zahlen sind in der folgenden Tabelle mit den Werthen von a und  $\alpha$ , so wie den specifischen Gewichten  $\sigma$  und Beobachtungstemperaturen zusammengestellt.

II.
Capillar-Constanten aus Steighöhen in Capillarröhran berechnet.

No.	Substanz	α	a <sup>2</sup>	a	Temp.	σ
-	TT 1 01 1	mgr	Omm 10.50	mm	0,0	1 1010
1	Unterschwefligs, Natron	7,636	13,58	3,684	21,9	1,1248
2	Wasser	7,235	14,47	3,804	16,2	1 .
3	Schwefelkohlenstoff	3,343	5,273	2,296	18	1,2687
4	Olivenöl	3,271	7,159	2,675	22	0,9136
5	Terpenthinöl	2,765	6,234	2,497	21,7	0,8867
6	Chloroform	2,733	3,673	1,916	16,6	1,4878
7	Steinöl	2,566	6,434	2,536	22,3	0.7977
8	Alkohol	2,237	5,659	2,379	21,8	0,7906

Aus Platten von sehr reinem Spiegelglas wurden mit Siegellack einige rechtwinklige Tröge von 25mm Höhe und 50mm bis 70mm Breite und Länge zusammengesetzt. Glastrog wurde mit der zu untersuchenden Flüssigkeit gefüllt auf einer horizontalen Spiegelglasplatte vor einem Kathetometer aufgestellt, dessen horizontales Mikroskop oder Fernrohr im Ocular ein Fadennetz oder eine in Glas geritzte Mikrometertheilung trug, und dessen horizontale und verticale Verschiebung bis auf 0mm,001 genau gemessen wer-Die horizontale Glasplatte war auf einem feden konnte. sten mit drei Stellschrauben versehenen Holzgestell festgekittet. Auf den mit der betreffenden Flüssigkeit gefüllten Glastrog wurde eine schmalere Deckplatte aus Spiegelglas gelegt, und diese mittelst einer Dosenlibelle horizontal gestellt. Mit einem reinen, meist frisch vor der Lampe gezogenen Glasfaden von 0mm,5 bis 2mm Durchmesser gelingt es bei einiger Uebung leicht eine Luftblase von passender Größe (etwa 20<sup>mm</sup> bis 30<sup>mm</sup> Durchmesser) unter die Deckplatte zu blasen. Der Glastrog wurde so geschoben, dass die Contour der von hinten passend beleuchteten Luftblase scharf im Gesichtsfelde des Mikroskops erschien, und dann die Höhen K und k möglichst schnell gemessen. Das Mikroskop-Objectiv hatte 16mm Durchmesser und war etwa 120mm vom Objecte entfernt. Die ganze Einrichtung war derjenigen sehr ähnlich, die ich früher bei Messungen von Quecksilbertropfen 1) benutzt hatte.

Glastrog und Glasplatte müssen so rein wie möglich und von der betreffenden Flüssigkeit gut benetzt seyn.

In den folgenden Tabellen sind die Beobachtungen zusammengestellt an einer Reihe von Luftblasen in einer wäßrigen Lösung von unterschwefligsaurem Natron, destillirtem Wasser, Schwefelkohlenstoff, Olivenöl, Terpenthinöl, Steinöl und absolutem Alkohol.

Bei Schwefelkohlenstoff, Terpenthinöl und Steinöl war der Trog aus Spiegelglasplatten mit gewöhnlichem Tischler1) Vergl. Pogg. Ann. Bd. 105, S. 15 und Taf. l, Fig. 4, 5, 11, 12, 1858.

leim zusammengesetzt, bei den Versuchen an absolutem Alkehof mit reinem Parafin. Der Einfachheit wegen sind die
negativen Vorzeichen bei K k und K-k fortgelassen. 2rgiebt den größten Durchmesser des Tropfens oder die horizontale Entfernung zweier gegenüberliegender verticaler
Meridianelemente k. Ist in der Spalte für 2r durch Häkchen angedeutet, daß der Durchmesser einer Luftblase derselbe, wie für die vorhergehende Nummer ist, so beziehen
sich beide Beobachtungen auf dieselbe Luftblase, die zweite
ist aber längere Zeit nach dem Entstehen der Luftblase angestellt, als die erste. Der in der letzten Spalte enthaltene
Werth der Capillaritäts-Constante  $\alpha$  ist aus K-k mit
Hülfe der Gleichungen 4 und 7 (§. 3) berechnet. Die
übrige Einrichtung der Tabellen dürfte sich von selbst erläutern.

III. .

Flache Luftblasen in Lösung von unterschwefligsaurem Natron.  $\sigma = 1,1248$ .

No.	2 r	K	k	K - k	$KV^{-1}$	Œ
	mm	mm	mm	mm	mm	mgr
1	20	5,070	1,302	3,768	3,585	7,984
$ar{2}$		5,015	1,189	3,826	3,546	8,233
3	28,2	5,358	1,620	3,738	3,788	7,856
4	1	5,323	1,661	3,662	13,763	7,541
₹,	i »	, 5,520	_,,	1 -,	Mittel	7,908

### Flache Luftblasen in destillirtem Wasser.

		$\sigma = 1$ .	Temp.	== 25 ° C.		
No.	2 r	K	k	K-k	K / 1	æ
	mu	mm	mm	mm	mm	mgr 8,455
1	18	5,628	1,516	4,112	3,978	
2	27,6	5,552	1,488	4,069	3,926	8,280
3	21	5,509	1,537	3,972	3,895	7,905
	21,9	5,255	1,212	4,043	3,716	8,170
4 · 5	20	5,082	1,071	4,011	8,594	8,040
	20,8	5,315	1,090	4,225	3,758	8,92
6 7	30,7	5,612	1,612	4,000	3,969	8,00
	'	. ,			Mittel	8,253

### Flache Luftblasen in Schwefelkohlenstoff.

$\sigma = 1,2687.$ Te	mp. = $25^{\circ}$ C.
-----------------------	-----------------------

No.	2 <i>r</i>	K	k	K-k	$KV^{-1}$	a
1 2 3	mm (25) · 27 (35)	3,071 3,081 3,121	0,891 0,851 0,722	2,180 2,230 2,399	2,171 2,179 2,207	mgr 3,015 3,157 3,651
					Mittel	3.274

### · Flache Luftblasen in Olivenöl.

 $\sigma = 0.9136$ . Temp. = 25°,8 C.

No.	21	K	k	K-k	$KV^{\frac{1}{2}}$	a ·
	mm	- mm	mm	mm	mm	mgr
1	80	4,027	1,026	3,001	2,848	4,118
2	34	3,980	1,121	2,859	2,815	3,735
3	,,	4,031	1,146	2,885	2,850	3,804
4	31,2	3,900	0,997	2,903	2,758	3,850
5	»	3,919	1,105	2,814	2,771	3,617
6	29,7	3,978	1,227	2,751	2,813	3,457
7	»	4,052	1,191	2,861	2,865	3,741
		•		, ,	Mittel	3.760

### Flache Luftblasen in Terpenthinöl.

 $\sigma = 0.8867$ . Temp. = 25°,1 C.

No.	2 r	K	k	K - k	KV 1	a
	mm	ineb	40.00	ADD TO	m to	mer
1	?	3,512	0,958	2,554	2,483	2,892
2	<b>»</b>	3,543	1,012	2,531	2,505	2,841
3	26,8	3,402	0,737	2,665	2,406	3,149
4	»	3,389	0,730	2,659	2,396	3,134
5	?	3,509	0,889	2,620	2,481	3,044
6		3,500	0,930	2,570	2,475	
7	P	3,580	0,901			2,928
8	?	3,569	0,927	2,679 2,642	2,531 2,524	3,181 3,094
					Mittel	8.038

## Flache Luftblasen in Steinöl.

 $\sigma = 0.7977$ . Temp. = 24°.2 C.

5,000 mg. — 22 32 G.								
No.	2 r	. <b>K</b>	k	.K k	.KVT			
1 2 ,8	29,5 (30) (30)	3,788 3,869 8,818	0,950 1,009 0,960	2,838 2,860 2,858	2,679 2,736 2,701	3,212 3,263 3,258		
					Mittel	3 233		

Flache Luftblasen in absolutem Alkohol.

- - 0 700s

Tump 950 2 C

	$\sigma = 0,7900.$ Temp. $20^{\circ}, 50.$								
No.	2r	K	k	K-k	$K\sqrt{\frac{1}{2}}$	α			
	mm	10.00	m m	mm	mm	mgr			
1	31,4	3,402	0,870	2,532	2,406	2,533			
2	<b>»</b>	3,570	1,010	2,560	2,524	2,591			
3	28,3	3,591	0,980	2,611	2,539	2,695			
4	«	3,528	0,980	2,548	2,496	2,566			
5	28,2	3,540	1,001	2.539	2,503	2,548			
6	, »	3,523	0,963	2,560	2,491	2,590			
7	28.8	3,586	1,013	2,573	2,536	2,616			
8	>>	3,578	0,987	2,591	2,530	2,655			

Mittel 2,599

Vergleicht man die Mittelwerthe a der einzelnen Beobachtungen an Luftblasen aus Tabelle III mit den aus capillaren Steighöhen abgeleiteten Werthen derselben Constante aus Tabelle II, so findet man die ersteren größer als die letzteren. Der bequemeren Uebersicht wegen sind diese Werthe in der folgenden Tabelle IV nebeneinandergestellt

Zum Theil rührt diese Verschiedenheit von der Annahme her, dass die Luftblase eine ebene Kuppe und einen unendlich großen Krümmungsradius R' an allen Punkten ihrer Obersläche gehabt habe. Nun ist für die verticalen Meridianelemente R'=r und kleiner als an der Kuppe der Luftblase, wo die Hauptkrümmungsradien gleich und sehr großs sind. Die Größe  $\frac{\alpha}{R'}$  für das verticale Meridianelement kann also größer wie die Größe  $\frac{2\alpha}{R'}$  für das Flächenelement der Luftblasenkuppe seyn, oder der capillare Druck im verticalen Meridian-Elemente der Luftblase größer als in der angenäherten Rechnung des §. 2 vorausgesetzt wurde. In diesem Falle muß K-k größer als der wirkliche Werth der Constante a gefunden werden.

Freilich nimmt nach Herstellung der capillaren Oberfläche die Constante  $\alpha$  allmählich mit der Zeit ab, und es muß  $\alpha$  um so größer gefunden werden, je schneller es sich beobachten läßt. Im allgemeinen erreicht aber ein Tropfen weit schneller seine Gleichgewichtslage als eine Flüssigkeitssäule, die in einer Capillarröhre ansteigt und aus diesem Grunde muss ebenfalls der Werth der Capillar-Constante an einem Tropsen oder einer Lustblase größer als aus der Steighöhe in Röhren gefunden werden. Aus diesem Grunde empfiehlt es sich auch, den Durchmesser der Capillarröhren nicht zu klein zu wählen.

Wäre der Randwinkel ω wirklich 180°, so müsste

$$KV^1_{\bar{s}} = K - k = a$$

seyn. Diess trifft aber nur in den wenigsten Fälllen zu, wie die Tabelle III zeigt.

Nimmt man in den einzelnen Tabellen das Mittel der Werthe  $KV_{\frac{1}{2}}$  und bildet mit diesem den Ausdruck

$$\overline{\alpha} = \frac{K^2}{2} \cdot \frac{\sigma}{2} \cdot \dots \cdot 12.$$

so ist  $\alpha$  stets  $< \alpha$ , wie die folgende Tabelle IV zeigt. Nach Gleichung 4 und 8 §. 2 ist aber

$$\bar{\alpha} = a^2 \cdot \frac{\sigma}{2} \cdot \frac{1 - \cos \omega}{2} = \alpha \cdot \sin^2 \frac{\omega}{2}$$

$$\theta = 180^\circ - \omega = 180^\circ - 2 \operatorname{arc} \left( \sin = \sqrt{\frac{\bar{\alpha}}{\alpha}} \right) \cdot 13.$$

Die vorletzte Spalte der Tabelle IV giebt die nach Gleichung 13 berechneten Werthe des spitzen Randwinkels  $\theta$ , die letzte die aus Spalte 4 und 6 berechneten Werthe  $\alpha \cos \theta$ .

IV.

Capillar-Constanten a der freien Oberfläche von Flüssigkeiten bei mittlerer Temperatur.

No.	Substanz	Capillare Steighöhen in Röhren a=Vhr	Tro a = K-k α	$a = K^{\sqrt{\frac{1}{2}}}$	в	1	acos θ
1 2	Quecksilber Unterschwefligs.	mgr	mgr 55,03	mgr 44,60	51°	8	mgr
<b>3</b>	Natron VVasser Schwefelkohlen-	7,636 7,235	7,903 8,253	7,580 7,850	23 25	20 32	7,256
5 6	stoff Olivenöl Terpenthinöl	3,343 3,271 2,765	3,274 3,760 3,033	3,021 3,625 2,716	32 21 37	16 50 44	
7 8 9	Chloroform Steinöl Alkohol	2,733 2,566 2,237	3,120 3,233 2,599	2,918 2,476	36 25	20 12	

Der für Chloreform in dieser Tabelle enthaltene Werth von α wurde aus der Steighöhe s an einem benetzten vertizalen Planglas abgeleitet, we also der Randwinkel ω == 0 gesetzt wurde. Es fand sich

$$\bar{z} = 2^{\text{min}},114$$
  $1^{\text{min}},949$   $2^{\text{min}},078$ 

oder im Mittel

$$a = 2^{nn},047$$
  $a^n = 4^{nn},194$   $a = 3^{nn},12$ .

Die Werthe für Quecksilber sind den Beobachtungen des folgenden Paragraphen entnommen.

Trotz der Ungenauigkeit der Werthe des Randwinkels  $\theta$ , deren Bestimmung nur beiläufig geschah, zeigen die Zahlen der letzten Spalte, die mit denjenigen der dritten Spalte in Tabelle IV nahezu übereinstimmen, wie ungerechtfartigt die gewöhnliche Annahme ist den Randwinkel des capillaren Flüssigkeits-Meniskus in Glasröhren = 0 zu setzen, und aus capillaren Steighöhen die Capillar Constanten der betreffenden Flüssigkeiten mit Hülfe dieser Annahme zu bestimmen.

Die unter den Zahlen der dritten und letzten Spalte vorhandenen Abweichungen bei Terpenthinöl und Schwefelkohlenstoff mögen vielleicht in einer chemischen Veränderung dieser Flüssigkeiten ihren Grund haben, da zufällig die Messungen von flachen Luftblasen und capillaren Steighöhen für diese Flüssigkeiten mehrere Wochen auseinander lagen.

6.

Für flache Quecksilbertropfen, die in freier Luft auf reinen Spiegelglasplatten lagen, wurden möglichst kurze Zeit nach dem Entstehen derselben ähnliche Messungen wie an flachen Luftblasen angestellt. Die Tabelle V giebt die Resultate derselben. Die Werthe K k und K— k sind natürlich positiv.

V. Flache Quecksilber-Tropfen in Luft.  $\sigma = 13,5432$  Temp.  $= 20^{\circ}$  C.

No.	2 r	K	k	K-k	a
	mm .	ınm	mm	mm	mgr
1	28,9	3,463	0,529	2,934	58,30
2	?	3,555	0,705	2,850	.54,99
3	(20)	3,722	0,851	2,871	55,84
	(20)	3,731	0,939	2,792	52,78
4 5 6 7	(20)	3,630	0,857	2,773	52,07
6	32,5	3,628	0,789	2,839	54,56
7	34	3,649	0,788	2,861	55,46
8	33	3,656	0,774	2,882	56,24
J	, 00	0,000	0,114	Mitt	

Die Tropfenhöhen K sind im Mittel  $3^{mm}$ ,629, woraus der spitze Randwinkel von Quecksilber gegen Glas mit Hülfe der Gleichungen 12 und 13 folgen würde,  $\alpha = 55^{mgr}$ ,03 gesetzt:

$$\theta = 51^{\circ} 8'$$
.

7.

Aehnlich wie flache Quecksilbertropfen in Luft verhalten sich die Tropfen einer Flüssigkeit vom spec. Gewicht  $\sigma_1$  in einer anderen Flüssigkeit vom spec. Gewicht  $\sigma_2$ , sobald  $\sigma_1 > \sigma_2$  ist.

Ich habe in dieser Beziehung Schwefelkohlenstoff uud Chloroform in Wasser untersucht, welches in einem mit Siegellack geklebten Troge aus Spiegelglasplatten sich befand. Die in das Wasser gebrachten Flüssigkeitstropfen kamen mit dem Siegellack nicht in Berührung. Ohne diese Vorsicht wird  $\alpha_{12}$  kleiner als in den folgenden Tabellen gefunden, in denen die Beobachtungen zusammengestellt sind. Die Messungen geschahen in der §. 5 beschriebenen Weise. Die Bezeichnung ist dieselbe wie dort, nur sind jetzt K k und K — k positive Größen.

VI.
Flache Schwefelkohlenstoff-Tropfen in Wasser.

	$\sigma_1 = 1,2$	687	$\sigma_2 = 1$	$\frac{\sigma_1-\sigma_2}{2}$	= 0,1343	
No.	2 r	K	k	K - k	KV 1	α
	mm	mm	mın	ının	mm	mgr
1	25,5	7,878	2,368	5,510	5,571	4,069
2	»	7,887	2,409	5.478	5,577	4,021
2 3	, so	7,536	2,146	5,390	5,328	3,893
	27,1	7,960	2,130	5,830	5,628	4,555
<b>4</b> <b>5</b>	, - v, -	8,091	2,283	5,808	5,723	4,520
6	2	8,000	2,217	5,783	5,657	4,480
-	•	,	, ,	' '	Mittel	4 256

Flache Chloroform-Tropfen in Wasser.

	$\sigma_1 = 1,4$	878	$\sigma_2 = 1$	$\frac{\sigma_1-\sigma_2}{2}$	= 0,2439	
No.	2 r	K	k	K-k	$K\sqrt{\frac{1}{2}}$	a
	mm	m m	mm	mm	n m	mgt
1	28,9	4,891	1,341	3,550	3,458	3,073
. <b>1</b> . <b>2</b>	,,	4,614	1,325	3,289	3,263	2,638
3	32,1	5,170	1,383	3,787	3,656	3,497
	(36)	4,935	1,485	3,450	3,490	2,902
4 5	»	4,825	1,353	3,472	3,411	2,941
	•		•		Mitte	3,010

Es ist bei diesen und den folgenden Versuchen zu bemerken, dass die Flüssigkeiten im Augenblick des Zusammenbringens die grösste Cohäsion zeigen, dann aber sich gegenseitig mischen  $^1$ ), also auch sich ähnlicher werden in der Nähe der Gränzschicht, und dass dadurch dann die Spannung  $\alpha_{12}$  der gemeinschaftlichen Obersläche abnehmen muß, die ja 0 seyn würde, sobald die Flüssigkeiten 1 und 2

Nach Dupré (théorie mécanique de la chaleur. Paris 1869, 8°, p. 373) soll die Diffusion zweier Flüssigkeiten allemal stattfinden, sobald α<sub>1</sub> + α<sub>2</sub> < 2 F' wo 2 F' = α<sub>1</sub> + α<sub>2</sub> - α<sub>12</sub> (l. c. p. 370). Nach diesen Angaben würden also zwei Flüssigkeiten diffundiren, sobald α<sub>12</sub> die Oberflächenspannung der gemeinschaftlichen Gränzfläche negativ wäre. Sie diffundiren aber nach meiner Erfahrung nicht bloß für α<sub>12</sub> = 0, sondern auch wenn α<sub>12</sub> einen sehr merklichen, natürlich positiven, Werth hat,

dieselben wären. Aus den Versuchen geht auch diese Abnahme deutlich hervor.

Bleiben Schwefelkohlenstoff und Wasser längere Zeit in Berührung, so bildet sich an der Kuppe des Schwefelkohlenstoff-Tropfens eine Luftblase, die allmählig an Größe zunimmt.

Analoge Beobachtungen wurden an flachen Tropfen von Olivenöl, Terpenthinöl und Steinöl angestellt, die in ähnlicher Weise wie Luftblasen (vergl. §. 5) unter ein horizontales Planglas in Wasser gebracht wurden. Die beobachteten Werthe von Kk und K-k sind negativ; der Kürze wegen jedoch die negativen Vorzeichen in der folgenden Zusammenstellung der Beobachtungen fortgelassen.

VII.
Flache Olivenöl-Tropfen in Wasser.

•	$\sigma_1 = 0.91$	36 σ	<sub>2</sub> = 1	$\frac{\sigma_2-\sigma_1}{2}$	= 0,04318	
No.	2 r	K	<b>k</b> .	K-k	$K\sqrt{\frac{1}{2}}$	α
	to in			· mm		mgr
1	32,9	mim.	mm	7,006	mm	2,120
2	» ·	9,662	2,633	7,029	6,832	2,134
3	45,2	10,052	2,772	7,280	7,108	2,289
	42,1	9,770	2,896	6,874	6,908	2,042
5	»	9,677	2,838	6,839	6.842	2,020
6	47,4	9,719	2,778	6,941	6,873	2,082
4 5 6 7	»	9,592	2,807	6,785	6,782	1,988
	•	, -,	,	1 -21	Mitte	

Flache Terpenthinöl-Tropfen in Wasser.

	$\sigma_1 = 0.88$	67 σ	<u>,</u> = 1	$\frac{\sigma_2-\sigma_1}{2}=$	= 0,05665	
No.	2 <b>r</b>	K	k	K-k	$KV^{\frac{1}{2}}$	a <sub>12</sub>
	mm	D3 113	mm	mm	mm	mgr
1	16,5	6,276	1,764	4,512	4.438	1,150
2	»	6,12	1,76	4,36	4,328	1,074
2 3	?	6,128	1,602	4,526	4,334	1,157
	18,7	6,368	1,479	4,889	4,503	1,350
5	10	6,279	1,538	4,741	4,440	1,270
6	) »	6,295	1,685	4,610	4,451	1,200
4 5 6 7	17,5	6,080	1,545	4,535	3,832	1,162
8	12.9	5,62	1,35	4,27	3,974	1,030
9	12,9 23	6,40	1,79	4,61	4,526	1,200
-		, -,	_,,,	1 -, -, -	Mittel	

Flache Steinöl-Tropfen in Wasser,

	$\sigma_2 = 0.7$	977	$\sigma_1 = 1$	2	= 0.1012	
No.	21	K	k	K - k	$KV^{-1}$	$a_{12}$
	mm	mm	mm	mm	n m	ngr
1	21,6	7,735	2,155	5,580	5,470	3,147
2	»	7,98	2,060	5,920	5,643	3,542
3	26,1	8,312	1,650	6,662	5,878	4,382
4	» ·	8,180	1,683	6,497	5,785	4,267
	•	,			Mittel	3,834

Auch aus diesen Beobachtungen ergiebt sich, dass die Flüssigkeiten sich mischen und die Capillar-Constante  $\alpha_{12}$  um so kleiner wird, je länger die Flüssigkeiten mit einander in Berührung sind.

Die Zahlen der Spalte  $KV_{\frac{1}{2}}$  sind kleiner als die der Spalte K-k, woraus folgen würde, dass der Randwinkel  $\theta_{12}$  nicht 0 war. Die mit Hülfe der Gleichungen 8 und 9 §. 3 berechneten Werthe dieses Randwinkels findet man in der letzten Spalte der Tabelle X §. 10 angegeben.

8.

Ich habe ferner die Capillar-Constanten der gemeinschaftlichen Oberfläche von Quecksilber mit anderen Flüssigkeiten gemessen.

Die in Tabelle VIII zusammengestellten Beobachtungen geschahen an flachen Quecksilbertropfen in einer wäßrigen Lösung von unterschwefligsaurem Natron, Wasser und Olivenöl, wie an flachen Tropfen von Schwefelkohlenstoff oder Chloroform in Wasser (§. 7). Für die Beobachtungen von flachen Quecksilbertropfen in Terpenthinöl und Steinöl wurde aus Spiegelglasplatten ein Trog mit gewöhnlichem Tischlerleim, für Beobachtungen in absolutem Alkohol mit reinem Paraffin zusammengesetzt.

Sollte der vertikale Abstand des horizontalen und vertikalen Oberflächenelementes an flachen Quecksilbertropfen auf einem horizontalen Planglas in einer Flüssigkeit gemessen werden, die sich in einem Becherglas befand, so wurde an

dem Kathetometer ein biegsamer dicker Kupferdraht befestigt mit einer vertikalen dünnen Nähnadel am Ende. Die Nähnadelspitze wurde dann der Tropfenkuppe oder der horizontalen Glasplatte bis zur Berührung genähert (wo sich dann Nähnadelspitze und Bild derselben berühren mußten) oder in gleiche Höhe mit dem vertikalen Meridian-Elemente des Tropfens gestellt. Die letztere Einstellung ist jedoch schwierig und ungenau.

Für Quecksilber und Schwefelkohlenstoff wurden die Bestimmungen No. 3 bis 7 in dieser Weise gemacht; für No. 3 bis 5 wurden die Werthe von  $a_{12}$  aus K - k, für No. 6 und 7 aus  $K \vee \frac{1}{2}$  erhalten, wobei der Randwinkel =  $180^{\circ}$  gesetzt wurde.

Ein anderer Theil der Beobachtungen geschah in folgender Weise. Eine 18mm,3 lange horizontale Glasröhre von 25<sup>mm</sup>.8 Durchmesser war an den Enden durch vertikale Plangläser geschlossen, die durch Schrauben gegen die eben geschliffene dicke Wandung der Glasröhre gedrückt wurden. Durch eine im oberen Theil der Röhre angebrachte Oeff-'nung wurde dieselbe zur Hälfte mit Quecksilber gefüllt, und auf diess die Flüssigkeit gegossen, für deren gemeinschaftliche Gränze mit Quecksilber man die Capillar-Constante bestimmen wollte. Die Depression des Quecksilbers an dem von der specifisch leichteren Flüssigkeit benetzten vertikalen Planglase wurde mit dem Kathetometer gemessen, und diese war dann, den Randwinkel zu 180° angenommen, direct die oben (Gleichung 6 §. 3) mit  $a_{12}$  bezeichnete Constante. Die Beobachtungen No. 1 und 2 für Schwefelkohlenstoff, No. 1 und 2 für Steinöl und No. 1 bis '3 für Chloroform und Quecksilber geschahen auf diese Weise.

Durch Neigen des Gefäses und unmittelbar darauf folgende Beobachtung der Capillar-Depression an der vertikalen Glaswand suchte ich den Randwinkel =  $180^{\circ}$  zu machen. Läst man die Flüssigkeiten längere Zeit mit der Glaswand in Berührung, so ist im Allgemeinen der spitze Randwinkel  $\theta_{12} > 0^{\circ}$ , wie sich z. B. aus den Beobachtungen an Terpenthinöl-Quecksilber ergiebt (vergl. Tab. VIII), wo der Rand-

winkel θ<sub>12</sub> aus den Bestimmungen der Tropfenhöhe K zu 47°2′, aus der Depression an einem Planglas zu 11°54′ gefunden wurde.

Für die Beobachtungen an flachen Quecksilbertropfen in Steinöl und Alkohol sind die Werthe  $K \vee \frac{1}{2}$  zum Theil größer, als die zugehörigen Werthe K - k, so daß ich dann

$$\theta_{12} = 180 - \omega_{12} = 0$$

gesetzt, und das Mittel aus den Bestimmungen

$$\alpha_{12} = (K - k)^2 \frac{\sigma_1 - \sigma_2}{2}$$
  $\bar{\alpha}_{12} = \frac{K^2}{2} \frac{\sigma_1 - \sigma_2}{2}$ . 14.

genommen habe.

VIII.

Flache Quecksilber-Tropfen in wäßriger Lösung von unterschwefligsaurem Natron.

	$\sigma_1 = 13$	543 σ,	= 1,1248	$\frac{\sigma_1-\sigma_2}{2}$	= 6,209	
No.	2 r	K	k	K-k	$KV^{-\frac{1}{2}}$	α12
	mw	mm	o o	mm	100 to	mgr
1	16,3	3,722	1,027	2,695	2,631	45,10
2	<b>»</b>	3,659	1,052	2,607	2,587	42,19
2 3	16,4	3,703	1,085	2,618	2,618	42,54
4	27,3	3,937	1,101	2,836	2,784	49,94
5	, c	3,828	1,098	2,730	2,707	46,28
4 5 6	»	3,699	1,019	2,680	2,616	44,59
	•				Mittel	45.10

Flache Quecksilber-Tropfen in Wasser.

	$\sigma_1 = 13$	543	$\sigma_1 = 1$	$\frac{\sigma_1-\sigma_2}{2}$	<b>=</b> 6,271	
No.	2 r	K	k	K _ k	K V 1/2	a <sub>12</sub>
	mm	mm	in to ,	mm	mm	mgr
1	28,9	3,538	0,905	2,633	2,502	43,49
2 3	»	3,572	0,890	2,682	2,525	45,10
3	(30)	3,564	1,004	2,560	2,520	41,10
	(30)	3,643	1,038	2,605	2,576	42,56
<b>4</b> 5	(30)	3,613	1,006	2,607	2,555	42,62
6	32,5	3,581	0,958	2,623	2,532	43,15
7	30	3,611	1,084	2,527	2,554	40,05
	•		•	,	Mittel	42,58

# Flache Quecksilber-Tropfen in Olivenol.

# Flache Quecksilber-Tropfen in Terpenthinöl.

# Quecksilber-Terpenthinöl. Depression an verticalem Planglas.

No.	$\overline{z} = a_{12} \sqrt{1 - \sin \theta_{12}}$	$a_{12} \left(1 - \sin \theta_{12}\right)$	$\theta_{12}$
1 2 3 4	1,811 1,787 1,782 1,787	20,75 20,20 20,09 20,20	10°49′ 12 4 12 19 12 3
		20,31	11° 54′

#### Flache Quecksilber-Tropfen in Steinöl.

	$\sigma_1$	= 13,543	$\sigma_2 =$	0,7977	$\frac{\sigma_1-\sigma_2}{2}=$	= 6,373	
No.	2 <i>r</i>	K	k	K-k	KV 1	. $\alpha_{12}$	ã
1 2 3 4 5 6	38 > (30)	3,016 2,990 3,026 3,088	1,006 1,005 0,806 0,841	2,145* 2,118* 2,118* 2,01 1,985 2,220 2,247	2,133 2,114 2,140 2,184	29,32 28,59 25,74 25,11 31,42 32,18	28,99 28,49 29,18 30,39
					•	28,9	94

## Flache Quecksilber-Tropfen in Alkohol.

Quecksilber und Schwefelkohlenstoff.

σ <sub>1</sub> =	13,543	$\sigma_2 = 1,2678$	$\frac{\sigma_1-\sigma_2}{2}=6{,}137$
	-No.	a <sub>12</sub>	a <sub>12</sub>
	-	ann	mgr
	1	2,550	<b>3</b> 9,90
	<b>2</b>	2,580	40,85
	2 3	2,439	36,51
		2,543	39,68
	4 5 6	2,370	34,46
	6	2,491	38,09
	7	2,432	36,31
		Mitte	el 37,97

#### Quecksilber und Chloroform.

9.

Bei flachen Olivenöl-Tropfen in absolutem Alkohol wurden die Beobachtungen ähnlich wie bei Quecksilbertropfen in derselben Flüssigkeit angestellt, und gaben folgende Resultate.

IX.
Flache Glivenöl-Tropfen in Alkohol.

	$\sigma_1 = 0.91$	.36 σ <sub>2</sub>	= 0,7906	$\frac{\sigma_1-\sigma_2}{2}$	= 0,0615	
No.	2r.	K	k	K-k	K V 1/2	a
	mm	mm.	mm	mu	min	mgr
1	27,1	2,149	0,289	1,860	1,519	0.213
2	33	2,211	0,251	1,960	1,563	0,236
3	28,1	2,314	0,339	1,975	1,636	0,240
4	20	2,329	0,457	1,872	1,647	0,215
					Mittel	0,226

Wegen der Plateau'schen Untersuchungen hat auch die Capillar Constante an der gemeinschaftlichen Oberfläche von Olivenöl und wäsrigem Alkohol von nahezu gleichem spec. Gewicht Interesse.

Ich bestimmte an einem Glas, das ein Jahr oder länger ruhig mit den Flüssigkeiten gestanden und in welchem der wäßrige Alkohol ein größeres specifisches Gewicht als das Olivenöl bekommen hatte, die Depression z des Olivenöls an der vertikalen Cylinderfläche von 90<sup>mm</sup> Durchmesser. Dieselbe war 14<sup>mm</sup> an einer Stelle, wo dem reflectirten Lichte zufolge der Randwinkel 180" betrug, so daß man hat

Olivenől — Wäßriger Alkohol (Plateau'sche Flüssigkeit) 
$$\sigma_1 = 0,91599 \qquad \sigma_2 = 0,92307 \qquad \frac{\sigma_1 - \sigma_2}{2} = 0,003538$$
$$-\frac{\sigma_1}{2} = \sigma_{12} \qquad \alpha_{12}$$
$$14^{mm} \qquad 0^{mgr},6934.$$

#### 10.

Die Versuchs-Resultate der drei vorhergehenden Paragraphen finden sich in der folgenden Tabelle X zusammengestellt. Der Uebersicht wegen sind gleichzeitig die Capillar-Constanten  $\alpha_1$  und  $\alpha_2$  der freien Oberfläche der Flüssigkeiten 1 und 2 neben der Capillar-Constante  $\alpha_{12}$  der gemeinschaftlichen Oberfläche beider Flüssigkeiten angegeben.

Man erkennt sofort, dass die Relation  $\alpha_{12} = \alpha_1 - \alpha_2$ 

nicht erfüllt ist (vergl. §. 2), dass  $\alpha_{12}$  stets kleiner, wie die größere Capillar-Constante der freien Obersläche einer Flüssigkeit ist, aber auch kleiner seyn kann, als die kleinere der Constanten  $\alpha_1$  oder  $\alpha_2$ . Das letztere ist z. B. der Fall für Terpenthinöl, Olívenöl oder Steinöl und Wasser.

Ein Einfluss der specifischen Gewichte auf den Werth von  $\alpha_{12}$  ist aus diesen Beobachtungen nicht ersichtlich, wenn auch die gemeinschaftliche Obersläche des Quecksilbers gegen andere Flüssigkeiten eine größere Capillar-Constante zeigt, als die gemeinschaftliche Obersläche anderer specifisch leichteren Flüssigkeiten, wie das auch bei dem größeren specifischen Gewicht des Quecksilbers und der größeren Masse der sich gegenseitig anziehenden Theilchen zu erwarten war.

Die für Quecksilber und Chlorwasserstoffsäure aufgeführte Constante  $\alpha_{12}$  ist aus früheren 1) Beobachtungen der Tropfenhöhe  $K=3^{\text{um}},514$  berechnet, indem  $\frac{\sigma_1-\sigma_2}{2}=6,22$  und der Randwinkel  $\omega_{12}=180^{\circ}$  angenommen wurde.

Die Betrachtungen des §. 5 lassen sich ebenso wie die Gleichungen 11 und 12 direct auf die hier besprochenen Beobachtungen anwenden, sobald man statt  $\frac{\sigma}{2}$  die halbe

Differenz der specifischen Gewichte oder  $\frac{\sigma_1-\sigma_2}{2}$  einführt.

In der folgenden Zusammenstellung sind die Werthe von  $\bar{\alpha}_{12}$  mit Hülfe der Gleichung 12, die Werthe von  $\theta_{12}$  mit Hülfe der Gleichung 13 und dem Mittelwerth  $\alpha_{12}$ , wie er aus den Beobachtungen von K-k gefunden wurde, berechnet aufgeführt.

Für eine Reihe von Substanzen liegt der Randwinkel  $\theta_{12}$  zwischen  $\theta_1$  und  $\theta_2$ . Für die anderen Substanzen, Steinöl — Wasser ausgenommen, ist er kleiner als beide.

Ich muss jedoch bemerken, dass man auß die hier nur beiläusig gefundenen Werthe von  $\theta_{12}$  oder  $\theta_1$  und  $\theta_2$  nicht zu großes Gewicht legen darf, da die Werthe  $\alpha_{12}$  und  $\bar{\alpha}_{12}$ , wie ich bei einer anderen Gelegenheit noch näher erörtern werde, auch aus anderen Gründen, als bisher hier angenom-

<sup>1)</sup> Pogg. Ann. Bd. 105, S. 39. 1858.

men wurde, verschieden ausfallen können. Der für  $\theta_{12}$  bei Olivenöl-Alkohol angegebene Werth ist übrigens zu groß, wie eine einfache Betrachtung des Tropfens lehrte, und es wird eine directe Bestimmung von  $\theta_1 \, \theta_2$  und  $\theta_{12}$  immer einer indirecten vorzuziehen seyn.

×

Capillar-Constanten der gemeinschaftlichen Oberstäche zweier Flüssigkeiten bei mittlerer Temperatur (20° C.).

$\sigma_1$	62	$\pm \frac{\sigma_1 - \sigma_2}{2}$	ę,	Œ2	α12	<u> </u>	θ		92	θ	e1
	1 1948	6 906	55 03	7.903	mgr 45 11	-	, 8 , 8		,0%	°c	767
	1,1	6.971	5,5	8 9 53	49.58	_	22.00	5	6	96	α
	0.7906		55,03	9,599	40.71	40,71	21.5	5	19	2	,
•	1.4878		55.03	3,120	40,71	40,71	, ,	-	}	0	
2	(1,1)	6,22	55,03	(7,15)	38,41	38,41				0	
3	1,2687	6,137	55,03	3,274	37,97	37,97	51 8	32	16	0	
<u>^</u>	0,9136	6,315	55,03	3,760	34,19	30,67	51 8	21	20	47	03
2	0,7977	6,373	55,03	3,233	28,94	28,94	51 8	36	8	0	
2	0,8867	6,328	55,03	3,030	25,54	(21,47)	51 8	37	44	47	63
1,2687	`	0,1343	3,274	8,253	4,256	4,183	32 16	35	32	13	œ
0,7977	,	0,1012	3,233	8,253	3,834	3,277		25	32	42	46
1,4878	*	0,2439	3,120	œ	3,010	2,915					
0,9136	2	0,0432	3,760	8,253	2,096	2,020	-		32	11	
0,8867	à	0.0566	3,033	00	1,177	1,054	-		32	37	4
0,9136	0	0,0035	3,760	9	0,693				•		
0,9186	0,7906	0,0615	3,760	2,599	0,226	_		25	12	87	48
	unterschwefligs. Natron 13,543 Wasser Alkohol Chloroform Chlorwasserstoffääure Schwefelkohlenstoff. Nemodi — Wasser Off — Of	13,543 1,1248 13,543 1,1248 1,4878 1,2687 1 1,2687 1 1,2687 1 0,7377 1,4878 1,4878 1,4878 1,4878 1,4878 1,4878 1,4878 1,4878 1,9136 1,9	13,543 1,1248 13,543 1,1248 1,4878 1,2687 1 1,2687 1 1,2687 1 0,7377 1,4878 1,4878 1,4878 1,4878 1,4878 1,4878 1,4878 1,4878 1,9136 1,9	13,543 1,1248 6,209 5  1,543 1,1248 6,209 5  1,14878 6,227 5  1,2687 6,137 5  1,2687 6,137 5  1,2687 6,137 5  1,2687 1,2687 6,138 5  1,2687 1,2687 6,328 5  1,2687 1,00102  1,4878 0,0343  0,89136 0,9231 0,00356  0,9136 0,7906 0,0615	$ \begin{array}{c ccccccccccccccccccccccccccccccccccc$	13,543 1,1248 6,209 55,03 7,903 4, 1,2648 1,1248 6,209 55,03 7,903 4, 1,4878 6,227 55,03 3,120 4, 1,2687 6,327 55,03 3,229 2,60,031,2687 6,327 55,03 3,239 3,030 2,12687 6,328 55,03 3,234 8,253 1,4878 6,318 6,315 55,03 3,234 8,253 1,4878 8,0341 8,253 6,432 8,233 8,233 8,233 1,4878 8,0341 8,0343 8,03418 8,0341 8,0341 8,0341 8,0341 8,0341 8,0341 8,0341 8,0341 8,0341	$ \begin{array}{c ccccccccccccccccccccccccccccccccccc$				

Es mag hier noch erwähnt werden, dass für Flüssigkeiten, die in jedem Verhältnis mischbar sind, α<sub>12</sub> = 0 ist, so für Wasser — wäßrige Lösung von unterschwefligsaurem Natron, Wasser — Alkohol, Terpenthinöl — Alkohol, Terpenthinöl — Olivenöl, Terpenthinöl — Schwefelkohlenstoff.

Wird die Flüssigkeit 1 identisch mit der Flüssigkeit 2, so ist natürlich  $\alpha_{12}$  auch = 0.

Die Capillar Constante  $\alpha_{12}$  misst die Oberstächen-Spannung der Flüssigkeit 1 an der gemeinschaftlichen Gränzsläche ebensowohl, wie die Oberstächen-Spannung der Flüssigkeit 2 in der Nähe der gemeinschaftlichen Gränze.

#### II.

Flache Tropfen oder Blasen mit heterogenen Flüssigkeiten überzogen.

#### 11.

Bringt man auf einen flachen Tropfen einer Flüssigkeit 1 von großem Durchmesser 2r, der sich auf einem horizontalen Planglas in einer Flüssigkeit 2 befindet, einen kleinen Tropfen einer anderen Flüssigkeit 3, und dieser kleine Flüssigkeits-Tropfen 3 breitet sich auf der gemeinschaftlichen Oberfläche der Flüssigkeiten 1 und 2 aus 1), so überzieht er diese mit einer dünnen Schicht oder Haut von äußerst kleiner Dicke. Man kann dann annehmen, daß die Gestalt der gemeinschaftlichen Oberfläche von Flüssigkeit 1 und 3 dieselbe, wie die der gemeinschaftlichen Oberfläche der Flüssigkeiten 2 und 3 ist.

Unter dieser Voraussetzung werden auch noch die Gleichungen des §. 3 Gültigkeit haben, sobald man darin  $\alpha_{13} + \alpha_{33}$  statt der Constante  $\alpha_{12}$  einführt. Es ist

<sup>1)</sup> Ueber die Bedingungen, unter denen die Ausbreitung erfolgt, vergleiche man den Abschnitt V § 24 bis 32.

und für den Fall, dass der Randwinkel  $\omega = 180^{\circ}$  ist

$$K = a \vee 2 \dots \dots 10 a$$

In den folgenden Tabellen ist analog der früheren Bezeichnung (§. 8)

$$\alpha = (K - k)^2 \frac{\sigma_1 - \sigma_2}{2}$$

$$\bar{\alpha} = \frac{K^2}{2} \cdot \frac{\sigma_1 - \sigma_2}{2} \cdot \dots \cdot 14a$$

gesetzt.

Bei dieser Rechnung ist einmal die Dicke der Flüssigkeitsschicht 3 kleiner als die Länge angenommen, welche man noch bei K oder k zu bestimmen vermag, also etwa kleiner als  $0^{mm}$ ,01. Anderseits ist aber diese Dicke auch > 2l vorausgesetzt, größer als die doppelte Entfernung, in welcher die Molecularkräfte der Capillarität noch wirksam sind.

#### 12.

Zunächst kann man als Flüssigkeit 1 Luft nehmen, indem man in der §. 5 beschriebenen Weise eine Luftblase in eine Flüssigkeit 2 unter ein horizontales Planglas bläst. Mit einem rechtwinklig gebogenen Glasröhrchen wird dann ein kleiner Tropfen der Substanz 3 an die Oberstäche der Luftblase in der Flüssigkeit 2 gebracht, wo er sich ausbreitet.

In den Gleichungen des vorigen Paragraphen ist für diesen Fall

$$\sigma_1 = 0$$
  $\alpha_{13} = \alpha_3$ 

zu setzen.

Im Augenblicke der Ausbreitung beobachtet man eine plötzliche Gestaltsänderung der Luftblase; diese wird breiter und niedriger.

Die Einrichtung der Tabelle XI, welche eine Uebersicht der Beobachtungen giebt, ist dieselbe wie die der früheren Tabellen, die letzte Spalte enthält den Werth von  $\alpha_3 + \alpha_{12}$ , wie er aus den früheren Beobachtungen an Luftblasen oder Flüssigkeitstropfen in anderen Flüssigkeiten (Tab. X §. 10) gefunden wurde.

Flache Luftblasen in Wasser  $\left(\frac{\sigma_s}{2} = 0,5\right)$ 

	4 ber. = α3 + α32	7,531	928'9	4,210	7,067		α ber. = α <sub>3</sub> + α <sub>32</sub>	2,825
	z.	7,11	6,00 5,67	3,615	7,05		ध	2,808 2,707 2,469
	្ ខ	7,61	6,26 5,78	3,920	7,035	,	8	3,204 3,054 2,890
	$KV_{\frac{1}{2}}$	3,770	3,465 3,367	2,689	3,755	,4568)	KV 1	2,666 2,617 2,499
•	K-k	3,902	3,539 3,400	2,803 2,869	3,752	nöl $\left(\frac{\sigma_2}{2} = 0,4568\right)$	K-k	2,847 2,780 2,704
•	. k	1,450	1,362	1,000	1,558	Flache Luftblasen in Olivenöl	ķ	0,923 0,921 0,830
	, <b>K</b>	mm 5,332	4,901 4,762	808 808 808	5,310	che Luftblas	K	8,770 3,701 3,534
	2 <i>r</i>	28,6	30,7 100	808	28,6	Flac	21	6. 6. ft.
•	Substanz 3.	Schwefelkohlenstoff	Olivenöl "	Terpenthinol	Steinöl		Substanz 3.	Absolut, Alkohof "
	Zo.	-	ca 60	41 K	9	,	No.	ex es

Die berechneten Werthe von  $\alpha_s+\alpha_{s2}$  zeigen mit den beobachteten Werthen von  $\alpha$  und  $\bar{\alpha}$  eine Uebereinstimmung, die eine vollkommene Bestätigung der theoretischen Betrachtungen genannt werden kann. Die kleine Abweichung bei  $\bar{\alpha}$  für Terpenthinöl erklärt sich daraus, dass der Randwinkel  $\omega$  nicht  $180^\circ$  gewesen ist.

Bei den Versuchen an Luftblasen in Olivenöl verdrängte der aufgebrachte Alkohol das Oel sehr bald von dem horizontalen Planglas, die Luftblase änderte ihre Gestalt sehr bedeutend, das vertikale Meridianelement k verschwand, die Luftblase breitete sich bis zum Rande des aufgelegten horizontalen Planglases (vergl. §. 5) aus, und entwich in die Atmosphäre.

Es mag hier noch bemerkt werden, dass schon ganz dünne Schichten der Flüssigkeit 3, die auf der Lustblase Newton'sche Farbenringe zeigten, genügen, um die Gestaltsänderung der Lustblase hervorzubringen. Waren die aufgebrachten Spuren der Flüssigkeit 3 noch geringer, so dass man sie auf andere Weise kaum würde nachweisen können, so trat doch noch eine sehr merkbare, wiewohl kleinere Gestaltsänderung der Lustblase ein. Die Dicke deraufgebrachten Schicht der Flüssigkeit 3 ist in letzterem Falle kleiner als 21, oder die doppelte Entsernung, in der die Molecularkräfte der Capillarität noch wirksam sind 1).

Die Gestaltsänderung ist natürlich um so merklicher, je mehr  $\alpha_2$  und  $\alpha = \alpha_3 + \alpha_{32}$  von einander verschieden sind, besonders auffallend also bei Terpenthinöl und Olivenöl.

**4** I

<sup>1)</sup> Ich will bei dieser Gelegenheit darauf aufmerksam machen, dass ich in einer Mittheilung über die Größe von l (Gött Nachr. 1869, S. 217 Pogg. Ann. Bd. 137, S. 403, 1869) ein Versehen begangen habe, wenn ich sagte, eine dünne Flüssigkeitslamelle könne nach der Ansicht des Hrn. Plateau nicht mehr bestehen, sobald ihre Dicke < 21 wird. Die von mir angeführten Versuche (Plateau, rech. exp. etc. 5° sér. Mém. d. Brux. t. XXXIII. p. 44. 1861) schienen mir für diese Annahme zu sprechen, während Hr. Plateau nur den capillaren Druck einer gekrümmten Flüssigkeitslamelle von der Dicke D derselben abhängig annimmt, sobald D < 21 (Vergl. Plateau, rech. exp. 2° sér. Mém. d. Brux. t. XVI. p. 35, 1847).

Legt man flache Tropfen von Wasser oder Olivenöl auf eine mit Lycopodium-Pulver bestäubte horizontale Glasplatte, so haben diese dieselbe (umgekehrte) Gestalt, wie eine Luftblase von gleichem Volumen in diesen Flüssigkeiten, und würde man  $\alpha_2$  in ähnlicher Weise aus K-k wie bei Luftblasen bestimmen können. Dasselbe gilt von den großen Wassertropfen, die der Thau in der Vertiefung gewisser Blätter, z. B. bei Kohlpflanzen bildet.

Bringt man auf solche flache Wassertropfen eine Spur Oliven oder Terpenthinöl, oder auf einen flachen Olivenöl-Tropfen eine Spur Terpenthinöl, so sieht man auch sofort den Tropfen niedriger und breiter werden, also eine Gestaltsänderung wie bei Luftblasen.

Bei der Schwierigkeit flache Tropfen von großem Durchmesser von Wasser und Oel auf Glasplatten zu erhalten, habe ich darauf verzichtet, Messungen über diese Gestaltsänderungen anzustellen.

#### 13.

Bringt man auf die Oberfläche von flachen Tropfen einer \*Flüssigkeit 1 in Luft eine kleine Menge einer Flüssigkeit 3, die sich auf dieser Oberfläche ausbreitet, so ist in den Gleichungen 5 a bis 14 a des §. 11

$$\sigma_2 = 0$$
  $\alpha_{32} = \alpha_8$ 

zu seizen.

Auf flache Quecksilber-Tropfen in Luft wurden kleine Tröpfehen von Wasser, Olivenöl, Terpenthinöl gebracht. Sobald sich diese auf der Quecksilber-Oberfläche ausbreiten, sieht man die Tropfen niedriger und breiter werden.

In der folgenden Tabelle sind einige Beobachtungen zusammengestellt.

XII.

Flache	Quecksilbertropfen	in	Luft	$\left(\frac{\sigma_1}{2} = 6,771\right)$	
--------	--------------------	----	------	---	--

No.	Substanz 3	2 r	K	k	K-k	α	$\alpha$ ber. = $\alpha_{13} + \alpha_3$
		no un	mm	mm	wm	mgr	mgr
1	Wasser	20	3,529	0,830	2,699	49,33	50,83
2	Olivenöl	32	3,117	0,770	2,347	37,30	1
1 2 3	»	38,2	3,164	0,796	2,368	37,96	37,95
4	>>	45,5	3,125	0,755	2,370	38,03	])
4 5 6 7	Terpenthinöl	20	2,891	0,811	2,080	29,30	i)
6	, ,	30,2	2,944	0,869	2,075	29,16	1 00 55
7	"	»	2,905	0,875	2,030	27,90	28,57
8	»	34	2,837	0,687	2,150	31,30	)

Die beobachteten Werthe von  $\alpha$  stimmen mit den aus  $\alpha_3$  und  $\alpha_{13}$  nach Tab. X §. 10 berechneten überein, und bestätigen somit die Theorie.

Es ist jedoch zu bemerken, dass nicht alle Beobachtungen dieses Resultat geben, und das man bei Wasser, welches auf das Quecksilber gebracht wird,  $\alpha$  oft kleiner, bei Terpenthinöl auf Quecksilber gebracht,  $\alpha$  oft größer findet, als es die Theorie erwarten läst.

Der Grund dieser Abweichung ist hauptsächlich in der Adsorption von Dämpfen zu suchen, die sich aus der Atmosphäre auf der Quecksilber Obersläche, sobald diese entstanden ist, condensiren. Da nun für die von mir untersuchten Flüssigkeiten, die in Dampfform in der Atmosphäre des Beobachtungsraumes vorkommen konnten,

$$\alpha_1 > \alpha_{13} + \alpha_3$$

war, so be obachtete ich bei dem Vorgange der Adsorption eine Aenderung der Tropfen-Gestalt, K und K-k wurden kleiner.

Diese Dampf-Condensation tritt, wie ich schon früher 1) nachzuweisen versucht habe, auch an der Oberfläche fester Metalle und fester Körper überhaupt auf und ist auch bei anderen physikalischen Erscheinungen, wie z. B. bei Versuchen über Wärmestrahlung, unter Umständen eine erheb-

<sup>1)</sup> Pogg. Ann. Bd. 108, S. 326. 1859.

liche Fehlerquelle, wo sie Magnus 1) mit dem Namen Vaporhäsion bezeichnet hat.

Eine an der Oberstäche des Quecksilbers condensirte Luftschicht mag einen ähnlichen Einsluss, wie eine dünne Flüssigkeitsschicht haben.

In diesen Oberslächen Condensationen ist der Grund der Abnahme der Capillar Constante zu suchen, die ich selbst noch an slachen Quecksilber-Tropfen beobachtet habe, die erst im luftleeren Raume entstanden <sup>2</sup>), da selbst dieser luftleere Raum, wie ich auch damals ausdrücklich bemerkt habe <sup>3</sup>), noch Fettdämpfe enthält.

œ,

Die Verdichtung der Dämpfe an der Quecksilber-Oberfläche scheint dabei mit ziemlicher Schnelligkeit vor sich zu gehen, und findet man in Räumen, die Terpenthinöldampf enthalten, K und K-k ungewöhnlich klein. Ebenso sind Steinöl-Dampf und selbst das Fett der Haare und des Körpers von merklichem Einfluss auf die Gestalt der Quecksilber-Tropfen.

Es kann daher leicht kommen, dass man die Flüssigkeit 3 auf einen Quecksilber-Tropfen bringt, der schon mit einer äusserst dünnen Schicht einer Flüssigkeit 4 überzogen ist, und dann wird

$$\alpha = \alpha_{14} + \alpha_{43} + \alpha_3$$

seyn. Je nachdem nun dieser Werth größer oder kleiner als  $\alpha_{13}+\alpha_3$  ist, kann man  $\alpha$  durch die Beobachtung größer oder kleiner finden, als es die Theorie des §. 11 verlangt. Da bei den in Tabelle X §. 10 aufgeführten Flüssigkeiten für Quecksilber und Wasser als Substanzen 1 und 3 der Werth  $\alpha_{13}+\alpha_3$  sehr groß, dagegen für Quecksilber und Terpenthinöl sehr klein ist, so muß bei Wasser, das als Substanz 3 auf scheinbar reine Quecksilberflächen gebracht wird,  $\alpha$  zu klein und bei Terpenthinöl als Substanz 3  $\alpha$  zu groß gefunden werden. Außerdem hängen  $\alpha_{14}$  und  $\alpha_{48}$  von der größeren oder geringeren Lamellendicke der Substanz 4 ab, die oft kleiner

<sup>1)</sup> Pogg. Ann. Bd. 130, S. 207. 1867.

<sup>2)</sup> Pogg. Ann. Bd. 105, S. 33. 1858.

<sup>3)</sup> Ib. S. 43.

als der doppelte Radius der Wirkungssphäre ist, und sich der Beurtheilung vollkommen entzieht, so dass die Differenz der beobachteten und berechneten Werthe bald größer, bald kleiner ausfallen muß. (Vergl. §. 27.)

Der Versuch bestätigt alle diese Schlüsse in oft sehr unerwünschter Weise, da die Gestalt von Quecksilbertropfen in freier Luft oft von Spuren einer Flüssigkeit verändert wird, die man gar nicht in der Atmosphäre vermuthet.

Beim Aufbringen von Steinöl auf flache Quecksilber-Tropfen habe ich ebenfalls bei den vier von mir angestellten Versuchen  $\alpha$  stets größer gefunden, als die Theorie nach den Bestimmungen der Tabelle X für  $\alpha_{13} + \alpha_3$  erwarten ließ.

Der Einflus der von der freien Tropfenoberstäche adsorbirten oder condensirten Dämpse tritt bei Tropsen in freier Luft natürlich viel deutlicher hervor als bei den im vorigen §. beschriebenen Versuchen an Luftblasen, die von der sie umgebenden Flüssigkeit vor Verunreinigungen geschützt sind.

#### 14.

Statt eine Flüssigkeit 3 auf die freie von Luft begränzte Oberfläche einer Flüssigkeit 1 oder 2 zu bringen, kann man sie auch auf die gemeinschaftliche Oberfläche zweier Flüssigkeiten 1 und 2 bringen, wie schon als allgemeinster Fall in den theoretischen Betrachtungen des §. 11 vorausgesetzt wurde.

Auf flache Olivenöl- oder Schwefelkohlenstoff-Tropfen in Wasser, die nach dem §. 7 beschriebenen Verfahren erhalten waren, wurde Terpenthinöl, auf flache Quecksilbertropfen in Wasser wurde Olivenöl, Terpenthinöl oder Steinöl gebracht.

IIIX

Flache Tronfen mehrerer Flüssigkeiten übereinander

		Fische	Flache Tropien mehrerer Flussigkeiten ubereinander	sbrerer Flus	ssigkeiten u	bereinander				
Š.	Substanz 3.	25	K	ķ	K-k	KV +	ಕ	18	α ber. = α <sub>13</sub> + α <sub>33</sub>	
		Flache	Flache Olivenöl-Tropfen in Wasser	pfen in We	asser $\left(\frac{\sigma_2-\sigma_1}{2}\right)$	$\frac{\sigma_1}{\sigma_1} = 0,432$			,	
- 63	Terpenthindl	47,4	8,972	2,360 2,570	6,517 6,402	6,345	ngr 1,835 1,770	1,702 1,739	mgr 1,177	
		Flache Schweselkoftenstoff Tropsen in	ofelkofNensto	ff.Tropfen i	Wasser	$\left(\frac{\sigma_1-\sigma_2}{2}=6,1343\right)$	3,1343)	•		
es	Terpenthinol	27,1	7,526	2,256	5,270	5,321	3,721	3,803	1,177	
		Flache Q	Flache Quecksilber- Tropfen in	l'ropfen in	Wasser (	$\left(\frac{\sigma_1-\sigma_2}{2}=6,271\right)$	n)			
4 4	Olivenöl Ternembinäl	28,9	3,446	0,885	2,561	2,437	41,31	37,26	36,29	
9 ~	* *	888	3,276	1,010	2,266	2,316 2,208	32,21 30,83	33,65 30,58	27,72	
∞ ၈ ဝ	Steinöl "	3 % 8	3,286 3,560 3,501	0,942 1,098 0,849	2,344 2,462 2,652	2,324 2,517 2,476	38,45 38,02 10	33,87 39,74	82,77	
-						- ,	>+(++		=	

Die vorstehend zusammengestellten Versuche zeigen auf den ersten Blick keine befriedigende Uebereinstimmung von Theorie und Erfahrung.

Dieser Mangel an Uebereinstimmung liegt in der Schwierigkeit, die im Schnittpunkte P der gemeinschaftlichen Oberflächen vorhandenen Massen genügend zu berücksichtigen. Für die Wirkung der Oberflächenspannung  $\alpha_{23}$  an der gemeinschaftlichen Oberfläche der Flüssigkeiten 2 und 3 wurden nur Theilchen der Flüssigkeiten 2 und 3 betrachtet, der Einfluß der in P gleichfalls vorhandenen Theilchen der Flüssigkeit 1 ganz vernachlässigt. Der Fehler ist um so größer, je größer die Masse dieser Flüssigkeitstheilchen, je größer die Dichtigkeit der Flüssigkeit 1 ist. Ebenso wurden bei der Wirkung der Kräfte  $\alpha_{12}$  und  $\alpha_{31}$  die im Punkte P befindlichen Massentheilchen der Flüssigkeit 3 resp. 2 vernachlässigt.

Diese Schwierigkeit ist um so größer, als die Dichtigkeit der Flüssigkeiten 2 und 3, die sich im Punkte P berühren innerhalb einer Entfernung von P, die kleiner als der Radius der Wirkungssphäre ist, sehr wohl durch die Gegenwart eines Theilchens der Flüssigkeit 3 modificirt seyn kann.

Die Flüssigkeitstheilchen an der Oberfläche besitzen ganz andere Eigenschaften, als im Innern einer Flüssigkeit, und zwar verschiedene Eigenschaften, je nach der Beschaffenheit des Körpers, an welchen die Flüssigkeit gränzt. Poisson¹) denkt sich die Flüssigkeit in der Nähe der Oberfläche verdichtet (un état particulier de compression du liquide), doch möchte ich unter Umständen, z. B. in der freien Oberfläche, auch eine negative Verdichtung oder eine Ausdehnung annehmen²).

Bei den Versuchen des vorigen Paragraphen modificirte Luft als Flüssigkeit 2 in der Nähe des Punktes P die Größe  $\alpha_{13}$  unmerklich, da beobachtete und berechnete Werthe der in Tab. XI und XII mit  $\alpha$  bezeichneten Größe nahezu übereinstimmen.

<sup>1)</sup> Mém. d. l'inst. IX, p. 78. 1826.

<sup>2)</sup> Pogg. Ann. Bd. 108, S. 326. 1859.

Hat aber die Flüssigkeit 3 größere Dichtigkeit, so wird die im Punkte P wirksame Masse einen merklichen Einfluß bekommen, die im Punkte P wirkenden Kräfte üben einen größeren Zug aus, als die durch die Beobachtungen des vorigen Abschnitts gefundenen Zahlen ausdrücken, die Größe  $\alpha$  wird bei diesen Bestimmungen zu groß gefunden. Besonders bei den Quecksilbertropfen tritt dieser Unterschied von Theorie und Beobachtung hervor.

Terpenthinöl auf Schwefelkohlenstoff gebracht, scheint von diesem schnell aufgelöst zu werden, denn die dadurch bewirkte Gestaltsänderung des Schwefelkohlenstoff-Tropfens in Wasser ist nur unbedeutend.

Bei Olivenöl und Terpenthinöl geht die Mischung langsamer vor sich, so das hier im ersten Augenblick die Gestalt des Olivenöltropfens viel stärker verändert wird, und sich nahezu so verhält, als wäre derselbe mit Terpenthinöl überzogen.

Für die durch Gegenwart eines Körpers 1 bedingte Dichtigkeitsänderung einer Flüssigkeit 2 oder 3 in der Nähe des gemeinschaftlichen Berührungspunktes *P* sprechen noch andere Umstände.

Der Versuch lehrt (vergl. §. 18), dass ein mit einer Flüssigkeit 2 benetzter Körper die Flüssigkeitstheilchen an seiner Oberstäche festhält, so dass sich die an der Oberstäche einer Substanz 1 haftende oder adsorbirte Flüssigkeitsschicht nur schwer von derselben entsernen läst. Dabei kann die Substanz 1 ein fester Körper oder eine Flüssigkeit seyn. Ich werde später noch mehrfach auf dies Verhalten von adsorbirten Flüssigkeitsschichten ausmerksam zu machen haben, und es mag auch in den hier (§. 14) beschriebenen Versuchen die adsorbirte (verdichtete?) Wasserschicht die Verunreinigung oder Mischung der ausgebrachten Substanz 3 mit Wasser begünstigt haben.

Jedenfalls ist es wahrscheinlich, dass bei der Ausbreitung der Flüssigkeit ? auf der gemeinschaftlichen Oberstäche von Flüssigkeit 1 und 2, wo alle Punkte dieser Fläche nach und nach Schnittpunkte P der drei gemeinschaftlichen Flüssigkeits-Oberstächen geworden sind, die Dichtigkeit der Flüsssigkeit 3 in anderer Weise modificirt worden ist, als wenn sich dieselbe Flüssigkeit an der freien (von Lust begränzten) Oberstäche von 1 oder 2 ausgebreitet hätte.

Ohne Kenntnis dieser Dichtigkeitsänderung und des Einslusses derselben auf die Größe der Capillar-Constanten oder Oberstächen Spannung läst sich natürlich auch kein mathematischer Ausdruck für die Gestalt der Flüssigkeits-Tropfen bei den in diesem §. beschriebenen Versuchen aufstellen.

Uebrigens will ich hier noch ausdrücklich bemerken, dass die Flüssigkeiten nicht vollkommen beweglich sind, wie es bei den theoretischen Betrachtungen vorausgesetzt wurde, dass also die Bewegung der Flüssigkeits-Theilchen gegeneinander durch eine gewisse Reibung gehindert ist. Es wäre daher möglich, dass die Flüssigkeit 3 auf einer sehr dünnen an der Oberstäche der Flüssigkeit 1 adsorbirten Schicht der Flüssigkeit 2 sich ausbreitete, und dadurch die erwähnte Verschiedenheit von Theorie und Erfahrung bedingte. (Vgl. §. 18 und 27.)

#### III.

Capillare Steighöhen in untergetauchten Röhren.

15.

Der bekannteste Versuch der Capillarität ist wohl das Ansteigen von Flüssigkeiten in Röhren, die mit Luft gefüllt in eine Flüssigkeit 1 eingetaucht werden.

Die Flüssigkeit I erhebt sich dann über das horizontale Flüssigkeits-Niveau, d. h. die freie ebene Oberfläche der Flüssigkeit I, bis zu einer mittleren Steighöhe (vergl. §. 4)

$$h = \frac{2}{\sigma} \frac{\alpha \cdot \cos \omega}{r},$$

wo  $\alpha$  die Capillar-Constante der freien Obersläche,  $\sigma$  das Spec.-Gew. der Flüssigkeit,  $\omega$  der Randwinkel und r der Röhren-Radius ist.

Man kann nun aber die über dem capillaren Meniskus

und der ebenen Oberstäche der Flüssigkeit 1 befindliche Luft durch eine Flüssigkeit 2 ersetzen, die auch noch das obere Ende der vertikalen Capillarröhre bedeckt. Man beobachtet dann je nachdem der Randwinkel  $\omega_{12} <$  oder  $> 90^\circ$  ist, ein Ansteigen oder Sinken des Flüssigkeitsmeniskus der gemeinschaftlichen Gränze der Flüssigkeiten 1 und 2 in der Capillarröhre über oder unter die Horizontal-Ebene, in der die Flüssigkeiten 1 und 2 sich außerhalb der Capillarröhre in dem sie enthaltenden weiteren Gefässe berühren.

Obwohl Laplace ') diesen Fall theoretisch behandelt hat, so sind doch meines Wissens keine Versuche in dieser Beziehung bisher angestellt worden.

Nach den im §. 1 angegebenen Hauptsätzen muß das von dem capillaren Meniskus der gemeinschaftlichen Obersläche getragene Flüssigkeitsgewicht gleich der Röhrenperipherie multiplicirt mit  $\alpha_{12}\cos\omega_{12}$  seyn. Nennt man also  $h_{12}$  die mittlere Steighöhe des capillaren Meniskus über die ebene Gränze der Flüssigkeiten 1 und 2 mit den specifischen Gewichten  $\sigma_1$  und  $\sigma_2$  in einer vertikalen Röhre vom Radius r, so ist

$$(\sigma_1 - \sigma_2) h_{12} \cdot r^2 \pi = 2 r \pi \cdot \alpha_{12} \cdot \cos \omega_{12}$$

$$h_{12} = \frac{2}{\sigma_1 - \sigma_2} \cdot \frac{\alpha_{12} \cos \omega_{12}}{r} \cdot \cdot \cdot \cdot 15.$$

Ist die Röhre nicht vollkommen cylindrisch, so ist r der Röhren-Radius an der Stelle, wo der capillare Meniskus der gemeinschaftlichen Oberfläche die feste Wand der Capillarröhre schneidet.

Natürlich kann in dem Falle, dass  $\omega_{12} > 90^\circ$  ist, diese mittlere Steighöhe  $h_{12}$  auch negativ werden; es findet dann eine Depression statt. Für den Fall, dass der Randwinkel bekannt, also z. B.  $\omega_{12} = 0$  oder  $180^\circ$  ist, lässt sich aus der Gleichung 15 die Capillar-Constante  $\omega_{12}$  der gemeinschaftlichen Obersläche beider Flüssigkeiten berechnen.

Laplace, supplément au liv. X de la méc. cèl. Oeuvres t'IV, p. 491.

# 16.

Die Versuche wurden an Wasser und Terpenthinöl in der Weise angestellt, dass in einen Glascylinder von 40<sup>mm</sup> Durchmesser und 250<sup>mm</sup> Höhe etwas Wasser als Flüssigkeit 1 und auf dieses vorsichtig durch Herablaufen an der Wand des Glascylinders Terpenthinöl als Flüssigkeit 2 gegossen wurde. Da ein Ansteigen des capillaren Meniskus zu erwarten war, wurde die Höhe der Terpenthinölsäule bedeutend größer, als die der Wasserschicht gewählt.

Vor der Glasbläserlampe wurden aus einer möglichst gereinigten dickeren Glasröhre Glasfäden von passender Weite gezogen. In dem so hergestellten, beiderseitig offenen Capillarrohr liess ich eine Wassersäule aufsteigen und schmolz das obere Ende der Röhre zu, so dass dieselbe fast ganz mit Wasser gefüllt war. Der Glasfaden wurde mit dem zugeschmolzenen Ende durch zwei Kautschuckringe geschoben und so auf einem reinen Spiegelglasstreifen von 10<sup>mm</sup> Breite und 300<sup>mm</sup> Länge befestigt, der eine eingeätzte Millimetertheilung trug. Auf dem oberen Ende des Glasfadens wurde unterhalb des oberen Endes der Wassersäule mit dem Glasmesser ein Feilstrich gemacht, Spiegelglasstreifen und Capillarröhre in den Glascylinder getaucht, so dass der Feilstrich in Terpenthinöl, das untere offene Ende des Glasfadens in Wasser stand. Wurde jetzt die Spitze des Glasfadens an dem Feilstrich unter Terpenthinöl abgebrochen, so sank das Wasser in dem Capillarrohr, Terpenthinöl drang nach, und der nach oben concave Meniskus sank bis zu einer Höhe  $h_{12}$  über der horizontalen Gränzschicht von Wasser und Terpenthinöl, die mit einem horizontalen Fernrohr an der vertikalen Millimetertheilung abgelesen wurde. Das Glasrohr wurde an der Stelle, wo sich der capillare Meniskus befunden hatte, mit dem Glasmesser durchgeschnitten und der innere Durchmesser 2r der Schnittsläche in der § 4 beschriebenen Weise mit Mikroskop und Ocular-Mikrometer gemessen.

Die unter No. 1 und 2 in Tabelle XIV aufgeführten Versuche wurden in der beschriebenen Weise angestellt; bei No. 3 war der Versuch in sofern verschieden, als das Capillarrohr, nicht mit Wasser, sondern mit Terpenthinöl gefüllt, mit dem oberen Ende unter Terpenthinöl, mit dem unteren unter Wasser getaucht wurde. Beim Abbrechen des oberen Endes unter Terpenthinöl stieg dann das Wasser von unten in dem Capillarrohr in die Höhe, dessen Wände von Terpenthinöl benetzt waren. Der capillare Meniskus bewegte sich also bei Herstellung der Gleichgewichtslage in No. 3 aufwärts in einer mit Terpenthinöl benetzten Röhre, bei No. 1 und 2 abwärts in einer mit Wasser benetzten Röhre.

XIV.
Steighöhe in untergetauchten Capillarröhren
VVasser – Terpenthinöl

	$\sigma_1 = 1$	$\sigma_2 = 0.886$	) /	$\frac{-\sigma_2}{2} = 0,0566$	55
No.	2 r	h .	hr	α 12 cos ω 12	ω <sub>12</sub>
1 2 3	0,813 0,557 0,506	54,9 79,9 56,4	22,32 22,24 14,28	1,265 1,260 0,809	0° 0 50 8'

Die Einrichtung vorstehender Tabelle erläutert sich von selbst. Die letzte Spalte enthält den Randwinkel  $\omega_{12}$ , wie er aus den Zahlen der vorletzten Spalte mit dem durch Tropfen-Beobachtungen bekannten Werthe der Capillar-Constante (Tabelle X §. 10)

$$\alpha_{12} = 1^{\text{mgr}}, 177$$

sich ergiebt. Für die Versuche No. 1 und 2 ist der Randwinkel  $\omega_{12}=o$  und die Uebereinstimmung der nach beiden Methoden erhaltenen Zahlen befriedigend. Bei No. 3 war der Randwinkel ein anderer und näherte sich der Größe 47° 2', welche ich mit den Tropfen-Beobachtungen gefunden hatte.

Die Verschiedenheit des Randwinkels erklärt sich aus der Verschiedenheit der Flüssigkeitsschicht, die der capillare Meniskus bei seiner Bewegung zu verdrängen hatte, und hängt mit der schon oben (§. 14) erwähnten Verschiedenheit

zusammen, welche Theilchen derselben Flüssigkeit in der Nähe der Gränzsläche mit verschiedenen Substanzen zeigen.

#### 17.

Aehnliche Versuche wurden mit Schwefelkohlenstoff als Flüssigkeit 1 und Wasser als Flüssigkeit 2 angestellt. In diesem Falle findet jedoch eine Depression des capillaren Meniskus statt, der seine convexe Seite nach oben, dem Wasser zuwendet. Die Dicke der Schwefelkohlenstoffschicht in dem weiten Glascylinder ist also dem entsprechend gröfser, als die der darüber befindlichen Wasserschicht zu nehmen.

Das Capillarrohr war vor dem Untertanchen mit destillirtem Wasser gefüllt. Die Versuche ergaben folgende Resultate.

XV.

Steighöhe in untergetauchten Capillarröhren

Schwefelkohlenstoff – Wasser

	$\sigma_1 = 1,268$	7 σ <sub>2</sub> =	$= 1$ $\frac{\sigma_1}{\sigma_1}$	$\frac{-\sigma_2}{2} = 0,1348$	3		
No.	2 r	h	hr	α <sub>12</sub> cos ω <sub>12</sub>	ω <sub>12</sub>		
1 2 3	2,652 0,964 0,888		-33,14 -32,12 -30,21	mgr 4,451 4,314 4,057	180° 180 180		
Mittel 4,274							

Der Mittelwerth der Zahlen der vorletzten Spalte stimmt mit der aus Tropfen Beobachtungen abgeleiteten Constanten (vergl. Tab. X §. 10)  $\alpha_{12} = 4^{\rm mgr},256$  sehr nahe überein. Der Randwinkel  $\omega_{12}$  ist also bei den Versuchen in der Capillar röhre nahezu  $180^{\rm o}$  gewesen, während er nach der früheren Methode durch Tropfen-Beobachtungen an einem Planglas  $167^{\rm o}$  gefunden wurde.

Man kann diese Versuche, ebenso wie die des vorigen Paragraphen als eine Bestätigung der theoretischen Betrachtungen ansehen.

#### 18.

Beobachtet man die Steighöhe in vertikalen Capillarröhren, deren oberes Ende in Olivenöl, deren unteres in Wasser mündet, so findet man eine Depression oder eine Erhebung des capillaren Meniskus unter oder über die gemeinschaftliche ebene Gränzfläche beider Flüssigkeiten, je nachdem das Capillarrohr vor dem Untertauchen mit Olivenöl oder Wasser gefüllt war, je nachdem also die feste Röhrenwand mit Olivenöl oder Wasser benetzt war. Es scheint mir diess Verhalten sehr bemerkenswerth, da es zeigt, wie eine von einem festen Körper adsorbirte Flüssigkeitsschicht sich nur schwer von demselben vertreiben läst. Wasser, das mit der festen Wand erst in Berührung kommt, verhält sich anders als Wasser, das mit der festen Wand schon in Berührung ist; ebenso Olivenöl.

XVI. Steighöhe in untergetauchten Capillarröhren

Wasser - Olivenöl

$\sigma_i = 1$		$\sigma_2 = 0.918$	$\frac{\sigma_1-\sigma_2}{2}$	$\frac{-\sigma_2}{2} = 0.043$	= 0,0432	
No.	2r	h	hr	α <sub>12</sub> cos ω <sub>12</sub>	ω <sub>12</sub>	
1 2	2,612 2,304	mas —18 34,1		mgr 1,015 1,697	118 58 35 57	

Die letzte Spalte der vorstehenden Zusammenstellung enthält die Werthe des Randwinkels  $\omega_{12}$  unter der Annahme berechnet, dass  $\alpha_{12}=2^{\rm mgr},096$  ist, wie es durch Tropfen-Beobachtungen gefunden wurde.

Bei den Olivenöl-Tropfen, die unter ein mit Wasser benetztes Planglas gebracht wurden, habe ich oben (§. 19) den Randwinkel  $\omega_{12} = 17^{\circ}$  gefunden, einen Werth, der bei der Unsicherheit der benutzten Methode von dem hier für den analogen Fall gefundenen 35° 57′ nicht grade auffallend abweicht.

### IV.

Steighöhen in Capillarröhren von mehreren Flüssigkeiten übereinander.

19.

Eine vierte Methode Capillarerscheinungen an der gemeinschaftlichen Gränze zweier Flüssigkeiten zu beobachten besteht darin, dass man über eine Flüssigkeit u in einem Capillarrohr eine zweite Flüssigkeit o bringt, und die gemeinschaftliche Steighöhe beider Flüssigkeiten beobachtet.

Diese Methode ist, wie auch oben §. 2 erwähnt wurde, schon von Th. Young, Gay-Lussac und Bède benutzt worden.

Giebt man der oberen Flüssigkeitssäule im Capillarrohr die Länge h, und nennt h, die Erhebung des gemeinschaftlichen Meniskus über das horizontale ebene Niveau oder die freie Obersläche der unteren Flüssigkeit u ausserhalb des Capillarrohres, r, den Radius der Capillarröhre an der Stelle des Meniskus der freien (von Luft begränzten) Obersläche der oberen Flüssigkeit r, denselben für den Meniskus der gemeinschaftlichen Obersläche beider Flüssigkeiten innerhalb der Capillarröhre, und behält die früher gebrauchte Bezeichnungsweise bei, so wird das über das horizontale Niveau der Flüssigkeit u gehobene Flüssigkeitsgewicht von den beiden Menisken getragen. Es ist dann nach Gleichung 1 §. 1

$$-\frac{2\alpha_o\cos\omega_o}{r_o} - \frac{2\alpha_{ou}\cos\omega_{ou}}{r_{ou}} + h_o\sigma_o + h_u\sigma_u = 0$$

$$\alpha_{ou}\cos\omega_{ou} = \frac{1}{2}\frac{r_{ou}}{r_o}\left[r_o(h_o\sigma_o + h_u\sigma_u) - 2\alpha_o\cos\omega_o\right] \quad 16.$$

Für den speciellen Fall  $r_{\circ} = r_{\circ \circ}$  wird diese Gleichung

$$\alpha_{\sigma u} \cos \omega_{\sigma u} = \frac{r \cdot (h_{\sigma}\sigma_{\sigma} + h_{u}\sigma_{v}) - 2\alpha_{\sigma} \cos \omega_{\sigma}}{2}$$
$$= \frac{\mathcal{E}rh\sigma - 2\alpha_{\sigma} \cos \omega_{\sigma}}{2} \quad 17.$$

Man ersieht daraus, dass die Capillar-Constante der gemeinschaftlichen Obersläche bestimmt ist, sobald  $\Sigma rh\sigma$  sowie  $\alpha$ , die Capillar-Constante der freien Obersläche der oberen Flüssigkeit o und die beiden Randwinkel  $\omega$ , und  $\omega$ .

bekannt sind. Der erste ist in vielen Fällen =  $o^o$  oder wenigstens bekannt anzunehmen. da die Größe  $\alpha$ ,  $\cos \omega$ , aus der Steighöhe der Flüssigkeit o in Capillarröhren bestimmt ist (vergl. §. 4):  $\omega_{\omega}$  ist aber nicht bekannt, und würde auch, wie wir später sehen werden, nur in wenigen Fällen =  $o^o$  oder 180° gesetzt werden können.

Im allgemeinen ist diese Methode daher zur Bestimmung der Capillar-Constanten gemeinschaftlicher Flüssigkeits-Oberflächen nicht zu empfehlen. Sie hat jedoch den Vorzug leichter Ausführbarkeit, erfordert geringe Flüssigkeitsmengen, und gestattet bald die Flüssigkeit 1 als obere und die Flüssigkeit 2 als untere Flüssigkeit zu nehmen, bald es umgekehrt zu machen, mag  $\sigma_1$  größer oder kleiner als  $\sigma_2$  seyn.

Ferner lässt sich mit Hülse dieser Methode sosort übersehen, dass die Capillar-Constante  $\alpha$ , der unteren Flüssigkeit, auf die es nach der Theorie von Poisson 1) allein ankommen soll, gar-keinen Einsluss hat, und dass  $\alpha_{\infty} \cos \omega_{\infty}$  und  $\alpha \cdot \cos \omega_{\alpha}$  das von der Capillarität getragene Flüssigkeitsgewicht allein bestimmen.

Es mag hier gleich bemerkt werden, dass h, sehr klein seyn kann, sobald es > 2l, als der doppelte Radius der Wirkungssphäre ist. Die Gleichung 17 gilt dann in aller Strenge, da die freie Obersläche der Flüssigkeit o und die gemeinschaftliche Obersläche der Flüssigkeiten o und u sich dann nahe an derselben Stelle der Capillarröhre besinden. Es wird dann h = o

$$\alpha_{\text{\tiny ew}}\cos\omega_{\text{\tiny ew}} + \alpha_{\text{\tiny e}}\cos\omega_{\text{\tiny e}} = r \cdot h_{\text{\tiny e}}\frac{\sigma_{\text{\tiny e}}}{2} \quad . \quad . \quad 18.$$

Für den Fall  $\omega_{os} = \omega$ , würde die Erscheinung, wie bei dem Ansteigen einer Flüssigkeit in einer Capillarröhre seyn, sobald man die Capillar-Constante  $\alpha$  der einen Flüssigkeit durch  $\alpha_{os} + \alpha_{os} = \alpha$ .

ersetzte. Eine sehr dünne Flüssigkeitsschicht 2 auf einem Meniskus kann also die Steighöhe einer Flüssigkeit 1 sehr modificiren und verkleinern, sobald

$$\alpha_{12} + \alpha_{2} < \alpha_{1}$$

<sup>1)</sup> Poisson, nouvelle théorie de l'action capillaire, p. 142. 1831.

Bringt man Oel auf Wasser, so ist nach der Tabelle X §. 10

 $a_1 = 8^{\rm mgr}, 253$   $a_{12} + a_2 = 5^{\rm mgr}, 856;$  es muss also ein starkes Sinken der Flüssigkeit in der Capillarröhre beim Aufbringen des Oels stattfinden, wie in der That Thom. Young 1) zuerst beobachtet hat.

20.

Ich stellte die Versuche in ähnlicher Weise wie die §. 4 und §. 16 beschriebenen an. Vor der Glasbläserlampe wurden aus einer möglichst gereinigten dickeren Glasröhre Glasfäden von passender Weite gezogen. In dem so hergestellten, beiderseitig offenen Capilllarrohr ließ ich eine Flüssigkeitssäule der Flüssigkeit o aufsteigen, etwas höher als h, werden sollte. Mit dem oberen zugeschmolzenen Ende wurde die Capillarröhre durch zwei Kautschuckringe geschoben und so auf einem reinen Spiegelglasstreifen von 10mm Breite und 100mm bis 2000mm Länge befestigt, der eine eingeätzte Millimetertheilung trug. Der die Capillarröhre bildende Glasfaden wurde an seinem unteren Ende mit dem Glasmesser eingeritzt und abgebrochen, so dass die untere Oeffnung mit dem Nullpunkt der Millimetertheilung zusammensiel und man schon an der uneingetauchten Röhre die Höhe h. bestimmen konute. Diese Vorsicht war in den Fällen nöthig, wo sich der Meniskus der gemeinschaftlichen Oberfläche der Flüssigkeiten o und u durch optische Methoden nicht mehr wahrnehmen liefs.

Wurde nun das untere Ende des Glasfadens mit der Millimetertheilung in die Flüssigkeit u getaucht, ohne daß die Kautschuckringe mit der Flüssigkeit in Berührung kamen, und die obere zugeschmolzene Spitze der Capillarröhre abgebrochen, so stieg die Flüssigkeit o in der Röhre in die Höhe, die Flüssigkeit u folgte nach und man konnte h, und h, mit einem horizontalen Fernrohr an der vertikal gestellten Millimeterscale ablesen.

Ł

<sup>1)</sup> Young works I, p. 463. 1855. Encycl. Britt. Cohesion Sect. II, 1816.

Der Glasfaden wurde darauf an der Stelle des oberen Meniskus durchgeschnitten und der innere Durchmesser 2r. der Schnittsläche in der §. 4 beschriebenen Weise mit Mikroskop und Ocular Mikrometer bestimmt. Auf die Bestimmung des Durchmessers 2r. habe ich bei den vorliegenden Versuchen verzichtet, da andere Fehlerquellen, wie die verschiedene Weite der Capillarröhren, besonders die Veränderlichkeit des Randwinkels  $\omega_{ou}$  bei diesen Versuchen einen viel größeren Einsluß haben, und es mir hauptsächlich darauf ankam, die Abhängigkeit der gemeinschaftlichen mittleren Steighöhe von der Capillar-Constante  $\alpha_o$  der freien Oberfläche der oberen Flüssigkeit nachzuweisen.

Aus demselben Grunde ist auch an den beobachteten Größen  $h_*$  und  $h_*$ , die sich immer auf die Kuppe der Menisken beziehen, die Correction  $\frac{r}{3}$  oder eine ähnliche entsprechende Correction fortgelassen worden. Bei der Berechnung der Constanten  $\alpha_*$  cos  $\omega_*$  nach, Gleichung 16 wurden für  $\alpha_*$  cos  $\omega_*$  die Größen der Capillar-Constante  $\alpha_*$  benutzt, wie ich sie Tab. II §. 4 aus Steighöhen in Capillarröhren gefunden hatte.

Die folgende Zusammenstellung giebt die Beobachtungen an Schwefelkohlenstoff und Wasser. In der ersten Versuchsreihe war das specifisch leichtere Wasser oben, der Meniskus der gemeinschaftlichen Oberfläche wandte seine convexe Seite nach oben; in der zweiten Versuchsreihe war der specifisch schwerere Schwefelkohlenstoff oben, der Meniskus der gemeinschaftlichen Oberfläche hatte seine concave Seite nach oben gekehrt. In der ersten Versuchsreihe stieg der Meniskus der gemeinschaftlichen Oberfläche an einer mit Wasser benetzten, in der zweiten Versuchsreihe an einer mit Schwefelkohlenstoff benetzten Röhrenwand in die Höhe.

XVII.

Steighöhen in Capillarröhren. 2 Flüssigkeiten übereinander.

Wasser oben - Schwefelkohlenstoff unten

$$\sigma_{\bullet} = 1$$
  $\sigma_{\bullet u} = 1,2687$   $2 \alpha_{\circ} = 14^{\text{mgr}},47$   $\alpha_{\circ u} = 4^{\text{mgr}},256$ 

No.	2 r.	h.	h.	Σrhσ	CLON COSWON	θ <sub>ou</sub>
	mm	us m	mm	min	mgr	• ,
1	0,316	0,6	62.4	12,62	<b>-0.92</b>	77 21
2	0.306	1,4	43,4	8,62	-2,92	46 35
3	0.268	7,2	35,2	6,95	-3,76	27 56
4	0,259	22,8	31,8	8,17	-3.15	42 15
5	0.276	34,9	21,1	8,50	-2,99	45 28
6	0,093	112,3	35,2	7,27	-3,60	32 14

$$\sigma_{o} = 1,2687$$
  $\sigma_{u} = 1$   
 $2 \alpha_{o} = 6^{m} \text{gr},65$   $\alpha_{o} = 4^{m} \text{gr},256$ 

No.	2 r.	h.	h <sub>u</sub>	Σrhσ	COS WOW	6ou
1 2 3 4	0,325 0,435 0,325 0,325 0,247	1,8 2,0 21,0 63,8	mm 86,2 55,5 64,9 4,4	14,37 12,63 14,87 15,42	3,84 2,97 4,09 4,36	25 33 45 44 16 4

Die mit  $\alpha_{ss}$  cos  $\omega_{ss}$  überschriebene Spalte zeigt, dass nur bei den Versuchen 3 und 4 der zweiten Versuchsreihe der Randwinkel  $\omega_{ss}$  sehr klein oder  $o^0$  gewesen ist, wenn man für  $\alpha_{ss}$  den durch Tropfen-Beobachtungen (Tab. X §. 10) gefundenen Werth  $4^{wgr}$ ,256 zu Grunde legt. Da die Flüssigkeiten sich im Laufe der Zeit mischen, und der Randwinkel  $\omega_{ss}$  sich mit der Zeit ändert, wie schon aus Beobachtungen an slachen Tropfen hervorging, so kann der verschiedene Werth des Randwinkels  $\omega_{ss}$  bei den verschiedenen Versuchen grade nicht auffallen, zumal hier ebenso, wie bei den Versuchen des Abschnitts III (§. 16 bis 18), die Reibung der Flüssigkeit und des capillaren Meniskus in der Capillarröhre die Höhe  $h_{ss}$ , bis zu der die untere Flüssigkeit sich über das allgemeine Niveau erhebt, wesentlich beeinssussen und zu klein ausfallen lassen können.

Die Form des Meniskus und des Randwinkels  $\omega_{aa}$  der Poggendorff's Annal. Bd. CXXXIX.

gemeinschaftlichen capillaren Oberfläche schien mir auch von der Geschwindigkeit abzuhängen, mit welcher die Flüssigkeiten in der Capillarröhre aufsteigen. Diese Geschwindigkeit ist aber auch von der Länge und Weite des untergetauchten und des mit Luft gefüllten Theiles der Capillarröhre abhängig.

Ein Verschieben der Capillarröhre in den Kautschuckringen brachte die Menisken an andere Stellen der Röhrenwandung, hatte aber auf die Größe von h. keinen merklichen Einfluß.

# 21. <sup>~</sup>

Eine Reihe ähnlicher Versuche wurde an Wasser und Olivenöl, Terpenthinöl oder Steinöl angestellt, welche Flüssigkeiten alle kleinere Capillar-Constanten und kleineres specifisches Gewicht als Wasser haben.

Der Meniskus der gemeinschaftlichen Oberfläche kehrte die concave Seite nach oben, wenn das leichtere Oel, die convexe Seite nach oben, wenn das schwerere Wasser die obere Flüssigkeit bildete.

Ueber den einzelnen Versuchsreihen ist der Werth  $\alpha_{\infty}$ , den Beobachtungen an flachen Tropfen (Tab. X §. 10) für die gemeinschaftliche Oberfläche der Flüssigkeiten o und u ergeben hatten, und mit welchem der in der letzten Spalte aufgeführte Randwinkel  $\theta_{\infty} = 180^{\circ} - \omega_{\infty}$  aus den Zahlen der vorletzten Spalte abgeleitet wurde, angegeben.

#### XVIII.

Steighöhen in Capillarröhren. 2 Flüssigkeiten übereinander
Steinöl oben - Wasser unten

 $\sigma_0 = 0.7977$ 

	$z \alpha_0 = 0^{\text{mgr}}, 132$			$\alpha_m = 3^m \text{er}, 834$		
No.	2 r.	h.	h <sub>w</sub>	Σrhσ	CEUM GOS MOR	w <sub>en</sub>
1 2 3	0,245 0,208 0,227	mm 6,9 14,5 15,5	69,2 45,2 39,5	9,158 5,914 5,887	ingr 2,013 0,391 0,377	58 31 84 9 84 21

VVasser oben - Steinöl unten.

$$\sigma_{\rm s} = 1$$
  $\sigma_{\rm s} = 0.7977$   
 $2 \alpha_{\rm s} = 14^{\rm mgr}.47$   $\alpha_{\rm s} = 3^{\rm mgr}.834$ 

No.	2 r.	h.	h.	Σrhσ	aou cos wow	<i>6°</i> ≠
1	0,524	16,3	46,8	14,06	-0,205	86° 56' 62 56 68 31
2	0,230	34,5	76,3	10,98	-1,745	
3	0,174	71,7	78,3	11,66	-1,405	

Terpenthinöl oben - Wasser unten.

$$\sigma_o = 0,8867$$
  $\sigma_u = 1$   $2 \alpha_o = 5^{\text{mgr}},530$   $\alpha_{ou} = 1^{\text{mgr}},177$ 

No.	2r.	h.	h.	Σrhσ	σ <sub>nu</sub> cos ω <sub>ou</sub>	ω <sub>n#</sub>
1	0,400	0,5	33,9	6,835	0,661	55 47 46 55 52 21
2	0,495	3,8	25,9	7,249	0,860	
3	0,335	5,3	36,9	6,968	0,719	

Wasser oben - Terpenthinöl unten.

$$\sigma_o = 1$$
  $\sigma_w = 0.8867$   $2 \alpha_o = 14^m \text{gr}, 47$   $\alpha_{ou} = 1^m \text{gr}, 177$ 

No.	2r.	h.	h.	<b>Zrh</b> o	α <sub>σα</sub> cos ω <sub>σα</sub>	Aon
<del></del>	2000	mm	mm	mgr	mgr	
1	0,669	0	18,6	5,52	-4.475	
2	0,529	1,1	38,6	9,06	-2,705	
3	0,529	2,3	35,6	8,96	-2,755	0
4	0,586	5,2	36,9	11,11	<b>—1.68</b>	o
5	0,339	10,7	66,8	11,84	-1,31	Ō
6	0,677	11,8	27,1	12,13	-1.17	0
7	0,744	15,7	18,9	12,07	-1.20	0
8	0,357	17,4	62,5	12,98	-0,74	51 3'

Olivenöl oben - Wasser unten.

$$\sigma_o = 0.9136$$
  $\sigma_u = 1$   
 $2 \alpha_o = 6^{\text{mgr}},542$   $\alpha_{ou} = 2^{\text{mgr}},096$ 

No.	2r.	h.	h.,	Σrhσ	α <sub>συ</sub> COS ω <sub>συ</sub>	Aou
1 2	0,416 0,451	7,8 8,1	22,8 18,8	6,22 5,21	mgr 0,15 0,32	85° 38′ 81° <b>20</b>

4 1

Wasser oben – Olivenöl unten.  

$$\sigma^o = 1$$
  $\sigma_u = 0.9136$   
 $2 \alpha_o = 14^m \text{sr}, 47$   $\alpha_{oe} = 2^m \text{sr}, 096$ 

No.	2r.	h.	h.	Σrhσ	α <sub>ou</sub> cos ω <sub>ou</sub>	θ <sub>σκ</sub>
1	mm 0,444	**************************************	<b>56</b>	mg 13,44	-0,51	75 <sup>•</sup> 46
2 3	0,301	23,4 28,4	<b>74,6</b> 86,3	13,79 14,38	-0,34 -0,05	80 40 77 36

Alkahol oben - Olivenöl unten

 $\sigma_o = 0.7906$   $\sigma_u = 0.9136$   $2 \alpha_o = 4^{\text{mgr}},476$   $\alpha_{ou} = 0^{\text{mgr}},226$ 

No.	2 r.	h.	h.	Σrkσ	a <sub>ou</sub> cos w <sub>ou</sub>
1 2	0,363 0 330	10 15	18,1 16,2	mgr 4,436 4,395	0,020 0,040

Olivenöl oben - Alkohol unten

 $\sigma_o = 0.9136$   $\sigma_v = 0.7906$   $2 \alpha_o = 6^{mzr},341$   $\alpha_{ou} = 0^{mgr},226$ 

No.	2 r.,	h.	. h.	Σrhσ	α <sub>συ</sub> cos ω <sub>συ</sub>
1 2	ти 0,582 0,346	ињ 10 15	13,5 27,9	5,77 6,19	mgr 0,28 0,07

Die Beobachtungen zeigen wieder, dass der Randwinkel  $\omega_{\infty}$  bei den verschiedenen Versuchen nicht constant gewesen ist, mit Ausnahme der Versuchsreihe: Wasser oben — Terpenthinöl unten, wo für No. 4 bis 7 ein Werth  $\alpha_{\infty}$  gefunden wird, der mit der früheren Bestimmung aus Tropfen-Beobachtungen (Tab. X §. 10) nahe übereinstimmt, wenn man den Randwinkel  $\omega_{\infty} = 180^{\circ}$  setzt. Für die Messungen No. 1 bis 3 derselben Reihe erklärt sich der zu kleine Werth von  $\sum rh\sigma$  oder  $\alpha_{\infty}$  cos  $\omega_{\infty}$  aus der sehr dünnen Wasserschicht, die das Terpenthinöl bedeckt. Das am capillaren Meniskus der gemeinschaftlichen Oberfläche vom Wasser aufgelöste Terpenthinöl stieg als specifisch leichter in der Wassersäule in die Höhe, verbreitete sich hier (vgl. §. 26) und verunreinigte den oberen Meniskus der freien Wasseroberfläche, der dann nicht mehr die Constante für

Wasser, sondern eines Gemisches von Wasser und Terpenthinöl besaß. Für die Beobachtung No. 1 war das Wasser über der Terpenthinölsäule mit etwas Fließpapier fortgetupft worden.

Bei der Versuchsreihe Olivenöl oben — Wasser unten war die gemeinschaftliche Obersläche entschieden nach oben concav, während im Widerspruch hiermit  $\omega_{\rm ev} > {\rm als}~90^{\rm o}$  aus den beobachteten Steighöhen folgen würde. Der Grund also, das ein zu kleiner Werth von  $h_{\rm ev}$  beobachtet wurde, muß wohl in der Reibung der Flüssigkeiten gegen die Röhrenwandung gesucht werden, die das Zustandekommen der Gleichgewichtslage sehr beträchtlich verzögerte.

Dasselbe würde von den am Schluss der Tabelle XVIII aufgeführten Versuchen mit Alkohol und Olivenöl gelten, wo wegen der Kleinheit von  $\alpha_{**}$  die Schwankungen vielleicht noch auffallender sind.

# $\mathbf{22.}^{\nu}$

Ich habe ferner noch einige Versuchsreihen bei einigen in jedem Verhältniss mischbaren Flüssigkeiten angestellt, bei denen also  $\alpha_{\infty} = 0$  zu setzen ist, und das über das allgemeine Niveau der unteren Flüssigkeit gehobene Flüssigkeits-Gewicht nur von dem Meniskus der freien Oberstäche oder der Constante  $\alpha_o$  abhängt.

XIX.

Steighöhen in Capillarröhren. 2 Flüssigkeiten übereinander.

Terpenthinöl oben – Olivenöl unten  $\sigma_{\circ} = 0.8867$   $\sigma_{\circ} = 0.9136$   $\sigma_{\circ} = 5$   $\sigma_{\circ} = 0.9136$   $\sigma_{\circ} = 0$ 

No.	2r.	h.	h <sub>u</sub>	Σrhσ
1	, mm	mm -	mm 10.0	mgr 5.000
. 2	0,549 0,585	10 15	12,6 6	5,602 5,495
3	0,222	20	34	5,405
			Mi	ttel 5,501

	Olivenöl ol $\sigma_{\bullet} = 0.918$ $2 \alpha_{\bullet} = 6,^{mag}$	-	thinöl unten o. = 0,8867 z. = 0	
No.	2 r.	h.	À.,	Zrko
	m m	mm 10	10	5,489
1	0,610	10 15	10 24.3	5,574
1 2 3	0,316 0,171	20	50,8	5,420
J	( 0,1+1 )	20	, ,	ittel 5,494
	Aikohol	oben – Was	ser unten	
	$\sigma_{\bullet} = 0$	7906	$\sigma_{\bullet} = 1$	
	$2\alpha = 4$		$a_{rs} = 0$	
No.	2 r.	k.	h.	Erho

10

5

20

20

11,4

49,5

13,6

29,1

Mittel

4,455

•	•	
Wasser oben -	Alkohol unten	
$\sigma_{\bullet} = 1$	$\sigma_{\bullet} = 0,7906$	

 $2a = 14^{mgr}.47$ 

mm 0,509

0.396

0,301

1 2 3

No.	2r.	h.	h.	Zr & c
***************************************	mm	<b>m</b> to .	mun	mgr
1	0,719	20	32,7	7,656
2	0,680	15	2,3	5,719
3	0,585	15	32,7 2,3 3,6	5,218
. 4	0,331	10	81.4	12,31
5	0,179	45	81,4 150	11,94
6	0,158	20	198	13,96

In der That zeigen die im Vorhergehenden zusammengestellten Versuche für  $\Sigma rh\sigma$  mit wenigen Ausnahmen, auf welche ich weiter unten zurückkommen werde, einen Werth, der mit dem aus Steighöhen in Capillarröhren (§. 4) abgeleiteten Werth der Constante  $2\alpha$ , sehr nahe übereinstimmt, wie diess aus Gleichung 16 folgt, sobald man darin  $\alpha_m = o$  setzt.

Bei der Versuchsreihe »Olivenöl oben — Terpenthinöl unten « beobachtete ich nach dem Abbrechen der oberen zu-

geschmolzenen Spitze des Capillarrohres eine Zeit lang gar keine Bewegung; dann trat plötzlich eine Bewegung ein, und zwar bewegte sich die Flüssigkeit etwa so schnell, als ob Terpenthinöl allein in dem Capillarrohr aufgestiegen wäre. Das Terpenthinöl verdrängte nämlich das Olivenöl von der Glaswand, und sobald es den Meniskus des Olivenöls bedeckt hatte, nahm es die Olivenölsäule mit empor. Es wird diese Anschauung dadurch bestätigt, dafs  $\sum r h \sigma$  in diesem Falle bedeutend kleiner als  $2\alpha$ , für Olivenöl gefunden wird, dagegen mit  $2\alpha$ , für Terpenthinöl so nahe übereinstimmt, wie man es bei diesen Versuchen überhaupt erwarten kann.

Für » Wasser oben — Alkohol unten « ist das Mittel nur aus den letzten beiden Versuchen genommen, da für No. 1 und 2 bei der geringen Höhe h, das längs der Röhrenwand diffundirende Wasser den Wassergehalt des Alkohols und somit auch  $2\alpha$ , vergrößert hatte.

Für Wasser oben — Alkohol unten « ist bei allen Versuchen der obere Wassermeniskus durch schnelle Diffusion oder Auflösung des specifisch leichteren Alkohols und Aufsteigen in der specifisch schwereren Wassersäule verunreinigt worden, und hat naturgemäß dann eine kleinere Capillar-Constante besessen, als  $2\alpha_s = 14^{mgr}47$  für Wasser. Je nach der verschiedenen Geschwindigkeit, mit welcher diese Verunreinigung vor sich gegangen, sind auch die Zahlen der Spalte  $\sum rh\sigma$  verschieden groß ausgefallen; am größten in den letzten Versuchen der ganzen Reihe, wo eine kleine Luftblase zwischen der Wasser- und Alkoholsäule die Diffusions- oder Verbreitungsgeschwindigkeit des Alkohols im Wasser verzögert hatte.

23.

Achnliche Resultate wie die hier beschriebenen Versuche, haben die in ähnlicher Weise angestellten Versuche von Bède<sup>1</sup>) ergeben, die ich mit den in diesem Aufsatz gebrauchten Bezeichnungen hier folgen lasse. Ueber jeder Versuchsreihe stehen die von Bède bestimmten Capillar-1) Mém. cour. Bruz. XXX, p. 187. 1860.

Constanten der freien Oberfläche der von ihm benutzten Flüssigkeiten.

XX.
Steighöhen in Capillarröhren. 2 Flüssigkeiten übereinander.
Steinöt oben — Wasser unten

	$\sigma_{\bullet} = 0,791$ $\alpha_{\circ} = 5^{\text{mgr}},220$	σ. = 2 α., =	= 1 = 15 <sup>wgr</sup> ,068
No.	,	Σrhσ	Closs COS 6) on
1 2 3 4 5	0,955 0,613 0,343 0,204 0,160	mgr 6,397 6,681 6,810 6,976 6,831	mgr 0,588 0,730 0,795 0,878 0,805
	•	, M	ittel 0,7595

Steinöl oben - Schwefelsäure unten

$$\sigma_{\bullet} = 0,791$$
  $\sigma_{u} = 1,831$   $2 \alpha_{o} = 5^{\text{mgr}},220$   $2 \alpha_{u} = 11^{\text{mgr}},542$ 

No.	ŗ	Σrhσ	Clow COS Work
1	mm 0,955	mgr 2,483	mgr —1,368
2	0,613	2,820	-1,200
3 4	0,343 0,204	2,641 3,080	-1,289 $-1,070$
5	0,160	2,800	-1,070 $-1,210$
6	0,094	3,149	1,035
		Mitt	1.195

Wasser oben - Chloroform unten

$$\sigma_o = 1$$
  $\sigma_w = 1,497$   $2 \alpha_o = 15^{\text{mgr}},068$   $(2 \alpha_w = 5^{\text{mgr}},724)$ 

No.	r	Σrhσ	Clou COS Won
1 2	mm 0,343 0,094	mgr 10,15 5,57	mgr 2,459 4,746
•	•	Mittel	-3,652

Analog den Resultaten meiner Versuche (§. 21) wandte auch bei den von Bède angestellten der Meniskus der gemeinschaftlichen Obersläche von Steinöl und Wasser seine concave Seite, der Meniskus der gemeinschaftlichen Oberfläche von Steinöl und Schwefelsäure oder Wasser und Chloroform seine convexe Seite der oben befindlichen specifisch leichteren Flüssigkeit zu.

Bei der Unkenntniss des Randwinkels  $\omega_{ou}$  lässt sich aus diesen Versuchen der Werth der Capillar-Constante  $\alpha_{ou}$  nicht ableiten, da er (Chloroform-Wasser vielleicht ausgenommen) zwischen  $0^{\circ}$  und  $180^{\circ}$  gelegen haben muß.

Gay-Lussac\*) beobachtete die Depression von Quecksilber in einer mit Wasser oder wäßrigem Alkohol benetzten Röhre, und fand folgende Resultate, die mit den nach Gleichung 17 §. 19 berechneten Werthen von  $\alpha_{ou}\cos\omega_{ou}$  im Folgenden zusammengestellt sind. Die darin angegebenen Werthe von  $\alpha_{ou}$  sind nach den Messungen von Gay-Lussac²) berechnet.

XXI.

Steighöhen in Capillarröhren. 2 Flüssigkeiten übereinander.

Wasser — Quecksilber

 
$$\sigma_{o} = 1$$
 $\sigma_{u} = 13,6$ 
 $2\sigma_{o} = 15^{mgr},13$ 
 $(\alpha_{ou} = 42^{mgr},58)$ 
 $2r$ 
 $h_{o}$ 
 $h_{u}$ 
 $\Sigma r h \sigma$ 
 $\alpha_{ou} \cos \omega_{ou}$ 
 $\theta_{ou}$ 
 $mm$ 
 $0.6472$ 
 $7.730$ 
 $-7.415$ 
 $-60.23$ 
 $-37.68$ 
 $27^{\circ}$  15'

Alkohol — Quecksilber
$$\sigma_o = 0.8197 \qquad \sigma_u = 13.6$$

$$2 \alpha_o = 4^{\text{mgr}},984 \qquad (\alpha_{ou} = 40^{\text{mgr}},71)$$

No.	h.	h <sub>u</sub>	Σrhσ	Clos COS Wo4	Am
mm 0,6472	7,473	-8,026	mgr 66,65	mgr 35,81	28° 36′

Man sieht, dass diese Zahlen mit den aus Beobachtungen an slachen Quecksilbertropfen abgeleiteten Bestimmungen (Tab. X §. 10) gut übereinstimmen. Der Randwinkel  $\omega_m$ 

- 1) Laplace, méc. cél. t. IV, p. 496 Poisson, nouv. théor. p. 147.
- 2) Poisson, nouv. théor. p. 113. Laplace, méc. cél. t. IV, p. 524.

ist aber auch für Quecksilher Alkohol bei den Gay-Lussac'schen Versuchen nicht = 180° zu setzen.

Berlin im August 1869.

### V.

Ueber die Ausbreitung der Flüssigkeiten auf anderen Flüssigkeiten.

Schneiden sich die drei gemeinschaftlichen Oberflächen dreier Flüssigkeiten in einer (krummen) Linie, so wirken auf ein Massentheilchen P der Schnittlinie drei Kräfte, welche in der Normalebene des betreffenden Curvenelementes P der Schnittlinie liegen. Diese Kräfte sind gleich den Capillar-Constanten oder Oberflächenspannungen der drei capillaren Oberflächen, und im Gleichgewicht, sobald die Gleichung erfüllt ist

$$\frac{\alpha_{12}}{\sin \theta_8} = \frac{\alpha_{31}}{\sin \theta_8} = \frac{\alpha_{28}}{\sin \theta_1} \quad . \quad . \quad . \quad 1$$

In dieser Gleichung bezeichnen  $\theta_3$   $\theta_2$   $\theta_1$  die Winkel, welche die im Punkte P sich schneidenden Meridianelemente der krummen capillaren Oberfläche, deren Richtung mit der Richtung der Kräfte  $\alpha_{12}$   $\alpha_{28}$  und  $\alpha_{31}$  zusammenfällt, mit einander einschließen.  $\alpha_{12}$  ist die Capillar-Constante der gemeinschaftlichen Oberfläche der Flüssigkeiten 1 und 2 etc.

Ein linsenförmiger Wassertropfen auf einer Quecksilberfläche, über der sich Luft oder Oel befindet, würde den angegebenen Voraussetzungen entsprechen. Das Quecksilber mag die Flüssigkeit 1, das Wasser die Flüssigkeit 2, Luft oder Oel die Flüssigkeit 3 repräsentiren.  $\theta_3$   $\theta_2$   $\theta_1$  sind die Winkel, welche die im Punkte P zusammenstoßenden keilförmigen Stücke der drei Flüssigkeiten in der Schneide des Keiles besitzen, wie aus Fig. 1 Taf. I zu ersehen ist.

Die Winkel  $\theta_3$   $\theta_2$   $\theta_1$  kann man in der Gleichung 1 durch ihre Supplementwinkel  $\omega_3$   $\omega_2$   $\omega_1$  ersetzen; diese sind dann die Winkel eines Dreiecks, dessen drei Seiten beziehlich  $= \alpha_{12}$   $\alpha_{31}$  und  $\alpha_{23}$  gemacht sind, oder dessen Seiten parallel den drei Meridianelementen der Fig. 1 Taf. I liegen, wie die Fig. 2 Taf. I zeigt.

Construirt man also ein Dreieck, dessen drei Seiten proportional den Capillar-Constanten (Oberflächen-Spannungen) der gemeinschaftlichen Oberflächen dreier in einem Punkte zusammentreffender Flüssigkeiten sind, so geben die Außenwinkel dieses Dreiecks die Randwinkel der drei betreffenden Flüssigkeiten für diesen Punkt<sup>1</sup>).

Daraus folgt unmittelbar, dass die Randwinkel längs der krummen Schnittlinie der drei Flüssigkeiten innerhalb jeder einzelnen Flüssigkeit constant seyn müssen, da die Größen a nur von der Natur der sich berührenden Flüssigkeiten abhängen und innerhalb derselben Flüssigkeits-Obersläche constant sind.

Die Schnitteurve der drei Oberstächen muß ein Kreis seyn. In der That zeigt der Versuch sofort die Richtigkeit dieser letzten beiden Schlüsse, sobald man Wasser auf eine gewöhnliche horizontale Quecksilbersläche bringt, wo das Wasser einen linsenförmigen Tropfen oder eine dünne Schicht mit kreisförmiger Oeffnung auf dem Quecksilber bildet. (Vergl. unten §. 27.)

Sind von den Capillar-Constanten  $\alpha_{12}$   $\alpha_{31}$   $\alpha_{28}$  und den Randwinkeln  $\theta_3$   $\theta_2$   $\theta_1$  drei Größen unbekannt, so lassen sich die übrigen drei aus denselben berechnen, und zwar mit denselben Methoden, mit denen man die Seiten und Winkel eines Dreiecks aus drei gegebenen Stücken berechnet.

Für den Fall, dass man nur zwei Flüssigkeiten zusammenbringt, z. B. Wasser auf Quecksilber in Lust legt, würde  $\alpha_{s1} = \alpha_1$ ,  $\alpha_{2s} = \alpha_2$  werden, oder  $\alpha_{s1}^-$  und  $\alpha_{2s}$  die Capillar-Constanten der freien Obersläche der Flüssigkeiten 1 und 2 bedeuten.

## 25.

Mit den im ersten Abschnitt dieses Aufsatzes durch den Versuch bestimmten Größen der Capillar-Constanten werden sich also die Randwinkel berechnen lassen aus der Gleichung

1) Dieser Satz ist meines Wissens zuerst von Neumann ausgesprochen worden.

$$\alpha_{12}^{2} = \alpha_{31}^{2} + \alpha_{23}^{2} - 2\alpha_{31}\alpha_{23}\cos\omega_{3}$$

$$-\cos\theta_{3} = \cos\omega_{3} = \frac{\alpha_{31}^{2} + \alpha_{23}^{2} - \alpha_{12}^{2}}{2\alpha_{31}\alpha_{23}}. 2.$$

Für  $\omega_2$  und  $\omega_1$  lassen sich natürlich analoge Gleichungen aufstellen.

Der Winkel  $\theta_s$  wird unmöglich, d. h. eine Ausbreitung der Flüssigkeit 2 über die gemeinschaftliche Oberfläche der Flüssigkeiten 1 und 3 findet statt, sobald  $\cos \omega_s = 1$ 

$$\alpha_{31}^{2} + \alpha_{23}^{2} - \alpha_{12}^{2} \stackrel{?}{\geq} 2\alpha_{31}\alpha_{23}$$

$$(\alpha_{31} - \alpha_{23})^{2} \stackrel{?}{\geq} \alpha_{12}^{2}$$

$$\pm (\alpha_{31} - \alpha_{23}) \stackrel{?}{\geq} \alpha_{12} \quad . \quad . \quad 3.$$

Eine Flüssigkeit 2 auf die freie, d. h. von Luft begränzte, Oberfläche einer Flüssigkeit 1 gebracht, breitet sish aus, sobald

$$\alpha_{12} \equiv (\alpha_1 - \alpha_2) \dots 4.$$

d. h. sobald die Capillar-Constante der gemeinschaftlichen Oberfläche der Flüssigkeiten 1 und 2 gleich oder kleiner als die Differenz der Capillar-Constanten der freien Oberfläche der Flüssigkeiten 1 und 2 oder als der von Poisson theoretisch gefundene Werth der Capillar-Constante der gemeinschaftlichen Oberfläche zweier Flüssigkeiten ist.

Uebrigens ergiebt sich dieser Satz, sobald es nicht darauf ankommt den Randwinkel  $\omega_s$  zu bestimmen, einfach durch die Bemerkung, dass die Differenz zweier Dreieckseiten stets kleiner als die dritte Seite seyn muß.

Als Flüssigkeit 1 ist stets die Flüssigkeit mit größerer Capillar-Constante zu wählen, da die Theilchen zusammenbleiben werden, deren gegenseitige Anziehung die größere ist, oder die Theilchen derjenigen Flüssigkeit, die die größere (von der gegenseitigen Anziehung abhängige) Capillar-Constante besitzen.

Das Vorzeichen der Gleichung 3 ist stets so zu wählen, dass die linke Seite eine positive Größe wird, da eine Capillar-Constante oder Oberstächen-Spannung einer Flüssigkeit eine wesentlich positive Größe ist.

Es mag hier gleichzeitig daran erinnert werden, dass die

ganze Theorie der Capillarität sich aus dem Princip herleiten lässt, dass die Flüssigkeits-Obersläche ein Minimum wird. Es scheint, dass beim Zusammenbringen mehrerer Flüssigkeiten dieselben sich so anordnen, dass die Summe sämmtlicher Oberslächen-Spannungen möglichst klein wird.

Verdrängt eine Flüssigkeit 2 die Flüssigkeit n von der gemeinschaftlichen Oberfläche der Flüssigkeiten 1 und n, so kann man wieder die Flüssigkeit 2 durch eine Flüssigkeit 3 von der gemeinschaftlichen Oberfläche der Flüssigkeiten 2 und n verdrängen etc. Die Bedingungen dafür sind nach Gleichung 3

$$\alpha_{1a} > \alpha_{12} + \alpha_{2a} 
\alpha_{2a} > \alpha_{23} + \alpha_{3a}$$

oder diese Gleichungen addirt

$$\alpha_{1s} > \alpha_{12} + \alpha_{23} + \ldots + \alpha_{s-1s}$$
 . . . 5

Für ein Gas oder den luftverdünnten Raum als Flüssigkeit n würde in dieser Gleichung der untere Index n fortzulassen seyn, und  $\alpha_1$  und  $\alpha_{n-1}$  die Capillar-Constante der freien Oberfläche der Flüssigkeiten 1 und n-1 bedeuten.

Die verschiedenen gemeinschaftlichen Oberslächen folgen dann auf einander in derselben Reihenfolge, wie wenn sie nach der Größe ihrer Capillar-Constante oder Oberslächen-Spannung geordnet wären. Die Dicke der einzelnen Flüssigkeitsschichten darf jedoch nicht 0 werden, und muß, falls die Größen  $\alpha$  die gewöhnliche Bedeutung haben sollen > 2l oder größer als der doppelte Radius der Wirkungssphäre seyn.

Ist die Dicke der Flüssigkeiten 2, 3 ... n-1 sehr klein, wie z. B. bei den Versuchen des Abschnittes II, so ist die Summe der einzelnen Oberflächen-Spannungen gleich der Gesammt-Spannung der übereinander gelagerten Oberflächen und stets kleiner als die Spannung der ursprünglichen (freien oder mit der Flüssigkeit n gränzenden) Oberfläche der Flüssigkeit 1.

26.

Die beste Methode, die Verbreitung einer Flüssigkeit 2 auf der Oberfläche einer anderen Flüssigkeit 1 zu beobachten, besteht darin, dass man an Tropsen oder Blasen die mit der Ausbreitung verbundene Gestaltsveränderung beodeachtet.

Nach dem im vorhergehenden Pavagraphen Gesagten muß im Falle der Ausbreitung der flache Tropfen niedriger werden, oder genauer gesagt, die Größe K-k muß abnehmen. Die ganze Tropfenhöhe K wird ebenfalls abnehmen, sobald der Randwinkel  $\theta$  sich nicht merklich ändert.

Die im Absohnitt II (§. 11 bis 14) beschriebenen Versuche zeigen in der That diese Abnahme.

Aus der in §. 10 Tab. X gegebenen Uebersicht geht hervor, dass die Poisson'sche Relation für Quecksilber oder Wasser und eine Reihe von Flüssigkeiten nicht erfüllt ist. Es ist also mit der Theorie in Uebereinstimmung und hätte sich aus derselben vorhersagen lassen, das Schwefelkohlenstoff, Olivenöl, Terpenthinöl und Steinöl sich auf slachen Luftblasen in Wasser ausbreiten, wie ich es in §. 12, oder dass sich Wasser, Olivenöl und Terpenthinöl auf slachen Quecksilbertropsen in Luft ausbreiten, wie ich es in §. 13 nachgewiesen habe.

Ebenso breitete sich absoluter Alkohol auf einer flachen Luftblase in Olivenöl aus (§. 12), da auch für Alkohol und Olivenöl die Capillar-Constante der gemeinschaftlichen Oberfläche  $0^{\text{msr}}$ ,226 =  $\alpha_{12} < \alpha_1 - \alpha_2 = 3^{\text{msr}}$ ,760 -  $2^{\text{msr}}$ ,599 =  $1^{\text{msr}}$ ,161 ist.

Der kleinste Werth der Capillar-Constante  $\alpha_{12}$  ist 0. In diesem Falle sind die beiden Flüssigkeiten in jedem Verhältnifs mischbar und die Gleichung 3 ist stets erfüllt; die Flüssigkeit 2 mit kleinerer Capillar-Constante  $\alpha_{28}$  breitet sich auf der Flüssigkeit 1 mit größerer Capillar-Constante  $\alpha_{13}$  aus.

In der That ist §. 14 gezeigt worden, dass sich Terpenthinöl auf der Oberstäche von slachen Olivenöl-Tropfen in Wasser, oder slachen Schwefelkohlenstoff-Tropfen in Wasser ausbreitet.

Flache Wassertropfen in Olivenöl lassen sich erhalten, wenn man dieselben auf einer Quecksilberschicht ruhen läßt, tiber welche das Olivenöl gegossen ist. K - k ist an diesen Tropfen dasselbe, wie bei flachen Olivenölblasen in Wasser (§. 7); es wird kleiner, sobald man Alkohol an die Gränze von Oel und Wasser bringt, ein Beweis, dass sich der Alkohol auf dieser Gränzsläche ausbreitet, wie es aus den Zahlen der Tabelle X §. 40 mit Hülfe der Theorie vorherzusagen war.

Ebenso breiteten sich, wie früher (§. 14) gezeigt wurde, Olivenöl, Terpenthinöl und Steinöl (Flüssigkeit 2) auf flachen Quecksilbertropfen (der Flüssigkeit 1) in Wasser (Flüssigkeit 3) aus, da  $\alpha_{i2}$  für diese Flüssigkeiten nach Tabelle X §. 10 beziehlich  $34^{\rm msr}$ ,19,  $25^{\rm msr}$ ,54 oder  $28^{\rm msr}$ ,94 kleiner als  $\alpha_{13} - \alpha_{28}$ , d. h. kleiner als  $40^{\rm mgr}$ ,48,  $41^{\rm msr}$ ,40 oder  $38^{\rm msr}$ ,75 ist.

Auch bei geschmolzenen Körpern läfst sich diese Ausbreifung beobachten.

Für geschmolzene Metalle ist, wenn dieselben sich in jedem Verhältnifs legiren, ebenfalls  $\alpha_{12} = 0$ .

Bringt man zu einem flachen auf Kohle geschmolzenen Tropfen von Gold oder Silber mit den Capillar-Constanten 1)  $161^{mer}$ ,5 resp.  $79^{mer}$ ,75 eine Spor Blei 2), dessen Capillar-Constante  $45^{mer}$ ,66 bei  $330^{\circ}$  und bei  $1200^{\circ}$  oder  $1000^{\circ}$  also noch beträchtlich kleiner ist, so sieht man augenblicklich die Tropfenhöhe und K-k beträchtlich abnehmen, wie es die Theorie vorhersehen läfst. Das geschmolzene Blei mit kleinerer Capillar-Constante überzieht sofort den ganzen Tropfen, und die Oberflächenspannung wird bedeutend kleiner, wie vorher.

Die Größe K-k, welche bei reinem Gold und Silber  $4^{mm}$  beträgt, nimmt dabei um  $1^{mm}$  und mehr ab. Möglicher Weise findet auch eine oberflächliche Oxydation des Bleitiberzuges statt, obwohl die Tropfen-Oberfläche metallisches Aussehen behält.

Flache Kupfertropfen mit einer ganz dünnen Oxydschicht bekleidet sind viel niedriger als solche mit reiner Obersläche,

<sup>1)</sup> Pogg. Ann. Bd. 138, S. 148. 1869.

<sup>2)</sup> Pogg. Ann. Bd. 135, S. 642. 1869.

weil das die Obersläche bedeckende Kupferoxyd eine viel kleinere Capillar-Constante wie Kupfer hat. Dabei ist  $\alpha_{12}$  für die Gränze von Kupfer und Kupferoxyd = 0 angenommen, da nach Versuchen von Matthiessen ) das Oxyd in dem Metalle sich aufzulösen scheint.

Die Schicht, welche schon diese Gestaltsveränderung der Tropfen hervorruft, ist so außerordentlich dünn, daß sie sich anderen Beobachtungs-Methoden, Spectral-Analyse vielleicht ausgenommen, vollkommen entzieht <sup>2</sup>).

Wird die auf die Oberstäche einer Flüssigkeit aufgebrachte Substanz sehr schnell von derselben aufgelöst, so kann begreiflicher Weise die Gestaltsveränderung der capillaren Oberstäche ausbleiben. Dies ist z. B. der Fall, wenn man Terpenthinöl auf slache Schweselkohlenstofftropfen in Wasser bringt (vergl. §. 14).

Kleine Mengen Zinn, Kupfer oder Silber auf flache Tropfen von geschmolzenem Gold, oder Zinn auf flache Tropfen von geschmolzenem Silber gebracht, änderten die Gestalt dieser Tropfen nicht merklich.

Die aufgebrachten Metalle scheinen also schneller als das Blei von geschmolzenem Gold und Silber aufgelöst zu werden. Vielleicht habe ich auch eine vorhandene geringe Gestaltsveränderung der Tropfen übersehen, da ich diese Versuche aus Mangel an reiner Substanz an verhältnifsmäßig kleinen Tropfen anstellen mußte.

# 27.

Aus der Größe der Capillar-Constanten der gemeinschaftlichen Oberfläche des Quecksilbers und der im ersten Abschnitt (Tab. X §. 10) aufgeführten Flüssigkeiten ergiebt sich, daß stets  $\alpha_{12} < \alpha_1 - \alpha_2$  ist, daß also nach Gleichung 3 §. 25 alle in jener Tabelle aufgeführten Flüssigkeiten, speciell also auch Wasser und eine wäßrige Lösung von unterschwefligsaurem Natron sich auf einer freien Quecksilber-Oberfläche ausbreiten müßsten.

<sup>1)</sup> Pogg. Ann. Bd. 110, S. 224. 1860.

<sup>2)</sup> Vergl, Pogg. Ann. Bd. 138. S. 147. 1869.

Damit steht nun scheinbar im Widerspruch die Thatsache, dass man linsenförmige Wassertropfen auf eine Quecksilberobersläche legen kann, und dass dieselben, wie Draper 1) und Paalzow 2) gezeigt haben, sich zusammenziehen und kleineren Durchmesser annehmen, wenn man einen elektrischen Strom in den Wassertropfen eintreten und durch das Quecksilber austreten lässt. Der linsenförmige Wassertropfen breitet sich dagegen aus, wenn der elektrische Strom in umgekehrter Richtung fliesst. Schon sehr schwache elektrische Ströme bringen, wie ich gefunden habe, diese Wirkung hervor. Die Zusammenziehung des Tropfens nimmt mit der Dauer und Stärke des elektrischen Stromes Man ersieht hieraus, dass die Natur der Gränzsläche von wesentlichem Einfluss auf die Gestalt des Wassertropfens ist, dass Spuren einer dritten Substanz auf die Trennungsfläche von Quecksilber und Wasser gebracht, wie die hier durch Elektrolyse abgeschiedenen kleinen Mengen Wasserstoff und Sauerstoff die Tropfengestalt beeinflussen, selbst wenn sie ihrer geringen Menge wegen mit anderen Beobachtungs-Methoden kaum wahrgenommen werden können.

Paalzow hat ferner gezeigt, dass durch Zusatz von unterschwefligsaurem Natron zu dem Wasser ebenfalls eine Zusammenziehung, durch Zusatz von Chromsäure eine Ausbreitung des Wassertropfens hervorgerufen werden kann. Er nimmt an, dass selbst das best gereinigte Quecksilber an seiner Obersläche Sauerstoff und eine geringe Menge Oxydenthalte; durch den elektrolytisch abgeschiedenen Wasserstoff oder den Zusatz des unterschwefligsauren Natrons werde diese Oxydschicht reducirt, das capillare Verhalten des Quecksilbers zu Wasser alterirt, die Abstossung zwischen beiden Flüssigkeiten vermehrt, und so die Zusammenziehung des Tropfens herbeigeführt.

Wäre diese Erklärung richtig, so müßte auch das in

<sup>1)</sup> Phil. Mag. t. XXVI, p, 187, 1845. In diesem Aufsatz ist jedoch die Stromrichtung umgekehrt angegeben.

<sup>2)</sup> Pogg. Ann. Bd. 104, S. 420, 1858.

§. 8 untersuchte Quecksilber mit einer Oxydschicht bekleidet gewesen scyn, es müßten sich die Zahlen der Tab. X §. 10 für Quecksilber — Wasser auf dieses mit einer Oxydschicht bekleidete, für Quecksilber — unterschwefligs. Natron auf Quecksilber mit reiner Oberfläche beziehen. Dadurch würde also immer noch nicht erklärt, warum Tropfen von Wasser und von unterschwefligsaurem Natron sich auf Quecksilber nicht ausbreiten.

Der Widerspruch löst sich aber sofort, wenn man reines Quecksilber anwendet, das gar keine Spuren einer fremden Flüssigkeit, besonders eines fetten oder ätherischen Oeles enthält. Man erhält dies in folgender Weise.

Das Quecksilber wird unter Umrühren längere Zeit mit concentrirter Schwefelsäure, der ein paar Tropfen Salpetersäure zugesetzt sind, digerirt, um es von beigemengtem Oxyd und fremden Metallen zu befreien. Darauf wird es von der Schwefelsäure und den beigemengten unlöslichen Salzen getrennt, indem man es wiederholt durch einen an der Außenseite mit Siegellack zusammengeklebten Trichter von reinem Schreibpapier mit nicht zu enger Oeffnung hindurchlaufen lässt. Das scheinbar reine Quecksilber wird dann längere Zeit mit destillirtem Wasser geschüttelt oder, und dieses Verfahren ist mehr zu empfehlen, man lässt es aus einem Papiertrichter mit sehr enger Oeffnung wiederholt in eine mit heißem destillirtem Wasser gefüllte Porcellanschale In dem Wasser lösen sich die dem Quecksilber laufen. beigemengten fremden Flüssigleiten, Säuren, Oele usw. auf. Das Wasser wird von dem Quecksilber, wie vorher die Schwefelsäure, mittelst Papiertrichter getrennt, wobei man in die Trichter aus Schreibpapier noch einen Trichter mit größerer Oeffnung aus Fließpapier setzen kann. letzten Spuren Wasser zu entfernen, lässt man schließlich das Quecksilber durch einen Schreibpapiertrichter mit enger Oeffnung in eine erwärmte Porcellanschale ') und auf die-

Die Porcellanschale zeigt an der Stelle, wo sie vom auffallenden Quecksilberstrahl getroffen wurde, ein System schön gefärbter Newton'scher Farbenringe von unregelmäßiger elliptischer Gestalt. Die gefärbte La-

selbe Weise in eine trockne Glasslasche laufen, in welcher es, nachdem dieselbe verkorkt worden, erkaltet.

Bringt man das so gereinigte Quecksilber in ein durch Abwaschen mit Alkohol, Abtrocknen mit einem reinen Tuche und Erwärmen über einer Gasslamme gereinigtes Uhrglas, so breiten sich Wasser und eine wäßrige Lösung von unterschwefligsaurem Natron darauf aus.

Läst man das Quecksilber durch einen Schreibpapiertrichter mit enger Oeffnung in eine erwärmte reine Glasflasche laufen und in der wohlverkorkten Flasche erkalten, so breitet sich das Wasser auch auf der Oberstäche des kalten Quecksilbers aus.

Berührt man die Quecksilber-Obersläche mit einem frisch gezogenen Glasfaden von 0<sup>mm</sup>, I oder kleinerem Durchmesser, auf dessen Obersläche eine Spur Olivenöl oder Terpenthinöl vertheilt ist, so zieht sich das Wasser zu einem linsenförmigen Tropfen auf demselben zusammen. Gleichzeitig ändert der Wassertropfen seine Lage auf der Quecksilbersläche und wird von der Stelle fortgetrieben, auf welche das Oel aufgebracht wurde.

Der Durchmesser des Wassertropfens wird um so kleiner, je mehr Oel man auf die Quecksilber-Oberfläche bringt. Die aufgebrachte Oelschicht breitet sich auf der freien Quecksilber-Oberfläche zu einem dünnen Häutchen von gleichmäßiger Dicke aus, vermindert, wie oben §. 13 auseinandergesetzt wurde, die Oberflächenspannung der Quecksilber-Oberfläche und die Gleichung 2 § 25 giebt einen realen Werth des Randwinkels  $\omega_3$ . Der Wassertropfen hat um so kleineren Durchmesser, je dicker die Oelschicht auf der Quecksilberfläche ist. Breitet sich die Oelschicht auf der einen Seite des Wassertropfens aus, und vermindert

melle, deren Dicke nach Außen langsamer abnimmt, als nach Innen, zeigte nach dem Auslaufen von 10 bis 15 Pfund Quecksilber an der dicksten Stelle blau — violet erster Ordnung bis gelblich grün zweiter Ordnung im reflectirten Licht; sie war in Cl H schwer, in NO<sub>3</sub> H<sub>2</sub> leichter löslich, und bin ich geneigt, dieselbe für Quecksilberoxyd zu halten. Ob die durch Reibung von Quecksilber und Porcellan erregte Elektricität zu ihrer Bildung beiträgt, müssen weitere Versuche lehren.

hier die Oberstächenspannung des Quecksilbers, so wird der ganze Wassertropfen nach der anderen Seite von der größeren Spannung der dort unveränderten Quecksilberstäche herübergezogen.

Bringt man unterschwefligsaures Natron zu dem linsenförmigen Wassertropfen, so zieht er sich noch mehr zusammen, da die Capillar-Constante der gemeinschaftlichen
Oberfläche von Quecksilber und unterschwefligsaurer Natronlösung größer als die Capillar-Constante der gemeinschaftlichen Oberfläche von Quecksilber und Wasser ist.

Wird der mit Oel bekleidete Glasfaden mit der freien Obersläche eines linsenförmigen Wassertropsens auf Quecksilber in Berührung gebracht, so breitet sich das Oel auf der Wassersläche aus, vermindert die Oberslächenspannung derselben, und der Tropsen vergrößert seinen Durchmesser. Bringt man gleichzeitig den mit Oel genetzten Glasfaden durch tieseres Eintauchen in das Wasser auch mit der gemeinschaftlichen Gränzsläche von Quecksilber und Wasser in Berührung, so breitet sich auch auf dieser das Oel aus, vermindert deren Oberslächenspannung (§. 14) und der Wassertropsen nimmt noch größeren Durchmesser an.

Ist die auf die freie oder an Quecksilber gränzende Wassersläche gebrachte Oelmenge zu groß, so gleitet der kleine Oeltropfen auf der mit Oel bekleideten Wassersläche (vergleiche weiter unten § 29) nach der Peripherie des linsenförmigen Tropfens, breitet sich auf der freien Quecksilbersläche aus und man beobachtet jetzt natürlich bei verminderter Spannung der letzteren die oben beschriebene Erscheinung der Zusammenziehung des Wassertropfens.

Es ist wohl zu bemerken, dass kleine auf die Oberstäche einer Flüssigkeit x gebrachte Oelmengen den scharfen Rand des linsenförmigen Wassertropfens nicht überschreiten. Der Rand wirkt ähnlich, wie die scharfen Schnittränder einer vertikalen Röhre, bei welcher die Größe der herabfallenden Tropfen von der Substanz der Röhre oder von dem Randwinkel der Flüssigkeit gegen die Röhrensubstanz unabhängig ist.

Beim Aufbringen größerer Oelmengen auf die freie Wasser, oder Quecksilberfläche fällt der scharfe Rand des linsenförmigen Tropfens fort, das Oel breitet sich über alle Oberflächen aus, indem sich auch eine Oelhaut zwischen die gemeinschaftliche Oberfläche von Wasser und Quecksilber drängt, und es entsteht ein linsenförmiger, oben stark, unten schwach gewölbter Wassertropfen. Diese Form läßt die Theorie aus den Zahlen der Tab. X § 10 vorhersehen, da die in der Linsenperipherie zusammenwirkenden Oberflächenspannungen sind:

$$\alpha_{1s} = 34,19 + 3,76 = 37^{mgr},95$$
 $\alpha_{12} = 34,19 + 2,10 = 36^{mgr},29$ 
 $\alpha_{23} = 2,10 + 3,76 = 5^{mgr},86$ 

Der obere Theil der Flüssigkeitslinse ist nahezu eine Halbkugel.

In freier Luft condensirt das Quecksilber so schnell die in derselben enthaltenen Dämpfe, dass nur unter besonders günstigen Umständen eine Ausbreitung des Wassers auf der freien Ouecksilberobersläche stattsindet. Meist bleibt das Wasser als linsenförmiger Tropfen liegen, dessen Durchmesser schnell abnimmt, da die Oberslächenspannung des Quecksilbers schneller als die des Wassers durch diese Dampf-Condensation geändert wird. Der Randwinkel des Wassers gegen Ouecksilber ändert sich mit der Menge und der Natur der dünnen Flüssigkeitsschicht, die sich aus den condensirten Dämpfen gebildet und das Quecksilber überzogen hat. Diess erklärt auch die verschiedene Gestalt der linsenförmigen Wassertropfen, die man im Allgemeinen auf dem Quecksilber beobachtet, falls nicht besondere Vorsichtsmaassregeln getroffen sind.

Häufig zieht sich ein flacher linsenförmiger Wassertropfen auf einer (unreinen) Quecksilberfläche zusammen, wenn man darauf haucht. Läst man die ausgeathmete Luft durch mit Wasser benetzte v. Babo'sche Perlröhren streichen, so wird diese Wirkung bedeutend geschwächt, rührt also von fremden der ausgeathmeten Luft in Dampfform beigemengten Substanzen her. Nach kurzer Zeit verslüch-

tigen sich dieselben und der Wassertropfen nimmt wieder seine ursprüngliche Gestalt an.

Ich glaube, dass Flüssigkeitsschichten, deren Dicke ein Milliontel eines Millimeters nicht übersteigt, auf diese Weise schon wahrgenommen werden können, und dass diese Methode unter günstigen Umständen die auf optischen Erscheinungen berubenden an Empfindlichkeit noch übertrifft.

Tropfen einer wäßrigen Lösung von unterschwefligsaurem Natron nahmen bei den von mir angestellten Versuchen auf kalten Quecksilber-Oberstächen stets linsenförmige Gestalt an. Es mus dahin gestellt bleiben, ob einer Verunreinigung des Ouecksilbers oder kleinen Fehlern in den Zahlen der Tab. X §. 10 das Ausbleiben der Ausbreitung in diesem Falle zuzuschreiben ist. Bei der großen Schwierigkeit dieser Untersuchungen kann ich nicht behaupten, vollkommen reines Quecksilber benutzt zu haben, und ließe sich die erwähnte Frage nur mit einem Aufwande an Zeit und Mitteln entscheiden, die mir leider augenblicklich hicht zu Gebote stehen. Einen wesentlichen Einfluss auf die übrigen Versuche dieser Mittheilung oder die aus denselben abgeleiteten Schlüsse haben jedoch die Verunreinigungen des Ouecksilbers, falls solche wirklich vorhanden waren, nicht gehabt.

Wird die gemeinschaftliche Gränze von Quecksilber und Wasser mit elektrolytisch abgeschiedenem gasförmigen Wasserstoff bekleidet, so wird sich die capillare Spannung dieser Gränzfläche der Summe der capillaren Spannungen einer freien Quecksilber- und einer freien Wasserfläche, d. h. der Größe  $55^{mgr}$ ,03 +  $8^{mgr}$ ,25 =  $63^{mgr}$ ,28 nähern, und um so größer seyn als die capillare Spannung  $42^{mgr}$ ,58 der gemeinschaftlichen Berührungsfläche von Wasser und Quecksilber, je mehr Wasserstoff an dieser Gränze abgeschieden wird. Die Contraction des Wasserstoffens muß also mit der abgeschiedenen Menge Wasserstoff zunehmen, wie es auch der Versuch lehrt.

Die durch elektrolytisch abgeschiedenen Sauerstoff an der Quecksilber-Oberfläche gebildete Oxydschicht vermindert

die capillare Spannung der gemeinschaftlichen Oberfläche von Quecksilber — Wasser, und der Tropfen vergrößert seinen Durchmesser.

Durch eine dünne Flüssigkeitsschicht, welche die Oberfläche des Quecksilbers überzieht, wird die Beweglichkeit der Flüssigkeitstheilchen an der Oberfläche des Quecksilbers erheblich vermindert.

Auf einer (unreinen) Quecksilberfläche können gleichzeitig linsenförmige Tropfen von Wasser und unterschwefligsaurem Natron mit verschieden großem Randwinkel schwimmen.

Die dünne Flüssigkeitsschicht, mit der eine scheinbar reine Quecksilberfläche bekleidet ist, kann an verschiedenen Stellen verschiedene Dicke und verschiedene Beschaffenheit haben. Dann zeigen die linsenförmigen Wassertropfen an den verschiedenen Stellen der Quecksilber-Oberfläche verschiedenen Randwinkel.

Erzeugt man durch Behauchen der Quecksilberfläche viele solche linsenförmige Wassertröpfehen gleicher Größe, so lassen sich die Stellen mit gleichem und verschiedenem Randwinkel leicht erkennen. Man sieht ein sogenanntes Hauchbild. Auf die in ähnlicher Weise entstehenden Hauchbilder auf festen Substanzen, wie Glas oder Metallplatten, zu denen auch die von Quecksilbertropfen auf belichteten Jodsilberplatten erzeugten Bilder (Daguerre-Bilder) zu rechnen sind, werde ich später bei einer anderen Gelegenheit zurtickkommen.

Steinöl, Alkohol, Aether rufen ähnliche Erscheinungen wie fette und ätherische Oele hervor. Statt die leicht verdampfbaren Flüssigkeiten direct auf die Quecksilber-Oberfläche zu bringen, genügt es häufig einen Tropfen der betreffenden Flüssigkeit in der Nähe der Quecksilber-Oberfläche verdampfen und die von ihm ausgesandten Dämpfe von derselben adsorbiren zu lassen, die sich dann auf der Quecksilberfläche als cohärente Flüssigkeitsschicht ausbreiten und Bewegungen oder Formveränderungen der linsenförmi-

gen Wassertropfen auf dem Quecksilber in der oben beschriebenen Weise hervorrufen.

Die Wirkung der dünnen auf die Oberstäche des Wassers und des Quecksilbers gebrachten Flüssigkeitsschichten erreicht ein Maximum, sobald die Dicke derselben eine Größe 2l überschreitet, d. h. die doppelte Entfernung, in welcher die Molecularkräfte der Capillarität noch wirksam sind. Durch Beobachtung der Maximal-Wirkung, die eine gemessene Flüssigkeits-Menge auf einer Quecksilberstäche von bekannter Größe hervorbringt, kann man also die Größe 2l bestimmen. Ich werde darauf bei einer anderen Gelegenheit zurückkommen.

Bei den §. 8 beschriebenen Versuchen an Quecksilber-Tropfen in verschiedenen Flüssigkeiten hat eine geringe Verunreinigung des Quecksilbers einen weniger störenden Einflufs, weil die umgebende Flüssigkeit 2, z. B. das Wasser, in welchem der Quecksilber-Tropfen liegt, ein größeres Volumen einnimmt und durch Auflösung dieselbe entfernt. Die Bestimmung der Capillar-Constante  $\alpha_{12}$  bezieht sich also auf die Berührungsfläche von wenigstens in großer Annäherung reinem Wasser und Quecksilber.

Statt einen linsenförmigen Tropfen zu bilden, kann das Wasser auch in einer dünnen Schicht mit kreisförmiger Oeffnung das Quecksilber bedecken. Der Randwinkel des Wassers gegen die Quecksilbersläche ist in beiden Fällen derselbe.

### **2**8.

Bringt man einen Tropfen einer Flüssigkeit I auf eine Flüssigkeit 2, so dass

$$\alpha_1 > \alpha_2 \qquad \alpha_{12} < \alpha_1 - \alpha_2$$

so wird die Flüssigkeit 2 über den ganzen Tropfen von Flüssigkeit I sich ausbreiten, und dieser linsenförmige Gestalt annehmen.

Wird also ein Wassertropfen auf Olivenöl gebracht, so wird auch die obere Fläche desselben mit einer dünnen Oelschicht bekleidet, so dass ein kleiner Oeltropfen, wie Lüdtge<sup>1</sup>) gezeigt hat, auf derselben wie auf einer freien Oelobersläche sich ausbreitet. Der größte Durchmesser des Wassertropfens übertrifft bedeutend den Durchmesser der kreisförmigen Schnittlinie von oberer Linsensläche und der an dieser Stelle kegelförmig vertieften freien Oelobersläche. Der Tropfen hat etwa die Gestalt der Fig. 3 Taf. I. Es ist diess in vollkommener Uebereinstimmung mit der Theorie, da auf ein Element der kreisförmigen Schnittlinie die Spannungen wirken (nach Tab. X §. 10)

$$\alpha_2 = 3^{\text{mgr}},76$$
  $\alpha_{12} = 2^{\text{mgr}},10$   
 $\alpha_1 = 3.76 + 2.10 = 5^{\text{mgr}},86$ 

wo  $\alpha_8$  die Oberflächenspannung der Oellamelle auf der oberen Linsenfläche bedeutet.

Der Durchmesser der kreisförmigen Schnittlinie nimmt zu oder ab, wenn man  $a_3$  durch Aufbringen von etwas Terpenthinöl auf die obere Linsenfläche oder  $a_2$  durch Aufbringen derselben Flüssigkeit auf die freie Oeloberfläche verkleinert. Die Zu- oder Abnahme ist aber lange nicht so auffallend wie bei den analogen Erscheinungen an linsenförmigen Wassertropfen auf Quecksilber.

### 29.

Wie auf freien Quecksilberslächen condensiren und verbreiten sich auch auf freien Oberslächen anderer Flüssigkeiten z. B. des Wassers die in der Atmosphäre enthaltenen Dämpfe fremder Flüssigkeiten. Werden diese Verunreinigungen nicht mit großer Leichtigkeit von der condensirenden Flüssigkeit 1 aufgelöst, so bilden sie einen dünnen Ueberzug, der auf die Ausbreitung anderer Flüssigkeiten 2 an der Obersläche der Flüssigkeit 1 von Einsluß seyn kann.

Die Hauchbilder auf verschiedenen Flüssigkeits-Oberflächen erklären sich also auch durch den verschiedenen Randwinkel, den die condensirten Wassertröpfchen mit der in verschiedener Weise verunreinigten Oberfläche der Flüssigkeit 1 einschließen.

Von den verschiedenen Fällen der Ausbreitung einer 1) Pogg. Ann. Bd. 137, S. 372.

Flüssigkeit 2 auf einer Flüssigkeit 1 ist besonders die Ausbreitung fetter Oele auf Wasser vielfach untersucht worden, wie die unten ') angegebene, lange nicht erschöpfende Zusammenstellung zeigt.

Bringt man eine kleine Menge eines fetten Oeles, etwa einen an einem Glasstabe hängenden Olivenöl-Tropfen auf die ebene freie Obersläche von Wasser oder Quecksilber in einem größeren Gefäse, so breitet er sich auf dieser aus, wie auf einer krummen Obersläche.

Ist die Menge des aufgebrachten Oeles nicht zu gering, so dass sie nicht schnell von der darunterstehenden Flüssigkeit aufgelöst wird, so zieht sich die Oelhaut nach einiger Zeit zu linsenförmigen Tropfen zusammen. In ähnlicher Weise bleibt ein zweiter Oeltropfen auf einer Wasser oder Quecksilberfläche liegen, auf der sich schon ein erster Oeltropfen ausgebreitet hat.

Hat eine Wassersläche längere Zeit an freier Luft gestanden, so dass ihre freie Obersläche durch eine aus der Atmosphäre condensirte Flüssigkeitsschicht genügend verunreinigt ist, so nimmt schon, wie G. Hagen zuerst bemerkt hat, der erste aufgebrachte Oel-Tropfen linsenförmige Gestalt an.

Die Erklärung dieser Erscheinungen muß meiner Mei-

1) Franklin, Phil. trans. 1774, p. 445.

Mann, Mém. d. Brux. 1780, p. 255.

Martin Wall, Manch. Mém. 1785, t. 11, p. 419.

Ben. Prévost, ann. d. chim. (1) t. XXI, p. 254; t. XXIV, p. 31, 1797. Gilb. Ann. Bd. XXIV, S. 158. 1806.

Draparnaud, ann. d. chim. (1), t. 47, p. 304. 1803. Gilb. Ann. Bd. 24, S. 143. 1806.

Carradori, Brugnatelli Giorn. 1797. Gilb. Ann. Bd. 24, S. 134, 1806.

Link, Gilb. Ann. Bd. 24, S. 121. 1806.

Th. Young lect. II. p. 659, 1807.

Fusinieri, Brugn. Giorn. 1821. Frankenheim, Cobasionslehre S. 152.

Weber, Wellenlehre 1825, S. 78.

Frankenheim, Cohasionslehre 1835, 134 bis 152.

G. Hagen, Abh. Berl. Akad. 1845, S. 32.

nung nach in einer Aenderung gesucht werden, die das Oel in Berührung mit Wasser oder Quecksilber durch Auflösung oder chemische Verbindung (vielleicht unter Mitwirkung der atmosphärischen Luft) erfährt. Das so in seinen Eigenschaften modificirte Oel besitzt eine größere Capillar-Constante oder Oberstächen-Spannung, welche sich von der des ursprünglichen nicht modificirten Oeles um so mehr unterscheidet, je weiter die Veränderung vorgeschritten ist. Das wenig modificirte Oel (Flüssigkeit 2) verhält sich nun gegen das gar nicht oder mehr modificirte Oel wie gegen eine andere Flüssigkeit mit anderer Capillar-Constante.

Der linsenförmige Oeltropfen wird von einem gar nicht oder wegen der langsamen Diffusion nur wenig modificirten Oele, der Flüssigkeit 2, gebildet, welche an der Gränze mit Luft und der stark modificirten, das Wasser oder Quecksilber bedeckenden, Oelschicht beziehlich eine Oberflächenspannung  $\alpha_2$  oder  $\alpha_{21}$  hat, die beide kleiner als die Oberflächenspannung  $\alpha_1$  der mit der dünnen stark modificirten Oelschicht bedeckten freien Wasser- oder Quecksilber-Oberfläche sind. Je nach der Größe der Constanten  $\alpha_1$   $\alpha_2$  und  $\alpha_{21}$  wird die Flüssigkeit 2 als linsenförmiger Tropfen mit verschiedenem Randwinkel auf der Oberfläche der Flüssigkeit 1 liegen bleiben oder sich ausbreiten, wie es auch der Versuch lehrt.

Fig. 4 Taf. I giebt den Querschnitt eines Oeltropfens auf einer ölhaltigen Wassersläche. Die Gestalt desselben ändert sich mit der vom Wasser schon aufgelösten Oelmenge und der Beschaffenheit der das Wasser bedeckenden Oelhaut. Im Allgemeinen wird der Tropfen um so slacher, je länger er auf dem Wasser liegen bleibt.

Beim Behauchen der auf Wasser schwimmenden Oellinsen beobachtet man unter Umständen bei genügender Beweglichkeit der Flüssigkeitsoberslächen eine ähnliche Zusammenziehung der Oellinse und Aenderung des Randwinkels, wie ich es oben §. 27 beim Behauchen von Wasserlinsen auf Quecksilber beschrieben habe. Die Erscheinung erklärt sich wie dort durch Substanzen, die in Dampfform der aus-

geathmeten Luft beigemengt sind, und auf der Wasserfläche condensirt werden.

Wie bei Wasser und Quecksilber kommen auch bei Oel und Wasser dünne Oelschichten mit kreisförmigen Löchern vor, deren Randwinkel derselbe wie für eine Oellinse auf derselben Wassersläche ist.

Durch Vorstehendes erklärt sich auch die interessante Erscheinung, welche man bei der Ausbreitung eines Oeltropfens auf einer größeren Wassersläche, etwa auf einem Teiche, beobachtet. Unter Bildung der prachtvollsten Interferenzfarben breitet sich ein Theil des Oeles auf der Wassersläche zu einer mehrere Quadratfus großen Schicht aus. Der übrige Theil bleibt als linsenförmiger Tropfen in Mitten der farbigen Oelhaut liegen. Die letztere wird allmählig dünner, zieht sich dann an einigen Stellen zu unregelmäßig begränzten Flecken zusammen und wird nach und nach vom Wasser absorbirt. Wird die dünne Oelhant um den linsenförmigen Tropfen unendlich schmal, so breitet sich dieser plötzlich auf der freien Wasserobersläche aus, ich möchte sagen, die Oellinse explodirt unter Bildung einer neuen Oelhaut von gleichförmiger Färbung oder Dicke und von 2 bis 3 Zoll Durchmesser; darauf wiederholt sich der oben beschriebene Vorgang von neuem.

Mit kleinen Oeltröpfchen gelingt dieser Versuch zuweilen auch in einem mit reinem Wasser gefüllten Teller.

# **30**. $^{>}$

Außer den im vorigen Paragraphen besprochenen sind noch eine große Anzahl anderer Ausbreitungs-Versuche angestellt worden.

Gewöhnlich beobachtet man die Ausbreitung in der Art, dass Staubtheilchen auf der freien Obersläche der Flüssigkeit I mit dieser gleichsam fortgestoßen werden, oder dass die Flüssigkeit 2, zu einer dünnen Schicht ausgebreitet, Newton'sche Farbenringe zeigt. Durch die an den Staubtheilchen haftenden fremden Substanzen wird jedoch die Flüssigkeits-Obersläche leicht verunreinigt und optische Me-

thoden sind ungenügend, sobald die aufgebrachte Flüssigkeitslamelle zu dünn wird, oder die beiden Flüssigkeiten nahezu denselben Brechungsexponenten haben.

Da ferner die mit einander in Berührung gebrachten Substanzen durch gegenseitige Auflösung oder chemische Einwirkung ihre Capillar-Constante ändern oder gar neue flüssige chemische Verbindungen sich bilden, wobei auch die atmosphärische Luft und die in derselben enthaltenen Dämpfe wesentlich berücksichtigt werden müssen, so kann in manchen Fällen ein Erfolg beobachtet seyn, der mit den in §. 2 angegebenen Gesetzen scheinbar in Widerspruch steht. Bei gehöriger Kritik der von verschiedenen Beobachtern benutzten Methoden und mit diesen Methoden gefundenen Thatsachen wird man sie aber alle in Uebereinstimmung mit der Theorie finden.

Ein großer Theil der mir bekannten Ausbreitungsversuche läßt sich nach den in Tab. X §. 10 enthaltenen Zahlenangaben beurtheilen. Die Größe der unbekannten Capillarconstanten der gemeinschaftlichen Obersläche zweier Flüssigkeiten läßt sich in vielen Fällen angenähert schätzen, wenn man bedenkt, daß im Allgemeinen  $\alpha_{12}$  um so kleiner ist, je mehr die Flüssigkeit 1 von der Flüssigkeit 2 aufgelöst wird oder umgekehrt.

Zur leichteren Vergleichung der Theorie mit den im Folgenden angeführten Resultaten andrer Beobachter lasse ich die Capillar-Constanten  $\alpha$  bei mittlerer Temperatur für einige Flüssigkeiten folgen.

	a	Beobachter
Aether	1 <sup>mgr</sup> ,815	Wilhelmy 1)
wäßriger Alkohol	$2^{\mathrm{mgr}},589$	Bède <sup>2</sup> )
(spec. Gew. 0,842)		
Seifenwasser $(\frac{1}{30}$ Seife)	3 <sup>mgr</sup> ,22	Plateau 3)
Glycerin	5 <sup>mgr</sup> ,143	Wilhelmy 4).

<sup>1)</sup> Pogg. Ann. Bd. 121, S. 52. 1864.

<sup>2)</sup> Mém. cour. sav. étr. Brux. t. XXX, p. 160. 1860.

<sup>3)</sup> Plateau, recherches etc. 8' sér. Mém. acad. Brux. t. XXXVII, p. 91, 1868.

<sup>4)</sup> Pogg. Ann. Bd. 122, S. 13. 1864.

Die unter den Namen der einzelnen Beobachter aufgeführten Reihen sind so geordnet, dass immer die tiefer stehende Flüssigkeit sich auf der höher stehenden ausbreitet.

Draparnaud 1)	Carradori ²)	Link 3)
Wasser	<b>W</b> asser	Wasser
Weingeist	Weingeist	fette Oele
Wasser äther. Oele	Aether Wolfsmilchsaft	Steinöl Terpenthinöl Weingeist
Olivenöl		•
Weingeist		``
	P. du Bois-Reymond 4)	•
Wasser	warmes Oel	

	r. du bois-neymond )
Wasser	warmes Oel
Terpenthinöl	kaltes Oel

Wasser Oel Glycerin
Alkohol Alkohol
Wasser Oel Glycerin
Aether Aether Aether.

31.

Der einfachste Fall der Ausbreitung einer Flüssigkeit 2 auf der freien Obersläche einer Flüssigkeit 1 ist der, wo die beiden Flüssigkeiten sich in jedem Verhältnis mischen und also in der Gleichung 4  $\alpha_{12} = 0$  zu setzen ist. Dann wird die Flüssigkeit 2 mit kleinerer Capillar-Constante auf der Flüssigkeit mit größerer Capillar-Constante sich ausbreiten, oder genauer gesagt, die größere Spannung der Flüssigkeits-Obersläche 1 zieht gleichsam die Oberslächen theilchen der Flüssigkeit 2 von geringerer Oberslächenspannung mit sich fort.

Ann. d. chim. (1) t 47, p. 303. 1803. Gilb. Ann. Bd. 24, S. 131. 1806.

<sup>2)</sup> Ann. d. chim. (1) t. 51, p. 216. 1804. Gilb Ann. Bd. 24, S. 139. 1806.

<sup>3)</sup> Gilb. Ann. Bd. 24, S. 123, 1806.

<sup>4)</sup> Pogg. Ann. Bd. 104, S. 196. 1858.

P. du Bois-Reymond 1) beobachtete, dass ein heiser Tropsen einer Flüssigkeit auf die Obersläche derselben aber nicht erwärmten Flüssigkeit gebracht, sich dort ebenfalls ausbreitet. Da die Capillar Constante einer Flüssigkeit mit steigender Temperatur abnimmt, so ist  $\alpha_1 > \alpha_2$  und der Versuch aus der Theorie vorherzusagen.

Derselbe Beobachter<sup>2</sup>) hat auf die im Innern der Flüssigkeit 1 durch die Ausbreitung der Flüssigkeit 2 hervorgerufenen Strömungen aufmerksam gemacht, indem er eine Oelschicht statt auf eine feste Unterlage, auf eine Wasserschicht legte. Bei der Ausbreitung von absolutem Alkohol auf der Obersläche der Oelschicht treten Wirbelbewegungen im Innern derselben ein, und das Wasser hebt sich unter dem Ausbreitungs-Mittelpunkt. Diese secundären Erscheinungen erklären sich, wie schon P. du Bois-Reymond 3) bemerkt, dadurch, dass der Alkohol die an ihn gränzende Oelschicht mit sich fortreisst, und treten alle Mal mehr oder weniger stark ausgeprägt auf, sobald man eine Flüssigkeit 3 auf die dünne Flüssigkeitsschicht 2 bringt, die sich an der Obersläche einer Flüssigkeit 1 ausgebreitet hatte. Flüssigkeit 3 verbreitet sich auf der Flüssigkeit 2, sobald  $\alpha_{23} < \alpha_{2} - \alpha_{3}$ , ruft im Innern der Flüssigkeit 2 Strömungen hervor und rollt die dünne Flüssigkeitsschicht 2 gleichsam von der Oberfläche der Flüssigkeit I ab. Dabei kommt die Flüssigkeit 3 mit der Flüssigkeit 1 in Berührung, und nun hängt es von den Größen  $\alpha_2$   $\alpha_3$   $\alpha_{12}$   $\alpha_{23}$  und  $\alpha_{31}$  ab, ob die Flüssigkeit 3 die Flüssigkeit 2 von der Obersläche der Flüssigkeit 1 vertreibt, oder nicht.

Außerdem spielt bei diesem complicirten Vorgang die mehr oder weniger unbekannte Reibung der Flüssigkeitstheilchen gegeneinander eine Rolle.

Es ist also durchaus falsch zu sagen, dass, sobald  $\alpha_2 > \alpha_3$  die Flüssigkeit 3 die Flüssigkeit 2 vertreibt. So verdrängt z. B. Olivenöl ( $\alpha_3 = 3^{mgr},76$ ) den Alkohol ( $\alpha_2 = 2^{mgr},599$ ) von

<sup>1)</sup> Pogg. Ann. Bd. 104, S. 202. 1859.

<sup>2)</sup> Pogg. Ann. Bd. 104, S. 197. 1859.

<sup>3)</sup> Ib. S. 199.

einer Quecksilberfläche, auf welche man nebeneinander zwei Tropfen dieser Flüssigkeiten bringt, obwohl  $\alpha_3 > \alpha_2$  ist. Der Grund liegt eben darin, dass für Quecksilber-Olivenöl  $\alpha_{1s} = 34^{\rm mgr}$ ,19, für Quecksilber-Alkohol  $\alpha_{12} = 40^{\rm mgr}$ ,71, im letzteren Falle also beträchtlich größer ist.  $\alpha_{23} = 0^{\rm mgr}$ ,226 für Alkohol-Olivenöl hat wegen seiner Kleinheit nur einen unbedeutenden Einfluß bei dieser Erscheinung.

Für den Fall, dass man die Capillar-Constanten der gemeinschaftlichen Flüssigkeits-Oberflächen vernachlässigen kann, d. h. wenn die zusammengebrachten Flüssigkeiten in jedem Verhältnis mischbar oder die a mit doppeltem Index klein sind, wird freilich die Flüssigkeit mit kleiner Capillar-Constante der freien Oberfläche die Flüssigkeit mit größerer Capillar-Constante verdrängen.

Ordnet man die in jedem Verhältnis mischbaren Flüssigkeiten so, das jede folgende auf der freien Oberstäche der vorhergehenden sich ausbreitet, so muß man dieselbe Reihenfolge erhalten, wie wenn die Flüssigkeiten nach der Größe der Capillar-Constante geordnet wären 1).

Die vorstehende Betrachtung gilt auch für den Fall, dass die Flüssigkeit 1 durch einen festen Körper 1 ersetzt wird.

1) Schon Frankenheim (Cohäsionslehre S 142, 1835) machte darauf ausmerksam, dass die Intensität, mit welcher sich ein Tropsen einer Flüssigkeit zu verbreiten strebt, um so größer werde, je kleiner die specifische Cohäsion der betreffenden Flüssigkeit sey. Obwohl er später (S. 144) auch der Dampsbildung einen Einflus auf die Ausbreitung zuschreibt, so scheint er doch eine richtige, wenn auch in manchen Punkten unklare Vorstellung von diesen Erscheinungen gehabt zu haben.

In neuester Zeit hat Lüdtge (Pogg. Ann. Bd. 137, S. 377 sub. 4 bis 6) ganz allgemein für beliebige Flüssigkeiten das Gesetz ausgesprochen, daß die nach der Größe der Capillar-Constanten geordnete Flüssigkeitsreihe mit der Reihenfolge übereinstimme, in der sich die Flüssigkeiten ausbreiten, und dahei angegeben: "daß die Ausbreitung um so deutlicher eintritt, je geringer die Mischbarkeit zweier Flüssigkeiten und je größer der Unterschied ihrer Cohäsionen" sey. Da aber  $\alpha_{12}$  um so kleiner zu seyn scheint, je leichter die Flüssigkeiten 1 und 2 sich mischen, so steht diese Angabe in Widerspruch mit Gleichung 4 § 25 dieses Außatzes. Die Reihen stimmen eben nur für den Fall der vollkommenen Mischbarkeit mit einander überein.

Obwohl die Beweglichkeit der diesen festen Körper 1 berührenden Flüssigkeitstheilchen erheblich verkleinert ist, muß man doch, wie ich später noch näher erörtern werde, der die Obersläche des festen Körpers berührenden Flüssigkeit eine bestimmte Oberslächenspannung beilegen.

Aus diesem Grunde halte ich die von manchen Beobachtern benutzte Methode, dünne Schichten verschiedener Flüssigkeiten auf Glas, Porcellan oder Metallplatten mit einander in Berührung zu bringen und zu beobachten, welche Flüssigkeit die andere vertreibt, für wenig zuverlässig. Freilich wird in vielen Fällen die Spannung der freien Oberfläche der beiden zusammengebrachten Flüssigkeiten so bedeutend überwiegen, dass die Flüssigkeit 2 auf der Flüssigkeit 3 sich ausbreitet und die Flüssigkeit 3 von der Oberfläche des festen Körpers 1 vertreibt, sobald  $\alpha_2 < \alpha_3$  ist.

In diesem Falle stimmt dann, wie die folgende Zusammenstellung zeigt, die Reihenfolge der nach der Größe der Capillar-Constanten geordneten Flüssigkeiten mit der Reihenfolge überein, bei welcher die tiefer stehende Flüssigkeit eine dünne Schicht der höher stehenden Flüssigkeit von der Oberfläche einer Glasplatte vertreibt. Ob eine vollkommene Uebereinstimmung beider Reihen stattfindet, würde sich nur durch gleichzeitige Bestimmung der Capillar-Constanten der Flüssigkeiten, mit denen die Ausbreitungsversuche angestellt wurden, beurtheilen lassen.

Brugnatelli ')

Carradori<sup>2</sup>)

Olivenöl

Steinöl

Weingeist

Terpenthinöl

Terpenthinöl

Aether

Aether

<sup>1)</sup> Ann. d. chim. t. 51, p. 216. 1804. Gilb. Ann. Bd. 24, S. 136. 1806.

<sup>2)</sup> Ann. d. chim. t. 51, p. 216. 1804. Gilb. Ann. Bd. 24, S. 142. 1806.

Ben. Prevost 1) Zinkvitriol Kochsalz Wäſs-Salpeter rige Glaubersalz Lö-Kupfervitriol sun-**Eisenvitriol** gen Alaun Wasser Fette Oele Aetherische Oele Alkohol Aether

Wasser Fette Oele Seifenwasser

Lüdtge 2) Eisenchlorid Salmiak Wasser Kupfervitriol Ammoniak Salzsäure Schwefelsäure Salpetersäure Glycerin Kalilösung , Schwefelkohlenstoff Mohnöl Essigsäure Plateau'sche Seifenlösung Terpenthinöl Benzin Alkohol Essigäther Schwefeläther.

# 32.

Der hübsche Versuch von Lüdtge<sup>3</sup>) in Plateau'schen Drahtgerippen eine Lamellenfigur aus Wasser oder Oel (Flüssigkeit 1) zu bilden, und diese durch Oel oder Seifenwasser (Flüssigkeit 2) verdrängen zu lassen, so das jetzt die Lamellen aus der letzteren Flüssigkeit bestehen, erklärt sich durch die oben besprochenen und mit der Ausbreitung der Flüssigkeit 2 verknüpften secundären Strömungen im Innern der Flüssigkeit 1.

Die Flüssigkeit 2 verbreitet sich auf der einen Fläche der Flüssigkeit 1, sobald  $\alpha_{12} > \alpha_1 - \alpha_2$ , rollt dieselben auf der in Bezug auf ihre Oberslächenbeschaffenheit unveränder-

Ann. d. chim. t. 40, p. 1 bis 32, 1801. Gilb. Ann. Bd. 24, S. 180.
 1806.

<sup>2)</sup> Pogg. Ann. Bd. 137, S. 369. 1869.

<sup>3)</sup> Pogg. Ann. Bd. 137, S. 465. 1869.

ten anderen Fläche der Flüssigkeit 1 ab, durchbricht diese andere Fläche und bildet nun eine kreisförmige Lamelle, deren Durchmesser allmählig zunimmt, wie der Durchmesser des linsenförmigen Wassertropfens auf Quecksilber zunahm, wenn man Oel auf die Gränze von Quecksilber und Wasser bringt (§. 27). Auch bei diesem letzteren Versuch beobachtet man unter günstigen Umständen ein Durchbrechen des sehr flachen linsenförmigen Wassertropfens, oder die Entstehung einer kreisförmigen Oellamelle im Innern einer Wasserlamelle auf dem Quecksilber.

Aehnliche Erscheinungen zeigt eine Wasseroberflächeauf welche man einen Oeltropfen hat fallen lassen, so dass dieser dabei innerhalb des Wassers in viele kleine Tropfen Ein Theil des Oeles breitet sich zertheilt worden ist. schnell, wie oben (§. 29) beschrieben wurde, zu einer dünnen Haut von modificirtem Oele mit größerer Capillar-Constante oder Oberflächenspannung als das ursprüngliche, nicht geänderte, Oel auf dem Wasser aus. Steigen nun die specifisch leichteren Tröpfchen von noch nicht modificirtem Oel in dem specifisch schwereren Wasser in die Höhe und durchbrechen die dünne Oelhaut, so bilden sie auch kreis runde Lamellen auf der Wasseroberfläche, deren Durchmesser allmählig zunimmt, so lange bis die Einwirkung des Wassers auch die Capillar-Constanten dieses Oels genügend modificirt hat. Die Ursache dieser Erscheinung möchte ich hauptsächlich in der Verschiedenheit der Capillar-Constante der freien Obersläche des modificirten und nicht modificirten Oeles suchen.

33.

Man kann auch noch in anderer Weise, als es im Vorstehenden und besonders in den ersten vier Abschnitten dieser Mittheilung geschehen ist, die Abnahme der Capillar-Constante oder Oberflächenspannung nachweisen, sobald eine Flüssigkeit 2 auf der freien Oberfläche einer Flüssigkeit 1 sich ausbreitet.

Lässt man Wasser (Flüssigkeit 1) aus einem verticalen unten scharf abgeschnittenen Glasrohr vom Radius r tropfen,

so ist das Gewicht der Tropfen  $= \alpha \cdot 2r\pi$ . Durch Aufbringen einer kleinen Menge Oliven- oder Terpenthinöl (Flüssigkeit 2) auf die Obersläche der Glasröhre, welches sich dann auf der Obersläche des abfallenden Tropfens verbreitet, wird  $\alpha$  nicht mehr  $= \alpha_1$  bleiben, sondern  $= \alpha_{12} + \alpha_2$  werden  $< \alpha_1$  und die Größe der Wassertropfen wird beträchtlich abnehmen. Da das Oel bald von den fallenden Wassertropfen mit fortgenommen wird, so nimmt die Dicke des Oelüberzuges mit der Zeit ab, wird < 2l als der doppelte Radius der Wirkungssphäre und die Größe der Tropfen nimmt wieder zu. Bei der Schwierigkeit, die Dicke des Oelüberzuges richtig zu beurtheilen, habe ich keine messenden Versuche in dieser Beziehung angestellt.

Je langsamer die Tropfen fallen, um so mehr Zeit haben sie an der Oberstäche Substanzen zu condensiren, die in Dampsform in der Atmosphäre enthalten waren, um so kleiner wird a oder die Capillar-Constante gefunden werden müssen, wie es auch die Erfahrung lehrt. Bei dem von mir früher!) benutzten Verfahren, mit fallenden Tropfen Capillar-Constante geschmolzener Körper zu bestimmen, hatte diese Fehlerquelle wegen der hohen Temperatur der geschmolzenen Körper einen nur geringen Einsluss. Ein Gleiches gilt für die Messungen an slachen Tropfen geschmolzener Substanzen<sup>2</sup>).

Befestigt man ein horizontales Capillarrohr vom Radius r senkrecht zur Axe eines gewöhnlichen Reflexions-Goniometers und bringt eine kleine Menge einer Flüssigkeit 1, etwa Wasser, in dasselbe, so wird der von zwei capillaren Menisken begränzte Flüssigkeits-Faden an allen Stellen des cylindrischen Rohres im Gleichgewicht seyn. Bringt man nun eine kleine Menge einer Flüssigkeit 2 auf den einen Meniskus der Flüssigkeitssäule 1, so verringert man hierdurch den Capillardruck  $\frac{2\alpha_1}{r}$  an der Kuppe desselben auf  $\frac{2(\alpha_{12}+\alpha_2)}{r}$ , und die Flüssigkeitssäule wird nach dem anderen Ende des Capillarrohrs fortgeschoben. Bei einer gewissen

<sup>1)</sup> Pogg. Ann. Bd 135. S. 642. 1868.

<sup>2)</sup> Pogg. Ann. Bd. 138, S. 150. 1869.

am Goniometer gemessenen Neigung v des Capillarrohres, die von der Länge L und dem spec. Gewicht σ, der Flüssigkeitssäule 1 abhängt, wird der Flüssigkeitsfaden wieder im Gleichgewicht stehen. Eine solche Flüssigkeitssäule mit ungleichartigen Oberflächen in einem cylindrischen Glasrohr verhält sich also ähnlich, wie eine Flüssigkeitssäule mit gleichartigen Oberslächen in einem konischen Glasrohr. Der Methode durch Messungen der Größen -v, L und r einen Werth für  $\alpha_{12} + \alpha_2$  abzuleiten, stehen dieselben Schwierigkeiten wie den in Abschnitt 3 und 4 beschriebenen Versuchen entgegen, dass sich nämlich die Aenderungen des Randwinkels nicht genügend leicht beurtheilen lassen. Für Vorlesungsversuche ist diese Methode dagegen recht geeignet, um die Abhängigkeit des capillaren Drucks oder der Oberflächen-Spannung von der Beschaffenheit der freien Flüssigkeits-Obersläche nachzuweisen.

Läst man eine Flüssigkeit 1, etwa Wasser, in gewöhnlicher Weise in einem Capillarrohr aufsteigen, und dann geringe Mengen einer Flüssigkeit 2, etwa Olivenöl oder Terpenthinöl, auf der freien ebenen Flüssigkeits-Oberfläche außerhalb des Capillarrohrs sich außbreiten, so bleibt die Steighöhe der Flüssigkeit im Capillarrohr ungeändert.

Da die Constante  $\alpha_1$  oder  $H_1$  (vergl. §. 1) durch Aufbringen dieser Flüssigkeit 2 sehr wesentlich modificirt wird, so hätte ich auch eine Aenderung der Constante  $K_1$  und damit eine Abnahme der Steighöhe erwartet. Wie schon im Anfang dieser Mittheilung a. a. O. angedeutet wurde, läst sich hieraus noch kein strenger Schluss auf die Größe des Normaldrucks K in der freien ebenen Obersläche einer Flüssigkeit ziehen, da

 $K_1 - K_2 = K_{12} = - K_{21}$ 

seyn kann. Diese Relation wird aber nach den Zahlen der Tabelle X §. 10, die niemals  $\alpha_{12} = \alpha_1 - \alpha_2$  geben, sehr unwahrscheinlich, und möchte ich deshalb der Ansicht von Thomas Young beistimmen, wonach  $K_1$  der Normaldruck in einer ebenen Flüssigkeits-Obersläche = 0 zu setzen ist.

Berlin im September 1869.

Der vorstehende Aufsatz war schon fertig niedergeschrieben, als ich eine sehr interessante Abhandlung des Hrn. G. van der Mensbrugghe 1) über die Oberslächenspannung der Flüssigkeiten durch die Güte des Hrn. Verfassers zugesandt erhielt. Derselbe behandelt Bewegungen an der freien Oberfläche von Flüssigkeiten, welche andere Flüssigkeiten, Kampherstückchen oder kleine feste Körper zeigen, und sucht von ähnlichen Gesichtspunkten ausgehend, wie ich es gethan, den Grund dieser Erscheinungen in der verschiedenen Größe der capillaren Spannung der Flüssigkeits-Oberfläche, die durch Auflösung geringer Mengen fremder Substanz erheblich modificirt werden kann. Die größere oder geringere Spannung der freien Flüssigkeits-Obersläche wird durch die von dem Hrn. Verf. entdeckte Methode der Gestaltsänderung geschlossener Curven nachgewiesen, welche aus dünnen an der Oberfläche der Flüssigkeiten schwimmenden Fäden gebildet sind. Außerdem enthält die Abhandlung eine recht vollständige Literatur der früheren Arbeiten über denselben Gegenstand.

Da wir unabhängig von einander auf ganz verschiedenen Wegen auf die Untersuchung derselben Erscheinungen geführt worden sind, so glaubte ich an meiner einmal niedergeschriebenen Darstellung nichts ändern zu sollen, um so mehr als sich meiner Meinung nach ohne Kenntniss der Größe der Capillar-Constanten der gemeinschaftlichen Oberfläche zweier Flüssigkeiten ein vollständiges Verständniss des Vorganges der Ausbreitung nicht erreichen lässt. Uebrigens sind die von Hrn. van der Mensbrugghe beschriebenen Versuche alle in Uebereinstimmung mit den im Vorstehenden entwickelten theoretischen Betrachtungen.

Die Hauptresultate der vorstehenden Untersuchung las sen sich folgender Maassen zusammenfassen:

<sup>1.</sup> An der gemeinschaftlichen Gränze zweier Flüssigkeiten 1 und 2 findet eine ähnliche Oberflächenspannung

<sup>1)</sup> G. van der Mensbrugghe, sur la tension superficielle des liquides. Mém. cour. et sav. étrang. d. Brux. t. XXXIV, p. 1 bis 67. 4°.

statt, wie in der freien von Luft begränzten Oberfläche einer Flüssigkeit.

- 2. Die Oberflächenspannung oder Capillur-Constante  $\alpha_{12}$  der gemeinschaftlichen Gränzfläche zweier Flüssigkeiten giebt mit der Summe der umgekehrten Hauptkrümmungsradien eines Punktes der Gränzfläche multiplicirt den capillaren Druck in der Richtung der Oberflächennormalen.
- 3. Die Größe dieser Capillar-Constante  $\alpha_{12}$  läßt sich nicht aus den Capillar-Constanten  $\alpha_1$  und  $\alpha_2$  der freien Oberfläche der beiden Flüssigkeiten unmittelbar bestimmen, sondern muß durch besondere Versuche gefunden werden. Sie kann alle möglichen Werthe zwischen 0 und  $\alpha_1 \alpha_2$  haben.
- 3. Ist  $\alpha_{12}=0$ , so sind die Flüssigkeiten 1 und 2 in jedem Verhältnifs mischbar, es bilden sich keine Tropfen oder Blasen der einen Flüssigkeit im Innern der anderen. Im Uebrigen scheint  $\alpha_{12}$  um so kleiner, je mehr die Flüssigkeiten mischbar sind, und stets kleiner als  $\alpha_1-\alpha_2$ .
- 4. Stofsen drei capillare Oberflächen in einem Punkte zusammen, so sind die Aufsenwinkel eines Dreiecks die Randwinkel der Flüssigkeitsoberflächen, dessen Seiten proportional den Capillar-Constanten der drei capillaren Oberflächen sind.
- 5. Eine Flüssigkeit 8 breitet sich auf der gemeinschaft- lichen Gränzstäche zweier Flüssigkeiten 1 und Zaus, sobald

 $\alpha_{12} < \alpha_{31} - \alpha_{23}$ 

- 6. Eine Flüssigkeit 2 breitet sich auf der freien Oberfläche einer Flüssigkeit 1 aus, sobald  $\alpha_{12} < \alpha_1 - \alpha_2$  ist.
- 7. Ordnet man die in jedem Verhältnis mischbaren Flüssigkeiten, für welche also  $\alpha_{12}=0$  ist, so dass jede folgende auf der freien Oberstäche der vorhergehenden sich ausbreitet, so muss man dieselbe Reihenfolge erhalten, wie wenn die Flüssigkeiten nach der Größe der Capillar-Constante ihrer freien Oberstäche geordnet wären.
- 8. Bleibt ein linsenförmiger Tropfen einer Flüssigkeit 2 auf der freien Oberfläche einer Flüssigkeit 1 liegen, ohne sich auszubreiten, so ist sicher in den meisten, wahrschein-

Whave

lich aber in allen Fällen die freie Oberstäche der Flüssigkeit 1 mit einer dünnen Schicht einer fremden Flüssigkeit 3 verunreinigt. Die Wirkung dieser fremden Flüssigkeitsschicht nimmt mit der Dicke derselben zu, bis zu einer bestimmten Gränze, die gleich dem doppelten Radius der Wirkungssphäre ist.

- 9. Breitet sich eine Flüssigkeit 2 in einer dünnen Schicht auf einem flachen Tropfen einer Flüssigkeit 1 in Luft oder auf einer flachen Luftblase im Innern derselben Flüssigkeit 1 aus, so nimmt die verticale Entfernung K-k des horizontalen und verticalen Theiles der capillaren Oberfläche ab. Die neue Gestalt der flachen Tropfen und Blasen läfst sich berechnen, sobald  $\alpha_{12}$  und  $\alpha_{2}$  bekannt sind.
- 10. Breitet sich eine Flüssigkeit 3 auf der Oberstäche eines stachen Tropfens einer Flüssigkeit 2 in einer Flüssigkeit 1 aus, so läst sich nur sagen, die Höhe K k des Tropfens der Flüssigkeit 2 nimmt ab. Die Gestaltsänderung läst sich in diesem Falle nicht immer im Voraus berechnen.
- 11. Die Capillar-Constante freier Flüssigkeits-Oberflächen, an flachen Tropfen oder Blasen bestimmt, sind gröfser als wenn man sie aus Steighöhen in frisch gezogenen Capillarröhren berechnet. Der Randwinkel der Flüssigkeiten gegen reine Glassfächen ist nur in seltenen Fällen = ().
- 12. Befinden sich in einer Capillarröhre 2 Flüssigkeiten übereinander, so hängt das über das allgemeine Niveau gehobene Flüssigkeits-Gewicht von der Geslalt der freien Oberfläche der oberen Flüssigkeit o und der gemeinschaftlichen Oberfläche der oberen und unteren Flüssigkeit o und u ab.
- 13. Das über das allgemeine Niveau gehobene Flüssigkeitsgewicht ist niemals durch die untere Flüssigkeit u allein bestimmt, wie Poisson angiebt; in manchen Fällen hingegen, wenn die Flüssigkeiten o und u in jedem Verhältniss mischbar sind, durch die obere Flüssigkeit allein.
- 14. Die mittlere Steighöhe der Flüssigkeiten o und u läst sich aus den an flachen Tropfen oder Blasen gemessenen Werthen a, und a., berechnen, wenn der Randwinkel der freien und der der gemeinschaftlichen Oberstäche beider

Flüssigkeiten gegen die Röhrenwand bekannt ist. Nur in wenigen Fällen ist dieser Randwinkel 0° oder 180°.

- Die Beobachtungen an Steighöhen in Capillarröhren und an flachen oder aus vertikalen Röhren fallenden Tropfen einer Flüssigkeit in Luft ergeben leicht einen zu kleinen Werth der Capillar-Constante, da sich fremde in Dampfform durch die Atmosphäre verbreitete Substanzen auf der krummen capillaren Oberstäche condensiren und die so entstandene auf der capillaren Oberfläche ausgebreitete dünne Flüssigkeitsschicht die Spannung der freien Oberfläche Diese Fehlerquelle ist bei gewöhnlicher Temvermindert. peratur größer als bei hohen Temperaturen, bei Flüssigkeiten mit großer Capillar-Constante bedeutender, als bei solchen mit kleiner Capillar-Constante, und erklärt die von früheren Beobachtern zu klein gefundenen Werthe der Capillar-Constanten bei einigen Flüssigkeiten wie Quecksilber und Wasser.
- 16. Diese Condensation von Dämpfen an der Oberstäche von Flüssigkeiten erklärt die verschiedene Gestalt linsenförmiger Wassertropfen auf Quecksilber und die sogenannten Hauchbilder.

# II. Ueber die D\u00e4mpfung der T\u00f6ne fester K\u00f6rper durch innere W\u00e4derst\u00e4nde \u00e1); von E. W\u00e4rburg.

Es ist eine bekannte Thatsache, dass die Tonschwingungen fester Körper, wenn sie nicht durch eine äusere Kraft unterhalten werden, allmählich erlöschen. Diess rührt offenbar theilweise davon her, dass der feste Körper fortwährend eine Quantität von seiner Bewegung an die Befestigungspunkte und an die Luft als Schall abgiebt. Es sind aber auch im Innern der festen Körper gewisse Kräfte vorhanden,

Die Versuche wurden im Laboratorium des Hrn. Geheimrath Magnus angestellt.

welche auf eine Dämpfung von Bewegungen im Innern dieser Körper hinwirken. Das Vorhandenseyn solcher innerer Kräfte folgt u. A., wie W. Weber gezeigt hat, aus der verschiedenen Schnelligkeit, mit welcher die Töne verschiedener Körper verklingen; ferner aus der Erwärmung der festen Körper durch das Tönen, welche von dem Verfasser nachgewiesen ist.

Die Kräfte, welche, im Innern der festen Körper thätig, auf das Erlöschen der Bewegungen im Innern derselben hinwirken, sollen im Folgenden als innerer Widerstand der festen Körper bezeichnet werden.

In Bezug auf den inneren Widerstand der festen Körper bemerkt Helmholtz<sup>1</sup>):

» Die vollkommnere Elasticität scheint besonders das Fortbestehen der höheren Töne zu begünstigen, da schnellere Schwingungen im Allgemeinen durch unvollkommne Elasticität und Reibung schneller gedämpft werden, als langsamere. «

Ein sicherer experimenteller Nachweis dafür, das höhere Töne durch den inneren Widerstand stärker gedämpft werden, als tiefere, ist dem Verfasser nicht bekannt, eben so wenig irgend eine Untersuchung der Ursache dieses Verhaltens.

Der erste Theil dieser Arbeit enthält experimentelle Belege für die erwähnte Erscheinung, der zweite Theil eine Untersuchung der Ursachen, welche dieselbe herbeiführen.

#### 1. Theil.

Um die Wirkung der dämpfenden Kräfte fester Körper auf Töne verschiedener Höhe kennen zu lernen, hat der Verfasser den Schall einer Schallquelle, welche Töne sehr verschiedener Höhe gleichzeitig ausgab, nämlich einer Spieluhr, durch Stäbe aus verschiedenem Material dem Ohre zugeleitet. Es mußte dabei vor Allem dafür gesorgt werden, daß der Schall der Uhr nur durch den leitenden Stab zum Ohre gelangte. Dazu diente folgendes Isolationsverfahren.

1) Lehre von den Tonempfindungen, S. 122.

Ein kreisförmig cylindrischer, 250<sup>mm</sup> hoher, oben offener, bis zum Rande mit Wasser gefüllter Beutel aus dünner Kautschuckplatte wird in einem dickwandigen, cylindrischen Glasgefäse hängend gehalten, indem der obere Rand des Beutels über den aufgeworfenen Rand des Glascylinders gezogen ist.

Wenn in diesen Beutel die durch ein Kautschuckfutteral geschützte, an Fäden hängende Spieluhr bis nahe an den Boden eingesenkt ward, so hörte ein danebenstehender Beobachter den Schall der Uhr gar nicht; erst durch einen dicht über der Wasserobertläche gehaltenen Trichter hörte man ein wenig von den höchsten Tönen, diese aber so sehwach, dass die Tonhöhe nicht mehr deutlich zu unterscheiden war.

Der Schall der Spieluhr wird an das Wasser kräftig übertragen, was u. A. daraus hervorgeht, dass dieselbe, in ein mit Wasser gefülltes Glasgefäs versenkt, durch Vermittlung von Wasser und Glas den umgebenden Medien starke Bewegung mittheilt. Auch die Seitenwände des Beutels werden ziemlich kräftig erregt; denn hängt man den Beutel frei in der Luft auf, so wird ziemlich viel Schall an dieselbe abgegeben. Wie in diesem Falle die freie Luft, so wird, wenn der Kautschuckbeutel sich in dem Glascylinder befindet, das Luftvolum zwischen Glas und Beutel durch die Seitenwände des letzteren stark erschüttert; da aber dieses Luftvolum mit der äußeren Luft nicht communicirt und ferner die dicken Glaswände nicht merklich zu erschüttern vermag, so geht von der Bewegung desselben nichts an den umgebenden Raum über.

Führt man bei frei hängendem Beutel, indem die Spieluhr in der Tiefe schwebt, das Ohr an den Seitenwänden
hinauf, so bemerkt man eine starke Abnahme des Schalles
von unten nach oben. Dieser Versuch zeigt den Grund
davon, dass durch die freie Wasseroberstäche so wenig
Schall an die Luft gelangt. Denkt man sich ein oben offenes Gefäs mit absolut starren Wänden mit Wasser gefüllt,
und an irgend einer Stelle des Wassers einen Stoss auf

dasselbe ausgeübt, etwa durch einen tönenden Körper, so wird dieser Stofs zwar nach allen Richtungen hin fortgepflanzt werden, aber wegen der Reflexion durch die starren Wände sich vorzugsweise an der freien Obersläche äußern. Sind aber die Wände nachgiebig, so werden dieselben seitlich ausweichen, und nach Maassgabe dieser Nachgiebigkeit eine Quantität Bewegung an die Luft abgegeben werden. Ist danach das Gefäss tief genug, und wird der Stoss an einer tiefen Stelle geführt, so wird nur wenig Bewegung an die freie Wasserobersläche gelangen. Selbst die starken Töne einer Wassersirene können durch das beschriebene Isolationsverfahren ziemlich vollständig von der Luft abgehalten werden. Man hängt die Sirene an Fäden in den Kautschuckbeutel; das Zuleitungsrohr für das Wasser ist von Kautschuck. Erst wenn die Sirene sehr rasch umläuft. treten die hohen Töne schwach in die Luft aus: von dem Vorhandenseyn der tieferen im Wasser überzeugt man sich, indem man ein in den Gehörgang eingesetztes, unten durch eine Membran verschlossenes Glasrohr in das Wasser führt.

An der in dem mit Wasser gefüllten Beutel befindlichen Spieluhr wird das eine Ende der zu untersuchenden Leiter passend befestigt, deren anderes Ende direct oder durch Vermittlung eines Resonanzbodens mit dem Ohre verbunden ist.

In dieser Weise wurde der Schall der Uhr durch einen 460<sup>mm</sup> langen, 6<sup>mm</sup> dicken Kautschuckstab dem Ohre zugeleitet: es wurde ausschließlich die tiefe Begleitung des kleinen Musikstückes gehört, welches die Uhr spielte. Untersucht man verschiedene Stellen des Streifens, so findet man, dass nur in der Nähe der Schallquelle etwas von den höchsten Tönen wahrzunehmen ist.

Um zu untersuchen, ob der Luftwiderstand Einflus auf diese Erscheinungen habe, wird die Spieluhr in einem luftleeren Gefäs an einem Kautschuckstreifen aufgehängt. Es gelangten durch den Aufhängepunkt und das Gefäs nur tiefe Töne an die Unterlage; ersetzte man den Kautschuckstreifen durch ein Bleirohr, so wurden nun hohe wie tiefe

أستسحمان

Tone von einem Beobachter wahrgenommen, der das Ohr auf die Unterlage legte.

Es ist daraus zu schließen, daß die Ursache der Schwächung der Töne bei der Leitung durch das Kautschuck nicht vom Luftwiderstande herrührt, sondern in der Natur des Kautschucks selbst begründet ist.

Stäbe aus Holz, Stahl, Glas, Blei, Wachs, von den Dimensionen des Kautschuckstreifens, pflanzten hohe wie tiefe Töne merklich gleichmäßig fort. Selbst bei der Leitung des Schalles durch einen 30<sup>m</sup> langen, schwach gespannten Kupferdraht von 0<sup>mm</sup>,2 Durchmesser war ein Unterschied in der Fortpflanzung höherer und tieferer Töne nicht zu erkennen. Als aber ein 11<sup>m</sup> langer Bleidraht von 1½<sup>mm</sup> Durchmesser zwischen der Schallquelle und dem Ohre eingeschaltet ward, war von den höheren Tönen nichts mehr wahrzunehmen, während die tiefe Begleitung vollkommen scharf hervortrat.

Dasselbe Verhalten, wie die Kautschuck- und die längere Bleileitung zeigte ein 4<sup>m</sup>,5 langes, schwach gespanntes Hanfseil; spannte man dasselbe ein wenig stärker, so traten sofort die höheren Töne zu den tieferen hinzu; der Kautschuckstreifen hingegen mußte sehr stark gespannt, nämlich auf etwa die dreifache Länge ausgezogen werden, damit die höchsten Töne sich auf etwas weitere Strecken in demselben fortpflanzten.

Mit diesen Versuchen hängt die ungleiche Schwächung zusammen, welche Töne verschiedener Höhe bei der Leitung durch Luft erleiden, die in Kautschuckröhren eingeschlossen ist.

Dem aus der Wasserobersläche hervorragenden Ende eines mit der Spieluhr verbundenen Holzstabes ward, ohne dasselbe zu berühren, das eine Ende einer offenen Glasröhre genähert. Wurde das andere Ende in den Gehörgang eingesetzt, so hörte man das ganze Stück der Spieluhr, nur dass, besonders bei kurzen Röhren, einzelne Töne durch Resonanz besonders hervorgehoben wurden. Ersetzte man hingegen das Glasrohr durch ein Kautschuckrohr, so wurden bei hinreichender Länge der Leitung nur die tieferen Töne

wahrgenommen. Bei gleicher Wanddicke der Kautschuckröhren hörte man durch ein engeres Rohr die höheren Töne stärker, als durch ein weiteres. Um diess zu zeigen, genügt es, zwei Röhren von verschiedenem innern Durchmesser gleichzeitig in beide Ohren einzusetzen und die freien Enden der Schallquelle zu nähern. Drückt man jetzt den einen oder den andern Schlauch zu, so kann man den Unterschied in der Stärke und Zusammensetzung des von beiden Leitungen fortgepflanzten Schalles beurtheilen.

Durch die Kautschuckwände hindurch findet eine beträchtliche Abgabe von Schall an die Luft Statt. Abgabe, welche in freier Luft nicht deutlich wahrgenommen ward, trat hervor, als man die Kautschuckröhren in ein weiteres Glasrohr einlegte; die freien Enden des cylindrischen, ringförmigen Raumes zwischen Kautschuck- und Glas rohr wurden durch Verkittung gegen den Eintritt des Schalls von außen geschützt. Setzte man mittels eines seitlich in dem Glasrohr angebrachten Tubus den genannten ringförmigen Luftraum mit dem Ohre in Verbindung, so ward der Schall kräftig wahrgenommen; diess fand nicht Statt, wenn auch das innere Rohr ein Glasrohr war. Liegt das Kautschuckrohr in dem Glasrohr, so wird durch das erstere mehr Schall wahrgenommen, als wenn dasselbe sich in freier Luft befindet: offenbar weil das Glasrohr die Zerstreuung der von den Kautschuckwänden abgegebenen Bewegung hindert.

Hiernach hat man sich den Vorgang bei der Leitung durch die Luft in Kautschuckröhren so vorzustellen, dass die nachgiebigen, schlecht reflectirenden Wände des Rohres durch die Schwingungen der Luft in Transversalschwingungen versetzt werden. Diese Transversalschwingungen des festen Kautschucks werden beim Fortschreiten geschwächt, und zwar die höheren Tonschwingungen nach den zuerst beschriebenen Versuchen viel rascher, als die tieferen. Es werden sonach dem System die höheren Tone bei der Leitung schneller verloren gehen, und die tieferen demselben länger erhalten bleiben. Dabei bleibt dahingestellt, ob vielleicht auch ein Unterschied in der Stärke der Reflexion durch die Kaut-

schuckwände für Tonschwingungen verschiedener Höhe Statt finde.

In ähnlicher Weise erklärt Helmholtz 1) den weicheren Klang der Holzpfeifen im Verhältniss zu den Metallpfeifen, windem die Wände der ersteren nicht so gut der Erschütterung durch die Schallwellen widerstehen, wobei die höheren Tonschwingungen leichter durch Reibung vernichtet zu werden scheinen.«

Es sind damit die Erscheinungen bei der Leitung des Schalles durch die Luft in Kautschuckröhren auf die Erscheinungen der Leitung des Schalles durch das feste Kautschuck zurückgeführt, und es handelt sich nunmehr um die Erklärung der ungleichen Schwächung von Tönen verschiedener Höhe bei der Leitung durch feste Körper.

#### 2. Theil.

Wenn Schwingungen einzig und allein durch elastische Kräfte unterhalten werden, so ist mit einer Verkleinerung der Schwingungsdauer in einem und demselben Körper stets eine Verkleinerung der Wellenlänge (schwingenden Abtheilung) und damit eine Vergrößerung der mittleren molekularen Verschiebung bei gleicher Amplitüde in den Schwingungsmaximis, untrennbar verbunden. Es war die Frage, ob in der Kleinheit der Schwingungsdauer, oder in der Kleinheit der Wellenlänge, oder in beiden Umständen die Ursache der stärkeren Dämpfung der höheren Töne gelegen Um diese beiden Momente zu sondern, hat der Verfasser magnetische Kräfte mit den elastischen combinirt und ist überdiess zu passend verlangsamten Torsionsschwingungen übergegangen, welche scharfen Messungen zugänglich sind. Denkt man sich an einem Faden einen Magneten aufgehängt, so kann man einzig durch Veränderung der Richtkraft des Magneten mittels eines passend gelegten anderen Magneten die Oscillationsdauer der Torsionsschwingungen ändern, deren diess System fähig ist. Anderseits kann man den Faden verkürzen und die dadurch entstandene Aenderung der

<sup>1)</sup> Lehre von den Tonempfindungen, S. 153.

Schwingungsdauer des Systems durch passende Verschiebung des äußeren Magneten compensiren.

Diese Idee ward mit einer Art Drehwage ausgeführt. Um die Länge der Fäden ändern zu können, wurden dieselben am oberen Ende an einer Stange befestigt, die in der Röhre vertikal verschiebbar war; das untere Ende trug einen Wagebalken, welcher zur Aufnahme des Magneten die Form einer Rinne hatte und außerdem mit einem versilberten vertikalen Glasspiegel versehen war. Der Wagebalken war aus Holz, 16<sup>mm</sup> breit, 9<sup>mm</sup>,5 hoch und 64<sup>mm</sup> lang; er wog 18sr,2. Der Magnet war 77mm lang und wog 3sr. Das Trägheitsmoment des Ganzen ist nicht ermittelt worden. Dieses gegen Erschütterungen möglichst geschützte System konnte durch äußere magnetische Einflüsse zu Torsionsschwingungen angeregt werden. Ein in das Gefäs der Wage eingeseiztes, planparalleles Glas erlaubte die Beobachtung der Ausschläge durch Skale und Fernrohr. Entfernung des Spiegels von der Skale betrug 1940mm.

Es wurde bei den Versuchen stets dafür gesorgt, dass in der Gleichgewichtslage des Systems der Faden ohne Torsion war. Wenn dieses bewirkt und der Wagebalken zur Ruhe gekommen war, ward derselbe durch einen angenäherten Magneten abgelenkt und die Ausschläge notirt. Die durch den äußeren Magneten regulirte Schwingungsdauer ward mit Hülfe einer Secundenuhr ermittelt. Die Größe der Amplitüden und die Entfernung des äußeren Magneten hielten sich stets in solchen Gränzen, daß der Isochronismus größerer und kleinerer Schwingungen nicht gestört ward. — Es wurden Kautschuckfäden und dünne Seiden, Glas- und Metallfäden untersucht.

Auf diese Weise hat sich zunächst ergeben, das innerhalb der Elongationen von 6° und 2° aus der Gleichgewichtslage, auf welche Gränzen die Beobachtungen beschränkt wurden, die Reihe der Ausschläge sich sehr genau durch eine geometrische Reihe darstellen läßt, ein Gesetz der Abnahme, welches schon Gauss und Weber für dünne Metall- und Seidenfäden gefunden haben.

# Zum Beleg dafür diene folgender Versuch.

Kautschuckfaden 325<sup>mm</sup> lang. Schwingungsdauer  $\tau = 8'',35$ .  $6\lambda = 0,081 \ 4021$ .

Beo	bachtet		Diff. in	
Skalenth.	Corrig. Skalth.	Berechnet Diff. in Skth.		Bogensek.
460	451,7			
379	374,3	374,5	+0,2	+10,4
313	310,3	310,5	+0,2	10 <b>,4</b>
<b>25</b> 8	256,4	257,4	+1	52
214	213,2	213,4	+-0,2	10,4
177	176,5	176,9	+0,4	20,8
146	115,8	146,7	+0,9	46,8

Die beobachteten Zahlen sind nach dem Tangentengesetz corrigirt (Rubrik corrigirte Skalenth). Das n fache logarithmische Decrement  $n\lambda$  ward aus einer Anzahl m beobachteter Ausschläge berechnet, welche um die Zeit  $n\tau$  (wo  $\tau$  die Dauer einer ganzen Schwingung bedeutet) von einander abstanden und zwar nach einer von O. E. Meyer zu ähnlichem Zweck benutzten Formel

$$n\lambda = \frac{2}{m \cdot m + 1} \cdot \sum_{r=1}^{p=n} \log \frac{a_0}{a_r}$$

wo  $a_0$ ,  $a_1 ldots a_m$  die beobachteten Ausschläge bedeuten. Mit dem so erhaltenen Werth von  $n\lambda$  ward eine Anzahl anderer, gleichfalls um die Zeit  $n\tau$  von einander abstehender Ausschläge berechnet. Man sieht, dass die Differenzen der beobachteten und berechneten Werthe sich durchweg innerhalb der Gränzen des möglichen Beobachtungssehlers halten, welcher, 1 Skalentheil entsprechend, bei den kleinsten Elongationen  $\frac{1}{135}$ , bei den größten  $\frac{1}{416}$  der ganzen Elongation betrug.

Danach wird die Bewegung des Systems dargestellt durch die Formel:

$$x = A \cdot e^{-it} \cdot \cos nt$$

1 1 0. 40 4 1

W0

- x die Elongation aus der Gleichgewichtslage in Winkelgraden,
- A die Elongation zur Zeit t=0,
- n die Schwingungszahl in der Zeit  $2\pi$ ,
- e eine Größe bedeutet, welche für jeden Versuch eine Constante ist.

In dieser Formel ist die Größe  $\varepsilon$  umgekehrt proportional der Zeit, innerhalb welcher die Amplitude von a auf  $\frac{1}{n}a$  reducirt wird, also Maaß der Dämpfung. Es setzt ferner jenes Gesetz, wie bekannt, eine dämpfende Kraft voraus, proportional und entgegengesetzt der Geschwindigkeit; Maaß der dämpfenden Kraft bezogen auf die Einheit der Geschwindigkeit ist das Product  $\varepsilon$ . M, wo M das Trägheitsmoment bedeutet. Da nun bei dem Versuchen nur die Länge der Fäden geändert ward, der Wagebalken aber nebet Kobehör immer derselbe blieb, so blieb auch dus Trägheitsmoment bei allen Versuchen merklich constant. Es kann danach die Größe  $\varepsilon$  sowohl als Maaß der Dämpfung, wie als Maaß der dämpfenden Kraft betrachtet werden.

Man könnte die relative Größe der dämpfenden Kraft, auf deren Ermittlung die Versuche hinzielen, herleiten, indem man unmittelbar die Zeit besbachtet, innerhalb deren die Amplitüde von a auf  $\frac{1}{n}a$  reducirt wird. Sicherer findet man jetze Größe aus dem logarithmischen Decrement, nämlich durch Division desselben durch die Schwingungsdauer. In dieser Weise hat der Verfasser die Bestimmung det Größe e ausgefährt.

Es war das erste Ziel des Verfassers, die Abhängigkeit der Dämpfung von der Schwingungsdauer ') aufzufinden, und wurden zu diesem Zweck zuerst Beobachtungen im lufterfüllten Raume angestellt.

Die folgenden Tabellen enthalten einen Theil der ermittelten Zahlen. L bedeutet die Länge der Fäden.

1) Aus Versuchen von W. Thomson (Phil. Mag. 1865, IV. series) über die Viscösität von Metalldräthen lassen sieh keine Schlüsse niehen zur Beantwortung der hier behandelten Frage.

Kautschuckfä	iden <b>L=</b> 328 <sup>mm</sup>	L=	164 <sup>mm</sup>	L =	82-m. 11842
τ	, &	τ	e	τ (	niversity
13,63	0,001 76	12,26	0,002 86		CHIGAN
8,72	0,001 49	8,3	0,002 38	7,6	0,003 26
5,13	0,001 27	5,17	0,001 88	5,23	0,002 88
2,87	0,001 28	2,7	0,001 5,7	2,65	0,002 11
Glasfaden	$L = 330^{\rm mm}$	Seidenfade	n L=330mm	Kupferfade	n¹) <i>L</i> =320 <sup>mm</sup>
τ		τ		τ	ε .
7,90	0,000 78	7,65	0,000 69	7,17	0,000 83
4,6	0,000 86	4,97	0,000 79	4 .	0,000 90

Bei näherer Betrachtung dieser Zahlen (welche im Allgemeinen in der fünften Decimalstelle um vier Einheiten unsicher sind) zeigt sich: Für Kautschuckfäden nimmt im Allgemeinen die Dämpfung mit wachsender Schwingungsdauer bedeutend zu.

Nur für den längsten untersuchten Kautschuckfaden (von 328<sup>mm</sup>) tritt für kleine Werthe der Schwingungsdauer keine Zunnhme mehr ein, sondern sogar eine kleine Abnahme.

Wie dieser längste Kautschuckfaden sich für kleine Werthe der Schwingungsdauer verhält, so verhalten sich alle übrigen untersuchten Fäden (feine Seiden-, Glas-, Metallfäden) für alle untersuchten Werthe der Schwingungsdauer, nämlich bei allen zeigt sich eine Abnahme der Dämpfung mit wachsender Schwingungsdauer.

Diese Complication der Erscheinungen konnte davon herrühren, dass die beobachtete Größe ε eine zusammengesetzte war. Die dämpfenden Kräfte, welchen das schwingende System unterliegt, sind nämlich theilweise außerhalb desselben, im Luftwiderstand, theilweise innerhalb desselben, im Faden gelegen. Es ist also die Größe ε die Summe

Die Durchmesser der angewandten Metallfäden betrugen kaum 10 mm die der Kautschuckfäden etwas über 1 mm.

zweier Größen, deren eine dem Luftwiderstand, deren andere, welche wir suchen, dem Faden zufällt. Es schienen nun die erhaltenen Resultate darauf hinzudeuten, daß die beiden Theile, aus denen die Dämpfung zusammengesetzt war, sich im entgegengesetzten Sinne mit der Schwingungsdauer änderten. Diese Vermuthung bestätigte sich, als der Verfasser die Versuche im luftleeren Raume anstellte.

Es wurde dazu der Drehwage folgende Gestalt gegeben (s. Fig. 5 Taf. I).

Die Röhre trug oben eine ringförmige Messingplatte; die obere Deckplatte war ebenfalls aus Messing, und beide Platten waren auf einander abgeschliffen. Die Deckplatte war durchbohrt und trug eine Stopfbüchse, in welcher eine 9mm dicke Stange aus Messing vertical verschiebbar war. An dem untern Ende dieser Stange befand sich die Vorrichtung zur Befestigung des oberen Fadenendes. Das Gefäss der Wage war ein cylindrisches Glasgefäs (220mm hoch; lichter Durchmesser 130mm) mit abgeschliffenem Rand; der Deckel desselben eine auf diesem Rand abgeschliffene Messingplatte 1). Von derselben führte ein T-förmiges Rohr einerseits zur Luftpumpe, anderseits zu einem Manometer; durch einen Metallhahn konnte der Apparat mit dem Manometer von der Luftpumpe abgeschlossen werden. Zur Beobachtung der Schwingungen war in das Glasgefäss nahe dem unteren Boden eine planparallele Glasplatte eingesetzt. Der Luftdruck konnte in diesem Apparat auf 1 erniedrigt werden und änderte sich nicht merklich während eines Versuchs.

Mit diesem Apparat hat sich ergeben, das im luftverdünnten Raum für alle Fäden die Dämpfung mit der Schwingungsdauer zunimmt. So ward beispielsweise erhalten <sup>2</sup>):

<sup>1)</sup> Der Magnet befand sich in den Versuchen 150<sup>mm</sup> unter der Messingplatte. Dieselbe hatte unter diesen Umständen keinen Einflus auf das
logarithmische Decrement der Schwingungen; denn dieses änderte sich
nicht, wenn man unter den Boden des Gefäses Kupserplatten schob,
die nur 70<sup>mm</sup> von dem Magneten entsernt waren. (Das Gefäs ist in
der Figur durch ein Versehen viel zu flach gezeichnet, so dass der Magnet der Messingplatte zu nahe gerückt ist.)

Bei diesen Versuchen ward ein etwas schwererer Magnetstab angewandt, als bei den übrigen.

Luftdruck = ½"  Kautschucksaden L=320mm Glassaden Metallsaden						
τ		τ	ε	τ	ŧ	
9",8	0,001 32	7",58	0,00051	8",18	0,000 38	
4 ,65	0,000 81	4 ,36	0,000 38	4 ,98	0,000 32.	

Es ist daraus zu schließen, dass die Dämpfung durch den inneren Widerstand mit der Schwingungsdauer zunimmt. d. h. dass durch denselben bei gleicher Fadenlänge die langsameren Schwingungen stärker gedämpft werden, als die rascheren 1). In Bezug auf dieses Ergebniss erinnert der Verfasser an die Ansicht, welche W. Weber<sup>2</sup>) über diejenige Ursache der Abnahme der Schwingungsamplitüden fester Körper aufgestellt hat, die in der Natur der festen Körper selbst begründet ist. W. Weber zeigt, dass das von ihm entdeckte Phänomen der elastischen Nachwirkung eine Verminderung der Schwingungsamplitüden herbeiführen müsse. Es ist nun a priori wahrscheinlich, dass die Nachwirkung einen um so stärkeren Effect äußern müsse, je langsamer die Schwingungen geschehen; was mit des Verfassers Versuchen, nach welchen langsamere Torsionsschwingungen eines Fadens durch den inneren Widerstand stärker gedämpft werden, als raschere, im Einklang ist.

Nimmt man an, dass bei den Dimensionen des angewandten Apparates der Luftwiderstand durch die Evacuirung ziemlich vollständig eliminirt wird, so kann man aus zwei correspondirenden Beobachtungen im lufterfüllten und luftverdünnten Raum die Dämpfung durch den Luftwiderstand angenähert herleiten. In der folgenden Tabelle bedeutet  $\alpha + \gamma$  die im lufterfüllten Raum,  $\gamma$  die im luftleeren Raum beobachtete Dämpfung. Die mit  $\alpha$  bezeichnete Columne enthält die Differenzen entsprechender Zahlen der beiden vorhergehenden Columnen.

Die angewandte Methode, den Luftwiderstand zu eliminiren, ist zwar nach O. E. Meyer (Pogg. Ann. Bd. 128, S. 576 ff.) nicht strenge, genügt aber, um den Sinn der Aenderung der gesuchten Größe mit der Schwingungsdauer nachzuweisen.

<sup>2)</sup> Pogg. Ann. Bd. 34.

#### Metallfaden.

τ	$\alpha + \gamma$	γ	α
8",7	0,00092	0,00061	0,00031
5 ,9	0,00096	0,00054	0,00043
4 ,9	0,00098	0,00052	0,00046
3,7	0,00103	0,00050	0,00054.

Es nimmt danach die Dämpfung durch den Luftwidesstand mit wachsender Schwingungsdauer ab. Diess ist in Uebereinstimmung mit den theoretischen Ergebnissen von Stokes'), nach welchen in der That durch die innere Luftreibung schnellere Schwingungen fester Körper in der Luftstärker gedämpft werden, als langsamere; und bei so langsamen Schwingungen, wie sie in den beschriebenen Versuchen angewandt wurden, ist die innere Luftreibung die einzige Ursache des Luftwiderstandes.

Es ändern sich folglich die Dämpfung durch den Luftwiderstand und die Dämpfung durch den inneren Widerstand im entgegengesetzten Sinne mit der Schwingungsdauer und es erklären sich sonach die im lufterfüllten Raum erhaltenen Resultate dadurch, dass bei den dünnen Metall-, Glas- und Seidenfäden die Aenderung der Dämpfung durch den Luftwiderstand die Aenderung der Dämpfung durch den inneren Widerstand überwog, während bei den stärker dämpfenden, dickeren Kautschuckfäden der umgekehrte Fall eintrat.

Es ist im Vorigen nur von der Abhängigkeit der von dem inneren Widerstand herrührenden Dämpfung von der Schwingungsdauer (bei constanter Fadenlänge) die Rede gewesen. Was die Abhängigkeit dieser Dämpfung von der Fadenlänge (bei constanter Schwingungsdauer) betrifft, so hat sich ergeben, dass die Dämpfung mit abnehmender Länge der Fäden zunimmt; d. h. dass bei gleicher Schwingungsdauer kürzere Fäden eine stärkere Dämpfung hervorbringen, als längere. So ward beispielsweise erhalten für Kautschuckfäden:

<sup>1)</sup> Transact. of the Cambridge Philos. Society t IX, part. II.

Luftverdännter Raum

τ =	= 5",9	τ =	<b>= 4</b> "
$oldsymbol{L}$	ε	L	F
310 160 85	0,000 86 0,00 199 0,00 295	310 160 85	0,000 71 0,00 154 0,00 214

Wenn man die Schwingungsversuche auf die Schallleitungsversuche anwenden will, so muß man die Annahme machen: daß die von dem innern Widerstand herrührende Dämpfung bei den tönenden Schwingungen fester Körper in demselben Sinne von der Schwingungsdauer und der Größe der schwingenden Abtheilungen abhängt, wie es sich für die langsamen Torsionsschwingungen herausgestellt hat.

Geht man von dieser Annahme aus, so kann die Ursache dawon, dass die höheren Töne bei der Fortleitung durch seste Conductoren stärker gedämpst werden, als die tieseren, nicht darin liegen, dass hei den höheren Tönen die Schwingungen rascher geschehen; denn es werden nach den Schwingungsversuchen gerade die langsameren Schwingungen hei gleicher Wellenlänge durch den inneren Widerstand stärker gedämpst, als die rascheren. Die Ursache davon kann vielmehr nur darin liegen, dass hei den höheren Tönen kleinere schwingende Abtheilungen (Wellenlängen) gebildet werden; nach den Schwingungsversuchen nämlich wird in kürzeren Wellen (bei gleicher Schwingungsdaner) eine größere dämpsende Kraft entwickelt, als in längeren ').

Wie bei einem und demselben Körper höhere Töne kleineren Wellenlängen entsprechen, so entspricht bei zwei verschiedenen Körpern die kleinere Schallgeschwindigkeit bei gleicher Tonböhe kleineren Wellenlängen. Es muß danach von zwei verschiedenen Körpern bei gleichem specifischen inneren Widerstand und unter sonst gleichen Um-

<sup>1)</sup> Es kommt dazu, dass die zu bewegende Masse einer kleinern schwingenden Abtheilung kleiner ist, als die einer größern, so dass aus doppeltem Grunde das Verhältnis der dämpfenden Kraft zu der bewegten Masse, von welcher die Dämpfung abhängt, für die kürzeren Wellen einen größeren Werth hat, als für die längeren.

ständen die Dämpfung gleich hoher Töne größer seyn für den Körper mit der kleineren Schallgeschwindigkeit.

Bei den Schwingungsversuchen haben alle angewandten Fäden qualitativ gleiches Verhalten in Bezug auf die Dämpfung gezeigt; bei den Schallleitungsversuchen hat sich ein Unterschied in dem Verhalten der verschiedenen angewandten Leitungen in so weit ergeben, als nur bei einer beschränkten Anzahl (Kautschuckstab, schwach gespanntes Hanfseil, dünner Bleidraht) ein Unterschied in der Dämpfung für die höheren und tieferen Tone bervortrat. Dieses Verhalten könnte davon herrühren, dass der specifische innere Widerstand für die Körper, aus denen die andern Leitungen gebildet waren, einen zu kleinen Werth hatte. Es ist aber wahrscheinlich nur darin begründet, dass die Fortpflanzungsgeschwindigkeit der Wellen bei den anderen Leitungen eine zu große war. Es muß nämlich mit wachsender Fortpflanzungsgeschwindigkeit der Wellen in den Schallleitungsversuchen der Unterschied in der Intensität des Schalles an den beiden Enden des Leiters aus doppeltem Grunde abnehmen: erstens nach dem oben Gesagten deshalb, weil mit der Fortpflanzungsgeschwindigkeit die Wellenlängen wachsen, zweitens deshalb, weil mit wachsender Fortpflanzungsgeschwindigkeit bei gleicher Länge der Schall leitenden Strecke die Wirkungszeit der dämpfenden Einslüsse abnimmt.

# III. Ueber die Fortpflanzungsgeschwindigkeit des Schalles in Röhren; von Dr. Adolf Seebeck.

Kundt hat bei seinen Versuchen über die Schallgeschwindigkeit der Gase gefunden, dass dieselbe in Röhren eine wesentliche Veränderung erleidet und seine Versuche bereits in dem Bericht der Königlichen Akademie der Wissenschaften zu Berlin vom 19. December 1867 mitgetheilt.

Schon ein Jahr früher hatte ich — allerdings zu einem anderen Zweck — auf Veranlassung des Hrn. Prof. Quincke Versuche angestellt, welche qualitativ dasselbe Resultat ga-

ben, dass nämlich die Schallgeschwindigkeit in Röhren geringer ist, als im freien Raume, und dass sie mit dem Querschnitt der Röhren abnimmt.

Leider fehlte es mir damals zur weiteren Ausführung dieser Arbeit an Zeit, und auch, als der erwähnte Aufsatz von Kundt erschien, dessen Angaben mit dem, was ich gefunden hatte, so gut übereinstimmten, war es mir nicht möglich, meine Versuche wieder aufzunehmen, sondern erst im vorigen Winter und Frühjahr konnte ich dieser Arbeit einige Mußestunden widmen.

Die Vermuthung, welche Kundt a. a. O. und auch später in der ausführlichen Beschreibung seiner Versuche 1) ausspricht, dass nämlich die Abnahme der Schallgeschwindigkeit durch Wärmeabgabe an die Röhrenwände bedingt sey, hat inzwischen Kirchhoff 2) einer theoretischen Untersuchung unterworfen, bei welcher er für die Fortpflanzungsgeschwindigkeit des Schalles die Formel findet:

$$a(1-\frac{\gamma}{2r\sqrt{\pi \cdot n}}),$$

wo

- a die Schallgeschwindigkeit im freien Raume,
- r den Radius des Röhrenquerschnitts,
- n die Schwingungszahl des betreffenden Tones und
- γ eine von der Wärmeleitung und Reibung abhängige Constante bedeutet.

Diese Formel stimmt mit der überein, welche früher von Helmholtz<sup>3</sup>) unter Berücksichtigung der Reibung abgeleitet worden ist, nur dass dort statt der Constanten  $\gamma$  eine andere k steht, welche die Reibungsconstante der Luft bedeutet.

Inzwischen ist ferner die umfangreiche Arbeit von Regnault über die Schallgeschwindigkeit in Röhren ') erschienen. Er hat ebenfalls gefunden, dass dieselbe in engeren

- 1) Pogg. Ann. Bd. 135, S. 337 und 527.
- 2) Ebd. Bd. 134, S. 177.
- 3) Verhandlungen des naturhistorisch-medicinischen Vereins zu Heidelberg, Bd. ill, S. 16 (27. Febr. 1863).
- 4) Mém. de l'académie des sciences de l'institut impérial de France T. XXXVII, première partie.

Röhren geringer ist, als in weiten. Seine Versuche beschäftigen sieh indessen theils mit starken durch Pulverexplosionen erzeugten Erschütterungen, theils mit musikalischen Klängen, die als eine Summe einfacher Töne anzuschen sind. So wichtig daher die Resultate der Regnault'schen Untersuchungen sind, so behandeln sie doch meist theoretisch ziemlich complicirte Phänomene und können daher nicht zur Prüfung der Kirchhoff'schen resp. Helmholtz'schen Formel benutzt werden, — Formeln, welche erstens einfache Töne voraussetzen, und weiter, dass der Querschnitt der betreffenden Röhre gleichmäßig bewegt wird. — In wie weit meine Versuche diesen Voraussetzungen entsprechen, wird aus der Beschreibung derselben zu ersehen seyn.

Den größten Theil derselben hatte ich bereits vollendet, als in diesen Annalen (Bd. 136, S. 296) ein Aussatz von Hrn. Sehneebeli erschien, welcher, durch Hrn. Kundt veranlaßt, dieselbe Frage mit der im Wesentlichen gleichen Methode untersucht hat.

Da indessen die Versuche des Hrn. Schneebeli, wenn auch vielleicht in einiger Beziehung mannigfaltiger, doch für die einzelnen Fälle nicht so genau und zahlreich zu seyn scheinen, auch jenen einfachen theoretischen Voraussetzungen nicht so vollkommen entsprechen, wie die meinigen, da mir ferner die Schlüsse, welche Hr. Schneebeli daraus zieht, nicht immer ganz scharf zu seyn scheinen, und da meine Resultate zum Theil andere sind; so halte ich die Veröffentlichung meiner Beobachtungen nicht für unangemessen.

Bevor ich indessen zu der Beschreibung derselben übergehe, fühle ich mich gedrungen, Hrn. Prof. Quincke den wärmsten Dank auszusprechen für die mannigfache Unterstützung, welche er mir bei dieser meiner Arbeit hat zu Theil werden lassen.

Die Messungen wurden mit einem Quincke'schen Interferenzrohr angestellt, wie solche in diesen Ann. Bd. 128, S. 190, Tab. VI Fig. 6 beschrieben sind; nur war die Gestalt meiner Röhren etwas anders und so, wie es in Fig. 6 Taf. I angedeutet ist.

Wird hier bei A ein Ton erregt, so wird derselbe an dem Stempel s bei B reflectirt werden, die directe und reflectirte Welle werden einen stehenden Wellenzug bilden, dessen Bäuche um ungerade Vielfache der Viertelwellenlänge des Tones  $\left((2n-1)\frac{\lambda}{4}\right)$  und dessen Knoten um gerade Vielfache derselben  $\left(2n\frac{\lambda}{4}\right)$  von dem Stempel entfernt sind.

Wird also der Stempel so eingestellt, dass die Strecke BC  $(2n-1)\frac{1}{4}$  beträgt, so wird das Ohr, welches mit der bei C abgezweigten Röhre CD durch einen Kautschuckschlauch verbunden ist, ein Minimum der Tonstärke empfinden. Denn in diesem Falle liegt bei C ein Wellenbauch, d. h. es findet hier ein Maximum der Bewegung, aber ein Minimum der Dichtigkeits- oder Druckänderung statt; von der Druckänderung aber muß die Bewegung des Trommelfelles abhängen, da dasselbe nur von einer Seite frei ist.

Ein solches Interferenzrohr giebt demnach ein Mittel in die Hand, durch Beobachtungen mit dem Ohr die Wellenlängen verschiedener Töne in verschiedenen Röhren zu bestimmen. Denn man braucht nur die Entfernung des Stempels von dem Zweigrohr (in Fig. 6 Taf. I, die Strecke BC) zu messen, nachdem man den Stempel so eingestellt hat, dass die Toustärke ein Minimum ist, so hat man damit die Viertelwellenlänge  $\left(\frac{\lambda}{4}\right)$  des Tones gefunden.

Ist aber die Viertelwellenlänge des betreffenden Tones bestimmt, so kann man daraus die Schallgeschwindigkeit (v) berechnen, wenn man nur die Schwingungszahl (n) des angewandten Tones kennt, denn es ist:

υ== u . λ.

Die angedeuteten Messungen lassen also eine Bestimenung der Schallgeschwindigkeit in verschiedenen Röhren, für verschiedene Töne zu und gewähren vor der von Kundt angewandten Methode 1) den Vortheil, dass hein Staub in den Röhren nöthig ist und dass man reine, nahezu einfache Töne

1) Pogg. Ann. Bd. 135, S. 337 und S. 527,

anwenden kann, welche die Kundt'sche Methode, die sich longitudinal tönender Stäbe bedienen muß, ausschließt.

Die Methode besitzt außerdem, wie aus den unten mitgetheilten Versuchen hervorgeht, eine genügende Genauigkeit. Indessen läßt sich nicht läugnen, daß bei der Berechnung der Schallgeschwindigkeit aus den Viertelwellenlängen sich alle etwaigen Beobachtungsfehler durch die Multiplication mit der Schwingungszahl des Tones bedeutend vergröfsern, — ein Mangel übrigens, mit dem alle indirecten Methoden behaftet sind.

Es kam mir daher vor Allem darauf an, die Einstellungen so genau, als möglich zu machen und eine so bedeutende Zahl von Versuchen anzustellen, dass das aus ihnen gezogene Mittel mit großer Wahrscheinlichkeit als richtig angesehen werden kann. Durch längere Uebung schärfte sich denn auch mein Ohr für die Einstellungen so weit, dass — besonders für die nicht zu tiefen Töne — die Einstellungen nur zwischen 1 bis 3 Millimetern schwankten und die Mittelwerthe aus verschiedenen Beobachtungsreihen nur sehr kleine Differenzen zeigten, welche — bei den Versuchen mit einfachen Glasröhren wenigstens — den Werth von 1 Millimeter kaum erreichten.

Hr. Schneebeli — auf dessen Arbeit ich hier noch einmal zurückkommen muß — hat seine Messungen derart angestellt, daß er ein Quincke'sches Interferenzrohr anwandte, wie es a. a. O. Tab. VI Fig. 6 angedeutet ist, und an dasselbe verschiedene Röhren ansetzte, in denen er mit einem Stempel immer zwei Einstellungen machte, von denen die eine der Entfernung  $\frac{\lambda}{4}$ , die andere der Entfernung  $3\frac{\lambda}{4}$  des Stempels von der Zweigstelle entsprach. Die Differenz beider Einstellungen giebt dann  $\frac{\lambda}{2}$ .

Diese Methode gewährt den Vortheil, dass die Zweigstelle selbst weiter gar nicht in Betracht kommt, dass also alle etwaigen Fehler, die von der Gestalt derselben herrühren könnten und ebenso ein etwaiger störender Einslus, den die Reslexion an dem Stempel veranlassen könnte, eliminirt werden. Dieser Vortheil ist indessen illusorisch, da bei den Einstellungen für  $3\frac{\lambda}{4}$  die Intensität der reflectirten Tonwelle bereits so geschwächt ist, dass die Einstellungen der erforderlichen Genauigkeit entbehren. Ich habe diese einmal bei meinen eigenen Beobachtungen erfahren, dann aber beweisen es die Versuchsreihen, welche Hr. Schneebeli mittheilt; namentlich halte ich die Messungen, welche in einer mit Tuch ausgekleideten Röhre angestellt sind, für unzureichend und daher auch die daraus gezogenen Schlüsse für unberechtigt  $^1$ ).

1) Ich habe zu den Versuchsreihen, welche Hr. Schneebeli mittheilt, die mittleren Fehler berechnet. Die erste derselben, welche in einem Messingrohr von 41,5mm Durchmesser mit der Gabel ut<sub>4</sub> (d. i. c<sub>2</sub>) angestellt wurde (Pogg. Ann. Bd. 136, S. 302), ergiebt für die Einstellungen auf \(\frac{\lambda}{4}\) den mittleren Fehler 2,1mm, für die auf 3\(\frac{\lambda}{4}\) 2,3mm.
Das giebt für die aus \(\frac{\lambda}{2}\) berechnete Schallgeschwindigkeit den mittleren Fehler 4,5met. Hr. Schneebeli berechnet aus dieser Versuchsreihe die Schallgeschwindigkeit:

 $v_{\rm o} = 330,27^{\rm met}$ 

ein Werth, der sich um nicht viel mehr als 2<sup>met</sup> von dem VVerthe der Schallgeschwindigkeit im freien Raume unterscheidet, also etwa um die Hälfte jenes mittleren Fehlers.

Ist schon hier die Unsicherheit der Bestimmung ziemlich groß, so ist dieß in noch viel bedeutenderem Maaße bei der Versuchsreihe mit einer tuchgefütterten Röhre der Fall. Denn dort sind die Abweichungen bedeutend größer und der mittlere Fehler für den berechneten Werth der Schallgeschwindigkeit würde sich jedenfalls so groß herausstellen, daß die auffallende Erscheinung einer Abnahme derselben unter den Newton'schen Werth von 270met mindestens als sehr zweiselhaft erscheinen würde. Eine Berechnung jenes mittleren Fehlers ist nach den gegebenen Zahlen nicht möglich, weil dieselben — wie es scheint mehrere — Druckschler enthalten, so daß die angegebenen Mittelwerthe mit denen, welche sich aus den Zahlenreihen berechnen lassen, nicht übereinstimmen. Das Gleiche gilt übrigens auch von jener zuerst erwähnten Versuchsreihe, nur sind dort die Abweichungen unbedeutender und die berechneten Mittelsehler werden daher der Wirklichkeit sehr nahe kommen.

Auf Messungen in einer tuchgefütterten Röhre komme ich später noch zurück (s. w. u.).

Ich wandte daher Röhren an von der in Fig. 6 Taf. I gezeichneten Gestalt, bei welchen, wie sich zeigen wird, die Einstellungen auf  $\frac{\lambda}{4}$  genügen, um diess zu bestimmen.

Bei dieser Gestalt der Interferenzröhre hat man den Vortheil, dass beide Schallstrahlen, der directe und reflectirte, keine Umbiegung zu erleiden haben, wodurch sie möglicherweise beeinstusst werden könnten.

Das Ende des Kautschuckschlauches, welcher über das Zweigrohr *CD* geschoben war, steckte ich in das rechte Ohr, während das linke mit einem Spiegellackpfropfen verstopft wurde.

Als Tonquellen wandte ich Stimmgabeln an, die an einen auf Kautschuckröhren liegenden Klotz festgeschraubt waren und ziemlich dicht vor dem offnen Röhrenende bei A aufgestellt wurden, wie diess in Fig. 6 Taf. I angedeutet ist. Sie wurden mit einem Hammer aus Kautschuck angeschlagen und ihre Zinken mussten dann so gegen die Oeffnung der Röhre stossen, dass — wie es die theoretische Entwickelung von Kirchhoff<sup>1</sup>) verlangt — anzunehmen ist, dass die Lusttheilchen eines Querschnittes im Rohre gleichmässig parallel der Röhrenaxe bewegt wurden<sup>2</sup>).

Bei weiteren Röhren allerdings, deren Durchmesser gröfser ist, als die Breite der Gabelzinken (circa 14<sup>mm</sup>) wird nicht mehr der ganze Querschnitt des Rohres gleichmäsig gestossen, sondern nur der mittlere Theil desselben, und es ist diess möglicher Weise von Einsluss auf die Schallbewe-

<sup>1)</sup> Pogg. Ann. Bd. 134, S. 177.

<sup>2)</sup> Befestigt man — wie diess Hr. Schneebeli gethan — die Gabeln auf Resonanzkästen und verbindet diese durch Kautschuckschläuche mit den Interserenzröhren, so ist der Effect zwar ungefähr derselbe, wie ich aus früheren zahlreichen Versuchsreihen ersehen kann. Da aber die Bewegung der Lust in dem Resonanzkasten einer Stimmmgahel nicht als überall gleichmäsig anzusehen ist und jedensalls nicht als eine solche, dass durch sie die Lust in dem Querschnitt der Röhre in jene einsache von der Theorie angenommene Bewegung versetzt würde, so habe ich bei meinen späteren, hier allein aussührlicher mitzutheilenden Versuchen immer jene zuvor beschriebene Art, die Gabelu auszustellen, angewandt.

gung in dem Rohre, wie aus den später folgenden Tabellen zu ersehen ist.

Neben der Röhre war parallel zu derselben ein Millimetermaasstäb aus Glas befestigt, an welchem die Einstellungen des Stempels abgelesen wurden. Der Stempel selbst war aus Kork und an einem Messingdraht beweglich.

Die Viertelwellenlänge wurde dann von der Mitte des engen 4 bis  $5^{\text{min}}$  inneren Durchmesser enthaltenden Zweigrohres CD an gerechnet; denn es ist anzunehmen, dass der Ton am schwächsten gehört wird, wenn gerade in der Mitte dieses Nebenrohres (in Fig. 6 Taf. I bei der Marke c) die Dichtigkeitsänderung ein Minimum ist, d. h. wenn hier ein Wellenbauch liegt.

Dafs diese Annahme gerechtfertigt ist, und dass die so gemessenen Werthe von  $\frac{\lambda}{4}$  mit denen übereinstimmen, welche man durch eine zweifache Einstellung auf  $\frac{\lambda}{4}$  und  $3\frac{\lambda}{4}$  erhält, davon habe ich mich durch eine Anzahl von Versuchen überzeugt, welche mit einer ziemlich hohen Gabel — nahezu  $b_2$  — angestellt wurden. Bei ihr war eine Einstellung auf  $3\frac{\lambda}{4}$  noch sehr gut möglich und fast ebenso genau, als auf  $\frac{1}{4}$ . Die folgende Tabelle I zeigt, dass zwischen den nach der oben beschriebenen Methode direct angestellten Messungen von  $\frac{\lambda}{4}$  und denen, welche aus zwei Einstellungen auf  $\frac{\lambda}{4}$  und  $3\frac{\lambda}{4}$  hervorgehen, ein irgendwie erheblicher Unterschied nicht besteht.

Tabelle I.

Versuche in einem Glasrohr, dessen innerer Durchmesser  $2r = 9,0^{ma}$ , mit einer Stimmgabel nahezu von der Höhe  $b_2$ .

1.	2.	3.
$\frac{\lambda}{\lambda}$ $3\frac{\lambda}{\lambda}$	$\frac{\lambda}{4}$ $3\frac{\lambda}{4}$	$\frac{\lambda}{2}$ $3\frac{\lambda}{2}$
$\frac{\overline{4}}{4}$	4 4	<del>4</del> <del>3</del> <del>4</del>
96um 285mm	95mm 284mm	96 mm 284 mm
. 95 284	96 285	94 286
96 <b>284</b>	95 288	95 284
96 285	95 287	95 <b>284</b>
96 284	95 285	96 287
96 <b>28</b> 5	95 286	95 285
95 287	95 285	9 <b>4 2</b> 85
96 286	96 286	96 284
95 287	96 284	95 · 286
96 286	95 286	94 285
95,7mm 285,4mm	95,3mm 285,6mm	95,0mm 285,0mm
, λ λ λ'	1 2 2 2'	$3\frac{\lambda}{1}-\frac{\lambda}{1}=\frac{\lambda'}{1}$
$3\frac{x}{4} - \frac{x}{4} = \frac{x}{2}$	$3\frac{\kappa}{4} - \frac{\kappa}{4} = \frac{\kappa}{2}$	$3\overline{4} - \overline{4} = \overline{2}$
== 189,7 <sup>mm</sup>	= 190,3°°	== 190,0 <sup>mm</sup>
1'	1 2'	1,
$\frac{}{4} = 94,85^{mm}$	$\frac{\lambda}{4} = 95,15^{mm}$	$\frac{\pi}{4} = 95,0^{\text{max}}$
1 1/	3 1/	λ λ'
4 4 - 1 0,00	4 4 4 - 4 0,10	4 4

4.		1 5	<b>).</b>
$\frac{\lambda}{4}$	$3\frac{\lambda}{4}$	$\frac{\lambda}{4}$	$3\frac{\lambda}{4}$
95mm	285mm	96mm	285mm
96	286	95	286
96	287	95	287
95	286	95	28 <del>4</del>
95	284	96	287
95	286	95	286
96	286	95	<b>284</b>
95	288	95	286
95	288	96	287
95	285	94	286
95,3 <sup>mm</sup>	286,1 <sup>mm</sup>	95,2mm	285,8mm
$3\frac{\frac{\lambda}{4} - \frac{\lambda}{4}}{\frac{\lambda'}{4}} =$	$\frac{\lambda'}{2} = 190,8^{mm}$ $95,4^{mm}$	$3\frac{\lambda}{4} - \frac{\lambda}{4} = \frac{\lambda'}{4} =$	$\frac{\lambda'}{2} = 190,6^{mm}$ $95,3^{mm}$
$\frac{\lambda}{4} - \frac{\lambda'}{4} =$	= 0,1 <b>==</b>	$\frac{\lambda}{4} - \frac{\lambda'}{4} =$	= — 0,1 <b>mm</b>

Die Versuche wurden nun so angestellt, dass immer eine Reihe von 10 Beobachtungen hintereinander folgte. Zu Anfang und zu Ende wurde an einem neben dem Interferenzrohr liegenden Thermometer die Temperatur abgelesen und nach der hieraus sich ergebenden Mitteltemperatur der Mittelwerth von  $\frac{\lambda}{4}$  auf 0 reducirt nach der Formel:

$$\lambda_0 = \frac{\lambda_t}{V \overline{1 + \alpha t}},$$

wo α den Ausdehnungscoëfficienten der Luft und t die Temperatur in Graden der hunderttheiligen Skala bedeutet.

Um eine Reduction auf trockne Luft überflüssig zu machen — es wäre dazu ein Psychrometer und Barometer nöthig gewesen, und diese standen mir nicht zu Gebote — legte ich in die Röhre einige Zeit vor Beginn der Versuche etwas Chlorcalcium; dasselbe wurde während der Versuche herausgenommen, in der Nähe der Röhre hatte ich aber noch eine kleine Schale mit Chlorcalcium aufgestellt, damit die Luft möglichst ausgetrocknet würde. Ich glaube übrigens, dass die geringe Feuchtigkeitsmenge, welche etwa mitunter nach einer längeren Reihe von Versuchen sich hätte ansammeln können, ohne wesentlichen Einfluss auf dieselben geblieben ist; wenigstens war an den Einstellungen ein solcher Einfluss nicht zu bemerken.

Die angewandten Gabeln  $c_2$ ,  $g_1$ ,  $e_1$ ,  $c_1$  sind von König in Paris angefertigt; es war daher nicht nöthig, ihre Schwingungszahlen (512, 384, 320, 256) noch besonders zu prüfen. Hr. Prof. Quincke hatte die Güte, mir dieselben zu leihen; ebenso verdanke ich ihm die Benutzung der vorher erwähnten Gabel von der ungefähren Höhe  $b_2$ , welche dem physikalischen Cabinet der Königlichen Gewerbe-Academie zu Berlin angehört.

In den folgenden Tabellen (II bis V) sind nun immer nur die Mittelwerthe für  $\frac{\lambda}{4}$  aus einer Reihe von 10 Beobachtungen angegeben; sie stehen in der Columne 1. Damit man die Genauigkeit der Versuche taxiren kann, ist immer

der mittlere Fehler einer solchen Beobachtungsreihe berechnet worden und in Columne 2 beigefügt. Columne 3 enthält die zugehörige mittlere Temperatur in Graden der hunderttheiligen Scala. Columne 4 endlich enthält den aus den Versuchen berechneten und auf  $0^{\circ}$  reducirten Werth v der Schallgeschwindigkeit.

Tabelle II. Versuche mit der Gabel  $c_2$  (n=512) in Glasröhren von verschiedenem Durchmesser (2r)

	a) 2r	= 3,4 <sup>mm</sup>		
1. Mittel aus 10 Beobachtungen für:  1 4	2. Zugehöriger mittlerer Fehler	8. Zugehörige mittlere Temperatur	berec	4. den Versuchen hneter und auf educirter Werth Schallgeschwin- digkeit (v)
163,3 ··· <b>*</b> 163,4 163,5 163,6 163,3	1,27mm 1,29 1,03 1,20 1,42	19°,95 20°,05 20°,25 20°,40 20°,50	Mittel:	322,9met 323,0 323,2 323,2 322,6 322,98met
•	b) 2r	= 9,0mm		
165,6 <sup>mm</sup> 165,8 165,7 165,8 165,8	0,49 <sup>mm</sup> 0,60 0,61 0,40 0,60	18°,40 18 ,45 18 ,65 18 ,70 18 ,65	Aittel:	328,3met 328,6 328,3 328,5 328,5 328,5
	c) 2r:	= 17,5**		•
168,0 <sup>mm</sup> 168,0 168,0 168,0 168,0	0,50 <sup>wm</sup> 0,50 0,50 0,67 0,50	22°,30 22 ,25 22 ,00 22 ,00 22 ,15	littel:	330,8 <sup>met</sup> 330,9 331,0 331,0 330,9
	d) 2r:	= 29,0mm		000,02
165,2 <sup>mm</sup> 165,2 165,2 165,2 165,2 165,2	0,60mm 0,40 0,40 0,40 0,40 0,40	20°,95 20°,95 20°,95 20°,95 20°,95		326,1 met 326,1 326,1 326,1 326,1

Mittel: 326,10met

# Tabelle III.

Versuche mit der Gabel  $g_1$  (n=384) in Glasröhren von verschiedenem Durchmesser (2r)

# a) $2r = 3.4^{mm}$

Mittel aus 10 Beobachtungen, für 1 4	Zugehöriger mittlerer <b>Fehler</b>	Zugehörige mittlere Temperatur	Aus den Versuchen berechneter und auf 0° reducirter Werth der Schallgeschwin- digkeit (v)
216,5 <sup>un ma</sup>	1,42 <sup>mm</sup>	23°,45	319,1met
216,4	1,30	23 ,25	319,1
216,0	1,36	23 ,05	318,6
216,5	1,14	22 ,95	319,5
216,0	1,12	22 ,80	318,7
215,5	1,35	21,45	318,7
215,5	1,27	21,75	318,6
215,9	1,36	22 ,00	319,0
216,1	1,63	22,75	318,9
216,1	0,67	22 ,85	318,9
215,9	1,12	22 ,65	318,7
215,7	1,40	22 ,50	318,5
			M' 1 910 00mat

Mittel: 318,86met

#### 4) 9r -- 9 0mm

	0,2,	0,0	
221,3 <sup>mm</sup>	0,61===	20°,30	327,9met
221,1	0,54	20,50	327.6
221,2	0.75	20 ,75	327,6
221,2	0.87	20 ,80	327,5
221,5	0,81	21 ,15	327,8

Mittel: 327,68met

## c) $2r = 17,5^{mm}$

223,0mm	0,67	21°,25	329,9met
223,0	0,50	21 ,35	329,9
223,0	0,50	21,50	329,8
223,2	0,61	21,60	330,0
223,0	0,50	21 ,65	329,7

Mittel: 329,86 met

## d) $2r = 29.0^{mm}$

220,5 <sup>mm</sup>	0,50mm	200,00	326,9met			
220,3	0.61	20 .20	326,5			
220.5	0.81	20 ,20	326.8			
220,3	0,61	20,05	326,6			
220,5	0,81	20 ,20	326,8			

Mittel: 326,72met

## Tabelle IV.

Versuche mit der Gabel e, (u = 320) in Glasröhren von verschiedenem Durchmesser (2r)

a) 
$$2r = 3.4^{\text{mm}}$$

Mittel aus 10 Beohachtungen für 1/4	Zugehöriger mittlerer Fehler	Zugehörige mittlere Temperatur	gen auf VVer	len Beobachtun- berechneter und 0° reducirter th der Schall- schwindigkeit (v)
257,5mm	1,69 <sup>mm</sup>	21°,70	1	317,2met
257,6	1,50	21 ,90		317,3
258,0	1,42	22 ,05		317,7
256,8	1,54	20,05	1	317,3
256,4	1,80	20 ,10		316,8
		Ī	Mittel:	317,26met 1)
	b) 2r	= 9,0mm		
264,7mm	1,34 <sup>mm</sup>	19°,60	1	327,2met
265,0	0,90	19 ,70		327,6
264,4	1,50	19 ,75	1	326,8
265,0	1,00	19 .75		327,6
264,3	1,01	19 ,70	1	326,7
264,7	1,06	19 ,70		327,2
		7	littel:	327,22met 1)
	c) 2r	= 17,5 mm		•
267,4mm	0,70 <sup>mm</sup>	22°,10	1	329,2met
267,4	0,54	22 ,30		329,1
267,6	0,70	22,50	1	329,3
267,7	0,40	22 ,65	1	329,3
267,8	0,46	22 ,80		329,3
		N	littel:	329,24met
	d) 2r	= 29,0mm		
263,3mm	0,46mm	19°,70	1	325,5 <sup>met</sup>
263,4	0,88	19 ,85	1	325,5
263,3	0,90	20 ,00	1	325,3
263,2	0,60	20 ,00	1	325,2
263,3	0.46	20 ,00	ł	325.3

Mittel: 325,36met

325,3

20 ,00

0,46

263,3

<sup>1)</sup> Bei den Differenzen, welche die einzelnen Werthe von v untereinander zeigen, ist die Zahl dieser Versuchsreihen wohl zu gering, um den Mittelwerth für vollkommen zuverlässig zu halten. Ich hatte die Absicht, diese Versuche zu wiederholen, zumal da sie zu einer Zeit angestellt wurden, in der ich noch weniger Uebung im Hören besafs Meine Ohren fingen aber in der letzten Zeit an, so empfindlich zu werden, dass ich davon abstehen musste.

## Tabelle V.

Versuche mit der Gabel  $c_1$  (n = 256) in Glasröhren von verschiedenem Durchmesser (2r)

a) 
$$2r = 9.0^{\text{mm}}$$

Mittel aus 10 Beobachtungen für $\frac{\lambda}{4}$	Zugehöriger mittlerer Fehler	Zugehörige mittlere Temperatur	Aus den Versuchen berechneter und auf 0° reducirter VVerth der Schallge- schwindigkeit (v)
329,6mm	1,02 <sup>mm</sup>	21°,05	325,2met
330,5	1,43	21 ,25	326,0
330,1	1,14	21 ,15	325,7
329,8	1,17	20 ,80	325,6
329,7	1,01	20 ,80	325,5
329,9	0,95	20 ,75	325,8

Mittel: 325,63 met 2)

## b) $2r = 17.5^{mm}$

332,5mm	0,45mm	21°,45	327,9met
332,6	0.54	21 ,70	327.8
333,0	1,03	22 ,45	327.8
333,2	0,90	22 ,80	327,8
333,4	0,54	23 ,10	327,8

Mittel: 327,82met

#### $c) 2r = 29,0^{mm}$

330.4mm	1,02mm	23°,40	324,7met
330.4	0.80	23 ,70	324,6
330,6	0.80	23 ,85	324,7
330.4	0,80	24 ,00	324,4
330,4	0.92	24 ,15	324.3

Mittel: 324,54met

Es ergiebt sich hieraus folgende Tabelle VI für die Fortpflanzungsgeschwindigkeiten verschieden hoher Töne in Glasröhren von verschieden großem Querschnitt und Tabelle VII für den Verlust, den die Schallgeschwindigkeit unter den betreffenden Umständen erleidet, wobei die Schall-

<sup>1)</sup> In der Röhre, deren Durchmesser 3,4<sup>mm</sup> beträgt, waren die Einstellungen für den Ton c<sub>1</sub> so unsicher, das ich davon abstehen musste, jene Versuche weiter fortzusetzen und hier zu berücksichtigen.

<sup>2)</sup> S. die Bemerkung zu Tab. IV, a) und b),

geschwindigkeit im freien Raume nach den Versuchen von Moll und van Beek und der Berechnung derselben von Schröder van der Kolk<sup>1</sup>) gleich:

332,77met

gesetzt ist.

Tabelle VI.

Werthe der Fortpflanzungsgeschwindigkeit (v) verschieden hoher Tone in Glasröhren von verschieden großem Querschnitt.

Innerer Durch- messer der Röhre 2 <i>r</i>	Gabel $c_1$ n = 256	Gabel e <sub>1</sub> n = 320	Gabel $g_1$ n = 384	Gabel $c_2$ $n \Rightarrow 512$
3,400		(317,26met)	318,86met	322,98met
9,0	$(325,63^{met})$	(327,22)	<b>327,6</b> 8	328,44
17,5	327,82	329,24	329,86	330,92
29,0	324,54	325,36	326,72	326,10

Anmerkung. Die eingeklammerten Zahlen besitzen aus den in der Bemerkung zu Tabelle IV, a) und b) angeführten Gründen nicht dieselbe Sicherheis, wie die anderen. Auch in den späteren Tabellen werden die entsprechenden Zahlen eingeklammert werden.

Tabelle VII.

Werthe des Verlustes an Schallgeschwindigkeit:

a - vwobei  $a = 332,77^{\text{met}}$  gesetzt ist.

Innerer Darch- messer der Röhre 2 <i>r</i>	Gabel $c_1$ n = 256	Gabel 6, n = 320	Gabel g, n = 384	Gabel $c_2$ $n = 512$
3,4 <sup>mm</sup>	_	(15,51 <sup>met</sup> )	13,91met	9,79mct
9,0	$(7,14^{met})$	(5,55)	5,09	4,33
17,5	4,95	3,53	2,91	1,85
29,0	8,23	7,41	6,05	6,67

Zunächst ist hieraus ersichtlich, dass die Schallgeschwindigkeit allerdings mit abnehmendem Durchmesser der Röhre geringer wird, aber nur, wenn man es mit ziemlich engen Röhren zu thun hat. Denn in der Röhre, deren Durch-

<sup>1)</sup> Pogg. Ann. Bd. 124, S. 453 bis 470.

messer 29,0<sup>mm</sup> beträgt, ist die Schallgeschwindigkeit noch bedeutend geringer, als in der mit dem Durchmesser von 17,5<sup>mm</sup>, ja sogar geringer, als in der mit dem Durchmesser von 9,0<sup>mm</sup>. In den Versuchen mit jener Röhre sind aber auch die Voraussetzungen nicht erfüllt, welche die Theorie macht; denn bei ihnen wurde nicht der ganze Querschnitt der Röhre gleichmäßig in Bewegung gesetzt, da die Gabelzinken nicht die Breite dieses Querschnitts besitzen.

Ob diess der eigentliche Grund ist, wesshalb der Werth der Schallgeschwindigkeit in dieser Röhre sich als so auffallend klein ergiebt; ob nicht vielmehr die Schallbewegung in einer weiten Röhre überhaupt eine derartige ist, dass die hier angewandte Messung derselben durch die Viertelwellenlängen gar nicht mehr statthaft ist: darüber lässt sich nach den obigen Versuchen nichts entscheiden. Auch andere Versuche in einem etwa eben so weiten Rohr, bei welchem sich in das Zweigrohr ein anderes enges Röhrchen beliebig tief einschieben liefs, so dass seine Oeffnung an verschiedene Stellen des Querschnitts der Hauptröhre gebracht werden konnte, - auch diese Versuche haben kein Resultat ergeben, welches Aufschlus über jene Frage gewähren könnte. Es würde hierzu wohl auch noch eine größere Genauigkeit der Beobachtung erforderlich seyn, als sie die hier benutzte Methode gewährt.

Dass es bei engeren Röhren nicht wesentlich darauf ankommt, dass der ganze Querschnitt derselben direct von den Gabelzinken in Bewegung versetzt wird, davon habe ich mich überzeugt. Ich klebte zu diesem Zwecke in die Oeffnung der Röhre mit dem Durchmesser von  $9.0^{\rm mm}$  zwei Korkstückchen, so dass dadurch diese Oeffnung eine Gestalt bekam, wie sie Fig. 7 Taf. I zeigt, also statt einer Kreisfläche nur ein Streifen derselben (abcd) von  $3^{\rm mm}$  Breite war. Eine solche Gestalt der Oeffnung muß — wenigstens nahezu — dieselbe Wirkung haben, als wenn die Gabelzinke nicht die volle Breite der Röhrenöffnung besitzt. Zwei Beobachtungsreihen mit der Gabel  $c_2$ , in der früher

beschriebenen Weise angestellt, geben beide für die Schallgeschwindigkeit:

und bei ganz offner Röhre ergab sich (s. Tab. II, b), als Mittelwerth:

Jene Gestalt der Oeffnung ist also bei dieser Röhre ohne Einfluss.

Welches nun der Grund jener abweichenden Erscheinung bei den weiten Röhren auch seyn mag, — jedenfalls lassen jene Zahlen einen weiteren Vergleich mit denen für die engeren Röhren nicht zu, und ich begnüge mich daher damit, zu prüfen, ob für enge Röhren die Kirchhoff'sche Formel Gültigkeit besitzt.

Nach dieser Formel ist der Verlust, den die Schallgeschwindigkeit in Röhren erleidet:

$$a-v=a\cdot\frac{\gamma}{2r\cdot\sqrt{\pi\cdot n}},$$

also umgekehrt proportional dem Durchmesser der Röhre und der Quadratwurzel aus der Schwingungszahl. Es müßte demnach für dieselbe Tonhöhe das Product:

$$(a-v)\cdot 2r$$

constant seyn, oder:

$$a - v_2 = \frac{2r_1}{2r_2}(a - v_1),$$

wo die Indices 1 und 2 zwei verschiedenen Röhren entsprechen.

Berechnet man nach dieser Formel die Werthe von a-v für die weiteren Röhren aus dem für die engste Röhre, so ergiebt sich folgende Tabelle VIII:

121

## Tabelle VIII.

a١	Ton	<b>a</b> .
a)	lon	Cs

1. lunerer Durch- messer der Röhre 2 r	2.  Berechneter  Werth von  a — v	3.  Beobachteter  Werth von  a — v	4. Unterschied des berechneten und beobachte- ten VVerthes von a — v	5. Entsprechender Unterschied des berechneten und heobachteter VVerthes von $\frac{\lambda}{4}$
3,4 <sup>mm</sup> 9,0 17,5	9,79 <sup>met</sup> 3,70 1,90	9,79met 4,33 1,85	-0,63 <sup>me1</sup> +0,05	0.31 <sup>mm</sup> 0.02
3,4 <sup>mm</sup>   9,0 17,5	13,91 <sup>met</sup> 5,25 2,70	h) Ton 13,91met 5,09 2,91	$\begin{vmatrix} +0.16^{\text{met}} \\ -0.21 \end{vmatrix}$	0,10 <sup>nim</sup> 0,14
3,4 <sup>mm</sup>   9,0 17,5	15,51 <sup>met</sup> 5,06 3,01	c) Ton 15,51 <sup>met</sup> 1,35 3,53	0,31met -0,52	0,24 <sup>mm</sup> 0,41 <sup>min</sup>
9,0 <sup>mm</sup> 17,5	7,14 <sup>met</sup> 3,67	d) Ton 7,14 <sup>met</sup> 4,95	-1,28 <sup>met</sup>	1,25 <sup>mm</sup>

Diese Tabelle zeigt, dass jene Forderung erfüllt ist, denn die Abweichungen liegen innerhalb der Gränzen der Beobachtungsfehler.

Anders verhält es sich mit der zweiten Forderung, welche die Kirchhoff'sche Formel stellt, dass nämlich jener Verlust auch umgekehrt proportional der Quadratwurzel aus der Schwingungszahl der betreffenden Töne sein soll. Danach müste das Produkt

$$(a - v) / n$$

für eine bestimmte Röhre constant seyn; es müßsten also in der folgenden Tabelle IX, welche die Werthe von  $(a-v) \slash n$  enthält, die Zahlen einer Horizontalreihe dieselben seyn.

Tabelle IX.

Werthe des *Broductes* (u-v) / n für verschieden hohe Töne und verschieden weite Röhren.

Innerer Durch- messer der Röhre 2 <i>r</i>	n = 256	n = 320	n = 384	n = 512
3,4 <sup>mm</sup>		(277,5)	272,6	221,5
9,0	(114,2)	(99,3)	99,7	98,0
17,5	79,2	63,1	57,0	41,9

Man ersieht, dass hier das Experiment keine Uebereinstimmung mit der Theorie giebt. Denn die obigen Zahlen werden offenbar kleiner mit wachsender Schwingungszahl. Nur der Werth 99,3, welcher der Gabel  $e_1$  und dem Röhren durchmesser 9,0<sup>mm</sup> entspricht, weicht hiervon ab, indem er etwas kleiner ist, als 99,7, welches der Gabel  $g_1$  in demselben Rohre entspricht. Es ist aber schon oben gesagt, dass die Versuche mit  $e_1$  in dieser Röhre nicht vollkommen sicher sind, so dass diese Abweichung wohl auf einen Beobachtungssehler zurückzuführen ist.

Ich habe natürlich zu ermitteln versucht, in welcher Weise nach meinen Beobachtungen die Schallgeschwindigkeit von der Tonhöhe abhängt. Es scheint, als ob der Verlust a-v umgekehrt proportional der  $\frac{3}{2}$ ten Potenz der Schwingungszahlen wäre, wonach für dieselbe Röhre das Produkt

$$(a-v)n^{\frac{3}{2}}$$

constant seyn müsste.

In der folgenden Tabelle X, welche die Werthe  $\frac{(a-v)n^2}{100}$  in runder Summe enthält, weichen davon nur die Zahlen ab, welche den Tönen  $c_1$  und  $e_1$  und den Röhrendurchmessern  $9.0^{\text{mm}}$  und  $3.4^{\text{mm}}$  entsprechen, also die Zahlen, die — wie schon mehrfach erwähnt — keine genügende Genauigkeit besitzen,

Tabelle X.

Werthe von  $\frac{(a-v)n^{\frac{3}{2}}}{100}$ 

Innerer Durch- messer der Röhre 2 r	n = 256	n = 320	n = 384	n = 512
3,4mm		(888)	1047	1134
9,0	(292)	(318)	383	398
17,5	203	202	219	214

Mag nun die oben ausgesprochene Vermuthung richtig seyn, oder nicht, — jedenfalls ist aus Tabelle VI ersichtlich, dass die Fortpslanzungsgeschwindigkeit der tieferen Töne eine geringere ist, als die der höheren. Dieses Resultat steht in Widerspruch mit einigen Versuchen von Regnault'), welcher findet, dass die tiefen Töne sich schneller fortpslanzen, als die hohen. Er ließ nämlich am einen Ende einer Röhrenleitung eine Trompete blasen und hörte am anderen Ende mit Hülfe von Resonatoren, die alle in das Ohr geleitet wurden, zuerst den Grundton, dann die Octave, dann die Duodecime usw. die höheren Obertöne. Er fügt indessen a. a. Q. selbst hinzu: » Mais ce fait peut provenir uniquement de ce que le tympan de l'oreille se mettrait plus vite à vibrer à l'unisson avec les notes graves qu'avec les notes aiguës. «

Hr. Prof. Quincke vermuthet, dass bierbei die Rauhigkeit der Röhrenwände eine bedeutende Rolle spielt. Dieselbe muß nämlich die Töne von größerer Wellenlänge bei der Reflexion weniger schwächen, als die von kleinerer Wellenlänge, d. h. die tiefen Töne erfahren bei dem Durchgang durch die Röhrenleitung einen geringeren Intensitätsverlust, als die höheren (vergl. hierüber Fresnel in Pogg. Ann. Bd. 12, S. 210). Nun findet aber Regnault, das mit der Intensität auch die Fortpslanzungsgeschwindigkeit abnimmt; daher werden die tiefen Töne cher gehört, als die hohen.

<sup>1)</sup> Mém. de l'académie des sciences de l'institut impérial de France T. XXXVII, première partie, pag. 433, bis 435.

Will man diese Erklärung nicht zulassen, so würde jedenfalls die Fehlerquelle, auf welche Hr. Regnault selbst aufmerksam macht, in meinen Versuchen wegfallen, und ich glaube daher die Frage, ob die tieferen oder höheren Töne sich in Röhren schneller fortpflanzen, zu Gunsten der letzteren entschieden zu haben.

Es leuchtet ein, dass dieses Resultat für die Theorie der Blasinstrumente von Wichtigkeit werden kann; denn es können danach die Obertöne einer schwingenden Luftsäule nicht den harmonischen Obertönen des Grundtones vollkommen entsprechen.

Der Werth der Größe  $\gamma$ , die in der Kirchhoff'schen Formel vorkommt, ergiebt sich aus den vorstehenden Versuchen zwischen 3,90 und 7,38, d. i. etwa halb so groß, wie die von Hrn. Schneebeli (a. a. O. S. 306, Tab. II) angeführten Zahlen.

Dass die Beschaffenheit der Röhrenwand von Einfluss auf die Schallgeschwindigkeit ist, geht aus Beobachtungen hervor, welche in dem Rohre mit dem inneren Durchmesser von 17,5mm angestellt worden sind, nachdem dasselbe mit Kupfer ausgekleidet worden war. Es wurde ein Streifen dünnen Bleches eingeschoben; derselbe legte sich ziemlich genau an die innere Fläche der Röhre an, wurde aber nur so breit genommen, dass ein schmaler Streif dieser Fläche (etwa 6mm breit) unbekleidet blieb; es geschah diefs, damit die Stellung des Stempels sichtbar wurde. An der Stelle, wo das Seitenrohr sich abzweigte, war das Kupferblech noch etwas mehr ausgeschnitten, so dass die Oeffnung dieser Röhre ganz frei war. Der innere Durchmesser der Interferenzröhre war jetzt natürlich etwas kleiner, als zuvor und betrug etwa 16 bis 17mm; eine genaue Messung desselben war nicht möglich, da sich das Blech nicht so vollkommen an die Glaswand anlegte.

Die Einstellungen waren in dieser Röhre unsicherer, als in den Glasröhren, wie diess auch aus den unten mitgetheilten mittleren Fehlern zu ersehen ist. Es wurden daher nur mit den höheren Gabeln  $c_2$ ,  $g_1$ ,  $e_1$  Versuche angestellt. Diese

gaben die in der folgenden Tabelle XI mitgetheilten Resultate. Die Anordnung der Tabelle ist genau so, wie die in Tab. II bis V..

Tabelle XI.

Versuche mit den Gabeln  $c_2$ ,  $g_1$ ,  $e_1$  in einer mit Kupferblech ausgekleideten Röhre.

(Innerer Durchmesser  $2r = 16 - 17^{mm}$ .)

#### a) Gabel c2

1. Mittel aus 10 Beobachtungen für 2 4	2. Zugehöriger mittlerer Fehler	3.  Zugehörige mittlere  Temperatur	4. Aus den Versuchen berechneter und auf 0° reducirter Werth der Schallge- schwindigkeit (v)
166,7 <sup>mm</sup>	1,41mm	23°,95	327,4met
166,7	0,85	24,30	327,2
167,5	0,93	20 ,15	331,1
166,3	0,90	20 ,30	328,6
166,6	0,92	20 ,45	329,1
166,6	0,67	20 ,55	329,1
167,1 • •	1,05	20 ,55	330,0
166,9	0,95	20 ,75	329,5
166,8	0,98	20 ,90	329,3
166,2	1,25	21,00	328,0
166,5	0,68	21 ,00	328,6
166,8	0,75	21 ,20	329,1

Mittel: 328,92met

also  $a-v=3,85^{\text{met}}$ 

#### b) Gabel g

221,2mm	1.08 <sup>mm</sup>	19*,55	328,2met
221,1	1,30	20 ,30	327,7
221.6	1,43	20 ,95	328,0
221,9	0,84	22 ,00	327,9
221,3	0,79	19,75	328,3
221,3	1,42	20 ,05	328,1
222,2	0.98	21 ,20	<b>328,</b> 8
221,7	1.27	21 ,50	327,9

Mittel: 328,11met

also:  $a - v = 4,66^{met}$ 

Armerkung. Diese Beobachtungen wurden erst später angestellt, als die mit den Gabeln c2 und e1; es ist daher wohl möglich, dass bei ihnen die Oberstäche des Kupsers sich schon oxydirt hatte und dass dadurch der Werth der Schallgeschwindigkeit einigermaassen modificirt worden ist.

c) Gabel e,

$\frac{1}{\lambda}$	2. Mittlerer <i>Fehler</i>	3. Mittlere Temperatur	4. Schallgeschwindig- keit (v)		
264,3mm	0,90mm	23°,05	324,9met		
264,2	0,88	23 ,05	324,8		
264,0	1,19	23 ,00	324,5		
264,8	1,08	23 ,90	325,0		
264,7	0,90	24,40	324,6		
264,3	1,49	22 ,95	325,0		
264,9	0,70	23 ,00	325,6		
264,8	0,88	22 ,95	325,6		
264,8	1,25	23 ,30	325,4		
265,0	1,10	23 ,65	325,4		

Mittel:  $325,08^{met}$  also:  $a - v = 7,69^{met}$ 

Es zeigt sich hieraus, dass die Schallgeschwindigkeit in dieser Röhre bedeutend kleiner ist, als in der nahezu gleich weiten Glasröhre und einen Werth annimmt, welcher etwa mit dem in einer Glasröhre von 9,0<sup>mm</sup> Durchmesser übereinstimmt (vergl. Tab. VI).

Das Gesetz, nach welchem die Abnahme der Schallgeschwindigkeit umgekehrt proportional der Quadratwurzel aus der Schwingungszahl seyn soll, bestätigt sich hier ebenfalls nicht. Denn das Produkt

$$(a - v) V n$$

ist für die Töne:

Dagegen ergiebt sich für den Werth von:

$$\frac{(a-v)n^{\frac{3}{2}}}{100}$$

bei:

Hier sind die Werthe für  $e_1$  und  $e_2$  sehr nahe dieselben und der für  $g_1$  kann möglicher Weise aus dem in Tab. XI, e) in der Anmerkung angeführten Grunde kleiner seyn. Es sprechen also auch diese Versuche für die Annahme, daß

in Röhren der Verlust an Schallgeschwindigkeit umgekehrt proportional der 3ten Potenz der Schwingungszahl ist.

Weiter habe ich noch Versuche angestellt in einer mit Flanell ausgekleideten Röhre, also in einer Röhre, welche jedenfalls eine sehr rauhe Obersläche besitzt. Es geschah dies hauptsächlich um die Angabe des Hrn. Schneebeli zu prüfen, welcher in einer mit Tuch gefütterten Röhre eine Schallgeschwindigkeit von:

#### 253,5met

#### findet.

Meine Röhre hatte ungefähr denselbeu inneren Durchmesser (13 bis  $14^{\text{mm}}$ ), wie die des Hrn. Schneebeli ( $12^{\text{mm}}$ ), und die Versuche wurden mit der gleichen Gabel  $c_2$  (oder  $ut_4$ ) angestellt. Ein schmaler Streif der Glasröhrenwand war auch hier nicht bekleidet, so dass die Einstellungen des Stempels gesehen werden konnten.

Ich lasse hier die Versuchsreihen selbst folgen, weil, wie mir scheint, die Mittel aus 10 Beobachtungen bei der geringen Genauigkeit der Einstellungen noch keinen Werth besitzen.

Tabelle XII.

Versuche in einer mit Flanell ausgekleideten Röhre.  $(2r = 13 - 14^{min})$  mit der Gabel  $c_2$ .

$\frac{\lambda}{4}$	Tempe- ratur	$\frac{\lambda}{4}$	Tempe- ratur	$\frac{\lambda}{4}$	Tempe- ratur
148 <sup>nm</sup> 143 144 147 149 142 146 146 148 149	18°,0	147mm 145 148 146 147 150 148 150 147	18°,0	149 <sup>mm</sup> 146 150 148 149 145 151 151 149	18°,1

1 4	Temperatur	$\frac{\lambda}{4}$	Temperatur
151 mm 147 149 152 151 150 148 151 147	18°,1 18 ,3	146mm 146 148 152 146 151 149 151 150	18°,3

Im Mittel ergiebt sich hieraus:

$$\frac{\lambda}{4} = 148,1^{mm}$$
 bei  $18^{\circ},15$ 

und daraus die auf 0° reducirte Schallgeschwindigkeit:

$$v = 293,7^{\text{met}}$$
.

Nimmt man aber selbst von allen Einstellungen die niedrigste, d. i.

$$\frac{\lambda}{4} = 142^{\min}$$
 bei  $18^{\circ},0$ ,

so ergiebt sich daraus:

$$v=281,7^{\rm met},$$

also immer noch ein Werth, welcher entschieden über dem Newton'schen von:

liegt.

Wenn ich daher auch glaube, dass die Reibung als solche von Einsluss auf die Schallgeschwindigkeit ist, so kann ich nach den obigen Versuchen doch nicht mit Hrn. Schneebeli übereinstimmen, wenn er (Pogg. Ann. Bd. 136, S. 306) sagt: "Da hier der Werth der Schallgeschwindigkeit noch weit unter den Newton'schen Werth von 270<sup>met</sup> gesunken ist, so ist klar, dass die Reibung, je nach der Beschaffenheit der Röhrenwand, auch ohne Wärmeaustausch einen bedeutenden Einsluss ausüben kann."

Endlich muß ich noch einen Punkt berühren, welcher möglicher Weise einen Einwand gegen die angewandte Beobachtungsmethode hervorrufen könnte. Man könnte meinen, dass durch die Reslexion am Stempel die Phase der dort schwingenden Lufttheilchen nicht — wie es die Theorie annimmt — um eine einer halben Wellenlänge entsprechende Größe geändert wird, sondern das hierzu noch eine Verzögerung tritt, so dass alsdann der Abstand des ersten Bauches von der Wand nicht eine Viertelwellenlänge, sondern weniger betrage, und dass in Folge dessen aus der Rechnung sich jener zu geringe Werth für die Schallgeschwindigkeit ergebe.

Dieser Annahme widersprechen indessen einmal die auf S. 112 in Tab. I mitgetheilten Versuche, bei welchen Einstellungen auf  $\frac{\lambda}{4}$  und  $3\frac{\lambda}{4}$  gemacht wurden. Jener Fehler müßte für beide derselbe seyn und daher in der Differenz  $3\frac{\lambda}{4}-\frac{\lambda}{4}$  verschwinden. Diese würde also einen Werth  $\frac{\lambda}{2}$  geben, welcher nicht dem direct gemessenen von  $\frac{\lambda}{4}$  entspräche, wie es doch bei jenen Versuchen in der That der Fall ist.

Andererseits würde es die genannte Annahme wahrscheinlich machen, dass jene Verkürzung der ersten Viertelwellenlänge von der Beschaffenheit der reslectirenden Substanz abhängig wäre. Dem aber widersprechen mehrere Versuchsreihen, die ich früher angestellt habe, und bei denen ich als reslectirende Substanz außer Kork auch Wasser und Quecksilber angewandt habe 1). Die Unterschiede blieben

 Natürlich war es dabei nöthig, eine Reduction auf trockne Luft anzubringen. Sie geschah nach der Formel

$$\lambda_{\bullet} = \lambda_{t} \sqrt{\frac{1 - \frac{3}{8} \cdot \frac{s}{p}}{1 + at}},$$

WO

λο die Wellenlänge bei 0° und in trockner Luft,

λ, die beobachtete Wellenlänge,

t die Temperatur in Graden der hunderttheiligen Scala,

a den Ausdehnungscoëssicienten der Luft,

s die Spannung des VVasserdampfes bei der Temperatur von to,

p den Barometerstand, welcher zu 760mm angenommen wurde, be-Poggendorff's Annal. Bd. CXXXIX.

dabei innerhalb der Gränzen der Beobachtungsfehler. Die Versuche mit Quecksilber waren nicht sehr zahlreich; für die Reflexion an Kork aber ergab sich aus 10 Beobachtungsreihen, jede zu 10 Einstellungen, für die Gabel c<sub>2</sub>:

$$\frac{\lambda}{4} = 160,78^{mm}$$
 bei 15°

und für die Reflexion an Wasser aus einer gleichen Reihe von Beobachtungen:

$$\frac{\lambda}{4} = 160,61^{mm}$$
 bei 15°.

Jene Annahme verliert also auch hierdurch an Wahrscheinlichkeit.

Ich möchte nicht unterlassen, hier noch einer eigenthümlichen Erscheinung, die mir mehrfach entgegen getreten ist, Erwähnung zu thun.

Ich habe, als die erwähnte Arbeit von Quincke über Interferenzröhren (Pogg. Ann. Bd. 128, S. 177) erschien, mitunter Zweifel darüber aussprechen hören von Physikern und Laien, ob die Anschauungen, welche dieser Arbeit zu Grunde liegen, der Wirklichkeit entsprächen. Es meinten viele Personen, man höre durch die Interferenzröhren nicht die Octave des betreffenden Tones, sondern einen ganz anderen Ton. Ich selbst gestehe, dass mir zuerst der Gedanke kam, es möchte hier durch einen ganz eigenthümlichen, vor der Hand nicht zu erklärenden Vorgang ein ganz anderer Ton erzeugt werden; ich glaubte nämlich anstatt der Octave einen Ton zu hören, der etwa um einen halben Ton höher war, als der Grundton. Ich überzeugte mich indessen von meinem Irrthum, indem ich die Töne, die ich im einen und anderen Falle hörte, leise mitsang und nun bemerkte, dass in beiden Fällen derselbe Ton erklang, nur schwächer, wenn Interferenz stattfand, so dass in diesem Falle die Octave deutlicher hervortrat.

deutet. Auch wenn Kork oder Quecksilber die reflectirende Substanz war, wandte ich damals diese Correction an; ich hatte nämlich die Röhrenwände immer mit Wasser besprengt, so daß anzunehmen war, daß der Wasserdampf in der Röhre das Maximum der Dichte besitze.

Eine ganz ähnliche Gehörstäuschung erreichte ich, indem ich eine Flasche mit dem Eigenton  $c_1$  vor eine tönende Gabel  $c_1$  hielt; dann tritt der Grundton voller hervor und die Octave verschwindet; zuerst aber schien mir dadurch die Tonhöhe um einen halben Ton zu sinken.

Es war mir möglich, diese Beobachtung, außer an mir selbst, an mehreren Bekannten und Schülern anzustellen, und ich fand, daße ein großer Theil derselben — und zwar namentlich musikalisch gut begabte Personen — sich in gleicher Weise täuschten, wie mir dieß zuerst ergangen war. Forderte ich sie dann auf, den Ton in beiden Fällen, mit und ohne Flasche, mitzusingen, so überzeugten sich die meisten von ihrem Irrthum und gaben nur einen Unterschied des Klanges an wie O und U, — ein Unterschied, den auch wenig musikalische Ohren wahrzunehmen leicht im Stande sind.

Es geht aus dem Gesagten hervor, dass das unbefangene Ohr ein Schwächerwerden des Grundtones verbunden mit einem Hervortreten der Octave als ein Steigen um etwa einen halben Ton auffassen kann, und dass man in diesem Falle erst einer gewissen Reslexion bedarf, um die richtige Bedeutung jener Klangänderung wahrzunehmen.

Als Ergebniss der vorliegenden Untersuchung lässt sich Folgendes zusammenfassen:

Die Fortpflanzungsgeschwindigkeit des Schalles ist in Röhren geringer, als im unbegränzten Raume und dabei abhängig:

- 1) von der inneren Obersläche der Röhre,
- von der Größe des Röhrenquerschnittes derart, daß der Verlust an Schallgeschwindigkeit — wenigstens in engen Röhren — umgekehrt proportional dem Röhrendurchmesser ist.
- 3) von der Höhe der Töne derart, dass sie geringer ist für tiefe, als für hohe Töne.

Dagegen entspricht die Schallgeschwindigkeit in Röhren nicht der von Kirchhoff berechneten Formel:

$$v = a \left(1 - \frac{\gamma}{2r \sqrt[r]{\pi n}}\right),$$

weil der Verlust an Schallgeschwindigkeit nicht, wie es diese Formel verlangt, umgekehrt proportional der Quadratwurzel aus der Schwingungszahl ist. Es scheint vielmehr, als ob dieser Verlust umgekehrt proportional der 3 ten Potenz der Schwingungszahl wäre.

Berlin, im Juni 1869.

## IV. Ueber die Brechungsindices und die Dispersion undurchsichtiger Körper; von W. Wernicke.

Lur Auffindung der Brechungsindices von Körpern, welche in solcher Dicke, wie sie zur directen Bestimmung mittelst der prismatischen Ablenkung erforderlich ist, undurchsichtig erscheinen, hat man bisher verschiedene indirecte Methoden in Anwendung gebracht. Die in den meisten Fällen benutzte ist die Bestimmung des Winkels der stärksten Polarisation oder des ihm nahe liegenden Haupteinfallswinkels') der Substanz, dessen Tangente man gleich dem Brechungsindex annimmt. Allein abgesehen von den Widersprüchen, auf welche die Vergleichung der nach dieser Methode bestimmten Brechungsexponenten der Metalle mit einer andern Bestimmungsweise führt, ist die Beobachtung des Polarisationswinkels sehr unsicher; selbst bei durchsichtigen Substanzen mit starker Brechung erhält man zuweilen Resultate, die schon in der ersten Decimale vom richtigen, durch die prismatische Ablenkung ermittelten, Werthe abweichen 2). --Dieselbe Unsicherheit tritt in noch höherem Maasse bei dem von Wollaston benutzten Verfahren der Bestimmung der Brechung mittelst der totalen Reslexion ein; die meister

<sup>1)</sup> Haughton, Phil. Trans. CLIII, 81 bis 125.

<sup>2)</sup> Cf. de Sénarmont, Ann. de Chim., Ser. II, t. LXVIII, p. 337.

undurchsichtigen Körper mit großem Brechungsvermögen liefern, mit der Hypotenusensläche des Prisma's in Berührung gebracht, gar keinen bestimmten Gränzwinkel der totalen Reflexion. - Noch weniger anwendbar ist das von Arago benutzte Verfahren, mittelst dessen derselbe nach den Formeln von Poisson aus dem Verhältniss der bei senkrechter Incidenz reflectirten Lichtmenge zu der durchgegangenen den Brechungsexponenten des Quecksilbers zu 5,829 bestimmt hat: wendet man diess Verfahren auf Silber an, welches etwa 95 Proc. Licht reflectirt, so findet man den Brechungsindex = 71,8, während die Methode des Polarisationswinkels nur den Werth 4,8 liefert. - Eine vierte, in neuerer Zeit von Quincke 1) ausgeführte Methode, zufolge welcher man die Geschwindigkeit des Lichtes im Metall durch die Fransenverschiebung bestimmt, welche zwei interferirende, ein directes und ein durch eine dünne Lamelle des Metalls gehendes, Lichtbündel hervorbringen, hat die Brechungsindices einiger Metalle in Uebereinstimmung mit den Cauchy'schen Formeln, aber im Gegensatz zu den Ergebnissen der Methode des Polarisationswinkels, kleiner als 1 geliefert. - Alle diese Methoden sind indess höchstens anwendbar, um im günstigsten Falle eine annähernde Vorstellung von der Größe der mittleren Brechung zu geben; für die Bestimmung der Dispersion ist keine, auch nur zur Ermittelung von Näherungswerthen, geeignet.

In der vorliegenden Arbeit stelle ich eine Methode dar, welche die Bestimmung der Brechungsindices und der Dispersion einer großen Anzahl derjenigen Gruppe von Körpern gestattet, welche den Metallen im Grade der Undurchsichtigkeit am nächsten stehen, wie die Protoxyde, Oxyde, Superoxyde und die Chlor-, Brom-, Jod- und Schwefelverbindungen der schweren Metalle. Die Methode beruht darauf, daß sich die genannten Substanzen auf die eine oder andere-Weise in gleichmäßigen dünnen Schichten herstellen lassen,

<sup>1)</sup> Monatsber. d. Berl. Acad. 1863, S. 125.

welche mit der Dicke der Schicht variirende Interferenzfarben zeigen. Untersucht man diese Farben mit dem Spectroskop, so erhält man Spectra mit abwechselnd hellen und dunkeln Streifen, aus deren Anzahl und Lage sich die Wellenlänge des Lichtes in der Substanz, also der Brechungsindex nicht nur en bloc, sondern auch für die verschiedenen Farben oder Fraunhofer'schen Linien ableiten lässt. Die Genauigkeit der Resultate, welche diese Methode liefert, hängt bei der ziemlichen Vollkommenheit der Herstellungsmethoden der dünnen Schichten fast nur von der Empfindlichkeit der Wage ab, welche zur Bestimmung der Dicke der Schichten jedem indirecten Verfahren vorzuziehen ist.

I.

Für die Bestimmung der Wellenlänge aus der Lage der Maxima oder Minima im Spectrum ist es zunächst nothwendig, die zwischen diesen Größen bestehenden Gleichungen mit Rücksicht auf elliptische Polarisation und Absorption herzuleiten. Da sich die Interferenzstreifen im Spectrum am besten im reflectirten Lichte bei senkrechter Incidenz beobachten lassen, so stelle ich die vollständigen Formeln nur für diesen Fall auf.

Ist s die Dicke der auf einem Metall befestigten dünnen Schicht der zu untersuchenden Substanz, so ist nach der Theorie der Farben dünner Blättchen die Intensität des bei senkrechter Incidenz reflectirten Lichtes:

$$I_r = \frac{(r+\varrho)^2 - 4r\varrho\sin^2 D}{(1+r\varrho)^2 - 4r\varrho\sin^2 D}.$$
 (1).

In diesem Ausdruck bedeuten r und  $\varrho$  die Amplituden des von der Schicht in Luft und von dem Metall in die Schicht reflectirten Lichtes, wenn die einfallende Lichtmenge = 1 gesetzt ist. r ist stets,  $\varrho$  nur dann positiv, wenn der Brechungsindex der Schicht zwischen denjenigen der beiden Gränzmedien, für gewöhnlich Luft und Metall, liegt;  $\varrho$  ist

negativ, wenn derselbe größer oder kleiner als jeder von beiden ist. Die Größe D ist  $=\left(\varepsilon+\frac{\delta_1-\delta_2}{2}\right)^{2\frac{\pi}{\lambda}}$ , worin  $\lambda$  die Wellenlänge des Lichtes in der Substanz und  $\delta_1$  resp.  $\delta_2$  die Verzögerungen bezeichnen, welche das Licht bei der Reslexion an der Metallsläche, resp. der Reslexion und Brechung an der Gränzebene der Substanz und Luft erleidet.

Die Formel (1) setzt voraus, dass die Substanz der dünnen Schicht vollkommen durchsichtig ist; um sie auch für solche Körper anwendbar zu machen, welche das Licht schon in geringer Dicke merklich absorbiren, muß der Absorptionscoëssicient eingesührt werden. Bezeiche k die durch eine Schicht von der Dicke 1 durchgehende Lichtmenge, so ist nach dem von Herschel und Brewster angegebenen und seitdem von Bunsen, Roscoe und Anderen bestätigten Absorptionsgesetze die Quantität des aus einer Schicht von der Dicke  $\varepsilon$  austretenden Lichtes  $= k^{\varepsilon}$ . Berücksichtigt man bei der Ableitung der Formel (1), dass die Amplitude bei jedem Hin- und Hergang des Lichtes durch die Schicht auf  $k^{\varepsilon}$  geschwächt wird, so erhält man für die ressective Lichtstärke den Ausdruck:

$$I_{r} = \frac{(r + \varrho k^{\ell})^{2} - 4r\varrho k^{\ell} \sin^{2} D}{(1 + r\varrho k^{\ell})^{2} - 4r\varrho k^{\ell} \sin^{2} D} . . . (2).$$

Das erste Differential dieser Größe nach  $\varepsilon$  liefert als gemeinsame Bedingung für die Maxima und Minima der Lichtintensität die Gleichung

$$0 = \sin^4 D$$

$$\frac{16r^{2}n^{2}(1-\varrho^{2}k^{2}\epsilon)^{2}+r(1+\varrho^{2}k^{2}\epsilon)\left\{r(1+\varrho^{2}k^{2}\epsilon)+\varrho(1+r^{2})k^{\epsilon}\left\{\lambda^{2}\cdot\log^{2}k\sin^{2}D\right\}\right\}}{16r^{2}n^{2}(1-\varrho^{2}k^{2}\epsilon)^{2}+r^{2}(1+\varrho^{4}k^{2}\epsilon)^{2}\cdot\lambda^{2}\cdot\log^{2}k} + \frac{1}{4}\cdot\frac{\left\{r(1+\varrho^{2}k^{2}\epsilon)+\varrho(1+r^{2})k^{2}\epsilon^{2}(2,\lambda^{2}\cdot\log^{2}k}{16r^{2}n^{2}(1-\varrho^{2}k^{2}\epsilon)^{2}+r^{2}(1+\varrho^{2}k^{2}\epsilon)^{2}\cdot\log^{2}k}, \right\}}{16r^{2}n^{2}(1-\varrho^{2}k^{2}\epsilon)^{2}+r^{2}(1+\varrho^{2}k^{2}\epsilon)^{2}\cdot\log^{2}k},$$
(3)

aus welcher sich für die Minima:

$$\sin^2 D = \frac{1}{2} \left( \frac{1 + a \cdot 1^2 \cdot \log^2 k + \sqrt{1 + \beta \cdot \lambda^2 \cdot \log^2 k}}{1 + \gamma \cdot \lambda^2 \cdot \log^2 k} \right) \cdot \cdot (4).$$

ergiebt, worin die Quadratwurzel den positiven Werth hat und die Coëfficienten  $\alpha$ ,  $\beta$ ,  $\gamma$  folgende sind:

$$\alpha = \frac{(1+\varrho^{2}k^{2})\left(1+\frac{\varrho}{r}+\varrho r+\varrho^{2}k^{2\varepsilon}\right)}{16\pi^{2}(1-\varrho^{2}k^{2\varepsilon})^{2}}$$

$$\beta = \frac{1-\frac{\varrho^{2}}{r^{2}}-r^{2}\varrho^{2}k^{2\varepsilon}+\varrho^{4}k^{4\varepsilon}}{16\pi^{2}(1-\varrho^{2}k^{2\varepsilon})^{2}}$$

$$\gamma = \frac{(1+\varrho^{2}k^{2\varepsilon})^{2}}{16\pi^{2}(1-\varrho^{2}k^{2\varepsilon})^{2}}.$$
(5)

Die Gleichungen (4) und (5) zeigen, dass der Einsluss der Absorption nur dann ein merklicher ist, wenn der natürliche Logarithmus des Absorptionscoëfficienten k einen dem reciproken Werthe der Wellenlänge  $\lambda$  aequivalenten Werth hat. Für alle Körper, welche bei der Dicke von  $4\lambda$  für Licht von der Wellenlänge  $\lambda$  noch merklich durchsichtig sind, verschwinden bei der Kleinheit der Coëfficienten  $\alpha$ ,  $\beta$ ,  $\gamma$  in der Gleichung (4) die mit  $\lambda^2$  multiplicirten Glieder fast völlig, und  $\sin D$  erhält für die Minima der Lichtintensitäten die Werthe +1 und -1, d. h. es wird das Argument D oder  $\left(\varepsilon + \frac{\delta_1 - \delta^2}{2}\right) \cdot \frac{2\pi}{\lambda}$  gleich einem beliebigen Vielfachen von  $\pi$ ; mithin

$$\varepsilon + \frac{\delta_1 - \delta_2}{2} = m \cdot \frac{\lambda}{2} \quad . \quad . \quad . \quad (6)$$

wo m jede ganze positive Zahl seyn kann. Die Größen  $\delta_1$  und  $\delta_2$  sind experimentell vermittelst der Formeln, welche die Theorie der elliptischen Polarisation liefert, nicht mit hinreichender Genauigkeit zu bestimmen; wenn sie es aber auch wären, so müßte man dennoch, um einen möglichst genauen Werth von  $\lambda$  zu erhalten, nach folgendem Raisonnement beobachten. Seyen  $\varepsilon_1$  und  $\varepsilon_2$  zwei Werthe von  $\varepsilon$ , welche der Gleichung (6) genügen, und  $m_1$  und  $m_2$  die dazugehörigen von m, so liefert die Subtraction, da  $\delta_1$  und  $\delta_2$  in beiden Fällen dieselben bleiben,

$$\lambda = 2 \cdot \frac{\epsilon_2 - \epsilon_1}{m_2 - m_1} \quad . \quad . \quad . \quad (7).$$

Nach dieser Formel sind die Unterschiede der Dicken  $\varepsilon_2$  und  $\varepsilon_1$  der Schicht, für welche die Minima der Lichtinten-

sitäten auftreten, der Wellenlänge proportional, was sich durch die Beobachtungen verificiren lässt.

Die Beobachtungen werden nun in folgender Weise angestellt. Hat man nach irgend einer der unten angegebenen Methoden eine dünne Schicht des zu untersuchenden Körpers hergestellt und betrachtet dieselbe im reslectirten Licht durch das Spectroskop, so erscheint anfangs das Sonnenspectrum unverändert im Gesichtsfelde; wenn die Schicht jedoch schon eine gewisse Dicke erreicht hat, so erscheint zuerst ein dunkler Streifen im brechbareren Ende, welcher bei wachsender Dicke der Schicht durch das Spectrum wandert nnd nach einer bestimmten Zeit an der ursprünglichen Stelle wieder zum Vorschein kommt. Lässt man die Dicke der Schicht noch weiter zunehmen, so treten allmählig zweidrei und mehr dunkle Streifen an verschiedenen Stellen des Spectrums auf. Die Streifen nehmen an Schärfe zu und sind namentlich wenn mehr als drei zugleich vorhanden sind, zuweilen so schwarz, dass man directes Sonnenlicht anwenden muss, um die darunter liegenden Fraunhofer'schen Linien zu erkennen; im Allgemeinen genügt Wolkenlicht, um ihre Lage im Spectrum festzustellen. Will man nun die Wellenlänge des Lichts in der Substanz für irgend eine Fraunhofer'sche Linie bestimmen, so lässt man die Schicht so stark werden, dass ein dunkler Minimalstreifen an dieser Stelle zum Vorschein kommt, tarirt die Schicht mit ihrem Träger auf einer für kleine Belastungen möglichst empfindlichen Waage, und verstärkt sie alsdann so lange bis der Streifen zum 2., 3. oder 4. usw. Male an derselben Stelle des Spectrums erscheint. Die Gewichtszunahmen geben die Größen  $\varepsilon_2 - \varepsilon_1$ ,  $\varepsilon_3 - \varepsilon_1$ ,  $\varepsilon_4 - \varepsilon_1$  usw., und die Differenzen m<sub>2</sub> — m<sub>1</sub> haben für diese Fälle die Werthe 1, 2, 3. Bei einiger Erfahrung hält es nicht schwer, die Zunahme der Schichten durch die Zeit zu bestimmen und auf diese Weise im Voraus den Moment zu erhalten, in welchem die Minima wieder an derselben Stelle im Spectrum zum Vorschein kommen.

Ist p die durch die Waage bestimmte Gewichtszunahme

der Schicht, nachdem ein Minimum m Mal eine bestimmte Fraunhofer'sche Linie passirt hat, s das specifische Gewicht, o die Oberstäche der Schicht, so ist der Brechungsindex der Substanz für die betreffende Linie

wenn  $l_a$  die Wellenlänge des Lichts in Luft für jene Linie bezeichnet.

#### II.

Zur Erzeugung der dünnen Schichten bieten sich bei verschiedenen Substanzen oft mehrere Methoden dar; dieselben sind jedoch nicht immer für die Herstellung guter Interferenzschichten brauchbar. Durch Erhitzen von Eisen an der Luft erhält man z. B. sehr dünne Schichten von Eisenoxyduloxyd, einem Körper, welcher auf electrolytischem Wege dargestellt, deutliche Interferenzspectra und schöne Farben liefert. Versucht man jedoch die dünne, nur die erste matte Farbenreihe zeigenden, durch Erwärmen des Eisens erhaltenen Schichten durch weiteres Erhitzen zu verstärken, so bekommt man weder die schönen Farben der zweiten Reihe, noch überhaupt Interferenzstreifen im Spectroskop. Der Grund hiervon ist leicht nachzuweisen; die durch Erhitzen erhaltenen Schichten sind nur an der Oberfläche reines Oxyduloxyd, im Innern erhalten sie weniger Sauerstoff; von einem Körper aber, welcher von der Oberfläche aus nach dem Innern zu continuirlich seinen Brechungsindex ändert, kann man die in Rede stehenden Interferenzerscheinungen nicht erwarten.

Die besten Interferenzschichten erhält man durch passende Einwirkung chemischer Agentien auf dünne Metallschichten, oder durch Electrolyse. Ich habe nach beiden Methoden zahlreiche Interferenzschichten hergestellt, beschränke mich aber hier auf die letztere, welche namentlich für die Sauerstoffverbindungen der schweren Metalle geeignet ist.

Nobili (Pogg. Ann. Bd. X) hat eine große Anzahl von

Flüssigkeiten beschrieben, deren Electrolyse farbige Ringe auf Platten von Gold, Platin und anderen Metallen liefert; allein dieselben sind für die Darstellung von Interferenzschichten nicht zu verwerthen. Es lässt sich nämlich leicht nachweisen, dass die Ringe, welche er an positiven Polplatten von Silber, Kupfer, Zink, Wismuth erhielt, aus den Sauerstoffverbindungen dieser Metalle bestehen und durch Oxydation der Platten durch den electrolytisch ausgeschiedenen Sauerstoff erzeugt sind, von der Substanz des angewandten Electrolyten aber gar nichts enthalten. Nobili statt der verschiedenen Lösungen verdünnte Schwefelsäure oder Alkalilösung genommen, so würde er bei entsprechender Stromstärke dieselben Ringe erhalten haben. Nur die wenigen Niederschläge, welche er auf Gold oder Platin erhielt, machen hiervon eine Ausnahme. — Ich stelle im Folgenden die Methoden dar, wie man die für die optischen Untersuchungen brauchbaren Interferenzschichten am zweckmässigsten erhält und wie man ihre optischen Constanten und ihr specifisches Gewicht bestimmt.

#### 1. Kupferoxydul.

Zur Herstellung der Interferenzschichten dieses Körpers kann man zwei verschiedene Wege einschlagen. In beiden Fällen dient als Zersetzungssstüssigkeit eine Auflösung von 30sr Natronhydrat, 60sr Seignette Salz und 25sr Kupferviriol in 500 CC. Wasser. Wendet man als Kathode ein, etwa 1 Quadratdecimeter großes dünnes Platinblech und als Anode zwei ') in der Entfernung von 2 Centimetern auf beiden Seiten vom Mittelpunkte des Bleches abstehende Kupferspitzen (jede von einigen Quadratmillimetern Ober-

<sup>1)</sup> Ich muss hier bemerken, dass die Gesetze der Stromvertheilung in sesten Leitern für diese und ähnliche Flüssigkeiten gar nicht anwendbar sind; der Einfluss der Polarisation ist ein so überwiegender, das selbst bei Anwendung einer Spitze beide Seiten der Kathode sich fast gleichmäsig färben. Es ist diess um so mehr der Fall, je schwächer die Stromstärke ist und je langsamer die Zersetzung vor sich geht,

fläche), so wird durch den Strom eines kleinen!) Bunsen'schen Elements nur so viel Wasserstoff auf dem Platinblech verdichtet, dass derselbe das Kupferoxyd zu Oxydul zu reduciren vermag. Man kann anfangs die Oberfläche der Anode etwas größer nehmen, weil der erste Niederschlag langsamer erfolgt; später verkleinert man die Anode bis zur angegebenen Größe, um sicher zu seyn, dass kein metallisches Kupfer neben dem Oxydul reducirt wird. Nimmt man die Anode zu groß, so erhält man zwar anfangs reines Oxydul, später aber reducirt der dichter auftretende Wasserstoff das Oxyd ganz oder theilweise zu Metall. Die Gränze beider Processe ist jedoch eine ziemlich weite, und außerdem lassen sich auch die geringsten Spuren metallischen Kupfers durch aufgelegtes Jod erkennen, welches das Oxydul völlig unverändert lässt, während es das Metall sofort in Jodür verwandelt.

War die Oberstäche des Platins hinreichend rein (die Reinigung geschieht am besten durch Reiben mit Leinwand unter Sodalösung und dadurch, dass man die Platte einige Zeit als Kathode in einer Alkalilösung electrolytisch mit Wasserstoff bedeckt), so erscheinen die Farben bald in der Reihenfolge: gelb, braun, purpur, blau usw. 2) und wiederholen sich innerhalb einiger Stunden drei bis vier mal ziemlich unverändert; bei weiter zunehmender Dicke wechseln nur blassgrün und blassroth, welche nach etwa 5 bis 6 Stunden in einander übergehen und ein dem metallischen Kupfer täuschend ähnliches blasses Braunroth bilden. Betrachtet man die Schicht alsdann mit dem Spectroskop, so zeigen sich zwischen den Fraunhofer'schen Linien F und B vier

Der Widerstand der alkalischen Kupferlösung ist so bedeutend, daße ein Stückchen Kupfer oder Zinkdraht dieselbe Wirkung liefern, wie ein großes Daniell'sehes Element, wenn man in beiden Fällen gleiche Erregungsflüssigkeiten anwendet.

Alle untersuchten Substanzen zeigen zuerst die Farben der Newton'schen Ringe im durchgehenden Licht, wenn die Reflexion von einem Metall stattfindet.

donkle Streifen. Man kann indess die Schicht mehr als doppelt so stark werden lassen und alsdann in dem genannten Intervalle 8 bis 9 Minimalstreisen erhalten. Ein solches Spectrum ist wegen der Begränzung der dunklen Streisen durch die starken Lichtintensitäten der Maxima weit brilanter als ein gewöhnliches Absorptionsspectrum. Am prächtigsten wird das Spectrum sowohl wie die Farben, wenn die Reslexion von Silber stattsindet; man benutzt für diesen Zweck als Träger der Schicht am besten dünn versilbertes Glas, welches hinreichend gut leitet und überdiess die Untersuchung der Schichten im durchgehenden Lichte ermöglicht.

Die Befreiung der Obersläche des Platins von Verunreinigungen, welche der Bildung einer gleichförmigen Schicht besonders hinderlich sind, gelingt am leichtesten, wenn man dieselbe mittelst einer alkalischen Kupferlösung vorher verkupfert. Statt des Platins wendet man ferner mit Vortheil gewöhnliches Stanniol an, das man vor der Verkupferung nur oberflächlich durch Anhauchen und Putzen mit einem mit wenig Schlämmkreide bestäubten Leinwandballen reinigt. Das Verkupfern des Stanniols geschieht durch den Strom eines schwach geladenen Bunsen'schen Elementes in einer alkalischen Kupferlösung; das Stanniolblatt bedeckt sich gleichmäsig mit einem glänzenden Kupferüberzuge und mit verdichtetem Wasserstoff, welcher, zugleich mit dem Kupfer niedergeschlagen, weit besser an der Platte haftet als ohne dieses, d. h. wenn man das Stanniol in Natronlösung durch den Strom mit Wasserstoff bedecken würde. Nach 10 bis 15 Minuten unterbricht man den Strom und bängt das verkupferte Stanniol sogleich, ohne abzuspülen, in die oben beschriebene Kupferlösung. Die Reduction durch den an der Platte haftenden Wasserstoff beginnt bald; das Kupfer färbt sich allmählich schön goldgelb, roth, blau, fast weiß, grünlich gelb und wieder goldgelb. Die Zeit, während welcher sich diese Farben entwickeln, beträgt etwa 50 Minuten: die Entwickelung schreitet zwar langsam noch weiter fort; man unterbricht sie aber am besten bei dem zweiten

Goldgelb, wo im Spectroskop ein Minimum in der Nähe der Linie F erscheint, und bedeckt die Platte lieber, wenn man sogleich stärkere Schichten haben will, von neuem mit Wasserstoff. Hierzu wendet man am besten eine Natronlösung vom spec. Gew. 1,035 an, welche vorher mit dem gleichen Volumen Wasser verdünnt ist; ist die Lauge oder der Strom zu stark, so kann das Kupferoxydul zu Kupfer reducirt werden. Bei den angegebenen Daten genügen 10 Minuten, um die Kupferoxydulschicht mit einer Wasserstoffschicht zu bedecken, welche innerhalb einer Stunde aus der Kupferlösung eine Schicht Oxydul von der Dicke einer halben Wellenlänge reducirt.

Diess Verfahren kann nebenbei als bequemer Vorlesungsversuch dienen, um den an der Oberstäche eines Metalls verdichteten Wasserstoff sichtbar zu machen, und die Menge desselben quantitativ zu bestimmen.

Zur Ausmittelung des specifischen Gewichts des Kupferoxyduls wurde das absolute Gewicht sowie der Gewichtsverlust eines Platinbleches im Wasser durch mehrfache Versuche bestimmt, und dasselbe alsdann mit einer (durch 12 bis 36 stündige Einwirkung des Stroms erhaltenen) stärkeren Oxydulschicht überzogen. Wenn die Schicht undurchsichtig wird, so geht die Kupferfarbe in ein dunkles Violet über; die geringsten Spuren von metallischem Kupfer, welche in Folge eines zu starken Stromes etwa beigemengt seyn könnten, würden das schöne Violet in ein hässliches Schwarzbraun verändern. Hat die Schicht die gewünschte Dicke erreicht, so wird das absolute Gewicht und der Gewichtsverlust der ganzen Platte bestimmt. Aus vier, mit Schichten von verschiedener Dicke angestellten und in ihren Resultaten fast völlig übereinstimmenden Versuchen ergab sich die Dichtigkeit des Kupferoxyduls (bei 15°C.)

s = 5,975.

Zur Bestimmung der Brechungsindices wurde ein rechteckiges Stanniolblatt mit den Seiten 10,72 und 7,76 Centim. verkupfert und dann auf demselben eine gleichmäßige Schicht von Kupferoxydul befestigt. Die Gewichtszunahme betrug, nachdem der Minimalstreifen i I mal durch die Linie F gegangen war,  $0.08975^{gr}$  und nach 7 maligem Durchgange des Streifens durch die Linie C,  $0.08970^{gr}$ . Aus diesen Zahlen berechnen sich mit Zugrundelegung der Gleichungen (8) und (9) und der Fraunhofer'schen Zahlen für die Wellenlängen jener Linien in Luft die Brechungsexponenten für F und C zu 2.963 und 2.558.

Ein zweites rechteckiges Stanniolblatt, dessen Gesammtoberfläche 18230 Quadratmillimeter betrug, lieferte für die Linien E und D nach 9 maligem resp. 6 maligem Durchgange des Minimalstreifens berechnet, für die Brechungsindices jener Linien die Zahlen 2,816 und 2,705.

Eine dritte Platte von 21946 Quadratmillimeter Fläche gab für B den Werth 2,534, so dass die Brechungsindices des Kupferoxyduls (Cu<sub>2</sub>O) die folgenden sind

Fraunhofer'sche Linie	Brechungsindex
· B	=2,534
$oldsymbol{c}$	<b>2,</b> 558
D	2,705
$oldsymbol{E}$	2,816
$oldsymbol{F}$	2.963.

Die Brechung wie die Dispersion des Kupferoxyduls ist demnach, wenn man von den zweifelhaften Bestimmungen der Brechungsexponenten der Metalle absieht, die größte, welche bis jetzt bei einem festen Körper beobachtet ist.

### 2. Bleisuperoxydhydrat.

Bekanntlich erhält man durch electrolytische Zersetzung einer Lösung von Bleioxyd-Kali am positiven Pole eine Reihe von Farben, welche gewöhnlich zur Darstellung der Nobili'schen Ringe benutzt werden. Die zu diesem Zweck dienende Lösung bereitet man durch Kochen von Bleiglätte mit starker Alkalilauge. Da indess auf diese Weise verhältnissmässig wenig Blei in Lösung geht und überdiess das Arbeiten mit den stark alkalischen Flüssigkeiten Uebelstände mit sich führt, so stellt man bequemer und zweckmässiger die Lösung auf folgende Weise dar. 50 Grm. essigsaures

Blei werden, in Wasser gelöst, in eine aus 50 Gr. Weinstein und 35 Grm. Natronhydrat bereitete Auflösung unter Umrühren gegossen, und nach dem Verschwinden des entstandenen Niederschlages bis zu 500 CC. mit Wasser verdünnt. Diese Flüssigkeit giebt auch dann noch gute Resultate, wenn bereits durch den electrolytischen Process drei Viertel des Blei's ausgefällt ist.

Als positive Electrode habe ich stets ein etwa 1 Quadratdecimeter großes Platinblech benutzt, was für Messungen vorzuziehen ist, da andere Metalle durch den activen Sauerstoff oxydirt werden können; den negativen Pol bilden zwei kleinere, symmetrisch zu beiden Seiten des Platinbleches in gleichen Entfernungen mit den Rändern stark abwärts gebogene, Platten von Blei oder Platin; dieß System läßt sich nach Isolirung der Zuleitungsdrähte leicht so reguliren, daß die positive Platinplatte gleichmäßig gefärbt wird. Bei diesen Dimensionen des Apparatcs genügt ein kleines schwach geladenes Bunsen'sches Element zur Erzeugung der Schichten.

Der die Interferenzfarben gebende Körper scheint allgemein für Bleisuperoxyd gehalten worden zu seyn; allein das weit geringere specifische Gewicht (die Angaben der Dichtigkeit von Pb O, variiren zwischen 8,903 und 8,933), das ich übereinstimmend aus mehreren Versuchen fand, veranlassten mich, denselben näher zu untersuchen. sich, dass die farbigen Schichten auf der positiven Polplatte, was für Lösungen man auch anwendet, niemals Pb O, sind, sondern ein Hydroxyd von bestimmter Zusammensetzung, welches sein Wasser erst in höherer Temperatur und nur schwierig vollständig verliert, ohne dass zugleich etwas Sauerstoff entweicht. In dickerer Schicht bildet es einen compacten, glänzend blauschwarzen Körper, welcher fest am Platinbleche haftet und gar nicht hygroskopisch ist, so daß sich sein specifisches Gewicht leicht bestimmen läst. Als Mittel aus drei in ihren Resultaten sehr wenig abweichenden Bestimmungen ergab sich die Dichtigkeit des Bleisuperoxydhydrats

also eine Zahl, die von dem specifischen Gewicht des wasserfreien Bleisuperoxyds sehr verschieden ist.

Für die Untersuchung der Brechung und Dispersion ist es zweckmäßig, das Spectroskop vor dem mit parallelen Glaswände versehenen Zersetzungsapparat aufzustellen; man kann auf diese Weise, da die Flüssigkeit farblos ist, das Wandern der Interferenzstreifen im Spectrum beobachten und im geeigneten Zeitmoment den Strom unterbrechen. Die Farben bilden sich weit schneller als beim Kupferoxydul; man regulirt die Stromstärke so, daß die Schichten innerhalb 7 bis 10 Minuten oder noch längerer Zeit um eine halbe Wellenlänge zunehmen. Bei zu schnellem Wachsen wird die Schicht bei größerer Dicke spröde und die Farben haben nicht ihre volle Reinheit.

Während beim Kupferoxydul noch für Licht von der Brechbarkeit der Fraunhofer'schen Linie F die Minimalstreifen deutlich beobachtet werden können, so ist diess beim Bleisuperoxydhydrat schon nicht mehr für die Linie E der Fall; im ganzen brechbareren Theile des Spectrums ist keine Spur von Interferenzstreifen zu bemerken, während dieselben im gelben und noch mehr im rothen Theile mit großer Schärfe auftreten. Man muß daraus schließen, daß der Körper selbst in Schichten von der Dicke einer oder mehrerer Wellenlängen nur für gelbe und rothe Strahlen durchsichtig ist.

Zur Bestimmung des Brechungsindex für die Linie D wurde ein dünnes Platinblech von der Gesammtobersläche 13570 Quadratmillimeter in den Zersetzungsapparat gebracht, und nachdem dasselbe vorher tarirt war, ein 15 maliger Durchgang eines Minimalstreifens durch jene Linie beobachtet. Die Gewichtszunahme dieser 15 halbe Wellenlängen starken Schicht betrug 0,1660 Mgr.; demnach ist der Brechungsindex zufolge der Formel (9)

$$n_p = \frac{15.13570.6,169.0,0005888}{2.0,1660} = 2,229.$$

Für die Linie C ergab eine ähnliche Beobachtung den Werth n(C) = 2,010. — Hat die Schicht eine Dicke von Poggendorff's Annal, Bd, CXXXIX.

24 halben Wellenlängen (D) erreicht, so erscheinen von D ab im rothen Theile des Spectrums sechs Minimalstreifen, deren letzter fast genau mit der Linie B zusammenfällt. Während ein Minimum von D nach B wandert, nimmt die Dicke der Schicht um etwa  $\frac{1}{4}\lambda(D)$  zu, so dass 19 Wellenlängen  $\lambda(B) = 23.5 \lambda(D)$  sind. Hieraus bestimmt sich n(B) = 1.802. Die letztere Betrachtung kann als Controlle der directen Bestimmung durch die Wägung dienen.

Die Zahlen n(D) = 2,229 n(C) = 2,010n(B) = 1,802

zeigen, dass zwar die Brechung beim Bleisuperoxydhydrat geringer, die Dispersion aber noch etwas bedeutender als beim Kupferoxydul ist.

### 3. Mangansuperoxydhydrat.

Die Interferenzschichten dieses Körpers werden am besten durch Electrolyse sehr verdünnter neutraler Lösungen von Manganoxydulsalzen erhalten; 12 Grm. Chlormangan mit 8 Grm. essigsaurem Salz in 500 CC. Wasser gelöst, liefern eine Flüssigkeit, welche, selbst wenn schon ein großer Theil des Mangans durch den electrolytischen Process ausgeschieden ist, noch immer gute Resultate giebt. Concentrirte Lösungen sind gar nicht anwendbar; auch die Flüssigkeiten, welche Nobili (diese Ann. Bd. X) und Böttger (Bd. L) für die Darstellung der Farbenringe benutzt haben, sind noch zu concentrirt. Man nimmt als Stromerreger ein schwach geladenes Element und den beim Bleisuperoxydhydrat beschriebenen Zersetzungsapparat; da die Flüssigkeit farblos ist, kann man das Fortrücken der Interferenzstreifen während der Operation durch das Spectroskop beobachten. Man richtet die Stromstärke am besten so ein, dass die Schicht innerhalb 15 bis 30 Minuten um eine halbe Wellenlänge wächst; bei zu schnellem Wachsen wird die in grösserer Dicke glänzend blauschwarz erscheinende Schicht sehr spröde und bekommt durch Temperaturveränderung, namentlich beim Abspülen mit kaltem Wasser, leicht Risse.

Zur Bestimmung des specifischen Gewichts habe ich Schichten von mehr als 100 Wellenlängen Dicke und dem absol. Gew. von ungefähr 0,5 Grm. hergestellt; aus zwei übereinstimmenden Versuchen ergab sich die Dichtigkeit bei 13° C.

$$s = 2,542.$$

Der Körper ist nicht Mn O<sub>2</sub>, sondern, wie alle Körper dieser Gruppe, ein Hydrat, welches auch unter der Luftpumpe sein Wasser nicht verliert. Er ist für grüne und blaue Strahlen nur in ganz dünnen Schichten von 1 bis 2 Wellenlängen noch durchsichtig, so dass man Minimalstreisen in E und F bemerken kann; bei größerer Dicke treten dieselben nur im Gelb und Roth auf. Das Minimum in F ist jedoch schon so breit und verwaschen, dass sich daraus die Wellenlänge mit dem einfachen Spectroskop ohne Anwendung photometrischer Hülfsmittel nicht sicher bestimmen läst. Für die Linien E, D, C habe ich nach den im Vorigen beschriebenen Methoden die Werthe

$$n(E) = 1,944$$
  
 $n(D) = 1,862$ 

$$n(C) = 1,801$$

erhalten.

## III. Allgemeine Folgerungen.

Außer den im Vorigen genauer beschriebenen Körpern habe ich noch eine ganze Anzahl Interferenzschichten auf electrolytischem und chemischem Wege hergestellt, welche sich gleich den beschriebenen durch eine ungewöhnlich starke Dispersion auszeichnen. Die Untersuchung dieser Körper hat ergeben, daß allen Körpern von starker Dispersion optische Eigenschaften gemeinsam sind, welche für die Theorie des Lichtes von Interesse zu seyn scheinen.

Man weiss aus der Erfahrung, dass Dispersion und Absorption mit einander in Beziehung stehen, und Cauchy hat in seinem Mémoire sur la dispersion de la lumière eine Gleichung aufgestellt, in welcher diese Beziehungen implicite enthalten sind. Die Discussion dieser Gleichung, deren

eine Seite eine unendliche Reihe ist, bietet Schwierigkeiten dar; man (Cauchy, Mém. sur la disp. und Christoffel, Pogg. Ann. Bd. CXVII, S. 27 bis 45) hat sich damit begnügt, die beiden ersten Glieder der Reihe beizubehalten und die übrigen fortzulassen. Diess würde, wie Hr. Christoffel gezeigt hat, gestattet seyn wenn in jedem Falle die Wirkungssphäre im Vergleich zur Wellenlänge verschwindend klein wäre. Dass letztere Annahme indess nicht zulässig ist, zeigt die Discussion der verstümmelten Gleichung, welche ergiebt, dass jedes Spectrum im violetten Ende durch einen sichtbaren Strahl von bestimmter Brechbarkeit begränzt Diess Resultat ist ein physikalisches Absnrdum, da es die Existenz von Körpern voraussetzt, welche unter beliebigem Einfallswinkel einen sichtbaren Strahl total reflectiren oder denselben schon an der Obersläche vollständig absorbiren. Was an jener Gränze im brechbareren Ende des Spectrums in Wirklichkeit stattfindet, darüber kann die aus der abgebrochenen Reihe hergeleitete Dispersionsformel, auch wenn sie für große Wellenlängen richtig ist, keinen Aufschlufs gewähren.

Während diese Gränze bei Substanzen von schwacher Dispersion sehr weit im Ultra-Violet liegen würde, tritt sie bei den von mir untersuchten Körpern zuweilen schon im Grün auf. Bei keinem einzigen Körper dieser Gruppe lassen sich auch nur Spuren von Interferenzen im Violet beobachten. Der Grund dieser Erscheinung könnte in einer starken Reflexion dieser Strahlen an der Obersläche oder in einer starken Absorption im Innern gesucht werden; es hat sich gezeigt, dass letzteres die überwiegende Ursache der fehlenden Interferenzstreifen ist. Denn stets verschwinden dieselben mit wachsender Dicke allmählig vom violetten nach dem rothen Ende des Spectrums hin und sind sehr bald nur noch im Gelb und Roth vorhanden. Die Absorption nimmt daher mit abnehmender Wellenlänge zu, und zwar von einer gewissen, für jeden Körper besonderen, Stelle im Spectrum continuirlich und so schnell, dass jenseits derselben kein Strahl eine Schicht von der Dicke einer halben Wellenlänge zu durchdringen vermag.

Im durchgehenden Lichte erscheinen daher hinreichend starke Schichten der Körper von hervorragender Dispersion immer gelbroth oder roth; ich habe vergeblich eine Substanz dieser Art gesucht, der mit grünem, blauem oder violetten Lichte durchsichtig wäre.

Um etwaigen Einwänden durch Anführung scheinbarer Ausnahmen gegen diese Thatsache von vornherein zu begegnen, muss ich hier Folgendes bemerken. Man kann auf verschiedene Weise dünne Schichten herstellen, welche das Licht stark absorbiren und mit anderem als gelbem oder rothem Lichte durchsichtig sind; solche Schichten sind indess, gleich wie ein mit Russ überzogenes Glas, nicht als Körper, sondern als zusammenhangslose Apparate einzelner Massentheilchen zu betrachten, und können nur in dem Falle als Ausnahmen aufgeführt werden, wenn es überhaupt gelingt. Brechung und Dispersion an ihnen nachzuweisen. Lässt man beispielsweise Chlor, Brom, Jod, Schwefeldampf oder Schwefelwasserstoff auf dünne Silberschichten wirken, so erhält man bei passend regulirter Einwirkung Schichten von Chlor-, Brom-, Jod- und Schwefelsilber, welche im Vergleich zu den Metallen und selbst zu den beschriebenen Metalloxyden sehr durchsichtig sind und schöne Interferenzstreifen im Spectroskope zeigen. Uebersteigt indes die Intensität oder Dauer der Einwirkung jener Agentien eine gewisse Gränze, so wird die Structur der Schichten zerstört; dieselben sind alsdann als Aggregate von vielen Körpertheilchen (in manchen Fällen mikropischen Krystallen) zu betrachten, obwohl sie dem Auge als cohärente Massen erscheinen; sie sind undurchsichtiger als das Metall selbst und zeigen im Spectroskop keine Spur mehr von Interferenzstreifen.

In Bezug auf die chemische Zusammensetzung der auf electrolytischem Wege dargestellten Sauerstoffverbindungen der schweren Metalle hat sich Folgendes ergeben: Die am positiven Pole durch den Strom abgeschiedenen Verbindungen sind nicht, wie bisher allgemein angenommen worden ist 1). Superoxyde, sondern bestimmte Hydrate derselben,

<sup>1)</sup> Vergl. Wöhler, Ueber das Verhalten einiger Metalle im el. Strom. Nachr. d. Kgl. Ges. d. Wiss. u. der G. Unv. zu Gött. 1868. No. 8.

welche ihr Wasser auch unter der Luftpumpe nicht verlieren. Ich glaube diesen Satz als allgemein hinstellen zu können, da ich ihn für die verschiedensten Metalle, nämlich Blei, Mangan, Kobalt, Wismuth und Antimon bestätigt gefunden habe. — Die am negativen Pole abgeschiedenen Oxyde und Suboxyde sind dagegen stets wasserfrei, wie aus der-Untersuchung des electrolytisch dargestellten Kupfer-, Wismuth-, Antimonoxydul und Eisenoxyduloxyd geschlossen werden muss.

Berlin, im October 1869.

## V. Ueber den Durchgang der strahlenden Wärme durch Steinsalz und Sylvin; von H. Knoblauch.

(Vorgetragen in der naturforschenden Gesellschaft zu Halle am 23. October 1869).

Es ist bekannt, dass von Melloni die Entdeckung gemacht worden ist, dass reines klares Steinsalz jeder Art von Wärmestrahlen den Durchlass in gleichem Verhältniss gestatte, und dass er nicht allein in langen Reihen vielseitigster mustergültiger Versuche diese Thatsache erwiesen, sondern auch in eingehender Weise das richtige Verfahren denjenigen bezeichnet hat, welchen es bei ihrer Art zu experimentiren nicht gelungen war, diese Erscheinung wahrzunehmen.

Als nichts desto weniger immer aufs Neue Zweifel an der allgemeinen Gültigkeit jenes Satzes auftauchten, denen ich selbst mich glaubte anschließen zu müssen, ist von mir die ersinnlichste Sorgfalt darauf verwandt worden, über den wahren Vorgang ins Klare zu kommen 1).

Die Verschiedenheit der dem Steinsalz zur Durchstrah-

Ueber den Durchgang der strahlenden Wärme durch polities, mattes und berußtes Steinsalz, und über die Diffusion der Wärmestrahlen; in welcher Abhandlung auch die betreffende Literatur vollständig mitgetheilt ist; Pogg. Ann. 1863, Bd. CXX, S. 177 bis 286.

lung dargehotenen Wärme erstreckte sich von den dunklen Strahlen einer Quelle von etwa 100° C., welche nur eine einzige Wärmeart aussendet ¹), bis zu den, in der Glühhitze zahllos mannigfaltigen Strahlen der Sonne ²). Einzelne, von einer complicirten Wärmequelle ausgehende, Strahlengruppen wurden durch Zurückwerfung von verschiedenartigen diffus reflectirenden Flächen ³) oder mittelst Durchstrahlung durch ungleichartige diathermane Platten ⁴) oder durch Brechung ⁵) von einander geschieden.

Immer, zeigten sie alle eine verhältnissmässig gleich gute Durchstrahlung durch das Steinsalz.

Die weitere Prüfung wies nach, wie die, durch die Masse des Steinsalzes hindurchgestrahlte Wärme noch ganz so beschaffen sey, wie vor dem Eintritt in dieselbe 6), während bei jeder andern bis dahin untersuchten Substanz weder die Durchstrahlung eine gleichmäsige, noch die Zusammensetzung der Wärmestrahlen nach dem Durchgange durch dieselbe eine ungeänderte war.

Endlich wurde auch eine Anzahl neuer Beispiele vorgeführt, bei denen unter Umständen eine ungleiche Durchstrahlung verschiedener Wärme durch Steinsalz auftritt.

Das Gesammtergebnis war — meiner eigenen ursprünglichen Ansicht entgegen — dass der Melloni'sche Satz in zeiner ganzen Ausdehnung sich an der Erfahrung bewährte 7).

Die allseitige Betrachtung der betreffenden Vorgänge aber bat keinerlei Unklarheit in irgend einem Falle zurückgelassen, wie insonderheit auch die Anomalien, auf welche andere Beobachter sich berufen, aus der Berücksichtigung fremder Bestandtheile oder eigenthümlicher Beschaffenheit

<sup>1)</sup> Pogg. Ann. Bd. CXX, S. 189 bis 192.

<sup>2)</sup> Ebendaselbst, S. 189 bis 192.

<sup>3)</sup> Ebendaselbst, S. 180 bis 186.

<sup>4)</sup> Ebendaselbst, S. 186 bis 189.

<sup>5)</sup> Ebendaselbst, S. 192 bis 195.

<sup>6)</sup> Ebendaselbst, S. 206, 207, 276, 277.

<sup>7)</sup> Ebendaselbst, S. 191, 192, 283.

der Obersläche des Steinsalzes oder ungeeigneter Strahlenrichtung sich verstehen lassen ').

Weder gegen die damals angestellten Versuche noch gegen die daraus gezogenen Schlüsse sind bisher von irgend welcher Seite Einwendungen erhoben worden, ja Hr. Magnus, welcher sich speciell mit derartigen Untersuchungen beschäftigte, hat denselben sogar neue Belege hinzugefügt, aus denen auch er schloss, dass das Steinsalz die Wärme der verschiedenen Quellen in gleichem Maase hindurchlasse<sup>2</sup>).

Um so auffallender ist es, dass derselbe Physiker ein Jahr später an der nämlichen Stelle versichert, Melloni und ich hätten die gleiche Durchstrahlung verschiedenartiger Warme durch Steinsalz mit Unrecht behauptet 3); ja dass er, so ausgedehnten und mit solcher Peinlichkeit angestellten, erörterten und beschriebenen Versuchen gegenüber, jene öffentliche Versicherung vor der Berliner Akademie nicht einmal durch die Mittheilung seiner Beobachtungen und Messungen und die nähere Beschreibung seiner Untersuchungen begründet, einen solchen Nachweis auch nach mehr als vier Monaten bis jetzt nicht geliefert hat. Hr. Magnus sagt in seiner kurzen Notiz nur: »das Steinsalz absorbirt die vom Steinsalz ausgestrahlte Wärme in großer Menge und stärker als die des Sylvins und anderer Wärmearten«, und fügt alsdann zu weiterer Erläuterung hinzu: »die große Diathermasie des Steinsalzes beruht nicht auf einem geringen Absorptionsvermögen desselben für die verschiedenen Wärmearten, sondern darauf, dass es nur eine einzige Wärmeart ausstrahlt und folglich auch nur diese eine absorbirt, und dass fast alle andern Körper bei der Temperatur von 150° C. Wärme aussenden, die nur einen kleinen Antheil oder gar keine von den Strahlen enthält, welche das Steinsalz aussendet «.

<sup>1)</sup> Pogg. Ann. Bd. CXX, S. 184 bis 186, 189, 190, 238 bis 252, 268 bis 283.

Monatsber. der Berl. Akademie 14. Mai 1868, S. 308, 309. Pogg. Annal. Bd. CXXXIV, S. 303, 304.

<sup>3)</sup> Monatsber, d. Berl. Akademie 17. Juni 1869, S. 482. Pogg. Ann. Bd. CXXXVIII, S. 334.

Wenn Hr. Magnus daraus, dass das Steinsalz bei 150° nur eine einzige Wärmeart aussendet, schließt, dass es auch nur diese eine absorbirt, ein Schluß, welcher bisher noch für keinen festen oder slüssigen Körper empirisch begründet ist, so erscheint es nicht unmöglich, dass er sich, überzeugt von der Allgemeingültigkeit einer bisher nur für Gase thatsächlich erwiesenen Theorie, bei dem Durchstrahlungsversuch durch Steinsalz in diesem Sinne getäuscht habe.

Bei solcher Sachlage habe ich es im Interesse dieser, für die Lehre von der strahlenden Wärme nicht unwichtigen Frage für nöthig gehalten, meinen früheren Versuchen über die Durchstrahlung der vom erhitzten Steinsalz und andern heißen Körpern') ausgehenden Wärmestrahlen durch Steinsalz neue hinzuzufügen.

Die große Analogie, welche nach neueren Erfahrungen der Sylvin in seinem Verhalten gegen die strahlende Wärme mit dem Steinsalz darbietet 2), bestimmte mich, gleichzeitig auch diese Substanz der betreffenden Prüfung zu unterwerfen. Es kam darauf an zu entscheiden, ob die genannten beiden Substanzen bei der gewöhnlichen Temperatur (denn nur auf diese bezieht sich der aufgestellte Satz) die vom Steinsalz und Sylvin (bei etwa 150°C.) ausgestrahlte Wärme in gleichem oder ungleichem Verhältnis hindurchlassen würden.

Die Erwärmung dieser Körper geschah anfangs durch eine kleine, um 3 bis 4 Centimeter von ihnen entfernte Alkoholflamme, dann durch die nicht leuchtende Flamme eines Bunsen'schen Gas-Brenners, welche derart durch Metallschirme verdeckt waren, dass nur die Strahlen der erwärmten Krystalle (welche vollkommen dunkel blieben, z. B. mit dem Finger unbeschadet berührt werden konnten, während bei den oben gedachten Versuchen mit erhitztem Steinsalz auch höhere, bisweilen zum anfangenden Glühen gesteigerte Temperaturen nicht ausgeschlossen waren) zu einer etwa 45°m, dann 37°m

<sup>1)</sup> Pogg. Ann. Bd. CXX, S. 239 ff.

<sup>2)</sup> Magnus, Pogg. Ann. Bd. CXXXIV, S. 302 bis 304. Knoblauch, Pogg. Ann. Bd. CXXXVI, S. 66 bis 70.

davon aufgestellten Thermosäule gelangten. Es wurden aufserdem alle, bereits wiederholentlich von mir bezeichneten Vorsichtsmaaßregeln angewandt, um jede störende Nebenwirkung fern zu halten und bei dem Einschalten einer Steinsalz- oder Sylvinplatte vor der Thermosäule hinter einem durchbrochenen Schirm eine einfache Durchstrahlung dieser Platte zu sichern.

Nachdem vorläufige Versuche gelehrt hatten, das die Entfernung der Wärmequelle in dem vorliegenden Falle keinen Einflus auf die Durchstrahlungsverhältnisse ausübte, wurde vor jeder Einschaltung der diathermanen Platte die nämliche directe Einwirkung auf die Thermosäule, d. h. stets dieselbe Ablenkung der Galvanometernadel an dem mit ihr verbundenen Multiplicator durch Rücken der Wärmequelle herbeigeführt.

Betrug dieselbe unter den directen Strahlen eines erwärmten Steinsalzstücks 13 Grad und wurde alsdann eine 5<sup>mm</sup> dicke, klare und chemisch reine Steinsalzplatte aus Stafsfurth vor der Thermometersäule aufgestellt, so ging die Nadel auf 11° zurück. Dasselbe war der Fall, als die Steinsalzplatte mit einer Platte von Sylvin von 4<sup>mm</sup>,5 Dicke vertauscht wurde.

War die Ablenkung von 13° durch Einstrahlung eines Sylvins hervorgebracht, so stellte sich die Nadel beim Einschalten derselben Steinsalzplatte wieder genau auf 11°, beim Einführen der Sylvinplatte auf 10°,75.

Es war also bei dem Durchgange durch dieselbe Steinsalzlamelle keinerlei Unterschied, bei dem durch eine Sylvinlamelle nur von einem Viertelgrad wahrzunehmen, die Wärmestrahlen mochten vom erwärmten Steinsalz oder vom Sylvin ausgehen.

Um diess noch sicherer festzustellen, brachte ich bei fortgesetzten Versuchen (durch Annäherung der Wärmequellen) höhere Ablenkungen durch directe Einstrahlung auf das Thermoscop hervor, begnügte mich auch nicht mit denselben, der Erwärmung ausgesetzten Krystallen, sondern wechselte reine Krystalle von verschiedener Größe und

Form, fügte auch absichtlich solche hinzu, welche fremde Beimengungen enthielten: wie Steinsalzstücke mit Anhydrit und einen Sylvin mit Carnallit, ferner zum weiteren Vergleich die leuchtende Flamme einer Argand'schen Lampe, liefs auch mehr als eine Steinsalz und Sylvinplatte und zur Controle Glasplatten von der Wärme dieser Quellen durchstrahlen.

Die Ablenkungen, welche bei dieser Gelelegenheit nach dem Einschalten der diathermanen Körper erhalten wurden, nachdem zuvor jedesmal eine Abweichung der Nadel auf 20° bewirkt worden, sind in der folgenden Uebersicht zusammengestellt.

Diathermane Körper,	Er- wärm- tes rei- nes Stein- salz,	Erwärm- tesreines Steinsalz von an- dern Di- men- sionen,	Stein- salz mit Anhy- drit,	Steinsalz mit An- hydrit von andern Dimen- sionen,	Er- wärm- terrei- ner Sylvin,	Sylvin mit Gar- nallit,	Argand'sche Flamme mit Glas- cylinder.
Steinsalz, jede der 3 Platten 5 <sup>mm</sup> .	18	18	18	18	18	18	18
Sylyin 4mm.	18	18	18	18	17,75	17,75	18
Zweite Platte 4,5mm.	18	18	18	18	17,50	17,50	18
Glas 1 <sup>mm</sup> .	3,5	3,5	3,5	3,5	3,5	3,5	6,00
Zweite Platte 3 <sup>mm</sup> .	2,0	2,0	2,0	2,0	2,0	2,0	4,25

Es geht daraus hervor, dass keine der drei untersuchten Steinsalzplatten von 5 mm Dicke die geringsten Unterschiede in dem Verhalten gegen die, vom reinen oder mit Anhydrit untermengten Steinsalz, vom reinen oder mit Carnallit behafteten Sylvin ausgestrahlte dunkle Wärme zu erkennen gab, ja dass eine jede diese dunkle, von den verschiedenen

Körpern ausgehende Wärme — in voller Uebereinstimmung mit allen früheren, hieher gehörigen Erfahrungen — in ganz demselben Verhältniss wie die leuchtende einer Lampe hindurchliess.

Bei den Sylvinlamellen zeigte sich ein unbedeutender Rückgang der Galvanometernadel, wenn die Wärme vom Sylvin ausging, im Vergleich mit den Ablenkungen unter den Strahlen der übrigen Wärmequellen.

Die Gläser haben die bekannte Erscheinung gezeigt, dass sie die dunkle Wärme in hohem Grade, weniger die leuchtender Ouellen absorbiren.

Dass man es wirklich mit der Durchstrahlung der zu prüfenden Wärmearten zu thun hatte, ergiebt sich daraus, dass die Fortnahme oder das Verdecken der erhitzten Krystalle sosort die Nadel des Thermomultiplicators auf 1°,5 zurückgehen ließ, auf welcher Stelle sie auch verharrte, die diathermane Platte mochte unter diesen Umständen vor der Thermosäule aufgestellt seyn oder nicht. Außer der unvermeidlichen, ursprünglich in der Thermosäule vorhandenen, geringen Temperaturdifferenz auf beiden Seiten derselben, welche diese Abweichung von 1°,5 (die, streng genommen, von jeder andern wirklich beobachteten Ablenkung in Abzug zu bringen wäre) erzeugte, hat demnach keine fremdartige Einstrahlung auf die Thermosäule stattgefunden, auch die eigene Wärme der eingeschalteten diathermanen Körper Leinen störenden Einsluss auf die Beobachtungen ausgeübt.

Wenn nach diesen Ermittelungen die angestellten Versuche in der That ausschliefslich diejenigen Wärmearten betroffen haben, um deren mehr oder minder reichlichen Durchgang, insonderheit durch Steinsalz und Sylvin es sich handelt, wenn die controlirenden Gegenversuche mit den Gläsern die bekannten Durchstrahlungsverhältnisse liefern, demnach jedem Physiker die Ueberzeugung verschaffen werden, dass, wo Unterschiede vorhanden waren, sie bei dem angewandten Verfahren auch aufgetreten sind, wenn endlich selbst die geringen Unterschiede beim Durchgange der Wärme durch den Sylvin der Beobachtung nicht entgingen,

so ist es nicht zu verstehen, weshalb bei Steinsalzplatten von der fünffachen Dicke derjenigen des Glases, welches so bedeutende Unterschiede in dem Durchgange ungleichartiger Wärmestrahlen erkennen ließ, die so charakteristischen, auf große Wärmemengen gerichteten Absorptionswirkungen, welche Hr. Magnus in dem Steinsalz unter den vorliegenden Bestrahlungen voraussetzt, sich nicht hätten geltend machen sollen, wenn sie überhaupt existirten.

Ich könnte noch hinzufügen, dass die Untersuchungen auch auf Steinsalzstücke von 25<sup>mm</sup> Dicke ausgedehnt worden sind, aber ich halte es für überslüssig, die betreffenden bestätigenden Resultate im Einzelnen mitzutheilen, weil ich weiss, dass durch die Vergrößerung der Dicke der diathermanen Körper die Zuverlässigkeit der Durchstrahlungs-Beobachtungen nicht gewinnt, während die Sicherheit der mitgetheilten, immer aufs Neue wiederholten und in sich übereinstimmenden eine solche ist, dass auch Anderen, z. B. den Mitgliedern des hiesigen naturwissenschaftlichen Vereins, welche sich der Mühe unterzogen, dieselben in Augenschein zu nehmen, kein Zweifel über deren richtige Beurtheilung geblieben ist.

Hrn. Magnus's Einwand gegen den behandelten, von Melloni und mir vertretenen Satz, welcher nur die einfache Logik der Thatsachen ausspricht, hat sich demnach bisher an der Erfahrung nicht bestätigt gefunden: es ist bis jetzt kein Factum erwiesen, welches dagegen spricht, daß chemisch reines und klares Steinsalz bei der gewöhnlichen Temperatur allen Wärmestrahlen den Durchgang in gleichem Verhältnifs gestatte und daß in dieser Eigenschaft der Sylcin ihm am nächsten stehe.

# VI. Ueber eine Vereinfachung in der Construction und dem Gebrauch der Holtz'schen Influenzmaschine erster Art; von J. C. Poggendorff.

(Aus d. Monatsbericht, d. Berlin, Akademie, April 1869).

Diese gegenwärtig sehr verbreitete Maschine besteht, wie bekannt, aus einer drehbaren und einer festen Glasscheibe, von welchen die letztere mit Ausschnitten versehen ist, entweder in Gestalt eigentlicher, nach dem Rande hin offener Sectoren, oder in Gestalt kreisrunder oder ovaler Oeffnungen von beträchtlicher Größe. Die letztere Einrichtung ist die bessere und daher auch jetzt allgemein übliche, weil man dabei die ruhende Scheibe mit Leichtigkeit in jede beliebige Stellung versetzen kann.

Ueber den Nutzen und die Nothwendigkeit dieser Ausschnitte ist, meines Wissens, noch keine recht präcise Ansicht ausgesprochen. Hr. Holtz äußert beiläufig in seiner ersten Abhandlung 1), die Ausschnitte hätten den Zweck, den bindenden Einfluß der auf der Rückseite der festen Scheibe angehäuften Elektricität zu unterbrechen und somit die Elektricität der rotirenden Scheibe frei zu machen. Diese Theorie ist mir, muß ich gestehen, niemals recht einleuchtend gewesen, und vollends wurde ich irre an ihr als ich fand, daß man die Ausschnitte oder Fenster (wie die Franzosen sagen) unter gewissen Bedingungen durch Glas oder Kamm-Masse verschließen kann, ohne dadurch die Wirkung der Maschine sonderlich zu beeinträchtigen. Da ich aber andrerseits auch keinen Vortheil von diesem Verschlusse sah, so ließ ich die Sache liegen.

Erst vor einiger Zeit wurde ich wieder auf den Gegenstand zurückgeführt, indem ich mich gewisser Thatsachen erinnerte, welche ich schon zu Ende des Jahres 1866 beobachtet, zum Theil in der Klassensitzung vom Februar 1867 mitgetheilt, und seitdem oftmals bestätigt gefunden habe.

<sup>1)</sup> Ann. d. Phys. und Chem. Bd. 126, S. 162.

Unter Anderem zeigte ich damals, dass die Maschine auf dreierlei Art erregt werden kann. Erstlich von der Rückseite her, auf die gewöhnliche Weise, indem man einem der Belege durch Vertheilung oder Mittheilung Elektricität zuführt. Zweitens von der Vorderseite her, indem man aus einer anderen Elektricitätsquelle, entweder einer zweiten Maschine oder einer geladenen Flasche, Elektricität durch die Metallkämme auf die rotirende Scheibe ausströmen lässt. Und drittens auf intermediäre Weise mittelst der ruhenden Scheibe, nachdem man dieselbe durch vorherigen Gebrauch der Maschine in ihren beiden Hälften entgegengesetzt elektrisch gemacht und die Belege ableitend berührt hat.

Auf welche Weise nun auch die Maschine in Thätigkeit gesetzt worden seyn mochte: immer fand ich, dass der Zahn der Belege, dieser mysteriöse Theil der Holtz'schen Maschine, der dieselbe wesentlich zu einem bis dahin unbekannten, ganz neuen Instrumente macht, während der Rotation der beweglichen Scheibe nicht einfach elektrisch ist, sondern sich in einem polaren Zustand besindet, vermöge dessen er die eine Elektricität aus seiner Spitze und die entgegengesetzte aus seiner Basis aussendet, wie denn auch das bei einem isolirten Leiter, der insluencirt wird, nicht anders als in der Ordnung ist.

Wird der Spitze eines solchen Zahnes z. B. positive Elektricität zugeführt, indem man sie mit dem positiven Knopf einer geladenen Flasche oder dem Deckel eines Elektrophors berührt, so giebt diese Spitze während der Rotation nicht positive Elektricität aus, sondern negative, und die positive Elektricität wendet sich zur Basis des Zahns, welche dem benachbarten Metallkamm, der in diesem Falle negative Elektricität ausströmt, directer gegenübersteht.

Umgekehrt, wenn man durch einen Metallkamm negative Elektricität auf die rotirende Scheibe ausströmen lässt, wird der gegenüberstehende Beleg, so wie die Basis des Zahnes, positiv und die Spitze des letzteren giebt negative Elektricität aus.

Schon hierdurch überzeugte ich mich, dass der Papier-

beleg, auch wenn er gefirnist worden, was man übrigens jetzt meistens unterlässt, gleich dem Zahne, ein Leiter der Elektricität ist, und nothwendiger Weise seyn muss, wenn die Maschine in Wirksamkeit gelangen soll. Ein gezahnter Beleg von Glimmer, also einem Isolator, dessen Anbringung an der ebenfalls isolirenden Glasplatte schon vorweg nichts erwarten lässt, giebt auch keine Wirkung. Dagegen kann das Papier ganz füglich durch Stanniol, also einen metallischen Leiter, ersetzt werden, obwohl gerade nicht mit praktischem Vortheil, weil dabei die Wirkung, wegen der schnellen Entweichung der Elektricität, viel schwächer ist und bald erlischt, wenn man die Elektroden etwas weit auseinander zieht. Wie sehr die Elektricität aus einem solchen Stanniolbeleg entweicht, zeigt sich besonders wenn er positiv, die Zahnspitze also negativ ist; dann sieht man im Dunklen lange zarte Funken aus ihm hervorschießen. Gewiss war es ein glücklicher Griff, dass Hr. Holtz gerade einen solchen Halbleiter, wie das Papier ist, zu den Belegen wählte.

Diese und andere Erscheinungen, welche mich in der Ansicht bestärkten, dass die Papierbelege der Maschine nicht mit dem Kuchen des Elektrophors parallelisirt werden können, gewährten mir auch einen deutlicheren Blick in die Function der Ausschnitte der festen Scheibe.

Ich erkannte, dass diese Ausschnitte keinen anderen Nutzen haben und haben können als den, die von der Basis der Zähne ausströmende Elektricität zu den mit ihr über den Rand leitend verbundenen Belegen zu führen und somit auf der Aussenseite der festen Scheibe auszubreiten. Und damit war denn auch alsbald eine Construction gegeben, welche die Ausschnitte überslüssig macht.

Ich liess nämlich in die feste Scheibe zwei diametrale Löcher bohren, so groß wie ungefähr einen Silbergroschen (18<sup>mm</sup> im Durchmesser), füllte jedes derselben durch eine Korkscheibe aus, und klebte nun auf die innere Seite dieser Scheiben die Papierzähne, und auf die äußere die Papierbelege. Dadurch war denn, ohne offene Ausschnitte in

der Scheibe, eine leitende Verbindung zwischen den Zähnen und den Belegen hergestellt.

Meine Erwartungen von dieser Construction wurden vollkommen erfüllt. Ich hatte vorweg keine größere Wirkung von ihr erwartet, als man mit der alten Construction bekommt, aber sie wirkte auch um nichts schwächer als diese. Weder in der Funkenlänge, noch in der Elektricitätsmenge, fand ich irgend einen merklichen Unterschied mit der, welche dieselbe Maschine versehen mit großen offenen Ausschnitten gab. Nur war es nöthig, die Zähne so zu biegen, daß sich ihre Spitzen in der Mitte des Abstandes beider Scheiben besanden.

Diese Construction hat zunächst den praktischen Nutzen, dass sie die Maschine wohlsteiler macht; denn das Ausbohren eines kleinen Loches ist minder kostspielig als das Ausschneiden einer großen Oeffnung mit dem Diamant, zumal dabei die Scheiben mitunter wohl zerspringen.

Allein sie gewährt auch noch andere Vortheile. Fürs Erste kann man sich dadurch einen deutlichen Beweis verschaffen, dass die Belege an der Außen- und die Zähne an der Innenseite der festen Scheibe befindlich seyn müssen wenn die Maschine soll in Thätigkeit gebracht werden können. Kehrt man nämlich diese Scheibe um, so dass die Belege nach Innen, und die Zähne nach Außen zu liegen kommen, so giebt die Maschine keine Wirkung, wenn man auch, was dann nothwendig ist, die bewegliche Scheibe in umgekehrter Richtung rotiren lässt, damit sie sich gegen die Spitzen der Zähne bewege<sup>1</sup>).

Fürs Zweite kann man nun mit derselben Maschine die einfache und die doppelte Elektricitätsmenge erzeugen, ohne mehr als eine feste Scheibe zu gebrauchen. Besonders leicht geschieht dasselbe, wenn die Maschine die ihr neuerdings

Beiläufig bemerkt habe ich mich auch durch Versuche überzeugt, das
Zähne an der Innenseite der Ausschnitte ohne Belege an der Aussenseite, oder umgekehrt die letzteren ohne die ersteren, keine Wirkung
geben.

von Hrn. Holtz gegebene Einrichtung der einseitigen Axe besitzt 1).

Um eine Maschine auf Erzeugung der doppelten Elektricitätsmenge einzurichten, muß sie bekanntlich mit vier Metallkämmen versehen werden, und man hatte ihr zu dem Ende außer der gewöhnlichen festen Scheibe noch eine zweite mit vier Ausschnitten und vier gezahnten Belegen beigefügt. Zugleich hatte man sich darauf gesetzt, die Wirkung der so abgeänderten Maschine zwischen denselben Elektroden beobachten zu wollen, welche man bei einer Maschine mit nur zwei Ausschnitten benutzt. Dieß machte aber eine sehr complicirte Verbindungsweise der Kämme nöthig, die noch dazu überslüssig war, da die Schlagweite bei einer solchen Maschine, aus einem bisher noch nicht recht aufgeklärten Grunde, immer nur sehr gering ist, man also doch die Elektroden nie sehr weit, höchstens einen Zoll, aus einander ziehen kann.

Zum Laden von Flaschen, zur Hervorbringung langer Funken und Büschel, ist eine solche Maschine nicht tauglich; ihr Nutzen beschränkt sich hauptsächlich auf die Licht-Erscheinungen in evacuirten Gasen, aber dabei hat sie wirklich Vorzüge vor der einfachen Maschine.

Mein Verfahren, um den angedeuteten Zweck zu erreichen, ist nun folgendes. Zunächst versehe ich die feste Scheibe mit vier gezahnten Belegen von der beschriebenen Einrichtung, um einen Quadranten von einander abstehend.

Ich habe mich überzeugt, dass dies der Benutzung von nur zwei Belegen, zur Hervorbringung der einfachen Elektricitätsmenge keinen Abbruch thut. Wenn ich nämlich jeden der kleinen horizontalen Belege durch einen ihm an Breite gleichen quadrantenförmigen Streif von dünnem Postpapier nach oben und unten um gleichviel, also um 45° verlängere und den schrägen Hülfsconductor einsetze, be-

<sup>1)</sup> Eine Scheibe mit vier offenen Ausschnitten läst sich allerdings auch für zwei Metallkämme benutzen; allein es schien mir doch immer, dals dabei die Elektricitätsmenge und die Funkenlänge geringer sey als die, welche man mittelst einer Scheibe mit nur zwei Ausschnitten bekommt.

komme ich dieselbe Funkenlänge und dieselbe Elektricitätsmenge wie im Fall die feste Scheibe unter gleichen Umständen nur zwei Belege mit offenen Ausschnitten besitzt 1).

Um nun die doppelte Elektricitätsmenge zu erhalten, muß man, nachdem die beiden bogenförmigen Hülfsbelege entfernt worden sind, den schrägen Conductor senkrecht stellen, und die horizontalen Elektroden dicht zusammen schieben, so daß die diametral gegenüber liegenden Kämme paarweise metallisch mit einander verknüpft sind und vor den Belegen stehen. Wird nun zwischen den beiden Metallbogen, d. h. zwischen dem verticalen Hülfsconductur und dem horizontalen Elektrodenbogen eine leitende Verbindung hergestellt, z. B. durch eine evacuirte Röhre, so bekommt man in dieser die doppelte Elektricitätsmenge, sobald man die Maschine auf die gewöhnliche Weise erregt. Diese

1) Zu den röthselhaften Erscheinungen, an welchen die Influenzmaschine so reich ist, gehört unter Anderen auch die, dass wenn die heiden horgensörmigen Papierstreisen, welche, wie eben erwähnt, die kleinen horzontalen Belege verlängern, sich nur einseitig bis zu dem schrägen Conductor erstrecken, also etwa bis zu einer Größe von 45°, Strom Umkehrungen vorkommen, sohald die Elektroden sehr weit auseinander gezogen werden. Zwar habe ich solche Umkehrungen nicht immer, und nicht bei Flaschen-Entladungen bemerkt, sondern nur bei der Büschelbildung: allein die neue Einrichtung würde doch erheblich zurückstehen gegen die alte mit offenen Ausschnitten, die von diesem Uebelstande frei zu seyn scheint, wenn er sich nicht entsernen ließe. Gtücklicherweise ist dieß aber zu bewerkstelligen, und zwar dadurch, daß man die horizontalen Belege auch abwärts von dem schrägen Conductor um etwa 45° verlängert, also ihnen im Ganzen eine Ausdehnung von 90° giebt.

So sonderbar die Umstäude zuweilen bei den Umkehrungen sind, ebenso sind sie es hinsichtlich der Funkenlänge. Manchmal will es weder bei der alten, noch bei der neuen Einrichtung, durchaus nicht gelingen diese auf das Maximum zu bringen, und es zeigt sich, dass dann der Strom in dem schrägen Hüllsconductor eine großes Stärke hat. Num ist es zwar begreiflich, dass der Strom zwischen den Elektroden abnehmen muß, wenn er in jenem Gonductor zunimmt; aber weshalb er hierin unter scheinbar gleichen Umständen nicht immer diese schädliche Stärke hat, das ist schwer erklärlich. — Reinheit der Glassflächen hat fibrigens einen großen Einfluß auf diese Anomalien.

Erregung erfolgt durch geriebene Kamm-Masse oder durch den Deckel eines Elektrophors fast momentan, aber erst dann, nachdem die letztere Verbindung hergestellt ist, d. h. alle vier Kämme leitend mit einander verbunden worden sind.

Um die eben genannte Verbindung leicht zu bewerkstelligen, ist der Hülfsconductor vorn, in der Verlängerung des Zapfens, mittelst dessen er an der Axe der Maschine befestigt wird, versehen mit einem hohlen Fortsatz von etwa drittehalb Zoll Länge und einen halben Zoll Dicke, der an seinem Ende eine Kugel trägt. An diese wird die isolirte Kugel eines kleinen beweglichen Stativs geschoben, und letzteres durch die zu untersuchende Geissler'sche Röhre mit dem Elektrodenbogen verknüpft. Diese Vorrichtung hat den Zweck, ganz nach Belieben, den directen, den discontinuirlichen oder den explosiven Strom benutzen zu können: im ersten Fall schiebt man die eben genannten beiden Kugeln dicht zusammen, im zweiten rückt man sie etwas auseinander, im dritten fügt man noch ein Paar kleiner Flaschen hinzu, die man respective an den Fortsatz des Hülfsconductors und an den Elektrodenbogen anlegt, während sie äufserlich leitend mit einander verknüpft sind.

Alles dieses sieht in der Beschreibung weitläufiger aus, als es in der Wirklichkeit ist. In höchstens zwei Minuten ist die Maschine von der einfachen Elektricitätsmenge auf die doppelte gebracht und eben so schnell wieder auf die einfache zurückgeführt, ohne dass man nöthig hat, sie auseinander zu nehmen, wie es früher erforderlich war. Ich glaube daher, dass es zweckmäsig seyn wird, künftig alle Maschinen, namentlich die mit einseitiger Axe, auf die beschriebene Weise vorzurichten.

Nur im Fall man die Absicht hätte, die Rolle der festen Scheibe genauer zu untersuchen, wäre es vielleicht nicht überflüssig, der Maschine auch eine solche Scheibe mit nur zwei gezahnten Belegen beizufügen.

Wie vorhin erwähnt und wie schon in der Klassensitzung vom Febr. 1867 von mir gezeigt worden ist, kann nämlich die Maschine auch durch die feste Scheibe, wenn sie zuvor in ihren beiden Hälften entgegengesetzt elektrisch gemacht ist, in Thätigkeit versetzt werden.

Lässt man nämlich die bewegliche Scheibe eine Zeit lang rotiren, hält sie nun an, nimmt von den Belegen und Elektroden durch ableitende Berührung alle Elektricität fort, und erneut darauf die Rotation, so kommt die Maschine wiederum zur vollen Thätigkeit. Diess ist Wirkung der sesten Scheibe, was auch daraus hervorgeht, dass wenn man diese Scheibe während der Ruhezeit um 180° gedreht hat, der neu entstehende Strom in seiner Richtung dem anfänglichen entgegengesetzt ist.

Auch wenn die (zuvor polarisirte) feste Scheibe während der Ruhezeit nur um 90° verstellt worden ist, gelangt die Maschine bei abermaliger Rotation wiederum zur Wirksamkeit. Und dieser Fall ist besonders interessant, weil dabei die gezahnten Belege, wenn deren nur zwei an der Scheibe vorhanden sind und sie die gewöhnliche Größe nicht überschreiten '), außer Activität gesetzt werden.

Der entstehende Strom ist rein die Wirkung zweier aus der polaren Elektrisirung der festen Scheibe hervorgegangener Elektrophore, eines positiven und eines negativen, vor welchen die bewegliche Scheibe rotirt: und daher erhält man ihn in gleicher Stärke und gleicher Richtung, welch eine Richtung die Rotation dieser Scheibe auch haben mag;

1) Werden dagegen diese Belege, wie es Hr. Holtz in neuerer Zeit zur vermehrten Wirksamkeit des schrägen Conductors gethan hat, durch einen angelegten bogenförmigen Streif von dünnem Papier bis zu einem Quadranten verlängert, so dass ihre Enden bei der angegebenen Stellung der festen Scheibe bis zu den horizontalen Metallkämmen hinanreichen, so sind die Erscheinungen im Ganzen dieselben wie im Fall, wenn die feste Scheibe nicht um 90° gedreht hätte. Der entstehende Strom ist aber wenig stabil und schwach, und der Hülfsconductor, wie er auch gestellt seyn mag, vernichtet ihn gänzlich.

Bei solchen quadrantenförmigen Belegen und der angegebenen Stellung der festen Scheibe läst sich übrigens der Strom, wenn diese Scheibe noch ganz indissernt ist, auf die gewöhnliche VVeise erregen. Nur ist er viel schwächer als im Fall die Kämme den Zähnen näher stehen; auch ist dabei der Hülssconductor nicht anwendbar.

nur die Lichtpinsel an der Scheibe kehren sich um bei einem Wechsel der Rotation; sie sind dieser immer entgegengesetzt.

Die Richtung dieses Elektrophorstroms hängt lediglich davon ab, in welchem Sinne die feste Scheibe verstellt worden ist, da die Metallkämme immer die entgegengesetzte Elektricität von derjenigen ausströmen, welche die ihnen gegenüberstehenden Hälften dieser Scheibe besitzen.

Die Stärke des Stroms ist ganz ansehnlich; ich habe mittelst seiner Funken von fünf Zoll Länge erhalten, und wenn die Metallkämme bloß durch einen metallischen, flüssigen oder gasigen Leiter verbunden sind, besitzt er auch eine beträchliche Dauer.

Dennoch aber kann er den eigentlichen Strom der Holtz'schen Insuenzmaschine weder ersetzen, noch wie Bertsch glaubt, der ihn durch einen Kautschuck-Elektrophor hervorgerusen hat '), erklären. Es mangelt ihm das sinnreiche Princip der steten Erneuung der Elektricität, durch welches die Holtz'sche Maschine, so lange sie in Rotation gehalten wird und die Elektroden eine genügend ausgleichende Verbindung der Metallkämme darbieten, zu einer unerschöpflichen Elektricitätsquelle wird.

Der Elektrophorstrom nimmt allmählig ab, nicht allein weil die Elektrophore ihre Kraft nach und nach verlieren, sondern auch, weil sie von Seiten der rotirenden Scheibe und der Metallkämme eine Rückwirkung erfahren, vermöge welcher sie langsam in einem anderen Sinne elektrisirt werden. Beweis davon giebt der Umstand, dass wenn die feste Scheibe wieder in ihre ursprüngliche Stellung zurück versetzt wird, man entweder keinen Strom bekommt, oder einen, der dem anfänglichen entgegengerichtet ist.

Wenn nun auch nach Allem diesem dem Elektrophorstrom kein practischer Werth beigelegt werden kann, so hat er doch andrerseits theoretisches Interesse genug, um es wünschenswerth erscheinen zu lassen, der Maschine eine zur Beobachtung desselben geeignete Einrichtung zu geben.

<sup>1)</sup> Compt. rend. T. LXIII (1866) p. 771.

Man könnte ihr zu dem Ende eine feste Scheibe mit zwei Belegen hinzufügen; allein ich glaube, dass dies nicht gerade nothwendig wäre, es vielmehr hinreichen würde, an der Scheibe mit vier Belegen zwei der Zähne abnehmbar zu machen, was bei der vorhin beschriebenen Einrichtung jedenfalls keine Schwierigkeit hätte. Versucht habe ich indess noch nicht.

Schliefslich sey hier noch einer interessanten Combination gedacht, durch welche man neben dem eigentlichen Strom der Maschine, den ich den Hauptstrom nennen will, einen zweiten Strom bekommt, der als Nebenstrom zu betrachten ist 1).

Zu dem Ende muss die feste Scheibe mit zwei gezahnten Belegen von gewöhnlicher Größe versehen seyn, und so gestellt werden, dass der eine dieser Belege senkrecht unter dem andern liegt. Bringt man nun vor ihnen den drehbaren Hülfsconductor ebenfalls in lothrechter Stellung an, so kann man sie in gewöhnlicher Weise erregen 2), und in den Elektroden der horizontalen Kämme, denen keine gezahnten Belege gegenüberstehen, den Nebenstrom hervorrusen.

Der letztere Strom geht offenbar, der Hauptsache nach, von der rotirenden Scheibe aus. Führt man nämlich dem oberen Beleg z. B. positive Elektricität zu, indem man ihn mit dem Deckel eines Elektrophors berührt, so strömt der gegenüberstehende Kamm des senkrechten Conductors negative Elektricität auf die Scheibe. Durch die Rotation wird diese negative Elektricität an den rechtsliegenden horizontalen Kamm geführt, der dem gemäß positive Elektricität ausströmt. In ähnlicher Weise giebt, bei der angenommenen Erregung, der untere Kamm des lothrechten Conductors positive Elektricität aus, welche von der rotirenden Scheibe

<sup>1)</sup> Dieser Abschnitt ist nach späteren Erfahrungen etwas verändert und erweitert worden.

Zur Erregung des Hauptstromes ist jedoch nöthig die Elektroden des Nebenstroms etwas auseinander zu ziehen; sonst geschieht sie äußerst sehwierig, vielleicht gar nicht.

vor den links liegenden horizontalen Kamm geführt wird und diesen zur Ausströmung von negativer Elektricität veranlasst.

Vom Negativen zum Positiven gerechnet, geht also der Strom in dem lothrechten Conductor von oben nach unten, und in den horizontalen Elektroden von links nach rechts. Würde der letztere Strom von der festen Scheibe hervorgebracht, so müßte er, da diese Scheibe durch die Belege umgekehrt elektrisirt wird wie die rotirende, durch den lothrechten Conductor, entgegengesetzte Richtung haben. Dieß bestätigt auch die Erfahrung. Denn wenn man den lothrechten Conductor fortnimmt, bekommt man ebenfalls einen Nebenstrom, der aber schwächer ist und entgegengesetzte Richtung besitzt.

Der Strom, den man bei Anwesenheit des lothrechten Conductors beobachtet, ist also nur die Differenz zweier Nebenströme, und diess erklärt wohl zur Genüge, weshalb dieser complexe Strom verhältnismässig so gering an Elektricitätsmenge ist. Die Funken, welche man durch Einschaltung von Flaschen bekommt, folgen nur langsam auf einander, aber sie haben dafür eine bedeutende Schlagweite. Wenn ich die negative Elektrode in einer zwei Zoll großen Kugel endigen lasse, erhalte ich Funken von über sechs Zoll Länge.

Es ist sogar eine Eigenthümlichkeit dieser Combination, dass man die langen Funken besser erhält als die kurzen. Je länger die Funken im Nebenstrom sind, desto besser entwickelt sich der Hauptstrom, der hier gleichsam die Stelle des Reibzeugs der gewöhnlichen Elektrisirmaschine vertritt, indem er die rotirende Scheibe mit Elektricität versieht.

Wenn man die Funken des Nebenstroms eine längere Zeit entwickelt, so beobachtet man, dass sie immer langsamer und langsamer auf einander folgen und endlich ganz aufhören. Diess ist offenbar eine Wirkung des entgegengesetzten Nebenstroms der hinteren festen Scheibe, die um so stärker elektrisirt wird, je länger die Operation dauert.

Um diesen Uebelstand zu entfernen, liess ich die feste

Scheibe vor den Kämmen der horizontalen Elektroden mit großen Ausschnitten versehen, so daß auf diese Kämme nur die rotirende Scheibe wirken konnte. (Während an den gezahnten Belegen vor dem lothrechten Conductor nichts geändert wurde.)

Der Erfolg dieser Abänderung entsprach der Erwartung.

Der hintere Nebenstrom war entfernt worden, und die Funken erschienen nun in gleichem Tempo, wie lange man auch die Operation unterhalten mochte.

Die gleiche und langsame Entwicklung der Elektricität in diesem Strom, verbunden mit der guten Eigenschaft, die er mit dem vorhin genannten Elektrophorstrom gemein hat, sich niemals umkehren zu können, machen ihn vorzugsweise geeignet, Flaschen und Batterien bis zu einem festgesetzten Grade zu laden.

## VII. Ueber das Höhenmessen mit dem Barometer; 1) von Dr. Richard Rühlmann in Karlsruhe.

Wenn bei Ableitung der Gleichungen für barometrische Höhenmessungen auf die Anziehungen derjenigen Erdschichten Rücksicht genommen wird, welche sich in vertikaler Richtung vom Meereshorizont bis zu den Stationen erstrecken, so lautet die Formel:

$$h = \frac{0^{\text{met}}, 76 \cdot D}{2} \left\{ 1 + \alpha \frac{t' + t''}{2} \right\} \left\{ \frac{1}{1 - \frac{1 - c}{2} \left( \frac{\sigma'}{b'} + \frac{\sigma''}{b''} \right)} \left\{ 1 + \frac{2z + h}{r_q} \right\} \times \left\{ \frac{1}{1 - \alpha \cos 2q} \right\} \left\{ \log \frac{b'}{b''} + \frac{h}{r_{\omega}} \cdot M(2 + \frac{3}{2}\delta) \right\}.$$

Hierin bedeutet: D die Dichte des Quecksilbers bei 0",

 Ein Auszug aus diesem Artikel ist durch Hrn. Geheimrath Dove in der Königl. Akademie d. Wissenschaften zu Berlin (Sitzung vom 15. März 1869) mitgetheilt worden. d die Dichte der Luft bei  $0^{\rm met}$ ,76 Druck und  $0^{\rm o}$  Temperatur, M den Modulus des Brigg'schen Logarithmensystems, t' Temperatur, b' Barometerstand,  $\sigma'$  Dunstdruck an der unteren, t'', b'',  $\sigma''$  die enisprechenden Werthe an der oberen Station,  $\alpha$  den Ausdehnungscoöfficienten der Luft, c die Dichte des Wasserdampfes, die der Luft gleich 1 gesetzt z die Höhe der unteren Station über dem Meere,  $r_q$  den für die betreffende Breite  $\varphi$  geltende Erdradius, a den Coöfficient für Aenderung der Schwere mit der Breite,  $\delta$  die Dichte der oberen Erdschichten, die mittlere Dichte der Erde als Einheit angenommen.

Die Voraussetzungen dieser Formel sind die folgenden:
1) dass die Atmosphäre sich im Gleichgewicht befinde,
2) dass für die mittlere Temperatur des zwischen beiden
Stationen liegenden Luftgewichtes das arithmetische Mittel
der Temperatur an der oberen und unteren Station gesetzt
werden könne, 3) dass für die Aenderung der Dichte der
Luft durch den in ihr enthaltenen Wasserdampf das arithmetische Mittel dieser Aenderungen an der oberen und unteren Station eingeführt werden dürfe.

Diese Formel weicht von der von Laplace in der Mécanique céleste gegebenen nur wenig ab; diese letztere aber hat mir, nach Einführung der Regnault'schen Bestimmungen der betreffenden Constanten und Berücksichtigung des Einflusses des Wasserdampfes, zur Berechnung einer großen Zahl barometrischer Höhenmessungen gedient.

Aus Beobachtungen, welche ich mit Hrn. Dr. Albrecht im Jahre 1864 am Valtenberge in Sachsen (Höhendifferenz beider Stationen 869 Par. Fuss) angestellt habe, und aus sechsjährigen Mitteln der meteorologischen Beobachtungen, welche in Genf und auf dem großen St. Bernhard unter Plantamour's Leitung angestellt werden (Höhendifferenz 2070<sup>met</sup>) haben sich folgende Erfahrungsresultate ergeben.

I) Die aus Barometer- und Thermometerbeobachtungen berechneten Höhen sind im Allgemeinen am Tage wesentlich größer als bei Nacht, sie zeigen eine bedeutende tägliche Periode.

2) Die barometrisch bestimmten Höhen erreichen ihr Maximum kurz vor der Zeit der höchsten Tagestemperatur (also meist gegen 1<sup>h</sup>), sinken dann rasch während des Nachmittags, langsamer während der Nacht und erreichen ihren kleinsten Werth nahe zur selben Zeit, wo auch die Temperatur am niedrigsten ist. Vom Minimum aus steigt die Curve dann rasch und steil bis zum Maximum gegen Mittag.

Ein kleines relatives Maximum, ungefähr 2 bis 3 Stunden vor dem Minimum, scheint mehrfach angedeutet, tritt aber nicht immer unzweifelhaft hervor.

3) Die tägliche Periode zeigt sich ferner nur deutlich bei Tagen, an denen bei nahe wolkenlosem Himmel eine regelmäßige Bestrahlung durch die Sonne bei Tage und eine ungestörte Ausstrahlung der Wärme des Erdbodens gegen den kalten Himmelsraum stattfindet.

An trüben oder windigen Tagen vermindert sich die Amplitude der Periode sehr, ohne jedoch ganz zu verschwinden. Die Größe der täglichen Periode ist auch von den localen Verhältnissen sehr abhängig; sie scheint besonders da wesentlich hervorzutreten, wo die Aus- nnd Einstrahlungsfähigkeit des Bodens für Wärme groß, die Wärmecapacität desselben aber gering ist.

Nur für kurze Zeit kann dieselbe durch zufällige Störungen der normalen Verhältnisse ganz zum Verschwinden gebracht werden. Der Charakter der täglichen Periode ist in den einzelnen Monaten, den sehr verschiedenen Umständen der Jahreszeiten entsprechend, sehr verschieden. Die Sommer Monate zeigen sehr große Ausdehnung der täglichen Periode (mit einer mittleren Amplitude von 40<sup>met</sup> bei einer Höhe von 2070<sup>met</sup>), während dieselbe in den Herbstund Wintermonaten sehr klein wird, im December aber fast ganz verschwindet (die mittlere Amplitude beträgt für die gleiche Höhe dann nur noch 13<sup>me</sup>).

4) Die aus Tages- und Monatsmitteln berechneten Höhen zeigen eine jährliche Periode. Dieselben sind im Winter

zu klein und im Sommer zu groß. Die Amplitude der jährlichen Periode ist jedoch geringer als die der täglichen.

- 5) Die Jahresmittel meteorologischer Beobachtungen gehen Höhen, welche von den wahren Werthen sich immer nur sehr wenig entfernen.
- 6) Die Perioden der barometrisch gefundenen Höhen, die täglichen sowohl als die jährlichen, zerfallen in zwei Theile, von denen der eine, und zwar der bei weitem gröfsere, von den Variationen der Temperatur und der andere von den Variationen der Barometerstände herkommt. Diese beiden Theilperioden haben im Allgemeinen entgegengesetztes Vorzeichen.

Bildet man nämlich

$$\frac{\partial h}{\partial \tau}$$
 .  $\Delta \tau \equiv A$ 

und

$$\frac{\partial h}{\partial b'}$$
.  $\Delta b' - \frac{\partial h}{\partial b''}$ .  $\Delta b'' \equiv B$ 

wo man unter  $\varDelta\tau$  die Abweichung der eingeführten Lufttemperatur von ihrem Mittel und unter  $\varDelta b$  die Abweichung des eingeführten Barometerstandes von seinem Mittel versteht, so setzen diese beiden Größen selbstverständlich (den Feuchtigkeitsgehalt der Luft in der Periode als constant vorausgesetzt) die Abweichung  $\varDelta h$  der berechneten Höhe von der aus den Mitteln gefundenen dar, d. h.

$$dh = A + B$$
.

Hierin entspricht B der Aenderung des Luftgewichtes in der Periode. Wäre also  $\tau$  richtig bestimmt, so müßte:

$$A = -B$$
 und  $\Delta h = 0$ 

seyn.

Man sieht also, dass  $\tau$  nicht richtig bestimmt seyn kann, und da man die Perioden in verhältnismässig gleicher Ausdehnung auch bei sehr kleinen Höhen findet, wo man sicher eine der Höhe proportionale Aenderung der Lufttemperatur annehmen kann, so kommt man zu dem Schlusse, dass in den beiden meteorologischen Hauptperioden die Temperatur der Luft sich bei weitem nicht in dem Maasse ändert, als

diess die Thermometer angeben; dass die Lust nur sehr wenig und zögernd an den täglichen Schwankungen und in vermindertem Maasse an den jährlichen Schwankungen Antheil nimmt.

Nach diesen Erfahrungen lag es nahe, das Problem umzukehren und aus dem bekannten Höhenunterschiede zweier Stationen und den bekannten sonstigen Daten diejenige Temperatur zu bestimmen, welche man dem Luftgewichte beilegen müßte, um die wahre Höhe zu erhalten.

Man bestimmt auf diese Weise, unter der Voraussetzung, dass die Barometerstände vollständig richtig seyen, die mittlere wahre Temperatur des Luftgewichtes, welche, wenn f(H) diejenige Function bezeichnet, durch welche die Abhängigkeit der wahren Lufttemperatur von der Höhe H dargestellt wird, definirt wird durch die Gleichung:

$$\tau = \frac{1}{h} \int_{0}^{x+h} f(II) dh.$$

Kann man f(H) innerhalb des Intervalles h als lineare Function ansehen, so gilt r für den Halbirungspunkt der Verbindungslinie beider Stationen.

Für die auf diese Weise bestimmten wahren Lufttemperaturen hat sich aus den sechsjährigen Mitteln der Beobachtungen in Genf und Bernhard gezeigt, dass die Amplituden der Perioden sehr gering und die Extreme gegen die der Thermometerangaben wesentlich verzögert sind. Vorhergehenden gezogenen Schlüsse wurden durch die Erfahrung vollständig bestätigt. Es wird damit gezeigt, dass die Thermometer uns im Allgemeinen keine Lufttemperatu-Die Ursache des Unterschiedes zwiren angeben können. schen Angabe der Thermometer und Temperatur der Luft ist darin zu suchen, dass der Boden in Folge eines verhältnismässig großen Absorptions und Emissionsvermögens für Wärmestrahlen sich bei der Bestrahlung durch die Sonne stark erwärmt, bei Nacht durch Ausstrahlung gegen den kalten Himmelsraum stark abkühlt. - Die Thermometer hängen nun meist in verhältnissmässig geringer Entfernung

von strahlenden Theilen der Erdobersläche und nehmen eine dem Absorptionsvermögen der Kugel derselben entsprechende Menge Wärme auf oder geben sie ab, und zeigen somit eine wesentlich durch Wärmestrahlung der Umgebung bedingte Angabe.

Die Luft hingegen wird, in Folge ihrer überaus geringen Absorptios- und Emissionsfähigkeit und in Folge ihrer Leichtbeweglichkeit, weder durch die Durchstrahlung, noch durch kürzere Zeit dauernde Erwärmung durch Leitung ihre Temperatur wesentlich ändern.

Es zeigte sich daher, dass die Lustmasse zwischen dem St. Bernhard und Genf nur wenig an der kurz andauernden täglichen Periode, hingegen ziemlich merklich an der jährlichen Periode der Temperatur Antheil nimmt.

Die beiden Perioden der barometrischen Höhenmessungen rühren also, wie auf diese Weise erkannt werden kann, davon her, dass dem Luftgewichte, welches zur Basis der Rechnung dient, falsche Temperaturen zugeschrieben werden, wenn das arithmetische Mittel der Thermometer-Ablesungen an der oberen und unteren Station oder sonst eine einfache Function derselben als Lufttemperatur eingeführt wird.

Zahlenbelege zu den angeführten Sätzen, Ausführungen und praktische Anwendungen der gefundenen Resultate werden in einer besonderen Brochüre gegeben werden.

Karlsruhe d. 20. Juni 1869.

# VIII. Ueber Wärmeleitung in organischen Körpern; von C. B. Greifs.

Die Erfahrung hatte gelehrt, dass Körper, welche verschiedene Elasticitätsaxen haben, nach den Richtungen dieser Axen auch in anderen physikalischen Eigenschaften Verschiedenheiten zeigen. Von dieser Erfahrung ausgehend

batte Senarmont die Wärmeleitungsfähigkeit in krystallisirten Körpern untersucht, und war zu den bekannten. schönen, von ihm veröffentlichten Resultaten gekommen, Auf eben diese Erfahrung sich stützend haben dann de la Rive und Decandolle nach der Methode Senarmont's die Wärmeleitungsfähigkeit der Hölzer untersucht, und gefunden, dass dieselbe in der Richtung der Fasern stets gröfser ist, als in der darauf senkrechten. Knoblauch hat später ihre Versuche wiederholt und bestätigt gefunden. Bei den von ihm untersuchten Holzarten war die Verschiedenheit der Leitungsfähigkeit in den angegebenen Richtungen desto größer, je weniger dicht das Holz war. Auch ich habe mich in der letzten Zeit mit demselben Gegenstande beschäftigt, und mir zunächst die Frage gestellt, ob auch bei den Hölzern, wie bei den Krystallen, die isotherme Fläche bald ein Umdrehungsellipsoïd um die große Ane, bald ein dreiaxiges Ellipsoïd sey. Zu diesem Behufe habe ich mir von jedem untersuchten Holze sowohl Plättchen in der Richtung der Fasern, als auch solche in der darauf senkrechten Richtung schneiden lassen. Während bei den ersteren das Wachs stets in einer Ellipse schmolz, deren große Axe in der Richtung der Fasern lag, bildete bei den letzteren das geschmolzene Wachs ohne Ausnahme einen Kreis. Es ist also bei den Hölzern die Wärmeleitungsfähigkeit senkrecht zur Richtung der Fasern nach allen Richtungen ganz gleich. Die Hölzer verhalten sich in dieser Beziehung wie die Krystalle des quadratischen und des hexagonalen Systems. Ihre isotherme Fläche ist ein Umdrehungsellipsoïd um die große Axe. Aufserdem ging aber auch noch aus den Versuchen hervor, dass der von Knoblauch auf Grund seiner Versuche ausgesprochene Satz. dass die Verschiedenheit in der Wärmeleitung größer sey in den weniger dichten Körpern, als in den dichteren, keine allgemeine Gültigkeit beanspruchen kann. Ich erhielt nämlich auf Weissenbuchenholz und auf Nussbaumholz stets eine gestrecktere Ellipse, als auf Tannenholz. Da ferner alle organischen Körper sowohl des Thier- als des Pflanzenreichs

eine ähnliche fibröse Structur, wie die Hölzer zeigen, so lag der Gedanken nahe, die Untersuchung auch auf die übrigen organischen Körper auszudehnen. Ich habe daher nach der Senarmont'schen Methode zunächst folgende pflänzliche Stoffe auf ihre Wärmeleitungsfähigkeit geprüft: die Rinde der Platane, der Birke, der Fichte, der Buche und der Eiche, das Blatt des Ahorn, der Ulme, der Eiche, der Erle, der ficus elastica und der pirus Japonica, die Wurzel der Weissbuche und der zahmen Kastanie (castanea vesca), die Möhre, die Kartoffel, die Kohlrabi, den Apfel, die Birne, die Eichel, die Rofskastanie und die Muskatnufs. Von den Thierstoffen wurden der Untersuchung unterworfen: der Magen des Hammels, die Ochsenblase, die Haut eines Rindes, die Klaue eines Kalbs, der Huf eines Ochsen, der Schenkelknochen eines Ochsen, das Büffelhorn, das Hirschhorn, das Elfenbein, die Perlmutter und die Schale von haliotis (Seeohr). Wenn die Dimensionen des Körpers es erlaubten, wurden mindestens zwei Schnitte gemacht, ein Längsschnitt und ein Querschnitt, bei mehreren Stoffen konnten aber auch drei Schnitte, nämlich zwei auf einander senkrechte Längsschnitte und ein Querschnitt, hergellt werden. Alle Versuche wurden 5 bis 6 mal wiederholt, um zu constatiren, dass die Resultate vollkommen übereinstimmten. Die Untersuchung ergab, dass bei allen der Prüfung unterworfenen flächenartigen Gebilden, wie bei den verschiedenen Blättern, der Haut von einem Rinde, der Ochsenblase usw., das geschmolzene Wachs stets eine Ellipse bald von grösserer, bald von kleinerer Excentricität bildete. Ziemlich gestreckt z. B. waren die Ellipsen auf den Blättern der Ulme und der Erle, auf der Schale von haliotis, auf der Ochsenblase und dem Hammelsmagen. Wenn von den Stoffen Längsschnitte und Querschnitte untersucht werden konnten, erhielt ich auf den Längsschnitten ohne Ausnahme Ellipsen, auf den Querschnitten mit den noch zu erwähnenden Ausnahmen Kreise. Die gestrecktesten Ellipsen, die ich bei meinen Versuchen überhaupt bekommen habe, bildeten sich auf den Längsschnitten der Kartoffel, sie waren entschieden noch gestreckter, als diejenigen, welche auf Kalkspath gebildet werden. Andere dagegen hatten eine so geringe Excentricität, wie diejenigen, welche beim Quarz auf einer mit der krystallographischen Hauptaxe parallelen Platte entstehen. Während in den Längsschnitten die große Axe der Ellipse in der Regel in der Längsrichtung lag, war dieselbe in dem Längsschnitt der Eichel senkrecht zur Länge. Was endlich die erwähnten Fälle betrifft, in welchen bei den Querschnitten keine Kreise, sondern auch Ellipsen gebildet wurden, so kamen diese vor bei den Wurzeln der Weissbuche und der zahmen Kastanie, bei den Rinden der Fichte und der Eiche und bei dem Hufe des Ochsen. Die Querschnitte der Rinden waren Schnitte senkrecht zur Länge des Stamms, und der Querschnitt des Hufes war ein Schnitt senkrecht zur Länge der Sohle des Hufes. Bei den erwähnten Wurzeln und Rinden waren die Ellipsen der Querschuitte weniger gestreckt, als diejenigen der Längsschnitte, bei dem Hufe war es grade umgekehrt

Werden die Ergebnisse der angeführten Versuche zusammengefast, so lassen sie sich in folgenden zwei Sätzen
aussprechen: 1) Wie in den Krystallen mit Ausnahme derjenigen des regulären Systems ist auch in allen organischen
Körpern die Wärmeleitungsfähigkeit nach verschiedenen
Richtungen verschieden; und 2) die isotherme Fläche in den
organischen Körpern ist bald ein Umdrehungsellipsoïd, wie
bei den Krystallen des rhombischen, des monoklinischen und
des triklinischen Systems.

## IX. Veber den Feldspath vom Näröedal in Norwegen; von C. Rammelsberg.

Vor einiger Zeit beschrieb Prof. vom Rath den Feldspath aus dem Norit des Näröedal in Norwegen'), welcher sehr deutliche Zwillingsstreifung und ein V.-G. = 2,714 besitzt. Die Analyse erwies ihn als einen Kalk-Natronfeldspath mit vorherrschendem Kalk (etwa 15 Proc.) und nur wenig Natron (1,86 Proc.), allein das gefundene Verhältnifs der Bestandtheile erlaubte nicht, diesen Feldspath, gemäß dem von Tschermak aufgestellten Gesetze, als eine Mischung von Kalkfeldspath (Anorthit) und Natronfeldspath (Albit) zu betrachten. v. Rath zog daher die Allgemeingültigkeit dieses Gesetzes in Zweifel und suchte die Selbstständigkeit der Labradorconstitution, wenigstens für diesen Feldspath, wiederherzustellen.

Auf Tschermak's Veranlassung übergab v. Rath demselben eine Probe des Materials, welche von E. Ludwig in Wien analysirt wurde. Dieser fand fast doppelt soviel Natron (3,3 Proc.), auch mehr Thoncrde, jedoch weniger Kieselsäure. Auf Grund dieser Untersuchung erklärte Tschermak den Feldspath vom Näröedal, im Einklang mit seinem Gesetz, für eine Mischung von 25 Proc. Albit und 75 Proc. Anorthit<sup>2</sup>).

Prof. v. Rath nahm hieraus Anlass, Kieselsäure, Thonerde und Kalk abermals zu bestimmen, und erhielt für dieselben nahe gleiche Werthe wie früher<sup>3</sup>).

Bei dieser Lage der Sache bat mich mein verehrter Freund Rath unter Zusendung einiger Grm. des Mineralpulvers, jene drei Bestandtheile zu bestimmen Bei Mitthei-

<sup>1)</sup> Diese Ann. Bd. 136, S. 424.

Sitzungsber. d. Wien. Akad. d. Wissensch. v. 1, Juli 1869, und ferner: Diese Ann. Bd. 138. S. 162.

<sup>3)</sup> Diese Ann. Bd. 138, S. 171.

fung des Resultats machte ich ihn darauf aufmerksam, dass eine wiederholte Natronbestimmung unerlässlich, und dass eine genaue Thonerdebestimmung nur bei dieser Gelegenheit möglich sey, wo die Kieselsäure zuvor (durch Fluorwasserstoff) fortgeschafft wäre. Er entsprach bereitwillig meinem Anerbieten, auch diesen Punkt zu erledigen, durch Mittheilung der Substanz, und bei dieser zweiten Analyse fand ich den Natrongehalt genau ebenso, wie ihn Ludwig gefunden hatte.

Ich stelle hier die sämmtlichen Analysen zusammen, nach Abrechnung des Glühverlusts (0,15 Proc. in I, 0,65 in IV).

	Rath		_ F	Ludwig	
	1.	il.	· III.	$\widetilde{lV}$ .	V.
Na <sup>2</sup> O	1,86			3,29	3,30
Ca O	15,65	16,23	15,33	14,67	15,10
Al O <sup>3</sup>	<b>31</b> ,3 <b>5</b>	30,77	32,50	<b>32</b> ,2 <b>7</b>	33,26
Si O <sup>2</sup>	51,32	51,78	51,35	(49,77)	48,94
	100,18			100	100,60.
Oder					
Na	1,38			2,44	2,45
Ca	11,18	11,59	10,95	10,48	10,78
Al	16,68	16,37	17,29	17,17	17,69
Si	23,95	24,16	23,96	23,22	<b>22,84.</b>

In II und III würde die Natronmenge, wenn man sie aus dem Verlust berechnen wollte, gar nur 1,22 resp. 0,82 Proc. betragen. Ich habe also zunächst zu erklären, worauf die Differenzen in meinen beiden Analysen (deren Material nach Rath's Versicherung gleichartig war) beruhen. Die Kieselsäure ist in IV (Anal. mit HFI) aus dem Verlust bestimmt. Da an eine absolut genaue Bestimmung des Na, Ca und Al nicht zu denken ist, da kleine Verluste unvermeidlich sind, diese Verluste aber auf den indirekt bestimmten Bestandtheil fallen, und seine wahre Größe erhöhen, so kann die Kieselsäure jedenfalls nicht mehr als 49\frac{3}{4} Proc. ausmachen, eher etwas weniger, und ein höherer Gehalt, mehr als

50 Proc., wie ihn die drei ersten Analysen zeigen, ist eben zu hoch, da 49.77 schon ein Maximum ist.

Handelt es sich um eine genaue Trennung von Kieselsäure und Thonerde, so stößt man auf erhebliche Schwierigkeiten, und ich behaupte, auf vielfache eigene Erfahrungen gestützt, dass eine solche genaue Trennung und Bestimmung beider überhaupt nicht möglich ist, wenn man ein Silikat in bekannter Weise durch Schmelzen mit kohlensaurem Alkali aufschließt. Weder die Kieselsäure, noch die Thonerde sind rein, wenn man sie sorgsam prüft, jene hinterläßt, mit Flussäure abgedampft, immer einen Rückstand, der Thonerde, Kalk (Magnesia), und selbst Alkali enthält, und mit der Thonerde steht es fast noch schlimmer. Ermittelt man nun noch die kleinen Mengen Kieselsäure, die in der sauren Auflösung enthalten sind, und der Thonerde, dem Kalk etc. folgen, so ist es begreiflich, dass man weit eher zuviel als zu wenig Kieselsäure finden wird. Umstand war es ja, welcher die Bisilikatnatur der Hornblenden so lange verkennen ließ.

Ist also die Substanz der fünf Feldspathanalysen eine und dieselbe, so erreicht der Gehalt an Kieselsäure nicht 50 Proc., und die Zahlen in I, II und III sind zu groß.

Die Extreme bezüglich der Kieselsäure und Thonerde bieten die Versuche II und V dar. Aber die Summe beider (82,55 und 82,20) differirt nur um 0,35.

Wenn aber unter Voraussetzung der Identität der Substanz die Kieselsäure nicht ganz 50 Proc. beträgt, wie steht es mit der Natronbestimmung in der ersten Analyse?

Niemand hat ein Recht, Rath's Angabe zu bezweifeln. Deshalb mußte die Vermuthung entstehen, die Substanz der Analysen sey nicht identisch, die Feldspathmasse sey nicht homogen, beide Natronmengen seyen das Resultat gleich zuverlässiger Bestimmungen. Hierüber ließ sich durch Behandlung mit Säuren Außschluß erwarten, und so habe ich eine größere Menge des Gesteins, welches Rath mir übergab, und von welcher das Material zu den früheren Analysen entnommen war, als Pulver mit Chlorwasserstoffsäure digerirt, und die Kieselsäure von dem Unzersetzten durch

Kochen mit kohlensaurer Natronlösung getrennt, bevor beide getrocknet waren. Ich erhielt:

$$\begin{array}{c|cccc} \text{Unzersetzt} & 44,64 \\ \text{Si O}^2 & 28,00 \\ \text{Al O}^3 & 18,20 \\ \text{Ca O} & 7,87 \\ \text{Na}^2 \text{ O} & 1,65 \\ \hline 100,36 & \hline 100,64. \end{array} = \begin{pmatrix} 50,38 \\ 32,97 \\ 14,21 \\ 2,98 \\ \hline 100,64. \end{pmatrix}$$

Der zersetzte Antheil hat also die Zusammensetzung des Ganzen. Letzteres ist also kein Gemenge, was auch mit der Beobachtung vollkommen im Einklang steht.

Prof. v. Rath hat, nach Kenntnissnahme dieser Erfahrungen, mir gegenüber sich dahin ausgesprochen, dass auch er an der homogenen Natur der Feldspathsubstanz nie gezweifelt habe, dass er aber allerdings einen Verlust bei seiner Natronbestimmung als möglich erachte. Erst durch diese allein berechtigte Selbstkritik wird es erlaubt seyn, Ludwig's und meine Analyse als den Ausdruck der Zusammensetzung des Näröedaler Feldspaths hinzustellen.

Nun ist das Atomverhältniss

Geht man von dem einfachen Verhältnis Na: Ca = 1:2,5 = 2:5 aus, so hat man eine Mischung von 1 Mol. Albit und 5 Mol. Anorthit

$$\frac{\text{Na}^2 \text{ Al Si}^6 \text{ O}^{16}}{5 \text{ (Ca Al}^6 \text{ Si}^2 \text{ O}^6)}$$

$$= \text{Na}^2 \text{ Ca}^6 \text{ Al}^6 \text{ Si}^{16} \text{ O}^{16}$$

berechnet zu

$$\begin{array}{ccc}
\text{Na}^2 & \text{O} & 3,23 \\
\text{Ca O} & 14,60 \\
\text{Al O}^2 & 32,11 \\
\text{Si O}^2 & 50,06 \\
\hline
100.
\end{array}$$

$$= \begin{cases}
27,4 \text{ Albit} \\
72,6 \text{ Anorthit}
\end{cases}$$

Es muís dann Ai: Si = 3:8 = 1:2,66 (gef. 2,57 Rg.) seyn.

1) 
$$\ddot{R} = C_a + \frac{N_a}{2}$$
.

Tschermak's Annahme von 25 Albit und 75 Anorthit ist nicht ganz correct; sie würde das Mol. Verhältnis beider = 5:28 ergeben, d. h. Na: Ca = 1:2,8 (Al:Si = 1:2,6) statt 1:2.5.

Der Feldspath vom Näröedal entspricht also dem für die Kalk-Natronfeldspathe von Tschermak aufgestellten Mischungsregel. Er steht an der Gränze von Anorthit und Labrador, in dem Sinne, wie diese Namen gewöhnlich genommen werden, und sein Vorkommen beschränkt sich nicht auf jenen Punkt.

# X. Diathermansie einer Reihe von Stoffen für Wärme sehr geringer Brechbarkeit; von Carl Schultz-Sellack. 1)

Die Absorption, welche Licht und Wärme bei der Durchstrahlung von Stoffen in gewöhnlicher Temperatur erfahren, ist in den wenigsten Fällen charakteristisch in dem Maaße, wie es die Absorption und Emission der glühenden Gase ist. Einige gefärbte Gase, die Verbindungen von Yttrium, Didym und anderen zeigen im sichtbaren Theil des Spectrums hervortretende Absorptionsstreifen; für die meisten Stoffe ist die Farbe nur ein unvollkommenes Merkmal.

Die nicht sichtbaren Wärmestrahlen werden, nach den Versuchen von Masson und Jamin, von den durchsichtigen Stoffen im Allgemeinen um so stärker absorbirt je geringer ihre Brechbarkeit ist; die im Spectrum dem Roth zunächst liegenden dunklen Strahlen werden von den meisten durchsichtigen Substanzen durchgelassen. Die von Kohlenrufs bei 100° ausgestrahlte Wärme wird von fast allen Stoffen so stark absorbirt, dass schon Schichten von mäßiger Dicke für dieselbe undurchdringlich sind. Die Kohlen-

<sup>1)</sup> Bisher bloss: Carl Schultz.

russwärme von 100°, welche spectral noch nicht untersucht ist, mus deshalb aus Strahlen von bedeutend geringerer Brechbarkeit als die rothen bestehen. In dünnen Schichten, von weniger als 0,5<sup>mm</sup>, respective 0,1<sup>mm</sup> Dicke, sind, wie Melloni ¹) gezeigt hat, viele Stoffe, wie Glas, Gyps, Glimmer, in äußerst dünner Schicht selbst Kohlenruss, für diese Wärme merklich durchlässig. Auch dünne Wasserschichten, Seifwasserlamellen oder capillare Schichten zwischen parallelen Flusspathplatten, lassen, nach des Verfassers Beobachtung, die Russwärme sehr reichlich hindurch.

Die Absorptionscoëfficienten für alle von dieser Quelle ausgesendeten Wärmearten sind aber bei diesen Stoffen so groß, daß durch eine Dicke von mehr als 1<sup>mm</sup> ein beträchtlicher Antheil von Wärme nicht mehr hindurchgeht. Nur Steinsalz, Flußspath, Schwefel absorbiren, nach Melloni's Beobachtungen, Theile der Kohlenrußwärme in so geringem Verhältniß, daß dieselben dicke Schichten dieser Stoffe durchdringen; die gleiche Eigenschaft hat der Schwefelkohlenstoff, die Auflösung von Jod in Schwefelkohlenstoff, das Brom, nach Tyndall²), der Sylvin nach Magnus³), und wahrscheinlich der Zweifach-Chlorkohlenstoff⁴). Diese Stoffe sind zum Theil Elemente, anderentheils Chloride, ein Fluorid und ein Sulphid.

Ich habe gefunden, dass nicht nur alle Chlorverbindungen, sondern auch Brom-, Jod-, Fluorverbindungen der einfachen Stoffe und auch eine Anzahl Sulphide, welche in dem für diese Untersuchung erforderlichen Zustande erhalten werden konnten, dieselbe Eigenschaft besitzen, einen beträchtlichen Theil der Ruswärme hindurchlassen. Die Färbung dieser Stoffe hat also etwas Gemeinsames in Beziehung auf den äußersten Theil des Spectrums.

Als Assistent von Hrn. Prof. Magnus hatte der Verfasser Gelegenheit, den thermoelektrischen Apparat Desselben

<sup>1)</sup> Thermochrôse p. 191.

<sup>2)</sup> Phil. Transact. 1862, p. 67; 1866, p. 83.

<sup>3)</sup> Berl. Monatsber. 1868, S. 307.

<sup>4)</sup> Barrett, Phil. Mag. XXXVI, p. 208.

zur Ermittelung der in der folgenden Tabelle gegebenen Zahlen zu benutzen. Als Wärmequelle diente ein mit Kohlenruss überzogener, durch Wasserdampf geheizter Metallwürfel und eine Scot'sche Leuchtgasslamme; die Zahlen sind aus den Ablenkungen des Spiegelgalvanometers procentisch auf den Werth der directen Strahlung berechnet.

		Durchgehende	e Warmemenge
Durchstrahlte Substanz	Dicke	Russ von 100°	Leuchtgasflamme
Chlorsilber (Ag Cl)	3***	46 Proc.	30 Proc.
Bromsilber (Ag Br)	3	45	42
Bromkalium (K Br)	3	16	13
Jodkalium (K J)	3	11	10
Kryolith (Al, Na, Fl,2)	10	7	<b>2</b> 3
Zinkblende (Zn S)	5	29	23
Schwefelarsen (As, S,)	ı		
mit Schwefel	0,8	21	26
do. do.	3	8	12
Glasiges Selen	0,4	50	<b>36</b> ·
do.	3	16	5.

Die nicht zur Thermosäule gelangende Wärme geht nur zum Theil durch Absorption, zum Theil durch regelmäßige Reflexion und durch Diffusion verloren. Der wahre Werth der Absorption muß also im allgemeinen geringer seyn als ihn die mitgetheilten Zahlen angeben, welche überdieß wegen der unbekannten Zusammensetzung der angewendeten Wärme nicht die Bedeutung von ermittelten Constanten haben können.

Von den untersuchten Stoffen waren vollkommen homogen nur die Zinkblende, von welcher Hr. Prof. Rose mir eine ausgezeichnet klare, schwach gelb gefärbte Platte zur Untersuchung übergab, und das glasige Selen, welches durch Schmelzen und Pressen zwischen dünnen Glastafeln in spiegelnden Platten erhalten war. Die Kryolithplatte, welche ich Hrn. Dr. Krantz in Bonn verdanke, war in der Masse ziemlich klar, äber doch voll feiner Risse.

Chlorsilber und Bromsilber werden durch Schmelzen im

Chlor-, respective Bromdampfstrom als vollkommen glasklare Massen erhalten, denen man durch Umschmelzen zwischen dünnen Glasplatten glatte Oberflächen geben kann. Die Salze haften an dem Glase außerordentlich fest; erwärmte concentrirte Salpetersäure, welche die Salze selbst nicht merklich angreift, zieht sich aber capillar zwischen das Glas und das Silbersalz und bewirkt die Trennung. Das Chlorsilber erscheint vollkommen farblos, das Bromsilber hell bernsteingelb; geschmolzen und stärker erhitzt sind beide Salze dunkelbraun.

Durch Schmelzung erhaltene Platten von Chlornatrium lassen, wie schon Knoblauch fand 1), die Ruswärme hin durch. Chlorkalium, Bromkalium, Jodkalium geben geschmolzen, glasklare Massen, wenn die Substanzen in klaren Krystallen angewendet werden, wie man dieselben durch sehr langsames Verdunsten der Lösungen bei gewöhnlicher Temperatur erhält. Durch das Zusammenziehen beim Erstarren bilden sich indessen meist zunächst der erstarrenden Oberstäche Hohlräume und Bläschen, so dass die Platten niemals völlig homogen und durchsichtig sind. Jodsilber erstarrt zunächst zu einer hellgelb durchsichtigen glasigen Masse, welche aber bei weiterem Erkalten plötzlich trübe wird. Aehnlich verhalten sich Chlorblei und andere Haloïdsalze; das Chlorblei färbt sich beim starken Erhitzen im Chlorstrom nicht dunkel.

Glasiges Selen wurde in der angegebenen Weise in Platten erhalten; Platten von weniger als 1<sup>mm</sup> Dicke lassen von dem leuchtenden Spectrum des directen Sonnenlichtes nur eine ziemlich schmale Bande im alleräußersten Roth hindurch, Platten von mehr als 2<sup>mm</sup> Dicke lassen auch das intensive Sonnenlicht nicht mehr wahrnehmbar durchdringen, Das durch fortgesetztes Erwärmen des glasigen Selens auf 150° erhaltene krystallinische Selen ist selbst in dünnen Schichten für Licht und Wärme undurchdringlich.

In derselben Weise wurden Platten erhalten aus einer Mischung von Schwefelarsen mit Schwefel. Diese Mischun-

1) Pogg. Ann. Bd. 120, S. 177.

ور دو روز د وروز دور روز د وروز دور دور دور gen, wenn sie nicht mehr als höchstens 3 Th. Schwefel auf 1 Th. Dreifachschwefelarsen enthalten, erstarren zu amorphen glasigen Massen von gelbbrauner Farbe, welche bei grofsem Schwefelgehalt erst nach Wochen hart und spröde werden.

Eine Anzahl flüssiger Verbindungen und Auflösungen von Stoffen, welche fest nicht in geeignetem Zustande erhalten werden konnten, wurden in einem mit planparallelen, 2<sup>mon</sup> dicken Steinsalzplatten verschlossenen Glasgefäß in 8<sup>man</sup> dicker Schicht untersucht.

Die in der folgenden Tabelle enthaltenen Zahlen geben die durch das gefüllte Gefäs hindurchgehende Wärme in Procenten von der durch das leere Gefäs hindurchgehenden Menge, und ergeben deshalb noch weniger als die in der ersten Tabelle aufgeführten absoluten Werthe der Absorption.

Durchgehe	nde Wärme
Rufs von 100°	Leuchtgasflamme
44 Proc.	80 Proc.
41	95
50	51
<b>52</b>	57
44	47
5	38
2	30
0	12
0	12.
	Rufs von 100° 44 Proc. 41 50 52 44 5 2 0

Die Phosphorlösung enthielt auf 10 Th. Phosphor nur 1 Th. Schwefelkohlenstoff, die Lösung von Zinnjodid 1,5 Th. Sn  $J_4$  und 1 Th. C  $S_2$ , die Lösung von Chlorkohlenstoff 1 Th.  $C_2$  Cl<sub>6</sub> und 4 Th. C  $S_2$ .

Die Stoffe, welche für die Russwärme atherman sind, wie Paraffin, Kampher und andere, sind auch in Schwefelkohlenstofflösung atherman; umgekehrt darf man aus der Diathermasie der Lösungen wohl auf die Diathermasie der gelösten Stoffe schließen.

Nach den vorstehenden Versuchen ist es wahrscheinlich, dass die Chlor-, Brom , Jod-, Fluorverbindungen aller Elemente in fester oder flüssiger Form für die Kohlenrusswärme von 100° theilweise diatherman sind; ebenso viele Sulphide. Die Haloïdverbindungen complexer Radicale, von Ammonium, Aethyl, Aethylen usw. scheinen die Eigenschaft der Verbindungen der Elemente nicht zu theilen. Die Sauerstoffverbindungen dagegen, wie Wasser, Borsäure, arsenige Säure sind meistens starke Absorbenten dieser Wärme. Von den Elementen sind die sogenannten Metalloïde für die Russwärme anscheinend gut durchlässig; vielleicht ist auch der Kohlenstoff, als schwarze Kohle ein sehr starker Absorbent der Wärme, als Diamant für die Russwärme diatherman, Die Metalle Gold und Silber sind selbst in durchsichtigen Blättchen für dunkle Wärme opak, wie schon Knoblauch 1) beobachtet hat.

Man hat früher angenommen, dass alle Stoffe die dunkle Wärme um so stärker absorbiren, je geringer ihre Brechbarkeit ist, die Wärme von dunklen Wärmequellen stärker als die von leuchtenden. Eine Ausnahme hiervon machte nach Melloni's Beobachtung 2) nur der Kohlenrus in sehr dünner Schicht; derselbe absorbirt umgekehrt die Wärme von leuchtenden Quellen stärker als die von dunklen. Dasselbe Verhalten zeigen in hervortretender Weise eine Anzahl der in der ersten Tabelle aufgeführten Stoffe: Selen, Zinkblende, Chlorsilber.

Diese Stoffe müssen also für gewisse Wärmearten, zwischen den äußersten dunklen Strahlen welche sie durchlassen und dem Roth im Spectrum ein hervortretendes Absorptionsvermögen haben, also Absorptionsbanden im dunklen Theil des Spectrums zeigen.

Berlin, Juni 1869.

<sup>1)</sup> Pogg. Ann. Bd. 101, S. 161.

<sup>2)</sup> Ann. d. chim. t. 72, p. 40.

#### XI. Auffindung von Diamanten in Böhmen.

Hr. Dr. A. Schafarik, Prof. d. Chemie am böhmischen polytechnischen Landesinstitute, veröffentlicht unter d. 15. Jan. dieses Jahres in einer Prager Zeitung folgende, uns mitgetheilte Nachricht.

Acht Meilen nordwestlich von Prag, zwischen der Eger und dem Mittelgebirge, liegen westlich von Libochovitz die Granatgruben von Dlaschkovitz, welche dem Grafen von Schönborn gehören, seit langem ausgebeutet werden und schon lange wissenschaftlich bekannt und von Prof. A. E. Reufs beschrieben sind. Etwa 1 bis 1 Klafter unter dem Ackerund Lehmboden liegt dort auf den horizontalen Schichten des Plänerkalkes eine Reihe ausgedehnter flacher Mulden, die sich vom Basaltgebirge nach dem Flusse zu senken und von einer 1 bis 2 Klafter mächtigen Geröllschichte ausgefüllt Das Gerölle besteht vorwiegend aus Brocken von Basalt, daneben noch Gneis, Sandstein, Plänerkalk, und ist gemengt mit Sand und Grus. Letzterer führt neben vorwiegenden Quarzkörnern auch kleine Körner verschiedener Edelsteine, namentlich Pyrop (sogenannten böhmischen Granat), Zirkon, Spinell (sowohl rothen - sogenannten Rubis-Balais, als schwarzen - sogenannten Pleonast), Korund (gewöhnlich blaugrau, unreinen sog. Sapphir), Chrysolit, und (selten) Turmalin. Von diesen wird nur der Pyrop durch Graben, Waschen und Auslesen des Sandes gewonnen und verschliffen, die übrigen wegen ihrer Unreinheit nicht beachtet; höchstens gelangt hie und da etwas davon in Mineraliensammlungen. Die Frau Gräfin von Schönborn lässt indess die seltenen, etwas ansehnlicheren Exemplare der letztgenannten Edelsteine sammeln, schleifen und zu kleinen Bijoux fassen, um sie als böhmische Souvenirs zu verwenden, deren Hauptwerth natürlich in ihrer relativen Seltenheit Unlängst kam nun unter mehren derlei Steinchen eins in die Schleiferei, welches die Aufmerksamkeit der

Steinschleifer dadurch erregte, dass es nicht nur vom Smirgel nicht angegriffen wurde, sondern im Gegentheile die Schleifscheibe angriff. Der Glanz des Steinchens erregte die Vermuthung, dass es Diamant sey. Hr. Hauptkassier Mašek brachte dasselbe nach Prag zu Hrn. Professor Krejčí. Mein Kollege zeigte mir den Stein am 12. d. M. und bat mich, ihn chemisch zu untersuchen, da diess doch die meiste Sicherheit gebe. Es war uns zwar beiden unwahrscheinlich, dass der Stein Diamant sey, wahrscheinlicher Korund oder Chrysoberyll; um ihn jedoch nicht ohne Noth zu beschädigen, beschloss ich, vorher die physikalischen Eigenschaften genau zu untersuchen. Nachdem eine vorläufige Bestimmung des specifischen Gewichtes ein ungünstiges Resultat ergeben hatte, nahm ich den Stein nach Hause, um seine Härte zu prüfen. Er ritzte Topas, Zirkon, Spinell und Chrysoberyll mit Leichtigkeit; hierauf nahm ich einen blauen sibirischen Korund (den härtesten Stein nächst Diamant), auch dieser wurde tief und kräftig geritzt. In größter Spannung ergriff ich nun einen braunen ostindischen Diamant und versuchte das Steinchen zu ritzen, aber nach längerem kräftigen Reiben blieb dasselbe gänzlich unversehrt. Es war somit Dia-Sogleich eilte ich in mein Laboratorium und nahm nochmals mit möglichster Sorgfalt das specifische Gewicht; im Mittel aus zwei Versuchen fand ich 3,53, vollkommen dasjenige des Diamants. Auch die übrigen physikalischen Versuche ergaben die Eigenschaften des Diamants. Die chemische Untersuchung war überflüssig geworden.

Der erste böhmische Diamant, von mir als solcher erkannt, wiegt genau 57 Milligrammen oder \( \frac{1}{4} \) Karat, ist licht weingelb, und hat annähernd Würfelform mit stark verstümmelten Ecken und Kanten, auch sehr unebenen, aber dennoch glatten und glänzenden Flächen. Der kleinste Durchmesser ist \( 2\frac{1}{2} \), der größte 4 Millimeter; auf der einen Seite besitzt er einen einspringenden Winkel, was beweist, dass er ein unvollkommen ausgebildeter Zwillingskrystall ist; auf einer zweiten Fläche trägt er mehre tiefe scharfkantige glatte Eindrücke von anderen Krystallen, in deren Nähe er

sich gebildet hat; unter einem starken Mikroskope sieht man die Mehrzahl der Flächen von zahlreichen parallelen Streifen (Krystallkanten) bedeckt, gemengt hie und da mit dreieckigen Vertiefungen und spiegelglatten, außerordentlich glänzenden vorragenden Octaëderslächen bis 0,2 Millimeter groß). Durch Reiben wird der Stein stark positiv elektrisch. Beim Erwärmen auf etwa 150° konnte ich im Dunkeln keine Phosphorescenz bemerken; aber diese kann beim Aufkitten behufs des Schleifversuches durch die Erhitzung zerstört worden seyn. Im polarisirten Lichte spielt er Farben, wie schon Hr. Prof. Krejčí bemerkt hatte, was sonst octaëdrisch krystallisirte Körper nicht thun; aber schon Sir David Brewster hat diese Anomalie beim Diamanten beobachtet, und auch ich fand, dass ein kleiner grüner Djamant aus Brasilien, den ich zum Vergleiche nahm, noch stärkere Farben zeigte, als unser böhmischer. Mikroskopische Höhlungen oder Einschlüsse konnte ich nicht bemerken. Was die Härte betrifft, so sind bekanntlich nicht alle Diamanten gleich hart; es giebt welche, die jedem Schliffe widerstehen (holländisch Divelsteene, d. i. Teufelsteine genannt). Der ostindische gilt für härter als der brasilianische, und wird daher vorwiegend zum Glasschneiden verwendet. Es ist nun interessant, dass der böhmische hierin dem ostindischen gleicht; die beiden hatten einander nichts an; während dagegen ein spitziger brasilianischer Splitter, womit ich unseren Stein anhaltend und stark rieb, gänzlich seine Spitze verlor, ohne dass der böhmische Stein unter dem Mikroskope eine Spur eines Ritzes zeigte.

Diamanten wurden bisher gefunden: 1) in Ostindien, und zwar in zwei getrennten Gegenden Vorderindiens, ferner auf den Molucken: Borneo, Celebes, Java — dort überall seit den ältesten Zeiten; 2) in Brasilien, seit 1728 bekannt; 3) am Ural 1829, während Humboldt's sibirischer Reise, zuerst in Krestowozdwižensk, östlich von Perm, also auf europäischer Seite, später (bis 1839) noch an drei anderen Orten, wovon 1 auf europäischer, 1 auf asiatischer Seite, 1 in dem ganz vom Gebirge umschlossenen Thale von

Miask, berühmt durch seinen Mineralreichthum; 4) bald nachher in Mexico (Sierra Madre); 5) in Nordamerika, 1847 bis 1850 in Carolina und Georgia, später in Californien; 6) in Australien (Colony Victoria) 1860; 7) endlich 1867 in Südafrika, nördlich von der Capcolonie. Hieran reiht sich als 8) und erste, eigentlich europäische Fundstätte Böhmen. Dieselbe ist wichtig für die Frage nach dem räthselhaften Ursprunge des Diamanten, welchen Brewster, Liebig und andere bedeutende Forscher in der organischen Natur zu suchen geneigt sind, weil Diamant bis jetzt nur in älteren sedimentären Schichten vorkommt und bei sehr starker Hitze verkohlt; in Dlaschkovitz haben wir ihn gesellt mit Mineralien, welche entschieden ursprünglich im plutonischen Basalt eingewachsen waren, finden auch nirgends in der Nähe jene Gesteine, welche den brasilischen, uralischen und indischen Diamant begleiten. Zum Schlusse noch eine Bemerkung. Bei dem skeptischen Zuge unserer Zeit muss man auf Zweifel am Dlaschkovitzer Funde gefast seyn; auch über die ersten uralischen Funde wurde ausgestreut, man habe absichtlich geschnittene brasilische Steine dem Sande beigemengt, und doch sind laut eines Berichtes des berühmten Montanisten Zerrenner, Inspector der Krondiamantwäschereien, 1829 bis 1847 daselbst 61 verschiedene rohe Diamanten gefunden worden. Ueberlassen wir also die Zweifler dem Zweifel und uns der Freude am Funde, welchem nun, bei einmal geweckter Aufmerksamkeit, gewiss früher oder später andere folgen werden, sicher nicht häufige, sonst wären sie schon früher geschehen 1).

<sup>1)</sup> Mit Bezug auf die Notiz des »Prager Abendblattes«; wonach der Tiblicer Stein nichts als Zirkon seyn soll, nur so viel: Zirkon ist in Tiblic fast so häufig wie Pyrop, aber Härte und specifisches Gewicht sind so verschieden von jenen des Diamantes, daß nur ein Dilettunt sich durch Zirkon täuschen lassen kann.

#### XII. Erste Entdeckung der Wärmewirkung der Mondstrahlen.

Die Frage, ob die Mondstrahlen eine Wärmewirkung ausüben, von der man glauben sollte, sie wäre durch die Versuche von Melloni i. J. 1°46 zur Genüge bejaht worden '), ist in neuerer Zeit veranlasst durch Versuche von Marié-Davy, der diese Wirkung anfangs in Zweisel stellte <sup>2</sup>), später aber doch wiederum einräumte <sup>3</sup>), Gegenstand abermaliger Verhandlungen und geschichtlicher Erörterungen ') gewesen, welche letztere Hr. Zantedeschi dahin ergänzt hat '), dass nicht Melloni, sondern Geminiano Montanari der erste Entdecker der Mondswärme sey. Derselbe habe sie mittelst gewöhnlicher Thermometer, Linsen und Spiegel dargethan und in seinem Werke: L'astrologia convita di salso, 4° Venezia 1685, beschrieben, auch sey sie von Paolo Frisi in seinen Opuscoli slosossei, Milano 1781, bestätigt worden.

Eine fernere Bestätigung derselben liefern übrigens die neuere gründliche Untersuchung des Lord Rosse (Philos. Magaz. 1869 Oct., p. 314) und die des Hrn. Baille (Compt. rend. T. LXIX (1869) p. 960). Ersterer findet, dass sich die Mondwärme zur Sonnenwärme wie 1:79000 verhält, und Letzterer kommt zu dem Resultat, dass der Vollmond im Sommer zu Paris eben so viel Wärme ausstrahle als eine schwarze Fläche von 100° C. in 35 Meter Entfernung von der Thermosäule.

- 1) Diese Ann. Bd. LXVIII, S. 220.
- 2) Compt. rend. T. LXIX, p. 705.
- 3) Compt. rend. T. LXIX, p. 922 et 1154.
- 4) Volpicelli, Ib. p. 920.
- 5) Zantedeschi, Ib. p. 1070.

### 1. Thermochemische Untersuchungen; von Julius Thomsen. 1)

 Ueber die Säuren des Bor, Silicium, Titan, Zinn und Platin und die entsprechenden Fluor- und Chlorverbindungen.

Die Säuren des Bor, Silicium, Titan und Zinn gehören zu denjenigen, für welche die Basicität noch sehr unsicher ist, und deren Aequivalent nur auf theoretischem Wege abgeleitet worden ist. Diese Säuren sind bis jetzt noch nicht auf thermischem Wege von andern Experimentatoren untersucht worden, und selbst ich habe vor 15 Jahren nur (diese Annalen Bd. 91, S. 88) die Borsäure und Kieselsäure einer vorläufigen Untersuchung unterworfen.

#### 1. Die Borsäure.

Die Neutralisationsversuche mit der Borsäure sind wie die schon besprochenen Versuche ausgeführt und umfassen die Reaction von his 6 Aequivalenten Borsäure (BO3) auf ein Aequivalent Natron. Die Concentration der Lösungen war Na + 300 H und B + 300 H; in den Versuchen No. 102 bis 103, wo Borsäure auf doppelt borsaures Natron wirkte, ist die Concentration Na B² + 400 H und B + 200 H. In dem nachstehenden Detail der Versuche haben alle Zeichen dieselbe Bedeutung wie vorher.

Die drei ersten Abtheilungen dieser Arbeit finden sich in Bd. 138,
 5. 65, 205 und 497 dies. Annal.

/NI_	A	1 TD	A>
(Na	Au.	₹.D	AU)

			,	(	D 3	v			
No.	а	ь	T	ta .	t,	t.	r	8	pro. Aeg.
96	B 2255°	Na 675 <b>5</b> ₹ {	18,2 18,5	18,140 18,218	18,630 18,355	19,455 19,2 <b>6</b> 0	863° 857	} ‡	3440°
			(	Na Ag	, ₃̈B A	kq)			
97	360	540	18,8 18,8	18,350 18,350	18,368 18,210	19,870 19,765	1359 1369	} <u>+</u>	6820
				(Ňa Ad					
98	450	450	18,2 17,0	17,900 16,830	17,425 17,2 <b>5</b> 0	19,491 18,865	1672 16 <b>68</b>	}	10005
				(Na Ag	, 4BA	rd)			
99	Йа 386	B 514 {	17,8 17,8	18,000 17,885	18,245 18,063	19,750 19,605	1475 1470	} +	10307
				(Na Ag					
100	337,5	562,5	18,5 18,5	18,055 18,030	18,903 18,723	20,052 19,933	1335 1339	} =	10696
	(Na Aq, 2B Aq)								
101	300	600	19,0 19,0	18,300 18,420	18,790 18,455	19,975 19,800	1229 1238	} 1/9	11101
$(\dot{\mathbf{N}}\mathbf{a} \overset{\dots}{\mathbf{B}^2} \mathbf{A}\mathbf{q}, \ 2\overset{\dots}{\mathbf{B}} \mathbf{A}\mathbf{q})$									
102	Na B <sup>2</sup> 450	450 {	18,4 18,5	18,640 <b>16,665</b>	18,380 1 <b>8,37</b> 5	18,750 <b>18,760</b>	221 <b>22</b> 1	} =	1768
$(\dot{\mathbf{Na}}\ddot{\mathbf{B}^2}\mathbf{Aq},4\ddot{\mathbf{B}}\mathbf{Aq})$									
103	300	600	18,5	18,580	18,355	18,655	206	112	2472

でからいろうなどのなっているというないと

Die Berechnung der Versuche geschieht nach der gewöhnlichen Formel

$$r = a(t_{\circ} - t_{\circ}) + (b + p)(t_{\circ} - t_{\circ}) + \frac{a^2}{450}q,$$

indem hier  $p = 13^{gr}$  und q = 0.

Die Resultate verglichen mit meinen älteren Bestimmungen sind die folgenden:

m	(Na Aq, m B Aq)				
	neue Versuche	ältere Versuche			
to eile per cate este	3440° 6820 10005 10307 10696	3632° 7272 10024 10472			
3 2 4 6	11101 12869 135 <b>73</b>	11320			

Die älteren Versuche, bei welchen ich bei weitem nicht die Genauigkeit erwarten konnte, welche ich jetzt erreiche, stimmen doch sehr gut mit den neuen Versuchen.

Wenn man aus der Wärmeentwickelung bei der Neutralisation das Aequivalent der Borsäure ableiten will, dann muß man es, entsprechend der gewöhnlichen Annahme, als BO<sup>8</sup> annehmen; denn bei der Neutralisation des Natrons mittelst Borsäure steigt die Wärmeentwickelung fast proportional der Säuremenge bis diese BO<sup>3</sup> gegen ein Aequivalent Natron beträgt. Von diesem Punkte an fällt plötzlich der Zuwachs der Wärmeentwickelung bei steigender Säuremenge auf 10 bis 11 Proc. der vorhergehenden, und es ist demnach für BO<sup>3</sup> ein Bruch in der Linie, welche graphisch die Wärmeentwickelung darstellt. Ein ähnliches Verhalten haben alle die schon besprochenen Säuren gezeigt; sohald der Neutralisationspunkt erreicht worden ist, entsteht eine plötzliche Aenderung in der Wärmetönung.

Die Wärmeentwickelung durch einen Ueberschuss von Borsäure steigt allmählich mit der Menge der Säure; bei 2 Aequ. Borsäure beträgt sie 11 Proc. und bei 6 Aequivalenten 35 Proc. mehr als die Neutralisationswärme; die Wärmeentwickelung scheint sich einem Maximum zu nähern, das aber wohl bedeutend höher liegt als dasjenige für 6 Aequ. Säure.

Dass die Borsäure eine schwache Säure ist, zeigt schon ihr ganzes chemisches Verhalten, und es wird auch auf thermischem Wege völlig bekräftigt. Ich habe die Avidität der Säure auf gewöhnlichem Wege bestimmt durch die Einwirkung der Säure auf schwefelsaures Natron und umsekehrt durch die Einwirkung der Schwefelsäure auf borsaures Natron. Im ersten Falle zeigt sich, dass die Borsäure fast gar nicht auf schwefelsaures Natron wirkt, im letzten Falle, dass die Schwefelsäure die Borsäure fast vollständig aus ihrer Verbindung mit dem Natron verdrängt. Die Versuche sind die folgenden:

(Na S Aq, B Aq)								
No.	T	į ta	t <sub>b</sub>	te	r		pro Aeq.	
104 }	20,2 20,2	20,390 20,160	19,935 19,940	20,150 20,045	-`8° 3	} }	_ 33°	
(Na H Aq, S Aq)								
105 }	$\substack{20,2\\20,2}$	21,055 20,920	20,882 20,448	21,925 21,630	883 873	} +	5268•	

Es ist in den Versuchen No. 104  $p = 13^{er}$  und q = 0; in den Versuchen No. 105 ist  $p = 10^{er}$  und  $q = 12^{e}$ ; in allen Versuchen ist  $a = b = 450^{er}$ .

Dass die Avidität der Borsäure sehr gering ist, geht aus diesen Versuchen hervor; sie lässt sich aber nicht genau bestimmen. Nach dem früher Entwickelten sollte die Differenz der Resultate No. 104 und 105 gleich seyn der Differenz der Neutralisationswärme der Schwefelsäure und Borsäure; man sindet nun

$$15689^{\circ} - 10005^{\circ} = 5684^{\circ}$$
  
 $5268^{\circ} - (-33^{\circ}) = 5301^{\circ}$ .

Die letzte Differenz fällt demnach etwas niedriger aus als die

erste, etwa um  $2\frac{1}{2}$  Proc. der Neutralisationswärme. Es ist dieses ein Verhalten, das ich bei mehreren schwachen Säuren beobachtet habe, und das darauf hinzudeuten scheint, dass die entgegengesetzten Zersetzungen nicht genau denselben Grad erreichen. Ich werde später darauf zurückkommen.

#### 2. Die Kieselsäure.

Die Untersuchungen über das thermische Verhalten der Kieselsäure sind mit Schwierigkeiten verknüpft wegen der Leichtigkeit, mit welcher die gelöste Kieselsäure coagulirt, sobald sie sich in neutraler Lösung befindet. Die Neutralisationsversuche wurden theils mit gelöster, theils mit gelatinirter Kieselsäure angestellt; es zeigte sich, was mich anfangs überraschte, dass kein bemerkungswerther Unterschied in der Neutralisationswärme stattfindet, man mag gelöste oder gelatinirte Säure anwenden. Ebenso zeigte sich keine Wärmeentwickelung, wenn ich die Kieselsäure im Calorimeter selbst coaguliren ließ. Es scheint dieses alles darauf hinzudeuten, dass die latente Lösungswärme der Kieselsäure jedenfalls sehr gering ist, was wahrscheinlich auch der Fall ist mit allen sich gelatinös ausscheidenden Körpern.

Die Kieselsäurelösung wurde aus einer Lösung von reinem kieselsaurem Natron, dessen Zusammensetzung aufs genaueste bestimmt worden war, dargestellt, indem die zur Sättigung des Natrons nöthige Menge Chlorwasserstoffsäure hinzugesetzt wurde. Die so gebildete Lösung, die für jedes Aequivalent Kieselsäure 133, 200 oder 400 Aequivalente Wasser enthielt, wurde im Calorimeter mit verschiedener Menge Natronlösung behandelt und die Wärmeentwickelung bestimmt. Gewöhnlich coagulirte die Kieselsäurelösung nach Verlauf von 20 bis 30 Minuten, und der zweite der für jede Reaction gemachte Versuch ist deshalb größtentheils mit coagulirter Kieselsäure angestellt; es stellte sich kein bemerkbarer Unterschied in der Wärmetönung für diese zwei Zustände der Kieselsäure heraus.

Das Detail der Versuche ist das folgende:

(Na Aq, ¼ Si Aq)										
No.	a	b	T	t.	1,	t <sub>e</sub>	r	8	pro Acq.	
106	Na 450	\$i 450 }	20,0 20,0	19,52 <b>5</b> 19,550	19,670 19,618	19 <b>,97</b> 0 19,9 <b>4</b> 0	349° 333	} 1	1364°	
				(Na A	q, Ši A	rd)				
107	450	450	20,2 20,2	19, <b>45</b> 0 19, <b>4</b> 65	20,082 20,065	20,505 20,490	679 667	} ‡	2692	
			(	(Ňa Ag	, şŠi <i>l</i>	Aq)·				
108	450	530 {				21,125 21,230	9 <b>38</b> 9 <b>4</b> 8	} 1	3772	
			(	Na Aq	, 2Ši	Aq)				
109	450	450 {	21,0 21,0	21,060 20,950	21,822 21,150	21,765 21,6 <b>2</b> 0	531 527	} ±	4232	
			(	Na Aq	, 3 <i>Š</i> i.	Aq)				
110	300	600 {	20,9 18,5	20,665 18,200	20,96 <b>2</b> 18,540	21,510 19,070	594 591	} 1/5	5332	
			(	Na Aq	, 4 Ši .	Aq)				
111 112	300	600 {	20,0 20,1	20,075 20,020	19,440 19,435	20,250 20,210	553 5 <b>3</b> 6	} 1 <sup>1</sup> 2	653 <b>4</b>	
				(Na Ac	q, 6 Ši	A)				
113 114	300	600 }	20,0 20,0	20,125 1 <b>9</b> ,935	19,968 19,783	20,480 20,330	426 458	118	7956	

Es ist in diesen Versuchen  $p = 9.75^{\circ}$  und  $q = 10^{\circ}$ .

In den Versuchen No. 111 bis 114 wurde ein ganz eigenthümliches Phänomen beobachtet. Die Temperatur 4, wurde wie gewöhnlich abgelesen, etwa 1 Minute nach stattgefundener Mischung der Flüssigkeiten; kurz nachher trat in allen vier Versuchen ein ziemlich plötzliches Heruntergehen der Temperatur ein, und diese wurde dann wieder constant einige Hundertelgrade unter der Temperatur  $t_s$ . Ich kann mir dieses Phänomen nicht anders erklären als durch Eintreten einer Molecularänderung in der Kieselsäure durch den Einfluß des Natrons, ein Auftreten eines andern isomeren Zustandes. Dieses Verhalten wurde nicht in den 10 ersten Versuchen beobachtet, und die isomere Umänderung scheint demnach nur einzutreten, wenn das Aequivalentverhältniß der Kieselsäure zum Natron 4 oder darüber ist. Die beobachteten Temperaturen  $t_s$  sind unten angegeben, ebenso wie die daraus abgeleiteten Werthe.

No.	t <sub>d</sub>	r	pro Aeq.
111 112 113 114	20,210 20,175 20,440 20,300	517° 504 389 431	{ 6126° 7390

Es ist demnach bei der Reaction in den Versuchen No. 111 bis 112 eine Absorption von 408° und in den Versuchen No. 113 bis 14 eine Absorption von 566° eingetreten.

Die Unsicherheit, mit welcher die Resultate bezüglich der Neutralisation der Kieselsäure stets behaftet seyn werden, veranlaßten mich einige Monate später die Versuche mit einer aufs Neue dargestellten und analysirten Lösung zu wiederholen. Das Detail dieser Versuche war folgendes:

(Na Aq, ½Si Aq)									
No.	a	ь	<b>T</b>	t.	t <sub>b</sub>	t,	r		pro Aeq.
115) 116)	Na 450	Ši 450	18,4 18,4	18.655 18,620	18,535 18,452	18,955 18,8 <del>9</del> 0	838° 333	1	13420
1	Na Aq, Si Aq)  117   450   450 {   18,4  18,730  19,332  19,725  639   } 1   2538								
mel	400	<b>4</b> ĐU		18,490 [ <b>Na A</b> g			630	<del>     </del>	<b>200</b> 0
118	450	450	{  18,4 {  18,4	18,385 18,362	18,970 18,985	19,130 19,120	418 413	\\\\\\\\\\\\\\\\\\\\\\\\\\\\\\\\\\\\\\	3324

## (Na Aq, 2 Si Aq)

No.	а	b	T	t <sub>a</sub>	t,	l.	r		pro Aeq.
119	Na 450	Si 450	{  18,5   18,5	18,138 18,190	18,938 18,825	19,135 19,105	549° 551	} <del>1</del> .	4400°

## (Na Aq, 4 Si Aq)

Es ist in diesen Versuchen wie vorher  $p = 9.7^{sr}$  und  $q = 10^{c}$ .

Auch in diesen Versuchen zeigten sich isomere Umänderungen in der Kieselsäurelösung. Erstens beobachtete ich in den Versuchen No. 120 bis 121 ganz wie bei den oben beschriebenen Versuchen eine ziemlich plötzliche Abnahme der Temperatur der Mischung, nachdem sie schon einige Zeit auf der Temperatur t. gestanden hatte; es betrug die Absorption pro Aequivalent Natron 270°. Zweitens beobachtete ich in den Versuchen No. 115 bis 116, dass die Temperatur der Mischung einige Zeit constant blieb, etwa 0°,1 unter der Temperatur t., welche sie dann ziemlich plötzlich erreichte, wodurch eine Wärmeentwickelung von 368° pro Aeq. Natron eintrat. Bei dem entsprechenden Versuche No. 106 habe ich dieses Phänomen übersehen und nur das Maximum abgelesen.

Das ganze Phänomen erhält durch diese Wirkungen in entgegengesetzter Richtung ein höheres Interesse; wenn die Kieselsäuremenge klein ist (½ Aequ.), tritt erst eine schwächere Wärmeentwickelung ein, welcher aber bald eine zweite Wärmeentwickelung folgt; umgekehrt, wenn die Kieselsäuremenge groß wird (4 bis 6 Aequ.), tritt eine Wärmeentwicklung ein, auf welche nach kurzer Zeit eine Absorption folgt. In den obigen Resultaten ist das Maximum angegeben: das Minimum berechnet sich aus folgenden Zahlen:

No.	ı.	r	pro Aeg.
115	18,860	253°	974°
116	18,780	284	
120	18,765	514	
121	19,600	513	

Die Resultate der beiden Versuchsreihen weichen etwas von einander ab; es ist wohl aber kaum zu vermeiden, daßs solche Abweichungen eintreten, theils wegen der Schwierigkeit des Versuches selbst, theils wegen der eintretenden Isomeriephänomene. Die Resultate selbst und deren Mittel sind die folgenden.

α	(Na Ag,		
			Mittel
1/2	1364°	1342c	135 <b>3</b> °
1	2694	2538	2615
<u>.</u>	3772	3324	3548
2	4232	4400	4316
3	5332		5332
4	6534	6432	6483
$\tilde{6}$	7956		7956

Aus diesen Zahlen geht hervor, dass die Kieselsäure ein von den übrigen besprochenen Säuren ganz abweichendes Verhalten zeigt; denn bei diesen zeigte sich eine Wärmeentwickelung, die der Säuremenge proportional wächst, bis diese ein Aequivalent gegen ein Aequivalent Natron beträgt; aber nach eingetretener Neutralisation hört dann die Wärmeentwickelung fast ganz auf, oder es tritt gar eine Wärmeabsorption ein.

Bei der Kieselsäure ist es ganz anders; freilich zeigt sich die Wärmeentwickelung ziemlich proportional der Säuremenge, bis diese ein Aequivalent (Si O²) gegen ein Aequivalent Natron erreicht hat, aber sie fährt fort mit steigender Säuremenge und erreicht bei 6 Aequ. Kieselsäure eine Größe, die über 3 mal so groß ist als bei 1 Aequ. Säure, und das Maximum scheint bei weitem noch nicht erreicht bei dieser Größe. Die graphische Darstellung des Phänomens zeigt

uns eine hyperbolische Curve, deren Asymptote sich noch bedeutend von dem erreichten Maximum 7956° entfernt.

Die Wärmeentwickelung bei 6 Aequ. Kieselsäure ist etwa nur die Hälfte derjenigen, welche wir als Neutralisationswärme der übrigen Säuren beobachtet haben, und die Neutralisationswärme der Kieselsäure bei 1 Aequ. Säure ist nur bis bis derjenigen der übrigen Säuren. Von allen übrigen schon besprochenen Säure zeigt nur die Cyanwasserstoffsäure eine so geringe Neutralisationswärme wie die Kieselsäure; aber bei ihr ist das Maximum mit einem Aequivalent Säure erreicht, bei dieser steigt die Wärmeentwickelung fortwährend sehr bedeutend.

Ein Uebergang zwischen den übrigen Säuren und der Kieselsäure bildet gewissermaaßen die Borsäure; bei dieser erkennt man aber deutlich die eintretende Neutralisation bei dem Verhältniß von 1 Aequ. Säure gegen 1 Aequ. Natron, denn von diesem Puncte an, wo die Wärmeentwickelung 10005° oder 4 mal so viel als die entsprechende der Kieselsäure beträgt, steigt die Wärmeentwickelung nur etwa 10 so stark wie vorher, und bei 6 Aequivalenten Borsäure ist sie nur etwas über 1/3 gesliegen, während wir bei 6 Aequ. Kieselsäure eine 3 mal so große Wärmeentwickelung als die Neutralisationswärme gefunden haben.

Es geht aus diesen Zahlen hervor, dass die Kieselsäure keinen bestimmten Neutralisationspunkt besitzt, was auch mit der gewöhnlichen chemischen Erfahrung übereinstimmt. Wir haben in diesen Versuchen nur mit Massenwirkungen zu thun, analog denjenigen, welche ich später bei den Versuchen über das Verhalten der Schwefelsäure zum Wasser besprechen werde. Es sind dieses die chemischen Wirkungen nach unbestimmten Proportionen, wie sie in der Berthollet'schen Theorie hervortreten. Die Wärmeentwickelung, welche den Process begleitet, ist eine hyperbolische Function, die ein bestimmtes Maximum erreichen kann für  $w=\infty$ . Derartige Functionen lassen sich mit einer gewissen Approximation durch eine rechtwinklige Hyperbel

ausdrücken, deren einer Zweig durch den Anfangspunkt des Coordinatensystems geht, und deren Formel demnach

$$y = \frac{xC}{x+n}$$

wird, worin a und C constante Größen sind. Ich kabe schon in der Abhandlung I gezeigt, dass die Wärmeabsorption bei der Reaction der Schweselsäure auf schweselsaures Natron sich durch eine solche Formel hinlänglich bestriedigend ausdrücken lässt, und ich werde jetzt zeigen, dass sie auch auf obige Zahlenwerthe angewendet werden kann, obgleich die Approximation hier nicht so groß werden kann wegen der bei diesen Versuchen unvermeidlichen Fehler.

Durch die Methode der kleinsten Quadrate findet man für die Function

$$y=(\dot{N}a~{\rm Aq},~x\ddot{\rm Si}~{\rm Aq}),$$
  $x$  die Anzahl der Aequivalente Kieselsäure bezeichnet  $C=13410^\circ$ 

und es berechnen sich dann folgende Werthe.

<i>x</i>	Versuch	Formel	Abweichung
1 2 2 3 4 6	1353° 2615 3548 4316 5332 6483 7956	1406° 2545 3487 4279 5535 6488 7838	+ 53° - 70 - 61 - 37 + 203 + 5 - 118

4:27

Für die Werthe x=3 und 6 sind die numerischen Abweichungen die größten; es sind aber eben diese Werthe, welche nur durch die eine Versuchsreihe bestimmt worden sind und deßhalb auch ungenauer seyn müssen als die übrigen, welche als Mittel aus zwei Versuchsreihen hervorgehen; die größte Abweichung beträgt aber dennoch nur 4 Procent. Der Werth  $C=13410^\circ$  zeigt, daß die Wärmeentwickelung noch weit über die schon beobachtete steigen kann, wenn x oder die Kieselsäuremenge wächst, denn es ist  $13410^\circ$  die Wärme für x=x. Es hat einiges Interesse,

dass der Werth 13410° mit der Neutralisationswärme der meisten Säuren zusammenfällt.

Die Avidität der Kieselsäure ist fast Null, denn es entsteht bei der Reaction von I Aequ. Kieselsäure auf I Aequ. Chlornatrium (Versuch No. 122) eine Wärmeabsorption von nur 40°, während bei vollständiger Zersetzung des Chlornatriums eine Absorption von etwa 11000° eintreten würde; die Avidität der Kieselsäure ist demnach, ebenso wie die der Borsäure, höchstens ein Paar Tausendstel derjenigen der Chlorwasserstoffsäure.

Die Kieselsäure ist bekanntlich bedeutend leichter löslich in einer Flüssigkeit, welche freie Chlorwasserstoffsäure enthält als in Wasser. Neutralisirt man mittelst Chlorwasserstoffsäure genau eine Lösung des kieselsauren Natrons, so coagulirt die Lösung selbst bei sehr starker Verdünnung oft schon nach einigen Minuten; ist dagegen ein Ueberschuss von Chlorwasserstoffsäure vorhanden, so bleibt Kieselsäure Tage lang in der Lösung. Es war demnach nothwendig zu untersuchen, ob eine thermische Reaction zwischen der Kieselsäure und der Chlorwasserstoffsäure stattfinde. Es wurde desshalb eine neutrale Lösung von Kieselsäure mit Chlorwasserstoffsäure vermischt und die eintretende Wärmeveränderung bestimmt. Ich gebe hier das Detail dieses Versuches und desjenigen zur Bestimmung der Avidität der Kieselsäure.

(Na Cl Aq, Si Aq)									
No.	$oldsymbol{T}$	t.	16	t <sub>c</sub>	r			pro Aeq.	
122 }	21,6 21,6	21,965 21,890	20,625 22,100	21,265 21,975	-11° - 9	}	14	- 40°	
		(	H Cl Aq	, Ši Aq	)				
123	21,8 21,8	21,650 21,712	22,058 21,850	21,890 21,815	+40 +41	<b>i</b> }	1 .	+162	

Es ist  $a = b = 450^{gr}$ ;  $p = 9.7^{gr}$  and  $q = 10^{c}$ .

Der Versuch No. 123 zeigt, dass bei der Reaction von Chlorwasserstoffsäure auf Kieselsäure nach gleichen Aequivalenten eine schwache Wärmeentwickelung, 162° pro Aequ., stattfindet.

Das Siliciumchlorid zersetzt sich bekanntlich unter bedeutender Wärmeentwickelung durch Wasser; ich habe durch den folgenden Versuch den Werth

$$(Si Cl^2, Aq) = 34620^c$$

gefunden. Es wurde eine durch A bezeichnete Menge Chlorsilicium in 900<sup>st</sup> Wasser gelöst. Die Berechnung des Versuches geschieht nach der Formel

**9027** 
$$(t_{\bullet}-t_{\bullet})$$
 .  $\frac{85,1}{4}$ ,

worin 85,1 das Aequivalent des Siliciumchlorids ist. Das Detail ist folgendes

	(Si Cl², Aq)									
No.	A	$r \mid$	t <sub>a</sub>	t <sub>b</sub>	t.	r ·	pro Aeq.			
124	2,820 3,685	16,6 16,8	16,8 16,8	16,645 16,580	17,907 18,228	1148 1899	34643° 34617			

#### 3. Die Zinnsäure.

Der Ausgangspunkt dieser Untersuchung bildet das destillirte Zinnchlorid, welches zur Zersetzung mit Wasser eine klare Lösung von Zinnsäure in Chlorwasserstoffsäure bildet. Wird eine solche Lösung mit 1,2 und 4 Aequivalenten Natron versetzt, so läßt sich aus der entstehenden Wärmeentwickelung das Verhalten der Zinnsäure zur Chlorwasserstoffsäure einerseits und zum Natron anderseits berechnen. In den unten angegebenen Versuchen No. 125 bis 127 habe ich gefunden

α	(Sn Cl <sup>2</sup> Aq, α Ña Aq)
1	12976°
2	25639
4	30720

In dem ersten dieser Versuche, wo 1 Aequ. Natron auf Zinnchloridlösung reagiri, entsteht kein Niederschlag von Zinnsäure; die Flüssigkeit wird aber schwach opalisirend und giebt nach Verlaufe eines Tages einen der Kieselsäure ganz ähnlichen gallertartigen Niederschlag; die Flüssigkeit reagirt noch stark sauer. In diesem Falle ist die Wärmeentwickelung 12976° oder 746° geringer als diejenige, welche eintreten würde, wenn die Flüssigkeit nur freie Chlorwasserstoffsäure enthalten hätte, denn für diese Säure ist die Neutralisationswärme 13740°.

In dem zweiten Versuche, wo 2 Aequ. Natron auf Zinnchloridlösung reagiren, wird die Zinnsäure vollständig niedergeschlagen und die Flüssigkeit wird neutral; in diesem
Falle ist die Wärmeentwickelung 25936° oder doppelt so
groß als im vorhergehenden Falle; wäre die Chlorwasserstoffsäure nicht an Zinnsäure gebunden gewesen, müßte die
Wärmeentwickelung 2×13740° gewesen seyn; die Differenz
macht 1556°, und diese Größe ist eben der Werth der
Reaction von Zinnsäure auf Chlorwasserstoffsäure oder

かられるというというというというというないのできないのできないのできないが、これできないというと

 $(\ddot{\mathbf{S}}\mathbf{n} \, \mathbf{A}\mathbf{q}, \, \mathbf{2}\mathbf{H} \, \mathbf{Cl} \, \mathbf{A}\mathbf{q}) = 1556^{\circ}.$ 

In dem dritten Versuche, wo 4 Aequ. Natron auf die Zinnchloridösung reagiren, entsteht eine völlig klare Lösung von stark alkalischer Reaction, und die Wärmeentwickelung ist 30720° oder 4784° größer als im zweiten Versuche. Diese Vermehrung der Wärmeentwickelung hat ihren Ursprung in der Reaction der Zinnsäure auf die zwei Aequivalente Natron, welche nicht durch Chlorwasserstoffsäure gebunden werden, und es ist demnach

 $(Sn Aq, 2Na Aq) = 4784^{\circ}.$ 

Aus dem letzten Resultate ergiebt sich, dass die Zinnsäure nur eine geringe Affinität zum Natron hat; sie ist aber doch größer als diejenige der Kieselsäure, denn für diese Säure haben wir oben gefunden

 $(\ddot{S}i Aq, 2 \dot{N}a Aq) = 2706^{\circ}.$ 

Dass die Zinnsäure ein ähnliches Verhalten gegen Natron wie die Kieselsäure zeigt, ist kaum zu bezweiseln; es ist aber nicht leicht es thermisch nachzuweisen, und ich habe es daher nicht versucht.

Aus den beiden ersten Versuchen geht hervor, dass die Lösung des Zinnchlorids in Wasser als eine Lösung von Zinnsäurehydrat in Chlorwasserstoffsäure zu betrachten ist; denn die Flüssigkeit verhält sich gegen Natron fast wie freie Chlorwasserstoffsäure, nur ist die bei der Neutralisation entstehende Wärmeentwickelung um etwa 6 Proc. geringer, was von der Affinität der Zinnsäure zur Chlorwasserstoffsäure herrührt, welche wie oben angegeben 1556° beträgt.

Das Verhalten der Zinnsäurelösung gegen schwefelsaures Natron erklärt sich vollständig aus der Wirkung der Chlorwasserstoffsäure auf schwefelsaures Natron. Ich habe in der Abhandlung I gezeigt, dass dieses Salz in wässriger Lösung durch Chlorwasserstoffsäure theilweise zersetzt wird. Dieses ist nun eben der Fall, wenn eine Auflösung von schwefelsaurem Natron zu einer Lösung von Zinnchlorid in Wasser gesetzt wird; durch die Reaction des genannten Salzes auf die Chlorwasserstoffsäure der Lösung bilden sich Chlornatrium und freie Schwefelsäure, und die ihrem Lösungsmittel beraubte Zinnsäure schlägt sich nieder. Die Fällung der Zinnsäure durch schwefelsaures Natron ist deshalb von einer Wärmeabsorption begleitet, welche hauptsächlich von der Zersetzung des schwefelsauren Natrons durch Chlorwasserstoffsäure herrührt. Aus den unten angegebenen Versuchen No. 128 bis 129 geht hervor, dass

$$(Sn Cl^2 Aq, \dot{N}a \ddot{S} Aq) = -1976^{\circ}$$
  
 $(Sn Cl^2 Aq, 2Na \ddot{S} Aq) = -3088.$ 

Die ganze Wassermenge beträgt im ersten Versuche 800 Aequivalente und im zweiten 1200 Aequivalente; im ersten Versuch, wo nur 1 Aequ. schwefelsaures Natron reagirt, findet die Fählung der Zinnsäure nur langsam statt, im zweiten Versuche, wo 2 Aequ. schwefelsaures Natron wirken, dagegen schnelt. Bekanntlich kann man sich auch der Schwefelsäure und des solpetersauren Ammoniaks zur Fällung der Zinnsäure bedienen, aber die Fällung tritt oft erst nach Verlauf von 24 Stunden oder längerer Zeit ein, wenn

die Zinnsäure modificirt worden ist. Bei der begränzten Zeit, in welcher die calorimetrischen Versuche angestellt werden müssen, ist desshalb in diesen Fällen kaum ein Wärmephänomen zu beobachten. Die unten mitgetheilten Versuche No. 130 bis 131 geben:

$$(\text{Sn Cl}^2 \text{ Aq}, 2 \ddot{\text{S}} \text{ Aq}) = +8^{\circ}$$
  
 $(\text{Sn Cl}^2 \text{ Aq}, 2 \ddot{\text{Am}} \ddot{\text{N}} \text{ Aq}) = -184,$ 

die Reaction ist demnach ganz verschwindend klein.

Auf die Lösung des Zinnchlorids in Wasser zeigt ferner die Chlorwasserstoffsäure keine thermische Wirkung; auch eine Lösung von Chlorkalium bringt keine bemerkenswerthe thermische Wirkung hervor. Der unten angeführte Versuch No. 132 giebt

$$(Sn Cl^2 Aq, K Cl Aq) = -126^{\circ}.$$

Dies Verhalten bietet ein größeres Interesse dar, weil bekanntlich das Zinnchlorid mit dem Chlorkalium ein bestimmtes Doppelsalz bildet. Ich untersuchte deßhalb die Bildung des Doppelsalzes,  $Sn\ Cl^2 + K\ Cl$ , etwas näher. Es war für diese Untersuchung nothwendig den calorischen Werth folgender Reactionen zu bestimmen:

- 1) die Zersetzung des Zinnchlorids durch Wasser,
- 2) die Lösung des Chlorkaliums in Wasser,
- 3) die Lösung des Doppelsalzes in Wasser, und
- 4) die Reaction der beiden Chloride auf einander.

Dass die Reaction des Zinnchlorids auf Wasser von einer bedeutenden Wärmeentwickelung begleitet ist, zeigt die unmittelbare Beobachtung: ich habe sie unten, Versuch No. 135 bis 136, bestimmt und gefunden

$$(Sn Cl^2, Aq) = 14960^{\circ}.$$

Dies ist zwar eine bedeutende Wärmeentwickelung; sie ist aber weit geringer als bei den anderen Chloriden dieser Gruppe.

Das Chlorkalium löst sich in Wasser unter Wärmeabsorption, und dasselbe ist der Fall mit dem Zinnkalium-Doppelchloride: ich habe in den Versuchen No. 133 bis 134 gefunden

1

(K Cl, Aq) = 
$$-4440^{\circ}$$
  
(Sn Cl<sup>2</sup> K Cl, Aq) =  $-1688$ .

Chlorkalium verbindet sich nicht direct mit Zinnchlorid bei gewöhnlicher Temperatur auf trockenem Wege, und ich konnte desshalb nur die Reaction auf nassem Wege untersuchen; wie ich schon angegeben habe, ist diese Reaction

 $(\operatorname{Sn} \operatorname{Cl}^2 \operatorname{Aq}, \operatorname{K} \operatorname{Cl} \operatorname{Aq}) = -126^{\circ}.$ 

Während die Reaction der Lösungen nur von einer höchst geringen Wärmeabsorption begleitet ist, muß die Vereinigung der Bestandtheile, wenn sie ohne Mitwirkung des Wassers geschieht, von einer starken Wärmeentwickelung begleitet seyn, wie aus folgender Gleichung hervorgeht.

 $(Sn Cl^2, K Cl) + (Sn Cl^2, K Cl, Aq)$ 

= (Sn Cl², Aq) + (K Cl, Aq) + (Sn Cl² Aq, K Cl Aq). Die linke Seite der Gleichung drückt die Wärmetönung bei der Reaction des Zinnchlorids und Chlorkaliums und die darauf folgende Auflösung der Verbindung in Wasser aus, die rechte Seite der Gleichung dagegen die Summe der Wärmetönungen, welche eintreten, wenn erst Zinnchlorid und Chlorkalium in Wasser gelöst und die Lösungen dann mit einander vermischt werden. In beiden Fällen sind die Componenten und das Endresultat dieselben, und es findet desshalb die Gleichheit der Wärmetönung statt. Durch Benutzung der oben gegebenen Werthe erhält man

 $(Sn Cl^2, K Cl) - 1688^c = 14960^c - 4440^c - 126^c$  $(Sn Cl^2, K Cl) = 12082^c.$ 

Während die wäsrigen Lösungen von Zinnchlorid und Chlorkalium sich ohne bemerkenswerthe Wärmetönung mischen, ist dagegen die Bildung des Salzes auf trockenem Wege von einer bedeutenden Wärmeentwickelung begleitet; es zeigt dieses, das das Zinnchlorid-Chlorkalium sich durch Auflösen in Wasser zersetzt, und dass die Lösung aus Zinnsäurehydrat, Chlorwasserstoffsäure und Chlorkalium besteht. In der That zeigt auch die Lösung dieselbe Unbeständigkeit wie diejenige des Zinnchlorids in Wasser.

Ich werde jetzt die experimentellen Grundlagen dieser Untersuchungen mittheilen. Die Buchstaben haben alle dieselbe Bedeutung wie vorher.

(Sn	$Cl_3$	Aq,	αNa	Aq)
-----	--------	-----	-----	-----

•			(	1,		· ·		
No.			ta		t.	r		pro Aeq.
125 126 127	1 2 4	16,7 16,7 16,6	16,155 16,215 16,270	17,625 16,650 16,302	18,670 18,205 17,330	16 <b>2</b> 2¢ 1 <b>621</b> 960	1 1 1 1 3 2	12976° 2 <b>5936</b> 30720
			(Sn Cl	<sup>2</sup> Aq, .α	Na S A	<b>q</b> )		
128 129	1 {	16,7 16,8 16,7	17,040 17,140 17, <b>24</b> 5	17,125 17,052 16,540	16,800 16,813 16,665	247 247 193	}	-1976 -3088
			(Sn	Cl² Aq,	αŠAq	)		
130	2	16,7	17,323	16,945	17,118	1	1/8	8
			(Sn Cl	<sup>2</sup> Aq, α	Àm 🛱 A	rd)		
131	2	14,8	14,512	14,920	14,682	-23	18	-184
			(Sn Cl	l <sup>2</sup> <b>A</b> q, α	K Cl A	<b>q</b> )		
132	1	16,7	16,790	17,600	17,165	-21	ł	-126

In allen Versuchen ist  $a=b=450^{\rm gr}$ ,  $p=9.7^{\rm gr}$  und  $q=10^{\circ}$ . Das Aequivalent des Zinns ist 59.0, demuach Sn Cl<sup>2</sup> = 129.92°.

In den nächsten Versuchen ist die Reaction des Wassers auf Chlorkalium, Zinnchlorid und Zinnchlorid-Chlorkalium bestimmt; es wurde eine abgewogene Menge der Substanzen (in der Tabelle durch A, und ihre Temperatur durch t, bezeichnet) in 900<sup>gr</sup> Wasser gelöst und die Wärmetönung gemessen; die Versuche sind:

(K	Cl.	Aq)	1)
,	<b>~-</b> -,	****	,

No.	A	T	t <sub>a</sub>	t <sub>6</sub>	to	r	8	pro Aeq.
.133	gr 18,65	17,2 17,1	17,1 17,1	17,160 17,160	15,940 15,940	-1110 $-1110$	} 1	-4440°
134	25,28	15,2 15,2	•	Cl <sup>2</sup> . K   15,855   15,763			} +	-1688
			(	(Sn Cl²,	Aq)			
135 136	46,48 47,87	16,0 16,0	16,2 16,3	15,385 15,520	21,273 21,569	5355 5502		14977 14942

In den beiden letzten Versuchen geschieht die Berechnung von t. auf bekannte Weise aus den Beobachtungen

No.	<i>t</i> <sub>1</sub>	t <sub>2</sub>	t <sub>3</sub>	t4	t <sub>5</sub>	t <sub>6</sub>
135	21,255	21,230	21,210	21,190	21,165	21,145
136	21,555	21,535	21,515	21,495	21,475	21,460

Die Berechnung der Versuche geschieht dann nach der Formel

$$r = 906,7 (t_c - t_s).$$

Bezeichnet C das Aequivalent der Substanz, so ist  $s = \frac{A}{C}$  und das Resultat für das Aequivalent  $= \frac{r}{s}$ .

#### 4. Die Titansäure.

Die Titansäure eignet sich nicht gut für calorimetrische Untersuchungen, weil sie sich nicht in verdünnter Natronlauge löst. Ich habe mich darauf beschränkt, die Reaction des Titanchlorids auf Wässer und diejenige der wässrigen Lösung auf Natron zu untersuchen.

Die Reaction des Titanchlorids auf Wasser ist äußerst heftig, und es sind besondere Vorkehrungen zu treffen, wenn

1) Der von Favre und Silbermann für diese Reaction bestimmte Werth ist etwa 12 Proc. zu niedrig: sie finden die latente Lösungswärme für 18<sup>r</sup> Chlorkalium gleich 51<sup>c</sup>,9 oder für das Aequivalent gleich 3872<sup>c</sup> (Ann. de chim. et de phys. III, V. 37, p. 414).

die Resultate mit Genauigkeit erhalten werden sollen. Wegen der fast explosionsartigen Einwirkung lassen sich auch nicht größere Quantitäten auf einmal zersetzen. Nach dem unter angegebenen Versuchen No. 137 bis 138 ist die Wärmeentwickelung

 $(Ti Cl^2, Aq) = 28933^c,$ 

oder sehr nahe doppelt so groß wie diejenige des Zinnchlorids. Die Lösung wird nicht ganz wasserhell, weil eine geringe Menge der gebildeten Säure sich ausscheidet.

Die so erhaltene Lösung der Titansäure in Chlorwasserstoffsäure wurde mit einer zur Sättigung der gebildeten Chlorwasserstoffsäure nöthigen Menge Natron (2 Aequivalenten) versetzt und die Wärmeentwickelung gemessen. Sie betrug nach den Versuchen No. 139

 $(\text{Ti Cl}^2 \text{ Aq}, 2 \text{ Na Aq}) = 23832^c.$ 

Bei der Reaction wird die Titansäure ausgeschieden und Chlornatrium gebildet. Der Bildung zweier Aequivalente Chlornatrium entspricht eine Wärmeentwickelung von 27480°, und demnach sollten die fehlenden 3648° der Reaction der Titansäure auf Chlorwasserstoffsäure entsprechen, oder

 $(Ti O^2 Aq, 2H Cl Aq) = 3648^c.$ 

Wird anstatt 2 Aequ. Natron die doppelte Menge verwendet, so ist die Wärmeentwickelung wohl etwas größer als oben angegeben, aber die Titansäure löst sich selbst nach längerer Zeit nicht vollständig auf, und es kann deßhalb die Neutralisationswärme der Titansäure nicht auf diesem Wege bestimmt werden.

Die hieher gehörenden Versuche sind:

	Beneficial Political Committee									
	(Ti Cl², Aq)									
No.	A	$_{m{r}}$						pro Aeg.		
				'"		,		pro meq.		
137	gr 4,795	15,7	15,5	15,430 15,465	17,020	1446°		28950°		
138	6,020	15,7	15,5	15,465	17,460	1814		28916		
(Ti Cl² Aq, 2Na Aq)										
139	{	17,7 17,7	16,580 17,050	18,040 17,820	19,185 19,200	1846 1491		23832		

In den Versuchen No. 137 bis 138 ist A das Gewicht des verwendeten Titanchlorids; die Wassermenge betrug 900<sup>57</sup> und die Berechnung geschieht nach der Formel

$$r = 909,7 (t_b - t_c).$$

In den Versuchen No. 139 ist  $a = 300^{sr}$ ,  $b = 600^{sr}$ ,  $p = 9.7^{sr}$  und  $q = 10^{\circ}$ , und die Berechnung geschieht nach der gewöhnlichen Formel. Das Aequivalent des Titans ist Ti = 25.

#### 5 Die Platinsäure.

Die große Analogie, welche das Platinchlorid und das Zinnchlorid besonders in den verschiedenen Doppelsalzen zeigen, könnte erwarten lassen, daß auch die entsprechenden Oxyde ähnliche Eigenschaften zeigen würden. Ganz gegen meine Erwartung zeigten sich hier sehr abweichende Phänomene.

Bekanntlich existirt kein neutrales Platinchlorid; die krystallisirte Verbindung ist entweder Pt Cl<sup>2</sup> + N O<sup>2</sup> Cl oder Pt Cl<sup>2</sup> + H Cl je nachdem Salpetersäure oder Chlorwasserstoffsäure beim Eindampfen der Lösung im Ueberschuss zugegen ist; versucht man durch Erhitzen diese Verbindungen zu zersetzen, so wird das Platinchlorid gleichzeitig zu Chlorür reducirt. Schon durch dieses Verhalten trennt sich das Platin vom Zinn.

Die für diese Untersuchung bereitete Platinlösung wurde durch Auflösen von Platin in Salpetersäure und wiederholtes Eindampfen mit concentrirter Chlorwasserstoffsäure dargestellt. Das krystallisirte Salz wurde in Wasser gelöst und der Analyse unterworfen; es enthielt Platin und Chlor in dem Verhältnisse von 1:2,985 Aequivalenten und eine sehr geringe Menge Platinchlorür. Durch Chlorwasserstoffsäure und Wasser wurde sie demnach genau auf die Zusammensetzung Pt Cl<sup>2</sup>. H Cl + 600 H gebracht, und von dieser Lösung wurde zu jedem Versuche ½ Acquivalent verwendet; das Aequivalent des Platin ist zu 98,7 angenommen; es wurden demnach für jeden Versuch 8,225<sup>gr</sup> Platin verwendet.

Die Lösung des chlorwasserstoffsauren Platinchlorids wurde nun im Calorimeter mit Natronlösung vermischt und zwar so, dass in den drei Versuchen 1, 2 und 3 Aequ. Natron gegen 1 Aequivalent des Platinsalzes verwendet wurde. Die Versuche gaben folgende ganz unerwartete Resultate:

a	(Pt Cl2 . H Cl Aq, a Na Aq)
1	13608°
2	13620
3	13668

oder in Worten: die Wärmeentwickelung bei der Reaction des Natron auf chlorwasserstoffsaures Platinchlorid ist dieselbe, man mag 1,2 oder 3 Aequivalente Natron anwenden.

Die Wärmeentwickelung, welche der Neutralisation der Chlorwasserstoffsäure durch Natron entspricht, ist 13740°, nur um 1 Proc. von den obigen Zahlen verschieden. Die Chlorwasserstoffsäure des Platinsalses verhält sich vollkommen wie freie Säure.

Die saure Reaction des Platinsalzes wird durch das erste Aequivalent Natron vollständig aufgehoben und die gebildete Verbindung Pt Cl<sup>3</sup>. Na Cl reagirt neutral; durch dieses Verhalten trennt das Platin sich auch vom Zinn, dessen entsprechendes Salz stark sauer reagirt.

Durch das zweite und dritte Aequivalent Natron tritt keine fernere Zersetzung ein. Es zeigt sich dieses ganz deutlich dadurch, dass die Wärmeentwickelung nicht wächst; das über I Aequivalent hinaus hinzugesetzte Natron ist ohne irgend eine Wirkung auf das Platinchlorid. Hiermit stimmt auch ganz überein, dass die Platinlösung alkalisch wird, sobald mehr als I Aequivalent Natron zugegen ist; denn nur dieses wird von der Chlorwasserstoffsäure gebunden, der Rest dagegen ist ungebunden neben dem Platinchloridchlornatrium in der Lösung. Auch durch dieses Verhalten ist das Platinchlorid bestimmt verschieden vom Zinnchlorid, dessen Lösung sauer reagirt bis die letzte Spur des Chlors in Chlornatrium umgewandelt ist.

Das Platinchlorid wird demnach in wäßriger Lösung nicht von der Natronlösung zersetzt, wenigstens nicht in verdünnten Lösungen und bei niederer Temperatur, und es erklärt sich hiedurch die Schwierigkeit, Platinoxyd auf nassem Wege darzustellen. Die Hartnäckigkeit, mit welcher das Platinchlorid der Einwirkung des Natronhydrats widersteht, erinnert an die gleichfalls schwierige Zersetzung des Kohlenstoffchlorids durch Natronhydrat, selbst in alkoholischer Lösung; und gleich wie das Chlor sich im Kohlenstoffchlorid nicht durch die gewöhnlichen Reagentien (z. B. Silbersalz) nachweisen lässt, ist es auch der Fall mit dem Chlor im Platinchlorid. Wir werden unten sehen, dass auch im Verhalten gegen Fluorwasserstoffsäure ein wesentlicher Unterschied zwischen dem Platin einerseits und dem Zinn, Silicium und Titan anderseit existirt, wodurch das Platin sich gleichfalls dem Kohlenstoff nähert.

Das Detail der genannten Versuche ist folgendes:

(Pt Cl	. Н	Cl A	<b>lq</b> , α	Ńа	Aq)
--------	-----	------	---------------	----	-----

No.	α.	T	l.	t <sub>b</sub>	t.	r	8	pro Aeg.
141	1	18,6	18,100	18,350	19,462	1134°	1 T 2	13608¢
142 143	2	18,6 18.6	18,228 18,290	18,415 18,465	19,560 19,620	1135 1189	117	13620 13668

Es ist a = b = 450, p = 9.7 und  $q = 10^{\circ}$ . Das Aequivalent des Platins ist zu  $98.7^{\circ r}$  angenommen.

6. Die Fluorverbindungen des Bor, Silicium, Titan, Zinn und Platin.

Während die Chlorwasserstoffsäure keine bemerkenswerthe Reaction auf die Säuren der genannten Körper zeigt, ist im Gegentheil die Reaction der Fluorwasserstoffsäure eine sehr kräftige und von einer bedeutenden Wärmeentwickelung begleitel, die bezüglich der Größe an die Wärme bei Neutralisation des Natrons durch Säuren erinnert.

Wird ein Aequivalent Borsäure in wässriger Lösung mit 3, 4 und 6 Aequ. Flusssäure gemischt, so ist die Wärmeent-

wickelung nach den unten angegebenen Versuchen No. 144 bis 146

α	(BAq, αHFlAq)
3	· 12816¢
4	14700
6	14568

Es tritt demnach das Maximum ein, wenn die Flüssigkeit die Zusammensetzung B Fl³. H Fl erhält, oder wenn die ganze Menge der Borsäure in Fluoborwasserstoffsäure von der gewöhnlich angenommenen Zusammensetzung umgewandelt ist. Ein Ueberschuss an Fluorwasserstoffsäure bringt keine fernere Wärmeentwickelung hervor.

Für die Reaction der Fluorwasserstoffsäure auf die anderen Säuren habe ich folgende Werthe gefunden (Versuch No. 147 bis 151)

R	(RAq, 3HF(Aq)				
Ši	1636 <b>4</b> °				
Sn	10490				
Ťi	15450				

Die Zahlen für die Borsäure und die Kieselsäure können als zuverlässig betrachtet werden; diejenigen der Zinnsäure und Titansäure bedürfen vielleicht einer Correction; denn während jene durch Reaction von Fluorwasserstoffsäure auf die freien Säuren bestimmt worden sind, habe ich die beiden letzten aus der Reaction der Fluorwasserstoffsäure auf die chlorwasserstoffsauren Lösungen der Säuren bestimmt.

Unter der Annahme, dass die Gegenwart von Chlorwasserstoffsäure die Bildung der Fluorzinusluorwasserstoffsäure nicht hemme, was nicht unwahrscheinlich ist, da der Versuch gezeigt hat, dass die Chlorwasserstoffsäure ohne Einwirkung auf die Fluorkieselsäure ist, wird die Reaction der Fluorwasserstoffsäure auf die Zinnsäure durch die Summen der Reactionen jener Säure auf Zinnchloridlösung und der

Chlorwasserstoffsäure auf Zinnsäure bestimmt. Nun haben wir

Ich habe diese Zahl dadurch controlirt, dass ich Fluorsäure direct auf Zinnsäure habe einwirken lassen, wodurch ich 9664° gefunden habe; aber diese Zahl kann nur als ein Minimum betrachtet werden; denn die einmal ausgeschiedene Zinnsäure tritt leicht in eine andere Modification über. Es zeigt sich nämlich, dass die Wärmeentwickelung noch kleiner wird, wenn die Reaction der Fluorsäure erst einige Zeit nach der Fällung der Zinnsäure stattfindet, und die Zinnsäure stärker modificirt worden ist.

Für das Titan wird in ähnlicher Weise gefunden

No. 151 (Ti Cl<sup>2</sup> Aq, 3 H Fl Aq) = 
$$11802^{\circ}$$
  
No. 139 (Ti O<sup>2</sup> Aq, 2 H Cl Aq) =  $3648$   
(Ti O<sup>2</sup> Aq, 3 H Fl Aq) =  $15450^{\circ}$ .

Das Platinchlorid zeigt aber ein ganz abweichendes Verhalten, denn es wird von der Fluorwasserstoffsäure in wäßzriger Lösung durchaus nicht afficirt; das Platin trennt sich demnach auch in dieser Beziehung vom Bor, Silicium, Titan und Zinn und nähert sich dem Kohlenstoff.

Von den hiehergehörigen Säuren habe ich die Flusskieselsäure näher untersucht. Eine wässrige Lösung der Säure wurde zu diesem Zwecke mit Natron in verschiedenem Acquivalentverhältnissen zusammengebracht; es wurden gegen 1 Acquivalent Natron 2, 1,  $\frac{2}{3}$ ,  $\frac{1}{3}$  und  $\frac{1}{6}$  Acquivalente Flusskieselsäure angewendet. Die Resultate sind (Versuch No. 152 bis 156)

u	(Ña Aq, α Si Fl <sup>a</sup> H Aq)
2	13256°
1	13312
3	11688
<b>3</b> .	10240
1 6	5968

Die verwendeten Lösungen waren so verdünnt, dass die Mischung 800 Aequ. Wasser gegen jedes Aequivalent Natron enthielt; dessungeachtet bildet sich in den drei ersten Fällen doch ein Niederschlag von slusskieselsaurem Natron; die latente Wärme des sich ausscheidenden Salzes ist aber ohne Einsluss auf die oben gegebenen Zahlen; denn das Auskrystallisiren des Salzes beginnt erst ein paar Minuten nach beendeter Mischung, so dass die Temperatur der Flüssigkeit nach beendeter Reaction abgelesen werden kann, ehe dass sich etwas Salz ausscheidet. Nachdem die Temperatur etwa 1½ Minute constant geblieben ist, beginnt das Steigen desselben durch die latente Wärme des sich ausscheidenden Salzes.

Die angegebenen Zahlen entsprechen nun ganz dem eigenthümlichen Verhalten der Flusskieselsäure gegen das Natron. Bekanntlich neutralisirt die Flusskieselsäure ein Aequivalent Natron; es ist demnach die Neutralisationswärme

$$(\dot{N}a Aq, Si Fl^8 H Aq) = 13312^c,$$

und kommt derjenigen der übrigen Wasserstoffsäuren (für Chlorwassersäure 13740°) sehr nahe.

Ein Ueberschuss der Säure bringt keine erhöhte Wärmeentwickelung hervor; im Gegentheil zeigt sich eine kleine Absorption, ganz analog dem, was ich bei den meisten übrigen Säuren beobachtet habe, denn es ist

$$(Na Aq, 2Si Fl^3 H Aq) = 13256^{\circ}.$$

Wenn aber die Menge der Säure geringer ist als 1 Aeq., wird die Reaction complicirter. Es bildet sich erst ein der Säuremenge entsprechendes Quantum fluorkieselsaures Natron; dann aber beginnt die Reaction des überschüssigen Natrons auf das gebildete Salz, und es entstehen Fluornatrium und, je\_nach der Menge des Natron, entweder Kieselsäure oder kieselsaures Natron. Beobachtet man den Process im Calorimeter, so sieht man, dass das Thermometer erst die Temperatur angiebt, welche der durch die Neutralisation entstehenden Wärmemenge entspricht; nach einigen Augenblicken fängt aber die Temperatur wieder an zu steigen und erreicht ein zweites Maximum durch die Wärmeentwickelung bei der Zersetzung des gebildeten Salzes durch überschüssiges Natron.

Diese doppelte Wirkung lässt sich auch leicht direct beobachten. Setzt man etwas Lackmus zur Fluorkieselsäure, so wird die Flüssigkeit durch Zusatz von Natron bald blau; nachdem sie einige Augenblicke gestanden hat, wird sie wieder roth; man kann sie dann wiederum durch Natron blau färben, sie wird aber stets nach Verlauf einiger Augenblicke wieder roth, bis endlich so viel Natron hinzugesetzt worden ist, dass die Zersetzung des Salzes vollständig geschehen ist.

Die Zusammensetzung der Flüssigkeit in den drei letzten Versuchen ist

für 
$$\alpha = \frac{2}{3}$$
  $\frac{1}{2}$ Na Si Fl<sup>8</sup>  $+ \frac{1}{2}$ Na Fl  $+ \frac{1}{6}$ Si O'  
 $\alpha = \frac{1}{3}$  Na Fl  $+ \frac{1}{3}$ Si O'  
 $\alpha = \frac{1}{6}$   $\frac{1}{2}$ Na Fl  $+ \frac{1}{6}$ Na<sup>8</sup> Si.

Im ersten Falle ist  $\frac{1}{6}$  Aeq. Fluorkieselsäure zersetzt, der Rest aber als Natronsalz zugegen; im zweiten Falle ist die ganze Menge ( $\frac{1}{3}$  Aeq.) der Säure zersetzt, und im letzten Falle ist ebenfalls die ganze Menge ( $\frac{1}{6}$  Aeq.) der Säure zersetzt, aber gleichzeitig kieselsaures Natron gebildet. Setzen wir nach Versuch

No. 153 (Na Aq, Si Fl<sup>3</sup> H Aq) = 
$$13312^{\circ} = a$$
  
No. 49 u. 50 (Na Aq, H Fl Aq) =  $16172 = b$   
No. 147 u. 148 (Si Aq, 3H Fl Aq) =  $16364 = c$   
(3 Na Aq, Si Aq) =  $2913 = d$ ,

den letzten Werth berechnet aus der oben angegebenen Formel, so haben wir

für 
$$\alpha = \frac{2}{3} \dots \frac{a}{2} + \frac{b}{2} - \frac{c}{6} = 12015^{\circ} \dots 11688^{\circ} + 327$$

$$\alpha = \frac{1}{3} \dots \qquad b - \frac{c}{3} = 10717 \dots 10240 + 477$$

$$\alpha = \frac{1}{6} \dots \frac{d}{6} + \frac{b}{2} - \frac{c}{6} = 5845 \dots 5968 - 123.$$

Die Abweichungen betragen 2 bis 4 Proc., was freilich ziemlich bedeutend ist. Es ist aber sehr wahrscheinlich, daß einerseits die Zersetzung der Fluorkieselsäure nicht ganz vollständig in der kurzen Zeit geschieht, in welcher die Flüssigkeiten im Calorimeter verweilen, und daß anderseits kleine Nebenwirkungen stattfinden. Der ganze Vorgang der Processe tritt aber aus diesen Zahlen sehr deutlich hervor.

Ich theile jetzt das Detail der hieher gehörenden Versuche mit.

(B	Aq,	$\alpha H$	FI	Aq)
•	3'			1

No.	α	T	l <sub>a</sub>	t <sub>b</sub>	t.	r	8	pro Aeq.
144 145 146	4 {	17,6 18,0 18,0 17,6	17,922 18,420 18,380 17,945	16,550 18,322 18,130 16,700	17,582 19,020 18,878 17,770	534° 613 612 607	$   \left\{   \begin{array}{c}     \frac{1}{24} \\     \frac{1}{24} \\     \frac{1}{24}   \end{array}   \right. $	12816° 14700 14568

## (Si Aq, 3H Fl Aq)

147 148	3 }	17,6 17,6 19,2	17,545 17,575 19,220	16,807 16,820 18,500	18,533 18,555 20,735	1356 1359 1823	$ \begin{cases} \frac{1}{12} \\ \frac{1}{9} \end{cases} $	16290 16438
148	3 {	19,2 19,2	19,220 19,325	18,500 18,370	20,735 20,690	1823 1830	1 19	1643

In diesen Versuchen enthielt der Behälter B die Fluorwasserstoffsäure; es ist  $a=300^{\rm sr}$ ,  $b=600^{\rm sr}$ ,  $p=9.7^{\rm gr}$  und  $q=10^{\rm o}$ . Die Versuche No. 147 u. 148 sind zu verschiedenen Zeiten mit verschiedenen Flüssigkeiten angestellt.

#### (Sn Cl<sup>2</sup> Aq, $\alpha$ H Fl Aq)

-			•	-				
No.	α	T	l <sub>a</sub>	t <sub>b</sub>	t.	r		pro Acq.
149 150	$\begin{bmatrix} 2 \\ 3 \end{bmatrix}$	18,0 18,0 18,5	19,040 17,300 17,945	18,690 17,185 17,212	19,870 18,060 18,370	925° 755 734	} 1/2	7400° 8934
(Ti Cl² Aq, 3H Fl Aq)								
151	3 {	18,5 16,2	18,248 16,828	18,545 15,925	19,195 17,290	735 846	16 14	11760 11844
(Na Aq, αSi Fl³ H Aq)								
152 153 154 155 156	1 2/3	15,5 15,7 15,9 15,9 15,8	15,950 15,612 15,635 15,640 15,637	14,810 15,550 15,773 15,985 16,070	17,185   17,400   17,300   17,210   16,665	1657 1664 1461 1280 746		13256 13312 11688 10240 5968

In allen diesen Versuchen ist  $a = b = 450^{sr}$ ,  $p = 9.7^{sr}$  und  $q = 10^{s}$ .

Die Hauptresultate der im vorliegenden 4. Abschnitt enthaltenen Untersuchungen sind folgende:

1) Die Kieselsäure besitzt keinen bestimmten Sättigungspunkt; die Wärmeentwicklung bei der Neutralisation der Säure durch Natron steigt mit der Säuremenge, beträgt für 1 Aeq. Säure (Si O²) gegen 1 Aeq. Natron nur 2615°, erreicht bei 6 Acq. Säure gegen 1 Aeq. Natron den Werth von 7956° und scheint bei steigender Säuremenge den Endwerth von 13410° erreichen zu können. Die Wärmeentwicklung lässt sich approximativ durch die Formel

$$y = \frac{x}{x + 4.27} \, 13410^{\circ}$$

ausdrücken, worin x die Anzahl Aequivalente der Säure bezeichnet, welche auf 1 Aeq. Natron einwirken.

- 2) Bei der Einwirkung des Natrons auf die Kieselsäure in wässriger Lösung scheinen unter gewissen Umständen isomere Modificationen der Säure sich zu bilden.
- 3) Die latente Wärme des Kieselsäurehydrats scheint sehr gering zu seyn.

- 4) Die Titansäure und Zinnsäure scheinen ihrem ganzen Verhalten nach sich der Kieselsäure anzureihen.
- 5) Die Borsäure bildet einen Uebergang zwischen den in den früheren Abschnitten besprochenen Säuren mit bestimmten Sättigungsphänomenen und der Kieselsäure; denn die Wärmeentwicklung bei der Neutralisation der Borsäure mit Natron steigt proportional der Säuremenge, bis diese I Aeq. (BO3) gegen 1 Aeq. Natron beträgt und verändert dann plötzlich ihren Charakter. Während ich aber bei den meisten übrigen Säuren eine Wärmeabsorption bei einer das Aequivalent übersteigenden Menge der Säure nachgewiesen habe, steigt bei der Borsäure die Wärmeentwicklung fortwährend Während die Neutralisationsmit der Säuremenge. wärme der Borsäure 10005° beträgt, steigt die Wärmeentwicklung auf 13573°, wenn 6 Aeq. Borsäure auf 1 Aeg. Natron einwirken.
- 6) Die Avidität der genannten Säuren ist so gering, dass sie kaum bestimmt werden kann; alle diese Säuren sind demnach sehr schwache Säuren.
- 7) Die Chlorverbindungen des Silicium, Titan und Zinn zersetzen sich durch Wasser unter bedeutender Wärmeentwicklung; ich habe gefunden:

$$(Si Cl^2, Aq) = 34630^{\circ}$$
  
 $(Ti Cl^2, Aq) = 28933$   
 $(Sn Cl^2, Aq) = 14960.$ 

Die Affinität zwischen der Chlorwasserstoffsäure und den gebildeten Säuren ist sehr gering; es verhält sich die Lösung bei Neutralisation mit Natron fast wie freie Chlorwasserstoffsäure.

- 8) Die Fällung der Zinnsäure aus der salzsauren Lösung mittelst schwefelsauren Natrons beruht auf der Zersetzung dieses Salzes durch die Chlorwasserstoffsäure der Lösung; die Fällung ist von einer starken Wärmeabsorption begleitet.
- 9) Zinnchlorid und Chlorkalium verbinden sich auf trocknem Wege unter bedeutender Wärmeentwicklung: ich

habe gefunden (Sn Cl<sup>2</sup>, K Cl) = 12082°; das gebildete Doppelsals löst sich in Wasser unter Wärmeabsorption (Sn Cl<sup>2</sup>. K Cl, Aq) = - 1688°, und die gebildete Lösung verhält sich als eine *Mischung* von Chlorkalium, Zinnsäure und Chlorwasserstoffsäure.

- 10) Das krystallisirte Platinchlorid, Pt Cl<sup>2</sup> + H Cl, löst sieh unzersetzt in Wasser. Durch Natron wird die Chlorwasserstoffsäure gesättigt unter einer ebenso großen Wärmeentwicklung, als wäre sie vollkommen freie Säure; dagegen wird das Platinchlorid selbst durchaus nicht durch Natron in verdünnter wäßriger Lösung zersetzt; die Wärmeentwicklung hört auf und die alkalische Reaction tritt ein, sobald gegen 1 Aeq. Platinchlorid, Pt Cl<sup>2</sup> + H Cl, 1 Aeq. Natron zugegen ist oder eben die Menge, welche die Chlorwasserstoffsäure sättigt.
- Die Reaction des Fluorwasserstoffs auf die Säuren des Bor, Silicium, Zinn und Titan ist von bedeutender Wärmeentwicklung begleitet; ich habe gefunden

 $(\ddot{B} Aq, 4H Fl Aq) = 14700^{\circ}$   $(\ddot{S}i Aq, 3H Fl Aq) = 16364$   $(\ddot{T}i Aq, 3H Fl Aq) = 15450$  $(\ddot{S}n Aq, 3H Fl Aq) = 10490.$ 

Die Reaction tritt selbst bei Gegenwart freier Chlorwasserstoffsäure ein; dagegen ist die Fluorwasserstoffsäure ganz ohne Wirkung auf das Platinchlorid.

12) Die Fluorkieselsäure (als Typus der durch die eben besprochene Reaction entstehenden Säuren) besitzt einen festen Neutralisationspunkt entsprechend dem Aequivalent SiFl<sup>2</sup> + HFl, und die Neutralisationswärme ist !3312°, also sehr nahe derjenigen der Chlorwasserstoffsäure (13740) gleich, während die Fluorsäure eine Neutralisationswärme von 16172° besitzt. Ein Ueberschuss der Säure vermindert die Wärmeentwicklung etwas wie wir es auch bei der Chlorwasserstoffsäure beob-

achtet haben. Ist die Menge des Natrons größer als 1 Aequivalent gegen 1 Aequivalent der Säure, so wird diese bekanntlich zersetzt, und es läßt sich die steigende Zersetzung mit steigender Natronmenge durch die der Reaction begleitende Wärmeentwicklung genau verfolgen.

Kopenbagen, October 1869.

# II. Ueber die Circularpolarisation bei einigen sechsgliedrigen unterschwefelsauren Salzen; von Carl Pape.

Im Winter von 1867 auf 68 fand ich bei gelegentlichen optischen Beobachtungen an einer Reihe sechsgliedriger unterschwefelsaurer Salze, von denen einige die früher beschriebenen eigenthümlichen Verwitterungserscheinungen 1) gezeigt hatten, dass sie sämmtlich die Polarisationsebene des Lichtes, zum Theil in beträchtlicher Weise drehen. Besonders stark ergab sich die Drehung am Blei- und Kalisalze, schwächer am Kalk- und Strontiansalze. Bei den ersten beiden zeigte sich im Polarisationsapparate die Mitte des schwarzen Kreuzes, welches das Ringsystem einaxiger Krystalle durchsetzt, schon bei mässig dicken Krystallen von etwa 2 bis 3mm Stärke deutlich gefärbt und bei größeren Dicken von 6 bis 7<sup>mm</sup> trat eine dauernde Färbung des mittleren Feldes ein. Im Uebrigen war das Auftreten der Drehung bei den verschiedenen Salzen ganz analog dem an anderen drehenden Salzen beobachteten, indem aus den nichtdrehenden Lösungen sich gleichzeitig sowohl rechts wie links drehende Krystalle bildeten; Krystalle ohne Circularpolarisation wurden nie beobachtet. Bei dem am leichtesten und schönsten krystallisirenden Bleisalze fanden sich auch Zwil-

<sup>1)</sup> Diese Ann. Bd. 125, S. 513.

linge aus rechts und links drehenden Krystallen mit der Endfläche als Verwachsungsfläche, an denen die Airy'schen Spiralen in größter Vollkommenheit beobachtet werden konnten.

Das Interesse, welches bei der noch sehr geringen Zahl bekannter Krystalle mit Circularpolarisation die Vermehrung derselben, namentlich, wie in dem vorliegenden Falle, um eine größere Reihe haben muß, hat mich bestimmt, die genannten Salze weiter zu untersuchen und bei allen die Größe der Drehung festzustellen. Es würde das bereits früher geschehen seyn, wenn nicht durch die Schwierigkeiten der Darstellung geeigneter Krystalle und der Beschaffung verschiedener, zu dieser Untersuchung unentbehrlicher Apparate eine längere Verzögerung eingetreten wäre, die erst jetzt den Abschluß der Arbeit, so weit sie vorliegt, möglich gemacht hat.

1. Für die Beobachtung waren die genannten Krystalle durch ihre natürliche Form ohne Weiteres sehr geeignet, da an allen die zur optischen Axe senkrechte Endsläche vorzugsweise ausgebildet war. Es bedurfte in den meisten Fällen nur geringen Nachschleifens und Polirens der einen Endsläche, mit welcher die Krystalle auf dem Boden des Krystallisationsgefäses gelegen hatten. Beides war leicht und schnell auf der schwach behauchten rauhen Seite einer sehr fein mattgeschliffenen Glastafel auszuführen. Beim Bleisalze war in einzelnen Fällen selbst dies nicht nöthig, da häufig Krystalle mit einer Rhomboëdersläche aufwachsen, beide Endslächen also von Natur die nothwendigen Eigenschaften, vollen Parallelismus und volle Ebenheit, besitzen.

Um in allen Fällen gegen die Fehler gesichert zu seyn, welche bei den angeschliffenen Krystallen aus dem vielleicht nicht vollständig erreichten Parallelismus dadurch hätten entstehen können, dass die Dicke des Krystalles an einer anderen Stelle gemessen wäre, als auf welche die gefundene Drehungsgröße sich bezog, wurde die Stelle genau bestimmt und an dieser die Messung vorgenommen. Dieselbe wurde

ausgeführt mit einem in der Werkstätte des Hrn. Dr. Meyerstein in Göttingen vorzüglich gearbeiteten Fühlhebelsphärometer und ließ eine große Genauigkeit zu, da von dem Werthe eines Schraubenganges dieses Instrumentes = 0<sup>mm</sup>,204 an einem Theilkreise der hundertste Theil abgelesen und von diesem noch der zehnte Theil geschätzt werden konnte.

Zur Bestimmung des Werthes der Drehung der Polarisationsebene konnte bei dem stärker drehenden Blei- und Kalisalze die ausgezeichnete, zuerst von Broch 1) angegebene und seitdem vielfach in ähnlichen Untersuchungen mit Erfolg benutzte Methode angewendet werden. Bei derselben wird bekanntlich das der Reihe nach durch ein festes Nicol'sches Prisma, den Krystall und ein um eine mit dem ersteren gemeinschaftliche Axe drehbares und mit einem getheilten Kreise versehenes zweites eben solches Prisma gegangene weiße Licht durch ein Glasprisma zerlegt und die Lage eines im Spektrum auftretenden, der brechenden Kante parallelen schwarzen Streifens beobachtet. Sind zu Anfang der Beobachtung die Polarisationsebenen gekreuzt, so deutet die Lage des Streifens im Spektrum diejenige Farbe an, welche bei dieser Stellung des Nicols durch den drehbaren Nicol nicht hindurch gelassen wird. Bei einer Drehung des letzteren werden nach und nach andere Farben zurückgehalten, während die vorher verschwundenen wieder sichtbar werden, der Streifen durchläuft also allmählig das ganze Spektrum und der jedesmalige Drehungswinkel giebt an, um wieviel Grade die der Stelle des Streifens entsprechende Farbe durch den eingeschobenen Krystall gedreht worden ist. Man ist somit im Stande, bei Anwendung von Sonnenlicht für jede Fraunhofer'sche Linie, also für ganz bestimmte homogene Farben, die Größe der Drehung zu bestimmen, wenn man sie mit dem Streifen zur Deckung bringt.

Die Zuverlässigkeit der nach dieser Methode erhaltenen Resultate hängt wesentlich von zwei Bedingungen ab, von der Genauigkeit, mit welcher die Drehung des Nicols zu 1) Dove, Repert, d. Phys. VII. 1846. messen ist und von der Schärfe, mit welcher die Einstellung des dunkelen Streifens auf bestimmte Stellen des Spektrums bewirkt werden kann. Die erstere Bedingung war bei dem benutzten Apparate nicht in ganz befriedigender Weise erfüllt, da der Theilkreis des drehbaren Nicols nur in ganze Grade getheilt war und Zehntel eines Grades nur zu schätzen Dafür war aber die zweite Bedingung auf das Vollkommenste erfüllt, indem an einem Meyerstein'schen Spektrometer mit dem Fernrohre das lang ausgedehnte Spektrum beobachtet werden konnte, wie es von einem der neuesten Merz'schen Prismen aus schwerstem Flintglase hervorgebracht wird '). Die Dispersion dieses Glases ist so bedeutend, dass bei nur etwa achtfacher Vergrößerung die Linie D sich in zwei deutlich getrennte Linien auflöst. Eine bis auf Minuten genaue Messung der Minimal-Ablenkung der Fraunhofer'schen Linien A, B, E, G giebt in den daraus abgeleiteten Brechungsexponenten bez. 1,7376, 1,7405, 1,7610, 1,7923 einen ungefähren Anhalt für die seltene, bisher bei Glassorten unerreichte Größe der Dispersion und gleichzeitig für die bedeutende Brechbarkeit des Glases.

Um zunächst ein Urtheil über die Leistungsfähigkeit der Methode in diesem Falle, bei Benutzung der zur Verfügung stehenden Apparate, zu erhalten, ist die Drehung des Quarzes an einer 2<sup>min</sup>,05 dicken links drehenden Platte für die Linie D bestimmt und das Resultat mit anderen verglichen, die nach derselben Methode mit vollkommeneren Instrumenten gewonnen sind. Als Mittel aus 16 Beobachtungen ergab sich der gesuchte Winkel für die Dicke von 1<sup>min</sup> zu 21°,64, mit einem wahrscheinlichen Fehler von 0°,036, während Broch<sup>2</sup>) und Stefan<sup>3</sup>) übereinstimmend 21°,67 und Fi-

Die Ankündigung dieser Prismen befindet sich in Carl's Repert. f. Exp. Phys. Bd. IV, 5, S. 362, 1868.

<sup>2)</sup> Dove's Repert. d. Phys. Bd. VII, S. 115.

<sup>3)</sup> Wien. Ber. L (2).

zeau 1) 21°,76 gefunden haben. Es geht aus diesem Vergleiche hervor, dass die Zuverlässigkeit der Beobachtungen mindestens sehr nahe der bisher überhaupt erreichten gleich ist und für den Zweck jedenfalls vollkommen ausreicht.

Bei der im Vergleiche mit dem Quarze geringeren Drehungsfähigkeit des Blei- und Kalisalzes, wohl auch in Folge des häufig etwas getrübten Inneren, tritt der dunkele Streifen im Spektrum bei diesen Krystallen nicht immer so scharf begränzt auf, wie man ihn bei dickeren Quarzen beobachtet. Er hat im Allgemeinen mehr das Ansehen eines von der Mitte nach den Seiten gleichmässig heller werdenden dunkelen Bandes. Es ist deshalb die direkte Einstellung auf bestimmte Linien des Spektrums nicht ganz leicht auszuführen. Dieselbe gelingt indess nach einiger Uebung auch sehr vollkommen, wenn das Sonnenlicht, welches bei diesen wie bei den übrigen Versuchen durch einen Meyerstein'schen Heliostaten in das dunkele Zimmer geworfen wurde, durch Verengerung des Spaltes im Fensterladen hinreichend abgeblendet ist und namentlich, wenn die betreffende Fraunhofer'sche Linie genau in die Mitte zwischen die beiden Parallelfäden des Fernrohres gebracht und der Streifen so gelegt wird, dass zwischen den Fäden die größte Dunkelheit ist und die Ränder des Streifens gleich weit von denselben abstehen.

In der geringeren Schärfe der Begränzung und der geringeren Dunkelheit des Streifens liegt auch der Grund, weshalb nur innerhalb des durch die Linien C und F begränzten helleren Theiles des Spektruns die Drehung gut meßbar war und weshalb in den hellsten Theilen, wie aus den angegebenen wahrscheinlichen Fehlern folgt, die Genauigkeit der Beobachtung eine etwas geringere, als in den dunkeleren Theilen ist, entgegen den z. B. von Broch am Quarze erhaltenen Resultaten.

Die folgenden Tabellen enthalten die für die Drehung der Fraunhofer'schen Linien C, D, E, F am unterschwe-

<sup>1)</sup> Nach einem Cuat von Des Cloizeaux diese Ann. Bd. 137, S. 631, Anm.

felsauren Bleioxyde und Kali beobachteten und auf die Dicke von 1<sup>mm</sup> reducirten Zahlen, deren jede das Mittel aus acht einzelnen Ablesungen ist.

Unterschwefelsaures Bleioxyd, mit 4 Aeq. Wasser.
 Optisch positiv.

No. des Krystalles 1	Art der Drehung Rechts	Dicke mm <b>3,51</b> 8	<i>c</i> 4º,238	D 5°,685	<i>E</i> 7°,413	F 9°,103
2	w	3,693	4 ,105	5 <b>,49</b> 9	7 ,029	8,664
3	•	3,195	4 ,228	5 ,751	7 ,316	9,048
4	29	2,803	4 ,181	5 ,507	<b>7</b> , <b>2</b> 83	8,892
5	*	2,331	3 ,903	5 ,644	7 ,449	9,022
6	*	2,285	4 ,074	5 ,571	7 ,308	8 ,896
7 ~	»	2,724	4 ,009	5 ,584	7 ,089	8,738
8	Links	2,878	3 ,870	5,,243	7 ,190	8,835
9	23	3,208	4 ,064	5 ,374	7 ,163	8,863
10	*	3,286	4 ,093	5 ,666	7 ,398	8,827
11		4,650	4 ,165	5 ,480	7 ,169	8,806
12		2,642	4 ,013	5 ,321	7 ,052	8,744
13	w	2,473	4 ,096	5 ,586	7,456	9,103
14	•	2,826	4 ,268	5 ,531	7 ,216	8,792
		Mittel:	40,093	5°,531	7°,252	8°,881
		=	<del>=</del> 0°,021 =	±0°,026 =	<b>≒</b> 0°,026 =	<b>-</b> 0°,025.

# 2. Unterschwefelsaures Kali, wasserfrei. Optisch positiv.

No. des Krystalles 1	Art der Drehung Rechts	Dicke mm 1,229	<i>C</i> 6°,036	D 8°,247	<i>E</i> 10º,65	F 12°,43
· <b>2</b>	2)	0,984	6 ,067	8 ,160	<b>10 ,29</b>	12,19
3	29	1,117	6 ,471	8 ,666	10 ,74	12,48
4	20	1,008	5,967	8 ,128	10 ,05	12,14
5	n	1,062	5 , <b>93</b> 0	8 ,219	10 ,39	12,20
6	w	1,249	6 ,322	8,604	10,40	12,21

No des hrystalles	Art der Drehung	Dicke	$\boldsymbol{c}$	D	E	F
7	Links	0,979	6 ,180	8 ,437	10 ,48	12,47
14	20	1,220	6,194	8 ,431	10 ,54	12,43
9	10	1,071	6 ,295	8,319	10 ,77	12 ,49
10	,,	1,016	<b>5</b> , <b>9</b> 89	8 ,468	10 ,76	12 ,44
11	n	1,205	6 ,272	8 ,379	10,43	12 ,08
12	10	1,080	6,463	8 ,527	10 ,63	12,45
		Mittel:	6°,182	80,385	10",51	12°,33
		=	±0°,0 <b>3</b> 6 =	±0°,033	$\pm 0^{\circ},042$	±0°,032.

Es geht aus diesen Zahlen zunächst hervor, dass die Drehung bei beiden Salzen der Dicke proportional und für rechts und links drehende Krystalle gleich groß ist, wie diess auch bei anderen drehenden Substanzen gefunden ist. Sie ist beim Bleisalze etwa !, bei dem Kalisalze etwa ! der des Ouarzes, also immerhin noch beträchtlich zu nennen. Es zeigen die Zahlen ferner unter einander eine hinreichende Uebereinstimmung, wie man sie mit Rücksicht auf die Einfachheit der Theilung des Kreises am Polarisationsapparate nicht größer erwarten konnte, und aus der Größe der angegebenen wahrscheinlichen Fehler geht hervor, dass die Endresultate mit hinreichender Annäherung die wirklichen Werthe darstellen. Hätten von beiden Salzen dickere Krystalle benutzt werden können, so würde diess in noch höherem Grade zu erreichen gewesen seyn. Bei dem Bleisalze welches allerdings in fast zolldicken Krystallen mit Leichtigkeit erhalten wird, war diess nicht möglich, weil nur Krystalle von den benutzten Dimensionen die nothwendige Klarheit zeigten. Beim Kalisalze konnten selbst diese Dikken nicht erreicht werden, wenigstens nie bei den mit der Endfläche aufgewachsenen Krystallen, und nur diese konnten benutzt werden, da sie allein die Endfläche in größerer Ausdehnung besitzen. Es krystallisirt das Kalisalz meistens mit vollkommen frei ausgebildeten und oft bis zu 6, auch 8mm abstehenden Endflächen, diese haben aber dann eine so geringe Ausdehnung, dass die Krystalle sich zu den beschriebenen Versuchen nicht eigenen. Durch den größeren Werth der Drehung bei diesem Salze hat indess die Beschränkung in der Wahl der Dicken der Krystalle auf das Endresultat keinen so bedeutenden Einfluss haben können.

2. Die beiden anderen Salze, welche ebenfalls Circularpolarisation zeigen, der unterschwefelsaure Strontian und
der unterschwefelsaure Kalk, konnten nach der beschriebenen Broch'schen Methode nicht untersucht werden, da sie
keinen nur einigermaaßen erkennbaren dunkelen Streifen
im Spektrum gaben. Nur bei den dickeren Krystallen war
bei großer Aufmerksamkeit, und wenn das Sonnenlicht möglichst geschwächt war, ein wandernder schwacher Schatten
zu erkennen, sobald der analysirende Nicol gedreht wurde.
Diese Erscheinung hat ihren Grund jedenfalls darin, daß
bei diesen Salzen die Drehung eine bedeutend geringere,
als bei den zuerst angeführten ist und dann auch darin, daß
Krystalle mit hinreichend großer Endfläche nur in geringen
Dicken von homogener Beschaffenheit und genügender Klarheit erhalten werden konnten.

Unter Anwendung der Methode in der sehr sinnreich veränderten Form, wie sie Lüdtge kürzlich angegeben hat1), ist es aber auch hier gelungen, den oben mitgetheilten gleichwerthige Resultate zu erhalten. Die Veränderung besteht darin, dass zwischen den festen Nicol und die zu untersuchende Krystallplatte eine aus rechts und links drehendem, senkrecht zur Axe geschnittenem Quarze bestehende Doppelplatte so eingeschaltet wird, dass die Trennungssläche senkrecht zur vertikalen Kante des zerstreuenden Prismas durch die gemeinsame Axe beider Nicols geht und das einfallende Licht somit zur Hälfte den rechts, zur Hälfte den links drehenden Quarz durchstrahlen muss. Wendet man, wie das bei den vorliegenden Versuchen der Fall gewesen ist, eine Doppelplatte von 3mm,75 Dicke an, die bei parallelen Nicols die empfindliche blauviolette Farbe zeigt, so beobachtet man, so lange die drehende Substanz noch nicht an ihre Stelle gebracht ist, im Grün einen einzigen vertikalen dunkelen Streifen. Bei einer Drehung des analysirenden

<sup>1)</sup> Diese Ann. Bd. 187, S. 273.

Nicols trennt derselbe sich an der, der Trennungsfläche des Doppelquarzes entsprechenden und durch das ganze Spektrum gehenden Linie in einen oberen und einen unteren Theil, von denen der eine nach rechts, der andere nach links wandert.

Eine eben solche Theilung und seitliche Verschiebung der beiden Hälften bewirkt bei feststehenden parallelen Nicols auch die eingesetzte drehende Substanz; die Größe der Verschiebung hängt von der Dicke der Platte ab. Durch eine Drehung des analysirenden Nicols ist man im Stande, die beiden Hälften einander wieder zu nähern und sie so über einander zu bringen, dass sie wiederum einen einzigen vertikalen Streifen darstellen. Die Richtung der Drehung giebt an, ob der Krystall ein rechts oder ein links drehender ist und der Drehungswinkel stellt die Größe dar, um welche der eingeschaltete Krystall die Polarisationsebene des Lichtes von der Farbe gedreht hat, an deren Stelle im Spektrum der dunkele Streifen sich befindet. Es kann die Einstellung mit großer Genauigkeit bewirkt werden, da die geringste Abweichung der beiden Hälften des dunkelen Streifens von einer gegenseitigen geradlinigen Verlängerung sofort mit Leichtigkeit erkannt und vermieden wird.

Der einzige Nachtheil dieser Methode besteht darin, dass die Drehung nur für einen bestimmten Theil des Spektrums ermittelt werden kann, wenn man nicht über eine größere Reihe verschieden dicker Doppelquarze verfügt, und auch dann ist es nicht möglich, dieselbe für jede beliebige Fraunhofer'sche Linie festzustellen. In dem vorliegende Falle ist dieser Nachtheil aber unwesentlich, da es hier zunächst nur auf den Nachweis der Drehung ankömmt und es genügt, wenn sie für eine einigermaaßen sicher bezeichnete Farbe bestimmt werden kann.

Die beiden folgenden Tabellen enthalten die nach dieser Methode gewonnenen Resultate:

 Unterschwefelsaurer Kalk, mit 4 Aeq. Wasser. Optisch negativ.

No. des Krystalles	Art der Drehung	Dicke mm	Drehung für 1 <sup>mm</sup> Dicke
i	Rechts	2,084	2,019
2	W	2,415	2,023
3	))	1,383	2,155
4	Links	1,934	2,172
5	))	2,081	2,028
6	20	1,701	2,140
7	20	2,017	2,097
,		Mittel:	2,091
			<b>±0,018.</b>

# 4. Unterschwefelsaurer Strontian, mit 4 Aeq. Wasser. Optisch negativ.

No. des Krystalles	Art der Drehung	Dicke mm	Drehung für 1 <sup>mm</sup> Dicke
1	Rechts	1,654	1,663
2	»	1,721	1,633
3		1,388	1,628
4	No.	1,804	1,618
5	N)	1,397	1,641
6	Links	1,646	1,646
7	<b>)</b>	1,575	1,663
		Mittel:	1,642
			±0,004.

Aus den erhaltenen Zahlen geht zunächst wiederum hervor, dass die Drehung der Dicke proportional ist und den nämlichen Werth für die rechts und für die links drehenden Krystalle hat. Ihre große Ucbereinstimmung, ungeachtet des an und für sich sehr kleinen Betrages der Drehung und der geringen Dicke der untersuchten Krystalle, zeigt aber gleichzeitig, wie genau nach der veränderten Broch'schen Methode mit Hülfe eines eingeschalteten Doppelquarzes beobachtet werden kann.

3. Von den untersuchten Salzen bilden der unterschwe felsaure Strontian und das unterschwefelsaure Bleioxyd ein

dem letzteren isomorphes, in großen sechsseitigen Tafeln krystallisirendes Doppelsalz mit gleichfalls 4 Aeg. Wasser. Da jedes der beiden zusammensetzenden Salze Circularpolarisation zeigt, so konnte man erwarten, das das Doppelsalz dieselbe Eigenschaft besitzen würde. Die angestellten Versuche haben aber, selbst nicht unter Anwendung der zuletzi erwähnten Methode, eine irgend wie angebbare Drehung der Polarisationsebene nicht beobachten lassen. ungeachtet möchte ich aus diesem Resultate nicht ohne Weiteres auf die absolute Abwesenheit jeder Spor von Circularpolarisation schließen, sondern daraus zunächst nur folgern, dass ihr Werth ein so geringer ist, dass sie bei der sehr unbedeutenden Dicke der dargestellten Krystalle, die unter einer großen Zahl im Maximum nur 0mm,987 betragen hat, nicht mehr gemessen werden konnte. Sollte mein Bemühen, bedeutend stärkere Krystalle zu erhalten, von Erfolg seyn, so werde ich nicht unterlassen, sie von Neuem einer Prüfung zu unterwerfen.

4. Nächst dem Nachweise einer größeren Zahl neuer circularpolarisirender Körper würde es namentlich von Interesse sevn, darunter einen oder mehrere zu finden, welche einen Zusammenhang zwischen ihren Krystallformen und der Art der Drehung erkennen ließen, da unter den wenigen bekannten circularpolarisirenden Krystallen diess bis jetzt nur bei einem Theile möglich ist. Es würde diess um so wichtiger seyn, als dadurch vielleicht die Frage ihrer Lösung näher gerückt würde, welche der verschiedenen über den Zusammenhang zwischen Drehungsrichtung und Krystallform aufgestellten Ansichten die größere Wahrscheinlichkeit für sich hat 1). In neuester Zeit hat Groth eine solche Wechselbeziehung zwischen Krystallform und Drehung der Polarisationsebene noch beim sechsgliedrigen überjodsauren Natron 2) durch Auffindung von zweierlei Arten Trapezflächen nachgewiesen, während Des Cloizeaux an dem von ihm als circularpolarisirend erkannten, gleichfalls sechsglie-

<sup>1)</sup> Vergl. v. Lang, diese Ann. Bd. 137, S. 447.

<sup>2)</sup> Diese Ann. Bd. 137, S. 433.

drigen Benzil 1) hemiëdrische Formen nicht hat finden können, die eine gleiche Deutung zulassen.

Bei den vier untersuchten unterschwefelsauren Salzen, deren Krystaliformen der Hauptsache nach bekannt sind, habe ich mich gleichfalls bemüht, solche hemiëdrische Formen zu finden, und zu dem Zwecke eine große Zahl der best ausgebildeten Krystalle beobachtet, aber ohne jeden Erfolg. Das Kalisalz zeigt zwar an sehr kleinen Krystallen, welche bei der Darstellung einer weiter unten zu erwähnenden Verbindung mit Chlornatrium erhalten sind, vorherrschend ein aus der zweiten Säule entstandenes trigonales Prisma mit den Flächen der ersten Säule als kaum bemerkbaren Zuschärfungen, im Uebrigen aber nur die Flächen der ersten sechsseitigen Pyramide. Das Strontian- und das Kalksalz haben andere als die bekannten Flächen nicht gegeben. Es wäre indess möglich, dass an einzelnen Krystallexemplaren die eine oder die andere Form auch als trigonale Pyramide aufträte, wie diess Groth bei einer neuen krystallographischen Untersuchung des Bleisalzes 2) für die Form  $\frac{1}{5}P = \infty a : a : a : \frac{1}{5}c$  gefunden hat, die an anderen Exemplaren zwar auch in den zweiten Zonen auftrittt, ebenso wie diess mit der Fläche  $\frac{2}{3}P = x$   $a: a: a: \frac{2}{3}c$  der Fall ist. Würde von irgend einer dieser Formen nur das Hauptrhomboëder auftreten, so würde die Lage der etwa vorhandenen trigonalen zweiten Säule, wie sie beim Kalisalze sieh bildet, zu den Flächen des Rhomboëders vielleicht dem Sinne der Drehung entsprechend seyn und zur Vorausstimmung dienen können.

5. Während die übrigen untersuchten Salze, namentlich das Kalisalz, nar mit der größten Mühe und Sorgfalt in nur einigermaaßen brauchbaren Krystallen dargestellt werden können, zeichnet sich das Bleisalz durch selten vollkommene Krystallisationsfähigkeit aus. Mit der größten Leichtigkeit können sehr flächenreiche Krystalle dieses Salzes in untadelbafter äußerer Form von beträchtlichen Dimensionen

<sup>1)</sup> Diese Ann. Bd. 137, S. 629.

<sup>2)</sup> Diese Ann. Bd. 135, S. 663 bis 65.

dargestellt werden. Diese Eigenschaft des Salzes ließ es als möglich erscheinen, an seinen Krystallen auf künstlichem Wege neue Flächen hervorzubringen und unter diesen vielleicht solche, deren Lage dem Sinne der Drehung der Polarisationsebene entspräche, wie dieß Marbach beim bromsauren Natron 1) gelungen ist.

Um diesen Versuch zu machen, wurden in eine krystallisationsfähige Lösung größere Krystalle gelegt, an deren Seitenecken mit einem Messer Flächen von der ungefähren Richtung, zum Theil einer linken, zum Theil einer rechten Trapezsläche möglichst eben angeschnitten waren. Die Krystalle wuchsen in der Lösung weiter und an einigen der abgeschnittenen Stellen bildeten sich vollkommen spiegelnde neue Flächen, an einzelnen sogar mehrere von verschiedener Neigung gegen die Hauptaxe. Gleichzeitig traten aber auch an anderen nicht verletzten Stellen des Krystalles, an den verschiedenen Endkanten, verschiedene neue, sonst nie beobachtete Flächen auf. Es mag seyn, das hier das Berühren mit der Hand und das dadurch bedingte geringe Besetten in ähnlicher Weise gewirkt hat, wie diess von Jakobsen beim chlorsauren Natron 2) beobachtet ist.

Zur Bildung der neuen Flächen an den abgeschnittenen Stellen genügte gewöhnlich eine Zeit von 4 bis 6 Stunden. Wurde ein Krystall, an welchem sich diese Flächen gebildet hatten, von Neuem in die Lösung gelegt und bedeutend längere Zeit darin gelassen, so wuchs er zwar gleichfalls weiter, aber die neuen Flächen verschwanden mehr und mehr, sie wurden rauher und es traten statt derselben vereinzelte kleine Flächen auf, die sämmtlich einer der ursprünglich benachbarten Flächen parallel waren und schließlich dieselbe wieder ergänzten.

Um die neuen Flächen zu bestimmen, sind mehrere sorgfältige Messungen ausgeführt, auch an anderen schon bekannten Flächen. Danach treten das Prisma zweiter Ordnung, und zwar allem Anscheine nach als trigonales Prisma,

<sup>1)</sup> Diese Ann. Bd. 99, S. 457.

<sup>2)</sup> Diese Ann. Bd. 113, S. 498.

und in derselben Vertikalzone die Fläche  $2a:a:2a:c=\frac{1}{2}P$  namentlich häufig auf. Ab und an werden noch einige Flächen geringerer Neigung gegen die Hauptaxe beobachtet. An einigen Krystallen wurde auch an vorher unverletzten Stellen eine Fläche beobachtet, welche die Kante zwischen P und dem in der benachbarten Zone belegenen  $\frac{1}{2}P$  gerade abstumpfte. Diese Fläche trat doppelt auf und zwar noch an der Kante desselben P mit einem zur anderen Seite gelegenen  $\frac{1}{2}P$ . Beide Flächen gehören also einem Skalenoëder  $\frac{7}{4}a:\frac{7}{4}a:\frac{7}{4}a:\frac{7}{4}a$  an, dessen stumpfe Endkanten über P liegen.

Hiernach tritt an dem Bleisalze eine hemiëdrische Form wirklich auf, die man als Tetartoëder erwartet, um aus ihr den Sinn der Drehung bestimmen zu können. Es wäre möglich, dass an diesem Salze noch andere Skalenoëder auftreten können, von denen das eine oder das andere die Eigenschaft besitzt, nochmals und der Art der Drehung entsprechend hemiëdrisch zu werden. Bis jetzt sind andere Flächen als die genannten indes nicht hervorgebracht und es ist demnach zur Zeit auch bei diesem Salze noch nicht möglich, die Richtung der Drehung der Polarisationsebene im Voraus zu bestimmen.

6. Es ist bereits erwähnt, dass in derselben Weise, wie diess bei den anderen circularpolarisirenden Krystallen, mit Ausnahme des viergliedrigen schwefelsauren Strychnins, beobachtet ist, auch die Lösungen der hier untersuchten vier unterschwefelsauren Salze die Polarisationsebene des Lichtes nicht drehen. Ebenso verhält sich eine Lösung des Doppelsalzes aus unterschwefelsaurem Bleioxyd und Strontian, von dem es allerdings noch nicht mit Gewissheit gesagt werden kann, ob es überhaupt circularpolarisirend ist. Als ein weiteres interessantes Beispiel dafür, wie circularpolarisirende Substanzen diese Eigenschaft verlieren, sobald der physikalische Zustand geändert wird, in welchem sie beobachtet ist, zeigt das Doppelsalz, welches man aus einer Lösung von unterschwefelsaurem Kali und Chlornatrium erhält.

Diess Doppelsalz dürfte gleichzeitig von einigem chemischen Interesse seyn, da es zu der sehr wenig zahlreichen Klasse von Doppelsalzen gehört, in denen zwei verschiedene Säuren und zwei verschiedene Metalle enthalten sind. Es ist zusammengesetzt aus zwei Aequivalenten des unterschwefelsauren Kalis und einem Aequivalente Chlornatrium, wie übereinstimmend aus vier Analysen hervorgeht, die zu seiner Bestimmung mit Proben aus verschiedenen Auflösungen der zusammensetzenden Salze ausgeführt sind 1).

Die gewöhnlichste Form, in welcher es krystallisirt, ist dem Anscheine nach ein Würsel mit Granatoëderstächen. Die Beobachtung unter dem Polarisationsapparate zeigt aber, dass es viergliedrig seyn mus und dass die beobachteten Flächen der ersten Säule, der Endstäche, dem Grundoktaëder und der zweiten Säule angehören. Es zeigt das Ringsystem der optisch einaxigen Krystalle mit dem schwarzen Kreuze und verhält sich optisch negativ. Von Circularpolarisation zeigen selbst die dicksten Krystalle keine Spur. Unter Umständen, die wahrscheinlich durch Temperaturverschiedenheiten bedingt sind, erscheint das Salz auch sofort äußerlich als viergliedrig, indem dann das Oktaëder vorherrschend wird und in Verbindung mit der Endsläche allein oder mit dieser und den Flächen der ersten oder der zweiten Säule verbunden austritt.

Um seine Krystallform genauer festzustellen, sind an einer größeren Anzahl von Exemplaren Winkelmessungen angestellt. Dieselben führten Anfangs zu gar keinem bestimmten Resultate, indem sich für den Seitenkantenwinkel zweier Oktaëderslächen, zwischen den Normalen derselben, Werthe ergaben, die zwischen 70° 36′ (fast genau dem Werthe 70° 31′,7 beim regulären Oktaëder) bis 79° 44′ schwankten. Es ist gewiß selten ein Salz beobachtet, welches bei genau gleicher Zusammensetzung so bedeutende Unterschiede in seiner Krystallform zeigt. Bedingt sind sie

<sup>1)</sup> a) Die angewandten Salzmengen in Grammen 0,2950, 0,1650, 0,8895 haben Glühverluste (schweflige Säure) von bez. 0,0620, 0,0370, 0,1895 statt der berechneten Verluste bez. 0,0604, 0,0331 und 0,1918 ergeben; b) 0,3105 des Salzes haben nach dem Glühen 0,2500 schwefelsauren Bavyt geliefert statt der berechneten Menge 0,2439.

ohne Frage durch das Vorhandenseyn bedeutender unregelmäßiger innerer Spannungen der Krystalle, die man bei den violfachen schlierenartigen Streifungen auf den Flächen der sehr harten Krystalle annehmen muß. Besonders ausgesuchte Krystalle mit gleichmäßig ebenen und vollkommen spiegelnden Flächen haben denn auch einigermaaßen übereinstimmende Resultate ergeben und die wahrscheinlichen Werthe der Grundform mit einiger Annäherung zu bestimmen erlaubt. Diese Resultate sind in der folgenden Tabelle enthalten:

No. des	Beobachtete	Berechneter Winkel
Krystalles	Winkel	$(111):(11\overline{1})$
1	$(111):(001)=53^{\circ}1$	0',8 73° 58',4
*	$(\bar{1}11):(001)=525$	5,0 74 10,0
2	(111):(001)=52 2	7,0 75 6,0
»	$(\bar{1}11):(001)=524$	8,0 74 12,0
3	(111):(001)=525	6,7 74 6,6
'n	$(\overline{1}11):(001)=525$	1,0 74 18,0
	Mittel: 52° 5. ± 3.	•

Danach ist das Axenverhältnis des beobachteten viergliedrigen Oktaëders:

a: c = 1:0,9335.

Proskau, 9. Oktober 1869.

## III. Ueber einige Punkte in der Theorie der Capillarerscheinungen; von J. Stahl.

Es soll hier nicht das Verhältnis besprochen werden, in dem die Theorie der Capillarerscheinungen zur Erfahrung steht, sondern es soll hier nur versucht werden, einige

Punkte dieser Theorie aufzuhellen, die bis jetzt dunkel geblieben zu seyn scheinen. Dabei soll nicht auf diejenigen Arbeiten Rücksicht genommen werden, welche, wie die von Wertheim 1) und Holtzmann 2), von willkürlichen oder irrigen Voraussetzungen über das Gleichgewicht der Flüssigkeiten ausgehend der gegenwärtigen Theorie keinen bedeutenden Schaden zugefügt haben, ebenso nicht auf diejenigen, in welchen, wie in der kleinen Arbeit von Gilbert 3) ein aus einer richtigen Rechnung gezogenes richtiges Resultat auf eine unrichtige Art gedeutet wurde etc. Wohl aber müssen hier diejenigen Arbeiten einer Analyse unterworfen werden, welche, obgleich sie in den Ansichten der Physiker über die Erklärung der Capillarerscheinungen keine Revolution erzeugt haben, von der Laplace'schen Theorie in einem Punkte von minderer Wichtigkeit abweichend, große Zweifel über die Richtigkeit und vielleicht auch Möglichkeit einer mathematischen Theorie der Capillarerscheinungen überhaupt unter die Physiker geworfen haben. Bei der Prüfung dieser Arbeiten scheint es am geeignetsten, den historischen Weg zu verfolgen.

Laplace 4) hat zuerst eine mit der Erfahrung übereinstimmende Theorie der Capillarerscheinungen gegeben, wobei er in der ganzen Ausdehnung der Flüssigkeit die Dichte derselben als constant betrachtete und ferner, Clairaut näher bestimmend, annahm, dass die Molecüle der Körper auf einander anziehend wirken, dass aber diese Anziehung nur in unmerklichen Entfernungen eine merkliche Größe habe, in allen merklichen Entfernungen aber verschwindend klein sey. Er stellte die Differentialgleichung für die capillare Oberstäche auf und fand auch das zweite Gesetz der Capillartheorie über die Beständigkeit des Randwinkels

<sup>1)</sup> Mém. sur la capillarité, unter den nachgelassenen Papieren Wert- heim's gefunden.

<sup>2)</sup> Ueber die Theorie der Erscheinungen der Capillarität, Stuttgart 1861.

<sup>3)</sup> Pogg. Ann. Bd. 102.

<sup>4)</sup> Surplement zum X. Buch der Mécanique céleste - deutsch von Brandes im 33. Bd. von Gilb. Ann.

zwischen der Oberfläche der Flüssigkeit und der Haarröhrchenwand auf, ohne einen strengen analytischen Beweis dafür zu geben. Gauss') bestätigte durch eine strenge und elegante Rechnung mittelst des Prinzips der virtuellen Bewegungen die Laplace'sche Theorie und gab insbesondere von dem zweiten Hauptsatz dieser Theorie eine bloß auf die Natur der Molecularanziehung gestützte Begründung; doch war auch er von der Annahme einer gleichmässigen Dichtigkeit durch die gesammte flüssige Masse nicht abgewichen. Gegen die Theorie von Laplace wurden gleich anfangs und später mehrfach Einwürfe erhoben, die indessen entweder selbst keinen innern Halt hatten, oder von Nicht-Mathematikern (Naturphilosophen) herrührten, die wenig geeignet zu seyn scheinen, über eine so schwierige mathematische Theorie richtig zu urtheilen, wohl aber, die Mathematik bei physikalischen Problemen zu verdächtigen. Die Einwürfe aber von einiger Bedeutung wurden siegreich widerlegt (Petit). Auch Young's Angriffe haben keine Bedeutung erlangt. Einen Einwurf zog er aus einer Erscheinung, die mit der Laplace'schen Theorie im Widerspruch stehen sollte; aber Poisson hat später die Uebereinstimmung dieser Erscheinung mit der Theorie von Laplace nachgewiesen. Ein zweiter Einwurf bezog sich darauf, dass Laplace nur anziehende Kräfte angenommen und keine Rücksicht auf die repulsive Kraft der Wärme genommen habe; diess scheint aber, unter der Voraussetzung, dass die anziehenden Kräfte noch immer über die abstossenden das Uebergewicht behaupten, kein eigentlicher Einwurf zu seyn, da er nur das Wirkungsgesetz der Molecule näher bestimmt, die Theorie selbst aber wird da durch nicht geändert.

Desto mehr Aufsehen erregte die Arbeit von Poisson<sup>2</sup>), in welcher der Laplace'schen Theorie der Einwurf gemacht wird, dass sie nicht vermögend sey, die Erscheinun-

<sup>1)</sup> Principia generalia theoriae figurae fluidorum in statu equilibrii. Göttingen 1830.

<sup>2)</sup> Nouvelle théorie del action capillaire, Paris 1831.

gen der Capillarität zu erklären, da sie von der Annahme einer gleichmässigen Dichte der Flüssigkeit ausgehe; es sey aber zur Erklärung der Capillarerscheinungen nothwendig. die Dichte der Flüssigkeit gegen den Umfang zu als veränderlich, gegen eine freie Oberfläche zu als rasch abnehmend, gegen die Wände des Gefässes zu im Allgemeinen als rasch wachsend anzunehmen. Diesen Schluss zog er aus drei Betrachtungen. Aus der ersten sollte folgen, dass die Größe K in der Laplace'schen Theorie, welche daselbst als positiv betrachtet wird, im Gegentheil negativ sey; aus der zweiten, dass die Größe H in der Laplace'schen Theorie Null sey, woraus hervorgehen würde, dass die Theorie von Laplace die Capillarerscheinungen nicht zu erklären vermöge; aus der dritten, das das Wirkungsgesetz zwischen den Molecülen der festen Wände und denen der Flüssigkeit dasselbe sey wie das zwischen den Molecülen der Flüssigkeit untereinander. Alleweil aber blieb das merkwürdig, ja so zu sagen verdächtig, dass Poisson für die capillare Obersläche und für den Randwinkel wieder Gleichungen von derselben Form gefunden hat wie die in der Theorie von Laplace sind, wenn auch die Ausdrücke in bestimmten Integralen der besonderen beständigen Größen in beiden Theorien andere sind. Die neue Theorie scheint übrigens schon anfangs einen starken Misston erregt zu haben, indem sie einigen Physikern zu unerquicklichen Raisonnements [Z. B. Link], Arago sogar zu einem harten Ausspruch über sie Veranlassung gab; Nicht-Mathematiker wie Parrot1) und Mile2) begannen an der Zulässigkeit der Analysis und Richtigkeit der mathematischen Resultate bei physikalischen Problemen zu zweifeln, aber die meisten Mathematiker, die über diesen Gegenstand geschrieben haben, scheinen die Richtigkeit der Einwürfe Poisson's anerkannt zu haben, ohne dass sie dieselben gehörig untersucht haben. Aber der neuen Theorie blieb eine Hauptschwierigkeit, die sie nicht glücklich hinweg ge-

<sup>1)</sup> Pogg. Ann. Bd. 26 und 27.

<sup>2)</sup> Pogg. Ann. Bd. 45.

räumt hat, die nämlich, dass das Princip der virtuellen Bewegungen die Laplace'sche Theorie bestätigt. Hier muss ich auf eine von der Petersburger Akademie gekrönte Abhandlung über die Theorie der Capillarerscheinungen von dem russischen Professor Davidow') aufmerksam machen. welche auf das Princip der virtuellen Bewegungen gegründet und von der Annahme einer raschen Dichtigkeitsänderung der Flüssigkeit gegen den Umfang zu ausgehend, das mit der Poisson'schen Theorie übereinstimmende Resultat liefert, dass eine Theorie der Capillarerscheinungen unmöglich sey, wenn man von den Dichtigkeitsänderungen an der freien Obersläche abstrahirt. Aber diese Behauptung rührt von der Vernachlässigung eines Gliedes her, die gerade für den Fall einer constanten Dichtigkeit der Flüssigkeit nicht zulässig ist, wie später gezeigt werden wird, und ist darum falsch.

Während Beer<sup>2</sup>) nicht versuchte, an der Richtigkeit der Einwürfe Poisson's zu rütteln, sondern nur die Anwendbarkeit des Princips der virtuellen Bewegungen bei dieser Art physikalischer Probleme in Frage stellte, hatte Béde<sup>3</sup>) schon die Kühnheit diese Einwürfe anzugreifen, und er stellte sie als Folge einer Vernachlässigung von Gliedern in der Rechnung Poisson's dar. Indess scheint hjermit die schwierige Frage nicht endgültig gelöst zu seyn, und dann ist diess auch gar nicht der Weg, auf dem solches geschehen könnte. Beer scheint, wenn ich ihn richtig verstanden habe, die virtuellen Momente der Molecularkräfte wie unendlich kleine Größen zweiter Ordnung betrachtet zu haben, und dabei hat ihn wahrscheinlich folgende Betrachtung geführt. Stellt man sich die Körper als aus kleinsten Theilchen Molecülen bestehend vor, die durch endliche, sehr kleine Zwischenräume von einander getrennt

La théorie des phénomènes capillaires — deutsch in Erman's Archiv Bd. 16.

<sup>2)</sup> Pugg. Ann. Bd. 96.

Recherches sur la capillarité in den mém. couronnées de Brux.
 Bd.

sind, so werden bei der Ableitung der Variationsformel stillschweigend nur solche Verschiebungen eines Theilchens angenommen, welche nicht bloss gegen die Linieneinheit, sondern auch gegen die Entfernung zweier Nachbarmolecüle als verschwindend klein angesehen werden. Denkt man sich jetzt den Körper als eine stetige Masse, so wird die Entfernung zweier benachbarter Molecüle ein Differential erster, und deswegen die Variation des Ortes des Molecules ein Differential zweiter Ordnung werden müssen. Deutlich hat sich Beer nicht ausgesprochen, die Stelle, welche mich zum Glauben verleitet hat, als sey Beer wirklich von der vorigen Betrachtung geleitet worden, ist folgende: » Wenn also Molecularkräfte thätig sind, so ist es im All gemeinen durchaus nicht gestattet, das Zeichen d durch eine Variation zu deuten, wodurch Theilchen der Flüssigkeit aus ihren Gleichgewichtslagen um Größen verschoben werden, die mit der Entfernung zweier nächst an einander liegenden Theilchen in Vergleich treten. « Obgleich er sich die Körper als aus Molecülen bestehend denkt, so scheint es, als ob er hier die Entfernung zweier Flüssigkeitstheilchen als ein Differential betrachtet und seine frühere Hypothese über die Constitution der Körper mit der Annahme, die Körper seven stetig, verlauscht habe. Es ist aber durchaus kein Grund vorhanden, die Variationen der Oerter der Molecüle als unendlich kleine Größen zweiter Ordnung zu betrachten, weder unter dieser, noch jener Hypothese, und demnach ist auch dieser Versuch eine endgiltige Entscheidung herbeizuführen, als ein misslungener zu betrachten.

Diess ist der gegenwärtige Stand der Capillartheorie und in der That ist dieser kein erfreulicher. Das große Ansehen Poisson's als Mathematiker ist ohne Zweisel Ursache gewesen, dass sich die Physiker so lange gescheut haben, die Richtigkeit seiner Einwürse gegen die Laplace'sche Theorie direkt zu untersuchen. Zwar hat Minding') auf eine glückliche Art die Unrichtigkeit der zwei ersten Einwürse bewiesen, aber er scheint nicht beachtet worden

<sup>1)</sup> Dove's Repertorium der Physik, Bd. 5.

Und in der That, prüft man die drei Einwürfe Poisson's genau, so wird man nicht umhin können mit Minding im Urtheile über ihre Unrichtigkeit übereinzustimmen. Wenn es nun aber auch keinem Zweifel mehr unterliegt, dass Poisson sich hier geirrt hat, so hat er sich doch um die Theorie selbst viele Verdienste erworben. Er hat nicht allein die Theorie in allen ihren Theilen vervollkommt und vermehrt und aus statischen Betrachtungen auf eine strenge, wenngleich weitläufige Art das Gesetz über die Beständigkeit des Randwinkels bewiesen, sondern er hat auch Irrthümer der ältern Theorie berichtigt. Er hat zuerst den von Laplace aufgestellten Ausdruck für den horizontalen Druck der Flüssigkeit auf eine verticale Ebene, auf dessen Unvollständigkeit schon Young aufmerksam gemacht und woraus er einen Einwurf gegen die Laplace'sche Theorie gezogen hatte, ergänzt, und hat ferner die Erscheinung der scheinbaren Veränderlichkeit des Randwinkels, wenn die Flüssigkeit das Ende des Haarröhrchens erreicht, welche Laplace als seiner Theorie widerstreitend angesehen hat, in Uebereinstimmung mit dieser Theorie gebracht.

Wir gehen nun zur Untersuchung der Einwürfe Poisson's über. Stelle AOB Fig. 7 Taf. I die capillare Oberstäche und  $O\varepsilon$  einen unendlich dünnen cylindrischen Kanal vor, dessen Projection auf eine Verticale h sey. Sey ferner  $\varrho$  die Dichte der Flüssigkeit und  $(\lambda\lambda')$  der größte und kleinste Krümmungshalbmesser der Oberstäche im Punkte O. Nach Poisson kann nur dann der Flüssigkeitskanal im Gleichgewichte seyn, wenn die Summe der auf ihn wirkenden Kräfte, auf die Einheit der Fläche bezogen, gleich Null ist. Diese Kräfte sind aber: die Molecularkraft:  $K = \frac{H}{2} \left( \frac{1}{\lambda} + \frac{1}{\lambda'} \right)$ , der Druck der Flüssigkeitssäule in  $\varepsilon: g \varrho h$ , und vielleicht noch ein Oberstächendruck in O: P. Demnach muß nach Poisson seyn:

$$K - \frac{H}{2} \left( \frac{1}{\lambda} + \frac{1}{\lambda'} \right) + g \varrho h + P = 0.$$

Daraus folgert Poisson, dass K, welches in der Theorie von Laplace als eine positive ungeheuer große, constante Zahl betrachtet wird, auch negativ werden könne. Aber diese Gleichung macht das Princip, worauf sie gegründet ist, von vornherein verdächtig, da sie, lauter Constante und nur eine einzige Veränderliche enthaltend, illusorisch wird. Und in der That ist es zum Gleichgewichte der Flüssigkeitssäule in dem Kanale  $O\varepsilon$  durchaus nicht erforderlich, daß die auf sie wirkenden Kräfte sich aufheben, sondern nur, daß sie dem in  $\varepsilon$  aufwärts wirkenden Gegendrucke das Gleichgewicht halten. Es kann demnach weder die Folgerung aus der ersten Betrachtung, noch die aus der zweiten, daß H=0 sey, als richtig anerkannt werden, da auch die zweite Betrachtung auf dieselbe mangelhaße statische Betrachtung gegründet ist wie die erste.

Wir kommen zur dritten Betrachtung. Bezeichnet H'einen Ausdruck von derselben Form wie H ist, und bezieht sich H'auf das Verhältnis der Flüssigkeit zum Haarröhrchen (Adhäsion) im Gegensatz zu H, welches die Cohäsion der Flüssigkeit bestimmt, bedeutet ferner c den Umfang eines Haarröhrchens mit verticalen Wänden, so hat Laplace für das Gewicht 1 des vom Haarröhrchen gehobenen Flüssigkeitssäulchens folgenden Ausdruck aufgestellt:

A = c (2H' - H).

Poisson hat nun in seiner dritten Betrachtung für d einen zweiten Ausdruck:

A = c H

abgeleitet, und wenn ich ihn recht verstanden habe, scheint seiner Rechnung folgende Idee zu Grunde zu liegen. Sowie das Haarröhrchen, so kann auch das der Wand des Haarröhrchens zunächst anliegende Flüssigkeitshäutchen von beliebiger, aber unmerklicher Dicke als Ursache der Erhebung einer Flüssigkeitssäule betrachtet werden und heißst A' das Gewicht dieser Säule, so gilt auch für A' die obere Formel für A, nur hat man darin für A': A' zu setzen. Daraus folgt A' = cH, und da A' von A' nur um eine unmerkliche Größe, um das Gewicht des der Röhrchenwand anliegenden flüssigen Häutchens von unmerklicher Dicke, verschieden ist, so ist auch A' = cH. Daraus folgt nun,

dass H' = H ist, dass also die Röhre in ihrer Wirkung auf das Flüssige nicht verschieden ist von der Flüssigkeit in ihrer Wirkung auf sich selbst, dass man also Haarröhrchen und Flüssigkeit als wie eine und dieselbe Materie betrachten müsse. In diesem Falle hören aber alle Wirkungen der Capillarität auf.

Abgesehen davon, dass die letzte Behauptung Poisson's an sich falsch ist und man dieselbe durchaus nicht gelten lassen könnte, wenn nicht der dritten Betrachtung der Beweis von H=0 vorangegangen wäre, ist auch die Idee, welche Poisson hier geleitet hat, unrichtig. Denn gesetzt auch, das Haarrohrchen sey in seiner Wirkung vom Flüssigen nicht verschieden, so würde doch ein Aufsteigen der Flüssigkeit erfolgen, weil das Haarröhrchen ein starrer Kör-Deutlicher ist diess in der Gleichung ausgesprochen, welche das Princip der virtuellen Bewegungen aufstellt. Wenn nun das der Haarröhrchenwand zunächst anliegende Flüssigkeitshäutchen von unmerklicher Dicke als Ursache einer Erhebung einer Flüssigkeitssäule angesehen und hierbei z. B. die von Laplace aufgestellte Formel für 1 angewendet werden soll, so müsste man das Flüssigkeitshäutchen als starr betrachten können, wogegen aber die leichte Beweglichkeit der Flüssigkeitstheilchen streitet. darf daher d nicht gleich cH gesetzt werden, und somit hat auch dieser Einwurf seine Giltigkeit verloren.

Man darf daher bis jetzt jeden Versuch, in der von Laplace aufgestellten Theorie einen inneren Widerspruch zu entdecken, als mislungen betrachten. Aber die Hypothese einer gleichmäßigen Dichtigkeit durch die gesammte flüssige Masse ist nicht allein unserer jetzigen Vorstellung über den innern Zustand der Flüssigkeiten nicht mehr nicht conform, sondern es nöthigen uns sogar einige Erscheinungen dieselbe zu verlassen, insbesondere hat Brunner 1) auf das Verhalten von Alkohol gegenüber Wasser aufmerksam gemacht, welches im directen Widerspruch mit der Formel  $\Delta = c(2H-H)$  steht.

<sup>1)</sup> Pogg. Ann. Bd. 70.

Die folgende Untersuchung über die Frage: Muss man Dichtigkeitsänderungen in der Flüssigkeit in die Theorie der Capillarerscheinungen einführen oder nicht? wird die Unzulässigkeit der Behauptung Dawidow's darthun, was aus den von Poisson aufgestellten Ausdrücken für die besonderen beständigen Größen wegen deren Undurchsichtigkeit nicht geschehen kann.

Wir wollen, da die Rechnung nicht viel complicirter wird, annehmen, im Haarröhrchen stehen zwei Flüssigkeiten übereinander; die obere habe die Dichtigkeit c, die untere die Dichte c'. Seven  $\partial m$  und  $\partial m'$  Massenelemente der oberen und unteren Flüssigkeit und 3M und 3M' Massen elemente der Haarröhre und des großen Behälters PQRS mit den constantan Dichten C und C'. Es mögen U und U'(Fig. 8 Taf. I) die obere und untere capillare Obersläche im Haarröhrchen, O und O' die der oberen und unteren Flüssigkeit anliegenden Theile der Röhrenoberfläche, endlich U''die im Vergleich zu U und U sehr große freie Obersläche der untern Flüssigkeit außerhalb des Haarröhrchens, welche im größten Theile ihrer Ausdehnung als wie eine horizontale Ebene betrachtet werden kann, und O" die der Flüssigkeit anliegende Wandfläche des Behälters bedeuten. Während die Dichtigkeiten der Flüssigkeiten im Innern derselben constant sind, sollen sie gegen den Umfang zu als rasch veränderlich, in zum Umfang parallelen Schichten als überall gleich, und als Function der Länge der Normale n zum Umfang betrachtet und angenommen werden, dass die Dichtigkeitsänderungen nur Wirkungen der Molecularkräfte sind. und dass die Schwere keinen Einsluss darauf habe;  $\Delta = \psi(n)$ ; und  $\Delta' = \psi'(n)$  mögen das Gesetz der Dichtigkeitsänderungen für die obere und untere Flüssigkeit angeben, aber hierbei muss bemerkt werden, dass dieses Gesetz auch bei einer und derselben Flüssigkeit in der ganzen Ausdehnung des Umfanges derselben nicht dasselbe, sondern für die verschiedenen Oberslächen, je nachdem sie frei sind oder an eine starre Wand oder an die zweite Flüssigkeit gränzen, jedesmal ein anderes ist. So bestehen also unsere Flüssig-

keiten aus zwei Partien, einer, in welcher die Dichtigkeit constant ist und welche den größten Theil der flüssigen Masse begreift, und einer andern von unmerklicher Dicke und Masse, welche den Umfang der flüssigen Masse bildet und die vorige Partie der Flüssigkeit einhüllt, und in welcher die Dichtigkeit rasch veränderlich ist; wir wollen diese Partie das Flüssigkeitshäutchen nennen. Aber auch das Flüssigkeitshäutchen ist keine durchaus gleiche Masse, sondern muß als wie aus verschiedenen Stücken zusammengesetzt betrachtet werden, in deren jedem das Gesetz der Dichtigkeitsänderungen, weil von der Nachbarschaft bedingt, ein anderes ist, je nachdem nämlich das Flüssigkeitshäutchen eine freie Oberstäche darbietet, oder an einen starren oder flüssigen Körper gränzt. Es mögen nun V und V die Volumina desjenigen Theiles der obern und untern Flüssigkeit bedeuten, dessen Dichtigkeit constant ist. Die Wirkung der Molecularkräfte soll nur in unmerklichen Entfernungen als merklich, in merklichen Entfernungen hingegen als verschwindend betrachtet werden. Es drücke:

- f(r) das Gesetz der Molecularwirkung zwischen den Theilchen der obern Flüssigkeit,
- f<sub>1</sub>(r) das Gesetz der Molecularwirkung zwischen den Theilchen der untern Flüssigkeit,
- f<sub>2</sub>(r) das Gesetz der Molecularwirkung zwischen den Theilchen der obern Flüssigkeit und denen der untern Flüssigkeit,
- f<sub>s</sub>(r) das Gesetz der Molecularwirkung zwischen den Theilchen der obern Flüssigkeit und der Wand des Haarröhrchens,
- f<sub>4</sub>(r) das Gesetz der Molecularwirkung zwischen den Theilchen der untern Flüssigkeit und der Wand des Haarröhrchens,
- f<sub>b</sub> (r) das Gesetz der Molecularwirkung zwischen den Theilchen der untern Flüssigkeit und der Wand des Behälters

aus, und es sey ferner:

$$f(r) \cdot \partial r = -\partial \cdot \varphi(r) \qquad f_3(r) \cdot \partial r = -\partial \cdot \varphi_3(r) f_1(r) \cdot \partial r = -\partial \cdot \varphi_1(r) \qquad f_4(r) \cdot \partial r = -\partial \cdot \varphi_4(r) f_2(r) \cdot \partial r = -\partial \cdot \varphi_3(r) \qquad f_5(r) \cdot \partial r = -\partial \cdot \varphi_5(r).$$

Wirkt nun außer den Molecularkräften nur noch die Schwere auf die beiden Flüssigkeiten, so muß für den Fall des Gleichgewichtes der beiden Flüssigkeiten im Haarröhrchen und im Behälter folgender Ausdruck ein Maximum werden. [Man sehe nach Gauss!) und Bertrand?)].

$$W = -g \int z \, \partial m - g \int z \, \partial m' + \frac{1}{2} \int \varphi(r) \cdot \partial m \cdot \partial m$$

$$+ \frac{1}{2} \int \varphi_1(r) \cdot \partial m' \cdot \partial m' + \frac{1}{2} \int \varphi_2(r) \cdot \partial m \cdot \partial m'$$

$$+ \int \varphi_3(r) \cdot \partial M \cdot \partial m + \int \varphi_4(r) \cdot \partial M \cdot \partial m'$$

$$+ \int \varphi_5(r) \cdot \partial M' \cdot \partial m'.$$

Als Z-Axe wurde die Richtung der Schwere, und als Ebene der [XY] eine beliebige horizontale Ebene angenommen, und zugleich soll hier noch bemerkt werden, dass diejenigen Integrale in diesem Ausdrucke, welche Molecularwirkungen darstellen, den Factor 1 oder 1 haben, je nachdem die Körpermolecüle, deren Wirkungen aufeinander sie ausdrücken, beide den Flüssigkeiten, oder die einen einer Flüssigkeit und die andern einem starren Körper angehören. Hierauf ist die Behauptung gegründet, dass Capillarerscheinungen sich auch dann darbieten müssen, wenn die Materie des Haarröhrchens genau dieselbe wäre wie die der Flüssigkeit. Die nächste Aufgabe ist nun die der Auswerthung der bestimmten vielfachen Integrale. Hierbei wird vorausgesetzt, dass das Haarröhrchen und der Behälter keine scharfen Kanten und Spitzen darbieten, und dass ihre Krümmungen stets von der Art sind, dass man ein Oberslächenelement derselben von der Ausdehnung des Halbmessers der Wirkungs. sphäre der Molecüle als eben betrachten kann. Die beiden ersten, von der Schwere abhängigen, Integrale, in denen sich

 <sup>»</sup>Principia generalia theoriae figurae fluidorum in statu equilibrii« Göttingen 1830.

Mém. sur la théorie des phènoménes capillaires, in Liouville Journ. für 1848,

die Integrationen über die gesammten Massen der beiden Flüssigkeiten erstrecken, bestimmen die Höhe des Schwerpunktes der beiden Flüssigkeiten über oder unter der zur (XY) angenommenen Horizontalebene. In beiden können diejenigen Glieder, die sich auf die Flüssigkeitshäutchen beziehen, als unmerkliche Größen vernachlässigt werden, und die Integrationen dürfen sich daher, ohne die Genauigkeit der Rechnung zu beeinträchtigen, auf diejenigen Theile der beiden Flüssigkeiten erstrecken, in denen die Dichtigkeit constant ist. Bedeuten daher  $\partial V$  und  $\partial V'$  zwei Raumelemente, die der obern und untern Flüssigkeit angehören, so kann man für:  $-g\int z\,\partial m-g\int z\,\partial m'$  folgende andere Integrale substituiren:

$$-g c \int z \partial V - g c' \int z \partial V'$$

und hier erstrecken sich die Integrationen über die früher mit V und V' bezeichneten Räume.

Bei den drei letzten Integralen im Ausdrucke W' in denen sich die Integrationen über die starren Wände und die ihnen anliegenden Flüssigkeitshäutehen erstrecken, geschieht die Auswerthung auf eine und dieselbe Art. Sey AB (Fig. 9 Taf. I) eine starre Wand, C ein Element des Flüssigkeitshäutehens mit der Dichtigkeit  $\psi(n)$ , CD = n seine Entfernung von der Wand AB, und CE der Radius der Wirkungssphäre zwischen den Theilchen der Wand und denen der Flüssigkeit. Der Gang der Rechnung ist nun etwa folgender: Man bestimme zuerst die Wirkung der Wand auf ein Flüssigkeitsheilchen C, und dehne hierauf, um die Integralwirkung der Wand auf das Flüssigkeitshäutehen zu erhalten, die Integration über das gesammte der Wand anliegende Flüssigkeitshäutehen aus. Die Resultate der Rechnung sind folgende. Setzt man:

Hier und in den folgenden Rechnungen werden Glieder vernachlässigt, welche sich auf die Gränzen der U- und O-Flächen beziehen, und welche als unmerkliche Größen von der Ordnung des Halbmessers der Molecularwirkungssphäre betrachtet werden.

 $\int \varphi_{\mathfrak{b}}(r) \cdot \partial M' \cdot \partial m' = b_{\mathfrak{b}} O''.$ 

Wir gehen zur Auswerthung des Integrals  $\frac{1}{2}\int \varphi_2(r).\partial m.\partial m'$  über, in welchem sich die Integration über die der capillaren Obersläche U' angränzenden Theilchen der beiden Flüssigkeiten erstreckt. Die Dichtigkeit ist in einer und derselben zur U-Fläche parallelen Schicht überall gleich und ändert sich nur von Schicht zu Schicht und von Flüssigkeit zu Flüssigkeit. Der Gang der Rechnung ist etwa folgender: Stellen AB (Fig. 10 Taf. I) ein Stück der U-Fläche, CD und cd Elemente zweier zur AB parallelen und um n und n' von ihr abstehender Schichten der beiden Flüssigkeiten vor. Man berechne nun zuerst die Wirkung z. B. von CD auf

ein Element der Schichte cd und dehne hierauf die Integration über alle Schichten der obern und alle Elemente der untern Flüssigkeit aus. Setzt man:

$$\int_{r}^{\infty} \varphi_{2}(r) \cdot r \cdot \partial r = F_{2}(r), \quad \pi \int_{0}^{\infty} \int_{0}^{\infty} F_{2}(n+n') \cdot \psi(n) \cdot \psi'(n') \cdot \partial n \cdot \partial n' = b_{2}$$
so ist:

$$\frac{1}{2}\int \varphi_2(r).\partial m.\partial m' = b_2.U'.$$

Bei den noch übrigen Integralen  $\frac{1}{2}\int \varphi(r).\partial m.\partial m$  und  $\frac{1}{2}\int \varphi_1(r).\partial m'.\partial m'$ , in denen sich die Integrationen über die gesammte Masse der beiden Flüssigkeiten erstrecken, erfolgt die Auswerthung gleichfalls auf eine und dieselbe Art. Hierbei wollen wir jedes Integral in zwei Theile theilen, von denen sich der eine auf den Theil der Flüssigkeiten mit der constanten Dichte, der andere auf das Flüssigkeitshäutchen bezieht.

Setzt man:

$$\int_{r}^{\infty} \varphi(r).r.\partial r = F(r) \qquad \int_{0}^{\infty} F(r).\partial r = h$$

$$\int_{0}^{\infty} \varphi_{1}(r).r.\partial r = F'(r) \qquad \int_{0}^{\infty} F'(r).\partial r = h',$$

so sind die Werthe der ersten Theile unserer Integrale:

$$2\pi c^2 h V$$
 und  $2\pi c'^2 h' V'$ .

Obgleich wir die Dicke des Flüssigkeitshäutchens als unmerklich bezeichnet haben, so mag dieselbe doch vielmal größer als der Radius der Wirkungssphäre der Molecüle seyn; wir wollen sie mit  $\delta$  bezeichnen. Stelle AB (Fig. 11 Taf. I) ein Oberstächenelement der Flüssigkeit, C ein Massenelement des Flüssigkeitshäutchens, dessen Entfernung CD von AB gleich n sey, FGHI die Wirkungssphäre der Molecüle, und HJ eine zu AB parallele Schicht der Flüssigkeit vor, deren Abstand von  $AB:(n-\epsilon)$  und deren Dichte eine Function von  $(n-\epsilon)$  ist. Setzt man allgemein:

$$\int_{\varepsilon}^{\infty} \varphi(r).r.\partial r = F(\varepsilon), \int_{\varepsilon}^{\infty} \varphi_{1}(r).r.\partial r = F'(r)$$

$$2\pi \left[ \int_{\varepsilon}^{\infty} F(\varepsilon).\psi(n+\varepsilon).\partial \varepsilon + \int_{\varepsilon}^{\pi} F(\varepsilon).\psi(n-\varepsilon).\partial \varepsilon \right] = 2\pi G(n)$$

$$\pi \int_{\varepsilon}^{\infty} G(n).\psi(n).\partial n = a$$

$$2\pi \left[ \int_{0}^{\infty} F'(\varepsilon) \cdot \psi'(n+\varepsilon) \cdot \partial \varepsilon + \int_{0}^{n} F'(\varepsilon) \cdot \psi'(n-\varepsilon) \cdot \partial \varepsilon \right] = 2\pi G'(n)$$

$$\pi \int_{0}^{\infty} G'(n) \cdot \psi'(n) \cdot \partial n = b,$$

und nennt die Worte von a und b für die verschiedenen Partien der Flüssigkeitshäutchen:

so sind die Werthe der zweiten Theile unserer Integrale folgende:

für die obere Flüssigkeit: 
$$aU+a'U'+a''O$$

\* untere \*  $bU''+b''U'+b'''O''+b'''O''$ .

Die Auswerthung der Integrale giebt demnach folgenden Ausdruck für W:

$$W = -g c \int z \partial V - g c' \int z \partial V' + 2\pi c^2 h V + 2\pi c'^2 h' V' + a U + [a' + b' + b_3] U' + b U'' + [b_3 + a''] O + [b_4 + b''] O' + [b_5 + b'''] O''.$$

Diesen Ausdruck wollen wir indess noch so gestalten, dass darin nicht V und V' vorkommen; diess geschieht durch Elimination von V und V' mittelst der solgenden zwei Gleichungen für die Massen der Flüssigkeiten M und M':

für die obere Flüssigkeit:

$$M = Vc + U \int_{a}^{\delta} \psi(n) \cdot \partial n + U' \int_{a}^{\delta} \psi(n) \cdot \partial n + O \int_{a}^{\delta} \psi(n) \cdot \partial n.$$

für die untere Flüssigkeit:

$$\mathbf{M}' = \mathbf{V}' \mathbf{c}' + \mathbf{U}' \int_{\bullet}^{\delta} \psi'(\mathbf{n}) \cdot \partial \mathbf{n} + \mathbf{U}'' \int_{\bullet}^{\delta} \psi'(\mathbf{n}) \cdot \partial \mathbf{n} + \mathbf{0}' \int_{\bullet}^{\delta} \psi'(\mathbf{n}) \cdot \partial \mathbf{n} + \mathbf{0}'' \int_{\bullet}^{\delta} \psi'(\mathbf{n}) \cdot \partial \mathbf{n}.$$

Das Resultat der Elimination ist:

$$\begin{split} W - 2\pi \, c \, h \, M - 2\pi \, c' \, h' \, M' &= - \, g \, c \, \int \! z \, \partial \, V - g \, c' \, \int \! z \, \partial \, V' \, + \\ &+ U \Big[ \, a - 2\pi \, c \, h \, \int_0^\delta \! \psi(u) \, . \, \partial \, n \, \Big] \, + \\ &+ U' \, \Big[ \, a' + b' + b_2 - 2\pi \, c \, h \, \int_0^\delta \! \psi(n) \, . \, \partial \, u - 2\pi \, c' \, h' \, \int_0^\psi \! \psi'(n) \, . \, \partial \, n \, \Big] \, + \\ &+ U'' \, \Big[ \, b - 2\pi \, c' \, h' \, \int_0^\psi \! \psi'(n) \, . \, \partial \, n \, \Big] \, + O \Big[ \, a'' + b_3 - 2\pi \, c \, h \, \int_0^\psi \! \psi(n) \, . \, \partial \, n \, \Big] \, + \\ &+ O'' \, \Big[ \, b''' + b_4 - 2\pi \, c' \, h' \, \int_0^\psi \! \psi'(n) \, . \, \partial \, n \, \Big] \, + \\ &+ O'' \, \Big[ \, b''' + b_5 - 2\pi \, c' \, h' \, \int_0^\psi \! \psi'(n) \, . \, \partial \, n \, \Big] \, . \end{split}$$

In diesem Ausdrucke dürfen die Integralglieder, obgleich die Integrale unmerkliche Größen von der Ordnung des Radius der Molecularwirkungssphäre sind, nicht vernachlässigt werden, da sie k und k' zu Factoren haben, welche wie Größen von der Ordnung

betrachtet werden müssen.

Die Bedingung für das Gleichgewicht der beiden Flüssigkeiten ist uns in Gestalt eines schwierigen Problems dar-

gestellt, welches in die Variationsrechnung gehört. Bezeichnet man nämlich die Coëfficienten von [U, U', U''] der Reihe nach mit: H, H', H'', und die von [O, O', O''] mit F, F', F'', und mit  $\theta$  folgenden Ausdruck:

$$\theta = -g c \int z \partial V - g c' \int z \partial V' + H U + H' U' + H'' U'' + F O + F' O' + F'' O'',$$

so muss für den Fall des Gleichgewichtes  $\delta\theta = 0$  seyn, und außerdem sind noch zwei Bedingungen analytisch zu erfüllen, die nämlich, dass bei einer jeden Variation die Massen constant bleiben. Bei dem Geschäfte der Variation wollen wir uns einer kurzen und eleganten Methode bedienen, die von Bertrand herrührt und in Folgendem besteht.

Man kann sich die Variation der U-Flächen als aus zwei Theilen bestehend denken, einen, der sich auf die nahezu zu sich parallele Verschiebung der Oberflächenelemente, und einem andern, der sich auf den Umfang der Oberflächen bezieht, Sey  $\varepsilon$  eine zu sich parallele Verschiebung eines Oberflächenelementes in der Richtung seiner Normale. Dieses  $\varepsilon$  ändert sich von einem Oberflächenelement zum andern. Es möge  $\partial \omega$  das Oberflächenelement und (R,R') sein größter und kleinster Krümmungsradius heißen; alsdann ist

$$\delta \partial \omega = - \varepsilon \partial \omega \left[ \frac{1}{R} + \frac{1}{R'} \right].$$

Stelle nun OO' (Fig. 12 Taf. I) eine U-Fläche, welche nach ab verschoben wurde, und  $Oa = \nu$  eine unendlich kleine Linie vor, welche, in der starren Wand liegend und senkrecht auf das Element des Umfanges der Schnittlinie P zwischen Wand und Flüssigkeit aufstehend, die Aenderung des Standes der Flüssigkeit an der Wand bestimmt. Heiße ferner der Randwinkel Oao in irgend einem Punkte der Schnittlinie  $\omega$ , und ein Element der Schnittlinie  $\partial P$ . Alsdann ist der zweite Theil unserer Variation, der sich auf den Umfang der P-Linie bezieht:

$$\int \cos \omega . \nu . \partial P.$$

Bezeichnet man nun:

die den U, U', U'' zugehörigen  $\varepsilon$  mit  $\varepsilon$ ,  $\varepsilon'$   $\varepsilon''$ 

» » größten und kleinsten Krümmungsradien mit  $[R, R_1]$ ,  $[R', R'_1]$ ,  $[R'', R''_1]$ ,

ferner die den von den U, U', U" mit den Wänden gebildeten Schnittlinien zugehörigen:

$$\nu$$
 mit  $\nu$ ,  $\nu'$ ,  $\nu''$ ,  $\nu'''$ 
 $P \Rightarrow P$ ,  $P'$ ,  $P'''$ 
 $\omega \Rightarrow \omega$ ,  $\omega'$ ,  $\omega''$ ,  $\omega'''$ ;

so findet man ohne Mühe:

$$\begin{split} \delta \ U &= -\int \epsilon \, \partial \ U \Big[ \frac{1}{R} + \frac{1}{R_1} \Big] + \int \cos \omega \, . \, \nu \, \partial \ P \\ \delta \ U' &= -\int \epsilon' \, \partial \ U' \Big[ \frac{1}{R'} + \frac{1}{R'_1} \Big] + \int \cos \omega' \, . \, \nu' \, . \, \partial \ P' \\ \delta \ U'' &= -\int \epsilon'' \, \partial \ U'' \Big[ \frac{1}{R''} + \frac{1}{R''_1} \Big] + \int \cos \omega'' \, . \, \nu'' \, . \, \partial \ P'' + \\ &\quad + \int \cos \omega''' \, . \, \nu''' \, . \, \partial \ P'''. \end{split}$$

In diesen Gleichungen erstrecken sich die Integrationen in den negativen Ausdrücken über die entsprechenden U-Flächen, in den positiven über die Umfänge der entsprechenden Schnittlinien.

Auf eine ebenso leichte Art findet man:

$$\delta O = \int v \cdot \partial P - \int v' \cdot \partial P'$$

$$\delta O = \int v' \partial P' + \int v'' \partial P''$$

$$\delta O'' = \int v''' \cdot \partial P'''.$$

Die von der Schwere abhängigen Integrale in dem Ausdrucke für  $\theta$  erleiden eine Veränderung in Folge der Variation der U-Flächen, und bezeichnen Z, Z', Z'' die verticalen Ordinaten von Punkten, die der Reihe nach in den U-, U'-, U'-Flächen liegen, so sind die Variationen der von der Schwere abhängigen Integrale:

$$g c \int Z \cdot \varepsilon \cdot \partial U + g (c' - c) \int^{2} Z' \cdot \varepsilon' \cdot \partial U' + g c' \int Z'' \cdot \varepsilon'' \cdot \partial U''.$$

Demnach ist:

$$\begin{split} O = \partial \theta = & \int \varepsilon \partial U \left[ -H \left( \frac{1}{R} + \frac{1}{R_1} \right) + g c Z \right] + \\ & + \int \varepsilon' \partial U' \left[ -H' \left( \frac{1}{R'} + \frac{1}{R'_1} \right) + g (c' - c) Z' \right] + \\ & + \int \varepsilon'' \partial U'' \left[ -H'' \left( \frac{1}{R''} + \frac{1}{R''_1} \right) + g c' Z'' \right] + \\ & + \int \nu \cdot \partial P (F + H \cos \omega) + \int \nu' \partial P' [F' - F + H' \cos \omega'] + \\ & + \int \nu'' \partial P'' [F' + H'' \cos \omega''] + \int \nu''' \cdot \partial P''' [F'' + H'' \cos \omega''']. \end{split}$$

Werden hierzu folgende zwei Gleichungen

$$\int \varepsilon \, \partial U - \int \varepsilon' \, \partial U' = \mathbf{0} \qquad \text{Factor } \lambda$$

$$\int \varepsilon' \, \partial U' + \int \varepsilon'' \, \partial U'' = \mathbf{0} \qquad \text{``} \quad \lambda'$$

mit den Constanten  $(\lambda, \lambda')$  multiplicirt, addirt, welche die Bedingung enthalten, dass bei einer Variation die Massen der Flüssigkeiten, oder mit Vernachlässigung unmerklicher Größen die Volumina V und V' constant bleiben, so kann man in dem neuen Ausdrucke für  $\delta\theta$  alle  $\varepsilon$  und  $\nu$  als willkürlich betrachten, und die Gleichung  $\delta\theta=0$  kann nur so erfüllt werden, dass folgende Gleichungen bestehen:

$$-H\left(\frac{1}{R} + \frac{1}{R_{1}}\right) + g c Z = \lambda \qquad F + H \cos \omega = 0$$

$$-H'\left(\frac{1}{R'} + \frac{1}{R'_{1}}\right) + g (c' - c) Z' = \lambda' - \lambda \qquad F' - F + H' \cos \omega' = 0$$

$$-H''\left(\frac{1}{R''} + \frac{1}{R''_{1}}\right) + g c' Z'' = \lambda' \qquad F' + H'' \cos \omega'' = 0$$

$$F'' + H'' \cos \omega''' = 0$$

Wählt man die Lage der (XV) so, dass sie in das obere Niveau der Flüssigkeit ausserhalb des Haarröhrchens fällt, so ist  $\lambda'=0$ . Diess sind die Gleichungen für die capillaren Oberslächen und für die beständigen Randwinkel, und sie stimmen der Form nach genau überein mit denen in der "Nouvelle théorie etc.". Für den Fall einer einzigen Flüssigkeit im Haarröhrchen, deren Dichte c ist, wird die capillare Obersläche, wenn ihre verticalen Ordinaten vom Niveau

der Flüssigkeit außerhalb des Haarröhrchens an gezählt werden, durch folgende Gleichung bestimmt:

$$H\left(\frac{1}{R} + \frac{1}{R_1}\right) + g c Z = 0$$

und hier ist H folgender Ausdruck:

$$H = \pi \int_{0}^{\delta} \psi(n) \cdot \partial n \left[ \int_{0}^{\infty} F \varepsilon \cdot \partial \varepsilon \left( \psi(n+\varepsilon) - 2c \right) + \int_{0}^{\pi} F(\varepsilon) \cdot \psi(n-\varepsilon) \cdot \partial \varepsilon \right]$$

welcher für den Fall einer constanten Dichte durch die ganze Masse der Flüssigkeit in folgenden übergeht:

$$H = -\pi c^2 \int_0^\infty dn \int_n^\infty F \varepsilon . \partial \varepsilon.$$

Dawidow hat für die obere Gränze n im zweiten Integrale in dem Ausdrucke für H, die Gränze  $\infty$  substituirt, so Glieder vernachlässigend, die sich auf die äußerste Schicht des Flüssigkeitshäutchens beziehen. Aber wenn diese Vernachlässigung auch unter der Hypothese einer raschen Dichtigkeitsabnahme gegen die freie Obersläche zu erlaubt ist, so ist sie es nicht mehr unter der Annahme einer gleichmäsigen Dichte der Flüssigkeit und Dawidow hat Unrecht, wenn er behauptet, dass für den Fall einer gleichmäsigen Dichte der Flüssigkeit durch ihre ganze Masse H=0 sey, und dass es unter dieser Annahme alsdann keine Theorie der Capillarerscheinungen gebe.

In dieser kleinen Untersuchung soll gezeigt werden, auf welche karze und elegante Weise, im Gegensatze zu den weitläufigen Rechnungen Poisson's, mittelst des Princips der virtuellen Bewegungen die Aufgabe über die Größe des Horizontaldrucks einer Flüssigkeit auf eine verticale Ebene gelöst wird.

Wir denken uns die zwischen den beiden unendlich langen, parallelen Ebenen über das äußere Niveau der Flüssigkeit im Behälter aufstehende Flüssigkeitssäule ABCD (Fig. 13 Taf. I) sammt den beiden Ebenen CE und DF aus der Flüssigkeit herausgehoben und auf einen horizontalen Boden gestellt, so, dass in der gegenseitigen Lage der Ebenen und im Stande der Flüssigkeit sich nichts ändert. Die Wände CE und DF seyen wieder vertical und CE absolut unbeweglich, DE aber könne in einer horizontalen zu den Ebenen senkrechten Richtung hin- und hergeschoben werden, die wir zugleich als die X-Axe eines rechtwinkligen Coordinatensystems annehmen. Die verticale OY bilde die Y-Axe.

Die Flüssigkeit fibt nun einen Druck oder Zug auf die Ebene DF aus, welchem für die Einheit der Länge der unendlich langen Ebene DF durch eine Kraft P das Gleichgewicht gehalten wird. Eine zweite horizontale Ordinate, parallel mit der Länge der Ebenen, braucht hier nicht berücksichtigt zu werden.

Bei einer Variation wird die Wand DF auf OX verschoben und die Flüssigkeit ändert ihren Stand. Wir nehmen nun an, bei einer Variation, die wir vornehmen, ändern sich nicht: AC = k' uud BD = k. Es sey  $OC = X_1$ ,  $OD = X_0$ , und  $\omega$  der Randwinkel zwischen der Flüssigkeit und der starren Wand DF. Die Coordinaten eines Punktes der capillaren Oberfläche seyen XY, und hierbei soll bemerkt werden, daß X als Function von Y betrachtet und Y als vom Niveau der Flüssigkeit im Behälter ausgezählt gedacht wird; für den Fall des Gleichgewichtes der Flüssigkeit und der Wand DF muß:

$$\delta \theta = g c \delta \left[ \int Y \partial V \right] + H \delta U + P \cdot \delta X_0 = 0$$

und hier haben die Größen: g, c, V, H, U dieselbe Bedeutung wie in der vorigen Rechnung. Die Gleichung, welche die Bedingung enthält, daß bei einer Variation die Flüssigkeitsmasse constant bleibe, braucht hier nicht berücksichtigt zu werden, da die Constante, womit dieselbe multiplicirt zu  $\delta \theta$  addirt werden sollte, in unserm Falle, da nämlich die Y gleichsam vom Niveau der Flüssigkeit im Behälter gezählt erscheinen, gleich Null ist. Das nächste Geschäft

ist das der Bestimmung der Variationsausdrücke. Es ist

$$\delta \left[ \int Y \partial V \right] = \frac{k^2}{2} \delta X_0 - \int_{X_1}^{X_0} Y \cdot dY \cdot \delta X$$

$$\delta U = \delta \left[ \int_{X_1}^{X_0} V \left[ dX^2 + dY^2 \right] \right] = \frac{dX \cdot \delta X}{V dX^2 + dY^2} \Big|_{X_1} - \int_{X_1}^{X_1} \left[ \frac{dX}{V dX^2 + dY^2} \right] \cdot dY \cdot \delta X$$

wobei zu bemerken ist, dass

$$\frac{dX \cdot \delta X}{\sqrt{dX^2 + dY^2}} \bigg|_{X}^{X_0} = \sin \omega \cdot \delta X_0$$

ist. Demnach ist

$$\delta \theta = \left[ P + \frac{gc}{2} k^2 + H \sin \omega \right] \delta X_0 -$$

$$- \int \left\{ D_Y \left[ \frac{dX}{\sqrt{dX^2 + dY^2}} \right] \cdot H + gcY \right\} \cdot \delta X \cdot dY = 0$$

und  $\delta \theta = 0$  wird nur dann erfüllt, wenn folgende Gleichungen bestehen:

$$P + \frac{ge}{2}k^2 + H\sin\omega = 0$$

$$HD_Y \left[ \frac{dX}{VdX^2 + dY^2} \right] + gcY = 0.$$

Die zweite Gleichung von diesen ist die bekannte für die capillare Obersläche. Die erste bestimmt die Wirkung der Flüssigkeit auf die Ebene DF. Die Größe H sin  $\omega$  ist die Correction, welche Poisson an dem von Laplace für P aufgestellten Ausdruck

$$P + \frac{gc}{2}k^2 = 0$$

angebracht hat.

IV. Ueber den Antheil der Capillarität an den Erscheinungen der Ausbreitung der Flüssigkeiten; von Paul du Bois-Reymond.

Mit dem Namen: Erscheinungen der Ausbreitung bezeichnet man bekanntlich eine ganze Klasse interessanter Bewegungserscheinungen an der Oberfläche von Flüssigkeiten, die man bis jetzt noch in keiner der bekannten physikalischen Theorien vollständig unterzubringen vermocht hat.

Die in Rede stehenden Erscheinungen, wie sie sich ohne experimentelle Zuthat dem Blicke darbieten, lassen sich beschreiben wie folgt. Ein Theil des freien Oberflächengebiets einer Flüssigkeit A sey bedeckt von einer dünnen Schicht einer anderen Flüssigkeit B. Diese andere Flüssigkeit kann eine von der ersten durchaus verschiedene seyn. Sie kann aber auch ein Gemenge eines anderen Stoffes mit der Flüssigkeit A seyn, wie sich diess z. B. bildet, wenn Dämpfe von gewissen Flüssigkeiten auf die Obersläche gewisser anderer Flüssigkeiten niedersinken. Sie kann endlich aus einer höher erwärmten Schicht der Flüssigkeit A bestehen. In allen diesen Fällen bemerkt man sehr häufig ziemlich lebhafte Bewegungen an der Obersläche von A und in dessen Inneren, welche erkennen lassen, dass die deckende Schicht aus irgend einem noch nicht bekannten Grunde das von ihr bedeckte Gebiet nach allen Richtungen hin zu erweitern strebt, und die bedeckte Flüssigkeit, wo sie damit in Berührung steht, centrifugal mit sich fortreifst. Der äufsere Eindruck ist also als ob in der bedeckenden Flüssigkeit eine abstoßende Kraft ihren Sitz hätte, die sie auseinandertreibt. Die Ansicht, dass wirklich eine solche Kraft existirt, hat denn auch ihre Vertreter gehabt (Fusinieri, Franklin). Die gleichsam entgegengesetzte Ansicht, welche in dem Phänomen nur eine Aeufserung capillarer Anziehung oder etwas Verwandtes erblicken will, ist ebenfalls ausgesprochen, und kürzlich fast gleichzeitig von zwei Physikern, Hrn. van der Mensbrugghe<sup>1</sup>) und Hrn. Lüdtge<sup>2</sup>), von Neuem auf den Schild erhoben worden.

Ich habe in einer im CIV. Bande dieser Annalen veröffentlichten Arbeit über den nämlichen Gegenstand mich nach mehrjährigen Forschungen schließlich für eine zwischen jenen beiden extremen Ansichten die Mitte haltende Vorstellungsweise erklärt, nach welcher die Erscheinungen der Ansbreitung theils bloße Capillaritätsphänomene sind, theils aber wirklich Aeußerungen noch nicht bekannter Kräfte, die in hinreichend dünnen Schichten gewisser Flüssigkeiten ihren Sitz haben. Es sey mir vergönnt, hier die Ueberlegungen, die mich zu dieser Vorstellungsweise nöthigten, etwas eingehender darzulegen, als am angeführten Orte geschah, wo es mir hauptsächlich auf Mittheilung meiner experimentellen Ergebnisse und möglichst objective Darstellung der daraus entspringenden Consequenzen ankam.

Ich beginne mit der Angabe der Bedingungen für das Gleichgewicht eines Tropfens einer Flüssigkeit 1, der auf der Obersläche einer Flüssigkeit 2 schwimmen soll. Man hat dabei drei Flächen zu unterscheiden: die freie Fläche der Flüssigkeit 2, die freie Fläche des schwimmenden Tropfens der Flüssigkeit 1, und die Fläche, welche die Flüssigkeit des Tropfens von der unteren Flüssigkeit trennt.

§. 1. Die Meridiancurve eines schwimmenden Tropfens kann im Gleichgewicht keinen Wendepunkt haben.

Zunächst können wir den Nachweis führen, dass, den Tropfen als Rotationskörper gedacht, die Meridiancurve weder seiner freien noch seiner unteren Fläche einen Wendepunkt haben kann.

Wir legen durch die Flüssigkeit des Tropfens einen unendlich dünnen Kanal der zwei Punkte seiner freien Ober-

2) Ueber die Ausbreitung der Flüssigkeiten auf einander. Diese Annalen Bd. 137, S. 362.

Sur la tension superficielle des liquides etc. par G. van der Mensbrugghe. Bruxelles 1869, I. M. Hayez, Imprimeur de l'Académie Royale de Belgique.

fläche verbindet, den höchsten Punkt  $p_o$  des Tropfens und einen Punkt p unmittelbar über dem Parallelkreis, in welchem die als vorhanden angenommenen Wendepunkte der Meridiancurven liegen.

Im Kanal wirken dann folgende Kräfte, deren Summe Null seyn muss, und die wir gleich so verzeichnen, dass wir sie unter Fortlassung von K mit dem Querschnitt des Kanals dividiren. 1) Das Gewicht  $g \varrho_1 z$ , wo  $\varrho_1$  die Dichtigkeit der Flüssigkeit I und 3 die Höhendifferenz der Punkte  $p_0$  und p; 2) der Druck  $\frac{H}{R_0}$  (H ist die bekannte Laplace'sche Constante, welche die Anziehung bedeutet eines flüssigen Meniscus von der Krümmung I gegen einen senkrecht auf seinen dünnsten Theil und seine ebene Begränzung errichteten unendlich dünnen Cylinder, diese Anziehung dividirt durch den Querschnitt des Cylinders, Ro ist der Krümmungshalbmesser des Tropfens im Punkte  $p_0$ ; 3)  $-\frac{H}{2}(\frac{1}{R_2}+\frac{1}{R_1})$  wo  $R_1$  und  $R_2$  die Krümmungshalbmesser in pbedeuten, die positiv zu rechnen sind, wenn sie in die Flüssigkeit hineingerichtet sind, sonst negativ. Damit die Summe der aufgezählten Kräfte Null sey, muß  $\frac{H}{2}(\frac{1}{R}+\frac{1}{R})$  mit z stets wachsen. Diess ist aber unter der Voraussetzung eines Wendepunkts nicht der Fall. Es sey R, der Krümmungshalbmesser der Meridiancurve. Diese wird im Wendepunkt negativ, und über den Wendepunkt hinaus nimmt der negative Werth von  $\frac{1}{R}$  jedenfalls zunächst zu. Ferner ist dann:

$$\frac{1}{R_1} = \frac{1}{x} \sqrt{\frac{\frac{dx}{dx}}{1 + \left(\frac{dx}{dx}\right)^2}} = \frac{1}{x} \sin(ds, x),$$

wo x die horizontale Entfernung von  $p_0$  und p, und ds das bei p beginnende dem Rande des Tropfens zugekehrte Bogenelement der Meridiancurve. Von p an nimmt neben  $\frac{1}{x}$  auch  $\sin(ds, x)$  ab, mithin auch  $\frac{1}{R_2}$ . Ein Wendepunkt in

der Meridiancurve der freien Fläche des Tropfens kann also nicht bestehen, da die Größe  $\frac{H}{2}\left(\frac{1}{R_1}+\frac{1}{R_2}\right)$  abnimmt, sobald man den Punkt p den Wendepunkt passiren läßt.

Für die untere Fläche des Tropfens ist der Beweis ganz ähnlich. Wir legen einen Kanal durch den Tropfen, der den untersten Punkt  $p'_{a}$  desselben verbindet mit einem anderen Punkte p' seiner unteren Fläche. Diesen zweiten Punkt p' denken wir uns unmittelbar unter dem Parallelkreis gelegen, in dem die supponirten Wendepunkte liegen. Dann verbinden wir die Punkte  $p'_0$  und p' noch durch einen Kanal, der durch die Flüssigkeit außerhalb des Tropfens verläuft. In dem so entstandenen geschlossenen Kanal soll Gleichgewicht herrschen. Bei der Summation der Kräfte rechnen wir diejenigen positiv, die im Sinne  $p'_0$  p' im Innern des Tropfens wirken, und führen noch folgende Bezeichnungen ein. Wir bezeichnen mit  $H_{ij}$  die vorher mit H bezeichnete Constante der Flüssigkeit 1, mit  $\varrho_2$ ,  $H_{22}$ Dichtigkeit und Constante der Flüssigkeit 2, mit  $H_{12}$  die Constante der Flüssigkeit 1 gegen 2 oder 2 gegen 1 (d. i. die Anziehung des mit 1 oder 2 gefüllten Meniscus gegen 2 oder 1) und setzen endlich:

$$B_{12} = H_{11} + H_{22} - 2H_{12}$$

Dann ist die Summe der im Kanal wirkenden Kräfte

$$(\varrho_2 - \varrho_1) z + \frac{B_{12}}{R'_0} - \frac{B_{12}}{2} (\frac{1}{R'_1} + \frac{1}{R'_2}),$$

z die Höhendifferenz von p' und  $p'_0$ ,  $R'_0$  der Krümmungshalbmesser bei  $p'_0$ ,  $R'_1$ ,  $R'_2$  die Krümmungshalbmesser bei p'. Weil der Tropfen schwimmen soll, muß angenommen werden  $\varrho_2 - \varrho_1 > 0$ . Soll ferner der Tropfen in  $p'_0$  convex gegen die Flüssigkeit 2 seyn, so muß auch seyn

$$B_{12} > 0$$
.

Hiernach ist der Nachweis der Unmöglichkeit eines Wendepunkts in der Meridiancurve der unteren Tropfenfläche genau derselbe wie oben, so das ich ihn nicht wiederhole.

Somit steht also fest, dass alle Meridiancurven des schwimmenden Tropfens ohne Wendepunkt sind. Nehmen

wir dessen Masse klein und gegeben an, so folgt, dass der horizontale Durchmesser um so größer ist, je kleiner der Winkel unter dem die obere und die untere Tropfensläche sich treffen. Verschwindet dieser Winkel, so wird der Durchmesser des Tropfens unendlich groß, der Tropfen breitet sich aus. Es liefert uns also diese Ueberlegung die Bedingung, unter welcher Ausbreitung einer Flüssigkeit auf einer anderen stattfindet: Der in Rede stehende Randwinkel muß Null seyn. Die Theorie setzt uns aber ferner in Stand auch die Bedingung, unter welcher der Randwinkel verschwindet, genau zu formuliren, und da überhaupt vom Randwinkel die Gestalt des Tropfens wesentlich abhängt, so werde ich hier der Vollständigkeit wegen mittheilen, was aus der Theorie über ihn geschlossen werden kann.

 Der Neumann'sche Satz von den Randwinkeln dreier aneinderstoßenden Flüssigkeiten und Folgerungen daraus.

Ich werde zunächst der Symmetrie halber annehmen, wir hätten es mit drei Flüssigkeiten 1, 2, 3 zu thun, deren Trennungsflächen in einer Curve aneinanderstoßen. Diese Trennungsflächen, die wir mit  $O_{12}$ ,  $O_{18}$ ,  $O_{28}$  bezeichnen, bilden drei Randwinkel  $\omega_1$ ,  $\omega_2$ ,  $\omega_3$ , und zwar sey  $\omega_1$  der Winkel zwischen den Flächen  $O_{12}$  und  $O_{13}$ , die die Flüssigkeit 1 einschließen, und  $\omega_2$  der Winkel zwischen den Flächen  $O_{12}$  und  $O_{28}$ , die die Flüssigkeit 2 einschließen. Hierzu Fig. 14 Taf. I, die einen senkrecht auf ihre gemeinsame Durchschnittslinie durch die Flächen  $O_{12}$ ,  $O_{18}$ ,  $O_{28}$  geführten Querschnitt vorstellt. Den Zusammenhang der Winkel  $\omega_1$ ,  $\omega_2$ ,  $\omega_3$  mit den von den Flüssigkeiten ausgeübten capillaren Kräften lehrt ein schönes von Hrn. F. E. Neumann entdecktes Theorem 1), welches also lautet:

1) Dieses Theorem, welches man wohl den dritten Hauptsatz der Theorie der Capillarität nennen kann, ist meines Wissens außer in meiner Dissertation (De aequilibrio fluidorum, Berlin 1859) nicht veröffentlicht worden. Man erhält es am strengsten durch die Gauss'sche Methode, und so ist es auch in meiner Dissertation abgeleitet, in welcher ich noch untersucht habe, welchen Einfluss die Variation der Dichtigkeit an der Oberfläche auf den Inhalt der Hauptstize habe. Es

Im Gleichgewicht sind die Supplemente  $\omega_1$ ,  $\omega_2$ ,  $\omega_3$  der Winkel  $\omega_1$ ,  $\omega_2$ ,  $\omega_3$  die Winkel eines Dreiecks, deren gegenüberliegende Seiten resp. gleich den Constanten  $B_{28}$ ,  $B_{13}$ ,  $B_{12}$  sind, welche Constanten vermöge der Beziehungen

$$B_{12} = H_{11} + H_{22} - 2 H_{12}$$

$$B_{13} = H_{11} + H_{83} - 2 H_{18}$$

$$B_{28} = H_{22} + H_{33} - 2 H_{13}$$

als Cambinationen Laplace'scher Meniscusanziehungen sich darstellen.

In dem uns beschäftigenden Falle ist eine der drei Flüssigkeiten Luft, und diess sey die Flüssigkeit 3. Wegen ihrer geringen Dichtigkeit sind dann  $H_{33}$ ,  $H_{13}$ ,  $H_{23}$  zu vernachlässigen und es wird:

$$B_{13} = H_{11}, B_{23} = H_{22}.$$

Wir wollen jetzt prüfen, welche verschiedenen Formen der schwimmende Tropfen unter den verschiedenen Annahmen über den relativen Werth der Constanten  $H_{11}$ ,  $H_{22}$ ,  $B_{12}$  annehmen kann. Fig. 13 Taf. I stellt zwei Dreiecke dar, wie sie zur Bestimmung der Winkel  $\omega_1$ ,  $\omega_2$ ,  $\omega_3$  dienen. Es ist stets vorausgesetzt, daß 1 die Flüssigkeit des Tropfens sey, 2 die Flüssigkeit der Unterlage. Im ersten Dreieck ist  $H_{22} > H_{11}$ , im zweiten  $H_{11} > H_{22}$  angenommen. Es erhellt, daßa, die Größen  $H_{11}$  und  $H_{22}$  als gegeben vorausgesetzt, die Größe der Winkel  $\omega_1$ ,  $\omega_2$ ,  $\omega_3$  durch  $B_{12}$  bestimmt wird, und das Dreieck ist nur möglich, wenn

$$(H_{22}-H_{11})^2 \leq B^2_{12} \leq (H_{22}+H_{11})^2.$$

ergiebt sich, wenn man annimmt, die Dichtigkeit sey in allen Punkten, welche dieselbe normale Entfernung des Oberstäche haben, gleich, dass die Form der Sätze dieselbe bleibt, nur der Werth der Constanten ist ein anderer. Man kann den Neumann'schen Satz ebenso wie die beiden andern auf die Joung'sche Weise sehr einstch ableiten, wenn man die Fiction macht, dass drei Kräste in einer Ebene an einem Punkte zichen. Im Gleichgewicht gilt dann zwischen ihren Intensitäten und Winkeln die Neumann'sche Beziehung. Diess ist schon von andern bemerkt worden. Indessen ist gegen diese Ableitung das nämliche geltend zu machen, wie gegen die Young'sche Ableitung der beiden andern Hauptsätze, dass nämlich die Constanten der Theorie keine präcise mechanisch moleculartheoretische Bedeutung erhalten.

In den beiden Gränzfällen  $B_{12}^2 = (H_{22} - H_{11})^2$ ,  $B_{12} = H_{22} + H_{11}$  reducirt sich das Dreieck auf eine Gerade.

Untersuchen wir die Constante  $B_{12} = H_{11} + H_{22} - 2H_{12}$ etwas näher. H<sub>12</sub> wächst und nimmt ab mit der gegenseitigen Anziehung der Flüssigkeiten ! und 2. Sind diese Flüssigkeiten identisch, so wird  $H_{13} = H_{11} = H_{22}$  und  $B_{12} = 0$ . Ist die gegenseitige Anziehung Null, wie wenn eine indifferente Schicht von der Dicke der Molekularwirkungssphäre die Flüssigkeiten 1 und 2 trennt, so wird  $H_{12} = 0$  und  $B_{12} = H_{11} + H_{22}$ . Wenn wir negative Werthe von  $B_{12}$ , die nicht wahrscheinlich sind, ausschließen, so ist der Werth dieser Constante also um so größer, je geringer die gegenseitige Anziehung der Flüssigkeiten und kann wachsen von 0 bis  $H_{11} + H_{22}$ . Was die in  $B_{12}$  auftretenden Constanten  $H_{11}$ und  $H_{22}$  betrifft, so hat man aber nicht zu vergessen, dass sie wahrscheinlich im Allgemeinen verschieden sind von den an der freien Obersläche der Flüssigkeiten 1 und 2 gültigen Constanten  $H_{11}$  und  $H_{22}$ , welche den beiden anderen Dreiecksseiten entsprechen. Daher ist eine genauere mathematische Untersuchung der Beziehung von  $H_{12}$  zu  $H_{11}$  und  $H_{22}$ , welche unter gewissen Voraussetzungen möglich ist, ohne physikalisches Interesse.

Wenn  $B_{12}$  von Null an wächst, so wird das Dreieck möglich bei  $B^2_{12} = (H_{22} - H_{11})^2$  (die Constanten  $H_{11}$  und  $H_{22}$  auf die freie Oberfläche bezogen). Wie sich die Theorie zum Fall  $0 < B^2_{12} < (H_{22} - H_{11})^2$  verhält, werde ich weiter unten angeben. Zunächst verfolgen wir die verschiedenen Werthe der Winkel  $\omega_1$ ,  $\omega_2$ ,  $\omega_3$ , während  $B^2_{12}$  von  $(H_{22} - H_{11})^2$  bis  $(H_{22} + H_{11})^2$  wächst. Sie sind zusammengestellt in nachstehender Tabelle.

	I.	$H_{22}$	$H_{11}$ ,	$\omega_2 >$	ω1.
1			ı		- 1

B <sub>12</sub>	ω1	ω3	₩g	
$B_{12} = H_{12} - H_{11}$	00	180°	180°	æ
$B_{12} \operatorname{von} H_{22} - H_{11}$ bis $H_{32} + H_{11}$	von 0° bis 180°	von 180° durch ein Min. bis 180°	von 180° bis 0°	β
$B_{12} = H_{22} + H_{11}$	180°	180°	00	r

II.  $H_{11} > H_{22}$ ,  $\omega_1 > \omega_2$ .

$B_{12}$	ω,	ω <sub>2</sub>	ω3	
$B_{12} = H_{11} - H_{22}$	180°	00	180°	u'
$B_{12}$ von $H_{11} - H_{22}$ bis $H_{11} + H_{22}$	von 180° durch ein Min. bis 180°	180°	von 180 bis 0°	β'
$B_{12} = H_{11} + H_{22}$	180°	180°	00	γ'

Im Fall  $\alpha$  findet also nach dem früheren Ausbreitung statt. Fall  $\beta$  enthält die Uebergänge der Linsengestalt zum Fall  $\gamma$ , wo ein überall abgerundeter Flüssigkeitstropfen auf der Oberfläche einer andern Flüssigkeit schwimmt. Fall  $\alpha'$  ist gleichsam der Gegensatz zu  $\alpha$ . Fall  $\beta'$  vermittelt den Uebergang von  $\alpha'$  zu  $\gamma'$ , welcher letztere Gränzfall mit  $\gamma$  identisch ist.

Jetzt können wir auch übersehen, wie sich die Theorie zum Fall  $B^2_{12} < (B_{22} - B_{11})^2$  verhält. Nämlich in beiden Fällen  $\alpha$  und  $\alpha'$  wird eine der Flüssigkeiten eine dünne Lamelle, im ersten die Flüssigkeit 1 bei ihrer Ausbreitung, im zweiten die Flüssigkeit 2, indem sie sich über 1 legt. Die Voraussetzungen der Theorie treffen aber bei dünnen Lamellen, deren Begränzungsflächen unter verschwindendem Winkel aneinanderstoßen, nicht mehr zu, da die Theorie von den Flüssigkeitsschichten verlangt, daß ihre Dicke nirgends unter dem Durchmesser der Molecularwirkungssphäre sinke. Es ist jedoch nach dem Gesetze der Continuität wohl kein Zweifel, daß wenn für  $B^2_{12} = (H_{22} - H_{11})^2$  der Winkel  $\omega_1$  oder  $\omega_2$  Null wird, er es a fortiori für  $B^2_{12} < (H - H_{11})^2$  werde.

In Fig. 16 Taf. I sind die verschiedenen Formen von schwimmenden Tropfen dargestellt, wie sie, den in der Tabelle aufgeführten Fällen entsprechend, in der Natur zur Erscheinung kommen oder doch kommen könnten. I ist die gewöhnliche Ausbreitung, 2 sieht man seltener, aber noch verhältnifsmäsig häufig, z. B. bei flüssigen Fetten auf gestandenem Wasser. Selten ist 3, und 4 sowohl wie 4' bemerkt man bisweilen als flüchtige Erscheinung beim Rudern, wenn Wasserkügelchen auf der Wasseroberfläche hinlaufen.

Fall 1', der eben so häufig als 1 seyn sollte, läst sich schwerer beobachten, als Fall 1, am Besten, wenn man Tropfen gewisser Flüssigkeiten an der Oberstäche anderer unterstützt, weil bei Fall 1' die Tropfenslüssigkeit im Allgemeinen schwerer ist als die umgebende. Bemerkenswerth ist Fall 1' bei Wassertropfen in dünnen Alkoholschichten. Fall 2' sieht man bisweilen bei an der Oberstäche von wässerigem Alkohol schwimmenden größeren Oeltropfen, Fall 3' ist mir noch nicht vorgekommen und Fall 4' ist mit 4 identisch.

Diess sind die allgemeinen Ergebnisse der Theorie hinsichtlich der Gestalt schwimmender Tropfen. nauere mathematische Durchführung dieser Untersuchung dürfte auf die bedeutendsten Schwierigkeiten stossen. Aber jedenfalls können wir sagen, unter welchen theoretischen Bedingungen man Ausbreitung einer Flüssigkeit auf einer anderen beobachten wird. Es wird diess stattfinden, wenn  $H_{22} > H_{11}$ ,  $B_{12} = H_{22} - H_{11}$  ist. Aus den Constanten Fälle von Ausbreitung vorherzuschließen, wird nicht möglich seyn, bevor nicht  $B_{12}$  für eine größere Anzahl von Flüssigkeitspaaren bestimmt ist. Inzwischen hat Hr. Lüdtge eine viel zahlreichere Folge von Flüssigkeiten, als bisher geschehen, angegeben, von denen jede auf der folgenden sich ausbreitet, und gemäs der Theorie keine der solgenden auf der vorhergehenden. Ja er fügt hinzu, dass eine jede sich auf jeder folgenden ausbreitet, wodurch eine schätzbare Reihe von Ungleichheiten für die Constante  $B_{12}$  gewonnen ist. 1)

<sup>1)</sup> So eben ist mir eine eben gedruckte Abhandlung des Hrn. Quincke »Ueber Capillaritäts-Erscheinungen an der gemeinschaftlichen Oberfläche zweier Flüssigkeiten« zugegangen, welche dem im Texte erwähnten und von allen Freunden der Capillaritätsicher schmerzlich empfundenen Mangel an Bestimmungen der Constante B<sub>12</sub> in glänzender Weise abhilft. Hr. Quincke wendet seine werthvollen Constantenbestimmungen auch auf die Ausbreitung unter Benutzung des Neumann'schen Satzes an. Das von mir in dieser Mittheilung verfolgte Ziel wird indessen durch seine Ergebnisse und Betrachtungen nicht berührt.

§. 3. Ueber die Ausbreitung mit Dämpfen imprägnirter Flüssigkeitsoberflächen und die Spannungshypothese.

Soweit könnte man also, scheint es, mit der Uebereinstimmung von Theorie und Experiment vollkommen zufrieden seyn und hätte seinen Fleis lediglich der mathematischen Ausführung der Theorie einerseits und der Bestimmung ihrer Constanten andererseits zu widmen.

Allein so einfach liegt die Sache nicht. Es giebt in diesem Gebiete noch andere Erscheinungen, die ihre Erklärung im Obigen durchaus nicht finden, und zwar zuerst die energischen Wirkungen der Ausbreitung, welche das Ausgießen von Dämpfen gewisser Flüssigkeiten auf andere Flüssigkeiten hervorruft. Eine Aeußerung capillarer Druckkräfte kann dieß nicht seyn. Denn wenn auch an den Stellen, wo z. B. Olivenöl etwas Aetherdampf absorbirt hat, eine Niveauerhöhung unzweifelhaft stattfindet, so muß diese doch so schwach seyn, die Krümmungshalbmesser der Flüssigkeitsebersäche müssen so nahe unendlich seyn, daß nicht daran zu denken ist, die rapiden Strömungen im Innern des Oels auf Wirkungen der Krümmung und Niveaudifferenzen zurückzuführen.

Hier stehen sich nun andere Erklärungsversuche gegenüber: Die Ansicht nämlich, nach welcher in äußerst dünnen Schichten gewisser Flüssigkeiten abstoßende Kräfte auftreten und eine andere Vorstellung, die zwar schon öfters geäußert, aber besonders bestimmt ausgesprochen und durchgeführt worden ist durch Hen. van der Mensbrugghe und Hrn. Lüdige, nämlich die Vorstellung, nach welcher die Oberflächenspannung nicht eine blosse Fiction ist, sondern wirklich an der Obersläche der Flüssigkeiten eine Membran existirt, die sich zusammenzuziehen strebt und zwar mit einer Intensität, welche von der Natur der Flüssigkeiten abhängt. Mit den Dämpfen hat man es dann sehr leicht. Man sagt: Da wo Aetherdämpfe auf die Oelobersläche fellen, wird ihr Contractionsbestreben verringert, die übrige Oberfläche behält es unwerändert, und zieht sich demnach zusammen, während die vom Aetherdampf getroffenen Stellen sich ausdehnen. Diese Vorstellungsweise wäre dann gleichsam eine Ergänzung der Theorie der Capillarität, deren Geschäft da beendigt ist, wo die Flüssigkeitsschichten äußerst dünn werden.

Ich muss gestehen, dass, trotz ihrer scheinbaren Durchsichtigkeit, diese Vorstellungsweise für mich etwas vages und unpräcises hat, denn wie dünn oder wie dick wir die Oberstächenschicht auch annehmen mögen, wir haben doch noch immer die darunter liegende Schicht der unteren Flüssigkeit zu berücksichtigen, wobei man besonders im Falle guter Mischbarkeit beider Flüssigkeiten, wenn man nicht unerwiesene Behauptungen zu Hülfe ziehen will, mit der Membran und der ganzen Spannungshypothese in einige Verlegenheit kommen dürfte. Auf alle Fälle ist diese Spannungshypothese weit davon entsernt auf mechanische Grundbegriffe zurückgeführt zu seyn.

In der Wahl der Versuche, die Hr. van der Mensbrugghe zur Stütze seiner Erklärungsweise heranzieht, scheint er mir zudem nicht immer glücklich. Z. B. kann ich seine Deutung des folgenden Versuches nicht für richtig halten. Wenn man über der Obersläche von Alkohol aus der Spitze einer fein ausgezogenen Glasröhre ein Tröpfchen Schwefelkohlenstoff so austreten lässt, dass es daran haften bleibt und dass dessen Dämpfe auf die Alkoholoberstäche fallen, so sieht man auf dieser Oberfläche schwimmende leichte Körperchen aus einiger Entfernung herbeikommen und sich unter dem Tröpfehen sammeln. Hr. van der Mensbrugghe erklärt diese Erscheinung durch die größere Spannung der mit Schwefelkohlenstoff vermengten Alkoholoberfläche, die sich daher unter dem Röhrchen contrahire, und er legt diesem Versuche eine entscheidende Wichtigkeit für seine Theorie bei (l. c. pag. 35), worin man ihm gewiss beipslichten könnte, wenn der Versuch keine bessere Deutung als die seinige zuließe. Betrachtet man indessen während des Versuchs den Alkohol von der Seite genau, so sieht man unter dem Schwefelwasserstofftröpfchen sich Schlieren bilden, die ziemlich rasch in der Flüssigkeit fallen und offenbar ein

Gemisch von Alkohol und Schwefelwasserstoff sind. Es ist wohl kaum zweifelhaft, dass der so unter dem Tröpfchen entstehende absteigende Flüssigkeitsstrom zum Ersatz der fortgeführten Flüssigkeit eine centripetale Flüssigkeitsströmung an der Alkoholobersläche bedingt, welche dort schwimmende leichte Körperchen unter das Tröpfchen führt. Am schönsten beobachtet man die Schlieren, wenn man über einem Becherglase mit Alkohol aus einer Flasche mit Schwefelkohlenstoff Dämpfe ausgießt. Die Schlieren stürzen dann in großer Menge durch die Alkoholmasse und sammeln sich am Boden des Becherglases.

## §. 4. Ueber die stationäre Ausbreitung.

Doch mag es auch gelingen, in dem der Theorie der Capillarität bis jetzt nicht zugänglichen Falle äußerst dünner Schichten die Lehre von der Oberslächenspannung in ein tadelfreies mechanisches Gewand zu kleiden, und mag dieser oder jener Versuch für eine solche Erklärungsweise der Ausbreitung zu sprechen scheinen: es giebt noch andere Erscheinungen, denen man auch mit der Oberslächenspannung nicht beikommt.

Ich meine die von Plateau und mir ziemlich gleichzeitig beschriebene stationäre Ausbreitung des Alkohols auf dem Oel, bei welcher trotz der gleichförmigen centrifugalen Strömung des Alkohols das gesammte Oberflächengebiet eine feste Gestalt annimmt. Denn es können die an der Oberfläche wirkenden Kräfte, wenn ihre Intensität nur von der Gestalt der Obersläche abhängt, einen Antrieb zur Bewegung nicht mehr ausüben, sobald die Obersläche eine feste Gestalt angenommen, nenne man diese Kräfte nun Laplace'schen Druck, Young'sche Spannung oder Gaufs'sches Oberslächenpotential. Wenn ein Luftstrom an einer Stelle in einen Gummiballon eintritt und ihm an einer andern Stelle ein Austritt gestattet ist, so wird er zuerst den Ballon aufblasen bis zu einer gewissen Spannung seiner Wandungen und wird von da ab, gleichförmig strömend, ein- und austreten, ohne dass die Spannung des Ballons irgend eine Wirkung auf seine Geschwindigkeit mehr ausübte, den man vielmehr durch einen eisernen sich ersetzt denken darf. Bei der stationären Ausbreitung verharren also die capillaren Triebfedern in unveränderlicher Spannung und sie sind es also nicht, die fortdauernd Oelmassen centrifugal forttreiben und die dadurch erzeugte Reibung überwinden.

Diese Betrachtung war es denn, die mich bewog, als ich mich vor mehreren Jahren zum zweiten Mal mit der Erscheinung der Ausbreitung beschäftigte, die stationare Ausbreitung zum Gegenstand einer messenden Untersuchung zu machen. Es gelang mir wenigstens einiges Gesetzmäseige in der Erscheinung zu enthüllen und so andern Forschern einen vielleicht willkommenen Ausgangspunkt zu bieten. definirt sind die jene Erscheinungen erzeugenden Kräfte durch meine Untersuchungen allerdings nicht und zwar besonders deshalb nicht, weil sich die Theorie der eigenthümlichen inneren Bewegung des Oels nicht bewältigen liefs. Es befindet sich nämlich unter dem Ausbreitungskreis des Alkohols ein vollständiger kreisförmiger Wirbelring, der an ruhiges Flüssigkeitsgebiet angränzt, eine Art der Bewegung, von der damals die Hydrodynamik noch nicht Rechenschaft zu geben vermochte, und für deren analytische Darstellung erst kürzlich durch Hrn. Helmholtz die Möglichkeit eröffnet worden ist 1).

Wenn man sich übrigens darauf berufen hat, dafs ich damals auf vollständige Erklärung der Erscheinung verzichtet habe, und die Frage nach dem Grunde der Ausbreitung offen gelassen, so erlaube ich mir zu bemerken, dass dies in geringerem Grade der Fall ist, wie man anzunehmen scheint. Ich habe vielmehr, nachdem ich experimentell die Unmöglichkeit nachgewiesen, die Erscheinung durch das Gefälle des absliesenden Alkohols zu erklären igend eine Anziehung des Oels zum Alkohol vorauszusetzen, oder eine abstosende Kraft in der Ausbreitungsschicht des Alkohols.

<sup>1)</sup> Berliner Monatsberichte, April 1868, Siehe ferner Kirchhoff, Borchard's Journal Bd. 70.

<sup>2)</sup> Diese Annalen, Bd. CIV, S. 222.

Was den ersteren Gedanken betrifft, so hat er mir von vornherein missfallen. Einfach deshalb, weil ich mir gar keine Form einer solchen Anziehung vorstellen kann, vermöge deren man eine stationäre Ausbreitung herausrechnen könnte, ohne physikalisch äußerst unwahrscheinliche Annahmen zu machen. Es wäre im Gegentheil nicht schwer eine Anziehungsresultante herauszurechnen, die der factisch stattfindenden Bewegung entgegenwirkt, also die in das Oel dringende Alkoholschicht aus dem Oel herauszieht. Und dann nehmen mit der Temperatur die mechanischen Wirkungen deutlich an Intensität zu, während unter solchen Umständen Anziehungen schwächer zu werden pflegen, eine Schwierigkeit, die man wieder nur durch unnatürliche Hypothesen umgehen kann.

Ich habe mich schon früher dafür ausgesprochen, und bekenne mich von Neuem auf das Entschiedenste zu der Ueberzeugung, dass die Existens einer in dünnen Schichten gewisser Flüssigkeiten auftretenden Repulsionskraft mit aller der Wahrscheinlichkeit dargethan ist, mit der man überhaupt physikalische Kräfte nachweisen kann, dass hiernach bei der nichtstationären Ausbreitung solcher Flüssigkeiten, deren Ausbreitung stationär gemacht werden kann, sobald die hinreichend dünne Schicht hergestellt ist, und bei der durch oberslächliche Ausnahme von Dämpsen erzeugten Ausbreitung die nämliche Repulsionskraft wirkt, und dass man endlich der Annahme dieser Kraft nur bei den Flüssigkeiten überhoben ist, deren Ausbreitung nicht stationär gemacht werden kann.

Auf die stationäre Ausbreitung ist in den neueren Untersuchungen über diesen Gegenstand keine Rücksicht genommen.

Heidelberg, im November 1869.

## V. Bemerkungen zu zwei Aufsätzen von W. von Bezold und E. Edlund über elektrische Erscheinungen; von R. Clausius.

Im Junihefte 1869 dieser Annalen befindet sich ein interessanter Aufsatz von W. von Bezold ȟber das Verhalten der isolirenden Zwischenschicht eines Condensators «, welcher auf einen von mir über denselben Gegenstand veröffentlichten Artikel¹) Bezug nimmt, und mir in einem Puncte Veranlassung zu einer kurzen Erwiederung giebt.

Der Verf. bespricht zwei aus seinen experimentellen Untersuchungen abgeleitete Ergebnisse, welche er schon in früheren Aufsätzen angeführt hatte, und deren eines er jetzt nach neueren Beobachtungen mit bestimmten Zahlen belegt, nämlich dass bei Franklin'schen Tafeln von verschiedener Glasdicke die Abnahme der disponiblen Ladung mit verschiedener Geschwindigkeit vor sich gehe, und dass eine dünne Zwischenschicht, welche zwischen Belegung und Glasplatte oder zwischen zwei gleichzeitig angewandten Glasplatten eingeschaltet wird, ebenfalls einen wesentlichen Einfluss auf jene Geschwindigkeit ausübe. Er meint, dass diese Thatsachen mit einer von mir entwickelten Formel im Widerspruch stehen, und stellt am Schlusse seines Aufsatzes unter anderen folgenden Satz auf: » Aus den Formeln, in welche Clausius die Kohlransch'sche Theorie der Rückstandsbildung gefast hat, ergeben sich genau dieselben Widersprüche mit der Erfahrung, welche ich schon früher aus dieser Theorie auf andere Weise abgeleitet habe.«

Ich kann der in diesem Satze ausgedrückten Ansicht nicht beipflichten.

Zunächst muss ich sagen, dass in meiner Formel die Zeit, in welcher die Zustandsänderung der Franklin'schen Tafel stattsindet, gar nicht vorkommt, sondern nur der Endzustand,

<sup>1)</sup> Abhaudlungen über die mechanische VVarmetheorie, zweite Abtheilung, S. 135.

dem sie sich nähert, und dass die Voraussetzung, von welcher von Bezold ausgeht, um nachzuweisen, dass bei Platten von verschiedener Dicke die von mir angenommene Veränderung in gleichen Zeiten stattsinden müsste, in seinen eigenen Versuchen nicht erfüllt ist. Er sagt, wenn man eine Tafel von gegebener Dicke mit der Anfangsladung  $L_0$  versehe, und einer zweiten Tafel von nfacher Dicke eine nmal so große, also durch  $nL_0$  ausgedrückte Ladung gebe, so sey die Kraft, welche im Innern des Glases wirke, überall gleich groß, und somit müsse auch die innere Veränderung in gleichen Zeiten mit gleicher Stärke eintreten.

Hierbei ist schon ein kleines Versehen gemacht, welches ich aber nur beiläufig erwähne, indem es wahrscheinlich auf einem Schreibfehler beruht. Er hat pämlich auf der vorhergehenden Seite gesagt, dass die mit dem Buchstaben L bezeichnete Ladung der Tafel die betreffende Elektricitätsmenge bedeuten solle. Wenn man aber eine nmal so dicke Tafel mit der nfachen Elektricitätsmenge ladet, so ist die Kraft, welche im Innern wirkt, nicht gleich, sondern nmal so groß. In seinen früheren Aufsätzen hat von Bezold aber unter der mit L bezeichneten Ladung die Potentialniveaudifferenz der beiden Belegungen verstanden, welche durch das Sinuselektrometer gemessen wird, und wenn man diese Bedeutung auch hier beibehält, und voraussetzt, dass die nmal so dicke Tafel bis zur nfachen Potentialniveaudifferenz geladen werde, so ist der Schluss, dass die Kraft im Innern gleich sey, allerdings richtig.

Vergleicht man nun aber mit dieser bei der theoretischen Betrachtung gemachten Voraussetzung die Umstände, unter welchen seine Versuche angestellt wurden, so stimmen diese damit nicht überein. In seinen Versuchen hat er nämlich die verschieden dicken Tafeln zu angenähert gleichen Potentialniveaudifferenzen geladen, und dann jedesmal die Abnahme der disponiblen Ladung beobachtet. In diesem Falle waren die von Anfang an wirkenden Kräfte nicht gleich, und die obige Schlussweise kann also auf ihn nicht ohne Weiteres angewandt werden.

Der vorstehende Einwand, welcher sich nur auf die unvollständige Begründung eines angewandten Satzes bezieht,
dessen Richtigkeit oder Wahrscheinlichkeit übrigens dahingestellt bleiben mag, ist nicht der Haupteinwand, welchen
ich gegen die in von Bezold's Aufsatze enthaltene Vergleichung zwischen Theorie und Erfahrung zu erheben habe.
Der Haupteinwand ist vielmehr auf einen anderen Punct
gerichtet, zu dessen Auseinandersetzung ich jetzt übergehe.

Die in meinem Artikel angestellten Betrachtungen beziehen sich auf eine innere Veränderung des Glases, welche nach der Ladung der Franklin Tafel oder Leydener Flasche vor sich geht, und nach der Enthalen wieder zum größten Theile rückgängig wird, und dadurch zur Entstehung einer neuen disponiblen Ladung, des sogenannte. standes, Veranlassung giebt. Ich habe åber ausdrück gesagt, dass ausserdem auch noch der Umstand stattsin kann, dass das Glas ein unvollkommener Isolator ist. diesem Falle muss eine, je nach der Leitungsfähigkeit de Glases mehr oder weniger schnelle Abnahme der disponiblen Ladung erfolgen, welche von derjenigen Wirkung, die ich betrachtet habe, unabhängig und daher in meiner Formel nicht mit einbegriffen ist. Ich habe gesagt, dass man diese Wirkung, so wie überhaupt diejenigen Elektricitätsverluste, welche durch mangelhafte Isolation verursacht sind, besonders in Rechnung ziehen müsse. Da nun die Versuche, welche von Bezold angestellt hat, sich nicht auf das Auftreten des Rüchstandes, sondern nur auf die Abnahme der disponiblen Ladung beziehen, so habe ich schon in jenem früheren Artikel Bedenken dagegen ausgesprochen, die aus diesen Versuchen erhaltenen Resultate mit Formeln zu vergleichen, die nur für die Rückstandbildung aufgestellt sind.

In seinem neuen Aufsatze spricht von Bezold wieder nur von solchen Versuchen, bei denen die Abnahme der disponiblen Ladung beobachtet wurde, und um die Anwendung, welche er von seinen Resultaten auf das Rückstandsphänomen macht, zu rechtfertigen, sagt er: "Die innigste Beziehung beider Phänomene (nämlich der Abnahme der disponiblen Ladung und der Rückstandbildung) wurde schon von Kohlrausch vorausgesetzt und theilweise durch das Experiment bewiesen.«

In dieser Beziehung muss ich aber sagen, dass mir die Umstände, unter denen Kohlrausch und von Bezold gearbeitet haben, sehr verschieden zu seyn scheinen. Ich glaube nämlich, dass entweder das Glas, mit welchem von Bezold seine Versuche angestellt hat, als Isolator sehr viel schlechter ist, als das von Kohlrausch angewandte, oder dass bei seinen Versuchen anderweitige Ursachen zu beträchtlichen Elektricitätsverlusten stattgefunden haben. Kohlrausch hat drei Zahlenreihen mitgetheilt '), aus denen man die allmählige Abnahme der disponiblen Ladung bei den drei von ihm angewandten Apparaten (zwei Levdener Flaschen und einer Franklin'schen Tafel) ersehen kann. Daraus ergiebt sich, dass bei diesen drei Apparaten, wenn man die ursprüngliche Ladung jedesmal durch die Zahl 100 darstellt, die disponible Ladung nach 10 Minuten noch resp. 63, 67 und 74 betrug. Bei der einen Flasche hat Kohlransch die Beobachtung 11 Stunden fortgesetzt, und nach dieser langen Zeit hatte die disponible Ladung noch den Werth 35. Aus den Zahlenreihen, welche von Bezold mittheilt 2), ergiebt sich dagegen, wenn wir wieder die ursprüngliche Ladung jedesmal durch 100 darstellen, dass die disponible Ladung bei den beiden ersten Franklin'schen Tafeln nach 10 Minuten nur noch 3 betrug, bei der dritten sogar schon in 7 Minuten zu 3 herabgesunken war, und bei der vierten in noch nicht voll 3 Minuten bis zum Werthe 5 abgenommen batte.

Eine so schnelle Abnahme der disponiblen Ladung nöthigt zu dem Schlusse, dass das Glas, welches von Bezold angewandt hat, ziemlich stark leitet, oder dass aus anderen Ursachen die Isolation mangelhaft war. Hätte er den nach einer Entladung wieder auftretenden Rückstand untersucht, so würde er gefunden haben, dass dieser nur einen sehr

ic.

inc

∙d€

Ыeп

ich

nel

se t

e,

<sup>1)</sup> Diese Ann. Bd. 91, S. 59.

<sup>2)</sup> Diese Ann. Bd. 137, S. 228.

kleinen Theil der vorausgegangenen Abnahme der disponiblen Ladung gebildet hätte. Unter diesen Umständen kann man unmöglich die Abnahme der disponiblen Ladung in der Weise für den Rückstand substituiren, um zu verlangen, das eine Formel, die nur für diejenige Veränderung aufgestellt ist, welche zur Rückstandbildung Veranlassung giebt, und bei der die durch unvollkommene Isolation verursachten Verluste ausdrücklich ausgeschlossen sind, nun auch gerade das Gesetz, nach dem diese letzteren Verluste stattgefunden haben, richtig darstellen soll.

Auch bei den früher von ihm mit anderen Platten angestellten Versuchen, welche den Einfluss dünner Schichten zeigten, die entweder zwischen Glas und Belegung oder zwischen zwei Glasplatten eingeschaltet wurden, findet man, wenn auch nicht so auffällige, so doch immerhin noch sehr schnelle Abnahmen der disponiblen Ladung, z. B. in dem ersten Versuche<sup>1</sup>), wo zwei Glasplatten als Isolator angewandt waren, in noch nicht voll 2 Minuten (102 Secunden) eine Abnahme von 100 zu 29. Man muß also auch hier entweder beträchtliche Leitung des Glases, oder andere Ursachen zu Elektricitätsverlusten vermuthen.

Ich muss demnach darauf beharren, dass, da von Bezold nicht die Rückstandbildung, sondern nur die Abnahme der disponiblen Ladung untersucht hat, und da er ferner diese Abnahme so groß gefunden hat, dass der Rückstand nur einen kleinen Theil davon bilden konnte, seine Versuche nicht geeignet sind, über die Richtigkeit der auf die Rückstandbildung bezüglichen Theorien zu entscheiden.

Im Anschlusse an die vorstehende Besprechung möchte ich mir noch eine kurze Bemerkung über einen anderen Aufsatz erlauben.

Im siebenten letztjährigen Hefte dieser Annalen befindet sich ein Aufsatz von Edlund ȟber die Ursache der von Peltier entdeckten galvanischen Abkühlungs- und Erwärmungs Phänomene«. Hierin wird von der von Peltier ent-

<sup>1)</sup> Diese Ann. Bd. 114, S. 434.

deckten Erscheinung gesprochen, dass ein galvanischer Strom an der Löthstelle zwischen zwei Metallen, z. B. zwischen Wismuth und Antimon, je nach seiner Richtung entweder Erwärmung oder Abkühlung verursacht. Der Veif. sagt darüber 1): » Es ist an und für sich sehr bemerkenswerth, dass der galvanische Strom unter gewissen Verhältnissen eine Absorption der Wärme hervorbringen kann, da seine gewöhnliche Wirkung eine Production derselben ist. Ich habe deshalb geglaubt, dass eine Angabe der Ursache dieses Verhältnisses von einigem Interesse seyn werde«. Aus dieser Stelle und aus der Art, wie im weiteren Verlaufe des Aufsatzes die Erscheinung mit Hülfe der mechanischen Wärmetheorie erklärt wird, könnte man vielleicht schließen, dass diese Erscheinung bisher unerklärt gewesen und noch nicht vom Gesichtspuncte der mechanischen Wärmetheorie aus betrachtet worden sey. Ich glaube daher, diesem Aufsatze gegenüber an meine i. J. 1853 erschienene Abhandlung »über die Anwendung der mechanischen Wärmetheorie auf die thermoelektrischen Erscheinungen « 2) erinnern zu dürfen, worin ich den Wärmeverbrauch und die Wärmeerzeugung an den Löthstellen zweier Metalle unter Anwendung der beiden Hauptsätze der mechanischen Wärmetheorie betrachtet und erklärt habe. Ich habe darin unter Audern gesagt 3), dass man die Thermokette mit einer durch Wärme getriebenen Maschine, z. B. einer Dampfmaschine, vergleichen könne, wobei die erwärmte Löthstelle dem geheizten Theile, also dem Dampfkessel, und die kalte Löthstelle dem Condensator entspreche.

Bonn, October 1869.

<sup>1)</sup> Diese Ann. Bd. 137, S. 477.

Diese Ann. Bd. 90, S. 513 und Abhandlungen-Sammlung Bd. II, S. 175.

<sup>3)</sup> Diese Ann. Bd. 90, S. 529 und 533 und Abhandlungen-Sammlung Bd. II, S. 189 und 192.

VI. Historische Bemerkung zu einer Veröffentlichung des Hrn. G. Magnus über die Reflexion der Wärme; von H. Knoblauch.

Hr. Magnus hat in seinem Bericht an die Berliner Academie im Juli 1869, welcher in diesen Annalen Bd. 138, S. 174 bis 176 abgedruckt ist, sich mit der Frage beschäftigt, weie sich die Körper in Bezug auf ihr Reflexionsvermögen verhalten, ob ähnliche Verschiedenheiten, wie sie in Bezug auf die Absorption und den Durchgang der Wärme bei Körpern, die sich gegen das Licht ganz gleich verhalten, beobachtet sind, auch in Bezug auf die Reflexion der Wärme vorkommen.«

Derselbe erwähnt zur Litteratur nur einer Untersuchung der Herren de la Provostaye und Desains vom Jahre 1849, welche die Wärme einer Lampe, nachdem sie durch Glas oder Steinsalz gegangen oder prismatisch zerlegt war, von einigen Metallen reflectiren ließen; übergeht aber, daß die Beantwortung jener Frage den Inhalt einer von mir verfasten Abhandlung ausmacht, welche Hr. Magnus selbst im Mai 1845 die Güte hatte, der Berliner Academie vorzutragen und welche aus den Monatsberichten in den 65sten Band dieser Annalen S. 581 bis 592 aufgenommen ist, so wie einer, auf eine größere Anzahl von Wärmequellen und mehr als 70 reflectirende Körper sich beziehenden Arbeit, welche einen Theil einer 1846 erschienenen Dissertation: de calore radiante disquisitiones p. 54 bis 101 bildet, die ich als ein Zeichen meiner Hochachtung Hrn. Magnus gewidmet hatte, und welche in wörtlicher Uebersetzung, wenn zwar mit abgekürzter Litteratur, in diesen Annalen 1847, jener Theil im Bde. 71, S. 1 bis 68 sich findet. diese Untersuchungen folgenden Beobachtungsreihen, ebendaselbst 1857, Bd. 101, S. 177 bis 213 und 1860, Bd. 109, S. 595 bis 606 hatten die Absicht, die vorliegende Frage möglichst nach allen Seiten hin zu erschöpfen.

Ohne den besonderen Inhalt dieser mühevollen, Jahre in Anspruch nehmenden Arbeiten hier noch ein Mal durchsprechen zu wollen, in dem Vertrauen, dass derselbe, wenn er es verdient, auch ohne mein Zuthun, weiteren Eingang in die Lehre von der strahlenden Wärme sich verschaffen wird, glaube ich mich darauf beschränken zu dürfen, anzugeben, wo in den bezeichneten und damit eng zusammen hängenden Abhandlungen diejenigen Ergebnisse sich finden, welche Hr. Magnus als die seiner jüngsten Beobachtungen in Anspruch nimmt. Kürze halber will ich auch nur auf das in diesen Annalen Enthaltene verweisen, und die Vorarbeiten Anderer aus der, bei jeder einzelnen meiner Abhandlungen nach bestem Wissen mitgetheilten Litteratur als bekannt voraussetzen.

Am Eingange seiner Veröffentlichung bezieht sich Hr. Magnus auf einen, der Academie am 7. Juni 1869 gelieferten Nachweis, dass es Körper giebt, die nur eine oder einige wenige Wellenlängen ausstrahlen und man darnach erst jetzt in dem Steinsalz eine derartige Substanz, in andern Körpern solche kennen gelernt habe, welche bei der Temperatur von 150° C. eine beschränkte Zahl von Wellenlängen aussenden.

Ganz abgesehen davon, dass jener Nachweis, auf welchen Hr. Magnus sich beruft, ein mündlicher gewesen seyn mus, indem der publicirte Bericht vom 7. Juni (diese Annalen Bd. 138, S. 333) nicht die geringste Andeutung eines solchen, sondern nur eine einfache Versicherung enthält, ist hierauf zu bemerken, dass im 71sten Bande dieser Zeitschrift, S. 59 bis 61 nach genauer Mittheilung der betreffenden Versuche und Messungen ausdrücklich hervorgehoben ist, wie die von gewissen Körpern unter 90° B. ausgesandte Wärme als einfach erscheine, weil sie, dem feinsten Prüfungsmittel gegenüber (Durchstrahlung durch diathermane Platten), sich stets als eine und dieselbe darstelle, sie möge direct von dem mässig erwärmten Körper kommen oder von den ungleichartigsten Körpern zurückgeworfen 1) oder durch die verschiedensten diathermanen Substanzen hin-

<sup>1)</sup> Diese Annal. Bd. 65, S. 585, 586; Bd. 71, S. 33 bis 37, 59 bis 63.

durchgegangen 1) seyn, während Strahlen einer mannigfaltigen Wärmequelle unter diesen Umständen die allergrößten Verschiedenheiten darbieten 2). Eben dieses Mittel hatte auch erkennen lassen, daß die Erwärmung über 90° R., also über eine Temperatur, welche noch sehr weit von der Glühhitze entfernt ist, ausreiche, um schon bei einem und demselben Körper, z. B. einem erhitzten Metallcylinder, bereits eine Mannigfaltigkeit von Strahlen hervortreten zu lassen, wie dies Bd. 70, S. 222, 223; Bd. 71, S. 35, 36, 60 näher belegt ist. Eine besondere Ermittelung hat sich auch gerade damit beschäftigt; wie weit diese Mannigfaltigkeit bei jenen niederen Temperaturen eine sehr geringe sey und wie sie mit der Steigerung derselben zunähme (Bd. 71, S. 60 bis 67).

Die Beantwortung der Hauptfrage nach dem Verhalten der reflectirenden Körper bezieht Hr. Magnus nur auf die zurückgeworfenen Wärme-Mengen. Vier Körper: Silber und drei diathermane Substanzen: Glas, Steinsalz und Flusspath werden erwähnt und unter ihnen zeigt nur der Flusspath, den vom Steinsalz oder Sylvin ausgesandten Wärmestrahlen gegenüber, ein ungleiches Reslexionsvermögen.

Die in derselben Rücksicht von mir angestellten Versuche haben das Reflexionsvermögen jener großen Zahl verschiedener reflectirender Flächen, gegenüber den Wärmestrahlen einer Argand'schen Lampe, rothglühenden Platins, einer Alkoholslamme und eines dunkelheißen Metallcylinders, ermittelt und an den meisten ergeben, daß sie die verschiedenen Strahlen in ungleicher Menge zurückwerfen. Bei einigen unter ihnen, z. B. beim Carmin und schwarzen Papier, trat dieß so eigenthümlich hervor, daß eine förmliche Umkehr in dem Sinne erfolgte, daß Carmin die Strahlen der Argand'schen Lampe besser als schwarzes Papier, dieß dagegen die Wärme des heißen Cylinders besser als Carmin reslectirte. Während die ausführliche Mittheilung aller Einzelheiten im Bde. 71, S. 48 bis 53 sich findet, hebt auch der im Jahre 1845 an die Academie erstattete Bericht unter

<sup>1)</sup> Diese Annal. Bd. 70, S. 360, 361; Bd. 71, S. 60.

Diese Annal. Bd. 70, S. 360, 361; Bd. 71, S. 12 bis 21, 24 bis 38, 58 bis 67.

Anderem dieses Verhalten ausdrücklich hervor (Bd. 65, S. 587, 588). Das gesammte Ergebniss schien sich nicht bezeichnender darstellen zu lassen, als: es könne, mit Ausnahme von Kohle und Metall, von keinem Körper gesagt werden, dass er die Wärme überhaupt besser oder schlechter als ein anderer restectire, weil sich dies Verhältniss mit jeder Bestrahlung ändert (Bd. 71, S. 56).

Charakteristischer aber als bei der Ermittelung der zurückgeworfenen Quantitäten tritt das Verhalten der reflectirenden Körper bei der Untersuchung der Eigenschaften hervor, welche die Wärmestrahlen vor und nach ihrer Zurückwerfung (z. B. in ihrer Fähigkeit, diathermane Substanzen zu durchdringen) zu erkennen geben. Die betreffenden Resultate finden sich: Bd. 65, S. 581 bis 586; Bd. 71, S. 4, 5, 10 bis 45, 58 bis 67; Bd. 101, S. 177 bis 188, 191 bis 195; Bd. 109, S. 595 bis 601.

Erst der Zusammenhang beider Erscheinungen: der Mengen und der Eigenschaften der bei ungleichen Wärmequellen von verschiedenartigen Körpern reflectirten Strahlen läst deren Einwirkung auf die strahlende Wärme ganz überblicken und giebt in Verbindung mit der Erwärmung der Körper durch die nicht zurückgeworfenen Strahlen (Bd. 70, S. 231, 232) über den gesammten dabei stattfindenden Vorgang vollen Aufschluss. Er weist direct eine auswählende Absorption als eine Thatsache nach, welche beim Licht nur als eine für die Erklärung angenommene Hypothese erscheint (Bd. 65, S. 586 bis 589; Bd. 71, S. 45 bis 54).

Stellte sich in diesen Resultaten bei der Reflexion eine neue Uebereinstimmung zwischen den Wärme- und Lichterscheinungen dar, wie sie zuerst bei dem directen Vergleich der von verschiedenen Wärme- und Lichtquellen ausgehenden Strahlen, dann bei dem Durchgange durch verschiedene diathermane Körper sich ergeben hatte, so lag es auch hier nahe, optisch gleichartige Flächen in ihrem thermischen Verhalten zu untersuchen, und die verschiedenartigsten Gruppirungen der reflectirenden Körper aus diesem Gesichtspuncte in dem Bericht vom Jahre 1845 (Bd. 65, S. 589 bis 592) und in der ausführlicheren Arbeit (Bd. 71, S. 11 bis

68, 70) haben, wie ich meine, diese Frage nach allen Beziehungen betrachtet. Sie haben in Uebereinstimmung mit den darauf folgenden Vergleichen, unter Anderem gezeigt, dass die meisten gleichfarbigen Körper sich thermisch ungleich verhalten, dass gegenwärtig z. B. kein einziger weißer Körper bekannt ist, welcher auch alle Wärmestrahlen in gleichem Verhältniß zurückwürfe (Bd. 101, S. 200, 201). — Auch diese von Hrn. Magnus berührte und durch den Schluß seiner Mittheilung dahin beantwortete Frage, dass » ein Auge, welches die verschiedene Wellenlänge der Wärme wie die Farben des Lichts zu unterscheiden vermöchte, alle Gegenstände, ohne dass sie besonders erwärmt wären, in den allerverschiedensten Farben erblicken würde «, ist somit als eine damals erledigte zu betrachten.

Außer der verschiedenen Natur der restectirenden Körper und der auf sie einfallenden Wärmestrahlen war auch die Beschassenheit der Oberstäche (ungleicher Grad der Rauhheit: Bd. 71, S. 24 bis 26; Bd. 101, S. 195 bis 199; bei Metallen auch ein verschiedenartiges Ritzen, parallel, senkrecht zur Reslexionsebene usw.: Bd. 71, S. 25 bis 27; Bd. 101, S. 203 bis 207), so wie der Neigungswinkel zwischen Fläche und Wärmestrahlen (Bd. 101, S. 201 bis 212; Bd. 109, S. 601 bis 606) in Betracht gezogen und deren Einsluss auf die Menge wie auf die Eigenschasten der zurückgeworsenen Wärme ermittelt worden.

Diefs ist demnach seit geraumer Zeit der Stand der Sache bis zu dem Augenblicke gewesen, da Hr. Magnus diese, möglichst nach allen Seiten hin gerichteten Untersuchungen als nicht geschehen behandelt und die ihnen zu Grunde liegende Frage wie eine neue aufwirft. Fern liegt der Gedanke, ihm das Verdienst schmälern zu wollen, die vom Steinsalz, Sylvin und andern bisher nicht genannten Körpern ausgehende Wärme in ihrer Reflexion von Silber, Glas, Steinsalz und Flusspath untersucht zu haben, oder seine Resultate am Flusspath zu bestreiten, wenn zwar aus den unbeschriebenen 1) Versuchen nicht zu ersehen, auf welche Weise

<sup>1)</sup> Während der Correctur wird mir bekannt, dass Hr. Magnus nachträglich aussührlicher über seine Versuche in den Abhandlungen der

die reflectirte Wärme von der eigen ausgestrahlten der zurückwerfenden Körper getrennt und der Einslus der Durchstrahlung bei den diathermanen Reflectoren eliminirt worden
ist; aber es widerspricht den Grundsätzen wissenschaftlicher
Gerechtigkeit, ältere Untersuchungen zu ignoriren und allgemeine Ergebnisse als neu hinzustellen, welche seit 24 Jahren (ganz abgesehen von den überdies hier obwaltenden
besonderen Verhältnissen) in der angesehensten Zeitschrift
für Physik bekannt gemacht sind.

VII. Ueber die Beziehungen zwischen den Raumveränderungen bei der Bildung starrer Verbindungen und der chemischen Verwandtschaft der Bestandtheile; von W. Müller in Perleberg.

Zwei Kräfte sind es, die nach unserer Kenntniss bei der chemischen Verbindung zweier Stoffe in Wirksamkeit treten, die anziehende der Massentheilchen, wenn man die chemische Verwandtschaft als eine solche Kraft ansieht, und die abstossende der den Körpern eigenthümlichen Wärme. Nimmt man nun an, wie es das von Kopp verallgemeinerte Neumann'sche Gesetz verlangt, das in allen starren Verbindungen jedes Element mit der ihm auch vorher im freien Zustande eigenthümlichen Atomwärme constant vorhanden ist, so muss die Raumveränderung bei der Vereinigung mit der Verwandtschaft der Elemente zu- und abnehmen. Nach der Verschiedenheit der Moleküle bei den einzelnen Bestandtheilen erscheint es zwar nicht unwahrscheinlich, dass in verschiedenen Fällen eine verschiedenartige Lagerung erfolgt, auf der anderen Seite liegt es aber auch nahe anzu-

Berliner Academie vom Jahre 1869 berichtet. Die meiner Erwiderung zu Grunde liegende Frage wird jedoch von dieser Mittheilung nicht berührt. nehmen, das bei Körpern, die in chemischer und physikalischer Hinsicht einander nahe stehen, die Gruppirung der Moleküle eine ähnliche ist. Bei verschiedenartiger Gruppirung könnte das Resultat der molekularen Anziehung, nach der obigen Ausführung die verhältnissmässige Raumveränderung bei der Verbindung, verschieden ausfallen, bei ähnlicher Gruppirung wird es der Anziehungskraft entsprechen.

Setzt man also z. B. bei denjenigen starren Chlorverbindungen, denen man eine gleiche rationale Zusammensetzungsformel gegeben hat, die ähnliche Lagerung der Moleküle voraus, so müßte die stärkste Contraction da stattfinden, wo die größte chemische Anziehungskraft beobachtet wird.

In welchem Maasse die Annahme zutrifft, ergiebt sich aus der folgenden Tabelle. Dieselbe enthält eine Zusammenstellung derienigen starren Chlorverbindungen, bei denen das specifische Gewicht der Verbindung wie der Bestandtheile bekannt ist 1). Die Condensation wurde gefunden durch Vergleichung des aus dem specifischen Gewicht der Verbindung gefundenen Aequivalentvolumens mit dem durch Addition der Aequivalentvolumina der Bestandtheile berechneten. Das specifische Gewicht des Chlors ist nur für den flüssigen Zustand bekannt, und es geht also der durch die unbekannte Volumenänderung beim Eintreten in den starren Zustand entstehende Fehler durch die Rechnung, indessen wird das Resultat derselben nicht wesentlich verschieden, wenn man selbst eine im Verhältnifs zu der an anderen Körpern beobachteten bedeutende Aenderung annimmt, da der Fehler jede einzelne Rechnung nach derselben Richtung hin ändert. Uebrigens wird dieser Punkt später weiter besprochen werden.

<sup>1)</sup> Einzelne Zahlen sind aus der Sammlung aller wichtigen Tabellen für Chemiker von R. Hoffmann entnommen; in derselben sind die Beobachter nicht angegeben, und daher sind diejenigen Zahlen, für welche dieselben nicht ermittelt werden konnten, mit einem Fragezeichen versehen.

es Verdich-	1:1,88	1:1,85	1:1,63	1:1,55?	1:1,57?	1:1,46	1:1,41	1:1,36	1:1,26
Berechnetes Volumen	71,90	50,33	43,79	43,93	39,34	35,72	36,98	34,04	31,48
Gefundenes Volumen	45,23 = K 26,67 = Cl 38,34	23,66 = Na 27,19	17,12 = Ba $26,93$	17,26 = Sr $28,29$	12,67 = Ca $25,05$	9,05 = Pb $24,48$	10,31 Ag 26,28	7,37 = Hg 24,99	$_{25,10}^{4,81}$ = Fe
Aequivalent	39,12 = K 35,46 = Cl 74,58	23 = Na 58,46	68,5 = Ba 103,96	43,84 = Sr 79,3	20 = Ca 55,46	103.56 = Pb $139.02$	108 = Ag $143,46$	100 = Hg $135,46$	28 = Fe 63,46
Beobachter	Gay-Lussac u, Thénard H. Lavy Kopp	Gay-Lussac u. Thénard Kopp	Clarke Boullay	? · Karsten	? Boullay	Berzehus Karsten	Fahrenheit Karsten	Karsten Boullay	Stahlschmidt Fithol
Speafisches Gewicht	K = 0.865 Cl = 1.33 1.945	$N_{\rm a} = 0.972$ 2.15	$\mathbf{B}_{\mathrm{a}} = 4.0$ $3.86$	Sr = 2.54 $2,803$	$C_a = 1,578$ 2,214	Pb = 11,445 5,68	$A_g = 10,48$ $5,46$	$H_g = 13,56$ $5,42$	Fe = 6.03 $2,528$
Verbin- dung	K C	Z C	13° CI	Sr Cl	ວຶ	Pb Ci	Ag CI	H, C	Fe CI

Kalium und Natrium zeigen bei ihrer Vereinigung mit Chlor also die stärkste Verdichtung, das Volumen des Kaliums allein ist sogar größer als das des Chlorkaliums, und diese beiden Metalle werden ja allgemein als die mit der größten Anziehungskraft zu Chlor begabten Elemente angesehen, sie entziehen den meisten derselben das Chlor ohne es selbst an andere abzugeben. Vergleicht man überhaupt die vorstehende Tabelle mit den in Gmelin's Handbuch der Chemie (5. Aufl., Bd. 1, S. 135) zusammengestellten Affinitäts-Columnen, so findet man, dass von den 36 hier vorliegenden Fällen 32 mit jenen Columnen übereinstimmen. In vier Fällen: Chloreisen und Chlorblei, Chloreisen und Chlorsilber, Chloreisen und Chlorsilber, Chlorquecksilber und Chlorsilber finden Abweichungen statt. Doch bezeichnet Gmelin selbst die genannten Columnen bei der Schwierigkeit des Gegenstandes nur als sehr ungefähre.

Da die für das sepecifische Gewicht angeführten Zahlen durch Beobachtungen bei gewöhnlicher Temperatur gewonnen sind, so kann sich die aus der Verdichtung sich ergebende Anziehungskraft zunächst nur auf gewöhnliche Temperatur beziehen. Bei der Vergleichung der obigen mit anderen Tabellen ist dieser Umstand ebenso zu beachten als der, dass häusig Beobachtungen zu Grunde gelegt sind, die auf nassem Wege angestellt wurden, und bei denen die Anziehung der verschiedenen Körper zum Wasser mit in Betracht kommt.

In den von Gmelin angeführten Columnen stehen Quecksilber und Silber nahe zusammen, das Quecksilber vor dem Silber, nach der oben aufgestellten Tabelle folgt das Quecksilber auf das Silber und die bestimmenden Zahlen 1,40 und 1,36 weichen nur wenig von einander ab, so dass diese Resultate gar nicht so sehr verschieden sind.

Auf den Unterschied in den Zahlen für Chlorcalcium und Chlorstrontium 1,55 und 1,57 darf bei der Schwierigkeit der Reindarstellung von Strontium und Calcium und in Folge davon der Bestimmung des specifischen Gewichts derselben wohl gar kein Gewicht gelegt werden. Vergleichungen des berechneten Volumens mit dem gefundenen für zusammengesetzte Körper sind mehrfach ausgeführt worden; aber in keiner dieser Arbeiten habe ich den Gedanken ausgesprochen gefunden, dass die Contraction mit der chemischen Verwandtschaft ab- und zunehme. Filhol (Ann. d. chim. et phys., t. III, p. 21 (1847)) giebt an, dass bei chemisch ähnlichen Körpern die Verdichtung gleich stark ist und sieht darin ein Mittel das specifische Gewicht des einen zu berechnen, wenn das des anderen bekannt ist, jene Relation zwischen Verdichtung und chemischer Anziehungskraft erwähnt er nicht.

Berechnet man für die Bromverbindungen ganz in derselben Weise die Verdichtungen, indem man das specifische Gewicht des flüssigen Broms zu Grunde legt, so ergeben sich folgende Resultate:

Verbin- dung	Specifisches Gewicht	Beobachter	Aequivalent	Gefundenes Volumen	Berechnetes Volumen	Verdich- tung
K Br	Br = 2,98 2,415	Löwig Karsten	Br = 80 119,12	$B_r = 26,88$ $49,33$	72,11	1:1,46
Na Br	8,079	0.	103	33,45	50,54	1,51
Ba Br	4,23	٥.	148,5	32,74	44,00	1,34?
Pb Br	6,63	Karsten	183,56	27,69	35,93	1,29
Ag Br	6,35	Karsten	188	29,61	37,11	1,25
Hg Br	5,92	Karsten	180	30,41	34,25	1,13

Die stärkste Contraction zeigt sich wiederum bei den Alkalimetallen, denen allgemein die gröfste Anziehungskraft dem Brom gegenüber zugeschrieben wird. Für Quecksilber und Silber ergiebt sich dieselbe Reihenfolge wie oben bei den Chlorverbindungen.

abermals eine Bestätigung des ausgesprochenen Gecetzes, wie aus der folgenden Tabelle her-Stellt man die Jodverbindungen zusammen und vergleicht die Verdichtungen, so findet man vorgeht.

Verbin- dung	Specifisches Gewicht	Beobachter	Aequivalent	Gefundenes Volumen	Berechnetes Volumen	Verdich- tung
K J	J = 4,948 3,091	Gay - Lussac Boullay	J = 126,88 166,00	J = 25,64 53,70	70,87	1:1,32
Na J	3,45	Filhol	149,88	48,45	49,30	1,11
Ba J	4,917	Filbel	195,88	39,74	42,76	1,08
£	6,11	Boullay	230,44	37,71	84,69	0,92
Hg J	6,32	Boullay	226,88	35,89	33,01	0,92
Ag J	5,61	Boullay	234,88	41,87	35,95	0,86

Man findet hier bei einigen Verbindungen statt einer Verdichtung eine Ausdehnung, die Ausdehnung ist verschieden, für Blei geringer als für Silber entsprechend der gröfseren Verdichtung der Chlor- und Bromverbindung des Bleis. Für Quecksilber und Silber ergiebt sich ein anderes Resultat.

Obgleich bei vielen Jodverbindungen die gefundene specifische Wärme größer ist als die berechnete, so hat man diese Abweichungen doch nicht zur Ausschließung der genannten Verbindungen von dem allgemeinen Gesetze für ausreichend erachtet. Hält man das fest, so ist die angeführte Ausdehnung bei der Bildung der Jodverbindungen wohl schwer zu erklären, man sieht nicht ein, wodurch eine neue Lagerung der Moleküle entsteht, bei der das Resultat der Anziehung ein geringeres ist.

Nimmt man bei den verschiedenen Verbindungen des Jods eine ähnlich für die Ausdehnung einwirkende Ursache an, so muß der Grad der Ausdehnung ein Maaß für die chemische Anziehungskraft seyn, wie es die obige Zusammenstellung angiebt.

Bei der großen Aehnlichkeit der Verbindungen des Chlors, Broms und Jods ist eine ähnliche Lagerung der Moleküle bei denselben von vorn herein wahrscheinlich, und so liegt es nahe eine Vergleichung über die Verdichtung der sich entsprechenden Verbindungen anzustellen. Ein Hinderniss stellt sich der Vergleichung entgegen in der Verschiedenheit des Aggregatzustandes, bei welchem das specifische Gewicht und dadurch das Aequivalentvolumen der drei Elemente bestimmt wurde. Nach den Bestimmungen von Pierre und Regnault erleidet indessen das Brom beim Erstarren eine solche Contraction, dass sein Aegulvalentvolumen dem des Jods fast genau gleich kommt. In der folgenden Zusammenstellung ist nun für Chlor eine ähnliche Contraction beim Erstarren angenoumen, so dass dem Chlor, Brom und Jod im starren Zustande dasselbe Aequivalent volumen, das des Jods = 25,54, zugeschrieben ist, eine Annahme, die nicht nur durch das chemische Verhalten, sondern auch durch die Isomorphie der entsprechenden Verbindungen gestützt wird. Das Aequivalentvolumen erleidet übrigens gegen das oben zu Grunde gelegte keine große Veränderung, und es ergiebt sich außerdem, daß diese Aenderung auf die vorliegenden Betrachtungen zunächst keinen wesentlichen Einfluß übt, indem die durch die Contraction bestimmte Reihenfolge nicht geändert wird.

Bei den Zahlen für die Verdichtung der Chlor- und Bromverbindungen sind die auf den flüssigen Zustand dieser Elemente sich beziehenden Zahlen in Klammern beigefügt.

Verbindung	Verdichtung
(KCl	1:1,85 (1,88)
} K Br	1,44 (1,46)
( KJ	1,32
( Na Cl	1,81 (1,85)
Na Br	1,47 (1,51)? 1
Na J	1,11
( Ba Cl	1,59 (1,63)
Ba Br	<b>1,31 (1,34)</b> ?
( Ba J	1,08
Sr Cl	1,52 (155)?
Sr Cl Ca Cl	1,53 (1,57)?
( Pb Cl	1,42 (1,46)
Pb Br	1,25 (1,29)
( Pb J	0,92
( Ag Cl	1,37 (1,41)
Ag Br	1,21 (1,25)
( Ag J	0,86
Hg Cl	<b>1,32</b> ( <b>1,36</b> )
Hg Br	1,09 (1,13)
( Hg J	0,92
(Hg <sub>2</sub> Cl	1,23 (1,26)
Hg <sub>2</sub> Br	1,05 (1,09)
( Hg <sub>2</sub> J	0,96
} Fe Cl	1,21 (1,26)
Cu <sub>2</sub> Cl	1,22 (1,25)
·Cu, J	0,76?
<u>-</u>	

<sup>1)</sup> Die Fragezeichen sind aus demselben Grunde gesetzt wie oben,

Man kennt nun die Affinitätsverhältnisse von Chlor, Brom und Jod so genau wie von igend anderen Elementen man weiß, daß durch Chlor das Brom und Jod und durch Brom das Jod aus allen Verbindungen und oft bei gewöhnlicher Temperatur ausgeschieden werden, ohne daß eine für den Process möglicher Weise wesentliche Verbindung zwischen zwei der Elemente Chlor, Brom und Jod eintritt. Man hat also nach der Affinität die Reihenfolge Chlor, Brom und Jod so bestimmt gefunden als es überhaupt bisher möglich gewesen ist. In allen vorstehend angeführten Fällen, ohne auch eine Ausnahme, ergiebt sich aber dieselbe Reihenfolge aus dem Grade der Condensation. Diese Uebereinstimmung ist eine neue und die wesentlichste Stütze für die ausgesprochene Hypothese.

Man könnte vermuthen, dass für verschiedene Elemente das Verhältnis der Anziehungskraft und so auch der Zahlen für die Condensation der Verbindungen von Chlor, Brom und Jod dasselbe wäre; aber bei den angegebenen Zahlen ist eine solche Proportionalität nicht vorhänden.

Die Zahl der starren Verbindungen, für welche die zur Berechnung der Verdichtung nöthigen Data vorhanden sind, ist nicht groß. Außer den angeführten lassen sich noch die Schwefelverbindungen in Betracht ziehen. Sie sind in der folgenden Tabelle zusammengestellt.

2;07 = S	Beobachter Marchand und Scheerer	Aequivalent 16 == S 55.12	Gefundenes Volumen 7,73 = S 25,88	Berechnetes Volumen 52,96	Verdichtung
	Filhol	888	15,78	31,39	1,99
8,975 = Ni 5,65	Rammelsberg Rammelsberg	29 = Ni 45	3,23 = Ni 7,95	10,96	1,38
4,4 5,0 Schwefelkies	۵.	44 60	10	12,54 20,27	1,25?
6,85 = Mn 4,025 Manganblende	Bergmann	27,6 = Mn 43,6	4,03 = Mn 10,3	11,76	1,14
	Karsten Karsten	79,44 47,72	13,12 11,47	14,83 11,28	1,13
6,715 = Sb 4,626	Marchand und Scheerer Breithaupt	120,3 168,3	17,92 = Sb 36,38	41,11	1,13

Verbin- dung	Specifisches Gewicht	Beobachter	Aequivalent	Gefundenes Volumen	Berechnetes Volumen	Verdich . tung
Pb S	7,505	Karsten	119,56	15,93	16,78	1:1,06
Zn S	6,915 = Zn 4,07 (3,924) Blende	Karsten	$32.5 = Z_n$ $48.5$	$\frac{4.7}{11,92}$	12,43	1.05
HgS	8,06	Karsten	116	14,39	15,01	1,05
Sn S Sn S <sub>2</sub>	7,29 = Sn 5,267 4,6	Karsten Boullay Karsten	58 = Sn 74 90	7,96 = Sn 15,27 19,57	15,69 23,42	1,03
AgS	6,85	Karsten	124	17,71	18,04	1,02
As S <sub>2</sub>	5,76 = As 3,48 3,544	Lavoisier Mohs Karsten	75 = As 123 107	12,59 = A <sub>5</sub> 35,35 30,19	35,78 28,05	1,01
SPO	8,60 = Cd 4,9	Stroneyer Breithaupt	56 = Cd 72	6,51 = Cd 14,70	14,24	76,0
PtS	21,16 = Pt 8,847	Wollaston Böttger	98,5 <b>–</b> Pt	4,65 = Pt 12,94	12,38	96'0

Im Allgemeinen stimmen die aus dieser Tabelle zu machenden Folgerungen mit der Erfahrung 1) überein, nur dem Zink schreibt man wohl eine größere Verwandtschaft zum Schwefel zu. Auffällig könnte auch die starke Condensation von Zweifach-Schwefeleisen und Zweifach-Schwefelzinn im Vergleich zu Einfach-Schwefeleisen und Einfach-Schwefelzinn erscheinen, während doch die beiden ersteren beim Erhitzen zersetzt werden, die letzteren nicht, indessen ist einmal die Gruppirung der Moleküle bei diesen Körpern eine verschiedenartige, und sie sind nach den früheren Ausführungen nicht nothwendig mit den anderen zusammenzustellen, und auf der anderen Seite ist zu bedenken, dass die berechnete Verdichtung, wie schon früher hervorgehoben ist, die Anziehung bei gewöhnlicher Temperatur angiebt. Bei gewöhnlicher Temperatur zeigen sich aber Zweifach-Schwefeleisen und Zweifach-Schwefelzinn in der That als die festeren Verbindungen, sie werden ungleich schwerer durch Säuren zersetzt.

Eine Vergleichung der Schwefelverbindungen und der Verbindungen des Chlors, Broms und Jods anzustellen dürfte nicht stattbaft seyn, da die Atomwärme des Schwefels wesentlich geringer ist als die von Chlor, Brom und Jod unter denselben Verhältnissen. Vielleicht ist in Folge dieser geringeren specifischen Wärme die Condensation beim Schwefel verhältnissmäßig stärker. So finden wir für Schwefel die größere Verdichtung und doch erscheint die Affinität zwischen Chlor und Kalium größer als zwischen Schwefel und Kalium, wenn auch ein bestimmtes Urtheil darüber nicht abgegeben werden kann.

Wenn man, gestützt auf die angeführten Thatsachen, das Gesetz verallgemeinert, so läst es sich folgendermaassen aussprechen:

Von zwei ähnlich constituirten starren Körpern hält derjenige die Bestandtheile inniger gebunden, bei dessen Bildung die größere Verdichtung stattfand.

<sup>1)</sup> Die von Bergmann auf trockenem Wege durch Erhitzen gewonnenen Resultate weichen nur für Nickel, das nach demselben auf Silber folgt, wesentlich ab.



Die unveränderte Atomwärme ist dabei unerlässliche Voraussetzung. Sind nun z. B. drei Elemente gegeben, und kennt man das specifische Gewicht derselben für sich und in Verbindung, so lässt sich, wenn nicht alle drei in Verbindung treten, vorausbestimmen, welche beiden sich vereinigen werden.

Nimmt man den Grad der Verdichtung der chemischen Verwandtschaft proportional, so könnte man Zahlen für das Verhältnis der Anziehungskraft bei den einzelnen Verbindungen gewinnen. Legt man das für Chlor im starren Zustande angenommene Aequivalentvolumen zu Grunde und setzt die Anziehungskraft zwischen Chlor und Kalium == 100, so würden sich für die übrigen Elemente folgende Zahlen ergeben:

K = 100 Na = 98 Ba = 87 Pb = 77 Ag = 74 Hg = 71 (Hg Cl).

Eine Vorstellung von dieser verschiedenen Contraction könnte man sich in folgender Weise bilden. Denkt man sich die kleinsten Theilchen der Elemente mit ihren Wärmesphären als Kugeln von verschiedener Größe, so könnte man den Fall annehmen, daß die Kugeln des einen Elements so klein wären, daß sie nur die Zwischenräume zwischen den anderen ausfüllten, es wäre dann das Volumen des einen Elementes bei der Vereinigung verschwunden, ja sogar könnte bei der größeren Nähe der Massentheilchen noch eine weitere Verdichtung eintreten. Wären hingegen die Kugeln für beide Elemente gleich, so könnte keine Contraction stattfinden. Von der Verschiedenheit der Kugeln würde also die Verschiedenheit der Verdichtung abhängig seyn.

Ob das Gesetz auch für flüssige Körper, bei denen die gemachte Voraussetzung zutrifft, Gültigkeit habe, war wegen mangelnder Data nicht zu ermitteln, doch zeigte sich z. B. bei zwei ganz complicirten Verbindungen, Butylbromür und Butyljodür, für erstere eine stärkere Zusammenziehung.

Da die Volumenänderungen für sich verbindende Gase sehr genau bestimmt sind, so würde die Gültigkeit des ausgesprochenen Gesetzes für diese Körper sich leicht ermitteln lassen; aber eine Vergleichung der Atomwärme der unverbundenen und der in Verbindung getretenen Gase zeigt, dass die Atomwärme bei der Vereinigung vielfach wesentlich und in ganz verschiedenem Grade geändert wird. Die Unveränderlichkeit oder doch wenigstens gleichmäsige Aenderung der Atomwärme ist aber nothwendige Voraussetzung, und so kann das angegebene Princip auf gasförmige Körper nicht angewandt werden.

## VIII. Ueber Darstellung krystallisirter Kieselsäure auf trocknem Wege; von G. Rose.

(Aus d. Monatsbericht. d. Berlin. Akademie, Juni 1869).

Man hat in der neuern Zeit Kieselsäure mehrfach in krystallisirter Form, wenn auch stets nur in sehr kleinen mikroskopischen Krystallen dargestellt, doch gelang diess stets nur auf nassem, nie auf trocknem Wege. So stellte Senarmont!) sie dadurch dar, dass er eine Auslösung von Kieselsäure in verdünnter Chlorwasserstoffsäure in einer verschlossenen Glasröhre einer Hitze von 200 his 300° aussetzte, worauf sich die Kieselsäure als sandiges Pulver abschied, das unter dem Mikroskop betrachtet aus lauter durchsichtigen deutlich erkennbaren Krystallen in der Form des Quarzes bestand. Daubrée, nachdem er früher schon Quarz in undeutlich krystallinischem Zustande durch Zerzetzeng von Chlor- oder Fluorkieselgas durch Wasserdämpse in einer glühenden Porcellanröhre dargestellt hatte, erhielt 1) Ann. de chim. et da phys. 1851, Bd. 32, S. 142.

später noch etwas größere, bis 2 Millimeter lange Krystalle auch in der Form des Quarzes, als er gewöhnliches Glas durch Wasser bei erhöhter Temperatur und Druck zersetzte 1). Wenn man den Quarz für sich allein bei hoher Hitze schmelzt, so bildet er beim Erkalten ein Glas. aber krystallisirte Kieselsäure wie Quarz als Gemengtheil von Gebirgsarten vorkommt, die wie Trachyt, Granit, Quarzporphyr in Lavaströmen, oder, in Spalten anderer Gesteine eingedrungen, als Gesteinsgänge vorkommen, also früher flüssig gewesen seyn müssen, so sollte man voraussetzen können, dass der Quarz sich auch durch Schmelzung, oder auf trocknem Wege bilden könne. Ich hatte deshalb in dieser Hinsicht schon früher Versuche angestellt und beschrieben 2), die es wahrscheinlich machten, dass sich Quarz oder wenigstens eine krystallisirte Kieselsäure auf trocknem Wege bilden könne. Ich zeigte, dass die Kieselsäure, die sich beim Schmelzen der Silicate mit Phosphorsalz vor dem Löthrohr ausscheidet, krystallinisch und keine gewöhnliche amorphe Kieselsäure sey, da sie sich in Kalilauge nicht anflöst; aber sie scheidet sich hierbei in so kleinen, zusammengehäuften Krystallen aus, dass ich über ihre Form auch bei starker Vergrößerung unter dem Mikroskop nichts ausmachen konnte. Auch selbst bei Schmelzungen größerer Mengen im Platintiegel über der Gasslamme waren die Resultate nicht anders, und als ich ein Gemenge von geschmolzenem Phosphorsalz mit Adular, beide gepulvert und wohl gemengt im Platintiegel, dem Feuer des Porcellanofens aussetzte, zersetzte bei der großen Hitze des Porcellanofens das Platin des Tiegels das Phosphorsalz, der ganze Tiegel floss zu einem ganz krystallinischen Phosphorplatinregulus im Innern der übrigen verschlackten Masse zusammen; der Versuch gelang nicht.

Ich musste diese Versuche unterbrechen, und habe sie später wieder aufgenommen, ohne im Stande zu sein, sie jetzt ganz zu Ende zu führen, was ich mir für eine spätere Zeit vorbehalte. Sie haben indessen jetzt schon zu einem

<sup>1)</sup> Comptes readus von 1857, Bd. 45, S. 792.

<sup>2)</sup> Monatsbérichte der Akademie von 1867, S. 140.

Resultate geführt, das ich nicht unterlassen wollte, der Akademie vorzulegen. Ich habe die Schmelzversuche im Feuer des Porcellanofens der hiesigen Königl. Porcellanmanufactur fortgesetzt, was mir wie früher durch die große Bereitwilligkeit sowohl des Directors der Manufactur, des Hrn. Geh. Raths Möller, als auch der Arkanisten, der HHrn. Dr. Elsner und Herzog möglich war. Zuerst wurde wieder Phosphorsalz mit Adular geschmelzt; wie früher drei Raumtheile des geschmelzten und zerriebenen Salzes mit einem Raumtheile des zerriebenen Adulars, doch geschah diessmal die Schmelzung in einem Tiegel von Biscuit. Die Masse war gut geschmolzen; sie wurde in dem Tiegel mit verdünnter Chlorwassersioffsäure begossen, und warm gestellt, wodurch sie sich nach einiger Zeit unter Hinterlassung eines schneeweißen erdigen Rückstandes auflöste, welcher filtrirt und Unter dem Mikroskop betrachtet, ausgewaschen wurde. kann man sehen, dass er aus lauter einzelnen oder mit andern verbundenen durchsichtigen sechsseitigen Tafeln besteht, die regelmässig sind, da sie im polarisirten Licht sich wie einaxige Krystalle verhalten; bei der Dünnheit der Krystalle sieht man bei denen die mit der Hauptsläche der Tafel horizontal liegen, kein Ringsystem und im Innern desselben keine Farben, aber sie erhellen nicht, oder nur wenn sie in schiefer Lage liegen, das durch gekreuzte Nicols hervorgerufene Dunkel des Gesichtsfeldes. Ihr specifisches Gewicht wurde in einem Versuche 2,311, bei einer Wiederholung mit demselben Material 2,317 gefunden. Zu dem erstern Versuche wurden 3,1004 Grammen, zu dem letztern zufällig eine fast gleiche Menge 3,1028 Gr. genommen. Ich halte das letztere Resultat für das genauere.

是在1000年的时间,我们是是是是是是一个人的是这种,一次是在对对人,是可以是是一个人的是一个人的是一个人的是是一个人的是是是一个人的,也是是是是是是是是是是是

Die auf diese Weise erhaltene Kieselsäure hat also alle Eigenschaften des Tridymits oder der Kieselsäure in der vom Quarz verschiedenen Form, wie sie inzwischen von vom Rath in den Drusen des Trachyts von Pachuca in Mexico entdeckt<sup>1</sup>), und auch später von Sandberger in

<sup>1)</sup> Vergl. die Monatsberichte der Akademie von 1868, S. 201 und Poggendorfi's Ann. von 1868, Bd. 135, S. 437.

den Trachyten vom Mont Dore und vom Siebengehirge aufgefunden ist. vom Rath giebt das specifische Gewicht des natürlichen Tridymits nach drei Versuchen mit verschiedenen Mengen zu 2,316, 2,312 und 2,295 an; die beiden ersten Zahlen sind mit denen, die ich gefunden, fast übereinstimmend.

Der von mir dargestellte Tridymit ist in Auflösungen von Kalihydrat und kohlensaurem Natron nicht völlig unlöslich, wie diess ja auch selbst der Quarz nach den Versuchen meines Bruders nicht ist 1), aber sie ist doch nur sehr schwer auflöslich. Ich habe den künstlich dargestellten, selbst schon als feines Pulver erscheinenden Tridymit noch weiter im Achatmörser zerrieben, und eine Stunde mit einer concentrirten Auflösung von kohlensaurem Natron gekocht, ohne dass ich sah, dass sich die angewandte Menge merklich verminderte. Das tiltrirte kohlensaure Natron gab mit Chlorwasserstoffsäure gar keinen Niederschlag; das entstandene Chlornatrium aber zur Trockniss abgedampft, liess bei der Wiederauflösung in Wasser, einen geringen Rückstand von Kieselsäure. Wenn daher vom Rath angiebt, dass der natürliche Tridymit in kohlensaurem Natron vollkommen auflöslich ist, so hat er offenbar nur kleine Mengen feingeriebenen Tridymits mit vielem kohlensauren Natron gekocht, was um so wahrscheinlicher ist, da der natürliche Tridymit bis jetzt nur in sehr geringer Menge vorgekommen ist; diese geringe Menge kann recht gut von dem kohlensauren Natron aufgelöst seyn, und der Tridymit auf diese Weise auflöslicher erscheinen, als er in der That ist.

Ich habe nun statt des Adulars pulverförmige amorphe Kieselsäure genommen, die aus kieselsaurem Natron durch Zersetzung mit Chlorwasserstoffsäure dargestellt war, und ich der Güta des Hrn. Rammelsberg verdanke. Es wurden wieder 3 Raumtheile geschmelzten und zerriebenen Phosphorsalzes mit einem Raumtheil Kieselsäure im Biscuittiegel dem Feuer des Porcellanofens ausgesetzt; die Masse war wiederum gut geschmolzen, und in ihr hatten sich wie-

<sup>1)</sup> Vergl. Pogg. Ann. von 1859, Bd. 108, S. 17.

der die Krystalte ausgeschieden, die durch Auflösung in heißem Wasser getrennt wurden. Das erhaltene Pulver unter dem Mikroskop betrachtet, bestand aus noch größeren sechsseitigen Tafeln wie früher, die auch häufig regelmäßig baumförmig oder auf eine Weise gruppirt waren, die vielleicht der, die bei den natürlichen Krystallen vorkommt, und worauf sich der dieser Kieselsäure von vom Rath gegebene Name bezieht, entspricht, was noch weiter zu untersuchen ist.

Ich habe nun noch andere Auflösungsmittel für die Kieselsäure versucht; zuerst kohlensaures Natron. Da gleiche und doppelte Gewichtsmengen von Kieselsäure mit geglühtem kohlensauren Natron im Platintiegel im Porcellanofen geschmolzen, wie ich fand, immer nur ein ganz klares Glas gaben, so wurde nun ungefähr die dreifache Menge Kieselsäure 8,4580 Grammen auf 2,9161 kohlensauren Natrons genommen. Ich erhielt wieder ein klares Glas, in welchem nun aber kleine etwas graulichweise schwach durchscheinende Kugeln porphyrartig eingemengt waren; sie hingen größtentheils an der Obersläche des Glases, ragten hier aber nicht aus demselben hervor, sondern waren an der ganz ebenen Oberfläche wie abgeschnitten. Andere im Innern waren ganz rund, wenn sie sich nicht berührt, und dadurch in der Ausbildung gestört hatten. Im Bruch sind sie dicht: kleine Bruchstlicke unter dem Mikroskop erscheinen feinkörnig. Das Glas, worin die Kugeln lagen, ist in Chlorwasserstoffsäure unlöslich: mechanisch war es von ihnen nicht völlig zu trennen; ich habe daher die Kugeln nur möglichet vom Glase bestreit, und sie mit dem nun noch anhängenden Glase, sowie auch dieses selbst gewogen. Ich fand so das specifische Gewicht der Kugeln 2,373, das Gewicht des Glases 2,391. Man kann hiernach wohl annehmen, dass die Kugeln Tridymit sind, und dass das hohe specifische Gewicht nur durch das anhängende Glas, welches schwerer als der Tridymit, hervorgebracht ist.

Da ich schon früher gesehen hatte, dass Wollastonit geschmolzen, ein Glas giebt, so habe ich auch diesen als Poggendorff's Annal, Bd. CXXXIX.

Schmelzmittel versucht. 4 Raumtheile des zerriebenen Wollastonits von Perhenniemi in Finnland wurden mit i Raumtheil amorpher Kieselsäure gut gemengt, und im Biscuittiegel im Porcellanofen geschmolzen. Es bildete sich ein grünliches Glas, ganz erfüllt mit großen mit bloßen Augen deutlich erkennbaren tafelartigen Krystallen, die sich gruppenweise radial verbunden hatten, wie es schien ganz nach Art des natürlichen Tridymits. Die sechsseitigen Tafeln stehen senkrecht zur Oberfläche des Glases, doch liegen einzelne horizontal auf der Oberfläche zerstreut. Sie erscheinen noch deutlicher in dünn geschliffenen Platten unter dem Mikroskop, sind aber auch hier ungeachtet ihrer Größe, ihrer Form nach nicht genauer zu bestimmen, da sie von dem umgebenden Glase, das von Chlorwasserstoffsäure nicht angegriffen wird, nicht getrennt werden können '). Dessen ungeachtet kann man wegen der Aehnlichkeit der Form nicht zweifeln, dass die Krystalle Tridymit sind, der sich also auch auf diese Weise gebildet hat.

Da die Titansäure sich bei der Schmelzung mit Borax ganz anders verhält wie bei der Schmelzung mit Phosphorsalz, und sich im erstern Falle beim Erkalten der geschmolzenen Masse Krystalle von Titansäure in der Form des Rutils, im letztern Falle in der Form des Anatases ausscheiden 2), so schien es mir nöthig auch die Kieselsäure noch mit Borax dem Feuer des Porcellanofens auszusetzen. Ich schmelzte daher Boraxglas zuerst mit der doppelten Menge Kieselsäure, nämlich 4,4310 Grammen mit 8,2867 Gr. Kieselsäure, erhielt aber auf diese Weise nur ein ganz klares wasserhelles Glas 3). Dasselbe wurde daher wieder fein

<sup>1)</sup> Das Glas, worin die Krystalle liegen, ist daher wahrscheinlich kein neutrales Silicat mehr, wie der Wollastonit; doch ist zu bemerken, daß der im Porcellanofen zu Glas geschmolzene reine Wollastonit, wenn auch fein zerrieben, von heißer Chlorwasserstoffsäure nur sehr wenig angegriffen wird, während doch der krystallisirte mit Leichtigkeit damit gelatinirt.

<sup>2)</sup> Vergl. die Monatsberichte der Akademie von 1867, S. 130 und S. 450.

<sup>3)</sup> Die Kieselsäure verhält sich also gegen Borax ganz anders wie die Thonerde. Um Krystalle von dieser zu erhalten, schmelzte Ebelmen

zerrieben, and mit 5,0200 Grammen neuer Kieselsäure gemengt, so dass also, wenn sich bei der ersten Schmelzung von dem Borax nichts verslüchtigt hatte, 4,4310 Borax mit 13,3067 Kieselsäure geschmelzt wurden. Es entstand nun ein Glas, das voller kleiner Blasen ist, und deshalb etwas opalisirt; auf ihm hatte sich zum Theil eine dünne schneeweiße Decke gebildet, die aus schmalen Streifen besteht, welche wiederum aus fasrigen, horizontal liegenden Theilen zusammengesetzt ist, die auf den Rändern der Streifen senkrecht stehen. Der äußere Streisen ist dem Rande der Decke parallel, die innern liegen unregelmässig. Das Glas ist in Chlorwasserstoffsäure unlöslich oder wenigstens sehr schwer löslich, doch konnte durch Kochen damit ein Theil der Decke getrennt werden, wobei dieser in kleine Theile zerfiel. Unter dem Mikroskop betrachtet, zeigen sich nun die Formen des Tridymits. Krystalle sind hier nicht einzeln zu sehen, das was dem blossen Auge als Fasern erscheint, besteht aus einer Gruppirung von Krystallen; aber diese Gruppirung und das was von der Form der einzelnen Krystalle zu sehen ist, ist ganz dem ähnlich, was sich bei der Schmelzung der Kieselsäure mit Phosphorsalz bildet, so dass auch hier nur Tridymit entstanden war.

Tridymit bildet sich aber nicht bloss durch Ausscheidung aus einem Flussmittel, sondern auch durch einfaches starkes Glühen sowohl der amorphen wie auch der rhomboëdrischen Kieselsäure. Diess geht schon aus den Versuchen meines Bruders bestimmt hervor. Mein Bruder hatte 1859 die merkwürdige Entdeckung gemacht, dass der Quarz durch blosses starkes Glühen, ohne an absolutem Gewicht abzunehmen, sein spec. Gew. bedeutend vermindere, während sich das des Opals etwas vergrößere 1). Fein gepulverter

<sup>4</sup> Theile zerriebenen Boraxglases mit 1 Theil Thonerde \*), worauf sich beim Erkalten sehr deutliche Krystalle in der Form des Corundes ausschieden. Bei früheren Versuchen hatte er weniger Borax genommen, doch war dabei die Masse nicht zum völligen Flus gekommen.

<sup>\*)</sup> Vgl. Annales de chimie et de physique 1851, Bd. 33, S. 63.

<sup>1)</sup> Vergl. H. Rose über die verschiedenen Zustände der Kieselsäure in diesen Ann. von 1859, Bd. 108, S. 1.

Bergkrystall mit einem specifischen Gewichte 2,651 dem Feuer des Porcellanofens ausgesetzt, sinterte zu einem Kuchen zusammen, der sich aber leicht zerdrücken ließ: sein spec. Gew. war dadurch auf 2,394 und nach einem nochmaligen Erhitzen auf 2,329 gesunken 1). Amorphe Kieselsäure, wie sie bei den Analysen der Silicate gewonnen wird, mit dem specifischen Gewichte 2,2, erhielt durch das Brennen im Porcellanofen das höhere spec. Gew. 2,311. Dieselbe durch Zersetzung von Fluorkieselgas vermittelst Wasser dargestellt, mit dem spec. Gew. 2,2 erhielt durch anhaltendes Weissglühen ein spec. Gew. 2.301 und dann weiter dem Feuer des Porcellanofens ausgesetzt das spec. Gew. Infusorienerde aus der Lüneburger Haide mit Chlorwassersäure und Wasser gereinigt, von dem spec. Gew. 2,2, im Feuer des Porcellanofens das spec. Gew. 2,803 3). Da damals der Tridymit noch nicht bekannt war, und man nur von den beiden Zuständen der Kieselsäure, dem amerphen des Opals, und dem krystallinischen des Quaraes Kenntnifs hatte, so schloss mein Bruder aus seinen Versuchen, dass durch bloss starkes Glühen im Porcellanofen der gepulverte Bergkrystall sich in amorphe Kieselsäure umandere, und das spec. Gew. der amorphen Kieselsäure bis zu 2,3 hinaufgehen könnte. Indessen ist die im Porcellanofen geglühte amorphe Kieselsäure nicht mehr amorph, und der geglühte Quarz noch krystallinisch, da beide, eine Einwirkung auf das polarisirte Licht zeigen und bei gekreuzten Nicols heller erscheinen als der verdunkelte Grund, auch mach Beseitigung des Lichts durch reflectirende Flächen. Beide sind ferner in kohlensaurem Natron nur sehr wenig auflöslich, und da auch das specifische Gewicht ganz übereinstimmend mit dem des Tridymits ist, so ist auch anzunehmen, dass alle diese Substanzen in der Hitze des Porcellanofens in diesen Zustand übergegangen sind 4).

<sup>1)</sup> Diese. Ann. Bd. 108, S. 7.

<sup>2)</sup> A. a. O. S. 16.

<sup>3)</sup> A. a. O. S. 14.

<sup>4)</sup> Fenerstein und Hyalith machen scheinbar eine Ausnahme, indem ihr

Mein Bruder hatte auch die Veränderungen untersucht, die der Quarz des Granits im Feuer des Porcellanofens erleidet. Ich hatte schon vor langer Zeit den Granitit von Warmbrunn<sup>1</sup>) im Porcellanofen schmelzen lassen, und hatte dazu denselben in kleine Stücke zerschlagen, und diese theils in einem Platin-, theils Kohlen- oder Biscuittigel gethan. Es waren aber auf diese Weise nur die Silicate des Granitites zu einem graulichschwarzen blasigen Glas geschmolzen; der Quarz war, in seiner Form erhalten, und nur in seiner Beschaffenheit verändert, schneeweiß und feinkörnig geworden, von dem Glase wie früher von den übrigen Gemengtheilen umschlossen geblieben. Mein Bruder batte den so veränderten Ouarz aus dem Glase ausgesucht und sein specifisches Gewicht bestimmt; er fand es in Stükken gewogen 2.337, und zu feinem Pulver zerrieben 2.352. Auch diesen so veränderten Quarz hielt mein Bruder für amorphe Kieselsäure; das hohe specifische Gewicht zeigt, dass es Tridymit sey. Ich habe von dem im Porcellanofen geschmolzenen Granitit von Warmbrunn ein dünnes Plättchen zur Untersuchung unter dem Mikroskop schleifen lassen, und ebenso von einem im Porcellanofen geschmolzenen eigentlichen Granit von Annaberg in Sachsen 2), der im

spec. Gew. nach dem Brennen nicht ganz das des Tridymits ist. Feuerstein der Hitze des Porcellanofens ausgesetzt, wurde weiß und mürbe, so daß er sich leicht im Mörser zerreiben ließ, und sein spec. Gew. war dadurch bis auf 2,237 gesunken\*) und beim Hyalith von Waltsch in Böhmen mit einem spec. Gew. von 2,16 bis 2,15 nach Graf Schaffgotsch (er enthält 3 Theile Wasser) stieg das spec. Gew. nur auf 2,20.\*\*). Indessen ist der Feuerstein wohl keine ganz reine Kieselsäure, auch betrug sein spec. Gew. im ungeglühten Zustande nur 2,591, und der Hyalith, der sich beim Glühen sehr aufbläht, bildete eine poröse schwammige Masse mit glasartigen Stellen, war also nicht vollständig verändert, und sein spec. Gew. deshalb und auch wohl wegen seiner Porosität, ungeachtet er als Pulver gewogen wurde, zu gering ausgefallen.

<sup>\*)</sup> A. a. O. S. 8.

<sup>\*\*)</sup> A. a. O. S. 21.

<sup>1)</sup> Er ist durch die Abwesenheit des weißen Glimmers ausgezeichnet, und enthält nur schwarzen Glimmer.

Der vorzugsweise weißen Glimmer enthielt, und den ich der freundlichen Theilnahme des Hrn. Dr. Elsner verdanke.

Feuer des Porcellanofens dieselben Veränderungen erlitten hatte, nur war das Glas, wegen der fast völligen Abwesenheit des schwarzen Glimmers im Granit, nur lichte graulichweiß geworden. Die Quarzstücke des geschmolzenen Granitits und Granits erschienen unter dem Mikroskop nun ekkig-körnig, und zeigten eine deutliche Einwirkung auf das polarisirte Licht. In dem Glase des geschmolzenen Granits von Annaberg liegen aber andere kleine nadelförmige wasserhelle Krystalle theils einzeln zerstreut, theils sich um die Blasen des Glases radial, zum Theil auch tangential verbreitend, ohne aber in dieselben hineinzuragen. Sie gleichen ganz den nadelförmigen Krystallen, die in der Lava von Aphroessa bei Santorin in großer Menge eingewachsen sind und sich in den Dünnschliffen unter dem Mikroskop zeigen 1), und von Zirkel auch noch in vielen andern eruptiven Gesteinen beobachtet sind. Man kann selten die Endigung der durchsichtigen Krystalle deutlich erkennen, doch sieht man zuweilen hier eine Zuschärfung, und die Krystalle erscheinen so als langgezogene Sechsecke. Da die sechsseitigen Tafeln von bestimmt hexagonalen Krystallen, wie z. B. von Eisenglanz und einaxigem Glimmer, wenn sie eingewachsen vorkommen, sich oft zu langgezogenen Krystallen ausdehnen 2), so konnte es wohl seyn, dass diess auch bier der Fall wäre, und die Krystalle in dem geschmolzenen Granit von Annaberg wie in der Obsidian oder Pechsteinlava von Aphroessa Tridymit sind. Es wären diese dann der Theil des Quarzes, der von dem Glase der Silicate aufgelöst und beim Erkalten wieder ausgeschieden wäre, während der übrige unaufgelöst gebliebene Quarz nur mit Beibehaltung der Form in Tridymit umgeändert ist.

Um zu bewirken, dass der sämmtliche Quarz sich auflöse, habe ich den Granitit von Warmbrunn zu einem ganz feinen Pulver zerrieben, und ihn so im Biscuittiegel dem Feuer des Porcellanosens ausgesetzt. Ich erhielt nun ein schwar-

<sup>1)</sup> Vergl. die Beschreibung und Zeichnung dieser Krystalle von Zirkel in Leonhard's und Geinitz Jahrbuch von 1866, S. 769.

<sup>2)</sup> Vergl. die Monatsberichte d. Berl. Akad. von 1869, S. 345 u. 353,

zes, an den Kanten mit grünem Lichte durchscheinendes Glas, das wenn auch noch voller Blasen, doch vollständig geschmolzen war, und die größte Aehnlichkeit mit Obsidian hatte, der ja auch nichts anderes als geschmolzener Trachyt. der Granit der neuern Zeit ist. Der Quarz hatte sich vollständig aufgelöst, aber die nadelförmigen Krystalle des geschmolzenen Granits von Annaberg wie auch andere Ausscheidungen waren auch in den Dünnschliffen unter dem Mikroskop nicht sichtbar. Sie hatten sich auch bei der ersten Schmelzung des Granitits von Warmbrunn nicht gezeigt, und mit dem Granit von Annaberg habe ich die Versuche nicht wiederholt. Wenn nun auch die ausgeschiedenen Krystalle in dem geschmolzenen Granit von Annaberg Tridymitkrystalle seyn sollten, so wäre es doch nicht unmöglich, dass sich auf diese Weise unter Umständen auch Quarzkrystalle bilden, denn sie finden sich, wenn auch nur sparsam, in dem Pechstein von Meissen, dem Perlstein von Tokey und zuweilen auch in Obsidian. In dem Berliner mineralogischen Museum befindet sich ein solcher von Humboldt gesammelter Obsidian von Zimapan in Mexico, in dem Krystalle von glasigem Feldspath, Oligoklas und Quarz, und letzterer in deutlichen Hexagondodecaëdern und in nicht unbedeutender Menge eingeschlossen sind, und ein anderer Obsidian, angeblich aus Telkobanya in Ungarn, mit fast zollgroßen deutlich fasrigen Sphärulithkugeln ganz erfüllt, der kleine Drusen von deutlichen durchsichtigen Quarzkrystallen enthält.

Die Umänderung in Tridymit erleidet der Quarz doch nur wenn er gepulvert, oder wie beim Schmelzen des Granits in kleinen Stücken angewandt wird. Große durchsichtige Quarzkrystalle erleiden diese Veränderung unter denselben Umständen nicht. Mein Bruder hatte einen wasserhellen Bergkrystall dem Feuer des Porcellanofens ausgesetzt 1); Form, Durchsichtigkeit und spec. Gew., das vor dem Brennen 2,651 und nach demselben 2,650 gefunden wurde, waren gleich geblieben, die ganze Veränderung, die wahrge-

nommen werden konnte, bestand nur in einigen Sprüngen, die er erhalten hatte. Kleinere Krystalle von derselben Druse, die nach unten zu, wo sie aufgesessen hatten, nur durchscheinend waren, hatten auch am obern Ende nur einzelne Sprünge erhalten, am untern Ende waren sie undurchsichtiger, weiß und sprüngiger geworden, so dass sie sich mit dem Finger leicht zerbröckeln ließen; sie waren hier auch schon etwas in ihrer Beschaffenheit verändert worden. was das spec. Gew. anzeigte, welches, nachdem die zerbrökkelten Stücke fein zerrieben waren, nur zu 2,613 gefunden wurde. Mein Broder erklärt diess Verhalten durch die vielen Sprünge, die bei den aufgewachsenen Krystallen am untern Ende vorkommen, und die Ursache ihrer Undurchsichtigkeit an diesen Theilen wären, indem sie die Einwirkung der Hitze erleichterten, welche durch das Polvern des Krystalls noch vermehrt würde. Es ist indessen merkwürdig, wie verschieden die verschiedenen Abänderungen des Quarzes sich in der Hitze verhalten. Während kleine durchsichtige Quarzkrystalle von Marmorosch im Platintiegel tiber eine Gasslamme ! Stonde erhitzt, sich gar nicht verändern, wird ein klarer durchsichtiger Quarzkrystall, wie er auf Chalcedon aufsitzend, in den Höhlungen der Mandelsteine von Island vorkommt, und ein ebenso vorkommender Amethyst aus Brasilien ganz schneeweifs, der erstere durch und durch, der letztere nur auf der Obersläche und im Innern milchweifs. Ein großer klarer Bergarystall mit noch etwas ansitzender Ouarzmasse der Unterlage von Jerischau in Schlesien, erlitt im Porcellanofen nut die Veränderungen, wie sie mein Bruder beschrieben hat; ein ganz klares Bruchstück von einem größern Krystall aus der Schweiz blieb ganz durchsichtig, und erhielt nur unbedeutende Sprunge, während ein Bruchstück eines großen Krystalls von Amethyst aus Brasilien, oder von dem Amethyst wie er auf stängligem Quarz aufgewachsen in Wiesenbad bei Annaberg in Sachsen vorkommt, oder durcheichtige Quarakrystalle auf einer dicken Lage von Chalcedon aus Island durch und durch schneeweifs, rissig, und in Tridymit umgewandelt

werden. Bei dem Bergkrystalle aus der Schweiz kann man aber deutlich sehen, wie die Umänderung in Tridymit vor Auf manchen Sprüngen, die der durchsichtige Krystall erhalten hatte, kann man beobachten; dass sich schon deutliche Täfelchen von Tridymit gebildet haben, die schon mit blossen Augen zu erkennen sind. Auch im Innern sind außer den größern, längere Strecken durchsetzenden Sprüngen ganz kleine entstanden, bei denen man zweifelhaft wird, ob es wirklich Sprünge oder nicht ganz dünne Täfelchen von entstandenem Tridymit sind; sie spielen Farben, was von Sprüngen wie von dünnen Krystallen herrühren kann, zuweilen sieht man aber unter diesen feine weiße Ringe, die wie eine anfangende Bildung von Tridymit erscheinen. Wie dem auch seyn mag, so entstehen immer erst vor der Bildung des Tridymits im Quarz Spalten, auf denen nun der specifisch leichtere Tridymit Raum erhält sich zu bilden. Die leichte Umwandlung des Amethystes und des Quarzes auf Chalcedon in den Blasenräumen des Mandelsteines erklärt sich nun auch dadurch, dass diess sämmtlich Zwilllings-Krystalle sind, die aus Lagen von rechten und linken Krystallen bestehen, wodurch also wohl schneller Sprünge im Innern entstehen, und so auch schneller Tridymit gebildet werden kann. Diess Schneeweisswerden der durchsichtigen Quarzkrystalle aus dem Mandelstein beim Glühen erfolgt aber so sicher, dass man dadurch leicht diese Quarzkrystalle von den übrigen durchsichtigen Quarzkrystallen unterscheiden kann.

Aus dem Angeführten ergiebt sich, dass die Darstellung der Kieselsäure in ihren drei heteromorphen Zuständen, als Quarz, Tridymit und Opal auf trocknem Wege bis jetzt nur bei den beiden letztern gelungen ist; bei dem Opal durch Schmelzung der Kieselsäure, bei dem Tridymit durch blosse Glühung derselben, oder durch Ausscheidung derselben aus einem Flussmittel bei seiner Erkaltung. Ob nun der Quarz, der specifisch schwerste, bei noch geringerer Temperatur oder durch viel langsamere Erkaltung eines Flussmittels sich darstellen läst, mus weiteren Versuchen

vorbehalten bleiben. Aber anzunehmen, dass weil er bisher auf trocknem Wege nicht dargestellt ist, er sich auf diese Weise nicht darstellen lasse, wäre doch ein übereilter Schlufs.

#### Nachtrag.

Ueber das Vorkommen des Tridymits in der Natur.

Der Tridymit scheint häufiger in der Natur verbreitet zu seyn, als nach den bisherigen Erfahrungen angenommen Er findet sich nicht bloss in vulkanischen werden kann. Gebirgsarten, sondern auch in Mineralien, die auf nassem Wege gebildet sind. Der Opal verschiedener Gegenden ist mit mikroskopischen Krystallen von Tridymit oft ganz erfüllt: so der Opal von Kosemütz in Schlesien, der in Gängen in verwittertem Serpentin vorkommt, der Opal (Kacholong), der in geraden Lagen mit Chalcedon wechselt aus Island, Hüttenberg in Kärnthen, Kaschau in Ungarn und ferner der Opal von Zimapan in Mexico. An den ersteren Fundorten erscheint er in rundlichen tafelartigen Krystallen, an dem letzteren in kleinen sechsseitigen Prismen mit geraden Endflächen, die sehr hübsch ausgebildet sind, aber hohl oder mit Opalmasse ausgefüllt zu seyn scheinen. Der Opal verliert durch diese Einmengung mehr oder weniger von seiner Durchsichtigkeit, der von Mexico ist ganz schneeweiß und nur an den Kanten durchscheinend, enthält aber ganz durchsichtige wasserhelle Stellen, die frei von eingemengten Krystallen sind und merkwürdiger Weise an den schneeweißen scharf abschneiden. Bei der Auflösung des Opals in Kalihydrat bleiben die eingemengten Krystalle zurück. Einen solchen Rückstand von Kieselsäure bei der Behandlung des Opals mit Kalilauge haben schon Fuchs, Rammelsberg 1) und andere gefunden und man hat daraus geschlossen, dass dem Opale Quarz beigemengt sey; die Untersuchung unter dem Mikroskop zeigt, dass dieser Rückstand Tridymit sey.

<sup>1)</sup> Vergl. Pogg. Ann. 1861, Bd. 112, S. 183 und 190.

# IX. Ueber den Enstatit im Meteoreisen von Breitenbach; von Victor von Lang.

(Im Aussuge aus d. Sitsungsber, d. Wien, Akad. Bd. LIX, 1869.)

Das Meteoreisen von Breitenbach in Böhmen rührt offenbar von demselben Fall her, wie die Eisenmassen, die bei den benachbarten Orten Steinbach und Rittersgrün in Sachsen gefunden wurden; diese Meteoreisen zeigen angeschliffen genau dieselbe Structur. Sie bestehen nämlich aus einem Gerüste aus Eisen, dessen Höhlungen durch ein grünes Mineral ausgefüllt sind, daher sie auch von G. Rose in die Abtheilung der Pallasite gestellt werden. Die Hauptmasse des Meteoreisens von Breitenbach befindet sich in dem britischen Museum zu London, und wurde daselbst von meinem Freunde, Prof. N. S. Maskelyne, einer eingebenden chemischen Untersuchung unterworfen. Derselbe erhielt für das erwähnte grüne Mineral, das ein specifisches Gewicht von 3,198 und eine Härte von 6 besitzt, genau die Zusammensetzung eines Enstatits von der Formel ( $\frac{1}{5}$ Mg  $\frac{1}{5}$ Fe)O, SiO<sub>2</sub>.

Außer diesem Minerale fand aber Maskelyne noch ein zweites weißes Mineral, allerdings nur in geringer Menge, welches nahezu reine Kieselsäure ist, wahrscheinlich in der Form von Tridymit. Nachdem nun Prof. Maskelyne diese höchst interessanten Ergebnisse der Royal Society unlängst mitgetheilt hat, will ich auch die Resultate der krystallographischen Untersuchung jenes grünen Minerales veröffentlichen. Man wird daraus ersehen, daß auch die krystallographischen und optischen Eigenschaften mit denen des Enstatits stimmen, wenigstens so weit letztere an dem mangelhaften irdischen Materiale von Descloizeaux ermittelt werden konnten.

Die krystallographische Untersuchung war jedoch sehr schwierig; es lassen sich nämlich keine größeren Krystalle aus dem Meteoriten herausbringen. Zerschlägt man ein Stück desselben, oder giebt es in schwache Säure, welche das Eisen auflöst, so erhält man immer sehr kleine Partikelchen, welche stets nur Fragmente eines größeren Krystalles sind. Es war daher, obwohl diese Krystalltheilchen mitunter sehr schöne Flächen zeigen, doch die krystallographische Deutung derselben sehr schwer, um so mehr, als diese Krystalle einen großen Flächenreichthum besitzen. Nachdem aber einmal das Krystallsystem und die vorherrschenden Flächen erkannt waren, war die Deutung neuer Krystallstückchen sehr erleichtert. Trotzdem konnte ich in ein paar Fällen die Orientirung des gemessenen Fragmentes nicht auffinden.

Eine weitere Schwierigkeit ist ferner, dass an manchen Krystallen, meist nur als schmale Abstumpfungen der Kanten, kleine Flächen vorkommen, die sehr hohe und darum unwahrscheinliche Werthe für ihre Indices geben. Es scheinen dies in den meisten Fällen keine eigenthümlichen Flächen zu seyn, sondern nur die Abdrücke von Flächen benachbarter Krystalle, da diese Krystalle dicht nebeneinander lagernd die Hohlräume des Eisens stetig ausfüllen. Solche Flächen wurden nicht weiter berücksichtigt, wenn auch hiedurch der nachfolgenden Aufzählung beobachteter Flächen ein paar Fälle verloren gegangen seyn mögen. Aus den Messungen ergaben sich nun folgende Daten:

Krystallsystem: rhombisch.

Elemente a:b:c=0.87568:0.84960:1.

Beobachtete Flächen 100, 010, 001, 011, 054, 302, 101, 102, 103, 104, 410, 520, 210, 530, 110, 120, 250, 130, 111, 121, 112,

122, 212, 133, 232, 124, 144, 324,

344, 524.

Die sphärische Projection (Fig. 1 Taf. II) giebt eine Uebersicht über die wichtigsten Zonenverhältnisse dieser Flächen. Die nachfolgende Tabelle enthält die Winkel, welche diese Flächen mit den drei Axenebenen bilden, gerechnet mit Hülfe der vorstehenden Elemente:

	100	010	001
011	90° 0'	400 21'	49° 39′
054	90 0	34 12	<b>55</b> 48
302	30 18	90 0	59 42
101	41 12	90 0	48 48
102	60 16	90 0	29 44
103	69 10	90 0	20 50
104	74 4	90 0	15 56
410	14 27	<b>75 33</b>	90 0
<b>520</b>	<b>22 2</b> 5	<b>67 35</b>	<del>8</del> 0 0.
210	<b>27 6</b>	62 54	90 0
<b>530</b>	31 44	58 16	90 0
110	45 52	44 8	90 0
120	<b>64</b> 8	<b>25 52</b>	<b>90 0</b>
250	68 47	21 13	90 0
<b>13</b> 0	<b>72</b> 5	17 55	90 0
111	53 31	<b>52 13</b>	58 <b>3</b> 8
121	65 57	<b>32 48</b>	<b>69 5</b>
112	<b>63 48</b>	<b>62 56</b>	39 21
122	69 43	<b>44 22</b>	<b>52 37</b>
212	<b>45 28</b>	68 49	<b>52 6</b>
133	<b>76 9</b>	42 16	<b>51 3</b>
232	60 37	40 41	64 34
124	76 11	60 <b>29</b>	33 12
144	79 32	<b>41 28</b>	<b>50 27</b>
324	53 <b>3</b> 4	65 55	46 6
344	60 59	41 48	<b>55</b> 31
<b>524</b>	<b>39 7</b>	71 1	<b>57 4</b>

Der beiläufige Habitus der Krystalle ist durch Fig. 2 Taf. II gegeben, welche eine ideale Combination vorstellt, indem die wirklich beobachteten Combinationen nur immer sehr kleine Theile eines ganzen Krystalles sind.

Was nun noch die optischen Verhältnisse dieser Krystalle betrifft, so habe ich eine größere Anzahl nach ihren

Axenebenen angeschliffen, um die Lage der optischen Axen zu finden. Ich bin aber auf diese Weise, wenn auch das Schleifen selbst nicht schwierig war, doch nicht zum Ziele gelangt, weil bei so kleinen Krystallen (½ Millim. größte Dimension, im Durchschnitt) die Orientirung beim Schleifen allzu leicht verloren geht. Ein natürliches Spaltungsstück dagegen zeigte die Axen sehr schön. Außer der Spaltungsfläche b waren an diesen Krystallen noch zwei Flächen n, o, für welche

 $bn = 25^{\circ}50'$  25°52' berechnet bo = 44 48 44 22 \*\* no = 37 15 37 22 \*\*

gefunden wurde, so dass die Bezeichnung der Flächen b(010), n(120), o(122) wird. Die Axenebene war parallel der Kante bn, ist also parallel der Fläche 100, während die erste Mittellinie senkrecht zu 010, die zweite senkrecht zu 001 ist. Der optische Charakter ist negativ, das Schema der optischen Orientirung daher

c b a.

Der scheinbare Axenwinkel gemessen in Olivenöl beträgt 98° für die Natriumflamme, auch ist derselbe für Roth etwas kleiner als für Violett. Dieser Zahl zufolge können die eigentlichen Axen nicht mehr in Luft austreten.

Das Orientirungsschema stimmt mit dem von Descloizeaux für den irdischen Enstatit gefundenen; nur ist letzterer positiv mit einem scheinbaren Axenwinkel von 80 bis 84° und  $\varrho > \nu$  welch' letztere Angabe mit dem von mir gefundenen Resultate mit Rücksicht auf die vertauschten Mittellinien stimmt.

Für den Winkel der Prisma 110.010 giebt Descloizeaux 43°30', was ebenfalls nicht allzuweit von dem hier beobachteten Werthe 44°8' abweicht.

Theilbar scheinen die Krystalle außer nach der Fläche (010) auch noch nach den Flächen (110) zu seyn.

### X. Ueber die Krystallform des Hypersthens; von Victor von Lang.

In dem letzten Hefte des eben geschlossenen Jahrgangs dieser Annalen (Bd. 138, S. 329) giebt Prof. G. vom Rath die krystallographische und chemische Beschreibung eines bei Laach gefundenen Minerals, welches Derselbe für ein neues hält und mit dem Namen Amblystegit belegt. Rath sagt zwar selbst von diesem Minerale, dass es in chemischer und krystallographischer Hinsicht eine überraschende Aehnlichkeit mit dem Hypersthen zeigt, meint aber doch, dass man dieser Auffassung nicht Folge geben könne, denn erstens wäre der Hypersthen ein auf einige Punkte der Erde beschränktes Mineral, dessen Vorkommnisse durchaus keine Aehnlichkeit mit der Laacher Fundstätte bieten, und zweitens fehlten dem Amblystegit die den Hypersthen bezeichnenden Spaltungsrichtungen. Rath hatte aber, wie er selbst sagt, nur sehr kleine Krystalle zur Verfügung; von solchen ist es aber sehr schwierig Theilungsflächen zu erhalten, auch wenn dasselbe Mineral in derben Massen schon dem bloßen Auge keinen Zweifel über die Lage dieser Flächen lässt. Dafür giebt es genug Beispiele.

Das vom Rath untersuchte Mineral ist nämlich wirklich Hypersthen, denn es stimmt nicht nur die chemische Zusammensetzung, sondern auch die Krystallform des neuen Minerals ist identisch mit der des Enstatits, welcher ja in eine Gruppe mit dem Hypersthen gehört und mit demselben offenbar isomorph ist. Die Krystallform des Enstatits habe ich nämlich an Krystallen aus dem Meteoreisen von Breitenbach bestimmt '), wobei die Identität dieser Krystalle mit dem von Descloizeaux beschriebenen irdischen Enstatit überdiess durch die optische Untersuchung, und von meinem Freunde N. S. Maskelyne, durch chemische Analyse festgestellt wurde.

<sup>1)</sup> Sitzungsber. d. Wien. Akademie Bd. 59. (Auch S. 315 dieses Heftes.)

Für das von mir für den Enstatit gewählte Axensystem a:b:c=0.87568:0.84960;1

erhalten die von Rath angegebenen Formen die Symbole b(100) a(010) m(110) n(210) h(108)

o(112) i(122) e(124) u(324)

und wurden sämmtlich von mir, mit Ausnahme der Flächen h, beobachtet. Für die von Rath gemessenen Winkel ergiebt sich aber aus dem angegebenen Atomverhältnis:

	Ŀ	er.	beob.	Rath
110.010 =	44	8'	<b>*</b> 44°	10'
110.100 =	45	52	45	<b>53</b>
110.112 =	<b>50</b>	<b>39</b>	50	45
$\overline{1}10.122 =$	<b>74</b>	14	*74	18
$108.\overline{108} =$	16	15	16	15
112.010 =	<b>62</b>	<b>56</b>	63	0
124.010 =	60	<b>29</b>	60	34.

Die mit Sternchen versehenen Winkel wurden von Rath zur Berechnung des Atomverhältnisses verwendet, für welches er nach meiner Aufstellung 0,87720:0,85202:1 erhält.

Die Uebereinstimmung der angegebenen Winkel ist wohl überraschend, und für mich um so befriedigender als mir nur ungeheuer kleine Krystallsplitter zur Untersuchuug zu Gebote standen.

#### XI. Beitrag zur Ozonfrage; von Otto Wolffenstein.

Zur Bestimmung der Dichtigkeit des Ozons bediente sich Soret (Ann. de chim. etc. 1867)¹) des Terpentin- und des Zimmtöls, weil, wie er sagt, diesen beiden Oelen die merkwürdige Eigenschaft zukommt, dafs sie das Ozon als solches — selbst nur dieses, aus einem Gemenge mit gewöhn
1) Diese Ann. Bd. 132, S. 165.

lichem Sauerstoff - absorbiren; den experimentellen Nachweis für diese Annahme bleibt er schuldig; wahrscheinlich fühlte er sich nur durch die Aehnlichkeit der Erscheinungen bei Oxydation durch das Terpentinöl und durch das Ozon veranlasst, beide auf dieselbe Ursache zurückzuführen. Diese Annahmen stehen im Widerspruch mit den bisherigen theilweis durch Versuche begründeten Ansichten der Chemiker: Schönbein spricht es wiederholt aus, das Terpentinöl absorbire gewöhnlichen Sauerstoff, der aber bei dieser Absorption im Ozon verwandelt werde; er habe Terpentinöl von der doppelten Bleichkraft des Chlorkalks erhalten. Auch Berthelot (Ann. de chim. T. LVIII) behauptet, die Absorption des reinen Sauerstoffs durch Terpentinöl, glaubt aber, im Gegensatz zu Schönbein, dass das Terpentinöl nie Ozon enthalte, der Sauerstoff sey in diesem Oel in einer losen Verbindung und würde daher so leicht abgegeben. Den Versuchen Schönbein's kann Soret mit Recht entgegenhalten, dass sie nicht genug Beweiskraft haben; er hat nie mit reinem Sauerstoff, nur mit atmosphärischer Luft operirt und hat nie eine Volumenverminderung des Gases bei der Absorption nachgewiesen. Die Resultate Berthelot's stehen in directem Widerspruch zu den Annahmen Soret's: jenen kann aber entgegengehalten werden 1) dass Berthelot mit zu kleinen Gasmengen operirte, 2) dass er in vielen seiner Versuche Quecksilber und Wasser zugegen hatte, und es nicht unwahrscheinlich ist, dass diese beiden, zusammen, Sauerstoff in Ozon verwandeln können, 3) dass, was auch nicht direct bewiesen, der Sauerstoff im Terpentinöl kein Ozon ist, er hält nur seine Annahme (lose Verbindung) für die wahrscheinlichere. Einige Klarheit in diese Angelegenheit zu bringen und die aufzuwerfenden Fragen endgültig zu entscheiden, wurden von mir einige Versuche in dem chemischen Laboratorium der Universität zu Berlin ausgeführt.

Nach dem bisher Gesagten bleiben folgende Möglichkeiten:

- A. Die oxydirende Eigenschaft des Terpentinöls basirt auf
  - a) einem Gehalt an leicht abgebbarem Sauerstoff.

    b) einem Gehalt an Ozon.
- B. Das Terpentinöl, mit reinem ozonfreiem Sauerstoff zusammengebracht
  - a) absorbirt diesen,

- b) bleibt ohne Wirkung auf diesen
- C. Aus einem Gemenge von Sauerstoff und Ozon absorbirt das Terpentinöl.
  - a) nur den Sauerstoff
- b) nur das Ozon
- c) beides zu gleicher Zeit.

Also ist zu fragen:

- A. Beruht die oxydirende Wirkung des Terpentinëls auf einem Gehalt an Ozon?
- B. Findet eine Absorption von gewöhnlichem Sauerstoff durch Terpentinöl statt?
- C. Wie verhält sich das Terpentinöl gegenüber ozonisirtem Sauerstoff?
- A. Die oxydirende Wirkung des Terpentinöls könnte noch außer auf den bisher betrachteten Möglichkeiten darauf basiren, dass es in Gegenwart überschüssigen gasförmigen Sauerstoffs dessen oxydirende Wirkung auf die oxydabeln Körper vermittele. Um überzeugt zu seyn, dass diess nicht der Fall sey, dass vielmehr die oxydirende Wirkung dem Terpentinöl selbst, wenn es längere Zeit mit der Luft in Berührung gewesen, zukomme, wurden in ein Reagensglas etwa 5 CC. gesättigter Pyrogallussäurelösung 1), hierauf vorsichtig ein gleiches Volumen Terpentinöl und endlich einige Tropfen Alkali gebracht, dann schnell dicht über dem Spiegel des Oels zugeschmolzen. In Zeit von einer halben Stunde war die Pyrogallussäure vollständig geschwärzt, ein Effect, der durch die geringe Menge mit eingeschlossener Luft nicht hervorgebracht seyn konnte. Bei mehrfacher Wiederholung des Versuchs wurde, an Stelle der Pyro-

Die Lösungen der Reagentien wurden stets vor dem Gebrauch stark erhitzt, unter Luftabschluss abgekühlt.

gallussaure Jodkalium genommen; in kurzer Zeit war dann eine starke Jodausscheidung zu constatiren. Demnach ist das Terpentinöl selbst Träger der oxydirenden Wirkung. Bei einem der Röhrchen, das drei Tage gelegen hatte, war die gelbe Farbe der Jodausscheidung wieder verschwunden; beide Flüssigkeiten waren vollkommen klar. Für die Benutzung des Jodkalium bei den weiteren Versuchen war es von Wichtigkeit zu wissen, ob hier eine rein physikalische oder chemische Veränderung stattgefunden hatte. Das Röhrchen wurde in Quecksilber geöffnet; die Flüssigkeit war stark alkalisch, hinzugebrachter Stärkekleister färbte sich nicht, es war also kein freies Jod mehr vorhanden; vielleicht ist es mit dem Terpentinöl irgend eine Verbindung Hieraus folgt, dass die Pyrogallussäure ein eingegangen. besseres Reagens bei den Versuchen ist, besonders wenn man dem Terpentinöl seine oxydirende Wirkung rauben will, als das Jodkalium; bei letzterem ist man der Gefahr ausgesetzt, das Terpentinöl zu verunreinigen.

Neben dem zum Oxydiren anderer Körper verwendbaren Sauerstoff enthält das Terpentinöl (Berthelot a. O.) noch

- 1) einfach gelösten Sauerstoff, der durch ein anderes Gas austreibbar ist,
- 2) Sauerstoff in fester Verbindung, Oxydationsproducte des Terpentinöls, die, zum Theil noch unbekannt, wahrscheinlich eine kampherartige Zusammensetzung haben.

Berücksichtigt man diese Eigenschaften des Terpentinöls, so ist die Beantwortung der Frage A. durch folgende einfache Betrachtung gegeben:

Das Jodkalium wird durch Ozon oxydirt; hiezu wird aber nur ein Theil der im Molecül Ozon enthaltenen Atome verwandt, die andern Atome verwandeln sich in gewöhnlichen Sauerstoff zurück (Andrews und Tait, Annalen d. Chem. u. Pharm. 1861 u. 62). Wenn nun der im Terpentinöl befindliche Sauerstoff Ozon ist, so muß beim Oxydiren das Jodkalium durch jenes gewöhnlicher Sauerstoff frei werden; es müssen bei der Behandlung mit Jodkalium

大学是是一种,我们是是一个人的,我们是一个人的,我们也是一个人的,我们们是一个人的,我们们是一个人的,我们们们是一个人的,我们们们们们是一个人的,我们们们们们们

also entweder Gasblasen aufsteigen, oder die Menge des durch ein anderes Gas austreibbaren Sauerstoffes wird vermehrt oder der freiwerdende Sauerstoff wird zur Oxydation eines Theils des Terpentinöls verwandt. Hat man sich nun ein Terpentinöl dargestellt, das frei von Harzen (Oxydationsproducten), frei von einfach gelöstem Sauerstoff ist, so wird der Nachweis, dass nach der Behandlung mit Jodkalium neue Harze sich gebildet haben, oder eine große Quantität gelösten Sauerstoffs wieder vorhanden ist, zugleich der Nachweis seyn, dass der im Terpentinöl absorbirte Sauerstoff Ozon ist.

Das Terpentinöl zu entharzen, würde man am vollstän digsten durch Destillation mit Alkalien erreichen, dieselbe ist hier aber nicht anzuwenden, weil durch Erhitzen dem Terpentinöl zugleich die oxydirenden Eigenschaften genommen werden. Besser ist das Schütteln mit Schwefelsäure (1 Th. H<sub>2</sub> SO<sub>4</sub> + 1 Th. H<sub>2</sub> O) oder mit Alkohol (Limpricht, organ. Chem). Die Anwendung des Alkohol ist nicht sehr zu empfehlen, er führt stets eine große Menge gelösten Sauerstoffs mit sich, der eine stets neue Oxydation des Terpentinöls hervorrufen könnte. Der Anwendung der Schwefelsäure zum Entharzen könnte man entgegenhalten, dass durch sie das Terpentinöl in isomere Körper verwandelt werde. Um über die Brauchbarkeit dieser Agentien ins Klare zu kommen, wurde eine große Reihe von Vorversuchen gemacht.

In einem kugelförmigen Scheidetrichter wurde Terpentinöl mit dem gleichen Volumen Schwefelsäure (Concentration s. oben) geschüttelt, und diess so oft wiederholt, als neu hinzugefügte Schwefelsäure noch braune Färbung annahm; bei dem vorliegenden Terpentinöl blieb sie klar, nachdem dessen fünf bis sechsfaches Volumen angewendet worden war. Hiernach zeigte das Terpentinöl keine saure Reaction, Schwefelsäure war also nicht suspendirt geblieben; ferner hatte es sein Volumen nicht verändert, eine Bildung von Tereben und Colophen etc. hat also nicht stattgefunden. Demnach läst sich gegen die Anwendung der Schwefelsäure

kaum etwas einwenden; denn wenn auch nicht bewiesen ist, dass alle Oxydationsproducte aus dem Terpentinöl entfernt sind, so doch wenigstens die, welche die Schweselsäure braun färben. Uebrigens kann der Rest kaum erheblich seyn, denn Alkohol, der mit solchem vorbehandeltem Terpentinöl geschüttelt worden, zeigte bei dem Verdunsten keinen Rückstand 1).

Auf Grund dieser Vorversuche wurde zum Entharzen Schwefelsäure genommen. - Den einfach gelösten Sauerstoff entfernte Berthelot durch Schütteln mit Kohlensäure. in der er dann den Sauerstoff durch Absorption mittelst Pyrogallussäure bestimmte. Da man sich aber einer alkalischen Lösung dieser Säuren bedient, so ist die Anwendung der Kohlensäure nicht zuverlässig; es wurde deshalb für die vorliegenden Versuche Wasserstoff gewählt, - Eine selbstverständliche Vorbedingung für alle spätern Versuche, die zur Entscheidung der vorgelegten Fragen dienen sollen, ist dass das Terpentinöl nie mit der atmosphärischen Luft in Berührung komme. Es wurde deshalb ein Apparat benutzt wie ihn Fig. 7 Taf. II zeigt: A und B sind zwei Glasgefäße (A = 265,5 CC., B = 17,5 CC.) die unter sich durch einen Hahn b mit 0,5 Cm. Durchbohrung verbunden, nach außen durch Hähne a und c abgeschlossen sind. Es wird das Gefäss A mit Terpentinöl gefüllt, a und b geschlossen, dann B mit dem Reagens (Flüssigkeit oder Gas), c geschlossen, b geöffnet; hierauf geschüttelt, dann, nachdem sich die Flüssigkeiten wieder geschieden, b geschlossen, B geleert und vor Anwendung eines anderen Reagens gut gereinigt. Kurz recapitulirt, wurden also die Versuche zur Lösung der Frage A folgendermaßen ausgeführt: Mittelst des eben beschriebenen Apparats wurde das in A befindliche Terpentinöl zuerst mit Schwefelsäure behandelt, d. h. so lange mit stets

Sicherer als das Verdunsten des Alkohols ist zur Erkennung, ob derselbe Harze gelöst enthalte, der Zusatz von einigen Tropfen Schwefelsäure; es entsteht zunächst eine Trübung, die Harze werden dann entweder auf der Oberfläche abgeschieden (kolophoniumartige Verbindung) oder der Bodensatz wird schön rosenroth (kampherartige Verbindungen).

frischer geschüttelt, bis neu hinzugebrachte ihre ursprüngliche Farbe nicht mehr veränderte. Das so harzfrei gemachte Terpentinöl ward von dem aufgelösten Sauerstoff befreit durch Schütteln mit Wasserstoff, bis derselbe durch Pyrogallussäure keine Volumveränderung mehr erlitt ').

Jetzt wird Jodkaliumlösung eingebracht. Steigen während dieser Behandlung keine Gasblasen auf, oder zeigt sich nach derselben kein durch Wasserstoff nachweisbarer gelöster Sauerstoff, oder färbt sich die nach dieser Operation zugesetzte Schwefelsäure nicht braun, so ist der im Terpentinöl befindliche Sauerstoff kein Ozon. Dagegen ist es noch nicht sicher, dass es Ozon ist, wenn eine Färbung der Schwefelsäure eintritt; es ist dann noch die Möglichkeit vorhanden, dass in dem Zeitraum, der zwischen der ersten Behandlung mit Schwefelsäure und der mit Wasserstoff liegt, eine Neubildung von Harzen durch den gelösten Sauerstoff stattgefunden habe. Diese Frage entscheidet ein einfacher Gegenversuch: Man lässt Terpentinöl, nachdem es mit Schwefelsäure geschüttelt ist, einen dem obigen gleichen Zeitraum stehen, schüttelt dann wieder mit Schwefelsäure; die etwa erhaltene Färbung ist mit der des Hauptversuchs zu vergleichen.

Auf die eben beschriebene Weise wurden Versuche ausgeführt; sie scheinen zu ergeben, dass der im Terpentinöl enthaltene Sauerstoff kein Ozon ist; leider wurden sie nicht zu Ende geführt, weil der Bruch des Apparats daran hinderte, statt des Hahns c in der dem Verfasser zur Verfügung gestellten Zeit einen neuen zu beschaffen.

B. Zur Entscheidung der Frage, ob das Terpentinöl gewöhnlichen Sauerrtoff absorbire, ist es nur nothwendig, beide Stoffe ohne Gegenwart eines andern Körpers, der etwa von Einfluss auf Ozonbildung seyn könnte, zusammenzubringen.

Der Apparat (s. Fig. 8 Taf. II), den ich deshalb benutzte, bestand aus einem größeren Gefäß A (Inhalt 266,5 CC.) das durch einen Hahn mit einem kleineren B (Inhalt 6,5 CC.)

Nachdem man den Wasserstoff wieder in B eingeschlossen, öffnet man c unter Pyrogallussäure.

verbunden war, letzteres ist nach außen durch einen Hahn a verschliefsbar.

Der Sauerstoff, aus übermangansaurem Kali dargestellt, passirte der Reihe nach Waschflaschen gefüllt mit Schwefelsäure, Jodkalium, Chlorcalcium, und wurde über Quecksilber, um ein Benetzen der Wände zu vermeiden, im Apparat aufgefangen. Nach halbstündigem Warten, damit der Sauerstoff die Temperatur der Umgebung annehme, wurde der Druck regulirt, die Temperatur und Zeit abgelesen. b geschlossen. Nun wurde B mit bis zur Siedhitze erwärmten, unter Luftabschlus abgekühltem Terpentinöl gefüllt, z geschlossen, der Apparat umgedreht, b geöffnet; dieselbe Operation nech einmal wiederholt, so dass 200 CC. Gas mit 13 CC. Terpentinöl in Berührung waren. — Der Apparat wurde nun dem Licht ausgesetzt, einige Zeit liegen gelassen, mit der Oeffnung in Quecksilber getaucht, a geöffnet, der Druck regulirt, a geschlossen; der ganze Apparat wurde dann aus dem Quecksilberbad gehoben und das Terpentinöl mit dem eingetretenen Quecksilber in einer graduirten Röhre gemessen und so die Größe der Absorption gefunden.

In Summa wurden vier Versuche gemacht:

Zeit der Füllung: I.

6 Uhr Abends

bei Temperatur:

23,7° C.

bei Temperatur: 21,2º C.

Unter Quecksilber geöffnet: 9! Uhr Morgens d. n. T.

Absorbirt waren:

9,8 CC.

Correction für die

Temperaturerniedrigung: Also wirklich absorbirt:

1,46 CC. 8.34 CC.

Zeit der Füllung: H.

121 Uhr Mittags

bei Temperatur:

23,6° C.

Unter Quecksilber geöffnet: 2½ Uhr Mittags d. T.

bei Temperatur:

23.4° C.

Absorbirt:

0.8 CC.

Correction für Temperatur: -0,15

Also wirklich absorbirt:

0,65 CC.

III. Zeit der Füllung: 4 Uhr Nachmittags

bei Temperatur: 22,4° C.

Unter Quecksilber geöffnet: 10 Uhr Morgens d. n. T.

bei Temperatur: 21,7° C.
Absorbirt: 6,2 CC.
Correction für Temperatur: -0,5

Also wirklich absorbirt: 5,7 CC.

IV. Zeit der Füllung: 111 Uhr Vormittags

bei Temperatur: 21,7 C.

Unter Quecksilber geöffnet: 13 Uhr Mittags

bei Temperatur: 21,8° C.
Absorbirt: 5,6 CC.
Correction für Temperatur: +0.07

Also wirklich absorbirt: 5,67 CC.

Bei I und III ist der Barometerstand nicht notirt, bei II blieb er während des Versuchs ungeändert, bei IV war er

> zu Beginn des Versuchs: 767<sup>mm</sup>,2 zu Ende » 766<sup>mm</sup>,7.

Es sind daher zu den 5,67 CC. noch 0,13 CC. hinzuzuaddiren, um die wahre Absorption zu finden = 5,8 CC.

Auffallend ist die große Absorption bei I, die kleine bei II. — Bei II wurde 4 Stunden lang der stärksten Belichtung mit Aether gekühlt, was vielleicht die Ursache für die Größe der Absorption ist.

Ich hatte nämlich ursprünglich die Absicht, bei allen Versuchen den Apparat durch Aufgießen von Aether zu kühlen; es unterblieb, weil es mir nicht gelang, das Maaß der Abkühlung festzustellen. — Für die geringe Absorption bei II fehlt mir die Erklärung, doch muß bedacht werden, daß die Größe der Absorption von Temperatur, Beleuchtung, Dauer der Einwirkung, häufigem Schütteln abhängt.

Jedenfalls ist wohl aber erwiesen, dass das Terpentinöl gewöhnlichen Sauerstoff absorbirt; denn wenn selbst die absolute Reinheit des angewandten Sauerstoffs zweifelhaft ist, kann doch ein Gehalt von 5,6 CC. Ozon in 200 CC.

Gas = 2,8 Proc. nicht angenommen werden, zumal da durch die Jodkaliumflaschen das meiste absorbirt seyn mußte.

Wenn man statt des ausgekochten Terpentinöls ein Terpentinöl nimmt, das in dem zur Lösung der Frage A benutzten Apparat durch Schütteln mit Schwefelsäure, Wasserstoff und Pyrogallussäure des Sauerstoffs und der Oxydationsproducte beraubt ist '), so läfst sich mit dem einfachen Absorptionsversuch eine Controle der unter A erhaltenen Resultate verbinden:

Man öffnet nach der Absorption anstatt in Quecksilber in Jodkaliumlösung; schüttelt die eingetretene mit dem Terpentinöl, läst dann die Lösung wieder heraus, und titrirt die Menge des ausgeschiedenen Jod. Das Verhältniss der Volumverminderung des Sauerstoffs zu dem oxydirten Jodkalium muss einen Schluss auf die Beschaffenheit des im Terpentinöl besindlichen Sauerstoffs erlauben.

Die Lösungen dieser Fragen muß späteren Arbeiten überlassen bleiben; wegen Mangel an Zeit konnten sie jetzt nicht zu Ende geführt werden.

XII. Untersuchungen über die Verbindungen des Selens mit dem Schwefel; von A. Bettendorff und G. vom Rath.

In den Annalen d. Chemie und Pharmacie Bd. CLII, S. 188 hat Hr. Rathke Mittheilungen über obigen Gegenstand, welcher längere Zeit auch unsere Aufmerksamkeit in Anspruch genommen hat, veröffentlicht. Es sollen daher die folgenden Beobachtungen nur dazu dienen, die von Hrn. Rathke gefundenen Thatsachen theils zu bestätigen, theils zu ergänzen.

<sup>1)</sup> Zum Ueberfüllen aus einem Apparat in den andern hatte ich mir Rohrstückehen (s. Fig. 9 Taf. 11) machen lassen. Die Verbindung wurde dusch Guttapercha, der Verschluss durch Quecksilber hergestellt.

Durch Berzelius wissen wir, dass Schwefel und Selen sich in allen Verhältnissen mit einander schmelzen lassen. Als wirkliche Verbindungen betrachtete er indessen nur das selenige Sulfid Se S<sub>2</sub> und das Selensulfid Se S<sub>3</sub>, weil die Analogie mit den Sauerstoffverbindungen des Selens dafür spricht. Se S<sub>2</sub> stellte Berzelius durch Zersetzung von Se O<sub>2</sub> und 2H<sub>2</sub> S als eitronengelbes amorphes Pulver dar, Se S<sub>3</sub> wurde durch Zusammenschmelzen der Elemente ebenfalls als amorphe Masse erhalten. Es schien uns von Interesse Versuche zur Darstellung von krystallisirten Schwefelselenen anzustellen, einmal um den Einflus des Selens auf die Krystallform der Verbindung zu studiren, andererseits erwarteten wir eine ganze Reihe neuer Schwefelselene zu erhalten analog den Sauerstoffverbindungen des Schwefels zusammengesetzt.

Durch Schmelzen von Schwefel und Selen in den verschiedensten Verhältnissen partiellem Erstarren und Ausgiesen der noch slüssigen Masse, also der Weg zur Darstellung des monoklinen Schwefels, konnte nichts Krystallisirtes erhalten werden. Die geschmolzenen Massen bleiben teigig und völlig ohne krystallinische Structur. Werden sie mit Kohlensulfid behandelt, so erfolgt eine Umwandlung. An der Obersläche bildet sich ein krystallinisches gelbes bis dunkelbraunes Pulver, die Veränderung dringt langsam tiefer und es erfolgt allmälige Lösung. Diese Umwandlung lässt sich sehr rasch und vollständig bewerkstelligen, wenn die amorphen Schwefelselene einige Zeit bei 100° C. erhitzt werden, sie erfolgt um so rascher, je mehr Schwefel in der Verbindung ist. Der Uebergang aus dem amorphen in den krystallisirten Zustand ist leicht erklärlich, wenn man bedenkt, dass das Selen und der Schwefel für sich dieselbe Eigenschaft haben. Wie bei den Elementen erfolgt der Uebergang der Verbindung in die krystallinische Form unter Raumverminderung, da die an den Wandungen des Schmelzgefässes fest anhängenden amorphen Massen nach dem Erhitzen auf 100" sich leicht ablösen. Die krystallinischen Schwefelselene lassen sich leicht zerreiben, wobei das

Pulver stark elektrisch wird, zum Theil verstaubt, und mit Leichtigkeit von Kohlensulfid gelöst wird. Die Löslichkeit nimmt mit wachsendem Schwefelgehalte zu. Aus den Lösungen wurden durch langsames Verdunsten sehr schöne 2 bis 4 Millimeter lange rubin- bis hellorangefarbige Krystalle gewonnen. Ihre Zusammensetzung wurde durch Bestimmung des Schwefelgehaltes ermittelt. Uebergiesst man dieselben gröblich zerkleinert mit I Vol. rauchender Salpetersäure und 1 bis 1,5 Vol. rauchender Salzsäure, lässt sie 12 bis 15 Stunden stehen, so wird das Schwefelselen dick flüssig und es scheiden sich kleine Tröpschen von Chlorselen und Chlorschwefel ab, welche durch vorsichtiges Bewegen der Flüssigkeit allmälig verschwinden. Durch unvorsichtiges Schütteln kann es vorkommen, dass durch die heftige Reaction der Chlorverbindungen auf das vorhandene Wasser ein Theil der Flüssigkeit verspritzt. Es gelingt so selbst bei den schwefelreicheren Schwefelselenen die ganze Menge des Schwefels zu oxydiren, was nicht der Fall ist, wenn man gleichzeitig erwärmt. Die Lösungen werden im Wasserbade auf ein kleines Volumen eingedampft, etwas Salzsäure zugefügt und abermals eingedampft, wodurch alle Salpetersäure zerlegt und die kleine vorhandene Menge Selensäure zu seleniger Säure reducirt wird. Nach der Fällung mit Chlorbaryum wird mit heißem, etwas salzsäurehaltigem Wasser ausgewaschen, um die letzten Reste von selensaurem Baryt zu entfernen. Es wurden im Ganzen die Producte aus drei verschiedenen Mischungen von Schwefel und Selen genauer untersucht.

I. 2 Aeq. gepulverter reiner Schwefel und 1 Aeq. fein gepulvertes Selen wurden innigst gemengt, geschmolzen und im Trockenapparate auf 100° erhitzt. Nach Verlauf von 5 Stunden war die Masse ganz krystallinisch. Gepulvert löste sie sich mit gelber Farbe in Kohlensulfid mit Hinterlassung einer kleinen Menge weichen orangerothen Schwefelselens. Die abgagossene klare Lösung setzte nach kurzer Zeit im verschlossenen Gefäse tiefrothe kleine Kryställichen ab, welche an den Wandungen des Glases hafteten, durch

starkes Rütteln abgelöst, durch Filtration getrennt und mit wenig C S<sub>2</sub> gewaschen wurden.

0,3666 Grm. gaben 0,4901 Ba S O<sub>4</sub> entsprechend Schwefel 18,36 Selen 81,64.

Diese Zusammensetzung entspricht ziemlich nahe der Formel Se<sub>9</sub> S<sub>5</sub>. Als das Filtrat der langsamen Verdunstung überlassen wurde, bildeten sich am Boden des Gefäses schöne rubinrothe Krystalle, welche entfernt und mit C S<sub>2</sub> gewaschen wurden.

0,4236 Grm. lieferten 1,1235 Ba S O<sub>4</sub> entsprechend Schwefel 36,42 Selen 63,58.

Annähernde Formel Se, S<sub>10</sub>. Am Rande des Krystallisationsglases hatte sich eine harte Kruste abgelagert, welche ge pulvert abermals in C S<sub>2</sub> gelöst wurde, wobei wiederum ein kleiner Rückstand von weichem Schwefelselen hinterblieb. Die Lösung lieferte eine hellere Krystallisation als die vorhergehende.

0,4258 Grm. gaben 1,4202 Ba S O<sub>4</sub> entsprechend Schwefel 45,79 Selen 54,21.

Seien 34,21.

Annähernde Formel Se S<sub>2</sub>. Aus dem Rückstande wurden noch zwei hellere schön krystallisirte Producte erhalten, es schien indessen zwecklos dieselben zu analysiren.

II. Mischung von 1 Aeq. Selen und 3 Aeq. Schwefel. Dieselbe, wie vorhin dargestellt, wird schon nach 2stündigem Erhitzen auf 100° krystallinisch. Gepulvert leicht löslich in C S<sub>2</sub> bis auf einen ganz geringen Rückstand von weichem Schwefelselen. Von diesem getrennt scheidet die klare Lösung wie bei I kleine tiefrothe Krystalle ab, deren Menge zur Analyse zu gering war, die aber der Farbe nach zu urtheilen, dieselbe Zusammensetzung wie bei I haben müssen. Nach demselben Verfahren wie oben wurden drei Krystallisationen von verschiedener Farbe erhalten.

a) Schöne stark glänzende Prismen von der Farbe der Chromsäure.

0,2385 Grm. gaben 0,7445 Ba S O<sub>4</sub> entsprechend Schwefel 42,85

Selen 57,15.

Annähernde Formel Se, S15.

b) Grosse Prismen von hellerer Farbe.

0,3204 Grm. gaben 0,0635 Schwefel und 0,6740 Ba S O<sub>4</sub> entsprechend Schwefel 48,68

Selen 51.32.

Annähernde Formel Se, S12.

c) Krystalle von der Farbe des sauren chromsauren Kalium.

0,4172 Grm. gaben 1,6768 Ba S O, entsprechend Schwefel 55,17
Selen 44,83.

Annähernde Formel Se S<sub>3</sub>.

Die Reste der letzten Krystallisation lieferten beim Wiederauflösen abermals Schwefelselene von hellerer Farbe, darunter rhombische Oktaëder von orangerother Farbe.

III. Mischung aus I Aeq. Selen und 4 Aeq. Schwefel, wird nach kaum I stündigem Erhitzen krystallinisch, hinterläfst beim Lösen weiches Schwefelselen, scheidet aber keine Krystalle in der verschlossenen Flasche ab. Es wurden drei krystallisirte Producte erhalten.

d) Krystalle von der Farbe der Chromsäure.

0,3315 Grm. gaben 1,0662 Ba S O<sub>4</sub> entsprechend Schwefel 44,16

Selen 55,84.

Formel Se S<sub>2</sub>.

e) Schöne Prismen von der Farbe des sauren chromsauren Kalium.

0,3512 Grm. gaben 0,0516 Schwefel und 0,9891 Ba S O<sub>4</sub> entsprechend Schwefel 53,35 Selen 46.65.

Annähernde Formel Se Sa.

f) Krystalle von hellerer Farbe als die vorigen. Dieselben wurden wegen zu geringer Menge nicht analysirt. Es fanden sich bei dieser Krystallisation unter den wenigen prismatischen Krystallen viele orangerothe große rhombische Oktaëder, welche analysirt wurden.

0,1356 Grm. gaben 0,6658 Ba S O<sub>4</sub> entsprechend Schwefel 67,43 Selen 32,57.

Annähernde Formel Se S.

Es wurde versucht durch Auflösen und abermaliges Krystallisiren der annähernd nach der Formel Se S, und Se Sa erhaltenen Schwefelselene Producte von constanter Zusammensetzung zu erhalten. Beim Auflösen bleibt auch hier ein geringer Rest von weichem Schwefelselen, welcher nach kurzer Zeit eine schwärzliche Färbung zeigt. Man beobachtet diese mitunter auch bei den heller gefärbten prismatischen Schwefelselenen, sie fängt an den Spitzen an, verbreitet sich langsam, wobei Form und Glanz unverändert bleiben. Aus der Lösung von Se S2 erhält man nun wieder eine ganze Reihe verschieden gefärbter Producte. Zunächst selenreichere als Se S, nachher schwefelreichere, wie man aus der Farbe erkennen kann. Ebenso verhält sich Se Sa beim Umkrystallisiren. Bei dem Auflösen der rhombischen Krystalle in C S2 werden diese undurchsichtig, was darauf hindeutet, dass sie mit anderer Modification in Lösung gehen. Es krystallisiren aus derselben zuerst selenreichere prismatische Krystalle, dann folgen die orangerothen rhombischen Formen in verschiedener Färbung, schliefslich reiner Schwefel.

Aus den vorliegenden Versuchen ergiebt sich, dass die von Berzelius angenommenen Verbindungen in Kohlensulfid gelöst eine äusserst geringe Beständigkeit zeigen. Sie zersetzen sich, und es scheiden sich je nach der Löslichkeit die verschiedensten Producte ab. Es erscheint dem zufolge nicht statthaft, wenn Hr. Rathke das durch Zersetzung von Se O<sub>2</sub> mit 2H<sub>2</sub>S erhaltene Se S<sub>2</sub> (Seite 190 und 197 der citirten Abhandlung) als ein Gemenge von diesem mit einem selenreicheren betrachtet, weil er dieselben durch Krystallisation daraus erhalten hat. Dasselbe wird auch für das aus S O<sub>2</sub> und 2H<sub>2</sub> Se erhaltene Se<sub>2</sub> S gelten.

Die Krystalle der Schwefelselen-Verbindungen gehören dem monoklinen Systeme an, und bilden (wie die Figg. 3 bis 5 Taf. II zeigen) Combinationen eines vertikalen Prisma's nebst der Längsfläche, einer vorderen und einer hinteren Hemipyramide, sowie eines klinodiagonalen Prisma's. Das allgemeine Ansehen der Krystalle erimert, wenn beide Hemipyramiden im Gleichgewichte stehen, an das rhombische System.

Die Axenverhältnisse sind:

a (Klinodiagonale): b (Orthodiag.): c = 1,0546:1:0,7146. Die Axen a und c schließen vorne oben den Winkel  $91^{\circ}$  43' 35''

ein. Zur Berechnung der angegebenen Axenelemente dienten folgende Fundamentalmessungen:

 $m:m'=124^{\circ}22;\ o:o'=119^{\circ}30';\ o:m=132^{\circ}35'.$ 

Die oben erwähnten Formen erhalten, auf die Axen bezogen, folgende krystallographische Zeichen:

$$m = (a: 2b: \infty c);$$
  $\infty P2$   
 $b = (b: \infty a: \infty c);$   $(\infty P \infty)$   
 $o = (a: b: c);$   $-P$   
 $e = (a': b: c);$   $P$   
 $i = (2b: c: \infty a);$   $(\frac{1}{2}P \infty).$ 

Am monoklinen Oktaëder (00'ee') neigt sich die Kante

$$o: o'$$
 zur Vertikalen =  $54^{\circ}$  42'  
 $e: e'$  > =  $57$  4  
 $o: e$  > =  $54$  27.

Neben die aus den Axenelementen berechneten stellen wir die gemessenen Winkelwerthe:

ber.		gens.	
$b: m = 117^{\circ}$	<b>49</b> ′	1170	45'
b: o = 120	15	120	18
b:e = 120	57 <u>1</u>		
b: i = 109	38 <u>i</u>	109	34
i:i'=140	43	140	58
i:o == 147	54 <del>1</del>	147	48
e: e' = 118	$5\frac{5}{2}$	118	36
e: o = 122	16		
e:i = 146	51	147	<b>2</b> 5
e: m = 130	13 <u>‡</u>	130	40.

Die Krystalle sind, wenn einfach, meist zu Prismen resp. Nadeln ausgedehnt. Die Längsfläche b bildet bald nur eine schmale Abstumpfung der scharfen Kante m:m' (Fig. 3 Taf. II), bald steht sie mit den Flächen mm' ungefähr im Gleichgewicht (Figg. 4 und 5), selten herrscht sie vor. In der Endigung dominirt meist die vordere Hemipyramide oo', zuweilen ohne andere Flächen. Weniger ausgedehnt tritt meist das klinodiagonale Prisma ii' hinzu, seltener die hintere Hemipyramide ee'. Nur sehr selten trafen wir oo' und ee' annähernd im Gleichgewichte ausgebildet.

Mit diesen prismatischen Krystallen, in denselben Krystallisationsgefäßen erzeugt, finden sich auch einzelne tafelförmige Krystalle, deren abweichende Ausbildung durch die Zwillingsbildung bedingt wird. Zwillingsebene ist die Ebene  $(a:c:\infty b)$ ; —  $P\infty$ , welche die Kante o:o' abstumpfen würde, indess als Krystallsläche nicht vorkommt. Die Zwillinge der Schwefelselen-Krystalle (Fig. 6 Taf. II) sind demnach gewissen Verwachsungen des Gypses vergleichbar. Die Krystalle dieses letzteren Minerals bilden bekanntlich Zwillinge nach zwei Gesetzen: bei dem einen ist Zwillingsebene die Querfläche, bei dem anderen ist es die Abstumpfungsfläche eines Hemioctaëders, ein Hemidoma. Diesen letzteren sind demnach die Verwachsungen der Schwefelselenkrystalle analog. Wollte man die beschriebenen Zwillinge als Verwachsungen nach dem im monoklinen Systeme gewöhnlichsten Gesetze: » Zwillingsebene die Querfläche « auffassen, so müste man die einfachen Krystalle in der Weise stellen, dass oo' zum vertikalen Prisma, mm' zu einer Hemipyramide würde, was mit Rücksicht auf die prismatische Ausbildung der einfachen Krystalle in der Richtung der Kante m:m' nicht naturgemäß erscheint.

Die Zuspitzungsslächen der Krystalle des Schwefelselens sind nur sehr klein, da der Querdurchmesser der nadelförmigen Prismen weniger als 1 mm beträgt. Dennoch waren dieselben glänzend genug, um am Fernrohrgoniometer gemessen werden zu können. Einer genaueren Bestimmung der Axenelemente stellten sich nichtsdestoweniger große Schwierigkeiten entgegen in Folge unregelmäsiger Ausbildung der Flächen. Dieselbe zeigt sich namentlich in der Nichtparallelität der Flächen des vertikalen Prisma's mm'. Bei scheinbar wohlgebildeten Krystallen convergiren diese Flächen, welche doch parallel seyn sollten, in der Richtung der Endigungsslächen um 1° bis 2°. Der constanteste Winkel der Krystalle ist o:o', während die übrigen Kanten erheblichen Schwankungen unterliegen, auch wenn die betreffenden Flächen gute und einfache Reslexbilder geben. Es wurde z. B. an einem der besten Krystalle gemessen:

$$o: m = 132^{\circ} 35'$$
  $o': m' = 133^{\circ} 3'$   
 $o: m_i = 48 50$   $o': m' = 48 48$ 

(m, ist die zu m parallele Fläche). Es erhellt demnach hieraus eine Convergenz der Flächen der vordern und hintern Seite von 11/2 bis 20. Bei einem andern Krystalle derselben Krystallisation betrug die Kante o:m nur 131° 52'. Obgleich wir die Messungen sehr vervielfältigten und auf die Krystalle von neun verschiedenen Operationen ausdehnten, so gelang es doch nicht, solche zu finden, welche von den erwähnten Unregelmässigkeiten frei gewesen wären. halb waren wir auch Anfangs geneigt, die Combination der beiden Hemipyramiden o und e für ein rhombisches Oktaëder zu halten, und die Krystalle dem rhombischen Systeme zuzurechnen: da in der That die Schwankungen der Kantenwerthe beinahe die Differenzen der beiderlei Combinationskanten erreichen, welche einerseits die Flächen oo', andrerseits ee' mit mm' oder mit ii' bilden. - Indess ergab sich aus folgenden Thatsachen die Entscheidung, dass das System monoklin und nicht rhombisch sey.

Zunächst herrschen in der Endigung die Flächen oo' fast immer bis zur Verdrängung von ee' vor; sind die letzteren vorhanden, so erreichen sie meist doch nur eine weit geringere Ausdehnung. Ist das untere Ende der Krystalle sichtbar, so herrschen auch dort die Flächen oo' in gleicher Weise wie oben.

Ferner haben wir an mehreren der bestgebildeten Krystalle die Kanten o:o', m:m', o:m gemessen, welche selbst-

verständlich, auch ohne Rücksichtsnahme auf die Flächen ii und ee, zu entscheiden gestatten, ob die Krystalle auf rechtwinklige Axen zurückzuführen sind, oder nicht; in welch letzterem Falle sie dem rhombischen Systeme nicht angehören können. Trotz des Schwankens in den Werthen der genannten drei Kanten fanden wir für alle in dieser Weise untersuchte Krystalle eine Abweichung der Axe vom rechten Winkel, und zwar in derselben Richtung, nach vorne sich senkend.

Endlich sprechen auch die Zwillinge durchaus für das monokline System und gegen das rhombische. Denn wollte man die Krystalle als rhombische betrachten, so müßte man die Zwillingsebene (d. h. die Abstumpfungsfläche der Kante o:o') als die Fläche eines rhombischen Prisma's ansehen, in welchem Falle es indeß ganz unerhört wäre, daß die durch Vorherrschen von b gebildete Tafel durch oo' und mm rhomboïdisch begränzt erscheint, und nicht vielmehr eine rhombische Umgränzung durch oo' und ee' darböte.

Wenn wir in Vorstehendem die Gründe darlegten, welche uns zu der Ueberzeugung führten, dass die Krystalle der Schwefelselen-Verbindungen monoklin sind, so geschah es, weil dieselben von Hrn. Dr. Rathke (Ann. d. Chem. und Pharm. Bd. CLII, S. 197) als rhombisch bestimmt worden sind. An den »sehr kleinen Krystallen, deren Flächen wenig glänzend und etwas gekrümmt waren«, beobachtete Rathke dieselben Formen, welche auch oben angegeben wurden. In seiner Darstellung wird b zur Querfläche. da das Oktaëder oo'ee' nach dem für rhombische Formen geltenden Grundsatze seine stumpfere Kante o:e in die brachydiagonale Ebene stellt. Den von uns ihm brieflich mitgetheilten Gründen für die monokline Natur der Krystalle stimmte nun auch Rathke bei, indem er die Güte hatte. die von ihm dargestellten Krystalle zur wiederholten Prüfung zu übersenden. Dieselben trugen theils einen monoklinen Habitus (wie Fig. 1 Taf. II), theils hatten sie ein mehr rhombisches Ansehen (wie Fig. 3) durch gleichmäßige Ausbildung von o und e. An einem der Krystalle der letztern Art wurden von uns folgende Winkel gemessen:  $b: o = 120^{\circ} 25'; b: i = 109^{\circ} 30'; b: i' = 109^{\circ} 34'; i: i = 140^{\circ} 50'; i: o = 148^{\circ} 4'; e: i = 147^{\circ} 40'; e: m = 129^{\circ} 40'; o: m = 132^{\circ} 33'.$ 

Die Kante m:m' bestimmte Rathke =  $124^{\circ}$ 8'. Die Vergleichung dieser mit den oben angegebenen Winkeln beweist, dass die von Rathke dargestellten Krystalle mit den unsrigen identisch sind, und namentlich auch dem monoklinen Systeme angehören, wie besonders aus den verschiedenen Neigungen e:m und o:m erhellt.

Mit Ausnahme der sogleich zu erwähnenden rhombischen Oktaëder (s. oben f) besitzen sämmtliche von uns untersuchte Krystalle, welche aus verschiedenen Schwefelselen-Mischungen (Se S<sub>2</sub>, Se S<sub>3</sub>, Se S<sub>4</sub>) erhalten waren, die gleiche Form, indem etwaige Verschiedenheiten in ihren Winkeln geringer sind als die Differenzen der Winkel an Krystallen ein- und derselben Darstellung.

Es verhalten sich demnach Selen und Schwefel in den beschriebenen Krystallen vollkommen wie zwei isomorphe Elemente, indem sie ohne Formänderung in wechselnder Menge sich zu identischen Krystallen verbinden, etwa wie Quecksilber und Silber in den Krystallen des Amalgam's. Während aber Quecksilber und Silber auch unverbunden in denselben Krystallen des regulären Systems bekannt sind, gleich denjenigen des Amalgam's, sind die Formen des Selens und des Schwefels sowohl von einander, als auch von den oben beschriebenen monoklinen Krystallen ihrer Verbindungen verschieden. Es begegnet uns demnach hier die bemerkenswerthe Thatsache, dass zwei Elemente, welche für sich nicht in isomorpher Gestalt bekannt sind, Verbindungen in beliebig wechselnden Verhältnissen bilden, deren Formen Schon früher betrachtete man Selen und identisch sind. Schwefel als isomorphe Elemente (trotz der Verschiedenheit ihrer Formen), weil die schwefelsauren und selensauren Salze, ebenso Schwefelblei und Selenblei, Schwefelsilber und Selensilber gleiche Formen haben (vergl. Kopp, Theoret. Chemie, S. 141). Diese Annahme wird nun durch die obigen Verbindungen bestätigt, indem dieselben zu dem Schlusse berechtigen, dass auch das reine Selen und der reine Schwefel, außer in den bereits an ihnen bekannten Formen, gleichfalls in den Krystallen der Schwefelselen-Verbindungen erscheinen können.

Dass aber das Selen unter gewissen Bedingungen auch in der einen Form des Schwefels krystallisiren könne, beweisen die oben erwähnten rhombischen Oktaëder (f), welche annähernd der Formel Se S, entsprechen. Dieselben besitzen die Form und die Winkel des rhombischen Schwefels. Wir beobachteten das Oktaëder p = (a : b : c),  $P_{\bullet}$  dessen makrodiagonale Endkanten = 84° 58', dessen brachydiagonale Endkanten =  $106^{\circ}38'$ , ferner  $s = (a:b:\frac{1}{3}c)$ ,  $\frac{1}{3}P$ und  $n = (b : c : \infty a)$ ,  $P \infty$ . Diese Krystalle erreichen eine Größe von 3 bis 4mm. Je größer im Gemenge von Selen und Schwefel die Menge des letzteren ist, um so mehr nimmt die Neigung zu, oktaëdrische Formen zu bilden; und wenn die procentische Menge des Schwefels nahe 2, die des Selens nahe ! beträgt, so bilden sich nur oktaëdrische Kry-Die Form des in geringerer Menge die Mischung constituirenden Selens wird demnach hier durch die überwiegende Menge des Schwefels bedingt. Es erinnert diess an ein ähnliches Verhalten von Kieselsäure und Mangansuperoxyd in den Krystallen des Braunit's. Wenngleich nämlich weder das Mangansuperoxyd in den Formen des Ouarzes (oder des Tridymits), noch die Kieselsäure in denjenigen des Pyrolusit's (oder des Polianit's) bekannt ist, so tritt dennoch in gewissen Varietäten des Braunits (und zwar in denjenigen von S. Marcel I Mol. Si O2 neben 3 Mol. Mn O2) eine kleinere Menge von Kieselsäure neben einer überwiegenden Menge von Mangansuperoxyd ohne Formänderung ein (s. G. Rose, d. Ann. Bd. CXXI, S. 318).

Noch bekannter sind ähnliche Thatsachen bei den schwefelsauren Salzen. Obgleich Eisenoxydul und Magnesia isomorphe Körper sind (z. B. als Carbonate), so krystallisirt ersteres als Eisenvitriol mit 7 Mol. Wasser im monoklinen System, die Magnesia hingegen als Bittersalz gleichfalls mit 7 Mol. Wasser im rhombischen. Krystallisiren aber beide Salze zusammen, so bestimmt das in überwiegender Menge vorhandene die Krystallform und nöthigt gleichsam das in geringerer Menge vorhandene Salz, in einer ihm an und für sich fremden Form zu krystallisiren (s. Rammelsberg, Krystallogr. Chemie, S. 96).

## XIII. Ueber elektrische Spitzenwirkung; von J. C. Poggendorff.

(Aus d. Monatsbericht. d. Akad. Juli 1869.)

Es ist — so erscheint es — ein allgemein zugegebener, oder wenigstens nicht eigends widerlegter Satz, den namentlich Saxtorph in seiner Elektricitätslehre, Bd. 1, S. 308 umständlich behandelt hat, dass eine geladene Flasche sich durch eine Spitze, nicht in Funken entladen lasse, sondern durch dieselbe nur eine stille Entladung in Büschelform erhalten werden könne. Dieser Satz bedarf aber, nach meiner Erfahrung, einer mehrfachen Einschränkung.

Zunächst finde ich, dass er nur richtig ist, wenn die Spitze, welche durch einen Draht mit dem äusseren Beleg der Flasche verbunden worden, langsam dem Knopf derselben genähert wird. Geschieht es einigermaassen rasch, so bekommt man einen compacten Entladungsfunken und zwar einen recht ansehnlichen, wenn der Knopf der Flasche negativ elektrisch war. Im umgekehrten Fall ist der Funke kleiner, kann auch wohl manchmal ganz ausbleiben.

Besser und mehrfach modificirt, lässt sich dieser Versuch mit Hülfe der Holtz'schen Maschine anstellen. Jedoch ist dabei nicht zu übersehen, dass wenn man, wie gewöhnlich, eine oder zwei mit der Maschine verbundene Flaschen abwechselnd ladet und entladet, der Process ein etwas verwickelter ist, indem nicht allein die *Entladung*, sondern auch die *Ladung* von der Gestalt und dem gegenseitigen Abstand der Elektroden abhängt.

Endigen beide Elektroden in Spitzen und stehen sie etwa 15 Mm. auseinander, so bekommt man keine Funken zwischen ihnen, nicht weil die mit ihnen verbundenen Flaschen sich unsichtbar entlüden, sondern weil sie so gut wie gar nicht geladen werden, wovon man sich, wenn man sie einzeln durch einen Metallbogen schließt, leicht überzeugen kann. Die Elektricität der Maschine geht also in diesem Fall direct zwischen den Elektroden über, ohne in die Flaschen einzutreten. Je dünner die Glaswand der Flaschen ist, je eher werden sie geladen; aber immer giebt es einen Abstand zwischen den Elektroden, bei welchem sie ungeladen bleiben.

Ueberhaupt ist es wohl allgemeine Regel, dass die Stärke der Ladung, welche die mit den Elektroden der Maschine verbundenen Flaschen annehmen, abhängig ist von einem gewissen Widerstand, der sich dem Uebergange der Elektricität zwischzn den Elektroden entgegengestellt, und davon rührt es ohne Zweifel zum Theil her, dass, wenn diese in großen Kugeln endigen, die Entladungen kräftiger sind als bei kleinen Kugeln.

Bei Spitzen treten indess noch eigenthümliche Erscheinungen auf.

Wenn dieselben einen gegenseitigen Abstand von etwa 15 Mm. haben, so erfolgt, wie eben gesagt, keine Funken-Entladung. Schiebt man sie nun näher zusammen, so sollte man meinen, man vermindere den Widerstand zwischen ihnen, befördere also den büschelförmigen Uebergang der Elektricität; allein statt dessen bekommt man in schneller Folge hellleuchtende Fünkchen, die große Aehnlichkeit mit kleinen Inductionsfunken haben.

Andererseits wenn man die negative Spitze durch eine kleine Kugel, z. B. eine von 14 Mm. Durchmesser, ersetzt, sollte man meinen, man vergrößere den Widerstand zwischen den Elektroden, verstärke also die Ladung der Flaschen und erhalte demgemäß längere und kräftigere Entladungsfunken.

Allein gerade das Gegentheil ist der Fall. Die Funken haben kaum eine Länge von 4 bis 5 Mm. Die Kugel mag die positive oder negative Elektrode bilden.

Ueberhaupt habe ich auf diese Weise mittelst der Influenzmaschine keine längeren, oder kaum so lange und kräftige Funken aus einer Spitze erhalten, als eine einzeln geladene Flasche liefert, wenn man ihrem negativen Knopf rasch eine mit dem äußeren Beleg verbundene Spitze nähert.

Ganz anders aber gestaltet sich die Sache, wenn man in die Bahn des Stromes der Maschine noch eine zweite Luftstrecke einschaltet, die durch Kugeln begränzt ist.

Früher bediente ich mich dazu der in den Monatsberichten von 1867 (S. 809) 1) beschriebenen Hülfskugel, welche mittelst eines Stiftes in dem Gestell der Maschine befestigt wurde.

Die neuere Maschine des Hrn. Holtz, die ich seit einiger Zeit vorzugsweise zu meinen Untersuchungen gebrauche, erlaubt diese Befestigungsweise nicht, da sie bekanntlich nur eine einseitige Axe besitzt, welche vorn Alles frei läst, bis auf die beiden Stützen, welche die Elektroden tragen.

Ich habe daher die erwähnte Hülfskugel ersetzt durch ein bewegliches Stativ, welches zwischen die Elektroden gestellt werden kann.

Dieses Stativ trägt auf einer isolirenden Säule, die sich verlängern und verkürzen läst, eine horizontal durchhohrte Kugel und in dieser Durchbohrung einen kurzen Stift, auf welchen, je nach Erfordernis, spitze Hohlkegel oder Kugeln aufgesteckt werden können. Mittelst dieser kleinen Vorrichtung lassen sich Einschaltungen aller Art mit großer Leichtigkeit bewerkstelligen.

Zu vorerwähntem Zweck stecke ich nun auf das eine Ende des horizontalen Stiftes einen spitzen Hohlkegel und auf das andere eine Kugel von 24 Mm. Durchmesser und

<sup>1)</sup> Annal. Bd. 134, S. 9.

gebe dem Stativ eine solche Stellung, dass der Kegel der ebenfalls in einem Kegel endigenden positiven Elektrode, und die Kugel der mit einer gleichen Kugel versehenen negativen Elektrode gegenübersteht, folglich in der ersten Luftstrecke Kegel oder Spitzen, und in der zweiten, Kugeln einander zugewandt sind.

Bringt man nun zuvörderst die Kugeln mit einander in Berührung und giebt den Spitzen einen gegenseitigen Abstand von 12 bis 14 Mm., so erhält man zwischen ihnen, sobald man die Maschine in Thätigkeit setzt, die kleinen Funken, von denen vorhin die Rede war.

Zieht man hierauf die Kugeln langsam auseinander, so sieht man, dass diese Funken bedeutend an Helligkeit zunehmen und darin fortfahren, bis die Kugeln, zwischen denen natürlich auch Funken überspringen, einen gegenseitigen Abstand von etwa einen Zoll erreicht haben. Bei fernerer Vergrößerung dieses Abstandes sieht man die Funken zwischen den Spitzen an Helligkeit abnehmen, sogar schwächer werden als sie anfänglich waren, und zugleich hört man an dem zischenden Geräusch, dass in beiden Luftstrecken die Funken untermischt sind mit Büscheln.

Bei noch weiterer Vergrößerung des Abstandes zwischen den Kugeln wechseln in beiden Luftstrecken Funken und Büschel mit einander ab; und endlich kommt ein Punkt, von dem ab alle Funken verschwinden und nur noch Büschel und Glimmlicht in beiden Luftstrecken auftreten.

Größere Kugeln, z. B. von 39 Mm. Durchmesser, mußs man etwas weiter auseinander ziehen, um die Funken verschwindend zu machen; sonst sind die Erscheinungen denen bei kleineren Kugeln ähnlich.

Immer sind dabei die Entladungsweisen in beiden Luftstrecken einander gleich, man mag Funken erhalten oder nicht, rein oder untermischt. Niemals habe ich den Fall beobachten können, dass in der einen Luftstrecke Funken, und in der anderen Büschel erschienen wären.

In dem eben beschriebenen Versuch wurde der Abstand zwischen den Spitzen constant gehalten. Man kann ihn aber auch vergrößern, sobald man dem Abstand zwischen den Kugeln eine entsprechende Größe giebt, und dabei zeigt sich dann, daß die Funken eine ganz überraschende Länge erlangen können.

Ich habe nicht allein aus den erwähnten Hohlkegeln, sondern aus den feinsten Nadelspitzen Funken von drei Zoll Länge hervorschießen gesehen, wenn zugleich die Kugeln einen Abstand von einem Zoll besaßen. Sie waren heller als die Funken zwischen letztere, aber ihr eigenthümlich knarrend zischendes Geräusch zeigte, daß sie mit Büscheln untermischt waren.

Die zweite, von Kugeln begränzte Luftstrecke hat bei diesen Erscheinungen zunächst die Wirkung, dass sie eine stärkere Ladung der Flaschen gestattet als zwischen blossen Spitzen möglich ist; und es ist wohl klar, dass, wenn in dieser Luftstrecke eine Funken-Entladung stattfindet, eine solche auch nothwendig in der anderen Strecke, in der zwischen den Spitzen, eintreten mns, weil diese dadurch urplötzlich mit einer so großen Elektricitätsmenge versehen werden, dass sie gewaltsam ausbrechen muss.

Allein die Funkenbildung zwischen den Kugeln ist wiederum abhängig von der Größe der Luftstrecke zwischen den Spitzen, und diese Abhängigkeit anzugeben, möchte wehl ein schwieriges Problem seyn.

Wie sehr die Funkenbildung bei diesen Versuchen von der relativen und auch absoluten Größe der beiden Luftstrecken abhängt, läßt sich in recht anschaulicher Weise darthun, wenn man den gegenseitigen Abstand der Elektroden, also die Summe der beiden Luftstrecken constant läßt, und bloß ihr relatives Verhältniß durch Verschieben des beweglichen Stativs verändert.

Setzt man zuvörderst die Spitzen mit einander in Berührung, und giebt den Kugeln einen gegenseitigen Abstand von etwa drei Zoll, so erhält man zwischen den letzteren die gewöhnlichen Funken.

Rückt man nun, durch Fortschieben des Stativs, die Spitzen etwas auseinander, auch nur eine halbe oder ganze Linie, so verschwinden die Funken, und man erhält unter zischendem Geräusch in beiden Luftstrecken nur Büschelund Glimmlicht.

Dasselbe ist auch der Fall bei fernerer Vergrößerung des Abstandes zwischen den Spitzen, bis dieser auf Etwas über zwei Zoll angewachsen, der Abstand zwischen den Kugeln also auf ungefähr einen Zoll herabgekommen ist. Dann treten wiederum helle Funken auf, und zwar, wie immer, in beiden Luftstrecken, zwischen den Spitzen noch hellere und compactere als zwischen den Kugeln.

Ueber diese Gränze hinaus verschwinden die Funken abermals, um einem zischenden Büschel Platz zu machen, und dieser hält sich bis endlich, durch das fortgesetzte Verschieben des Stativs, die Kugeln mit einander in Berührung kommen und folglich die eine Luftstrecke annullirt wird.

Diess ist der Vorgang, wenn, wie gesagt, die eine der Luftstrecken nur durch Spitzen, und die andere nur durch Kugeln begränzt ist. Dreht man das Stativ um 180°, so das in beiden Luftstrecken der Spitze eine Kugel gegenübersteht, so bekommt man in keinem Falle Funken, die Kugeln mögen positive oder negative Elektricität ausströmen-

Je nach der Größe der Kugeln und der Größe des gegenseitigen Abstandes, den man ihnen anfänglich giebt, wenn die Spitzen einander berühren, sind die Erscheinungen etwas verschieden, jedoch in ihrem Gange ähnlich. Je kleiner dieser anfängliche Abstand ist, desto mehr müssen die Spitzen auseinander gebracht werden, um die Funken zu vernichten.

Es macht auch im Allgemeinen keinen Unterschied, ob die durch Kugeln begränzte Luftstrecke auf Seite der negativen oder positiven Elektrode liegt.

Es ist indess zu bemerken, dass wenn sie auf Seite der positiven Elektrode liegt, diese Elektrode um ein Gewisses kürzer gemacht ist als die negative, und der gegenseitige Abstand der Kugeln für den anfänglichen Fall, das die Spitzen sich berühren, eine gewisse Größe hat (etwa 1½ Zoll) die sonderbaren, bei Tageslicht kaum sichtbaren Funken

zum Vorschein kommen, welche neuerlichst Hr. Riess entdeckt, und schwache Funken genannt hat 1), die aber sogleich in hellleuchtende übergehen, so wie man den gegenseitigen Contact der Spitzen unterbricht.

Offenbar kann aus einer Spitze kein Funke hervorbrechen, wenn nicht zuvor das bekannte Zerstreuungsvermögen derselben auf irgend eine Weise unterdrückt worden ist. In den eben beschriebenen Versuchen mit zwei Luftstrecken, die man übrigens auch ohne Holtz'sche Maschine an einer gewöhnlich geladenen Leydner Flasche anstellen kann, wenn man derselben eine isolirte, abwärts in einer Kugel endende Nadel gegenüberstellt und dieser Kugel eine zweite, mit dem äußeren Belage verbundene Kugel nähert, wird diese Unterdrückung durch das plötzliche Ueberschlagen der Funken zwischen den Kugeln bewerkstelligt 1).

Es giebt indess noch andere Methoden, die zu demselben Ziele führen. Eine der einfachsten und wirksamsten ist folgende:

THE STATE OF THE S

Nachdem man bei der vorbin angewandten Vorrichtung die Luftstrecke zwischen den Kugeln annullirt hat, hält man eine Tafel von s. g. Kamm-Masse dicht vor der Nadelspitze, setzt die Maschine in Thätigkeit und zieht die Tafel hierauf rasch hinweg. Jedesmal wenn dieses geschieht, giebt die Nadel einen Funken, den ich auf diese Weise von mehr als drei Zoll Länge erhalten konnte, sobald sie die positive Elektrode bildete. Eine Glasscheibe, eine Holztafel, ja selbst eine isolirte Metallplatte wirkt ähnlich; nur muß sie immer

<sup>1)</sup> Diese Ann. Bd. 137, S. 451.

<sup>2)</sup> Riess erwähnt in seiner Elektricitätslehre, Bd. II, S. 558, Versuche, die ein Hr. Musgrave i. J. 1778 auf Veranlassung des Streites über die vortheilhasteste Gestalt der Blitzableiter angestellt hat. Diese Versuche streisen insosern an die hier beschriebenen, als dabei zwei durch eine Luststrecke getrennte Conductoren angewandt wurden, von denen der zweite Funken auf eine Spitze aussandte, wenn er solche von dem ersten erhielt. Von der Wirkung zwischen zwei Spitzen ist aber nicht die Rede, und ebensowenig wird die Abhängigkeit der Erscheinungen von der absoluten und relativen Größe beider Luststrecken in Betracht gezogen. Die Musgrave'schen Versuche machen also die gegenwärtigen durchaus nicht überstüssig.

einige Augenblicke vor der Spitze verweilen, ein blosses rasches Durchschlagen der Luftstrecke mit der Tafel ruft in der Regel keinen Funken hervor. Einleuchtend ist, das bei diesem Verfahren, sowohl das Vorhalten der Tafel, als das rasche Fortziehen derselben zur Funkenbildung mitwirken muß, ersteres, indem es die Elektricität auf der Spitze zurückhält, letzteres, indem es sie plötzlich der anziehenden Wirkung der gegenüberstehenden Elektrode aussetzt.

Schon das blosse ruhige Vorhalten der Tafel, ohne Fortziehen derselben, ruft Funken hervor, wenn sie dabei der Nadelspitze nahe ist und zugleich nicht mehr als höchstens ein Paar Zoll über die Linie hinausragt, welche die Spitze mit der gegenüberstehenden Elektrode verbinden würde. Es schlagen dann fortwährend Funken über den Rand, selbst bei einer Metallplatte, jedoch bei dieser schwieriger als bei den übrigen Tafeln.

Diese Methode, welche begreiflich auch auf die durch die gemeine Elektrisirmaschine vereinzelt geladene Flasche anwendbar ist, bietet demnach den zweiten oder, wenn man will, den dritten Fall dar, in welchem der von Saxtorph behandelte Satz nicht gültig ist.

Was übrigens in dem Bisherigen von den Flaschen-Entladungen gesagt ist, das gilt im Ganzen auch von den Entladungen, welche man bekommt, wenn man die Influenzmaschine mit großen Conductoren versieht. Nur muß man, da auf solchen Conductoren die Elektricität keine Verdichtung erfährt, also starke Neigung zum Entweichen hat, die Elektroden in großen Kugeln (von 40 Mm. Durchmesser etwa) endigen lassen und wenigstens 1 bis 1½ Zoll auseinander ziehen. Sonst häuft sich wenig Elektricität auf diesen Conductoren an und die Anwesenheit derselben hat nur geringen Einfluß auf die Entladungsweise zwischen den Elektroden, welche fast in derselben Form wie ohne sie erfolgt.

Unter den genannten Umständen aber bekommt man mit den Conductoren wahrhafte Funken, die sich gegen Spitzen genau so verhalten, wie die Entladungsfunken der Flaschen.

Man kann sie übrigens den Flaschenfunken beliebig nähern, wenn man sich der linsenförmigen Conductoren bedient, welche ich in den Monatsberichten von 1867 (S. 297) 1) beschrieben habe. Je näher man zwei solche Conductoren einander gegenüber aufstellt, jemehr man also den auf ihnen angehäuften Elektricitäten Gelegenheit giebt, verdichtend auf einander einzuwirken, desto mehr werden diese Funken den compacten Entladungsfunken der Flaschen ähnlich.

## XIV. Ueber Aetzfiguren und Asterismus am Doppelspath; von Dr. Heinrich Baumhauer.

In einer im Decemberheft v. J. dieser Annalen enthaltenen Mittheilung gab ich an, dass geätzte Hauptrhomboëderslächen von Kalkspath zuweilen eine Structur zeigen, welche die Zusammensetzung des ganzen Krystalls aus kleinen Rhomboëdern erkennen lasse. Auf der beigefügten Abbildung hatten die kleinen Rhomboëder die Lage, dass eine Kante der hervortretenden Rhomboëderecken nach dem Scheiteleck des ganzen Krystalls gerichtet war. Fortgesetzte Beobachtungen haben mich nun gelehrt, dass dabei durch die mikroskopische Betrachtung eine kleine optische Täuschung untergelaufen ist. Die geätzten Flächen verhalten sich nämlich im durchfallenden Lichte wie die bekannten Lithophanien, wobei das Vertiefte erhaben und das Erhabene vertieft erscheint. Es liegen also die als erhöht betrachteten Rhomboëderecken in Wirklichkeit vertieft, wodurch sich das wahre Structurbild gegen den Scheitel des ganzen Krystalles einfach umkehrt. Die vertieften Ecken entstehen aus anfangs gebildeten dreiseitigen Vertiefungen. Daraus erklärt

<sup>1)</sup> Diese Ann. Pd. 132, S. 132.

sich auch leicht, weshalb der Asterismus unter beiden Structurverhältnissen wesentlich derselbe ist.

Etwas Bestimmtes über die relative Lage der hervorstehenden Ecken anzugeben, ist zum mindesten sehr schwer. Die Concentration der Säure und die Dauer ihrer Einwirkung sind nämlich von Einfluss auf die Winkel derselben, so dass, abgesehen von den optischen Schwierigkeiten, eine krystallographische Bestimmung fast unmöglich erscheint.

In einem der folgenden Hefte werde ich die Resultate meiner weiteren Untersuchungen über Aetzfiguren und Asterismus mittheilen.

## XV. Ueber eine neue fluorescirende Substanz; von John Parnell.

(Phil. Magaz. 1869, August p. 137.)

Wenn Anilin mit Quecksilberchlorid erhitzt wird, so bildet sich, außer Anilinroth, in nicht unbeträchtlicher Menge eine Substanz, welche eine so merkwürdige Fluorescenz besitzt, daß ich, da ich noch keine Notiz über sie habe finden können, nur glauben kann, sie sey bisher unbeachtet geblieben. Die durch den erwähnten Process erhaltene rohe Masse, zerrieben, mit Wasser gemischt und mit Aether gewaschen, giebt eine ätherische Lösung, welche im concentrirten Zustand eine Fluorescenz zeigt, die, glaube ich, von der keines bekannten Körpers übertroffen wird 1). Auf diese Weise backt jedoch die Substanz leicht zusammen, so daß es schwer hält die besagte Substanz, welche ich Fluoranilin nennen will, vollständig auszuziehen. Eine bessere Methode scheint die zu seyn, daß man die rohe Masse

Ich habe nicht Gelegenheit gehabt, die neue grün fluorescirende Flüssigkeit zu untersuchen, welche kürzlich Hr. Würtz durch einen ganz anderen Process erhalten hat,

in verdünnter Chlorwasserstoffsäure löst, Ammoniak in Ueberschuss hinzusetzt, und dann mit Aether wäscht. Die so erhaltene ätherische Lösung muß wiederholt mit Wasser gewaschen werden, bis das Waschwasser nicht mehr nelkenroth wird. So gereinigt besitzt sie eine grünlich gelbe Farbe und zeigt eine grüne Fluorescenz. Lässt man sie freiwillig eintrocknen, so besteht der Rückstand aus zwei amorphen Substanzen, einer rothen und einer orangefarbenen, welcher letzterer die Fluorescenz anzugehören scheint. Es ist mir bisher nicht gelungen, die rothe Substanz vollständig zu entfernen, allein es glückt in großem Maasse, wenn man die ätherische Lösung mit verdünnter Chlorwasserstoffsäure wäscht (welche das rohe Fluoranilin vollständig auszieht), mit Zink reducirt, Ammoniak in Ueberschuss zusetzt, mit Aether auszieht, und erforderlichenfalls den Process wiederholt. Aus Anilinroth, welches die HH. Maule und Nicholson durch einen mir unbekannten Process dargestellt hatten, wurden an 10 Proc. rohes Fluoranilin gewonnen. Wenn man die ätherische Lösung des Fluoranilins freiwillig verdunsten lässt, bis aller Aether davon gegangen ist, und sie dann im Wasserbade erhitzt, um den kleinen Rückstand von Wasser auszutreiben, so entwickelt sich ein starker Pfeffermunz-Geruch. Verstärkt man die Hitze, so verstüchtigt sich eine Substanz, die zu einer dunkelbraunen, in Aether unlöslichen Masse erstarrt, und bei noch fernerer Erhitzung entwickelt sich Cyanwasserstoffsäure.

Das Fluoranilin ist in kaltem Wasser fast unlöslich, in heißem jedoch etwas löslich, und fällt beim Erkalten daraus nieder. Es ist löslich in verdünnter Chlorwasserstoffsäure, Salpetersäure (zur Unterscheidung von Chrysanilin) Schwefelsäure und Essigsäure, fluorescirende Lösungen mit ihnen bildend; es wird nicht vom Schwefel-Ammonium angegriffen, aber ein wenig von unterchlorigsaurem Kalk. Die alkoholische Lösung ist viel dunkler als die ätherische, und nicht so fluorescirend; allein ein Zusatz von Alkohol zu einer Lösung des Fluoranilin in Chlorwasserstoffsäure verstärkt

die Fluorescenz; und in der That wurde ich zuerst auf diese Substanz aufmerksam, als ich jene Säure zu einer alkoholischen Lösung von Anilinroth hinzusetzte. Die Fluorescenz dieser Substanz ist sehr merkwürdig. durch eine Quarzlinse konisch gemachtes Bündel Sonnenlicht auf eine concentrirte ätherische Lösung geworfen wird, so werden alle Strahlen, welche Fluorescenz zu entwickeln vermögen, an der Oberfläche absorbirt, so dass kein Lichtkegel in der Flüssigkeit sichtbar ist; allein in einer verdünnten Lösung entsteht ein glänzender grüner Kegel. Die Farben der ätherischen Lösung und deren Fluorescenz haben eine merkwürdige Aehnlichkeit mit denen des Uranglases, jedoch mit dem Unterschied, dass, wenn man das Fluorescenzlicht in einem Spectroskop untersucht, das Spectrum des Fluoranilins sich continuirlich erweist, während bekanntlich das des Uranglases discontinuirlich ist.

## Nachschrift.

Seit der Abfassung des obigen Aufsatzes hat der Verf. in dem mit Zinnchlorid dargestellten Anilinroth eine andere dem Fluoranilin verwandte fluorescirende Substanz entdeckt. Das Fluorescenzspectrum besteht aus Roth, einer sehr hellen grünen Zone und nur etwas Blau. Für das unbewaffnete Auge hat die Fluorescenz eine kalte blaue Farbe.

## DER PHYSIK UND CHEMIE. BAND CXXXIX.

 Ueber den Gang elektrischer Inductions- und Disjunctions-Ströme durch Gase von verschiedener Dichtigkeit und zwischen Polen von verschiedener Form; von E. Edlund.

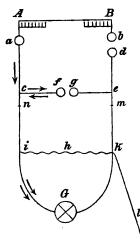
(Vorgetragen in der k. schwedischen Akademie der Wissenschaften zu Stockholm den 13. October 1869.)

1. Der Kürze wegen werde ich in dem Folgenden für die Ströme, welche in dem galvanischen Lichtbogen oder in dem elektrischen Funken entstehen, die Benennung elektrische Disjunctions-Ströme anwenden, und im Zusammenhang hiermit die Kraft, welcher dieselben ihren Ursprung verdanken, die elektromotorische Kraft der Disjunction nennen. Dieser Name deutet darauf hin, dass zum Hervorbringen dieser Ströme die Leitung abgebrochen seyn muss, damit ein Lichtbogen oder Funken entstehen könne, so wie auch, dass die Pole, zwischen denen das Licht Phänomen gebildet wird, mechanisch zerrissen werden. 1)

Bei der Untersuchung benutzte ich dieselbe Elektrophor-Maschine, die bei meinen frühern Versuchen über diese Ströme angewandt wurde. Mit der Kugel a (siehe nachstehende Figur), auf dem einen Einsauger, ist ein isolirter Kupferdraht ac direct verbunden, dagegen schließt

1) Im Nachfolgenden werde ich den Ausdruck "Zerreibung der Pole« anwenden, um die ganze mechanische Arbeit, die der Strom im Fanken verrichtet, zu bezeichnen, obgleich diese Arbeit nicht allein zur Zerreibung der Pole, sondern auch, um den abgerissenen Partikeln ihre Geschwindigkeit zu geben, die Lustmassen in Bewegung zu setzen, u. a. verwendet wird.

der isolirte Kupferdraht de mit einer Messingkugel in der Nähe von b. Von c-und e gehen isolirte Leitungsdrähte



zu den Kugeln f und g. andere Leitungsdrähte gehen von den Punkten c und e zum Galvanometer G, von welchem Instrument ich schon früher eine Beschreibung gegeben. Die Brücke h, welche aus einem Neusilberdrate besteht, verbindet Punkte i und k mit einander; l ist ein Ableitungsdraht zur Erde und m ein, aus einem feinen Neusilberdrahte bestehender Rheostat. Die Ausschläge, welche die Galvanometer-Nadel zeigt, wenn die Maschine in Wirksamkeit gesetzt ist, werden durch drei ver-∖ schiedene Ströme verursacht, näm-

lich: 1) den Theil des Entladungsstroms der Maschine, welcher durch die Galvanometer-Rolle geht, 2) den Disjunctions Strom, welcher in dem Funken zwischen f und g entsteht, und 3) durch die Inductions-Ströme, welche bei der Entladung in der Galvanometer-Rolle hervorgebracht Was den ersten Strom betrifft, so ist derselbe unter gewöhnlichen Verhältnissen im Vergleich zu den übrigen so unbedeutend, dass man keine Rücksicht darauf zu Dagegen giebt der Disjunctions-Strom nehmen braucht. einen bedeutenden Ausschlag; aber dieser wird im hohen Grade vermindert, wenn die Inductions-Ströme von der Galvanometer-Rolle den Funken zwischen f und g durchlaufen. Wie ich schon in einem vorhergehenden Aufsatze gezeigt habe 1), wirkt nämlich der Funke wie ein elektrisches Ventil, das ist: er lässt den einen der beiden gleich großen, aber in entgegengesetzter Richtung gehenden In-

<sup>1) »</sup>Oefversigt af Vet. Academiens Förhandl.« 1868. p. 457. Pogg. Ann. Bd. 186, S. 337.

ductions-Ströme in größerer Portion durchgehen als den andern. Der hierdurch entstehende Unterschied der beiden Inductions-Ströme wirkt deshalb auf die Magnetnadel ein. und diess geschieht immer auf eine solche Weise, dass der vom Disjunctions-Strome verursachte Ausschlag vermindert wird. Will man also die Größe der Disjunctions-Ströme unter verschiedenen Verhältnissen untersuchen, so muß man die Versuche so anordnen, dass die Wirkung der Inductions-Ströme auf die Magnetnadel so viel wie möglich aufgehoben wird. Diess lässt sich am leichtesten dadurch zu Stande bringen, dass eine Brücke zwischen den Punkten i und k gelegt wird. Dann geht nur ein Theil des Entladungsstromes von der Maschine durch die Galvanometer-Rolle, und die Induction wird aus diesem Grunde schwächer; überdiess gehen von den beiden entgegengesetzten Inductions-Strömen gleiche Theile durch die Brücke, wodurch ihre Wirkung auf die Magnetnadel aufgehoben wird. Nur der Theil der beiden Ströme, welcher durch den Funken geht, kann eine Wirkung auf die Magnetnadel ausüben. Damit dieser Theil so gering wie möglich werden möge, muss der Widerstand in der Brücke im Verhältniss zu dem im Rheostat und im Funken zusammen geringe seyn. Aber in demselben Maasse wie der Widerstand in der Brücke vermindert wird, wird auch der Ausschlag des Disjunctions-Stromes verringert, weil dieser dann seinen Weg mehr und mehr durch die Brücke statt durch das Galvanometer nimmt. Der Widerstand in der Brücke darf deshalb nicht geringer gemacht werden, als dass die Wirkung der Inductions-Ströme auf die Magnetnadel eben gerade unmerklich wird.

Nach angestellten Versuchen ergab es sich, das ein Neusilberdraht von 27 Centimeter Länge und 0,7 Millimeter Durchmesser diese Bedingungen erfüllte, und derselbe wurde deshalb als Brücke vor das Galvanometer gesetzt. Das die Wirkung der Inductions-Ströme auf die Magnetnadel hierdurch unmerkbar wurde, ließ sich auf folgende Art beweisen: Eine Inductions-Rolle (R), genau von derselben Be-

schaffenheit, wie die Galvanometer-Rolle, wurde in die Leitung zwischen m und h eingefügt, und vor dieselbe als Brücke ein Neusilberdraht, von derselben Länge und demselben Durchmesser wie der vorige, gesetzt. Die Galvanometer-Rolle und die Rolle R befanden sich also beide in gleicher Lage: sie mussten gleich große Inductions-Ströme hervorbringen, und von diesen mussten gleich große Theile die respectiven Brücken durchgehen. Kann es also bewiesen werden, dass die Inductions-Ströme von der Rolle R keinen Einfluss auf den Ausschlag der Magnetnadel haben, wenn die Brücke sich vor der Rolle befindet, so gilt dieser Beweis auch für die Galvanometer Rolle. Von den angestellten Beobachtungen mögen hier folgende angeführt werden, wobei noch zu bemerken ist, dass der Widerstand in den Leitungsdrähten und im Funken im Verhältnis zu dem in der Rolle und in dem ebengenannten Neusilberdrahte so groß war, dass man auf letzteren keine Rücksicht zu nehmen brauchte.

Versuch 1. Der Neusilberdraht in der Leitung zwischen m und k. Wenn die Maschine in Bewegung gesetzt war, erhielt man folgende Ausschläge:

35,5 Scalentheile

35,5

Mittel 35,5.

Versuch 2. Die Rolle R in der Leitung zwischen m und k, so dass der Neusilberdraht die Brücke zu derselben bildete.

Ausschläge: 35,8
37,6
Mittel 36,7.

Versuch 3. Um nachzusehen, ob irgend eine Veränderung in der Maschine vorgegangen, wurde der erste Versuch wiederholt.

Ausschläge. 34,3 37,3

Mittel 35,8.

Wenn die Rolle R mit der Brücke versehen war, wurde also kein Zeichen von Induction bemerkt. War dagegen die Brücke fortgenommen, so wurde der Ausschlag um mehr als die Hälfte verringert.

Nachstehende Versuche wurden auf dieselbe Weise wie die vorhergehenden angestellt, nachdem der Widerstand im Rheostat verdoppelt war.

Versuch 4. Der Neusilberdraht in der Leitung.

Ausschläge: 20,5
21,5
21,5
Mittel 21,2.

Versuch 5. R nebst dem Neusilberdrahte eingesetzt der letztere als Brücke zu der ersteren.

Ausschläge: 21,6 20,5 Mittel 21,0.

Versuch 6. Derselbe Versuch wie No. 4.

Ausschläge: 22,8 22,1 Mittel 22,4.

Diese Reihe gab also dasselbe Resultat wie die erste.

Um die Beschaffenheit der elektromotorischen Kraft der Disjunction zu untersuchen, wenn der Funken sich in verschiedenen, mehr oder weniger verdünnten Gasen, bildete, wurde ein Glas-Cylinder, 12 Centimeter lang und 7,0 Centimeter im Durchmesser, angewandt. An den beiden Enden des Cylinders konnten Deckel von Messing luftdicht festgeschroben werden. In der Mitte jedes Deckels war eine Stopfbüchse, durch welche eine runde Messingstange luftdicht hin und her geschoben werden konnte. Auf den innern Enden dieser Messingstangen wurden die Polstücke, die bei den Versuchen angewandt wurden, festgeschroben.

Die äußern Enden waren mit Klemmschrauben zur Befestigung der Leitungsdrähte versehen, und die eine Stange war ihrer Länge nach in Millimeter getheilt, um den Abstand zwischen den Polen zu bestimmen. Die Messingstangen waren von den Deckeln und den Stopfbüchsen isolirt. Auf dem einen dieser Messingdeckel war eine, mit einem Hahn versehene Messingröhre festgeschroben, welche an dem andern Ende mit einem Schraubengewinde, das zu einer Luftpumpe paßte, versehen war. Die Röhre war rechtwinklich gebogen, so daß der Glas-Cylinder bei den Versuchen eine horizontale Lage hatte.

Um mich zu überzeugen, ob die Brücke gehörigen Dienst leistete, wenn der Funken sich in verdünnter Luft bildete, wurde der Glas-Cylinder zwischen die Punkte c und e gesetzt, und die Luft bis zu einem Drucke von 15 Millimeter ausgepumpt. Der Funke bei fg bildete sich also nun in verdünnter Luft.

Versuch 7. Der Neusilberdraht in der Leitung.

Ausschläge: 15,7
15,7
Mittel 15,7.

Versuch 8. R nebst dem Neusilberdrahte eingesetzt, der letztere als Brücke zu der ersteren.

Ausschläge:
13,8
13,0
Mittel 13,4.

Versuch 9. Gleich mit No. 7.

Ausschläge:
12,0
12,7
15,5
Mittel 13,4.

Eine deutliche Wirkung der Inductions-Ströme konnte also nicht beobachtet werden, und dasselbe Verhältnifs fand auch statt, wenn die Luft bis zu einem Drucke von 6 Millimeter ausgepumpt wurde. Bei allen nachfolgenden Versuchen blieb die Brücke auf derselben Stelle vor dem Galvanometer stehen. Die erhaltenen Ausschläge waren also unabhängig von den Inductions-Strömen der Galvanometer-Rolle. Wenn im Folgenden nichts anders angegeben wird, bestanden die Pole aus zwei gleich großen Messingkugeln.

2. Vergleichung zwischen trockner und mit Feuchtigkeit gesättigter atmosphärischer Luft.

Die Luft wurde auf die Weise getrocknet, dass sie vor ihrem Eintritt in den Glascylinder langsam durch zwei Glasgefäse, die mit von concentrirter Schwefelsäure durchdrungenen Bimsteinstücken gefüllt waren, und darauf durch eine mit Chlorcalcium angefüllte Röhre geleitet wurde. Gefeuchtet wurde die Luft dadurch, dass sie eine längere Glasröhre, welche in Wasser getränkte Papierstücke enthielt, durchgehen musste.

Versuch 10. Mit Feuchtigkeit gesättigte Luft im Glascylinder.

Ausschläge: 36,8 37.3 42,3 40,3 Mittel 39,2. Versuch 11. Trockne Luft. Ausschläge: 49,7 52,0 53,0 Mittel 51.6. Versuch 12. Gleich mit No. 10. Ausschläge: 41,8 44,3 39,6 Mittel 41,9.

Unter etwas veränderten Verhältnissen gab eine andere Beobachtungsreihe folgende Resultate:

Versuch 13. Mit Feuchtigkeit gesättigte Luft.

Ausschläge: 35,8 35,3 38,3 Mittel 36,5.

Versuch 14. Trockne Luft.

Ausschläge: 44,5
42,0
42,0
Mittel 42,8.

Versuch 15. Gleich mit No. 13.

Ausschläge: 34,5 34,0 35,5 Mittel 34,7.

Der Ausschlag wird also in trockner Luft immer größer als in der, welche mit Feuchtigkeit gesättigt ist. Auch wenn trockne Luft mit der Luft im Arbeitszimmer, die bei weitem nicht mit Feuchtigkeit gesättigt war, verglichen wurde, war der Ausschlag größer in der trocknen Luft. Bei einem Versuche hierüber erhielt man für die getrocknete Luft einen Ausschlag von 8, und für die nicht getrocknete einen Ausschlag von 6,1 Scalentheilen.

Es scheint nicht leicht zu seyn, die Ursachen vollständig darzulegen, warum man den größern Ausschlag erhielt, wenn der Funken in trockner Luft gebildet wurde. Folgender Umstand dürfte jedoch hierbei in Betracht zu ziehen seyn. Für die Funkenbildung in trockner Luft ist es erforderlich, daß die elektrische Dichtigkeit auf den Polflächen größer ist, als wenn die Luft feucht ist. Vor der Funkenbildung wächst die elektrische Dichtigkeit auf den Polflächen, bis

sie hinreichend groß ist, um die Luftschicht zwischen ihnen zu durchbrechen. In feuchter Luft erscheint deshalb der Funke früher bei geringerer elektrischer Dichtigkeit. Dadurch wird die Zerreibung der Polstächen geringer, welches eine Verminderung der elektromotorischen Kraft der Disjunction zur Folge hat. Da das Leitungsvermögen des Funkens ohne Zweifel von der Menge der losgerissenen Metallpartikel abhängig ist, so wird auch dieses dadurch geringer. Wenn nun zu gleicher Zeit eine Verminderung der elektromotorischen Kraft und des Leitungsvermögens stattfindet, falls die Luft feucht ist, so muß eine Abnahme in der Größe des Ausschlages daraus erfolgen. Das Verhältnißs mit verdünnten Gasen scheint für dieselbe Erklärungsart zu sprechen.

Versuch 16. Der Glascylinder wurde mit Kohlensäure gefüllt, ausgepumpt, und von neuem mehrere Male gefüllt, bis man sicher seyn konnte, dass er keine Luft mehr enthielt. Die Kohlensäure, welche aus Marmor und Salzsäure bereitet wurde, und bei angestellter Probe erwies, dass sie kaum merkbare Spuren von fremden Gasen enthielt, wurde vor ihrem Eintreten in den vorhin genannten Apparat getrocknet. Die Polkegel im Glascylinder mussten nahe zusammengeschoben werden, weil der Funke sonst nicht überspringen wollte, da der Cylinder mit Kohlensäure angefüllt war. Diess ist die Ursache, dass die Ausschläge relativ klein wurden.

Mit Kohlensäure erhielt man nun folgende Ausschläge:

16,3 13,3 15,3 16,8 Mittel 15,4.

Versuch 17. Der Glascylinder war mit Luft gefüllt, (nicht getrockneter).

Ausschläge: 6,2 6,2 7,2 Mittel 6,5.

Versuch 18. Gleich mit No. 16.

Ausschläge: 17,0 15,5 14,0 Mittel 15,5.

Einige andere Beobachtungen gaben dasselbe Resultat, nämlich einen bedeutend größern Ausschlag für Kohlensäure als für Luft.

Versuch 19. Der Glascylinder wurde mit Wasserstoff gefüllt, der vor dem Eintreten in den Cylinder getrocknet worden. Damit erhielt man folgende Ausschläge:

> 13,5 11,5 11,5 Mittel 12,2.

Versuch 20. Der Cylinder war mit Luft gefüllt.

Ausschläge:
6,0
5,5
5,7
Mittel 5,7.

Versuch 21. Gleich mit No. 19.

Ausschläge: 14,3 15,3 14,8 Mittel 14,8.

Auch mit Wasserstoff war der Ausschlag also bedeutend größer als wit Luft. War dagegen der Cylinder mit Leuchtgas gefüllt, so wurde der Ausschlag nur unbedeutend größer, als mit atmosphärischer Luft. Mit der ersteren Gasmischung erhielt man den Ausschlag 13,5 und mit der letzteren 11,9.

3. Um die Abhängigkeit des Disjunctionsstromes von der Dichtigkeit des Gases, worin der Funken gebildet wird,

zu erforschen, wurden Versuche mit atmosphärischer Luft, Kohlensäure und Leuchtgas angestellt. Die beiden erstgenannten waren getrocknet, das letztere dagegen nicht. Nur die erhaltenen Mittelzahlen mögen hier angeführt werden.

Der Druck im Glascylinder	1 Atm.	140 <sup>mm</sup>	80 <sup>mm</sup>	40 <sup>mm</sup>	20 <sup>mm</sup>	4 <sup>mui</sup>
•		7,0	15,8	20,6	20,9	65,9
Ausschläge } für atm. Luft	42,7	6,5	13,7	-		56,1
		6,3	13,7			
			17,4			
Mittel:	44,4	6,6	15,2	20,6	20,9	61,0.

Wenn der Druck von 1 Atmosphäre bis 140<sup>mm</sup> vermindert wurde, nahm der Ausschlag von 44,4 bis 6,6 Scalentheilen ab, worauf er sich wieder erhöhte, bis er endlich für 4<sup>mm</sup> Druck größer wurde, als für 1 Amosphäre.

Die Versuche mit der getrockneten Kohlensäure führten zu einem analogen Resultate; der Ausschlag wurde am geringsten bei 140<sup>mm</sup> Druck, worauf er wieder anfing zuzunehmen.

Der Druck im Glascylinder	1 Atm.	140 <sup>mm</sup>	80 <sup>mm</sup>	40 <sup>mm</sup>	20 <sup>mm</sup>	7 <sup>mm</sup>
Ausschläge für)		3,4	15,1	7,0	11,9	15
Kohlensäure		5,0	19,9	8,7	16,5	
Mittel:	23,6	3,2	17,8	7,9	14,2	15,0.

Bei Leuchtgas zeigte sich ebenfalls ein Abnehmen im Ausschlage, wenn der Druck vermindert wurde, obgleich die Variationen hier nicht so groß wurden wie bei den beiden vorhergehenden Gasen. Für diese Gasmischung erhielt man folgendes Resultat:

Der Druck im Glascylinder	1 Atm.	140 <sup>mm</sup>	80 <sup>mm</sup>	40 <sup>mm</sup>	20 <sup>mm</sup>	6 <sup>m w</sup>	
Ausschläge )	40,1	28,6	<b>23</b> ,8		21,8	41,9	
für Leuchtgas	39,2	27,1	26,3	24,9	25,0	49,3	
Mittel:	39,7	27,9	25,1	24,9	23,4	45,6.	_

Dass die Ausschläge erst ab- und hernach wieder zunehmen, wenn der Druck vermindert wird, deutet darauf hin,

dass der Ursachen zu diesen Variationen mehre sind. Die Größe der Ausschläge ist von der elektromotorischen Kraft, von dem Leitungsvermögen des Funkens und seiner Dauer abhängig. Dass' die elektromotorische Kraft mit dem Drucke abnimmt, folgt daraus, dass die Abreibung der Polssächen geringer wird, je nachdem das Gas sich verdünnt, weil die elektrische Dichtigkeit der Polslächen, die für die Funkenbildung erforderlich ist, mit dem Drucke vermindert wird 1). Wenn nun das Leitungsvermögen des Gases, wie wahrscheinlich ist, zunimmt, und die Dauer des Funkens wächst, wenn das Gas verdünnt wird, so enthält das gefundene Resultat, dass die Ausschläge zuerst abnehmen und hernach wieder wachsen, eben nichts Unerklärliches. Es erfordert jedoch noch weitere Untersuchungen, um mit Bestimmtheit entscheiden zu können, ob die angedeutete Erklärungsart annehmbar sey.

Im Zusammenhang hiermit wurden auch Versuche mit einigen » Geißeler'schen « Röhren gemacht, um nachzusehen, ob man den Disjunctionsstrom darin wahrnehmen könnte. Drei derselben, wovon eine, der Außechrift nach, Sauerstoff, eine andere Wasserstoff, und die dritte Chlor enthielt, zeigten ganz deutliche Ausschläge; wogegen eine andere, die Kohlensäure enthielt, so wie eine ohne Außechrift, keinen gültigen Beweis für das Daseyn eines Disjunctionsstromes gaben.

- 4. Bekanntlich bringt der galvanische Strom in Volta's Lichtbogen eine stärkere Abreibung des positiven als des negativen Poles zu Stande. Wenn man zwei gleiche Pol-
  - 1) In einem frühern Aufsatze habe ich ohne experimentale Beweise angenommen, dass der elektrische Funke keiner bemerkbaren Veränderung
    unterworfen sey, wenn ein galvanischer Strom in der einen oder andern
    Richtung hindurchgeht, und auf diese Annahme habe ich eine Methode
    gegründet, die elektromotorische Krast der Disjunction direct zu messen.
    Diese Annahme hat sich als unrichtig erwiesen. Der Funke erleidet
    eine bedeutende Veränderung durch den Durchgang des galvanischen
    Stromes, so dass die erhaltenen Bestimmungen nur sür den Fall, dass
    ein galvanischer Strom den Funken durchläuft, als gültig angesehen
    werden können.

flächen zwischen denen die Entladung aus der Elektrophormaschine eine Zeit lang stattgefunden, genau betrachtet, so ist es leicht, die positive Polsläche von der negativen zu unterscheiden, weil die erstere mehr verändert erscheint, als die letztere. Die positive Elektricität ist also bei der Zerreibung am wirksamsten. Da die positive Elektricität leicht aus einer scharfen Spitze ausströmt, ohne dabei eine stärkere Zerreibung zu verursachen, so muss hieraus folgen, dass, wenn der eine Pol aus einer Spitze und der andere aus einer Planscheibe besteht, winkelrecht gegen die Entladungsrichtung gestellt, die Zerreibung am stärksten wird, wenn der positive Strom von der Scheibe zur Spitze geht. Wenn die Entladung durch den Funken von der Scheibe zur Spitze geht, ist es also zu erwarten, dass der Disjunctionsstrom stärker werden müsse, theils, weil die elektromotorische Kraft der Disjunction mit der Abreibung wächst, theils auch, weil die Menge der von den Polen losgerissenen Partikel größer, und deshalb das Leitungsvermögen des Funkens besser ist.

Um die Richtigkeit des hier Gesagten zu prüfen, wurde auf der einen der beiden Metallstangen des Glascylinders eine runde Messingscheibe, 2,7<sup>mm</sup> im Diameter, befestigt, und auf dem Ende der andern Stange eine konisch scharf geformte Spitze von Messing geschroben. Die Versuche wurden in einem mit Luft gefülltem Raume ausgeführt.

Versuch 22.

	т.	Die Scheibe	Die Scheibe	Die Scheibe
	-	negativ.	positiv.	negativ.
•	(	28,9	36,6	27,4
)	)	27,9	34,1	<b>25,9</b>
Ausschläge	· )	27,4	31,9	24,6
	(	24,0	34,1	25,4
****	Mittel:	27,1	34,2	<b>2</b> 5,8.

Versuch 23. Darnach wurden folgende Beobachtungen angestellt, nachdem die Maschine etwas verändert, und die Leitungen umgewechselt waren, so dass die Ausschläge nach der entgegengesetzten Seite erfolgen musten:

	Die Scheibe negativ.	Die Scheibe positiv.	Die Scheibe negativ.
	( 35,4	47,3	36,5
A	34,7	46,3	36,7
Ausschläge	34,0	44,3	<b>35,7</b>
	(-	42,0	36,2
	Mittel: 34,7	45,0	36,3.

Versuch 24. Die konische Messingspitze wurde entfernt, und an ihrer Stelle eine 3 Centim. lange Glasröhre, welche ein Platindraht von einem Millimeter im Durchmesser dicht umschloß, festgeschroben. Der Draht reichte gerade bis zu der Endfläche der Glasröhre. Hiermit wurden drei Versuchsreihen angestellt, wobei die Länge des Funkens 1, 2 und 3 war. Es ist hinreichend, hier nur die letzten Mittelzahlen anzuführen.

	Länge des	Die Scheibe	Die Scheibe
•	Funkens.	positiv.	negativ.
(	1 <sup>mm</sup>	12,0	8,1
Ausschläge	2 <sup>mm</sup>	26,2	19,2
(	3 <sup>mm</sup>	47,5	37,6.

Aus den Versuchen 22 bis 24 geht mit Bestimmtheit hervor, dass die Disjunctionsströme am stärksten werden, wenn die positive elektrische Entladung von der Scheibe zur Spitze geht. Wie gesagt, ist die Ursache die, dass in diesem Falle die Zerreibung der Polslächen am stärksten ist. Es ist klar, dass der Unterschied zwischen den beiden Disjunctionsströmen geringer werden muss, wenn man statt einer Scheibe von Messing eine ähnliche von einem andern Metalle anwendet, welches leichter zu zerreiben ist, so dass die mechanische Arbeit, welche die Entladung verrichtet, um die Zerreibung zu bewerkstelligen, unbedeutender wird. Wenn man statt der Messingscheibe eine Quecksilberfläche anwendet, so besteht die mechanische Arbeit, welche die Entladung in den Funken verrichtet, größtentheils darin, den Quecksilberpartikeln ihre Geschwindigkeit bei der Trennung von der Fläche zu geben. Um dieses zu untersuchen, wurden folgende Versuchsreihen angestellt.

Versuch 25. Die vorhin benutzte konische Messingspitze wurde vertical über eine Porcellanschale, welche mit Quecksilber gefüllt war, gestellt. Das Quecksilber war durch einen Leitungsdraht mit dem Punkte e und die Spitze mit dem Punkte c verbunden. (Siehe die Figur S. 354). Hieraus ergaben sich folgende Resultate:

	Quecksilber	Quecksilber	Quecksilber
	positiv	negativ	positiv
Ausschläge ( im Mittel: )	37,2	43,0	40,1.

Hier war also der Ausschlag größer, wenn das Quecksilber negativ war; bei den vorhergehenden Versuchen war das Verhältniß umgekehrt. Die elektromotorische Kraft der Disjunction muß also bei der Funkenbildung zwischen Quecksilberpolen geringer seyn, als zwischen Polen von Messing. Dieses wird durch nachfolgende zwei Versuchsreihen bestätigt.

Versuch 26. Die konische Messingspitze wurde entfernt, und eine Messingkugel, 17<sup>mm</sup> im Durchmesser, eingesetzt, die, wie besondere Versuche zeigten, ungefähr gleich mit einer Scheibe von oben genannter Größe wirkte. Hierbei erhielt man in zwei von einander unabhängigen Beobachtungsreihen:

	Ouecksilber negativ	Quecksilber positiv	Quecksilber negativ
Ausschläge (	51,8	35,9	51,9
im Mittel:	28.4	16,9	29,2.

Folglich wurden die Ausschläge bedeutend geringer, wenn der positive Entladungsstrom durch den Funken von der Quecksilbersläche zu der Messingkugel ging.

Gegen oben stehende Versuche könnte man die Bemerkung machen, dass die Quecksilbersläche nicht ihre ebene Form beibehält, während der Funken überspringt, sondern sich in Form einer Spitze gegen den gegenüberstehenden Pol erhebt. Der geringere Ausschlag, wenn die positive Entladung von der Quecksilbersläche zur Kugel geht, würde also unter dieser Voraussetzung dadurch verursacht werden,

dass die Entladung von der Spitze zur Kugel ginge. Aber eine solche Erhöhung der Quecksilberfläche konnte nicht wahrgenommen werden. Uebrigens würde der Ausschlag, wenn man auch annähme, dass sich sogar eine Spitze von derselben Ausdehnung wie die Messingspitze bildete, nicht so geringe werden können, wie er sich erwies, falls die Entladung von dem Quecksilber zur Kugel ging, wenn man nicht zugleich auch annähme, dass das Quecksilber selbst dazu mitwirke, den Ausschlag geringer zu machen. Versuche zeigen nur, dass die elektromotorische Kraft der Disjunction zwischen Quecksilberpolen geringer ist als zwischen Polen von Messing; aber das wirkliche Verhältniss zwischen diesen Kräften kann durch dieselben nicht gefunden werden. Um das Verhältniss, wenn beide Pole aus Ouecksilber bestehen, zu untersuchen, wurde auf folgende Weise verfahren:

Zwei mit Hähnen und Ablaufsröhren im Boden versehene Glasgefässe wurden mit Quecksilber gefüllt und so nebeneinander gestellt, dass wenn die Hähne geöffnet wurden, die heraussliessenden Quecksilberstrahlen so nahe an einander kamen, dass ein Funke zwischen ihnen überspringen konnte. Das Quecksilber wurde in zwei abgeschiedenen Räumen eines darunter stehenden Glasgefäses aufgefangen. Wenn das eine Gefäs mittelst eines Leitungsdrahtes mit dem Punkte e und das andere mit dem Punkte e verbunden war, erhielt man, sobald die Maschine in Bewegung kam, so deutliche Ausschläge, dass über die elektromotorische Eigenschaft des Quecksilbers in fraglicher Hinsicht kein Zweisel obwalten konnte.

Dieselben Versuche wurden wiederholt, nachdem die Glasgefäse statt des Quecksilbers mit schwefelsäurehaltigem Wasser gefüllt waren. Obgleich ein schwacher Funken, der sehr gut im Dunkeln sichtbar war, zwischen den beiden Wasserstrahlen übersprang, wurden doch keine deutlichen Ausschläge, welche dem Disjunctionsstrome zugeschrieben werden konnten, bemerkt. Ungeachtet dieses negativen Resultates zweisle ich doch nicht daran, das das Wasser in

dieser Hinsicht elektromotorisch ist, obgleich die Mittel, die mir zu Gebote standen, nicht zweckmäßig waren, um dieses zu zeigen.

In einem früheren Aufsatze habe ich bewiesen, daß, 5. wenn die Inductionsströme, welche durch Elektro-Induction entstehen, Gelegenheit bekommen, einen elektrischen Entladungsfunken zu durchlaufen, diejenigen Ströme, welche den Funken in derselben Richtung wie der Entladungsstrom zu durchlaufen suchen, denselben am leichtesten zu durchdringen vermögen. Der Funke leistet also den Dienst eines elektrischen Ventils; von den beiden in entgegengesetzter Richtung gehenden Inductionsströmen wird derjenige in größter Proportion durchgelassen, der in gleicher Richtung mit der elektrischen Entladung geht. Dass auch der andere Strom einigermaafsen vorwärts kommt, kann man schon an dem Aussehen des Funkens wahrnehmen. Wenn die Inductions rolle in die Leitung zwischen e und g gesetzt ist (siehe Figur S. 354), so wird der Funke matter, und kann nicht in gleich weitem Abstande zwischen den Kugeln durchschlagen, als wenn die Rolle entfernt ist; ein Beweis dafür, dass der Inductionsstrom, welcher beim Beginn des Funkens entsteht, und in entgegengesetzter Richtung gegen die Entladung geht, wirklich den Funken zum Theil durchströmt. In diesem Falle wird also die Intensität des Funkens durch die Induction vermindert; seine Intensitätscurve wird gleichsam ausgeplattet. Wenn dagegen die Inductionsrolle ihren Platz zwischen e und h hat, wächst die Intensität des Funkens in Folge dessen, dass der Inductionsstrom, welcher beim Beginn des Funkens entsteht, nun denselben in gleicher Richtung mit der Entladung durchgeht; der Funke hat eine größere Schlagweite, als wenn die Rolle entfernt ist, seine Intensität ist gewachsen. Nun könnte man möglicherweise behaupten, dass die Ursache, weshalb der Ausschlag des Disjunctionsstromes durch die Einsetzung der Inductionsrolle zwischen e und q oder zwischen e und k vermindert wird, nicht daher komme, dass derjenige Inductionsstrom, welcher gleiche Richtung mit der Entladung hat, den Funken in größter Proportion durchläuft, sondern dass dieselbe darin zu suchen sey, dass die Intensitätscurve des Funkens eine Formveränderung erleidet, obgleich beide Inductionsströme gleich leicht dabei vorwärts kommen. Dass das Verhältniss so nicht seyn kann, ist leicht auf folgende Weise einzusehen:

Wir nehmen für einen Augenblick an, dass beide Inductionsströme in vollkommen gleicher Proportion den Funhen durchlaufen; dann sind auch die durchgangenen Elektricitätsmengen vollkommen gleich, die Inductionsrolle mag entfernt seyn, oder sich in der Leitung befinden. es ausschliesslich die Veränderung in der Intensitätscurve des Funkens, wenn die Inductionsrolle zwischen e und g oder zwischen e und k eingesetzt ist, welche die Verminderung im Ausschlage des Disjunctionsstromes verursacht. Aber nun ist zu bemerken, dass die Intensität des Funkens wächst, wenn die Inductionsrolle zwischen e und k eingesetzt ist, wogegen dieselbe abnimmt, wenn die Rolle ihren Platz zwischen e und g hat. Zwei durchaus entgegengesetzte Veränderungen in der Intensität würden also beide dieselbe Wirkung verursachen, nämlich eine Verminderung im Ausschlage des Disjunctionsstromes. Dieses ist nur dadurch möglich, dass der Ausschlag, den der Disjunctionsstrom verursacht, wenn keine Induction stattfindet, ein wirkliches Maximum wäre, so dass eine Veränderung in der Form des Funkens auf der einen oder andern Seite den Ausschlag nicht vergrößern könnte. Dass dieser Ausschlag jedoch kein Maximum ist, folgt daraus, dass die Einsetzung der Inductionsrolle unter allen Verhältnissen den Ausschlag vermindert; der Abstand zwischen den Kugeln mag kürzer oder länger seyn, vor dem Galvanometer mag sich eine Brücke befinden oder nicht, die Ladungsslaschen mögen größere oder geringere Belegungen haben, so wie noch andere Umstände stattfinden, worauf die Form der Intensitätscurve des Funkens beruht. Hieraus folgt also, dass die beiden Inductionsströme nicht in gleicher Proportion den Funken durchlaufen können.

Aber man würde statt dessen sagen können, es sind

nicht diejenigen Inductionsströme, die den Funken in gleicher Richtung mit der Entladung durchdringen, welche am leichtesten und in größter Proportion vorwärts kommen, sondern dieß ist der Fall mit den Strömen, die in entgegengesetzter Richtung gegen die Entladung und folglich in gleicher Richtung mit dem Disjunctionsstrome gehen. Diese letzteren addiren sich freilich zu dem Disjunctionsstrome und bewirken dadurch eine Verstärkung des Ausschlages, aber sie bringen anderseits eine so bedeutende Verminderung in der Zerreibung der Pole hervor, daß der Ausschlag im Ganzen dadurch abnimmt. Man kann mehrere Beweise für die Ungereimtheit dieser Behauptung anführen. Am leichtesten wird jedoch diese Sache durch folgende Versuche abgemacht.

Wir nehmen für den Augenblick an, dass derjenige In ductionsstrom, welcher in entgegengesetzter Richtung gegen die Entladung oder in gleicher Richtung mit dem Disjunctionsstrome geht, am leichtesten den Funken durchdringe, und auf die ebengenannte Weise die beobachtete Verminderung im Ausschlage bewerkstellige. Man kann, um eine bessere Einsicht in dieses Verhältniss zu gewinnen, sich die Sache auf folgende Art vorstellen. Der genannte Inductionsstrom verursacht eine Zerreibung der Polflächen, und diess giebt die Veranlassung zu einem Disjunctionsstrom, der in entgegengesetzter Richtung gegen den ersteren Disjunctionsstrom geht, und deshalb den Ausschlag der Magnetnadel vermindert. Nun wissen wir aus den Versuchen 22 bis 24, dass man, wenn das Ventil eine solche Lage hat, dass der Entladungsstrom, welcher die Zerreibung verursacht, von der Scheibe zur Spitze geht, den größten Disjunctionsstrom er-Hieraus folgt, dass man die größte Verminderung im Ausschlage erhalten muss, wenn der in Frage stehende Inductionsstrom von der Scheibe zur Spitze, oder, was dasselbe ist, wenn der elektrische Entladungsstrom von der Spitze zur Scheibe geht. Nachstehende Versuche zeigen indessen, dass die Sache sich ganz entgegengesetzt verhält, weshalb die gedachte Annahme, dass derjenige Inductionsstrom, der in entgegengesetzter Richtung gegen die Entladung geht, den Funken am leichtesten durchdringt, nicht richtig seyn kann. Bei diesen Versuchen war die vorhin erwähnte Messingscheibe auf der einen Stange des Glascylinders befestigt, und der mit einer Glasröhre umgebene Platindraht wurde auf die andere Stange festgeschroben. Der Luftdruck im Glascylinder war 1 Atmosphäre.

Versuch 27. Zuerst wurde das Ventil so gewandt, dass der positive Entladungsstrom der Maschine von dem Drahte zur Scheibe ging. Hierbei erhielt man:

	Ohne	Rolle zwischen	Ohne
Awarahluma	Inductionsrolle	e und $k$	Rolle
Ausschläge ) im Mittel:	37,1	<b>6,2</b>	37,6.
im miller: 1			

Darauf wurde das Ventil umgewandt, so dass der Entladungsstrom von der Scheibe zum Drahte ging:

Ausschläge | 47,4 8,5 46,2.

Im ersteren Falle verursacht die Induction also eine Verminderung im Ausschlage von  $31,2=\left(\frac{37,1+37,6}{2}-6,2\right)$  und im letzteren von 38,3 Scalentheilen. Folglich wurde die Verringerung des Ausschlages im ersteren Falle nicht größer, sondern geringer als im letzteren.

Versuch 28. Dieser Versuch war dem vorhergehenden ganz gleich, nur mit dem Unterschiede, daß die Inductionsrolle in der Brücke zwischen e und g eingesetzt war. Der Entladungsstrom der Maschine ging zuerst von dem Draht zur Scheibe.

•	Ohne	Rolle zwischen	Ohne
Ausschläge )	Rolle	e und g	Rolle
im Mittel:	38,4	5,9	38,7.
HALL LYBERTECK: 1			

Das Ventil umgewandt, so dass der Entladungsstrom von der Scheibe zum Drahte ging.

Ausschläge | 45,0 5,1 48,6.

Dieser letzte Versuch bestätigt also den vorhergehenden. Es kann deshalb nicht der gegen die Entladung in entgegengesetzter Richtung gehende Inductionsstrom seyn, der den Funken am leichtesten durchläuft, sondern es muß der andere seyn.

Nachdem man nun zur Gewissheit darüber gekommen, dass der Inductionsstrom, welcher gleiche Richtung mit der Entladung hat, den Funken am leichtesten durchgeht, so kann man aus vorhergehenden Versuchen einen anderen Schlussatz ziehen. Sie zeigen nämlich, dass die Verminderung im Ausschlag der Magnetnadel, die der Inductionsstrom verursacht, größer ist, wenn derselbe Strom den Funken von der Scheibe zur Spitze durchläuft, als wenn er entgegengesetzt geht. Ein Inductionsstrom, der einen Funken durchdringt, geht also am leiehtesten hindurch, wenn er von der Scheibe zur Spitze gehen kann. Dieses Resultat, welches für den Fall gilt, dass der Funke in einem mit Luft gefüllten Raum überspringt, ist im Grunde dasselbe, welches Hr. Prof. Riess für den Funken in verdünnter Luft schon gefunden hat.

6. Wir gehen nun zu dem Fall über, dass der elektrische Entladungsschlag eine Spirale durchläuft, und dabei in einer naheliegenden Spirale (Inductionsspirale) Induction hervorbringt. Wenn die letztere Spirale mit einem Galvanometer verbunden ist, und dessen Enden metallisch mit einander verbunden sind, so erhält man keinen Ausschlag, weil die beiden Inductionsströme gleich groß sind, und in entgegengesetzter Richtung gehen. Wenn dagegen die Spirale so weit geöffnet ist, dass Funkenbildung stattfindet, so macht die Magnetnadel einen Ausschlag, welcher angiebt, dass der bestimmende Strom in derselben Richtung wie der Entladungsstrom geht. Wenn der Funke in einem mit Luft gefüllten Raum gebildet wird, so gilt dieses unter gewöhnlichen Verhältnissen, welch eine Form die Pole auch haben. Eigentlich hat man nun nicht weniger als vier Ströme, nämlich zwei Inductionsströme und zwei Disjunctionsströme. Ist das Galvanometer in die Leitung eingesetzt, und nicht mit einer passenden Brücke versehen, so wird das Stromsystem noch zusammengesetzter. Die beiden Inductionsströme haben gleiche elektromotorische Kraft, und wenn der Funke gleichen Widerstand auf die beiden Ströme ausübte, würde ihre Wirkung auf das Galvanometer Null werden. Was dagegen die Disjunctionssströme betrifft, so können ihre elektromotorischen Kräfte keineswegs gleich seyn. Der erste Inductionsstrom, oder der, welcher in entgegengesetzter Richtung gegen die Entladung geht, muß eine dichte Luftschicht durchbrechen, und da dieses nicht ohne eine bedeutendere Tension der Elektricität geschehen kann, entsteht dadurch eine kräftige Abreibung der Polslächen. Der zweite Inductionsstrom, oder der, welcher in gleicher Richtung mit der Entladung geht, folgt augenblicklich auf den ersten, trifft deshalb im Funken eine schon verdünnte Luft, und die Abreibung wird geringer. Der erste Inductionsstrom muß deshalb den stärksten Disjunctionsstrom hervorbringen. Dieser letztere Strom, welcher in gleicher Richtung mit dem zweiten Inductionsstrom geht, verursacht den Ausschlag der Magnetnadel. Man braucht die Fähigkeit des ersten Inductionsstromes, den stärksten Disjunctionsstrom hervorzubringen, nicht irgend einer besonderen Eigenschaft desselben zuzuschreiben, da sie hinreichend dadurch erklärt wird, dass mit diesem Strome die Funkenbildung anfängt. Wenn die Pole in einem abgeschlossenen Raume befindlich sind, woraus die Loft ausgepumpt werden kann, so nimmt die elektromotorische Kraft der Disjunction in demselben Maasse ab, wie die Luft verdünnt wird. Zuletzt beginnt die elektromotorische Kraft der Induction, welche nicht von der Dichtigkeit der vom Funken durchdrungenen Luftschicht abhängig ist, größer als die erstern zu werden, und dann sind es hauptsächlich die Inductionsströme, worauf der Ausschlag der Magnetnadel beruht.

Hr. Prof. Riess') hat mit dem von ihm construirten elektrischen Ventile gezeigt, dass, wenn dieses in eine In-

<sup>1)</sup> Abhandlungen über die Lehre von der Reibungs-Elektricität, Berlin 1867, S. 316. Pogg. Ann. Bd. 120, S. 513.

ductionsbahn eingeschaltet ist, folgende Verhältnisse stattfinden, sobald die Dichtigkeit der Luft und die Lage des Ventils verändert werden: Wenn der Funke unter dem Druck einer Atmosphäre gebildet wird, so erhält man an einem in die Inductionsleitung gebrachten Galvanometer einen Ausschlag in derselben Richtung wie die, welche mit dem zweiten Inductionsstrome erhalten werden würde. Es ist hierbei. was die Richtung des Ausschlages betrifft, gleichgültig, ob der zweite Inductionsstrom von der Scheibe zur Spitze oder umgekehrt geht. Wenn der genannte Strom von der Scheibe zur Spitze geht, und die Luft aus dem Ventil allmählig ausgepumpt wird, so zeigen sich die Ausschläge der Magnetnadel immer nach derselben Seite, aber ihre Größe nimmt zuerst allmählig ab, um hernach bei fortgesetzter Veränderung wieder zuzunehmen. Wenn dagegen das Ventil so gewandt ist, dass der sweite Inductionsstrom von der Spitze zur Scheibe geht, so nimmt der Ausschlag bei der Verdünnung geschwinder ab, und geht darnach zu einem Ausschlage nach der entgegengesetzten Seite über, welcher wächst, wenn die Verdünnung vergrößert wird.

Diese Umstände haben vor der Entdeckung der Disjunctionsströme wohl nicht genügend erklärt werden können. Nun aber ergiebt sich diese Erklärung von selbst. Der erhaltene Ausschlag, wenn das Ventil mit Luft gefüllt ist, rührt nicht, wie man bisher angenommen, von dem sweiten Inductionsstrom her, sondern von dem Disjunctionsstrom. der durch den ersten Inductionsstrom verursacht wird. Wird die Luft verdünnt, so wird der Disjunctionsstrom schwächer, und die Inductionsströme beginnen sich mehr und mehr geltend zu machen; zuletzt bestimmen diese die Richtung des Ausschlages. Nun wissen wir durch die Resultate der Versuche 27 bis 28. dass der Inductionsstrom den Funken am leichtesten zu durchdringen vermag, wenn er von der Scheibe zur Spitze geht. Wenn daher das Ventil so gewandt ist, dass der zweite Inductionsstrom von der Scheibe zur Spitze geht, so muss die Richtung des Ausschlages sich unverändert beibehalten, wenn die Luft allmählich ausgepumpt wird. Aber der Ausschlag wird nicht die ganze Zeit durch denselben Strom verursacht; in dem luftvollen Raum ist es der Disjunctionsstrom, und in dem mit verdünnter Luft der zweite Inductionsstrom, welcher die Richtung des Ausschlages hauptsächlich bestimmt. Wenn dagegen das Ventil so gewandt ist, dass der erste Iuductionsstrom von der Scheibe zur Spitze geht, so bekommt dieser Strom die Oberhand und bestimmt die Richtung des Ausschlages, wenn die Luft verdünnt ist. In diesem Falle muß also der Ausschlag die Richtung ändern, wenn die Luft allmählich verdünnt wird. In dem luftvollen Raum hat der Disjunctionsstrom die Oberhand; in dem mit verdünnter Luft ist dagegen der erste Inductionsstrom der stärkere.

Durch die vorhergehenden Untersuchungen haben wir ein einfaches Mittel erhalten, um experimentell beweisen zu können, ob ein gegebener Ausschlag der Magnetnadel durch einen Disjunctions - oder Inductionsstrom verursacht wird. Die Versuche 22 bis 24 zeigen nämlich, dass, wenn sich der Funke zwischen Scheibe und Spitze bildet, der Disjunctionsstrom am stärksten wird, wenn die Entladung von Scheibe zu Spitze, oder was dasselbe ist, wenn der Disjunctionsstrom von Spitze zu Scheibe geht. Die Versuche 27 und 28 haben dagegen dargelegt, dass, wenn ein Inductionsstrom einen Ausschlag verursacht, dieser am größten wird, wenn der Inductionsstrom von Scheibe zu Spitze geht. Wenn also der Strom, der den Ausschlag verursacht, zuerst von Scheibe zu Spitze geht, und man darnach beim Umwenden des Ventils einen größern Ausschlag erhält, so hat man es mit einem Disjunctionsstrom zu thun; wenn aber der Ausschlag beim Umwenden des Ventils geringer wird, so ist ein Inductionsstrom die Ursache desselben. Dieses gilt ohne Ausnahme, wenn der Ausschlag entweder nur durch einen Disjunctionsstrom oder durch einen Inductionsstrom verursacht wird. Wenn diese beiden Ströme zu gleicher Zeit und in gleichem Maasse wirken, so kann jedoch diese Regel, wie leicht einzusehen ist, unter gewissen Verhältnissen missleitend werden.

Hr. Riefs hat schon gefunden, dass man, wenn das Ven-

til luftvoll war, den grössten Ausschlag erhält, wenn der zweite Inductionsstrom, welcher nach seiner Vermuthung die Richtung des Ausschlages bestimmt, von Spitze zu Scheibe ging. Wie wir gesehen haben, ist dieses jedoch ein Beweis dafür, dass es ein Disjunctionsstrom war, der den Ausschlag verursachte.

Nachfolgende Versuchsreihen bestätigen diese Beobachtung und beweisen von neuem, dass der Ausschlag in vorliegendem Falle durch einen Disjunctionsstrom verursacht wurde. Der Ausdruck » die Scheibe positiv « bedeutet, dass der zweite Inductionsstrom von der Scheibe zur Spitze ging, und der Ausdruck » die Scheibe negativ «, bezeichnet das Gegentheil.

Versuch 29.

Ausschläge ) im Mittel:	Scheibe positiv 19,6	Scheibe negativ <b>30,</b> 8	Scheibe positiv 22,8.
Versuch 30	0.		
	12,3	19,2	12,2.

Hierdurch ist die Eigenthümlichkeit erklärt, dass bei der Stellung des Ventils, welche den geringsten Ausschlag in einem mit Luft gefüllten Raum giebt, der Ausschlag sich unverändert nach derselben Seite hin erhält, wenn die Luft im Ventil verdünnt wird.

Bei einer oberslächlichen Betrachtung kann es widersinnig erscheinen, dass der Disjunctionsstrom eine vielfach stärkere Einwirkung auf die Magnetnadel haben kann als der Entladungsstrom, wodurch er verursacht wird. Man sollte glauben können, dass die directe Einwirkung des Entladungsstromes auf die Magnetnadel eben so groß seyn müsse, als wenn dieser Strom erst einen Disjunctionsstrom hervorgerufen, welcher späterhin magnetische Wirkung ausübt. Es ist jedoch leicht einzusehen, dass diese Widersinnigkeit nur scheinbar ist. Dass die Elektricität in einer Bewegung besteht, ist keinem Zweisel unterworsen; aber dies setzt voraus, dass etwas da seyn mus, welches sich bewegt, es mögen nun die kleinsten Theile des Körpers, der Aether, oder

irgend eine andere Materie seyn. Nennt man nun die Masse, welche bei der elektrischen Entladung in Bewegung gesetzt wird, M, und deren Geschwindigkeit V, so ist  $MV^2$ die lebendige Kraft beim Entladungsschlage. Wenn m auf gleiche Weise die Masse bezeichnet, welche im Disjunctionsstrome in Bewegung ist, und o deren Geschwindigkeit, so ist mv2 die lebendige Kraft des Disjunctionsstromes. Diese letztere Quantität kann nicht größer als die erstere seyn, wohl aber geringer, weil niemals die ganze lebendige Kraft des Entladungsschlages auf den Disjunctionsstrom übergeht. Wäre nun der Ausschlag der Magnetnadel mit der lebendigen Kraft des einwirkenden Stromes proportional, so könnte der Ausschlag, den der Disjunctionsstrom verursacht, onmöglich größer werden als der, den der Entladungsstrom direct hervorbringen konnte; aber die Einwirkung auf die Magnetnadel ist nicht der lebendigen Kraft, sondern der Stromstärke proportional, das heisst, proportional mv, und diese Quantität kann sehr gut vielfach größer als MV seyn, obgleich mv2 immer geringer oder höchstens gleich groß mit  $MV^2$  ist. Wenn zum Beispiel M=1 und V=100, so ist  $MV^2 = 10000$ ; ist m = 10000 und v = 1, so  $MV^2 = mv^2$ , aber  $mv = 100 \, \text{MV}$ . In dem elektrischen Schlage ist die sich bewegende Masse unbedeutend, aber ihre Geschwindigkeit ist groß; im Disjunctionsstrome hingegen ist dieses Verhältnis umgekehrt. Durch die mechanische Arbeit, welche der Entladungsstrom im Funken verrichtet, geht eine dieser Bewegungsformen in die andere über.

Schliefslich will ich noch bemerken, dass es nach meiner Ansicht wünschenswerth wäre, wenn die elektrischen Untersuchungen, die vor der Entdeckung des elektrischen Disjunctionsstromes angestellt wurden, und wobei elektrische Funken und eine geschlossene Leitung um dieselben vorkommen, einer Revision unterworfen würden. Wie zuverlässig auch die Beobachtungen seyn mögen, so können doch die Deutungen derselben schwerlich richtig oder vollständig seynda diese Art von Elektricitäts-Entwicklung vorher nicht bekannt gewesen ist.

# II. Ueber die Zusammensetzung des Turmalins; von C. Rammelsberg.

(Zweite Abhandlung.)

Es sind nun fast zwanzig Jahre verslossen, seit ich meine Untersuchungen über die chemische Zusammensetzung der Turmaline bekannt machte 1). Ich hegte damals den Wunsch, ein Problem der Mineralchemie zu lösen, welches bis dahin kaum in Angriff genommnn war, und sah sehr bald, dass nur eine umfassende Arbeit zu dem gewünschten Ziel führen könnte. Die Analysen von dreissig verschiedenen Turmalinen ließen hoffen, dass die Fehler bei der Untersuchung im Gesammtresultat sich ausgleichen würden, und eine Berechnung der empirisch gefundenen Zahlen die Natur dieses krystallographisch, chemisch und geognostisch gleich wichtigen und interessanten Minerals enthüllen werde.

Diese Hoffnung erfüllte sich indes nicht. Rechnete man die Borsäure zur Kieselsäure, wie es zu jener Zeit als das angemessenste erschien, und verglich den Sauerstoff der Monoxyde, der Sesquioxyde und der beiden Säuren, so ergaben sich nicht weniger als fünf verschiedene Verhältnisse, nämlich:

1: 3: 5 = Magnesia-Turmalin.

1: 4: 6 = Magnesia-Eisen-T.

1: 6: 8 = Eisen-T.

1: 9:12 = Eisen-Mangan-T.

1:12:15 = Mangan-T.

Diese fünf Abtheilungen erschienen nicht allem durch ihren chewischen Bestand, sondern auch durch ihre physikalischen Eigenschaften begründet, denn sie entsprachen den braunen, den dunklen, den schwarzen, den blauen und grünen und den rothen Turmalinen.

Die auf jene Verhältnisse basirten Formeln, wonach die drei ersten Abtheilungen als Singulo- und Bisilikate, die

<sup>1)</sup> Diese Ann. Bd. 80, S. 449 und Bd. 81, S. 1.

beiden letzten als Singulo- und Trisilikate erschienen, haben heute keinen Werth mehr.

Niemand hat mehr als ich selbst die Mängel meiner Arbeit gefühlt; sie sind in derselben schon angedeutet, und betreffen insbesondere das Verhalten der T. in der Hitze, die Oxydationsstufen des Eisens und die wahre Menge der Borsäure. Nur durch eine nähere Prüfung und Feststellung dieser Punkte durfte man erwarten, zu einem genügenderen Resultat zu gelangen, und die Fortschritte der Analyse seit jener Zeit konnten bei einer Revision der ganzen Arbeit nicht ohne Nutzen seyn.

- 1. Alle Turmaline verlieren in starker Glühhitze 2 bis 3½ Proc. am Gewicht und nehmen dabei ein ganz anderes Ansehen an. Ich hatte gezeigt, daß sie Fluor enthalten, und daß beim Glühen Fluorkiesel entweicht. Deshalb setzte ich voraus, dieser Glühverlust entspreche (wie beim Topas) dem Fluorgehalt des Minerals. Seitdem wir aber wissen, daß die den T. so nahe stehenden Glimmer in der Glühhitze Wasser liefern, mußte dieß auch beim T. untersucht werden. Und da eine directe Wasserbestimmung unausführbar ist, mußte das Fluor direct bestimmt werden. Ich will hier vorweg bemerken, daß auf Grund dieser Bestimmungen und directer Prüfung die Anwesenheit chemisch gebundenen Wassers in allen T. eine feststehende Thatsache ist 1).
- 2. Die Oxydationsstufen des Eisens in den eisenhaltigen T., welche die Mehrzahl, d. h. die gewöhnlicheren, ausmachen. Ich schmolz das Pulver mit Borax, löste das Glas in Chlorwasserstoffsäure auf, und wandte bei einer früheren Arbeit das von H. Rose empfohlene Goldchlorid zur Oxydulbestimmung an. Schon damals sah ich, dass dieses Reagens mangelhaft ist, später überzeugte ich mich direct von seiner Unzuverlässigkeit <sup>2</sup>), und da inzwischen die volumetrische Bestimmung von FeO sich Eingang verschafft hatte, so war

<sup>1)</sup> Die Turmaline enthalten kein Fluor und heine Spur Wasser. Sobehauptete Hermann (J. f. pr. Chem. Bd. 35).

<sup>2)</sup> Diese Ann. Bd. 104, S. 505.

die Aufgabe, die T. von neuem hinsichtlich der Mengen FeO und FeO<sup>3</sup> zu prüfen, die sie bei, der Analyse geben.

Wenn nun gleich in dem verslossenen langen Zeitraum Niemand versucht hat, die Analyse der T. wieder aufzunehmen, so ist doch dieser Punkt durch A. Mitscherlich näher geprüft worden 1). Er erhitzte das Pulver mit Schwefelsäure im zugeschmolzenen Glasrohr und bestimmte die Eisenoxyde volumetrisch. Er fand, dass nur Eisenoxydul vorhanden ist, wenigstens in den 6 Abänderungen die er untersucht hat. Auch hier sey im Voraus bemerkt, dass diese Thatsache allgemeine Gültigkeit hat.

3. Die Bestimmung der Borsäure. Beim Mangel einer directen Bestimmungsmethode hatte ich sie damals aus dem Verlust berechnet. Nach dem vorstehend Bemerkten ist klar, dass das Resultat der Wahrheit nicht entsprechen konnte. Es war daher wünschenswerth, sie in der Form von KBFI4 direct zu bestimmen.

Mithin war das von mir wit großem Aufwand an Mühe und Zeit gewonnene Material nicht genügend, die Frage über die Constitution der T. zu lösen, und die darauf gegründeten Rechnungsversuche von Naumann, A. Mitscherlich und Kenngott hönnen darum jetzt nicht weiter in Betracht kommen.

Eine faktische Revision meiner früheren Arbeit datirt schon seit Jahren. Einzelne neue Abänderungen wurden außerdem untersucht. Aber erst in der letzten Zeit habe ich den Gegenstand im Zusammenhang verfolgt, die drei zuvor bezeichneten Punkte festzustellen versucht, und auch ältere Analysen, die dessen bedürftig scheinen, mehrfach wiederholt.

Verhalten der Turmaline in der Glübhitze.

Die verschiedensten Turmaline erfahren, wenn man sie stark erhitzt, keinen oder nur einen höchst geringen Verlust. Steigert man die T. jedoch zum lebhaften Glühen, so zeigt

<sup>1)</sup> Beiträge zur analytischen Chemie S. 45.

sich nach dem Abkühlen und Wägen, dass sie 2 bis 3,5 Proc, zuweilen noch etwas mehr verloren haben. Ist die Hitze stark genug, so ist die Substanz im Ansehen ganz verändert, und oft, wenn sie zum Schmelzen gekommen war, außerordentlich aufgeschwollen und porös, Bimstein ähnlich. Schon bei früheren Versuchen hatte ich gefunden, dass während des Glühens Fluorkiesel und Wasser und die Reactionsproducte beider entweichen, ich hielt jedoch das Wasser für unwesentlich, und nahm den Glühverlust im Allgemeinen für Si Fl<sup>4</sup>.

Eine große Zahl in neuester Zeit durchgeführter directer Fluorbestimmungen in den verschiedensten T. lehrt indeß, daß die Menge des Fluors immer viel kleiner ist, und es ließ sich daraus schließen, daß das Product des Glühens vorwiegend Wasser seyn müsse. Ein directer Versuch hat diese Voraussetzung bestätigt.

Von dem T. von Ramfossen bei Snarum wurden mehr als 30 Grm. in einem Platinrohr in einem trocknen Luftstrom schwach geglüht. Hierauf wurde eine gewogene Chlorcalciumvorlage angefügt und die T. der Gaslampe möglichst gesteigert. In der Vorlage sammelten sich 1,33 Proc. Wasser, welches stark sauer reagirte. Leider liefs sich die Hitze nicht hinreichend verstärken, denn dieser T. verlor hinterher noch 1,4 Proc., zusammen also 2,73 Proc. (nach den älteren Versuchen 2,39). Da er nun, einer besonderen Probe zufolge, nur 0,55 Proc. Fluor enthält, so sieht man, dass in ihm 1,98 (1,64) Proc. chemisch gebundenes Wasser enthalten sind.

Die Turmaline enthalten sämmtlich chemisch gebundenes Wasser; sie verhalten sich also genau so wie viele Glimmer. Auch bei ihnen muß das Wasser als ein wesentlicher Bestandtheil angesehen werden, und daß dieß bisher nicht geschah, ist allein schon ein Grund, weshalb die Constitution der T. noch unermittelt geblieben ist.

Der Fluorgehalt des Turmalins.

Die Methode der Fluorbestimmung, jetzt um vieles genauer als früher, darf dennoch keinen Anspruch auf große Schärfe machen. Wie sich weiterhin ergeben wird, ist das Fluor im Allgemeinen = 0,3 bis 0,8 Proc., selten mehr, noch seltener weniger.

Ein Prüfung aller T. auf diesen Bestandtheil schien nicht unbedingt nöthig, doch liegen etwa 20 Bestimmungen vor, mit deren Hülfe der Fluorgehalt bei sonst gleich zusammengesetzten Abänderungen berechnet wurde.

Gleich wie bei den Glimmern, wurde der Glühverlust minus dem aus dem Fluor berechneten Fluorkiesel als Wasser in die Zusammensetzung aufgenommen.

#### Das Bor der Turmaline.

Der Vorschlag Berzelius's, dieses Element in Form von Borsuorkalium zu bestimmen, ist von A. Stromeyer und von H. Rose zu einer sehr brauchbaren Methode ausgebildet worden, welche bei ihrer Prüfung an einfachen Verbindungen (Borax, Datolith etc.) sich als ziemlich genau bewiesen hat. Eine directe Bestimmung des Bors hat für die Turmalinanalyse den unschätzbaren Werth, alle Bestandtheile direct erhalten zu können. Ich habe sie daher wenigstens bei einer gewissen Anzahl von T. durchgeführt, und will hier die dadurch gefundenen Mengen B<sup>2</sup> O<sup>3</sup> zusammenstellen.

,	Aeltere	Neuere
	Besti	mmung
Windischkappel		11,15 Proc.
Orford	9,86 Proc.	
Saar	•	11,64
Goshen		10,65
Chesterfield, grün		9,73
Elba, roth	7,06	9,52
Paris, roth	9.00	9.97.

Es spricht für die Richtigkeit dieser Zahlen, das sie den durch Differenz herechneten sehr nahe kommen, so dass dieser Weg jetzt allerdings in Ermangelung der directen Bestimmung als zuverlässig gelten kann. Die Oxydationsstufen des Eisens.

Nachdem A. Mitscherlich, wie oben angeführt, bewiesen hatte, dass in den sechs von ihm geprüften Turmalinen kein Eisenoxyd enthalten ist, habe ich mich darauf beschränkt, die Oxydulbestimmung bei einzelnen eisenreicheren Abänderungen vorzunehmen.

Statt des Aufschließens mit Schwefelsäure in zugeschmolzenen Röhren, wobei immer ein Theil unzersetzt bleibt, und seiner Menge nach schwer zu bestimmen ist, habe ich meistens das Schmelzen mit Borax angewandt, und die Auflösung des Glases in Chlorwasserstoffsäure volumetrisch geprüft. Vergleicht man das Resultat mit der aus der Analyse erhaltenen Menge des Eisens als FeO, so giebt die Boraxprobe immer einen Ueberschuss von 0,5 his 1 Proc., wohl eine Folge der Gegenwart der Chlorwasserstoffsäure. Bei der Berechnung sind diese Resultate nicht weiter in Betracht gezogen, sie beweisen bloß, daß von Eisenoxyd in den Turmalinen keine merkliche Menge vorkommt.

Berechnet man nun die Analysen in der Form, wie sie jetzt, nach Erkenntniss der früheren Mängel und Fehler, vorliegen, so ist das Resultat ein ebenso überraschendes als befriedigendes

Turmalin heifst, gleich wie Feldspath, Glimmer, Granat, Augit, eine Gruppe isomorpher Mineralien. Die einzelnen Glieder dieser Gruppe sind aber, wie gewöhnlich, nicht die Grundverbindungen selbst, sondern isomorphe Mischungen derselben; die Turmaline enthalten nämlich:

- a) einwerthige Elemente, R = H, K, Na, Li, Fl
- b) zweiwerthige,  $\ddot{R} = Mg$ , Ca, Mn, Fe, O
- c) das vierwerthige Si, und

化學 医鼠的 化对对合物的 医多种的 医多种的 经有限的 医多种

d) die drei- und sechswerthigen B und Al.

Die stöchiometrische Berechnung solcher Mischungen ermittelt zunächst das Atomverhältniss dieser vier Klassen, sodann dasjenige der einzelnen Elemente unter sich. Sie führt so zu der allgemeinen, und sodann zur speciellen Formel. Das Atomverhältniss Al: Si ist in der Turmalingruppe entweder = 1:2 oder = 2:3.

Das Atomverhältniss von B: Al ist entweder = 1:1 oder = 2:3.

Die Turmalingruppe enthält also zwei Abtheilungen:

I. Abtheilung: B:Al:Si=1:1:2

II. Abtheilung: B:Al:Si=4:6:9.

Die Glieder beider Abtheilungen enthalten immer einund zweiwerthige Elemente, nur treten in der II. Abtheilung die letzteren sehr zurück, verschwinden öfters beinahe. Die Glieder der I. Abtheilung bestehen aus einer Vereinigung der beiden Moleküle

> Ŕ<sup>3</sup> Al B Si<sup>2</sup> O<sup>10</sup> und Ř<sup>3</sup> Al<sup>2</sup> B<sup>2</sup> Si<sup>4</sup> O<sup>20</sup>.

Die Glieder der II. Abtheilung bestehen in gleicher Art aus

R<sup>6</sup> Al<sup>6</sup> B<sup>4</sup> Si<sup>9</sup> O<sup>45</sup> und R<sup>8</sup> Al<sup>6</sup> B<sup>4</sup> Si<sup>9</sup> O<sup>45</sup>.

Diese Formeln drücken eine und dieselbe Sättigungsstufe eines Silikats aus, nämlich:

Ŕ<sup>6</sup> Si O<sup>5</sup>

ѳ Si O⁵ Al Si O⁵

B<sup>2</sup> Si O<sup>5</sup>.

Alle Turmaline sind Drittelsilikate, und ihre Unterschiede beruhen in dem verschiedenen Aequivalentverhältniss der übrigen Bestandtheile, insofern

$$\overset{\circ}{R}^6 = \overset{\circ}{R}^3 = \overset{\circ}{A}^1 = \overset{\circ}{B}^2$$

ist.

Die Abtheilung I ist die umfangreichste. Zu ihr gehören die gelben, braunen und (scheinbar) schwarzen Turmaline.

Die Abtheilung II umfasst die farblosen oder schwach grünen und die rothen Turmaline (Elba, Paris, Schaitansk), welche nicht allein durch die Gegenwart des Li, sondern auch dadurch ausgezeichnet sind, dass sie äuserst wenig oder kein Eisen und auch nur wenig Mn und Mg, dagegen sehr viel Al enthalten. Sie geben demgemäs bei der Analyse 42 bis 44 Proc. Thonerde, während alle Turmaline der Abtheilung I nur 32 bis 34 Proc. dieser Erde liefern.

Isomorphe Mischungen sind molekulare Mischungen, wenn ihre Krystalle aus einer gemeinsamen Lösung sich abgeschieden haben. Von dieser Art ist jeder einzelne Turmalin, Wenn aber ein fertiger Krystall in der Lösung einer isomorphen Verbindung sich vergrößert, so besteht er schließlich aus materiell verschiedenen Theilen (Kern und Hülle; oberem und unterem Theil). Auch dieser Fall ist beim Turmalin nicht selten. Unter den Elbaer Krystallen sieht man viele, die in ihren einzelnen Theilen verschieden gefärbt, d. h. verschieden zusammengesetzt sind. Die Krystalle von Paris in Maine und von Chesterfield in Massachusets sind rother T., von grünem umwachsen, oder umgekehrt. Auch an größeren dunklen (blauen) Turmalinkrystallen sind kleine hellrothe, beide in paralleler Stellung, angewachsen.

Die chemische Verschiedenheit solcher verschieden gefärbter Abänderungen tritt schon in den früheren Analysen hervor: z. B.

HCI YUI , A. D.			
		Grüner T.	Rother T.
		von	Paris
	Al O <sup>a</sup>	40,9	43,1
A 5	Fe O	2,8	0
Oder:		100	
		Grüner T.	Rother T.
		von Che	esterfield
	Al O <sup>3</sup>	36,8	38,7
	Fe O	6,4	3,4
	Mn O	0,8	3,4.

Wenn die Farben scharf absetzen, wenn die Substanz mechanisch sich sondern lässt, wird auch die chemische Differenz nachweisbar. Ist jeder einzelne Krystall ungleichartig, was nach dem Glühen der Bruchstücke ost sehr leicht zu erkennen ist (Vgl. Elba No. 22), so wird die Analyse möglicherweise ein mittleres Resultat geben. Nun habe ich ein solches auch bei zwei dunkelgrünen durchsichtigen also scheinbar wenigstens homogenen Turmalinen, nämlich dem von Chesterfield und dem brasilianischen, erhalten. Die isolirten gleichartig gefärbten Krystalle des letzteren, die alle Kennzeichen der Frische an sich tragen, variiren zwar auch in den Farbennüancen, doch geben sie ein grünes Pulver 1) (und nur solche wurden analysirt).

Beide Turmaline zeigen aber das Atomverhältniss Al: Si weder = 1:2 noch = 2:3 = 1:1,5, sondern nahezu = 1:1,7. Ich betrachte sie daher als eine Mischung von I und II, und zwar in aequivalenten Mengen:

wonach Al: Si = 7:12 = 1:1,7143 seyn muss.

Wenn ich die Behauptung aufstelle, dass alle Turmaline Drittelsilikate seyen, d. h. die Moleküle

in sich schließen, so ist dieß das Resultat einer so großen Zahl von Analysen, wie sie selten zur Begründung einer Formel zur Verfügung stehen möchte.

Es ist bei dieser Gelegenheit, wie schon bei den Glimmern, das chemisch gebundene Wasser als ein Vertreter der übrigen R<sup>2</sup> O anzuerkennen, und wollte man von ihm absehen, so würde eine ganze Reihe verschiedener, höchst complicirter und darum unwahrscheinlicher Formeln aufzustellen seyn, gerade wie früher hier und beim Glimmer.

Es ist vorzugsweise die Rolle, welche das Bor in den Turmalinen spielt, hier in Erwägung zu ziehen.

Bereits bei Gelegenheit der früheren mangelhaften Versuche, die Constitution der T. zu ermitteln, war die Frage zu entscheiden: Ist die Borsäure dem elektronegativen Bestandtheil, der Kieselsäure, oder den elektropositiven Oxyden, insbesondere der Thonerde, hinzuzurechnen?

1) Ein Krystall lieferte ein dunkelbraunes Pulver.

So lange es sich nur um die empirische Formel handelt, ist die Frage ohne Gewicht, denn 2B sind aequivalent Al ebensowohl wie 3R oder 6R. Halten wir aber an der Vorstellung fest, dass ein normales Oxysalz eine Atomengruppe ist, in welcher ein oder mehrere Sauerstoffatome einerseits Metallatome, andererseits ein Säureradikal, und zwar beide mit einer gleichen Zahl von Verwandtschaftseinheiten binden, ein normales Silikat also

$$\dot{R}^2 = \ddot{O}^2 = (\dot{S}i'O) = \ddot{R} = \ddot{O}^2 = (\dot{S}i'O) = \ddot{R}^1 = \ddot{O}^{\frac{5}{2}} (\dot{S}i'O)^3$$
ist, ein Drittelsilikat aber ein Complex

$$\begin{cases} \hat{R}^{2} \text{ Si } O^{3} & \begin{cases} \hat{R} \text{ Si } O^{3} \\ 2 \hat{R}^{2} \text{ O} \end{cases} & \begin{cases} \hat{R} \text{ Si } O^{3} \\ 2 \hat{R} \text{ O} \end{cases}$$

so ist das Bor entweder in Form eines Säureradikals vorhanden oder es hat die Funktion eines R.

Wäre ersteres der Fall, so müsten Bor und Silicium Vertreter seyn. Obgleich nun physikalische und chemische Eigenschaften das Bor dem Si und Sn nahestellen, so sprechen doch die Gas-V.-G. seines Chlorids und Fluorids gegen die Annahme, es sey vierwerthig. Sind aber 2B sechswerthig, so wären 4B=3Si. Fände dies beim Turmalin statt, so ginge die Einheit seiner Constitution verloren, beide Abtheilungen erhielten verschiedene und zwar complicirte und darum nicht wahrscheinliche Ausdrücke. (Einer früheren Ausdrucksweise gemäß, würden die Borosilikate beider Abtheilungen die Sauerstoffverhältnisse 9:11 und 7:8 haben.) Jene Einheit ist aber vorhanden, wenn die T. reine Silikate sind, wenn also das Bor dem Aluminium an die Seite gestellt wird (B=Al).

Die Klasse der Drittelsilikate, in welche nun die Turmalingruppe zu setzen ist, enthielt bis jetzt nur zwei Gruppen, die des Andalusits und des Euklases 1). Die erste, deren Glieder theils isomorphe zweigliedrige, theils isomere

<sup>1)</sup> S. meine Abhandlung: "Ueher die chemische Constitution der Silikate" in der Zeitschr. d. d. geol. Ges. Bd. XXI.

eingliedrige Verbindungen sind, hat blofs das Silikat Al Si O<sup>5</sup> (Andalusit, Topas, Cyanit), die zweite aber (zwei- und eingliedrig) ist viel mannichfaltiger, denn sie schliefst den Euklas mit H, Be und Al, und den Datolith ein, und im letzteren erscheint neben H und Ca das Bor, so dass die Turmalingruppe sich hier naturgemäß anreiht.

Die verhältnismässig große Zahl der untersuchten T., unter denen fast alle äußerlich verschiedenen Abänderungen ihre Vertreter haben, läst glauben, das die beiden Grundverbindungen I und II die einzigen überhaupt vorkommenden seyen. Es wurde schon bemerkt, das die Abtheilung I bei weitem die größte sey.

Innerhalb I herrscht nun eine weitere Verschiedenheit, insofern wir es hier eigentlich immer mit isomorphen Mischungen der beiden Mol.

R3 Al B Si3 O10

und

"R8 Al2 B2 Si4 O20

zu thun haben. So weit meine Erfahrung reicht, vereinigen sich beide entweder in dem Verhältnifs 1:1 oder 5:2, und das erste einfachste ist auch das häufigste (Turmaline No. 1 bis 21).

Wir wollen die Reihe

$$\left\{ \begin{array}{l} \dot{R}^{3} \text{ Al B Si}^{2} O^{10} \\ \ddot{R}^{3} \text{ Al}^{2} B^{2} \text{ Si}^{4} O^{20} \end{array} \right\} = \dot{R} \ddot{R} \text{ Al B Si}^{2} O^{10}$$

zunächst in Betracht ziehen. Hier ist also

$$R:R:Al = 1:1:1.$$

Die zweiwerthigen Metalle K sind Mg, Fe (Ca, Mn), und entweder sind die einzelnen Glieder fast eisenfrei — gelbe, hellbraune T. (Gouverneur, Windischkappel), oder sehr eisenreich, magnesiaarm — schwarze T. (Bovey-Tracy, Andreasberg, Alabaschka etc.) oder beide Metalle sind in gröfserer Menge vorhanden — viele dunkelbraune und scheinbar schwarze Turmaline.

Abgesehen von dieser isomorphen Mannichfaltigkeit innerhalb der R tritt nun ferner eine solche im Kreise der einwerthigen Elemente, und zwar zunächst in Bezug auf das Verhältnifs der Alkalimetalle (Na, K) und des H hervor. Es ergiebt sich nämlich zuvörderst aus den Analysen, dass die Alkalimetalle und die zweiwerthigen (Mg, Fe etc.) in veränderlichen Verhältnissen zu einander stehen, unter denen die von 1:4, 1:5 und 1:6 besonders häusig sind, so dass

$$\begin{array}{ccccc}
H^{s} \\
\mathring{R}
\end{array} \middle\{ \overset{H^{4}}{\mathring{R}} \middle\} & \overset{H^{5}}{\mathring{R}} \middle\} & \overset{H^{5}}{\mathring{R}} \middle\} & \overset{H^{6}}{\mathring{R}} & \overset$$

in den speciellen Formeln erscheinen.

Eine zweite Reihe in dieser ersten Abtheilung wird durch die Mischung

dargestellt, in welcher

$$\dot{R} : \ddot{R} : Al = 5 : 2 : 3$$

ist. Es sind durchgängig magnesiaarme Eisen-Turmaline, aber ich habe deren nur vier gefunden: Saar, Sarapulsk, Goshen und ein Elbaer (No. 22 bis 26), von denen der zweite und dritte mit blauer Farbe durchsichtig sind und ein graublaues Pulver geben. Auch bei ihnen trifft das wechselnde Verhältnis der R (H, K, Na) wie der R (Fe, Mg, Mn) zu, wie dies bei den einzelnen Gliedern weiterhin sich ergeben wird.

Gehen wir nun zu der zweiten Abtheilung der Turmaline über, d. h. zu denen, bei welchen die At. von

$$B: Al = 2: 3$$
 and  $Al: Si = 2: 3$ ,

also

$$B:Al:Si=4:6:9$$

sind. Sie umfasst die farblosen oder schwach (grünlich oder röthlich) gefärbten und die intensiv rothen T., welche man wegen ihrer Farbe und Durchsichtigkeit früher wohl "edle Turmaline « nannte. Auch sie sind, so weit die Erfahrungen reichen, stets Mischungen der beiden Silikate

R6 Al6 B4 Si9 O45 und R3 Al6 B4 Si9 O45

und unter den R ist Lithium in bestimmbaren Mengen zu finden, während die R aus Mn und Mg bestehen, denen sich nur in einem Falle (blassgrüner T. von Elba) ein wenig Fe hinzugesellt. Die farblosen, röthlichen und rothen sind eisenfrei. Sie enthalten unter allen das Maximum an Fluor (bis 1,2 Proc.) und, wie schon bemerkt, an Aluminium.

Aber die K treten in dieser Abtheilung sehr zurück, und vielleicht existirt in den vollkommen farblosen Krystallen die Verbindung K<sup>6</sup> Al<sup>6</sup> B<sup>4</sup> Si<sup>9</sup> im reinen Zustande (ein reiner Alkali-Turmalin), denn der zum Theil schwach röthlich gefärbte von Elba enthält nur 0,8 Proc. Mn und Mg, oder 1 At. derselben gegen 10 At. (K, Na, Li).

Ueberhaupt aber ist hier das Atomverhältniss

ĸ	:	(H, Ŕ)	Ŕ:H	
		`4 ´	= 1 : 1	Elba, grünlich
l	:	4	1:3	Schaitansk
1	:	10	2:3	Paris, Rozena
1	:	22	1:1	Elba, röthlich.

Diese T. sind demnach Mischungen der beiden obigen Silikate in dem Verhältniss von 2:1, 5:1 und 11:1.

Es ist nicht ohne Interesse, die Constitution der für die Gesteine wichtigsten Silikatgruppen zu vergleichen. Feldspath, Glimmer, Augit, Granat sind solche Gruppen, deren Glieder isomorph und chemisch analog sind; diese Glieder sind theils Grundverbindungen, theils isomorphe Mischungen von solchen.

Granat bezeichnet die Halbsilikate

$$\begin{pmatrix} 3 \stackrel{\pi}{R}^{2} \text{Si } O^{4} \\ \stackrel{v_{1}}{R}^{2} \text{Si}^{3} O^{12} \end{pmatrix} = \stackrel{\pi}{R}^{3} \stackrel{v_{1}}{R} \text{Si}^{3} O^{12}.$$

Allen Erfahrungen zufolge ist diese Constitution ohne eine Aenderung in dem Verhältniss der R und R für alle Granate maassgebend.

Die Augitgruppe ist krystallographisch und chemisch bei weitem mannichfaltiger. Nicht allein ordnen sich ihre Glieder krystallographisch in zwei Parallelreihen, die, krystallonomisch eng verbunden, in der Formenentwicklung und Structur scharf getrennt sind - Augit- und Hornblendetypus, sondern es fällt außerdem jede dieser Reihen theils in das zweigliedrige, theils in das zwei- und eingliedrigetheils in das eingliedrige Krystallsystem, es tritt also, mit Beibehaltung der Form und Struktur im Ganzen, eine geringe geometrische und eine weit schärfer ausgesprochene physikalische (optische) Verschiedenheit ein, Alle Glieder der großen Gruppe sind normale oder Bisilikate, aber von den vorkommenden Mol. R2 Si O3. R Si O3 und Al Si3 O9 treten nur einzelne R Si O3 für sich auf, fast alle Augite und Hornblenden sind isomorphe Mischungen, ja den beiden ersten fügen sich oft Mol. von R O3 an, ohne dass die Form eine Aenderung erleidet.

In der Feldspathgruppe ist die Formenentwicklung und die Structur bei allen Gliedern die gleiche, während die geometrischen Verhältnisse uns nöthigen, sie dem zwei- und eingliedrigen und dem eingliedrigen System einzureihen. Aber die Alkalifeldspathe sind anderthalbfach saure Silikate, die Erd- (Kalk- und Baryt-) feldspathe sind Halb- (Singulo-) silikate, und Glieder der einen und der andern Art fügen sich zu isomorphen Mischungen zusammen. In dieser Gruppe treffen wir mithin die Moleküle

R4 Si3 O8R2 Si O4Al2 Si3 O24undAl2 Si3 O12TrisilikateSingulosilikate.

Höchst eigenthümlich gestalten sich die geometrischen, physikalischen und chemischen Verhältnisse der Glimmer.

Die Krystallform ist der Art, dass aus rein geometrischen Gründen ebenso gut das sechsgliedrige wie das zweigliedrige System als Basis der Rechnung dienen kann. Die Formenentwicklung und der optische Charakter lassen bald das eine, bald das andere zu. Chemisch ist die große Mehrzahl aus Halb-Silikat-Mol. gebildet. Außerdem scheinen gewisse Glimmer aus normalen und Halbsilikaten zu bestehen, ein Punkt, welcher jedoch noch näher zu untersuchen ist.

Nicht so einförmig wie Granat, aber weit einfacher als Feldspath und Glimmer stellt sich jetzt der mineralogische Begriff » Turmalin « dar. Wir wissen wenig über die Variationen der Form, deren Hemimorphie so ausgezeichnet ist, aber so viel steht fest, dass der Endkantenwinkel des Hauptrhomboëders, gewöhnlich = 133° 0′ bis 12′ angenommen, von 132° 50′ bis 133° 30′ variirt, und vielleicht werden neue Messungen einen Zusammenhang dieser Winkelgröße und der chemischen Natur nachweisen.

Dürfen wir, nach den vorgelegten Untersuchungen, es als ausgemacht ansehen, dass die Turmaline basischer sind als alle übrigen großen Silikatgruppen, dass sie aus *Drittelsilikaten* bestehen, so läst sich jeder einzelne T. auflösen in

$$\overset{\circ}{R}^6 \text{ Si O}^6 \qquad \overset{\circ}{R} = \text{H, K, Na, Li}$$
 $\overset{\circ}{R}^3 \text{ Si O}^5 \qquad \overset{\circ}{R} = \text{Mg, Ca, Fe, Mn}$ 
 $\overset{\circ}{R} \text{ Si O}^6 \qquad \overset{\circ}{R} = \text{Al, B.}$ 

Die beiden Abtheilungen, in welche die ganze Gruppe zerfällt, sind dann

I.
$$\begin{pmatrix}
\mathring{R}^{6} & \text{Si O}^{5} \\
\mathring{3} & \text{R Si O}^{5}
\end{pmatrix} = \begin{pmatrix}
\mathring{R}^{3} & \text{Si O}^{5} \\
\mathring{3} & \text{R Si O}^{5}
\end{pmatrix}$$
II.
$$\begin{pmatrix}
\mathring{R}^{6} & \text{Si O}^{5} \\
\mathring{8} & \text{R Si O}^{5}
\end{pmatrix} = \begin{pmatrix}
\mathring{R}^{3} & \text{Si O}^{5} \\
\mathring{8} & \text{R Si O}^{5}
\end{pmatrix}$$

und alle übrigen Verschiedenheiten beruhen lediglich auf dem Verhältnis der R und R und der einzelnen Elemente.

Bei alledem muss der Bau des einzelnen Turmalin-Mol. sehr complicirt erscheinen, um so complicirter, als keinem ein Fluorgehalt sehlt, der doch als R<sup>6</sup> Si Fl<sup>10</sup>, R<sup>8</sup> Si Fl<sup>10</sup>, R
Si Fl<sup>10</sup> zu denken, jedoch im Ganzen äuserst geringfügig ist <sup>1</sup>).

Mannigfaltigkeit im Einzelnen und Uebereinstimmung im Ganzen charakterisiren die chemische Natur der Turmaline in hohem Grade.

Es folgt nun das Detail der einzelnen Untersuchungen. Die eingeschlossenen Nummern sind diejenigen der frühern Arbeit.

## No. 1. (1.)

Brauner Turmalin von Gouverneur, New-York

Wie schon früher bemerkt, ist dieser T. von Tremolit (weißem Strahlstein) durchwachsen. Da nun in den sehr reinen Krystallen des braunen T. von Windischkappel etwa 1 Proc. Kalk enthalten ist, so läßt sich hier (wo bis 1,7 Proc. gefunden sind) die Menge des Tremolits durch Rechnung ebensowenig in Abzug bringen, als es gelingt, sie mechanisch zu entfernen.

Betrachtet man aber die Resultate der früheren Analysen, so kann wohl kein Zweifel seyn, dass Gouverneur und Windischkappel gleiche Zusammensetzung haben.

Nehmen wir, gleichwie im letzteren, 0,64 Proc. Fluor an, so sind 3,19 — 0,64 = 2,55 H<sup>2</sup> O vorhanden, und man hätte:

Die höchsten Beträge (1,2 Proc.) entsprechen ungefähr 1 At. Fl gegen 50 At. O.

					7.7	
H <sup>2</sup> O	2,55	=	H	0,28	At.	
K <sup>2</sup> O	0,26		K	0,216	0,5	10
Na2O	1,28		Na	0,95	4,1	4,6
CaO	1,60		Ca	1,14	2,8	)
MgO	14,89		Mg	8,93	37	41,4
FeO	1,14		Fe	0,88	1,6	
Al Oª	31,32		Al	16,66		30,5
(B2 O3)	8,11		B	2,55		23
Si O2	38,85		Si	18,13		64,8
	100.					

Hier ist:

$$Al: Si = 1 : 2,1$$
  
 $B: Al = 1 : 1,3$   
 $\ddot{R}: Al = 1,3:1$   
 $\dot{R}: \ddot{R} = 1 : 9$ 

Die Beimengung des magnesiareichen Tremolits ist der Grund, weshalb  $\ddot{R}:Al$  nicht = 1:1 ist.

## No. 2. (2.)

Brauner Turmalin von Windischkappel.

Dieser schöne Turmalin kann als Typus der fast eisenfreien braunen Magnesia-T. dienen. Ich habe in neuerer Zeit seinen Gehalt an Fluor und Bor bestimmt, und auch die übrigen Bestandtheile, mit Ausnahme der Alkalien, revidirt.

	Mittel der früheren		
25.9 5.23	Analysen	Später	Zulctzt
Glühverlust	2,93		
Fluor		0,64	
Kali	0,47	200	
Natron	2,37		
Kalk	0,61		1,25
Magnesia	10,22		11,79
Eisenoxyd	1,43		0,73
Thonerde	34,21	33,91	32,90
Borsäure			11,15 1)
Kieselsäure	38,08	37,52	38,09.

<sup>1)</sup>  $2,677 = 1,075 \text{ K B FI}^4$ .

Bei der letzten Analyse ist auf die Trennung von Si, Al, Mg und Fe die größte Sorgfalt verwandt, daher ihre Zahlen allein bei der Berechnung benutzt sind.

	, 0	,64 F	=0	,88 Si Fl4		
	. 2	,93 -	- 0,88	= 2,051	H <sup>2</sup> O.	
H <sup>2</sup> O	Mittel <b>2,05</b>	=	H	0,228	At. 23	
K2O	0,47		K	0,40	1,0	00
Na <sup>2</sup> O	2,37		Na	1,76	7,6	8,6
CaO	1,25		Ca	0,89	2,2	
Fe O	0,66		Fe	0,51	0,9	32,6
MgO	11,79		Mg	7,07	29,5	
Al O <sup>8</sup>	32,90		Al	17,50	32	
B2 O3	11,15		В	3,50	32	
Si O2	38,09		Si	17,77	63,5	
-	100,73.					

Atomyerhältnifs gefunden

angenommen Al: Si = 1:2.021:2 B : Al = 1:11:1 R:Al = 1:0.941:1 R : R = 1 : 3.91:4 R:H=1:2,71:3

Formel:

 $\ddot{R}\ddot{R}AlBSi^{2}O^{10}=2\dot{R}^{6}SiO^{5}=2\ddot{R}^{3}SiO^{5}=2AlSiO^{5}$ H8

Oder:

R4 Al4 B3 Si8 O40 (Na, K) Berechnung: K: Na = 1:7; Fe: Ca: Mg = 1:2:27 3 H H2O 2.14  $0.125 \, \text{K} =$ 4.875 K2 O 0.48  $0.875 \,\mathrm{Na} = 20.125$ Na2O 2,15  $0.266 \, \mathrm{Ca} = 10.6$ CaO 1.18  $0.133 \, \mathrm{Fe} =$ FeO 7.5 0,77 3.6 Mg = 86.4MgO 11,42 4 AI = 218,4Al O<sup>3</sup> 32,60 B = 44B2O3 11.13 Si = 224Si O<sup>2</sup> 38,13 40 O = 640100

1258.9.

Ueber die zweckmässigste Schreibweise der Formel kann man verschiedener Meinung seyn, und Mancher zieht vielleicht die Fassung vor:

No. 3. (3).

Turmalin von Eibenstock.

Berechnung der früheren Resultate unter Annahme von 0,5 Proc. Fluor und des Eisens als FeO.

$$0.5 \text{ Fl} = 0.68 \text{ Si Fl}^4$$

3,5 Glühverlust minus  $0.68 = 2.82 \,\mathrm{H}^2\mathrm{O}$ .

					AL.	
H <sup>2</sup> O =	= 2,82	=	H	0,31	31	
K <sup>2</sup> O	0,30		K	0,25	0,6	1 00
Na <sup>2</sup> O	2,27		Na	1,70	7,4	8,0
CaO	0,88		Ca	0,63	1,6	}
MgO	11,62		Mg	6,97	29	36,6
FeO	4,36		Fe	3,39	9	)
Al O <sup>3</sup>	30,86		Al	16,42		30
(B2O3)	9,14		В	2,88		<b>26</b>
SiO <sup>2</sup>	37,75		Si	17,61		<b>63</b>
	100.					

$$\begin{array}{lll} & \text{angen.} \\ \text{Al}: \text{Si} = 1:2,1 & 1:2 \\ \text{B}: \text{Al} = 1:1,15 & 1:1 \\ \ddot{\text{K}}: \text{Al} = 1:0,8 & 1:1 \\ \dot{\text{K}}: \ddot{\text{K}} = 1:4,5 & 1:3 \end{array}$$

Unter Annahme dieser einfachen Verhältnisse wird  $H: \dot{R} = 3:1$  (gef. = 4:1).

$$\vec{R} \ \vec{R} \ \vec{A} \ \vec{B} \ \vec{S}i^2 \ \vec{O}^{10} = \frac{\vec{H}^3}{(Na. \ \vec{K})} \left\{ \vec{R}^4 \ \vec{A}l^4 \ \vec{B}^4 \ \vec{S}i^8 \ \vec{O}^{40} \right\}$$

er				

<b>K</b> :	Na ≖	= 1:11; Ca	: <b>Fe</b> :	Mg = 1	1:4:20
3	H	= 3	=	H <sup>2</sup> O	2,12
0,0	98 K	3,12		K <sup>2</sup> O	0,29
0,9	<b>)2</b> Na	21,16		Na <sup>2</sup> O	2,24
0,1	6 Ca	6,4		CaO	0,70
3,2	2 Mg	<b>76,8</b>		MgO	10,06
0,6	64 Fe	<b>3</b> 5,84		Fe.O	3,62
4	Al	218,4		AlO <sup>3</sup>	32,25
4	В	44		B2O3	11,00
8	Si	224		SiO <sup>2</sup>	37,72
40	0	640			100.
		1272,72.			

No. 4. (4.)

#### Schwarzer Turmalia vom Zillerthal.

In dieser Abänderung wurde das Fluor bestimmt; ferner wurde das FeO im Boraxglas, so wie die übrigen Bestandtheile, mit Ausnahme der Alkalien und der Borsäure, abermals ermittelt.

Glühverlust         von früher 3,54         später           Fluor         0,36           Kali         0,37           Natron         2,13           Kalk         0,98         0,16           Magnesia         10,46         10,45           Eisenoxyd         3,20         3,04           Manganoxydul         0,36           Thonerde         33,64         31,66		Mittel	
Fluor       0,36         Kali       0,37         Natron       2,13         Kalk       0,98       0,16         Magnesia       10,46       10,45         Eisenoxyd       3,20       3,04         Manganoxydul       0,36		von fräher	später
Kali     0,37       Natron     2,13       Kalk     0,98     0,16       Magnesia     10,46     10,45       Eisenoxyd     3,20     3,04       Manganoxydul     0,36	Glühverlust	3,54	
Natron       2,13         Kalk       0,98       0,16         Magnesia       10,46       10,45         Eisenoxyd       3,20       3,04         Manganoxydul       0,36	Fluor		0,36
Kalk       0,98       0,16         Magnesia       10,46       10,45         Eisenoxyd       3,20       3,04         Manganoxydul       0,36	Kali	0,37	
Magnesia       10,46       10,45         Eisenoxyd       3,20       3,04         Manganoxydul       0,36	Natron	2,13	
Eisenoxyd 3,20 3,04 Manganoxydul 0,36	Kalk	0,98	0,16
Manganoxydul 0,36	Magnesia	10,46	10,45
0	Eisenoxyd	3,20	3,04
Thonerde 33,64 31,66	Manganoxydo	ıl	0,36
	Thonerde	33,64	31,66
Kieselsäure 37,94 39,08.	Kieselsäure	37,94	39,08.

 $0.36 \text{ Fl} = 0.5 \text{ Si Fl}^4$ ; also  $3.54 - 0.5 = 3.04 \text{ H}^2 \text{ O}$ .

Zwei Proben gaben 3,34 und 3,57, im Mittel 3,45 FeO; es sind also die 3,2 FeO<sup>3</sup> als 2,88 FeO und die 3,04 FeO<sup>3</sup> als 2,736 FeO zu berechnen.

	3.2.5		140	100	At.	
H <sub>3</sub> O	3,04	=	H	0,34	34	
K <sup>2</sup> O	0,37		K	0,31	0,8	77
Na <sup>2</sup> O	2,13		Na	1,58	6,9	7,7
CaO	0,16		Ca	0,11	0,3	
MnO	0,36		Mn	0,28	0,5	30,9
Fe O	2,80		Fe	2,18	3,9 (	30,9
MgO	10,46		Mg	6,28	26,2	
AlO <sup>3</sup>	32,65		Al	17,37		31,8
(B2O3	9,52)		В	2,99		27,2
Si O <sup>2</sup>	38,51		Si	17,97		64,2
	100.					
			ge	f.	angen.	
	Al : S	i =	1:2,	02	1:2	
	B : 4	1=	1:1,	17	1:1	

## R R Al B Si2 O10

Oder

Berechnung:

## No. 5. (4.)

#### Turmalin von Orford.

Berechnung der älteren Versuche unter Annahme von 0,5 Fl und des Eisens als FeO.

3,49 Glühverlust minus 0,68 Si Fl<sup>4</sup> = 2,81 H<sup>2</sup>O

Dann ist H: R = 5:1 (gef. = 6:1).

No. 6. (8.)

Schwarzer Turmalin von Texas, Lancaster Co., Pennsylvanien.

Werden auch hier 0,36 Fl angenommen, so sind 3,3  $-0.5 = 2.8 \text{ H}^2\text{ O}$  vorhanden, und man hat:

						At.
H <sup>2</sup> O	2,80	=	H	0,31		31
K <sup>2</sup> O	0,73		K	0,606	1,5	1 00
Na2 O	2,00		Na	1,48	6,5	8,0
Ca O	0,71		Ca	0,507	1,2	
Mg O	9,11		Mg	5,46	22,8	)
Mn O	0,09		Mn	0,07	0,1	27,0
Fe O	2,98		Fe	2,32	4,1	
Al O <sup>3</sup>	34,56		Al I	18,38		33,7
(B2 O3)	8,57		B	2,70		25
Si O <sup>2</sup>	38,45		Si 1	7,94		64
9.6	100.					

angenommen

$$AI : Si = 1 : 1,9 = 1 : 2$$
  
 $B : AI = 1 : 1,3 = 1 : 1$   
 $\ddot{R} : AI = 1 : 1,2 = 1 : 1$   
 $\dot{R} : \ddot{R} = 1 : 3,37 = 1 : 4$ 

 $\dot{R}: H = 1:3.9$  1:3.

Formel = No. 4.

1274.

No. 7. (5.)

#### Turmalin von Monroe.

Angenommen wie in No. 6 0,36 Fluor = 0,5 Si Fl<sup>4</sup>. Und da der Glühverlust = 3,82, so kommen 2,82 H<sup>2</sup> O in Anrechnung. Das Eisen ist als Fe O berechnet.

					At.
H <sup>2</sup> O	2,82	= H	0,31	1.2	31
K <sup>2</sup> O	0,44	K	0,365	0,9	00
Na <sup>2</sup> O	1,82	Na	1,35	6	6,9
Ca O	1,81	Ca	1,29	3	
Mg O	9,90	Mg	5,94	24,7	33,3
Fe O	4,07	Fe	3,16	5,6	
Al O <sup>3</sup>	31,18	Al I	6,588		30,4
$(\mathbf{B^2} \mathbf{O^3})$	8,95	В	2,81		25,6
Si O <sup>2</sup>	39,01	Si 1	8,20		65
1	00.		•		

angenommen

Al: Si = 1: 2,14 1: 2  
B: Al = 1: 1,18 1: 1  

$$\ddot{R}$$
: Al = 1: 0,9 1: 1  
 $\dot{R}$ :  $\ddot{R}$  = 1: 4,8 1: 5.

Demnach wäre H : R = 4 : 1 (gef. = 4,5:1).

$$\stackrel{.}{R} \stackrel{.}{R} \stackrel{.}{A} \stackrel{.}{B} \stackrel{.$$

## No. 8. (7.)

Schwarzer Turmalin von Godhaab, Grönland.

A. Mitscherlich bestimmte in diesem T. das FeO zu 4,46 Proc. Ich hatte 4,91 Fe O<sup>3</sup> = 4,42 Fe O gefunden.

Nimmt man 0,36 Proc. Fluor, wie in den ähnlichen T. an, so sind 3,11 - 0,5 Si Fl<sup>4</sup> = 2,61 H<sup>2</sup> O vorhanden, und man hat:

						At.
H <sup>2</sup> O	2,61	=	H	0,27		
K <sup>2</sup> O	0,43		K	0,36	0,9	)
Na <sup>2</sup> O	2,00		Na	1,50	6,5	7,4
Ca O	1,25		Ca	0,89	2	)
Mg O	9,51		Mg	5,70	24	32
Fe O	4,42		Fe	3,44	6	)
Al O3	34,26		Al	18,22		33,4
(B2 O3)	7,82		В	2,46		<b>22</b>
Si O <sup>2</sup>	37,70		Si	17,60		63
-	100.					

Hier ist

Offenbar ist Al: Si = 1:2, allein die Thonerde ist, wie in vielen der älteren Analysen etwas zu hoch bestimmt. Die Si-Bestimmung als richtig vorausgesetzt, würden nur  $17.2 \text{ Al} = 32.33 \text{ Al O}^3$  vorhanden seyn, und dann würde  $B^2 O^3 = 9.75 \text{ Proc.} = B 3.04 = 27.7 \text{ At. seyn, so dafs}$  B: Al = 27.7:31.5 = 1:1.14, d. h. = 1:1 wird.

Man darf daher unbedenklich die Formel

annehmen.

Ist K: Na = 1:7, Ca: Fe: Mg = 1:3:12, so giebt die Berechnung:

3 H	= 3	$= H^2 O$	2,11
1 K	4,875	K2 O	0,46
₹ Na	20,125	Na <sup>2</sup> O	2,12
i Ca	10	Ca O	1,10
3 Mg	72	Mg O	9,39
∄ Fe	42	Fe O	4,22
4 Al	218,4	Al O <sup>3</sup>	32,10
4 B	44	B2 O3	10,95
8 Si	224	Si O <sup>2</sup>	37,55 .
40 O	640		100.
	1278,4.		

No. 9. (10.)

Schwarzer Turmalin von Havredal bei Krageröe.

Angenommen 0,36 Fl = 0,5 Si Fl<sup>4</sup>, also 2,93 — 0,5 = 2,43 H<sup>2</sup> O.

						rate.
H <sup>2</sup> O	2,43	=	H	0,27		
K² O	0,32		K	0,266	0,7	1 67
Na <sup>2</sup> O	1,78		Na	1,32	6,0	6,7
Ca O	0,80		Ca	0,57	1,4	
Mg O	9,43		Mg	5,66	23,6	35,5
Fe O	7,58		Fe	5,89	10,5	,
Al O <sup>3</sup>	31,26		Al	16,63		30,5
(B2 O1)	9,29		В	2,92		26,6
Si O <sup>2</sup>	37,11		Si	17,18		61,3
7	00.					

				ange	no	mme
Al : Si = 1	:	2,01	=	1	:	2
B:Al=1	:	1,14		1	:	1
$\ddot{R}: Al = 1,16$	:	1	-	1	:	1
$\dot{R} : \ddot{R} = 1$	:	5,3		1	:	5
$\dot{R}:H=1$	:	4,0		1	:	4

Also

## No. 10. (9.)

Braunschwarzer Turmalin vom Gotthardt.

In diesem T. bestimmte A. Mitscherlich das Eisen als 5,66 Fe O.

Der von mir gefundene Eisengehalt entspricht 7,23 Fe O. Unter Annahme von 0,36 Fl sind  $3,25-0,5=2,75 \,\mathrm{H}^2$  O vorhanden.

						AL.
H2 O	2,75	=	H	0,30		1000
K2 O	0,28		K	0,232	0,6	5,2
Na O	1,43		Na	1,06	4,6	3,2
Ca O	1,31		Ca	0,93	2,3	
Mg O	7,27		Mg	4,36	18,0	30,3
Fe O	7,23		Fe	5,62	10,0	
Al O3	31,41		Al	16,71		30,6
(B2 O3)	10,32		В	3,25		29,5
Si O <sup>2</sup>	38,00		Si	17,73		63,3
	100.					

		angenommen
Al : Si	<b>= 1 : 2,07</b>	•
$\mathbf{B} : \mathbf{Al}$	<b>= 1 : 1,03</b>	1:1
$\H{\mathbf{R}}:\mathbf{Al}$	= 1:1	1:1
Ŕ : Ŕ	= 1:5,8	1:6
$\mathbf{R} : \mathbf{H}$	= 1:5,8	1 : 5.
$\left\{ \begin{array}{c} \mathbf{H^{5}} \\ \mathbf{(Na, K)} \end{array} \right\}  \mathbf{\ddot{R}}$	Ř Al B S	O <sub>60</sub>
K : Na = 1		e: Mg = 1:5:9.
5 H =	5 =	H <sup>2</sup> O 2,33
<u>₁</u> K	4,875	K2 O 0,30
<u>₹</u> <b>Na</b>	20,125	Na2 O 1,40
<u>²</u> Ca	16	Ca O 1,16
33 Mg	86,4	Mg O 7,45
2 Fe	112	FeO 7,44
6 Al	327,6	Al O3 31,83
6 B	66	B2 O3 10,86
12 Si	336	Si O2 37,23
60 O	960	100.
1	934.	

No. 11. (12.)

Schwarzer Turmalin von Haddam, Connecticut.

Unter Annahme von 0,5 Proc. Fluor, ist die Zusammensetzung:

						At.
H <sup>2</sup> O	1,81	=	H	0,20		
K <sup>2</sup> O	0,73	•	K	0,606	1,6	00
Na <sup>3</sup> O	1,60		Na	1,19	5,2	6,8
Ca O	1,33		Ca	0,95	2,3	)
MgO	8,60		Mg	5,16	21,5	35,7
Fe O	8,54		Fe	6,64	11,9	)
Al O <sup>3</sup>	30,87		Al	16,42	4.5	30
(B2 O3)	9,02		В	2,84		26
Si O <sup>2</sup>	37,50		Si	17,50		62,5
-	100.					

Al : Si = 1	: 2,08	angen. 1:2
	: 1,1	1:1
$\ddot{R} : Al = 1,5$	2:1	1:1
$\dot{R} : \ddot{R} = 1$	: 5,2	1:5.

Also gleich Monroe und Havredal.

## No. 12. (11.)

Schwarzer Turmalin von Ramfossen bei Snarum in Norwegen.

Das Verhalten dieses T. in der Hitze wurde oben (S. 382) angeführt.

Ist der Glühverlust = 2,39 Proc., so sind, da 0,55 Fl = 0,75 Si Fl<sup>4</sup>, 1,64 H<sup>2</sup> O vorhanden.

					At.	
H <sup>2</sup> O	1,64	=	H	0,18		
K <sup>2</sup> O	0,53		K	0,44	1,1	
Na2O	1,13		Na	0,84	3,6	4,7
CaO	0,65		Ca	0,46	1,1	}
MgO	7,94		Mg	4,76	19,8	36,4
FeO	11,16		Fe	8,68	15,5	
AlO <sup>3</sup>	30,00		Al	15,96		29,2
(B2 O3)	9,73		B	3,06		28
Si O <sup>2</sup>	37,22		Si	17,37		62
	100.					

$$\begin{array}{lll} \text{Al}: \text{Si} = 1 & :2,1 & 1:2 \\ \text{Al}: \text{B} = 1 & :1,0 & 1:1 \\ \ddot{\text{K}}: \text{Al} = 1,24:1 & 1:1 \\ \ddot{\text{K}}: \ddot{\text{K}} = 1 & :7,7. \end{array}$$

Ist letzteres = 1:6, so ist dieser T. gleich denen von Orford und vom Gotthardt.

## No. 13.

Schwarzer Turmalin (Magnesia - Eisen - T.) von Elba.

Kleinere und größere vielstreifige Prismen, zum Theil mit Endigungsflächen, verwachsen mit wasserhellen und mit braunen Quarzkrystallen. Auf einem feinkörnigen gelblichen Granit, der durch einzelne weiße Orthoklaskrystalle porphyrartig erscheint.

Dieser T. ist nur an sehr dünnen Kanten mit rothbrauner Farbe durchsichtig. Sein Pulver ist grau.

V. G. = 3.059.

In starker Glühhitze verwandelt sich das grobe Pulver in eine stark gesinterte braunschwarze Masse, die, bis auf einzelne Quarzpartikel, ganz homogen erscheint. Glühverlust 2,50 Proc.

- a) Analyse mit kohlensaurem Natron.
- b) Aualyse des geglühten mit HFl.
  - c) Eisenbestimmung im Boraxglas.

	a.	b.	c.
Fluor	0,15		
Kieselsäure	38,20		
Thonerde	29,19	30,84	
Eisenoxydul	9,49	10,38	10,61
Manganoxydul )	c 02	0,58	
Magnesia	<b>6,23</b>	7,32	
Kalk	0,59	0,90	
Natron		2,19	
Kali		0,25.	

 $0.15 \,\text{Fl} = 0.205 \,\text{Si} \,\text{Fl}^4$  $2.50 - 0.205 = 2.295 \,\text{H}^2 \,\text{O}.$ 

Also im	Mittel:					
					At.	
H <sup>2</sup> O	2,29	=	H	0,25		
K <sup>2</sup> O	0,25		K	0,208	0,5 )	= =
Na <sup>2</sup> O	2,19		Na	1,625	5,2	5,7
CaO	0,74		Ca	0,53	1,3	
MgO	6,77		Mg	4,06	16,0	21.0
MnO	0,58		$\mathbf{Mn}$	0,45	0,8	31,9
Fe O	9,93		Fe	<b>7</b> ,7 <b>2</b>	13,8	
Al O <sup>8</sup>	30,02		Al	15,97		29,3
(B2 O3)	9,03		В	2,84		26
Si O2	38,20		Si	17,83		63,7
-	100					

Die Angaben der AlO<sup>3</sup> in a und b beziehen sich auf die direct gefundenen Mengen, wie sie nach dem Glühen und darauf folgenden Auswaschen ermittelt wurden. Die 30.84 sind = 16.4 Al = 30 At. (Al: Si = 1:2,12).

Hier ist

	angenommen
A1: Si = 1 : 2,17	<b>== 1 : 2</b>
(oder 1 : 2,12)	
B:Al=1:1,1	1:1
$\ddot{R} : Al = 1, 1 : 1$	1:1
$\dot{R} : \ddot{R} = 1 : 5,6$	1:6.

Unter dieser Annahme muss R:H == 1:5 seyn

Berechnung:

## No. 14. (14.)

Schwarzer Turmalin von Unity, New-Hampshire.

Angenommen 0,36 Proc. Fluor.

Da 2,22 Glühverlust, so sind 2,22-0,5=1,72 H<sup>2</sup> O vorhanden.

					At.	
H <sup>2</sup> O	1,72	==	H	0,19		
K <sup>2</sup> O Na <sup>2</sup> O	1,94		Ña	1,44		6,3
Ca O	1,02		Ca	0,73	1,8	
MgO	6,32		Mg	3,79	15,8	35,9
FeO	<b>13,23</b>		Fe	10,29	18,3	
Al O <sup>3</sup>	30,44		Al	16,19		29,7
(B2 O3)	9,04		В	2,84		26
Si O <sup>2</sup>	36,29		, Si	16,94		60,5
•	100.	,				

Al: Si = 1 : 2,0 1: 2 B: Al = 1 : 1,1 1: 1  $\ddot{R}$ : Al = 1,2: 1 1: 1  $\dot{R}$ :  $\ddot{R}$  = 1 : 5,7 1: 6

 $\begin{array}{c} \left. \begin{array}{c} \acute{R} \ \, \mathring{R} \ \, \mathring{A} \ \, \mathring{B} \ \, \mathring{S}i^2 \ \, O^{10} \! = \\ \left. \begin{array}{c} H^b \\ (Na, \ K) \end{array} \right\} \ \, \mathring{R}^6 \ \, \mathring{A}l^6 \ \, \mathring{B}^6 \ \, \mathring{S}i^{12} \ \, O^{60}. \end{array}$ 

Dieser T. enthält fast gleiche At. von Mg und Fe.

No. 15. (15.)

Schwarzer Turmalin von Krummau in Böhmen.

Unter Annahme von 0,4 Proc. Fl und bei 2,66 Proc. Glühverlust ergeben sich:

					At.	
H <sup>2</sup> O	2,11	=	H	0,23		
K <sup>2</sup> O	0,30		K	0,25	0,6	5.0
Na <sup>2</sup> O	1,36		Na	1,01	4,4	5,0
Ca O	0,44		Ca	0,31	0,8	200
MgO	3,84		Mg	2,30	9,6	26,4
Fe O	11,58		Fe	9,00	16,0	
Al O³	34,12		Al	18,15		33,3
$(B^2O^3)$	9,82		В	3,09		28
Si O <sup>2</sup>	36,43 1)		Si	17,00		60,7
-	100.					

<sup>1)</sup> Früher irrthümlich 38,43.

		angenommen
Al: Si	= 1 : 1,82	1:2
	(1,1:2)	
B:Al	=1:1,2	1:1
Ř ∶Al	=1:1,26	1:5
Ŕ:Ř	=1:5,3	1:5
Ř : H	=1:4,6	1:4
K: Na = 1:	7 - Ca: Mg:	Fe == 1:12:20
H <sup>4</sup> (Na,	K) R5 Al5 B	5 Si <sup>10</sup> O <sup>50</sup>
4 H =	= 4 =	H <sup>2</sup> O 2,18
1 K	4,87	K2 O 0,36
7 Na	20,12	Na <sup>2</sup> O 1,64
Ca Ca	7,27	Ca O 0,61
20 Mg	43,63	Mg O 4,39
3 Fe	168	Fe O 13,04
5 Al	273	Al O <sup>8</sup> 30,98
5 B	55	B2 O3 10,57
10 Si	280	Si O <sup>2</sup> 36,23
50 O	800	100.
	1655,89.	

(Schlus im nächsten Heft.)

# III. Zur Theorie der Farben; von Dr. J. J. Müller.

(Auf Wunsch des Hrn. Verf. aus d. Arch. f. Ophthalmologie Bd. XIV.)

Jede der drei Größen Farbenton, Sättigung, Helligkeit, welche das Bewußstsein in einer Farbenempfindung unterscheidet, ist einer unabhängigen Reihe von Bestimmungsweisen fähig und bildet somit für sich eine Mannigfaltigkeit. Näher findet von der einen zu der andern Bestimmungsweise ein steliger Uebergang statt und die Vergleichung der ein-

zelnen Quanta jeder Mannigfaltigkeit kann durch Messung geschehen. Der Beweis für den letzteren Satz ist ein metaphysischer und kann, so viel ich sehe, nur für die Intensität der Empfindung geführt werden, wo er denn auch sofort aus diesem Begriffe entspringt. Auf die Intensität sind aber Farbenton und Sättigung zurückführbar. Das bestimmte Einzelne der vorliegenden Größengattung, die Farbe, ist also bestimmbar durch drei unabhängig von einander und stetig veränderliche meßbare Größen; die Farben bilden daher eine stetige Mannigfaltigkeit von drei Dimensionen, deren Quanta in Einheiten ausdrückbar sind ').

Die Eigenthümlichkeit der Beziehungen, welche zwischen den Punkten der Mannigfaltigkeit der Farben bestehen und darum die letztere vor anderen charakterisiren, ist die, daß im Allgemeinen erst zwischen fünf Punkten eine Gleichung besteht. Daraus folgt, wie schon Hr. Helmholtz hervorhebt, daß die Bewegung eines Punktsystemes der Mannigfaltigkeit mit relativen Verschiebungen seiner Elemente nach drei Hauptrichtungen verknüpft ist.

Die Mannigfaltigkeit der Farben — und diess unterscheidet sie, wie die Ausmessung des Gesichtsfeldes durch das Augenmaas, in einer neuen Hinsicht von der gleichfach ausgedehnten Mannigfaltigkeit des Raumes — ist als Einheitliches eine Function gewisser neuer Veränderlicher, die in den Eigenschaften des Auges begründet sind. Für zwei große Gruppen, das normale und das farbenblinde Auge, konnte über die Richtigkeit dieses Satzes kein Zweisel auftauchen; die Strenge aber, mit der er auch für die verschiedenen physiologischen Zustände gilt, verdient hervorgehoben zu werden.

In der That, die Erregung in einer Faser des Opticus ist eine Function des Lichtes, das auf ihr peripheres Ende

Helmholtz, Ueber die Thatsachen, die der Geometrie zu Grunde liegen. Nachrichten d. k. Gesellsch. d. Wissensch. in Göttingen 1868.

<sup>1)</sup> Vergl. Riemann, Ueber die Hypothesen, welche der Geometrie zu Grunde liegen. Abhandl. der k. Gesellsch. der Wissensch. in Göttingen XIII.

fällt, und ihrer Erregbarkeit. Das Licht, das unmittelbar die Erregung bedingt, hängt aber ab von den Eigenschaften des Lichtes, das in das Auge fällt, und von den Veränderungen, welche dieselben im Auge erleiden. Von diesen drei Variabeln ist nun im Allgemeinen nur die Eigenschaft des Lichts vor dem Eintritt ins Auge für die verschiedenen Augen dieselhe, mit den beiden andern muß daher die Erregung noch variiren. Letztere selber ist aber erst durch eine neue veränderliche Function mit der Empfindung verknüpft.

Es geht hieraus hervor, dass die Farbentafel, die ein Beobachter aus seinen Versuchen construirt, im Allgemeinen nur für die beobachtende Stelle seines Auges streng richtig und auch da eine Function der Erregbarkeit ist. Für die Beobachtung ergiebt sich die wichtige Forderung, die Erregbarkeit möglichst constant zu erhalten.

1. Thatsächliche Grundlagen der Farbentheorie.

Die Beziehungen zwischen den einzelnen Punkten der Mannigfaltigkeit werden durch die Mischung der Farben gewonnen. Die Mischungsversuche müssen daher die eigentliche Grundlage der Farbentheorie bilden. Da sie aber stets die Veränderungen des Lichts im Auge einschließen, so entsteht die weitere Aufgabe, den Einfluß dieser für ihre Elimination zu ermitteln.

In den folgenden Untersuchungen war dieser Gesichtspunkt maassgebend. Sie sind im Institute des Hrn. Geheimrath Helmholtz ausgeführt. Die Güte, mit der mein hochverehrter Lehrer mir seine Unterstützung zuwandte, verbindet mich ihm in unwandelbarer Dankbarkeit.

Ueber die Mischung der Spectralfarben.

١.

In den Untersuchungen der Hrn. Helmholtz und Maxwell über die Mischung der Spectralfarben ') liegt ein

1) Helmholtz, Ueber die Theorie der zusammengesetzten Farben. Pogg. Ann. Bd. 87, S. 15. Physiol. Optik. 279. 845.

Maxwell, On the Theory of Compound Colours, and the Relations of the Colours of the Spectrum. Phil. Trans. 1860. 57.

Widerspruch hinsichtlich des Verhaltens der Sättigung, welche die Mischfarben relativ zu den entsprechenden homogenen Farben des Spectrums zeigen. Durch die Sättigungsverhältnisse wird nun sowohl die Form der Farbentafel, als die Möglichkeit bestimmt, die physiologischen Grundfarben aus den Mischungsversuchen abzuleiten. Es war daher gerechtfertigt, sie zum Object einer neuen Untersuchung zu machen.

Der für Erperimentaluntersuchungen allgemein gültige Grundsatz, die Erscheinungen in den einfachst möglichen Abhängigkeiten darzustellen, verlangt die Mischung von zwei Spectralfarben. Diese Methode ist darum den Maxwell'schen Bestimmungen aus der Mischung dreier Spectralfarben zu Weißs vorzuziehen. Letztere führen nicht nur eine größere Anzahl von Variabeln ein, sie impliciren auch die quantitative Bestimmung der Farben, während jene, soweit es sich nur um die allgemeine Form der Mannigfaltigkeit handelt, rein qualitativ möglich ist. Auf die Lichtstärken influencirt aber die ganze Reihe der vom Lichte durchstrahlten Medien in viel complicirterer Weise als auf die Qualitäten des Lichtes.

Aus diesem Gesichtspunkte entspringt unmittelbar die allgemeine Forderung der Versuche: Es sind zwei Farbenfelder, das eine gebildet aus einer homogenen Spectralfarbe, das andere gemischt aus zwei Spectralfarben, bei gleichem Farbentone und gleicher Helligkeit in ihrer Sättigung zu vergleichen. — Diese Prüfung ist über das ganze Feld der Combinationen zweier Spectralfarben, soweit in experimentellen Untersuchungen von solchen überall die Rede seyn kann, auszudehnen. Nur die complementären Farben fallen aus der Reihe. Aus leicht ersichtlichen Gründen ist dabei der subjectiven Methode der Vorzug zu geben.

Die Herstellung der Felder erreichte ich durch die folgende Anordnung (Fig. 1 Taf. III). Von einem feststehenden Spiegel reflectirt, fällt das diffuse Licht des Himmels durch die Spalten eines Schirmes  $S_1$ , welcher in eine Oeff-

nung des Fensterladens eingefügt ist, in das verdunkelte Beobachtungszimmer. Der Schirm enthält zwei übereinander befindliche verticale Spalten von 3 Cm. Höhe, welche, horizontal gegen einander beweglich, in beliebiger Entfernung von einander und beliebiger Breite eingestellt werden können. Der untere rechte Spalt (Fig. 1 a Faf. III, die eine schematische Andeutung von dem Schirme giebt) heisse s', der obere linke s". - In drei Meter Entfernung von S, sind Prisma und Linse aufgestellt, welche von s', und s'', zwei spectrale Bilder entwerfen. Das Prisma P ist ein gleichseitiges Münchener Flintglasprisma, die Linse L eine achromatische Steinheil'sche Linse von 40 Cm. Brennweite. Hinter der Linse besindet sich ein Diaphragma D, dessen rechteckförmige Oeffnung in der Richtung der Breite mittels einer Schraube beliebig erweitert oder verengert werden kann. -Im Orte der spectralen Bilder steht der von Hrn. Helmholtz construirte und Pogg. Ann. Bd. XCIV, S. 3, sowie Physiol. Optik. S. 304 beschriebene Schirm  $S_2$ , dessen beide verticale Spalten s'2 und s"2 genannt seyn sollen; s'2 sey, von der Rückseite des Schirmes gesehen, der rechte, s", der linke. Auf der vordern Seite sind (wie in Fig. 1b besonders gezeichnet) auf den versilberten Schlitten die zwei reinen Spectren  $\sigma_1$  und  $\sigma_2$  wahrzunehmen; sie liegen über einander,  $\sigma_1$ , das s', entspricht oben,  $\sigma_2$  dem Spalt  $\sigma''$ , entsprechend unten, und sind horizontal gegen einander verschoben:  $\sigma_1$  von der Mittellinie gegen  $s'_2$  und  $\sigma_2$  gegen  $s'_3$  hin.

Sind die Spalten  $s_2$  und  $s_2$  geöffnet, so fallen im Allgemeinen vier Spectralfarben durch dieselben; es kann aber mit Leichtigkeit die eine davon abgeblendet werden, so daß jetzt, wie verlangt, drei homogene Farben für die Beobachtung zur Verfügung stehen. Diese treffen das Objectiv eines astronomischen Fernrohrs F, welches unmittelbar hinter  $S_2$  auf das Diaphragma D eingestellt ist. Es vereinigt zunächst alle drei durch die Spalten gegangenen Farben in ein einziges Farbenfeld von der Form der Oeffnung des Diaphragma. Durch ein zwischen  $S_2$  und das Objectiv des Fernrohrs pas-

send eingeschobenes, sehr schwach ablenkendes Prisma p (von 3° brechendem Winkel) kann aber immer eine solche Trennung derselben erzielt werden, dass zwei Farbenfelder neben oder über einander erscheinen: das eine gemischt aus zwei Farben, das andere gebildet von der dritten Farbe. Unmittelbare Berührung beider wird durch Einstellung der Breite des Diaphragma D erreicht. — Sind durch die Lage und Breite von s', und s'', die Spectren  $\sigma_1$  und  $\sigma_2$  gegeben, so hängt der Farbenton der Felder noch ab von dem Orte der Spalten s', und s'', in den Spectren, und ihre Helligkeit von der Breite dieser Spalten. Beide, Farbenton und Helligkeit der drei homogenen Farben passend herauszufinden, ist die jedesmalige Aufgabe des Versuches. Ehe ich die Art, wie diese Bestimmung geschieht, näher bespreche, will ich einige Bemerkungen beifügen über die Bedingungen, welchen die einzelnen Theile der Zusammenstellung zu genügen haben.

Es kommt in der Anordnung Alles darauf an, möglichst homogene Spectralfarben zu gewinnen und den Farbenfeldern die möglichst zweckmässige Form für die Vergleichung Die erste Forderung verlangt die Herstellung reiner Spectren und die Einstellung der Spalten s', und s'', in den Ort derselben, parallel den Fraunhofer'schen Linien. Um jene zu erzielen, müssen die Spalten in  $S_1$ schmal und vertical sevn: das Prisma P soll symmetrisch zu denselben, mit verticaler brechender Kante im Minimum der Ablenkung aufgestellt werden; die Linse L und das Diaphragma D sind symmetrisch in Beziehung auf die Symmetrieaxe der Spalten in S, und des Prisma P zu stellen, wenn man sich dieselbe durch das Prisma im Minimum der Ablenkung gebrochen denkt; die Oeffnung von D endlich darf nur den mittleren, nicht zerlegten Theil des Lichtbündels durchlassen. Diesen Bedingungen konnte ich theils durch Beurtheilung von blossem Auge, theils durch die Benutzung von Reflexions- und Brechungsbildern in einer Weise Genüge leisten, welche für die vorliegenden Zwecke vollkommen befriedigt. - Die richtige Einstellung der Spalten des Schirmes S2 in den Ort des Spectrums wird durch das Verschwinden der different farbigen Säume des Feldes erkannt, welches eine einzelne Farbe, durch einen Spalt fallend, liefert. Sehr zweckmäßig controlirt man sie, indem man durch den Spalt hindurch mit einer passend gewählten Lupe einen Theil des Spectrums betrachtet. Die Fraunhofer'schen Linien müssen dann gleichzeitig mit den Rändern des Spaltes deutlich und parallel zu den letztern erscheinen, und bei Bewegung des Auges darf keine perspectivische Verschiebung beider gegen einander eintreten. Diese Beobachtung giebt gleichzeitig eine Controle für die Einstellung des Prisma ins Minimum der Ablenkung: die horizontalen und verticalen Linien des Spectrums müssen gleichzeitig deutlich geschen werden. - Diffuses weißes Licht, welches, von den Wänden oder Objecten des Zimmers reflectirt, gegen die optischen Apparate strömt, wurde durch Schirme möglichst abgehalten; Reflexionen des Lichts in den Apparaten selber (an der Rückfläche des Prisma und den metallischen Flächen des Schirmes S, und des Diaphragma) war durch Schwärzung der Theile vorgebeugt.

Die Beurtheilung der Farbenfelder verlangt die Berücksichtigung der folgenden Momente. Es ist bekannt, dass ein farbiges Feld für eine feine Beurtheilung durchaus eine hinreichende scheinbare Größe haben muß. Bei passender Wahl der Vergrößerung des Fernrohrs lässt sich diess auch für eine bescheidene Größe des Prisma P immer leicht errei-Die Helligkeit der Farbenfelder darf weder zu schwach noch blendend sevn. Große Tageshelligkeit ist immer am Günstigsten, da sich dann die Spalten am meisten verengern, also die Spectren am reinsten und die einzelnen Farben in den kleinsten Intervallen herstellen lassen; zu geringe Stärke des Tageslichtes darf keineswegs durch Erweiterung der Spalten compensirt werden. - Farbige Säume durch partielle Deckung beider Felder oder theilweises Auseinandertreten der beiden Farben des Mischfeldes sind durch sorgfältige Einstellung des Fernrohrs und zweckmäßige Richtung der brechenden Kante des Prisma p zu vermeiden. Prisma P und Linse L müssen von Ungleichartigkeiten oder Unreinigkeiten frei seyn, da sich alle in vergrößertem Maaßstabe als dunkle Flecke im Farbenfelde präsentiren.

Im Versuche sind vor Allem die drei willkurlich gewählten Spectralfarben zu gewinnen. Zur Bestimmung der sechs Größen, welche ihre Farbentöne und Helligkeit ausdrücken, dienen Breite und Lage der vier Spalten. Da in Sa zwei Farben immer durch denselben Spalt gehen, so sind zwei Paare von diesen 8 Veränderlichen von einander abhängig, ihre Zahl reducirt sich also auf 6, der nothwendigen und hinreichenden Anzahl. - Für die Einstellung der Spalten s', und s'', im Spectrum wird in den meisten Fällen einfach das blosse Auge genügen, indem man sich eben, ohne nähere Angaben zu beabsichtigen, einfach die Aufgabe stellt, zwei gewählte Farben zu einer dritten zu mischen. Wo es sich aber um die genauere Bestimmung des Ortes jener Farben im Spectrum, der relativen Lage zu den Fraunhofer'schen Linien oder der Wellenlänge, handelt, da ist ein complicirteres Verfahren nöthig, das unten näher besprochen wird.

Liegen die drei homogenen Farben in den Feldern vor. so ist man bei der eigentlichen Aufgabe angelangt, durch genaue Abstufung ihrer Lichtstärken, d. h. der vier Spaltbreiten, Farbenton und Helligkeit der Felder gleich zu machen. Ist diess erreicht, so kann die Sättigung beider verglichen werden. Bei diesem Verfahren sind, soll es übereinstimmende Resultate liefern, gewisse Vorsichtsmaaßregeln zu beobachten. Dem beobachtenden Auge ist am Ocular des Fernrohrs eine feste und symmétrische Lage zu geben. Schwankt es hin und her, so tritt von der einen Farbe bald mehr bald weniger Licht durch die Pupille und die Farbenfelder variiren, ohne dass objectiv etwas geandert worden wäre. Die Accommodation des Auges muss sorgfältig der Mischfarbe angepasst seyn; denn mit dem Auftreten von ausschliesslichen Zerstreuungskreisen für die eine Farbe erscheint an dem Rande diese Farbe allein und

dann färbt sich gewöhnlich das ganze übrige Feld in der entsprechenden Farbe. Sowohl Nachbilder als Contrasterscheinungen sind wohl in Betracht zu ziehen. Ihr Einfluss ergiebt sich meist leicht bei Wiederholung der Vergleichung in verschiedener Reihenfolge und kleinen Aenderungen der Lichtstärke einer der drei Farben. Subjective Erscheinungen mischen sich bisweilen bei engem Spalte in S2 sehr störend in die Felder. Man kann ihnen durch etwas grössere Breite dieser Spalten, bei Verengerung derjenigen in  $S_1$ , einigermaaßen begegnen. Die Verschiedenheit der Empfindung bei Aenderung des Ortes des Netzhautbildes ist schon hervorgehoben; sie sowohl als analoge Unterschiede in den Empfindungen beider Augen werden von den meisten Beobachtern, die beide aufmerksam vergleichen, sofort wahrgenommen.

Die Resultate dieser Beobachtungen sind die folgenden. Zunächst boten sich naturgemäß die nahe beisammenliegenden Farben des Spectrums der Untersuchung dar. Für sie sind die Ergebnisse übersichtlich in folgender Tabelle zusammengestellt. Es ist dabei die Sättigung der Mischfarbe, wo keine Verminderung zu bemerken war, als spectral, wo aber eine solche sich zeigte, als weißlich oder weiß, je nach dem Grade der Verminderung, bezeichnet.

Comp	onenten	Mischfarbe	Sättigung
Roth	Gelb	Orange	Spectral Spectral Weißlich Weiß Weißlich Spectral Spectral
Orange	Gelbgrün	Gelb	
Gelb	Grün	Gelbgrün	
Gelbgrün	Blaugrün	Grün	
Grün	Cyan	Blaugrün	
Blaugrün	Indigo	Cyan	
Cyan	Violett	Indigo	

Diese Tabelle zeigt in den Sättigungsgraden der Mischfarben eine durchaus symmetrische Anordnung in Beziehung auf das Grün. Alle Mischungen, wo Grün nicht auftritt, sind von demselben Sättigungsgrade wie die entsprechende Spectralfarbe; alle, wo es auftritt, zeigen eine Sättigungsverminderung und zwar ist diese klein, wenn Grün eine der

Componenten bildet, stärker, wenn es die Mischfarbe selbst ist. Es geht daraus hervor, dass das Grün jedenfalls eine ausgezeichnete Stellung in der Farbenreihe einnimmt.

Diess zeigte sich auch in den Mischungen von Gelb und Blaugrün zu Grün oder Gelbgrün und von Cyan und Gelbgrün zu Grün oder Blaugrün, welche alle weisslich aus. fielen. Ebenso in der jetzt sich ausschließenden Reihe von Mischungen, wo die Componenten weiter auseinander im Spectrum liegen. Die Resultate dieser Reihe sind in der folgenden Doppeltabelle zusammengestellt. Es ist darin unter Roth das äußerste gewöhnlich sichtbare Roth des Spectrum verstanden, unter Violett die Farbe zwischen den Linien G und H, unter Grün die Farbe zwischen b und F, etwas näher jener Linie, unter Gelbgrün die Farbe von E bis b, unter Blaugrün diejenige der blauen Seite von F. Diese Definitionen sollen aber zunächst nur approximativen Sinn haben.

Compon.	Mischfarbe	Sättigung	Compon.	Mischfarbe	Sättigung
Roth Gelbgrün	Orange Gelb	Spectral Spectral	Violett Blaugrün	lndigo Cyan	Spectral Spectral
Roth Grün	Orange Gelb Gelbgrün	Weißlich Weißlich Weißlich	Violett Grün	Indigo Cyan Blaugrün	Weißlich Weißlich Weißlich

Die Beobachtungen, welche beide Tabellen enthalten, lassen sich so zusammenfassen: Alle Farben von Roth bis Gelbgrün einerseits, alle vom Violett bis zum Blaugrün andererseits geben unter sich Mischfarben von der Sättigung der entsprechenden dazwischen liegenden Spectralfarben. Grün mit irgend einer Farbe gemischt giebt eine Sättigungsverminderung.

Da die Farben der Enden des Spectrums sich wieder nähern, so waren zu den angeführten Mischungen noch die folgenden zu fügen.

Comp	onenten	Mischfarbe	Sättigung
Violett	Orange	Roth	Weisslich
Roth	Cyan	Indigo Violett	Weißlich Weißlich
Roth	Indigo	Violett	Weisslich

Die Mischfarben sind hier alle weisslich. Eine besondere Anmerkung verdient aber die Mischung von Roth und Indigo zu Violett. Die geringere Sättigung der Mischfarbe gegenüber dem homogenen Violett ist zwar deutlich herauszufinden; jedoch giebt es Fälle, wo die beiden Felder kaum von einander unterschieden werden können. befindet sich hier oft, wie auch schon Hr. Aubert erwähnt, in der eigenthümlichen Lage, dass man zwar einen Unterschied der Felder sicher erkennt, aber nicht anzugeben weiß, ob er in der Sättigung oder in der Helligkeit oder im Farbentone liegt. Lässt er sich noch als der Helligkeit angehörend erkennen, und bringt man dann die Helligkeiten auf möglichste Gleichheit, so findet man die Mischfarbe deutlich weisslicher als die spectrale Farbe. Letzteres ist gerade bei den besten Tageshelligkeiten und bei der sorgfältigsten Vermeidung aller Nachbilder der Fall.

Ueberhaupt ist bei den Mischungen der dritten Tabelle eine sehr genaue Beobachtung der oben besprochenen Cautelen gefordert. Die erste und letzte derselben sind die schwierigsten von allen. Hier treten jene eigenthümlichen, von dem Schwanken der Accommodation bedingten Erscheinungen ganz besonders zu Tage. Von der einen Farbe muß immer nur außerordentlich wenig gewählt werden; der eine Spalt in S<sub>2</sub> wird daher sehr enge, so daß die subjectiven Erscheinungen im Farbenfelde sehr begünstigt werden. Endlich könnte wohl ein psychischer Grund mit im Spiele seyn, der in dem Außtreten einer sehr reinen Grundfarbe in der Mischung läge. Sind ja doch Roth und Grünblau ebenfalls nur sehr schwer zu Weiß zu vereini-

gen, und entspricht ja die berühmteste Zusammenstellung der Farben, die Triade Roth, Grün, Violett der italienischen Maler, den drei Grundempfindungen.

Es wurde oben schon hervorgehoben, dass eine Beobachtung strenge nur für das eine Auge Gültigkeit hat. Beispiele von Verschiedenheiten für meine beide Augen sind folgende. Eine Mischung von Roth und Gelbgrün, welche dem rechten Auge grün im Vergleich zu dem spectralen Gelb erschien, war für das linke zu roth. Eine Mischung von Violett und Blaugrun, welche das rechte Auge von dem spectralen Indigo nicht unterschied, erschien dem linken mehr cyanblau. Roth und Indigo, für das rechte Auge zusammengesetzt zu einem Violett, das im Farbentone dem spectralen gleich war, zeigten dem linken Auge eine Pur-Violett und Orange für das linke Auge zu purnuance. Roth zusammengesetzt, boten dem rechten ein Rosa dar. Diese Unterschiede erklären sich unter der Annahme, dass jedesmal die brechbareren Strahlen der Mischung vom Pigmente des rechten Auges weniger stark absorbirt werden, als von dem des linken.

Die obigen Beobachtungen weichen von den Resultaten, die Th. Young, Helmholtz und Maxwell gewonnen, einigermaßen ab.

Th. Young sagt 1): "It is certain, that the perfect sensations of yellow and of blue are produced respectively by mixtures of red and green and of green and violet light." Wenn auch Young, so viel mir bekannt ist, nirgends ausführliche Mittheilungen über Farbenmischungen gemacht, so ist doch aus der Bestimmtheit seines Ausdruckes, sowie aus der Aenderung der Wahl der Grundfarben in seiner zweiten Besprechung derselben zu schließen, daß er seinen Satz auf eigene Versuche stützt, zumal da die Resultate seiner Vorgänger alle sehr von ihm abweichen 2). Die Verschie-

<sup>1)</sup> Th. Young, Lectures on natural philosophy I, 439. 440.

<sup>2)</sup> Vergl. auch Herschel (Light Art 518) und Dove (Farbenlehre 34).

Da die Annahme von Roth, Gelb und Blau als Grundfarben in der

denheit dieser Resultate Young's von den oben mitgetheilten, könnte davon herrühren, dass seine Methode geringe Sättigungsunterschiede nicht zu erkennen erlaubte, oder dass er in beiden Mischungen nicht ganz denselben Ton des Grün benutzt hat.

Die Abweichungen von den Beobachtungen des Hrn. Helmholtz 1) bestehen darin, das ich eine Anzahl von Mischfarben weniger gesättigt fand. Doch beziehen sie sich nur auf sehr geringe Sättigungsverminderungen und sind wohl in der Kleinheit der Felder begründet, welche die Farben in den Versuchen des Hrn. Helmholtz besassen.

Hr. Maxwell<sup>2</sup>) zieht aus seinen Farbentafeln zunächst den Schluss: . The orange and yellow of the spectrum are chromatically equivalent to mixtures of red and green. They are neither richer nor paler than the corresponding mixtures, and the only difference is that the mixture may be resolved by a prism, whereas the colour in the spectrum cannot be resolved. - In the same way the colours from the primary green to blue are chromatically identical with mixtures of these. Diess schliesst um so weniger erhebliche Abweichungen von meinen Versuchen ein, als die Maxwell'schen Tafeln ganz deutlich eine Abrundung der Ecke B (namentlich in Fig. 4) zeigen; nur wäre die Krümmung hier etwas weniger brechbar. Hr. Maxwell zieht aber für die Enden des Spectrums den weitern Schluss: »the extreme ends of the spectrum are probably equivalent to mixtures of red and blue, but they are so feeble in illumination that experiments on the same plan with the rest can give no result,

Abhandlung: »On the theory of light and colours, read Nov. 12. 1801«, die Annahme von Roth, Grün and Violett in den Lectures 1807 sich findet, so müssen die Versuche in dieses Intervall fallen.

<sup>2)</sup> Helmholtz, Ueber die Theorie der zusammengesetzten Farben Pogg. Ann. Bd. 87, S. 45. Müller's Archiv 1852. S. 461. Physiol. Optik S. 279. Die obige Vergleichung bezieht sich auf die Tabelle der letzteren Stelle.

<sup>3)</sup> Maxwell, On the Theory of Compound Colours. Phil. Trans. 1860. 57.

but they must be examined by some special method. Wäre dieser Satz richtig, so würde er wesentliche Verschiedenheiten von meinen Resultaten involviren. Ich werde mir unten erlauben, näher auf die Discussion dieses Punktes einzugehen 1).

2.

Die mitgetheilten Versuche führten zu dem Resultate, dass das eigentliche Grün des Spectrums in allen Mischungen, mag die zweite Componente seyn, welche sie wolle, eine Sättigungsverminderung der Mischfarbe gegenüber der entsprechenden spectralen Farbe bedingt. Oben waren für die nähere Definition dieses Grün als Gränzen desselben die Fraunhofer'schen Linien b und F angenommen, ohne dass übrigens nähere Genauigkeit damit beansprucht wurde. Es sollen jetzt diese Gränzen genau bestimmt werden.

Wird in der Mischung des Grün mit einer weniger brechbaren Farbe von den weniger brechbaren Tönen des Grün zu den brechbareren fortgeschritten, bei der Mischung mit einer brechbareren Farbe aber umgekehrt von den brechbareren Tönen zu den weniger brechbaren, so läfst sich die Aufgabe in präciser Fassung so ausdrücken: Es soll bestimmt werden, für welche Wellenlänge des Grün in jeder dieser Reihen die Sättigungsverminderung anfängt, merklich zu werden.

Ich wählte die Mischungen mit Roth und Violett zu Gelb und Cyan und ging dort von E aus über b gegen F, hier von c über F gegen b hin.

1) Es braucht der Widerspruch nicht hervorgehoben zu werden, in welchem die obigen Beobachtungen mit der fast allgemein angenommenen Regel stehen, dass die Sättigungsverminderung der Mischfarbe in gewissem Sinne proportional sey der Entfernung der gemischten Farben im Spectrum. Interessant aber ist ihre Beziehung zu den Consequenzen, zu welchen die Theorie des Mitschwingens in den nervösen Organen schon ihre Begründer geführt hat: »dass gar kein, einer homogenen Farbe identischer Farbenton durch Mischung erlangt werden kann." Grailioh, Wiener Sitzungsber, XII, Math, nat. Cl, 288,

Die Zusammenstellung des Apparates war ganz dieselbe, wie die oben beschriebene. Durch den einen Spalt des Schirmes  $S_2$  fiel nur das Grün des einen Spectrums (die in ihn fallende Farbe des andern war abgeblendet), durch den andern Spalt fielen entweder Roth oder Violett von demselben Spectrum und Gelb oder Blau von dem andern. Ein Spalt war somit für das Grün allein zur Verfügung. Durch Drehen der verticalen Schraube seines Schlittens konnte er in stetigem Gange über die Töne des Grün verschoben werden. Beobachtete man dabei mit einer passend gewählten Lupe durch den Spalt die Partie des Spectrums, welche in ihn fiel, so konnte man leicht die dunkeln Linien derselben erkennen und so die Lage, welche der Spalt im Spectrum hatte, genau bestimmen.

In der ersten Versuchsreihe fiel durch den Spalt s", das Grün des Spectrums  $\sigma_1$ , durch  $s'_2$  das Roth von  $\sigma_1$  und das Gelb von o,. Zunächst stand s", im Gelbgrün, die Linie E war deutlich in ihm zu sehen. Die Mischfarbe konnte vom Ange nicht vom spectralen Gelb unterschieden werden. Ich verschob jetzt s", successive ganz wenig gegen das Grün und brachte die beiden Farbenfelder jedesmal in Ton und Helligkeit zu möglichster Gleichheit, bis ich ein schwaches Weisslichwerden der Mischfarbe gegenüber dem spectralen Gelb bemerkte. War diess der Fall, so konnte ich die Liniengruppe b mitten im Spalte wahrnehmen. Stellte ich nachher diese Linie auf den linken Rand des Spaltes ein - das Grün war dabei etwas weniger brechbar - so konnte ich keinen Unterschied in der Sättigung der Farbenfelder mehr wahrnehmen. Der Spalt s", hatte dabei eine Weite von 0,5 Mm. Diese Bestimmung zeigte in Wiederholongen sehr gute Uebereinstimmung. Die Abweichungen waren immer nur solche, dafs ich entweder noch eine Spur von Sättigungsunterschied erkannte, wenn b am linken Bande des Spaltes war, oder erst eine solche, wenn b mit dem rechten sich deckte.

In der zweiten Versuchsreihe fiel durch den Spalt s'2

das Grün des Spectrums  $\sigma_2$ , durch  $s''_2$  Violett von  $\sigma_2$  und Blau von  $\sigma_1$ . Zunächst stand  $s'_2$  beträchtlich jenseits von F im Blaugrün: die Mischfarbe war dem spectralen Blau in jeder Beziehung ähnlich. Schob ich nun durch Drehen der verticalen Schraube den Spalt gegen F hin, bis ich eben eine Sättigungsabnahme bemerkte, so übernahm jetzt die Linie F genau die Rolle von b; auch hier waren die bei Wiederholungen eintretenden Schwankungen ganz analoge. Die Linie F bestimmt somit den Anfang des Weißlichwerdens der brechbareren Mischungen des Grün.

Es geht hieraus hervor, dass das Grün, welches bei Mischung mit irgend einer andern Farbe immer eine Sättigungsverminderung relativ zur entsprechenden Spectralfarbe bedingt, für meine Augen durch die Fraunhofer'schen Linien b und F begränzt ist, somit das Intervall von 517,1 bis 486,0 Milliontel Millimeter Wellenlänge umfast.

Für die Beurtheilung der Genauigkeit dieser Bestimmung will ich anführen, dass, wie sich aus der Spaltweite und dem Abstande von b und F leicht berechnen ließ, die Abweichungen der einzelnen Bestimmungen eine Einheit der Wellenlänge nicht überschritten haben. Auch mag beigefügt seyn, dass ich für die beiden Augen keinen Unterschied in der Lage der Gränzen bemerkt habe.

Diese Bestimmung giebt die Sättigungsverhältnisse, wie sie das Auge in Wirklichkeit unterscheidet und ist eben darum an eine Eigenthümlichkeit desselben gebunden, die hier noch hervorzuheben ist. Das Auge unterscheidet nämlich nur endliche Grade der Sättigung. Die obigen Ergebnisse sagen dabei strenge nur: Bei Mischung von Roth mit successive brechbareren Tönen des Gelbgrün und von Violett mit immer weniger brechbaren Tönen des Blaugrün wird dort bei b, hier bei F dieser endliche Grad des Sättigungsunterschiedes überschritten und darum vom Auge eben wahrgenommen. Nun ist bekannt, dass dieser Werth selber mit der Farbe wechselt. Daraus folgt, dass die Bestimmungen von b und F nicht ganz gleichwerthig sind. Letzteres ent-

spricht einer geringeren Menge von beigemischtem Weiß als ersteres. Auf gleiche Mengen des hinzuzufügenden Weiß reducirt, würde somit die untere Gränze etwas näher gegen E hinfallen. —

Werden in den Mischungen des Grün mit Roth von b an successive brechbarere und brechbarere Töne, in den Mischungen mit Violett von F an stetig weniger brechbare Tone gewählt, so nimmt die Sättigungsverminderung je von Nall an continuirlich zu, bis sie dort bei der Complementärfarbe des Roth, hier bei derjenigen des Violett zu reinem Weiss führt. Daraus folgt, dass zwischen b und F eine Wellenlänge existiren muss, welche gleiche Sättigungsabnehme für beide Mischungen giebt. Wird der Begriff Sättigungsverminderung in dem weitern Sinne, der ihn unabhängig von der Unterschiedsempfindlichkeit des Auges macht, gefasst, so lässt sich dieser Farbenton als diejenige Wellenlänge des Grün definiren, welche mit Roth und Violett zwei Mischfarben erzeugt, die aus den entsprechenden Farben des Spectrums durch Addition derselben Menge Weiss erhalten werden können. - Wählt man die Mischfarben so, dass sie gleiche Stellung zu den zu mischenden Farben haben, so gewinnt dieser Ton des Grün, welches für beide keinen Unterschied in der Sättigungsabnahme giebt, eine gewisse Analogie zu einem ideellen Tone des Grün, der für beide keine Sättigungsabnahme bedingt, und wird damit für die theoretischen Betrachtungen von Wichtigkeit. der grüne Ton, der mit der größten relativen Menge Purpur Weiss giebt, steht also dem Roth und Violett zur Seite, die mit der größten relativen Menge Blaugrün und Gelb Weifs erzeugen.

Die Bestimmung dieses Farbentones beruht außer auf der willkührlichen Wahl von Violett und Roth als Farben mit denen er gemischt werden soll, noch auf der Wahl der Mischfarben, welche je ein bestimmtes Verhältnis in den Abständen von den Componenten implicirt. Diess macht eine genaue Ermittelung durchaus unmöglich; doch kann wenigstens annähernd eine solche versucht werden, wenn

man jenen Lagen der Mischfarben wahrscheinliche Werthe beilegt. Da die Sättigungsverminderung einer Farbe durch Beimischung einer gewissen Quantität Weiß, von der Helligkeit der Farbe wesentlich mit abhängt, so setzen die obigen Betrachtungen gleiche Helligkeiten der Mischfarben voraus. Diese Gleichheit ist nun wieder im Allgemeinen nicht strenge zu erreichen, sie konnte aber doch im Versuche als annähernd erfüllt betrachtet werden. Als Mischfarben wählte ich nämlich Gelbgrün und Blaugrün, den Linien b und F entsprechend. In den grünen Tönen des Spectrums ändert sich aber die Helligkeit nicht auffallend, sie durfte also für b und F als gleich betrachtet werden. Dann entsprach im Versuche der Gleichheit der Helligkeiten Gleichheit der Spaltbreiten.

Ich stellte nun nach einander zwei Paare von Mischungen dar; das eine war eine Mischung von Roth mit Grün und eine solche aus Gelbgrün von der Brechbarkeit der Linie b mit Weiß; das andere war gebildet aus Violett, welches mit Grün, und aus Blaugrün (F), welches mit Weiß gemischt war. Das homogene Blaugrün hatte dieselbe Helligkeit wie das homogene Gelbgrün, und die Menge des Weiß war für beide dieselbe. Die Felder jedes Paares wurden auf gleiche Helligkeit und gleichen Farbenton gebracht; in dem einen Paare war außerdem Gleichheit der Sättigung durch passende Wahl des Weiß erzielt. Es war dasjenige Grün zu finden, für welches jetzt auch in dem andern Paare Gleichheit der Sättigung existirte.

Hierzu diente mir die folgende Modification der früheren Versuchsanordnung. Der Schirm  $S_1$  war ersetzt durch einen zweiten mit drei analogen verticalen Spalten von je 2 Cm. Höhe, die immer leicht in eine solche Stellung zu bringen waren, dass durch den einen Spalt des Schirmes  $S_2$  Gelbgrün von der Brechbarkeit der Linie b, Blaugrün von derjenigen der Linie F und ein dazwischen liegendes Grün sielen; der andere Spalt des Schirmes  $S_2$  war dann disponibel für Roth oder Violett.  $S_1$  enthielt nun weiter einen linearen Spalt w von der Länge der drei ersten zusammen,

È.

bestimmt, das in die Mischungen eingehende Weißs zu liefern. Hierzu war seitlich von dem Prisma P, ganz in der Nähe desselben, ein Spiegel so aufgestellt, daß die von w ausgegangenen Lichtstrahlen erst an ihm, dann an der zweiten brechenden Fläche des Prismas reflectirt wurden. Auf dem Schirme  $S_2$  zeigte sich außer den drei Spectren — ein Schirm, senkrecht zu  $S_1$ , verhinderte, daß w auf  $S_2$  ein viertes Spectrum erzeuße — ein lineares weißes Bild von einer Höhe, die gleich ist der Summe der Breiten jener drei. Durch passende Lage des Spiegels wurde dieses weiße Bild mit den Linien b und F, welche dann seine beiden Enden bildeten, zur Deckung gebracht.

Im Versuche waren zunächst das Grün der Linie b und ein weißes lineares Bild von der Größe dieser Linie und sie deckend (hierzu war w von oben her hinreichend zugedeckt) benutzt; sie bildeten, durch ein Prisma schwach abgelenkt, das eine Farbenfeld. Mit ihnen zusammen fiel das Grün des mittleren Spectrums og durch den Spalt s'2, während s', auf das Roth desselben Spectrums eingestellt war. Waren Farbentöne, Helligkeiten und Sättigungsgrade der Felder gleichgemacht, so wurde s', an die Stelle von s". gebracht, was sich durch Beobachtung des linearen weißen Bildes oder einer der Linien b und F sehr genau erreichen liefs. s'2 und s", erhielten gleiche Breiten mit s"2 und s'1. Wurde dann noch w ebenso weit von unten her zugedeckt, wie vorher von oben und s", auf Violett eingestellt, so waren die beiden andern Felder gewonnen. Das zusammengesetzte Blaugrün wurde dem mit Weiss gemischten in Ton und Helligkeit möglichst ähnlich gemacht, und hierauf die Sättigung beider verglichen. Im Allgemeinen fällt diese nicht gleich aus. Der Ton des Grün und die Menge des Weiss werden alsdann zweckentsprechend geändert und Gleichheit der Felder hergestellt. Die Controle muss jetzt in umgekehrter Reihenfolge mit der ersten Mischung angestellt und das Verfahren so lange fortgesetzt werden, bis für dasselbe Grün und dieselbe Menge Weiss beide Paare der Mischfelder Gleichheit der Sättigung zeigen.

War diess erreicht, so wurden die dunkeln Linien des bestimmten grünen Tones mikroskopisch beobachtet; sie lassen sich, wenn  $s''_1$  sorgfältig symmetrisch verengert worden war, im Spalte des Schirmes  $S_2$  mit großer Deutlichkeit wahrnehmen. Wenn zum Voraus alle Linien, die bei sehr weitem Spalte in  $S_2$  zwischen b und F erkannt werden konnten, aufgezeichnet waren, so war die sichtbare Gruppe sofort bestimmt. Außerdem wurde durch eine kleine, sich leicht ergebende Reihe von Ablesungen an der Scala des Schirmes der Ort ermittelt, den der Spalt in dem Zwischenraume zwischen den Linien b und F einnahm. Mit Hülfe dieser Beobachtungen ließ sich die Liniengruppe des grünen Tones in den Kirchhoff'schen Tafeln mit Sicherheit wiedersinden. Dann konnten den Tabellen von Ditscheiner  $^1$ ) die Wellenlängen für dieselben sofort entnommen werden.

Das System von Linien, das ich zwischen b und F wahrnahm, habe ich in Fig. 3 Taf. III wiederzugeben versucht; die relative Lage der Linien ist dieselbe wie in der Taf. II des Hrn. Kirchhoff, nur sind die Entfernungen im Verhältnifs von 10:1 reducirt. Die specielle Gruppe, die ich in drei Versuchen bis auf sehr geringe Abweichungen der Lage immer im Spalte erkannte, ist mit Gr bezeichnet. Diese drei Linienpaare entsprechen den folgenden Linien der Kirchhoff'schen Tabelle II:

1867,1 1834,3 und 1833,4 1750,4 1854,9 1821,4 und 1818,7 1737,7.

Die Tabellen von Ditscheiner ergeben dafür folgende Wellenlängen in Milliontel Millimeter:

501,7 504,0 509,7 502,7 — 510,9.

Das Mittel aus dem ersten und letzten dieser Werthe, das als wahrscheinlicher Werth der gesuchten Wellenlänge des Grün dienen mag, ist 506,3:

Die Abstände dieses Ortes von den Linien b und F sind 10,8 und 20,3 Wellenlängen, weichen also kaum erheblich

<sup>1)</sup> Ditscheiner, Wiener Sitzungsber. 1864. L. II. 296.

von dem Verhältnis 1:2 ab. Ich habe schon hervorgehoben, dass dieser Werth nur als ein näherungsweise bestimmter betrachtet werden darf.

(Schlus im nächsten Heft.)

## IV. Ueber Emission, Absorption und Reflexion der bei niederer Temperatur ausgestrahlten Wärmearten; von G. Magnus.

(Mit Genehmigung der Kgl. Akad. d. Wiss, aus den Abhandl, f. 1869.)

Die folgende Abhandlung war nicht zur Ausnahme in diese Annalen bestimmt; denn da kurze Auszüge davon sich bereits Bd. CXXXVIII, S. 174 und 333 befinden, so war anzunehmen, dass diejenigen, welche sich für die Aussührung der Versuche interessiren, diese in den Denkschriften der Akademie nachsehen würden. Indessen hat Hr. Prof. Knoblauch in Halle, ohne die Zusendung eines Abzuges dieser Abhandlung abzuwarten, dessen Vollendung durch unverschuldete Umstände bis zum Januar d. J. sich verzögert hatte, neue Versuche zur Widerlegung der darin enthaltenen Thatsachen im Januarhest dieser Annalen veröffentlicht; und deshalb schien es wünschenswerth, allen Lesern derselben Gelegenheit zu geben, die ausführliche Arbeit kennen zu lernen, um sie in den Stand zu setzen, zu beurtheilen, ob die von Hrn. K. angestellten neuen Versuche mit Steinsalz, das durch eine Alkoholssamme oder eine nicht leuchtende Gasslamme erwärmt war, die beide gewis andere als Steinsalzwärme aussenden, ihn zu dem Ausspruch berechtigen: das ich mich getäuscht habe (S. 153).

## I. Ueber Emission und Absorption.

## Einleitung.

Das Steinsalz läst, wie Melloni<sup>1</sup>) behauptet, wenn es vollkommen klar ist, alle Wärme, die darauf fällt und nicht reslectirt wird, hindurch, auch soll dasselbe alle noch so verschiedenen Arten von Wärme gleich gut hindurch lassen. Gegen diese Behauptung sind zwar die HHrn. La Pro-

Thermochrose p. 166. Annales de Chim. LV, p. 355. Pogg. Ann. Bd. XXXV, S, 401.

vostaye und Desains 1) aufgetreten und es ist viel darüber gestritten worden 2), allein Melloni hat dieselbe aufrecht erhalten, und vor nicht langer Zeit hat Hr. Knoblauch 3), gestützt auf neue Versuche, dieselbe als wohl begründet hingestellt. Danach würde das Steinsalz, da es alle Arten von Wärme durchlässt, folglich sehr wenig oder nichts davon absorbirt, sich für die Wärme verhalten wie eine absolut oder fast durchsichtige, farblose Substanz für das Licht. Da aber das Emissionsvermögen eines Körpers sich ebenso wie sein Absorptionsvermögen verhält, so würde die Emission der Wärme von Steinsalz entweder gleich Null, oder doch jedenfalls sehr klein sein. Als ich jedoch auf der polirten Wand eines Blechwürfels, der durch Wasserdämpfe auf 100° C. erhalten wurde, eine Steinsalzplatte von 5mm Dicke befestigte, nahm die Ausstrahlung im Verhältniss von 31 zu 75 zu, war also 21 mal so groß als die des Metalls allein; sie war sogar noch größer, da die Temperatur der äußeren ausstrahlenden Fläche des Steinsalzes offenbar niedriger als die der Metallsläche war, von der sie ihre Wärme erhielt. Diess Resultat war besonders auffallend. Denn da die Metalle die Wärme gar nicht oder nur in sehr dünnen Schichten hindurchlassen, und alle zu ihnen gelangende Wärme, in so fern sie sie nicht zurückwersen, absorbiren, so hätte man erwarten sollen, dass sie jedenfalls mehr ausstrahlen als das Steinsalz, das nach Melloni wenig oder gar keine Wärme absorbirt.

Der erwähnte Versuch ist jedoch zusammengesetzter Natur, denn man erhält die Wärme des Steinsalzes zusammen mit der des Metalls. Auch zeigte sich, daß, wenn man dieselbe Steinsalzplatte vor der geschwärzten Würfelfläche anbrachte, das Verhalten ein ganz anderes war 1). Es wurde

<sup>1)</sup> Comptes rendus XXXVI. 84.

<sup>2)</sup> Ibid. 713, 1073. XXXVII. 293, 599, 669.

<sup>3)</sup> Pogg Ann. Bd. CXX, S. 177.

Auch die IIH. De la Provostaye und Desains haben Versuche mit Steinsalz auf schwarzem Papier ausgeführt. Comptes rend. XXXVI. p. 84.

dann eine geringere Wärmemenge ausgestrahlt als von der geschwärzten Fläche allein. Das Steinsalz absorbirt daher von den Strahlen der geschwärzten Fläche mehr als es selbst ausstrahlt, wogegen es von der geringen Menge, welche das polirte Metall ausstrahlt, mehr durchzulassen scheint als es selbst aussendet. Doch wird später gezeigt werden, dass die hintere Platte noch einen anderen Einflus übt.

Will man die Wärmestrahlung des Steinsalzes allein haben, so darf man keinen Körper dahinter anbringen, der gleichzeitig Wärme ausstrahlt. Dergleichen Versuche hat Hr. Balfour Stewart schon vor längerer Zeit ausgeführt und in einer Abhandlung beschrieben, welche den Titel führt An Account of some Experiments on Radiant Heat, involving an extension of Prevost's Theory of Exchanges. Dieselbe ist in der Royal Society of Edinburgh am 15. März 1858 vorgetragen und im 22. Bande der Transactions dieser Gesellschaft abgedruckt. Später, als Kirchhoff's Untersuchungen über das Sonnenspektrum in den Schriften dieser Akademie erschienen waren, hat Hr. Balfour Stewart seine Resultate, mit Rücksicht auf die Kirchhoff'sche Untersuchung nochmals in dem Report of the British Association for 1861, p. 97 veröffentlicht.

Hr. Stewart erwärmte die Platten, deren Ausstrahlung er untersuchen wollte, in einem Kasten aus Blech, der doppelte Wände hatte, zwischen denen sich kochendes Wasser befand, und der mit einem doppelten Deckel versehen war. Für jede Beobachtung wurde die zu untersuchende Platte herausgenommen und hinter einem Diaphragma so befestigt, dass die Seite derselben die auf dem Boden des Kastens gelegen hatte, ihre Wärme durch das Diaphragma gegen die Thermosäule strahlte.

Es ist auffallend, dass diese, durch ihre Resultate und die daran geknüpften theoretischen Betrachtungen sehr interessante Arbeit nicht in dem Maasse beachtet worden ist, wie sie es nach meiner Ansicht verdiente.

Im Jahre 1866 hat Hr. Tyndall eine Abhandlung über Poggendorff's Annal. Bd. CXXXIX. 28

Radiation und Absorption veröffentlicht 1), in der die von sehr verschiedenen Substanzen ausgestrahlten Wärmemengen mit einander verglichen sind. Obgleich ihm die Methode des Hrn. Balfour Stewart bekannt war, zog Hr. Tyndall doch vor, die Substanzen, deren Ausstrahlung er untersuchen wollte, in Pulverform auf die eine Seite eines Würfels aufzubringen, indem er sie theils mit einer Lösung von Schwefel in Schwefelkohlenstoff darauf befestigte, theils sie durch Elektricität daran haften machte.

Um die Ausstrahlung des Steinsalzes allein zu erhalten, muss man, wie schon bemerkt, vermeiden es auf einem andern Körper zu befestigen. Man kann es daher nicht in Pulverform anwenden. Zwar haben die HHrn. De la Provostave und Desains2) gefunden, dass Kienrus und Zinnober nicht nur quantitativ, sondern auch qualitativ verschiedene Wärme ausstrahlen; Melloni 3) dagegen behauptet, dass sehr feine Pulver von Kalk und Lampenschwarz gleiches Ausstrahlungsvermögen besitzen; und Masson und Courtépée 4) wollen sogar gefunden haben, dass alle Körper im Zustande hinreichender Feinheit z. B. als chemische Präcipitate das gleiche Ausstrahlungsvermögen wie Lampenschwarz besitzen. Hr. Tyndall b) hat jedoch zu diesen Versuchen bemerkt, dass die beobachtete Gleichheit der Ausstrahlung davon herrührt, dass die Pulver mittelst einer Auflösung von Gummi auf die Würfelsläche gebracht worden sind und dass die dünne Schicht von Gummi alle Theile nach dem Trocknen überzogen habe und der eigentlich ausstrahlende Körper gewesen sey. Indess wenn diese Bemerkung auch zutreffend seyn mag, so schien es doch nothwendig, bei den folgenden Versuchen die Anwendung von Pulver zu vermeiden und den ausstrahlenden Körper als Platte aus möglichst reinem Material, und vollkommen polirt anzuwenden.

<sup>1)</sup> Philos. Transactions for 1866. 83.

<sup>2)</sup> Comptes rendus XXXIV. 951. Pogg. Annal. LXXXVI. 464.

<sup>3)</sup> Thermochrose 98.

<sup>4)</sup> Comptes rendus XXV. 936.

<sup>5)</sup> Phil. Transactions for 1866. p. 85.

Beschreibung der Versuche.

Die Erwärmung der Platten geschah in einem Luftstrom, zu welchem Ende sie mittelst feiner Platindrähte über einer Vorrichtung von folgender Construction aufgehängt wurden. Aus einem horizontalen Rohr von 100mm Länge, s Fig. 7 Taf. III, brannten 50 kleine Glasslammen, die eine Reihe bildeten. Statt derselben wurden später acht Bunsen'sche Brenner angewendet, die in einer Reihe dicht nebeneinander befestigt waren, wie sie Fig. 8 Taf. III ss angedeutet sind. Ein nicht verzinntes Eisenblech war in Form von cde Fig. 7 Taf. III gebogen, und stand so über den Flammen, dass der obere Theil desselben stark erwärmt wurde, die Produkte der Verbrennung aber nur nach den beiden Seiten entweichen konnten; es war 24cm breit. Ueber diesem Blech befand sich ein zweites von ganz ähnlicher Gestalt, jedoch nur 18cm breit. Das letztere hatte in der Mitte, oben an seiner höchsten Stelle bei fg eine Oeffnung von 15mm Breite und 60mm Länge, und der Zwischenraum zwischen beiden Blechen betrug überall 8mm. In diesen Zwischenraum trat die Luft des Zimmers von allen Seiten ein, wurde in demselben erwärmt und stieg aus der Oeffnung fg in die Höhe. zu verhüten, dass die Produkte der Verbrennung sich der aufsteigenden Luft beimischten, war das untere, unmittelbar über den Flammen befindliche Blech breiter als das obere, so dass es auf jeder Seite 3cm hervorragte.

Die ganze Vorrichtung war auf einer Platte befestigt, auf der außerdem noch eine senkrechte Stange hk mit einem horizontalen, verstellbaren Arm h angebracht war. An diesem wurden Platinadrähte op und qr befestigt, welche die zu erwärmende Platte pr trugen, so daß dieser höher oder niedriger und genau über die Mitte der Oeffnung fg mittelst des Armes h befestigt werden konnte. Neben der Platte und zwar in derselben Ebene mit ihr, befand sich noch ein Thermometer in unveränderter Stellung über der Oeffnung fg. Sorgt man dafür, daß in dem Zimmer, in welchem dieser Heizapparat, den man mit dem Namen Aerolampe bezeichnen könnte, sich befindet, Luftströmungen

möglichst vermieden werden, so behält das Thermometer, nachdem es einen bestimmten Stand erreicht hat, denselben mit sehr geringen, nur wenige Grade betragenden Schwankungen, und die daneben befindliche Platte erreicht eine so constante Temperatur, das ihre Strahlung gegen die Thermosäule nach Verlauf einer Stunde einen kaum um ein oder zwei Scalentheile veränderten Ausschlag des Galvanometers hervorbringt.

Vor der Platte war,  $10^{\rm cm}$  davon entfernt, ein doppelter Metallschirm AB angebracht, der mit einem Diaphragma von  $16^{\rm mm}$  im Quadrat versehen war, dessen Mittelpunkt mit dem der Platte in einer Horizontalen lag. Zwischen Platte und Diaphragma befand sich noch ein beweglicher Doppelschirm FG ohne Diaphragma, der nur während der Beobachtung entfernt wurde. Um diesen mit Leichtigkeit bewegen zu können, war er an einem Draht befestigt, an dem er in die Höhe gezogen wurde. Er war hinreichend groß, um den Schirm mit dem Diaphragma gegen die Erwärmung durch den Heizapparat zn schützen, mußte aber zu dem Ende öfter mit einem zweiten ähnlichen Schirm vertauscht werden.

Hinter dem ersten Diaphragma stand in einem Abstand von 16<sup>cm</sup> ein anderer Doppelschirm CD mit einem ganz gleichen Diaphragma und hinter diesem war die Thermosäule aufgestellt. Sie war mit einem Conus versehn und befand sich mit diesem in einem kleinen Kasten HIK aus Glasplatten, aus dem nur die Oeffnung des Conus hervorragte. Da dieser Schutz gegen die Bewegung der Luft nicht genügte, so war dieser Glaskasten wieder mit einem größeren Kasten aus Pappe CDLM umgeben, in dem keine andere Oeffnung befindlich war als das Diaphragma des zweiten Schirms CD, der die eine Wand des Kastens bildete.

Durch die zweifachen Diaphragmen war erreicht, dass alle Strahlen nahe parallel zur Säule gelangten, deren beruste Fläche sich 24cm hinter dem zweiten Diaphragma m befand, in Summa folglich 50cm von der ausstrahlenden Platte entfernt war. Da die zur Ausstrahlung benutzten Platten stets viel größer als die Diaphragmen waren, so brauchten sie nicht alle von gleicher Größe zu seyn, denn

es gelangte immer nur die Wärme von dem mittleren Theil derselben zur Säule.

Als Galvanometer wurde das früher beschriebene <sup>1</sup>) mit Doppelnadel und Spiegel benutzt, das mittelst eines Fernrohrs aus 3 Meter Entfernung abgelesen wurde. Bei dieser Art der Beobachtung kann man, wie dort gezeigt worden, ohne einen merklichen Fehler zu begehen, die beobachteten Ausschläge den Wärmemengen proportional setzen.

Bei den folgenden Versuchen war die Temperatur des Luftstroms, der zur Erwärmung der Platte diente, gewöhnlich 150° C. War in diesem Luftstrom keine Platte befindlich, so fand auch nicht die geringste Erwärmung der Thermosäule statt. Auch wenn aus einem Kolben mit kochendem Wasser ein Strom von Wasserdampf mittelst eines Rohres zwischen die Bleche cde und fgh geleitet wurde, oder wenn Schwämme, getränkt mit Wasser, zwischen diese gebracht wurden, wobei der aufsteigende Luftstrom viel mehr Dämpfe enthielt als zur Sättigung der Luft bei mittlerer Temperatur erforderlich waren, trat keine oder eine so schwache Erwärmung ein, dass der Ausschlag des Galvanometers höchstens 2<sup>mm</sup> betrug. Es ist diese ein neuer Beweis dafür, dass die feuchte Luft nicht merklich mehr Wärme ausstrahlt als trockne und daher auch nicht mehr absorbirt als diese.

Auf diese Weise war aber auch dargethan, dass, wenn sich eine Platte in dem Luftstrom der Lampe befand, die Erwärmung der Säule nur von dieser Platte und nicht von der warmen Luft herrührte.

Zunächst wurde nun die Ausstrahlung von einigen bis zu derselben Temperatur von 150°C. erhitzten Platten mit einander verglichen. Die gefundenen Werthe standen in folgendem Verhältnis:

Eine	geschwärzte Metall- (Silber)	Platte	100
	Glasplatte 2 <sup>mm</sup> dick		64
20	Flusspathplatte 10 <sup>mm</sup> dick		45,5
<b>3</b>	Sylvinplatte 3mm dick		17
	Steinsalzplatte 3mm dick		13
>	Silberplatte 1 <sup>mm</sup> dick polirt	•	9,7.

<sup>1)</sup> Pogg. Ann. Bd. CXVIII, S. 577.

Als hierauf die Steinsalzplatte auf der polirten Silberplatte befestigt wurde, betrug die Ausstrahlung von beiden bei derselben Temperatur bedeutend mehr als die Summe der Ausstrahlungen der beiden einzelnen Platten, nämlich 41 Proc. von der Wärme, welche die geschwärzte Silberplatte ausstrahlte. Diese große Vermehrung konnte nur davon herrühren, dass die von der Hintersläche der Steinsalzplatte ausgesandte Wärme von der Silberplatte reflectirt wurde und durch die Steinsalzplatte hindurch zur Säule gelangte, wobei auch die Temperatur der Steinsalzplatte selbst sich steigerte. Dass es sich so verhielt, wurde dadurch bestätigt, dass die Silberplatte, wenn sie von der Steinsalzplatte getrennt, in verschiedenen Entfernungen hinter derselben aufgestellt wurde, ähnliche Steigerungen der Ausstrahlung bewirkte. In diesen Fällen, wo der Abstand der beiden Platten mehr als 1" betrug, war die Silberplatte durchaus nicht warm und konnte daher nur durch Reflexion wirken. Wurde sie geschwärzt und in derselben Entfernung angebracht, so war die Menge der aus der Steinsalzplatte hervorgehenden Wärme zwar auch größer als in dem Falle, wo die Platte nicht vorhanden war, doch war die Steigerung durch die geschwärzte Platte viel geringer als durch die polirte, woraus wiederum hervorgeht, dass die Metallplatte durch Reflexion zur Erwärmung beitrug.

Es ergiebt sich hieraus wie nothwendig es ist, darauf zu achten, dass bei der Ausstrahlung diathermaner Substanzen alle Restexionen so viel als irgend möglich vermieden werden.

Hiernach ist auch die oben erwähnte größere Ausstrahlung, welche eintrat, wenn vor der politten Würfelfläche eine Steinsalzplatte befestigt war, eine Folge der Reflexion gewesen. Dennoch ist, wie angeführt worden, die Ausstrahlung des Steinsalzes auch ohne alle Reflexion größer als die des politten Metalls.

Absorption der Wärme durch diathermane Körper.

Die folgenden Versuche sind unternommen, um zu erfahren, in wie weit diathermane Substanzen die Wärme, die

sie ausstrahlen, in höherem Maasse absorbiren, als die von anderen Körpern ausgestrahlte.

Die Beantwortung dieser Frage bietet ein besonderes Interesse. Bekanntlich hat Hr. Kirchhoff den Satz ausgesprochen 1), dass bei allen Körpern das Verhältnis zwischen dem Emissions- und dem Absorptionsvermögen bei derselben Temperatur für jede Strahlengattung das gleiche sey. Gleich im Beginn dieser Versuche hatte sich gezeigt, dass das Steinsalz die Wärme, die es ausstrahlt, vorzugsweise absorbirt, daraus war zu schließen, dass das erwähnte Gesetz, selbst bei Verschiedenheit der Temperatur des ausstrahlenden und des absorbirenden Körpers, noch Anwendung findet, denn die ausstrahlende Steinsalzplatte war, wie bei allen Versuchen über Wärmestrahlung, von höherer Temperatur, als die bestrahlte.

Um zu untersuchen, in wie weit auch bei anderen Substanzen ein ähnliches Verhalten stattfindet, bedurfte es zunächst einer Anzahl solcher Substanzen, die sowohl als Ausstrabler wie als Absorbenten benutzt werden konnten, und zwar mußten dieselben zu den Diathermanen gehören denn nur bei diesen war ein Erfolg zu erwarten.

Die Zahl der Substanzen aber, die sich hierfür eignen, ist außerordentlich klein. Denn Glühhitze kann bei diesen Versuchen nicht angewendet werden, weil es kaum möglich ist, die Körper bei so hoher Temperatur constant zu erhalten. Außerdem würde auch die Ausstrahlung von glühenden Körpern deßhalb zu keinem Resultate führen, weil die Wärme sich ähnlich wie das Licht verhält. Wie nämlich in höheren Temperaturen alle festen Körper das gleiche Licht, roth oder weiß aussenden, so vermindern sich auch durch Hinzutreten neuer Wellenlängen die charakteristischen Verschiedenheiten der Wärme in der Glühhitze. Das Erbium sendet zwar, wie Bunsen<sup>2</sup>) gefunden hat, auch im festen Zustande ganz bestimmte Farben oder Wellenlängen aus, indeß ist dieß der einzige bis jetzt bekannte feste Körper, der sich so verhält.

<sup>1)</sup> Untersuchungen über das Sonnenspektrum, 2. Aufl., S. 24.

<sup>2)</sup> Liebig und Wöhler, Annalen der Chemie Bd. CXXXVIII, S. 13.

Die Wärme von dunkler Quelle wird aber nur von einer sehr kleinen Anzahl von Substanzen durchgelassen. Melloni') hat von der Wärme, die ein Kupfer-Würfel von 100°C. ausstrahlte, einen größeren Durchgang bei Steinsalz, Schwefel und Flußspath beobachtet. Quarz ließ davon nur 3 Proc. hindurch. Von der Wärme des bis 400°C. erwärmten Kupfers ließen, außer den genannten, auch Beryll und Topaz 13 bis 14 Proc. hindurch, Quarz, Glas und Doppelspath dagegen nicht mehr als 6 Proc.

Zu diesen wenigen Substanzen ist in neuerer Zeit noch der Sylvin gekommen, der die dunkle Wärme nahe so gut durchläfst wie Steinsalz.

Ferner ist es möglich gewesen für die folgenden Versuche auch Platten von Chlorsilber und von Bromsilber auzuwenden. Hr. Dr. Schultz, dessen Unterstützung ich mich bei dieser Untersuchung zu erfreuen hatte, hat sich auf meine Veranlassung mit der Herstellung von Platten aus diesen Substanzen beschäftigt, und es ist ihm gelungen, aus beiden vollkommen klare, durchscheinende Platten auf folgende Weise zu erhalten.

Der vollständig getrocknete und vor der Einwirkung des Tageslichts geschützte Niederschlag wurde auf eine genau horizontal liegende Platte aus sehr dünnem, sogemannten Birmingham Glas (aus dem man Deckgläser für mikroskopische Beobachtungen zu schueiden pflegt) gebracht und mit einer zweiten ähnlichen Platte bedeckt. Diese Platten wurden, sowohl von oben als von unten, mittelst starker Bunsen scher Brenner erhitzt, bis das Silberpräparat schmolz. Es ist schwierig die geschmolzenen Platten frei von Luftblasen zu erhalten, jedoch gelingt diefs mit Anwendung gewisser Handgriffe. Nach dem Erkalten, das sehr langsam geschehen muß, haftet die geschmolzene Masse an den Glasplatten. Um sie davon zu trennen, wird das ganze in Salpetersäure gebracht, die sich sehr allmählig zwischen das Glas und die geschmolzene Masse capillarisch hineinzieht,

<sup>1)</sup> Thermochrose S. 164,

und beide von einander trennt. Leider hat es bis jetzt nicht gelingen wollen Platten von größerer Dicke frei von Luftblasen herzustellen, so daß Platten von 3mm Dicke genügen mußten. Auch Selen, aus dem Hr. Dr. Schultz Platten auf ähnliche Weise hergestellt hat, läßt, wenn es sich im amorphen Zustande befindet, die dunkle Wärme in hinreichender Menge durch. Im krystallinischen Zustande ist dieser Körper aber für die dunkle Wärme ganz atherman. Das Selen konnte ebenso wenig wie Schwefel als Ausstrahler benutzt werden, da beide bei der angewandten Temperatur schmolzen.

Steinsalz, Flufsspath, Sylvin, Chlorsilber und Bromsilber waren daher die einzigen Substanzen, die benutzt werden konnten. Aber die Anwendung derselben bietet noch eigenthümliche Schwierigkeiten. Wenn nämlich Platten von Steinsalz, Sylvin oder Flusspath auch noch so vorsichtig erwärmt und ebenso abgekühlt werden, so pflegen sie wegen ihrer vollkommenen Spaltbarkeit sehr häufig zu springen. Es bleibt dann nur übrig sie zu erneuen. Abgesehen von der großen Mühe, die diess veranlasst, sind die Platten, selbst wenn sie aus ein und demselben Stück geschnitten sind, doch nicht von ganz gleicher Beschaffenheit und liefern daher etwas von einander abweichende Resultate. Außerdem war es nöthig die Platten von Steinsalz und Sylvin häufig von Neuem zu poliren und die von Chlor- und Bromsilber sorgfältig gegen den Einfluss des Lichtes zu schützen, zumal diese letzteren schon während ihrer Herstellung, trotz aller Vorsicht, eine schwache Färbung annehmen.

Zu diesen Schwierigkeiten kommt noch, dass es kaum möglich ist die zu erwärmende Platte immer genau in gleicher Weise in dem sie erwärmenden Luftstrome zu befestigen, und dass es auch nicht leicht ist die absorbirenden Substanzen in absolut gleicher Weise anzubringen. Jede Neigung der letzteren aber bedingt eine verschiedene Reflexion und damit auch einen verschiedenen Durchgang der Wärme. Mit Rücksicht auf solche Ungunst der Verhält-

nisse stimmen die erhaltenen Werthe noch gut genug, denn sie weichen nur um wenige Procente von einander ab.

Theoretische Betrachtungen.

Bevor zu den Versuchen selbst übergegangen wird, möchte es zweckmäßig seyn einige theoretische Betrachtungen vorauszuschicken.

Wenn Strahlen einer bestimmten Wärmeart senkrecht auf eine diathermane Platte fallen, und I bezeichnet die Menge, oder die Intensität dieser Strahlen, R den Bruchtheil, welcher davon reflectirt wird, so ist (1 - R) I die Menge der in die Platte eindringenden Strahlen. ferner a den Bruchtheil dieser Wärmeart bedeutet, der durch die Einheit der Dicke dieser Platte hindurch gelangt, welchen Werth man den Durchlassungs- oder Transmissions-Coëfficienten nennen kann, in welchem Falle 1 - a der Absorptionscoëfficient seyn würde, so ist (1 - R) Ia die Menge, welche durch die Einheit der Dicke hindurch gelangt. Durch die zweite ebenso dicke Schicht gelangt dann (1-R) Ia<sup>2</sup>, und durch die n fache Schicht (1-R) Ia<sup>2</sup>. Da a stets kleiner als Eins ist, so nähert sich (1-R) Ia<sup>n</sup> mit zunehmendem n. d. i. mit zunehmender Dicke immer mehr Null. Vorausgesetzt aber die Platte ist so dünn, dass noch Wärme bis zu ihrer hinteren Fläche gelangt, und es bezeichnet  $R_0$  den Bruchtheil, der an dieser Fläche nach innen reflectirt wird, so ist die Menge, welche austritt,  $(1-R) (1-R_0) Ia^n$ .

Bezeichnet b den Transmissions-Coëfficienten einer andern Wärmeart, die mit der Intensität I' senkrecht auf dieselbe Platte fällt und bezeichnen R' und  $R'_n$  die Reflexionscoëfficienten für diese Wärmeart, so ist die Menge, welche von derselben austritt,  $(1-R')(1-R'_0)I'b^*$ . Nimmt man an, dass die Reflexionscoëfficienten für die verschiedenen Wärmearten gleich sind, so verhalten sich die austretenden Wärmemengen wie  $Ia^*:I'b^*$ . Diese Werthe werden mit wachsendem n, d. i. mit wachsender Dicke der Platte immer mehr verschieden.

E,

Betrachtet man nun statt der Durchlassung die Ausstrahlung der Wärme von einer Platte, die mehrere Wärmearten aussendet, so strahlt, vorausgesetzt, dass sie homogen ist, jeder ihrer Punkte diese Wärmearten aus, und zwar jeder Punkt mit derselben Intensität, vorausgesetzt, daß sie überall von gleicher Temperatur ist. Sind I und I' die Intensitäten, mit welchen zwei Wärmearten von jedem Punkte der Platte ausgestrahlt werden, und a und b respective ihre Transmissionscoëfficienten, so verhalten sich die Intensitäten, mit welchen diese Wärmearten zur Oberfläche gelangen, wie Ia": I'b', wo n die Entfernung des ausstrahlenden Punktes von der Obersläche bedeutet. Nimmt man an, dass der Reflexionscoëfficient Ro für beide Wärmearten gleich ist, so treten beide auch in diesem Verhältniss aus der Platte aus. Je größer daher n ist, um so mehr sind die Intensitäten beider Wärmearten von den Intensitäten verschieden, mit welchen sie von jedem Punkte im Innern ausgesandt werden-

Denkt man sich an eine ausstrahlende Platte noch eine zweite angefügt, so dass die letztere ihre Wärme durch die erste hindurch zur Säule sendet, so ist nicht nur überhaupt die Menge der ausgestrahlten Wärme größer, sondern es wird auch jede einzelne Wärmeart vermehrt, allein in sehr verschiedenem Verhältnis. Denn die von der hinzugefügten Platte kommenden Wärmearten gelangen mit um so mehr von einander verschiedenen Intensitäten zur ausstrahlenden Oberfläche, je dicker die Schicht ist, die sie zu durchlaufen haben. Es kann bei Anbringung der zweiten Platte hinter der ersten eine oder die andere von den Wärmearten, die diese aussendet, in so geringer Menge zur Oberfläche gelangen, dass sie gleich Null ist, also keine Vermehrung dieser Wärmeart bewirkt, eine Verminderung kann aber durch Hinzufügen einer neuen Schicht oder durch Vermehrung der Dicke der Platte für keine Wärmeart eintreten.

Allein wenn auch die Quantität von keiner der ausgestrahlten Wärmearten durch die vermehrte Dicke der Platte geringer wird, so ändert sich doch das Verhältnifs, in welchem die verschiedenen Wärmearten ausgestrahlt werden.

und zwar in der Art, dass von der leichter absorbirbaren weniger, relativ zur gesammten Wärme austritt.

Ausstrahlung von Steinsalz.

Zunächst wurden polirte Platten von Steinsalz, die eine Dicke von 2,5 mm bis 5 mm hatten, über der Lampe angebracht. Sie wurden auf Temperaturen von 110° bis 225° erhitzt. Die Erwärmung, welche die Thermosäule bei direkter Strahlung durch die Luft ohne Einschaltung einer Platte erfuhr, und die verschieden nach der Temperatur der ausstrahlenden Platte war, brachte Ausschläge des Galvanometers hervor, die zwischen 29 und 66 Millim. oder Scalentheile betrugen. Für jede Platte wurde die direkte Strahlung = 100 gesetzt und die beim Durchgange der Strahlen durch die verschiedenen absorbirenden Platten erhaltenen Ausschläge in Procenten derselben berechnet. Die bei diesen Berechnungen zu Grunde gelegten Ausschläge waren übrigens hier, wie bei allen folgenden Versuchsreihen, die Mittel aus drei hinter einauder angestellten Beobachtungen.

Die absorbirende Platte befand sich dicht an dem zweiten Diaphragma. Sie ist in Fig. 7 Taf III mit xy bezeichnet. So weit die angewandte Methode zu beobachten gestattete, zeigte sich kein Unterschied in dem Verhältnis des Durchganges, die ausstrahlende Platte mochte eine etwas höhere oder niedere Temperatur innerhalb der erwähnten Gränzen haben. Es folgen hier die Mittelwerthe aus mehreren Reihen von Beobachtungen, die besonders in Bezug auf den Durchgang durch Steinsalz zahlreich waren.

Von der Wärme, welche klare, glatte, polirte Steinsalzplatten

von 2	,5 t	ois	3mm	Dicke	bei	1500	C.	ausstrahlten,	gingen	durch:
-------	------	-----	-----	-------	-----	------	----	---------------	--------	--------

Luft		100 Proc.
Steinsalz	1mm dick	53,2
b	2	41,6
39	5	30,5
33	20	20,0
n	80	20,9
Sylvin	3	55,16
	10	44,0
25	20	36,5
Flussspath	2,8	8,3
,	10	8,3
Chlorsilber	0,6	64,0
20	3	47,4
Bromsilber	0,3	68,8
25	2,75	45,3
Selen	2,5	13,3.

Aus diesen Zahlen geht hervor, dass das Steinsalz, das von der Wärme des geschwärzten Würfels 85 Proc. und von den meisten Wärmearten nahe ebenso viel durchliefs. von der Steinsalzwärme bei einer Dicke der absorbirenden Platte von 1mm nur die Hälfte der auffallenden Strablen und bei einer Dicke von 20mm nur etwa ein Fünftel, 20 Proc., durchläßt. Das Steinsalz absorbirt folglich die vom Steinsalz ausgestrahlte Wärme in sehr hohem Maafse. Auch sieht man, dass diese Absorption mit der Dicke der absorbirenden Platte rasch zunimmt. Das Steinsalz hat folglich einen großen Absorptions-Coëfficienten für die vom Steinsalz ausgestrahlte Wärme.

Von einer Platte von 20mm Dicke ist bereits so viel absorbirt, dass der Theil, der bei noch größerer Dicke absorbirt wird, fast Null ist. Denn ließ man die Steinsalzwärme durch ein ganz klares, von parallelen, gut geschliffenen Wänden begränztes Stück Steinsalz, das 80mm dick war, hindurch gehen, so liefs diefs nicht weniger hindurch, als die

Platte von 20<sup>mm</sup>. Hieraus lässt sich schließen, dass die von den angewandten Platten ausgestrahlte Wärme wenigstens zweierlei Art ist. Der eine Theil hat einen großen Absorptions-Coëfficienten, oder wird vom Steinsalz selbst gut absorbirt, denn durch eine Schicht von 20<sup>mm</sup> Dicke wird er schon vollständig absorbirt. Der andere hat einen kleinen Absorptions-Coëfficienten oder wird wenig vom Steinsalz absorbirt.

Durch das Stück Steinsalz von 80mm Dicke geht übrigens relativ zu den anderen Platten wahrscheinlich weniger Wärme, als es nach dem Versuche scheint. Denn da die Hinterfläche dieser dicken Masse sich da befand, wo die dünnen Platten stets angebracht waren, nämlich dicht an dem zweiten Diaphragma, so war ihre vordere Fläche dem ersten Diaphragma und der Wärmequelle sehr nahe. fiel defshalb auf diese vordere Fläche ungleich mehr Wärme als auf die einer dünnen Platte, und desshalb gelangte auch mehr hindurch, besonders weil wegen der Nähe der Wärmequelle die Strahlen divergirend auf die vordere Fläche fielen, durch Brechung aber im Innern der Masse wieder convergirender wurden und daher in größerer Menge zum zweiten Diaphragma gelangten als durch die Luft. dicke Steinsalzmasse binter dem zweiten Diaphragma anzubringen, erlaubte die Nähe der Thermosäule nicht. Es wäre daher wohl möglich, dass die Gränze der Dicke, bei der die Wärme vom Steinsalz so weit absorbirt ist, dass bei Vermehrung der Dicke keine fernere Absorption wahrnehmbar ist, mehr als 20mm beträgt.

Der Sylvin verhält sich für die Steinsalzwärme insofern ähnlich wie das Steinsalz selbst, dass die Absorption durch denselben mit der Dicke der absorbirenden Platte zunimmt, allein bei gleicher Dicke der Platten absorbirt der Sylvin viel weniger Steinsalzwärme als das Steinsalz selbst.

Sehr auffallend ist die ausserordentliche geringe Menge dieser Wärme, welche durch den Flusspath gelangt, und die mit der Dicke der absorbirenden Platte sich kaum ändert. Der angewandte Flusspath zeigte sehr deutlichen Blätterdurchgang, war aber vollkommen klar, farblos und durchsichtig<sup>1</sup>). Der wahrscheinliche Fundort desselben ist die *Nunn* bei *Brienz*. Die Platten hatten bei Dicken von 2,8<sup>mm</sup> bis 10<sup>mm</sup> einen Durchmesser von 52<sup>mm</sup>.

Beim Chlor- und Bromsilber nimmt die Absorption mit der Dicke der absorbirenden Platte zu. Allein die angewandten Platten waren überhaupt nur dünn, daher mag es kommen, dass eine Verschiedenheit in der Absorption durch Chlorsilber und durch Bromsilber kaum wahrzunehmen ist.

## Dickere Steinsalzplatten.

Wurden statt der dünnen Platten dickere von 15 bis 18 mm Dicke angewendet, so strahlten diese, bis zu derselben Temperatur wie die dünneren erhitzt, nicht nur mehr Wärme überhaupt aus, sondern diese ging auch in größerem Verhältnis durch die verschiedenen Platten. Der Grund dieser Erscheinung ist unter Berücksichtigung der oben erwähnten theoretischen Betrachtungen leicht einzusehen.

Denn denkt man sich die dicke Platte in zwei parallele Platten getrennt, so wird nicht nur die der Säule zugewandte, welche die erste heißen soll, Wärme zur Säule senden, sondern auch von der zweiten wird Wärme durch die erste hindurch zur Säule gelangen, von beiden zusammen also jedenfalls mehr als von einer allein. Aber zugleich ist klar, dass in dieser größeren Menge auch ein relativ größerer Antheil von der nicht absorbirbaren Wärme enthalten Denn stellt man sich die beiden parallelen sevn muss. Platten wiederum vor, so strahlt die vordere, der Säule zugewandte, Wärme von derselben Beschaffenheit zur Säule wie wenn sie allein vorhanden wäre, die Wärme aber, welche von der zweiten Platte kommt und durch die erste hindurch gegangen ist, hat ihre Zusammensetzung geändert. Sie hat einen Theil der absorbirbaren Strahlen verloren und ist desshalb relativ reicher an nicht absorbirbaren und desshalb ist auch die ganze Menge der aus beiden, oder aus der

<sup>1)</sup> Ein Paar später erhaltene Platten waren nicht überall klar,

einen dicken Platte austretenden Wärme reicher an nicht absorbirbaren Strahlen.

Bei. den dickeren Platten hat sich indess noch ein eigenthümlicher Umstand herausgestellt. Die eine derselben von 18<sup>--</sup> Dicke war vollkommen wasserhell, in einem Grade wie die Steinsalzplatten sehr selten vorkommen, die andere von 15<sup>--</sup> war in ihrem Innern weniger klar und zeigte wenige fremde Einmengungen. Die Wärme dieser beiden Platten war wesentlich verschieden. Es folgen hier zwei Beobachtungsreihen, die mit der einen, und drei, die mit der anderen angestellt sind, und zwar enthalten diese nicht nur die nach Procenten berechneten Werthe, sondern auch die Beobachtungen des Galvanometers, damit man beurtheilen könne, wie weit die mit derselben Platte erhaltenen Werthe unter sich übereinstimmen.

Steinsalz.

		п	nicht überall ganz 15mm dick	all ganz klar n dick				überall g	überall ganz klar 18mm dick		
Datum der Beobachtung	eobachtung	20. Mai	Mai	29.	Mai	21. Mai	Mai	21. Mai	Mai	30.	Mai
Durchgang durch	durch	Ausschlag des Galvan.	Proc.	Ausschlag des Galvan.	Proc.	Ausschlag des Galvan.	Proc.	Ausschlag des Galvan.	Proc.	Ausschlag d. Galvan.	Proc.
Luft	,	20	100	49	100	42,3	100	41	100	42,7	100
Steinsalz	1 8 8	29.7	59.4	4,88 4,08	68,1	22.5	53.2	23.0	53.6	23,25 22,0	54,4
	'n			24.8	50,6			262	262	18,5	43.33
	88	20	40	19,8	40,4	10,8	25,5	10,1	24,6	10,3	24,1
Sylvin	⊋"	35	02	35,33	71.4	98.9	999	97.3	86.58	7,1	16,6
	200	288	26	27.8	56.7	21.3	50,3	19.5	47.5	19.5	45,6
	29.5	1		23,75	48.4	261	2622		26.2	17.0	39.8
Flusspath	2,8	8,2	16,4	6	18,3	1,5	3,5	1,2	2.9	1,5	30
•	10	7,5	15	00	16,3	1,2	2.8	6,0	2,19	1.5	
Chlorsilber	9,0	31,0	62			26,0	61.4	26.5	64.6	26,25	61.4
	<b>`</b> ಣ	23.7	47.4	8		21.2	50,1	19,25	46,9	21,	49,1
Bromsilber	0,3	34	89			28.7	8.29	28.5	69.5	28.5	66.7
	2,75	22.2	44,4			20.5	48.4	17,25	42,1	17.8	41,7
Selen	2,2	7.5	15			8,9	16,0	7,3	17.8	7,25	16,9

Diese Zahlen zeigen wie viel die weniger reine Platte mehr von der Wärme mit kleinem Absorptionscoëfficienten oder der nicht absorbirbaren Wärme aussendet als die reinere. Besonders tritt diess bei der Absorption durch die Steinsalzplatte von 20<sup>mm</sup> Dicke hervor, die von der Wärme der ganz reinen Platte 24 Proc., von der der weniger reinen dagegen 40 Proc. durchlässt, welche auch von der dicken Masse von 80<sup>mm</sup> nicht mehr absorbirt werden.

Hiernach erscheint es wahrscheinlich, dass die durch Steinsalz nicht absorbirbare Wärme von Verunreinigung herrührt, welche die dickere Platte enthielt. Dass es sich so verhält, dafür spricht auch noch der Umstand, dass die reine Platte bei gleicher Temperatur weniger Wärme aussandte als die unreinere, obgleich sie um ein Fünftel dicker war als diese. In welchem Maasse diess der Fall war, ergiebt sich aus den Ausschlägen des Galvanometers, welche bei direkter Strahlung durch die Lust erhalten worden sind. Diese größere Ausstrahlung erklärt sich dadurch, daß das Steinsalz ein sehr viel kleineres Ausstrahlungsvermögen besitzt als die andern fremden Bestandtheile, die ihm beigemischt sind. Die Wärme, die diese letzteren ausstrahlen geht, wie es scheint, ungehindert durch das Steinsalz, wogegen die reine Steinsalzwärme vom Steinsalz mit zunehmender Dicke desselben allmählig und bei hinreichender Dicke vollständig absorbirt wird.

Dass von der Wärme, welche dünne, ganz klare Steinsalzplatten ausstrahlen, der Antheil, welcher leicht durch das Steinsalz geht, auch von fremden Beimischungen herrührt, ist desshalb nicht wahrscheinlich, weil sich solche Beimischungen weder mit den Augen wahrnehmen ließen, noch durch die chemische Untersuchung haben aufgefunden werden können. Denn es zeigten sich diese Platten frei von Magnesia und von Kalk und ebenso frei von Schwefelsäure.

Das Steinsalz scheint danach auch im ganz reinen Zustande mehr als eine Wärmeart auszusenden, doch möchte es als monothermisch zu betrachten seyn, da es die eine

vom Steinsalz stark absorbirbare Wärmeart in so großer Menge aussendet, daß dagegen die andere, oder die anderen, wenig oder gar nicht in Betracht kommen.

Auf dieser Eigenschaft beruht die große Diathermansie dieser Substanz. Denn in der Wärme, welche die meisten anderen Körper ausstrahlen, und besonders die, welche bisher bei dergleichen Versuchen als Wärmequelle dienten, sind nur wenige oder gar keine Strahlen enthalten, die vom Steinsalz ausgestrahlt und folglich von diesem absorbirt werden.

### Ausstrahlung von Sylvin.

Wurden Sylvinplatten von 3 bis 4<sup>mm</sup> Dicke in dem Luftstrom der Lampe bis zu derselben Temperatur wie die Steinsalzplatten erhitzt, so wurden im Mittel folgende Werthe erhalten.

Von der Wärme, welche klare

Sylvinplatten

von 3 bis 4<sup>mm</sup> Dicke bei 150° C. ausstrahlten, giugen durch:

Luft		100 Pro
Steinsalz	2 <sup>mm</sup> dick	61,4
*	20	<b>59,2</b>
Sylvin	3	49,6
. 20	20	28,4
Flusspath	2,8	58,7
	10	54,5
Chlorsilber	0,6	62,5
23	3	<b>36,7</b>
Bromsilber	0,3	70,5
»	2,75	43,7
Selen	2,5	9,53.

Diese Zahlen zeigen zunächst, das das Steinsalz viel mehr von der Sylvinwärme als von seiner eigenen durchläfst. Auch nimmt die Absorption der Steinsalzwärme mit der Dicke der absorbirenden Steinsalzplatten zu, wogegen von der Sylvinwärme durch die dünnen Steinsalzplatten kaum mehr als durch die dicken geht. Ferner zeigt eine Vergleichung dieser Zahlen mit den oben S. 449 beim Steinsalz erhaltenen, dass der Sylvin auch mehr von der Sylvinwärme, als das Steinsalz von seiner eigenen Wärme durchläfst.

Besonders auffallend aber ist das Verhalten des Flusspathes, der von der Wärme des ganz reinen Steinsalzes kaum etwas durchläßt, dagegen von der des Sylvins etwa die Hälfte der ganzen auffallenden Menge, und zwar fast gleichviel durch eine Platte von 10<sup>mm</sup>, wie durch eine von 2,8<sup>mm</sup> Dicke. Es rührt dieß ohne Zweifel davon her, daß der Sylvin, ähnlich wie das nicht ganz reine Steinsalz, mehrere, vielleicht sogar viele Wärmearten ausstrahlt, von denen der Flußspath wie auch der Sylvin selbst gewisse leicht hindurch läßt.

Die beiden sonst so ähnlichen Substanzen, Sylvin und Steinsalz, die auch nahe gleiche Mengen von der Kienruss-wärme durchlassen, verhalten sich, wie diese Versuche lehren, nicht nur in Bezug auf ihr Vermögen andere Wärmearten durchzulassen, sondern auch in Bezug auf die Art der Wärme, die sie ausstrahlen, verschieden.

Bekanntlich ist auch ihr Verhalten in Bezug auf die Durchlassung des Lichts verschieden. Beide sind zwar durchsichtig und farblos, lassen daher die verschiedenen Farben alle gleich gut hindurch, allein die Fortpflanzungsgeschwindigkeit des Lichts ist in beiden verschieden. Der Sylvin hat nach Dr. Groth's ') Messung einen Brechungsexponenten = 1,5021, während der des Steinsalzes nach Grailich') für dieselbe Linie D = 1,5429 ist.

### Ausstrahlung von Flussspath.

Man hätte erwarten sollen, dass der Flusspath die Wärme des Steinsalzes ebenso gut ausstrahlt, wie er sie zu absorbiren scheint, und dass daher auch wiederum seine Wärme vom Steinsalz gut absorbirt werde. Allein, wie aus

<sup>1)</sup> Pogg. Ann. CXXXV, 667.

<sup>2)</sup> Krystallographisch optische Untersuchungen S. 78.

der folgenden Tabelle hervorgeht, lässt das 20<sup>mm</sup> dicke Steinsalz noch 70,8 Proc. von der Wärme des Flusspathes durch.

Von der Wärme, welche eine klare, farblose

Flufsspathplatte
von 3,8 mm Dicke bei 150° C. ausstrahlte, gingen durch:

Luft		100 Proc.
Steinsalz	2 <sup>mm</sup> dick	80,5
»	20	70,8
Sylvin	3	88,9
»	20	85,1
Flufsspat	h <b>2,</b> 8	19,2
	10	9,1
	<b>19</b> ¹)	6,2
Chlorsilb	er 0,6	<b>67,8</b>
	3,0	54,6
Bromsilbe	er 0,3	72,2
	2,75	45,1
Selen	2,5	21,3.

Ungeachtet der großen Leichtigkeit, mit welcher die Strahlen des Flusspathes das Steinsalz durchdringen, wäre es doch möglich, dass dieser vom Steinsalz absorbirbare Strahlen aussendet. Denn die oben S. 437 angeführten Versuche zeigen, dass Flusspath bei gleicher Dicke und gleicher Temperatur der ausstrahlenden Platten mehr als dreimal so viel Wärme als das Steinsalz aussendet. Wären beide ausstrahlende Platten dünner gewesen, so würde das Verhältnis noch größer ausgefallen seyn, da der Flussspath wenig diatherman für dunkle Wärme ist und deshalb als dünne Platte nicht weniger wie als dicke ausstrahlt, wogegen bei dem diathermanen Steinsalz die Ausstrahlung mit der Dicke zunimmt. Gesetzt nun es wäre 1 von der Wärme. die der Flusspath aussendet, Steinsalzwärme, die von der dicken Steinsalzplatte ganz absorbirt würde, so blieben immer noch zwei Drittel, die ungehindert durch das Steinsalz

<sup>1)</sup> Zwei aneinauder gelegte Platten von 10 und von 9mm Dicke.

į

hindurch gingen. Doch könnte auch möglicher Weise die Wärme, welche der Flusspath bei 150° C. ausstrahlt, anderer Art seyn als die, welche er bei gewöhnlicher Temperatur aussendet und folglich bei dieser Temperatur auch absorbirt. Wahrscheinlich aber beruht diess Verhalten auf dem eigenthümlichen Reslexionsvermögen des Flusspath, von dem in dem folgenden Theile dieser Abhandlung die Rede seyn wird.

Am stärksten wird die Flusspathwärme vom Flusspath selbst absorbirt. Hier wiederholt sich, was bei der Ausstrahlung des Steinsalzes und des Sylvins sich zeigte, dass die Absorption durch die gleichartige Substanz mit der Dicke derselben zunimmt, während andere Wärmearten durch dicke Flusspathplatten fast in derselben Menge wie durch dünne hindurch gehn.

Ausstrahlung von Chlorsilber und Bromsilber.

Die zur Ausstrahlung benutzte Platte von Chlorsilber hatte eine Dicke von 2,5<sup>mm</sup>, die von Bromsilber sogar nur von 1mm. Die Wärme von beiden wird, wie aus den folgenden Zahlen ersichtlich ist, durch Steinsalz und Sylvin in sehr großer Menge, vom Flusspath etwas weniger durchge-Es ist indess bereits bemerkt worden, dass es bis jetzt nicht möglich war, homogene Platten dieser Körper von größerer Dicke berzustellen. Bei dünnen Platten aber treten weder die Unterschiede der Ausstrahlung, noch der Absorption gentigend hervor. Wahrscheinlich ist die geringe Dicke der Platten auch die Ursache, wesshalb die Chlor- und Bromsilber-Platten die Wärme von allen den Körpern, die hier als Ausstrahler benutzt sind, nahe gleich gut durchlassen und auch die des Chlor- und Bromsilbers selbst kaum in geringerem Maafse als alle anderen Wärmearten.

Von der Wärme, welche eine Platte ausstrahlte von:

gingen du	orch :	Chlorsilber. 2,5 <sup>mm</sup> dick bei 150° C.	Bromsilber. 1 <sup>mm</sup> dick bei 150°C.
Luft		100	100
Steinsalz	$2^{mm}$	71,6	70,Ĝ
<b>»</b>	20	72,1	73,3
Sylvin	3	73,7	66,2
, N	20	65,2	60,9
Flusspath	2,8	51,6	53,1
» ¯	10	43,6	48,3
Chlorsilber	0,6	59,3	53,9
»	3,0	41,3	37,0
Bromsilber	0,3	69,4	65,3
×	2,75	41,8	37,5
Selen,	2,5	13,7	10,9

#### Ergebnisse.

Fasst man die Ergebnisse dieser Untersuchung zusammen, so sind sie kurz folgende:

- 1. Die verschiedenen Körper strahlen bei 150° C. verschiedene Arten von Wärme aus. Diese Wärmearten werden von der gleichartigen Substanz mehr als von einer andern absorbirt, und diese Absorption nimmt mit der Dicke der absorbirenden Substanz zu.
- 2. Es giebt Körper, die nur eine oder einige wenige Wärmearten aussenden, andere, die viele ausstrahlen.
- 3. Zu den ersteren gehört das Steinsalz, wenn es ganz rein ist. Ebenso wie der glühende Dampf desselben oder der des einen Bestandtheils, des Natriums, nur eine Farbe ausstrahlt, ebenso sendet das Steinsalz selbst bei niederer Temperatur nur eine Art von Wärme aus. Es ist monothermisch wie sein Dampf monochromatisch ist.
- 4. Neben der eigentlichen Steinsalzwärme sendet das Steinsalz, selbst wenn es ganz klar ist, noch Wärme aus, die von einer Masse von Steinsalz von 80<sup>mm</sup> Dicke nicht mehr als von einer Platte von 20<sup>mm</sup> absorbirt wird.
- 5. Das Steinsalz absorbirt die Wärme, die es ausstrahlt, sehr stark. Es lässt daher nicht alle Wärmearten, wie Melloni behauptete, gleich gut durch.

6. Die große Diathermansie des Steinsalzes beruht nicht auf einem geringen Absorptionsvermögen desselben für die verschiedenen Wärmearten, sondern darauf, daß es nur eine Wärmeart ausstrahlt und folglich auch nur diese eine absorbirt, und daß fast alle andern Körper Wärme aussenden, die nur einen kleinen Antheil oder gar keine von den Strahlen enthält, welche das Steinsalz aussendet. Alle Strahlen aber, welche anderer Art sind als die, welche ein Körper aussendet, werden nicht von ihm absorbirt, sondern gehen ungeschwächt hindurch.

Man kann hieraus schließen, daß jede Substanz nur deßhalb diatherman ist, weil sie nur wenige ganz bestimmte Wellenlängen aussendet, daher auch nur diese absorbirt, alle übrigen aber hindurch läßt.

- 7. Der Sylvin verhält sich ähnlich wie das Steinsalz ist aber nicht in gleichem Maasse monothermisch. Auch bei diesem ist eine Analogie mit seinen glühenden Dämpfen oder denen des Kaliums vorhanden, welche bekanntlich ein fast continuirliches Spektrum liefern.
- 8. Der Flusspath absorbirt die reine Steinsalzwärme vollständig. Man sollte desshalb erwarten, dass die Wärme, die er aussendet auch stark vom Steinsalz absorbirt werde. Es gehen indess 70 Proc. derselben durch eine Steinsalzplatte von 20mm Dicke. Mit Rücksicht auf das Verhältniss der Wärmemenge, die der Flusspath aussendet, im Vergleich zu der des Steinsalzes ließe sich dieß wohl erklären, doch wäre es möglich, dass der Flusspath bei 150% schon andere Wärmearten ausstrahlt, als er bei gewöhnlicher Temperatur absorbirt. Wahrscheinlich aber hängt dieß Verhalten mit dem großen Reslexionsvermögen des Flusspaths für Steinsalzwärme zusammen, von dem in dem folgenden Theil dieser Abhandlung die Rede seyn wird.
- 9. Wenn es möglich wäre von der bei 150° C. ausgestrahlten Wärme ein Spektrum zu entwerfen, so würde, wenn Steinsalz der ausstrahlende Körper wäre, das Spektrum nur eine leuchtende Bande enthalten. Wäre Sylvin zur Ausstrahlung benutzt, so würde das Spektrum viel aus-

gedehnter seyn, aber doch nur einen kleinen Theil von dem Spektrum einnehmen, das die vom Kienruss ausgestrahlte Wärme bilden wurde.

#### Ueber Durchsichtigkeit.

Wie man annimmt, dass zwischen den Körpern, selbst wenn sie ein und dieselbe Temperatur haben, ein beständiger Austausch der Wärme stattfindet, so ist man auch berechtigt anzunehmen, dass ein solcher Austausch des Lichles Wir sind nicht im Stande das Licht, das die statt hat. Körper bei gewöhnlicher Temperatur aussenden, zu beobachten, allein sie absorbiren bei dieser Temperatur von dem Lichte das auf sie fällt, denn dadurch allein entsteht ihre Körperfarbe; zwar stammt dieses Licht von Quellen höherer Temperatur, doch werden die Körper dieselben Wellenlängen, die sie absorbiren, aussenden, es sey denn, dass man annimmt, dass das Licht bei der Absorption sich in etwas anderes, etwa in Wärme umsetzt, wofür iedoch Beweise nicht vorliegen. Wenn aber überhaupt ein solcher Austausch des Lichtes bei gewöhnlicher Temperatur stattfindet, so würde folgen, dass die durchsichtigen Körper entweder nur solche Strahlen aussenden, die in dem von glühenden Körpern ausgesandten Lichte nicht enthalten sind, denn dann absorbiren sie auch nichts von dem Lichte der glühenden Körper, sondern lassen alles bindurch; oder dass sie nur eine oder einige wenige Wellenlängen des für uns wahrnehmbaren Lichtes aussenden, denn dann absorbiren sie auch nur diese und lassen alle andern durch, so dass die Intensität des durchgelassenen Lichtes nur um die wenigen absorbirten Wellenlängen geringer, als die des auffallenden Man kann daher wohl behaupten, dass die Durchsichtigkeit der Substanzen darauf beruht, dass sie nur einige wenige von den Wellenlängen aussenden, die das uns bekannte Licht enthält.

(Schluss im nächsten Hest.)

# V. Zur Frage, wie nicht-leitende Substanzen influencirt werden; von J. C. Poggendorff.

(Aus d. Monatsbericht. d. Berlin. Akademie, Juli 1869).

In einer Abhandlung, die ich in der Klassensitzung vom 18. Febr. 1867 vorgelesen habe, von der aber nur wenige Worte in den Monatsbericht übergegangen sind, habe ich unter anderen Versuchen auch den beschrieben. dass ich dicht an oder gegen die Scheibe einer Elektrisirmaschine, nachdem sie einige Male herumgedreht worden, eine Franklin'sche Tafel hielt, und derselben, an ihrer abgewandten Seite, einen Knöchel näherte, erst während sie der influencirenden Wirkung der Scheibe ausgesetzt war, und dann, nachdem ich sie aus derselben entfernt hatte. In beiden Fällen bekam ich einen stechenden Funken, im ersten einen positiven, im zweiten einen negativen. Dieselben beiden Funken konnte ich unter gleichen Umständen aus der der Scheibe zugewandten Seite der Tafel ziehen, und eben so erhielt ich sie, wenn ich den Finger erst der einen und dann der andern Seite näherte. Die angewandte Tafel war nur eine halbe Linie dick: eine zwei Linien dicke verhielt sich aber eben so: selbst Wachs- und Harztafeln von drei Viertelzoll Dicke, die auf einer oder beiden Seiten mit Stanniol belegt worden, gaben ein ähnliches Resultat.

Belegte Tafeln aus Isolatoren verhalten sich also bei dieser Influenz durchaus wie Metallplatten, und daher sagte ich schon in der erwähnten Abhandlung, dass sie ganz füglich als Schild beim Elektrophor dienen könnten, wenngleich ein dicker metallner Schild mit abgerundetem Rande natürlich vorzuziehen ist.

Vor längerer Zeit wurde ich durch andere Betrachtungen an diesen Versuch erinnert und veranlasst, ihn mit einem eigentlichen Elektrophor zu wiederholen. Der Kuchen dieses Elektrophors bestand aus gehärtetem Kautschuk oder Ebonit. ') Eine auf denselben gelegte Franklin'sche Tafel zeigte ganz die früheren Erscheinungen. Darauf liegend und mit der Form des Elektrophors verbunden, gab sie an der Oberseite einen negativen Funken, und, nachdem sie abgehoben worden, einen positiven. Dieselben beiden Funken konnte ich auch von der Unterseite erhalten, und eben so den einen von der oberen, und den anderen von der unteren Seite. Um von letzterer Seite den negativen Funken zu erhalten, mußte natürlich zwischen Kuchen und Tafel ein herausragender Stanniolstreif eingeschoben worden seyn, dem man den Finger nähern konnte.

Zwei, drei, vier und mehr Franklin'sche Tafeln auf einander gelegt als Schild des Elektrophors benutzt und gleichzeitig abgehoben, wirkten ähnlich, nur etwas schwächer. Auch konnte ich aus der Oberseite einer einzigen Tafel schon die beiden Funken erhalten, wenn ihre Unterseite nicht belegt war. Und selbst diese unbelegte Seite gab, nach dem Abheben der Tafel, kleine positive Fünkchen, wenn ich ihr an verschiedenen Stellen den Knöchel näherte.

Als ich diesen Versuch vor längerer Zeit Hrn. Magnus zeigte, und von den Schwierigkeiten sprach, welche die Erklärung desselben nach der gewöhnlichen Theorie darbietet, nach der Theorie nämlich, gemäß welcher ein z. B. negativ elektrisirter Körper auf der ihm zugewandten Seite eines Isolators positive, und auf der abgewandten Seite negative Elektricität entwickeln soll, wie bei einem Leiter, — wenn dem nicht besondere Umstände entgegentreten — äußerte Derselbe, diese Theorie sey auch nicht richtig.

Vielmehr behauptete er, es werde bei der Influenz von nichtleitenden Substanzen die Null-Elektricität auf beiden Seiten derselben zerlegt. Jede Seite einer isolirenden Platte erhalte positive und negative Elektricität.

<sup>1)</sup> Ich adoptire hier den Namen Ehonit, welchen die Engländer der Suhstanz wegen ihrer äußeren Achnlichkeit wit dem Ebenholz gegeben haben, weil er mir besser zu seyn scheint als Kamm-Masse, Hartkautschuk, Hartgummi. Horngummi, oder, wie die Berliner Fabrikanten sagen, hornisirtes Gummi.

Einen genügenden Grund oder einen Beweis für diese Theorie wußte er nicht anzugeben; auch vermochte er mir nicht zu sagen, von wem sie herstamme; er selbst machte auf ihre Urheberschaft keinen Anspruch.

Diese, meines Wissens noch niemals öffentlich ausgesprochene, den Ansichten gewichtiger Autoritäten widersprechende Theorie erschien mir im ersten Augenblick, muß ich gestehen, etwas paradox. Als ich indeß ein wenig über sie nachdachte, konnte ich nicht umhin, ihr beizupslichten, sie für natürlich, ja für nothwendig zu halten.

In der That, der erste Act der Influenz auf eine isolirende Platte kann füglich kein anderer seyn, als dass auf ihrer ganzen Oberstäche, also auf jeder ihrer Seiten, die Null-Elektricität in ihren positiven und negativen Bestandtheil zerlegt wird.

Auch ist kein Grund zu der Annahme vorhanden, dass diese somit in jedem Punkt getrennten Elektricitäten sich auf oder in der Platte nach der einen und der andern Seite hinbegeben sollten, denn sonst müste man für die Platte einen Grad von Leitungsfähigkeit statuiren, den man ihr bei einer Dicke von einer oder mehren Linien doch unmöglich zuschreiben kann. Soweit also müsten die getrennten Elektricitäten beide an dem Orte ihrer Trennung verbleiben, und den Isolator, nach Aufhebung der Instuenz, unelektrisch erscheinen lassen, da sie, wenn sie auch nicht zusammenstössen, wie auf einem Leiter, doch vermöge ihrer gegenseitigen großen Nähe keine Wirkung in die Ferne auszuüben vermöchten.

Allein es ist so gut wie unmöglich, diesen primären Influenz-Zustand aufrecht zu halten, denn immer geht die eine oder andere der getrennten Elektricitäten von der Platte auf deren Umgebung über, in größerer oder geringerer Menge, je nach der Dauer und Stärke der Influenz.

Diess gilt sowohl von Isolatoren als von Leitern; ich wenigstens habe keine Substanz, von welcher Art und Gestalt sie auch seyn mochte, nach der Insluenz ganz unelektrisch finden können.

1

Welche der beiden Elektricitäten hiebei entweicht, welche also zurückbleibt, das hängt von Umständen ab.

Bei Leitern ist die entweichende Elektricität wohl ohne Ausnahme von gleicher Art mit der influencirenden, von welcher sie abgestoßen wird, und die zurückbleibende ist über die ganze Obersläche ausgebreitet.

Bei Isolatoren können zwei Fälle eintreten. Entweder, und zwar sehr häufig, ist auch bei ihnen die aus beiden Seiten einer Platte entweichende Elektricität gleichnamig mit der inducirenden, obschon dabei wohl selten gleich in Menge. Oder es bewirkt die Gestalt und Beschaffenheit der benachbarten Körper, dass von der dem inducirenden Körper zugewandten Vorderseite die gleichnamige, und von der Hinterseite die ungleichnamige entweicht. Und so erscheint denn der Isolator nach aufgehobener Influenz im ersten Fall auf beiden Seiten mit ungleichnamiger Elektricität begabt, und im letzteren auf der Vorderseite mit ungleichnamiger, und auf der Hinterseite mit gleichnamiger, wie ein Leiter während der Influenz.

Die überschüssige Elektricität, welche man nach aufgehobener Influenz auf einem influencirten Körper, namentlich
auf einem Leiter, antrifft und durch Wirkung von Spitzen
usw. künstlich steigern kann, ist folglich, nach dieser Ansicht, nicht das Resultat der reinen Influenz oder Vertheilung, sondern hervorgegangen aus einem gemischten Procefs,
aus der Combination der Influenz oder Zerlegung der NullElektricität mit der Ausstrahlung oder Entweichung eines
der Bestandtheile derselben.

Ich müste mich sehr irren, wenn nicht die vorhin angeführten Beobachtungen eine Stütze für diese Ansicht geben sollten.

In der That, legen wir die Franklin'sche Tafel auf den Elektrophor, so werden, dieser Ansicht gemäß, durch influencirende Wirkung desselben zunächst auf jeder Seite der Tafel positive und negative Elektricität entwickelt. Die negative der Oberseite können wir bei dieser Lage der Tafel in Gestalt eines Funkens entfernen. Heben wir nun die Tafel von dem Elektrophore ab, so haben wir also an ihrer Unterseite positive und negative, an ihrer Oberseite bloß positive Elektricität.

Aus beiden Seiten der Tafel läst sich jetzt ein positiver Funke ziehen, aus der Oberseite, weil deren positive Elektricität keine Einwirkung von den beiden Elektricitäten der Unterseite erleiden kann, aus der Unterseite, weil deren negative Elektricität von der positiven der Oberseite gebunden wird.

Allein das Resultat dieser Entfernung der positiven Elektricität muß in beiden Fällen ein verschiedenes seyn. Entfernen wir sie von der Oberseite, so muß die Unterseite in den indifferenten Zustand zurückgehen, indem ihre beiden Elektricitäten nun nicht mehr getrennt gehalten werden, also zusammensließen. Entfernen wir dagegen die positive Elektricität von der Unterseite, so behält dieselbe ihre negative Elektricität, und da die positive der Oberseite nicht fortgenommen wurde, muß also im letzteren Falle die Tafel geladen seyn.

Begreiflich kam es darauf an, diesen Ladungszustand nachzuweisen, und wirklich ist mir dasselbe gelungen, indem ich die beiden Belege der Tafel durch einen Metallbügel mit einander verband. Hatte ich die positive Elektricität von der Oberseite entfernt, so war von einem Entladungsfunken nichts zu bemerken; hatte ich sie dagegen von der Unterseite fortgenommen, so erschien ein solcher, zwar klein, aber unverkennbar. So weit wäre also die Theorie vollkommen gerechtfertigt.

Der Theorie nach hätte nun aber auch die Tafel indifferent seyn müssen; allein das war sie nicht; vielmehr erwies sie sich positiv und zwar auf beiden Seiten, was gewifs kein Irrthum war, da eine drei Viertelzoll dicke Wachstafel sich ganz eben so verhielt. Diesen Rückstand von positiver Elektricität halte ich jedoch für keinen Einwand gegen die aufgestellte Theorie 1), betrachte ihn vielmehr als

<sup>1)</sup> Bei einem Glas - Elektrophor ist begreiflich die Tafel nach gleicher Behandlung auf beiden Seiten negativ.

das Resultat einer stillen Entweichung der vom Ebonit-Elektrophor abgestoßenen negativen Elektricität aus beiden Seiten der Tafel.

Was mich in dieser Ansicht bestärkt, ist die oft von mir beobachtete Thatsache, dass eine Glasplatte, die man getragen von drei Wachskügelchen, in geringer Höhe ruhig und unberührt, entfernt von allen Spitzen, über einem solchen Elektrophor liegen läst, nach wenigen Minuten ebenfalls positive Elektricitäten auf beiden Seiten zeigt, selbst wenn sie eine Dicke von drei und mehren Linien hat. Es macht dabei keinen Unterschied, ob die Glasplatte belegt oder unbelegt ist, wie ich denn überhaupt glaube, dass die Stanniolbelege, wegen ihrer geringen Dicke, keinen Einstluss auf die beschriebenen Erscheinungen haben, sondern nur die Rolle spielen, die Beweglichkeit der Elektricitätstheilchen auf der Obersläche der Isolatoren zu erhöhen.

Zusammengefaßt kommt also die neue Theorie, wenn ich sie so nennen darf, darauf zurück, daß sie bei der Influenz in Distanz den ersten Act (die Zerlegung der Null-Elektricität in jedem Theilchen wenigstens der Oberfläche) als gleich annimmt für Isolatoren und Leiter, und daß sie keinen anderen Unterschied zwischen dem Verhalten beider Körperklassen in diesem Processe statuirt als den, welcher aus der leichten Beweglichkeit der Elektricität in letzterer entspringt.

Im Grunde ist diese Ansicht sehr einfach, aber sie hat einige Wichtigkeit für die richtige Beurtheilung der mannigfachen Erscheinungen bei den Influenzmaschinen, deren vollständige Theorie bis jetzt noch nicht gegeben seyn möchte.

Schliesslich will ich noch einer nicht uninteressanten Modification der beschriebenen Versuche erwähnen, darin bestehend, dass man eine geladene Franklin'sche Tafel als Schild des Elektrophors anwendet.

Legt man sie mit der negativen Seite auf den gleichfalls negativen Ebonit-Elektrophor, so sind alle Erscheinungen den vorhin beschriebenen gleich. Die Ladung der Tafel nimmt keinen Theil daran, und behält selbst nach mehrmaliger Wiederholung der Versuche ihre Stärke fast unverändert.

Anders ist es dagegen, wenn die Tafel mit der positiven Seite auf den Elektrophor gelegt wird. Verbindet man non die negative Oberseite mit der Form des Instruments, so bekommt man einen lebhaften Funken oder Schlag, je nachdem man die Verbindung durch einen Drahtbügel oder mit den Händen vollzieht. Abgehoben giebt die Tafel keinen Funken: kehrt man sie aber um, und legt sie mit der negativen Seite auf den Elektrophor, so erhält man aus ihrer positiven Oberseite wiederum einen Funken, wenn man dieselbe mit der Form verbindet. Diese Operation kann man unter jedesmaliger Umkehrung der Platte wenigstens 4 bis 6 Male wiederholen; immer erhält man einen Funken, aber freilich in abnehmender Stärke, und wenn man nun die Ladung der Platte untersucht, findet man sie auf ein Minimum reducirt.

Hiebei bleibt, wie leicht zu erachten, der Elektrophor auch nicht unverändert. Nach jedem Schließungswinkel findet sich seine Polarisation umgekehrt. Nach dem ersten ist er auf der Oberstäche positiv, nach dem zweiten negativ, nach dem dritten wiederum positiv und so fort.

Offenbar haben diese Erscheinungen ihren Grund darin, dass die entgegengesetzten Elektricitäten, welche auf den sich berührenden Flächen des Elektrophors und der Platte angehäuft sind, mit einander in Verbindung treten, sobald die abgewandten Flächen beider leitend verbunden werden. Und es ist auch klar, dass dabei ein Ueberschuss von Elektricität von der Tafel auf den Elektrophor übergehen mus, weil sonst die Polarität desselben nur vernichtet, nicht umgekehrt werden könnte. Der Erfolg des Versuches wird also davon abhängen, wie stark der Elektrophor erregt, und wie stark die Tafel geladen war.

## VI. Ueber die Breite der Spectrallinien; von F. Lippich,

Prof. d. Mechanik an d. technischen Hochschule zu Gratz.

1.

Die dynamische Theorie der Gase und Dämpfe bedarf der Annahme, dass den Molecülen nicht nur fortschreitende, sondern auch schwingende Bewegungen zukommen, also selbst bei chemisch einfachen Gasen ein Molecül zu betrachten sey als ein Complex oder als eine Gruppe von Complexen von gegen einander verschiebbaren Atomen. Diese Annahme ist in voller Uebereinstimmung mit der Erscheinung der Spectra glühender Gase und Dämpfe. Denn mag man ein Gasmolecül nun ansehen als einen Complex einer endlichen Anzahl discontinuirlich gelagerter Atome oder als ein Continuum, ähnlich einem festen elastischen Körper, das im Allgemeinen eine polyëdrische Begränzung besitzt; immer wird ein solches schwingungsfähiges System Schwingungsdauern besitzen, die um endliche Differenzen von einander abstehen.

Wenn nun einerseits an dieser Vorstellung festgehalten werden soll, so muss es andererseits Aufgabe seyn, aus ihr die merkwürdigen Veränderungen der Spectra zu erklären, die durch die bekannten Versuche von Plücker und Hittorf (Phil. Mag. (4) XXVIII) und die sich hieran schließenden von Wüllner (Pogg. Ann. Bd. CXXXV u. CXXXVII) bekannt geworden sind. Sie beziehen sich sowohl auf Veränderungen im Linienspectrum durch Verbreiterung, Verwaschenwerden der Streisen und Hinzukommen neuer Streisen, als auch auf das Austreten continuirlicher Partien und scheinen von der Temperatur des Gases abzuhängen.

Es dürfte schwierig seyn anzugeben, welche von allen diesen Erscheinungen den ponderablen Atomen, welche etwa den Aetherhüllen zuzuschreiben seyen und in wie ferne Poggendorff's Annal, Bd. CXXXIX.

vielleicht auch die der Elektricität eigenthümliche Bewegung hiebei intervenirt. Für einige dieser Veränderungen glaube ich aber, kann die dynamische Theorie der Gase in ihrer jetzigen Form ganz ungezwungen zu einer Erklärung benuzt werden, namentlich für die Verbreiterung der Spectrallinien, und es dürfte sowohl für die Gastheorie als auch für die Spectralanalyse nicht ohne Werth seyn, die Consequenzen dieser Erklärungsweise etwas näher zu betrachten.

Es scheint zwar diese Verbreiterung von sehr untergeordneter Bedeutung, eine kleine Ueberlegung lehrt aber, dass dem nicht so sey, indem sie ohne ein genaues Eingehen in die Constitution der Gase schwer begreiflich seyn würde.

Ein Spectralstreifen, dessen Breite größer ist als die Breite des Spaltenbildes, stellt eigentlich ein continuirliches Spectrum von sehr geringer Ausdehnung vor, weist also auf eine Aufeinanderfolge von Wellenlängen und Schwingungsdauern hin, die entweder continuirlich, oder bei welcher die Differenz zweier aufeinander folgenden Wellenlängen unmerkbar ist, also wenigstens eine ungemein große Zahl verschiedener Schwingungsweisen erfordert. Denkt man nun ein Molecul als Complex einer endlichen Anzahl von Atomen. so muss man auch zugeben, dass ein solches System nur eine endliche Anzahl verschiedener Schwingungsweisen besitzen werde, also auch nur einige der möglichen Schwingungsdauern ungemein nahe gleich werden können. man sich aber ein Molecül als einen elastischen Körper von verschwindend kleinen Dimensionen, so ist wieder zu beachten, dass das Gesetz, nach welchem die verschiedenen möglichen Schwingungsdauern mit der Körperform zusammenhängen, nur von der geometrischen Gestalt dieses Körpers und der Lage der Elasticitätsaxen abhängig ist, nicht aber von der Größe seiner Dimensionen. Wie daher bei einem Körper von endlichen Dimensionen die Differenz zweier möglicher Schwingungsdauern eine große Anzahl von Schwingungen beträgt und nur einzelne derselben ungemein nahe rücken, so müsste dieses auch für ein Molecül zutreffen und

daher die Entfernung der Spaltenbilder, die den Einzelnschwingungen entsprechen und von obiger Differenz abhängt, im Allgemeinen eine endliche seyn. Hieraus geht also hervor, daß, sobald man die Molecüle eines Gases als vollkommen gleichartig gebaut ansicht, die Verbreiterung der Spectralstreifen aus möglichen ungemein wenig differenten Schwingungsweisen der Molecüle nicht erklärt werden kann.

Es bliebe daher nur übrig, diese wenig differenten Schwingungsweisen zu erklären aus einem ebenso wenig differenten Bau der Molecüle eines und desselben Gases. Abgesehen jedoch von der Schwierigkeit, die es haben würde, dieselben Atome cinmal in einer bestimmten, dann wieder in einer äußerst wenig verschiedenen Gleichgewichtslage anzunehmen, würde aus einer solchen Annahme die thatsächlich eintretende Verbreiterung der Spectralstreifen mit steigender Temperatur nicht einzusehen seyn.

Ich glaube daher in der nun folgenden Betrachtung die Voraussetzung festhalten zu müssen: daß mit Rücksicht auf die Nothwendigkeit ein Molecül eines Gases als ein schwingungsfähiges System aufzufassen, das Spectrum eines ideellen Gases, in welchem die Molecüle vollkommen freie elastische Systeme seyn werden, nur bestehen könnte aus einer Anzahl verschiedenfarbiger Streifen absolut homogenen Lichtes, sobald nur auf die Schwingungsbewegungen der Molecüle allein Rücksicht genommen wird.

2.

Die Molecüle eines Gases haben nach der Krönig-Clausius'schen Theorie fortschreitende Bewegungen mit sehr bedeutenden Geschwindigkeiten und dieser Umstand, in Verbindung mit dem bekanntan Einflusse der Bewegung eines leuchtenden Punktes auf die Brechbarkeit der ausgesendeten Strahlen, ermöglicht eine Erklärung der Verbreiterung der Spectralstreifen und zeigt die Abhängigkeit der Streifenbreite von der Temperatur und der Dichte (bezogen auf atm. Luft) des glühenden Gases.

Es sey  $\lambda_i$  eine der möglichen Wellenlängen der vom ruhend gedachten Gasmolecül ausgesendeten Lichtstrahlen, so ist, wenn dieses Molecül sich mit der Geschwindigkeit v nach einer Richtung bewegt, die mit der Axe der Collimatorlinse, vom Spalt gegen die Linse als positiv augenommen, den Winkel  $\theta$  einschließt, bezüglich der Brechung die Wellenlänge

$$\lambda = \lambda_i \left( 1 - \frac{v \cos \theta}{c} \right)$$

in Rechnung zu bringen, wenn c die Lichtgeschwindigkeit bedeutet. Ferner sey  $\delta$  die Breite des Spaltenbildes und  $\alpha$  eine von  $\lambda$ , abhängige Größe, welche für das gegebene Spectroskop angiebt, um welche Distanz sich der Mittelpunkt des Spaltenbildes verschiebt, wenn  $\lambda$ , um eine Einheit (z. B. eine Einheit der sechsten Decimalstelle) absimmt.

Wären die Gasmolecüle in Ruhe oder bewegten sie sich normal zur Collinatoraxe, so entstünde ein einziges Spaltenbild von der Breite  $\delta$ , dessen Mittelpunkt O, heißen mag, entsprechend der Wellenlänge  $\lambda$ . Der Wellenlänge  $\lambda$  wird dann ein anderes Spaltenbild von derselben Breite entsprechen, dessen Mittelpunkt O von O, entfernt ist um

$$\xi = \alpha (\lambda_i - \lambda) = \frac{\alpha \lambda_i}{c} v \cos \theta.$$

Der größte Werth von  $\xi$  wird dem größten Werthe von v cos  $\theta$  entsprechen, also von einem Molecüle herrühren, welches sich in der Collimatoraxe mit der größten Geschwindigkeit bewegt. Hieraus kann aber noch nicht auf die Breite des Spectralatreifens geschlossen werden, denn um diese sichtbare Breite zu finden, wird man nothwendig die Helligkeitsvertheilung untersuchen müssen, die aus der Uebereinanderlagerung der einzelnen Spaltenbilder an einer Stelle des Streifens resultirt. Hiebei sollen in dem Gaae nur jene fortschreitenden Bewegungen angenommen werden, die in der dynamischen Theorie der Gase zur Erklärung der Druck- und Wärme-Erscheinungen dienen.

In dem Gasraume, der seine Strahlen durch den Spalt sendet, seyen N Molecüle enthalten und n sey die Anzahl derjenigen, für welche  $v\cos\theta$  einen bestimmten Werth hat. Man wird leicht aus den, der Gastheorie zukommenden Betrachtungen ersehen, dass diese Zahl ehenso groß ist, als wenn man allen Theilchen die gleiche mittlere Geschwindigkeit u zuschreiben und also nur  $\theta$  als veränderlich betrachten würde, daher:

$$n = \frac{1}{2} N \sin \theta d\theta.$$

Ebenso wird es offenbar erlaubt seyn, für jedes Theilchen statt der augenblicklichen Intensität die gleiche mittlere Intensität i zu setzen, unter welcher gleich diejenige verstanden werden soll, mit welcher ein Punkt des Spaltenbildes beleuchtet wird und welcher Punkt auf der durch  $O_i$  als Anfangspunkt normal zum Spalt geführten x Axe angenommen werden mag. Die Intensität der Punkte eines Spaltenbildes, das der Wellenlänge  $\lambda$  entspricht, ist dann in und außerdem sey iN = J gesetzt.

Um die Intensität  $J_x$  eines Punktes in der Entfernung x anzugeben, mögen zunächst nur die Intensitäten berechnet werden, die den Spaltenbildern für  $\lambda < \lambda$ , entsprechen. Die dem Falle  $\lambda > \lambda$ , entsprechenden Intensitäten sind die Spiegelbilder der ersteren bezüglich der durch O, parallel zum Spalt geführten Axe. Ferner sind bei der Berechnung zwei Fälle zu unterscheiden, je nachdem die äußersten Spaltenbilder, die  $\theta = 0$  entsprechen, sich nicht oder theilweise decken.

Für  $\theta = 0$  wird  $\xi_o$  indem man statt v die mittlere constante Geschwindigkeit \* setzt, übergehen in

$$\xi_i = \alpha \, \frac{\lambda_i u}{c}.$$

Es sey zuerst  $\xi_i > \frac{\delta}{2}$ , die äußersten Spaltenbilder sollen also *nicht* theilweise übereinanderfallen, dann giebt die folgende Zusammenstellung die Intensitäten in den einzelnen Punkten:

$$\xi_{i} > \delta.$$

$$\pm x < \frac{\delta}{2}; \quad J''_{s} = i \sum n$$

$$\xi = 0$$

$$\xi = x + \frac{\delta}{2}$$

$$\frac{\delta}{2} < x < \xi_{i} - \frac{\delta}{2}; \quad J_{s} = i \sum n$$

$$\xi = x - \frac{\delta}{2}$$

$$x > \xi_{i} - \frac{\delta}{2}; \quad J'_{s} = i \sum n$$

$$\xi = x - \frac{\delta}{2}$$

$$\xi_{i} < \delta.$$

$$\pm x < \xi_{i} - \frac{\delta}{2}; \quad J''_{s} = i \sum n$$

$$\xi = 0$$

$$\xi = \xi_{i}$$

$$x > \frac{\delta}{2}; \quad J''_{s} = i \sum n$$

$$\xi = 0$$

$$\xi = \xi_{i}$$

$$x > \frac{\delta}{2}; \quad J'_{s} = i \sum n$$

$$\xi = 0$$

$$\xi = \xi_{i}$$

$$x > \frac{\delta}{2}; \quad J'_{s} = i \sum n$$

$$\xi = x - \frac{\delta}{2}$$

Macht man hierin

$$\xi = \alpha \frac{\lambda_i u}{c} \cos \theta = \frac{\cos \theta}{\xi_i},$$

$$\sum n = \frac{1}{2} N \int \sin \theta \, d\theta = \frac{1}{2} N \frac{[\xi]}{\xi_i},$$

$$iN = J_i$$

so erhält man die folgenden Werthe:

$$\begin{vmatrix}
J''_{x} = \frac{1}{2}J\frac{x + \frac{\delta}{2}}{\xi_{i}} \\
J_{x} = \frac{1}{2}J\frac{\delta}{\xi_{i}} \\
J''_{x} = \frac{1}{2}J
\end{vmatrix}$$

$$\begin{vmatrix}
J''_{x} = \frac{1}{2}J\frac{x + \frac{\delta}{2}}{\xi_{i}} \\
J'''_{x} = \frac{1}{2}J
\end{vmatrix}$$

$$\begin{vmatrix}
J''_{x} = \frac{1}{2}J \\
J'''_{x} = \frac{1}{2}J
\end{vmatrix}$$

$$\begin{vmatrix}
J''_{x} = \frac{1}{2}J \\
J''_{x} = \frac{1}{2}J
\end{vmatrix}$$

Bildet man, in den entsprechenden Theilen die  $\lambda > \lambda$ , herrührenden Intensitäten hinzufügend, die Summen

$$J''_x + J''_{-x}; \ J'''_x + J''_{-x}$$

und führt noch in diese letztere Summe und in  $J_x$  eine neue Veränderliche ein durch die Gleichung:

$$x=x'+\xi_i-\frac{\delta}{2},$$

so zeigt sich folgende Helligkeitsvertheilung:

a) Ist  $\xi_i > \frac{\delta}{2}$ , so besteht der Spectralstreifen aus einem mittleren Theile von der Breite  $2\xi_i - \delta$  mit constanter Helligkeit  $J_x = \frac{1}{2}J\frac{\delta}{\xi_i}$ . An diesen setzen sich zu beiden Seiten zwei Ränder von der Breite  $\delta$  an, in welchen die Intensität von  $J_x$  bis Null gleichmäßig abnimmt, nämlich nach dem Gesetze:

$$J_s = \frac{1}{2}J\frac{\delta}{\xi_i}\left(1-\frac{x'}{\delta}\right).$$

b) Ist  $\xi_i < \frac{\delta}{2}$ , so übersieht man leicht aus den Gleichungen 2') das folgende Resultat:

Der Spectralstreifen besteht aus einem mittleren Theile von der Breite  $\delta-2\xi$ , und der constanten Intensität J, an welchen sich zu beiden Seiten zwei Streifen von der Breite  $2\xi$ , anschließen, in denen die Intensitäten von J bis Null gleichmäßig abnehmen.

Es möge entsprechend einer sehr kleinen Spaltenbreite im Falle a), welcher allein bei etwaigen Messungen in Betracht zu ziehen ist, unter der Breite  $\beta$  des Spectralstreifens die Distanz  $2\xi_i$  verstanden werden, um welche die Punkte in den Rändern, denen die mittlere Intensität  $\frac{1}{2}J_z$  zukommt, von einander abstehen. Diese Distanz ist von  $\delta$  unabhängig, sobald  $\frac{\delta}{2} < \xi_i$  ist, doch ist nicht zu übersehen, daß der Theil mit constanter Helligkeit um so größer wird und sich dem  $2\xi_i$  um so mehr nähert, je kleiner  $\delta$  gemacht wird.

Entsprechend dieser Definition wird

$$\beta = 2\xi_i = \frac{2\alpha\lambda_i}{c} \cdot u,$$

oder, wenn man hierin für u seinen Werth in den Einheiten ausgedrückt setzt, wie sie von Clausius gewählt wurden:

3) 
$$\beta = \frac{2.485^{\circ}}{\sqrt{273}} \cdot \frac{\alpha \lambda}{c} \sqrt{\frac{T}{\nu}}.$$

Die Form der Funktion  $\alpha$  kann für das Minimum der Ablenkung und unter Zugrundelegung der Cauch y'schen Dispersionsformel, wie folgt, gefunden werden. Aus den gemessenen Winkelablenkungen für drei Wellenlängen ist es immer möglich ein dem gegebenen Prismen-System äquivalentes Prisma mit dem brechenden Winkel  $\varepsilon$  und den Dispersionsconstanten m, n anzugeben. Aus bekannten Formeln ersieht man dann leicht, dass  $\alpha$  proportional seyn müsse dem Ausdrucke;

$$\frac{2n\sin\frac{\epsilon}{2}}{\lambda_i^3\sqrt{1-\left(m+n\frac{2}{\lambda_i^2}\right)^2\sin^2\frac{\epsilon}{2}}}$$

Endlich kann die für  $\beta$  gefundene Formel zweckmäßig durch eine andere ersetzt werden, indem man die Differenz der Wellenlängen sucht, welche den äußersten Spaltenbildern entsprechen, d. h. für  $\xi_i$  schreibt:

$$\xi_i = \alpha \, \frac{d\lambda}{2}.$$

Auf diese Weise wird aus 3) erhalten:

3') 
$$\frac{\Delta\lambda}{\lambda_i} = \frac{2 \cdot 485}{c \sqrt{273}} \sqrt{\frac{T}{\varrho}}.$$

Diese letzte Gleichung spricht folgendes Gesetz aus:

Das Verhältniss der Differenz der Wellenlängen, die den Rändern des Spectralstreisens entsprechen, zur mittleren Wellenlänge dieses Streisens ist,

bei einem und demselben Gase constant für alle Spectralstreifen und

bei verschiedenen Gasen der Quadratuurzel aus der absoluten Temperatur direct, der Quadratuurzel aus der Dichte aber verkehrt proportional.

Die Breite der Streifen, wie sie dem Auge im Spectroskope erscheint, wird mit der Brechbarkeit der Strahlen zunehmen und zwar etwas rascher als  $\frac{1}{1^2}$ .

Die Größe  $A\lambda$  wird in allen Fällen sehr klein. So findet man für Wasserstoff entsprechend dem Streifen  $(H_{\beta})$  die folgenden Zahlen in Milliontel eines Millimeters für die darüber gesetzten Temperaturen:

$$0^{\circ}$$
  $100^{\circ}$   $2500^{\circ}$   $4\lambda = 0,006$ ,  $4\lambda = 0,012$ ,  $4\lambda = 0,018$ .

Für Sauerstoff werden diese Werthe 4 mal kleiner und noch geringer bei dichteren Gasen. Uebrigens ist für Wasserstoff der Werth von  $4\lambda$  bei  $2500^\circ$  noch immer nahe 14 mal größer als der von Zöllner mittelst seines Reversionsspectroskopes erzielte wahrscheinliche Fehler aus neun Messungen.

3

Ich will noch der Erscheinung bei Umkehrung eines Gasspectrums mit einigen Worten erwähnen. Wie schon von mehreren Seiten bervorgehoben wurde, kann nach der oben benutzten mechanischen Anschauung, die Absorption in einem Gase kaum anders erklärt werden als durch die Annahme, dass die Gasmolecüle von jenen sie treffenden Wellen zum Mitschwingen angeregt werden, die eine mit der möglichen Schwingungsdauer des Atomcomplexes gleiche Schwingungsdauer besitzen. Hiedurch geht ein Theil der lebendigen Kraft der Lichtbewegung verloren, ohne dass gleichzeitig wegen der großen Masse der ponderablen Atome in dem Gase eine merkbare Temperaturerhöhung eintreten könnte.

Hat nun das Molecül gegen den anl ommenden Wellenzug eine Bewegung mit der Geschwindigkeit v, deren Richtung mit der von der Lichtquelle aus gezogenen Normalen zur Wellenebene den Winkel  $\theta$  einschliefst, so werden die Impulse, welche der Wellenlänge  $\lambda$  entsprechen, mit einer solchen Frequenz das Molecül treffen, als ob dieses ruhte und das ankommende Licht die Wellenlänge

$$\frac{\frac{\lambda}{1-\frac{v\cos\theta}{c}}$$

hätte. Diese muss aber à seyn, wenn das Molecul mit-

schwingen soll, woraus dann folgt, dass diejenigen Lichtstrahlen absorbirt werden können, denen die Wellenlänge

$$\lambda = \lambda_{i} \left( 1 - \frac{v \cos \theta}{c} \right)$$

zukommt. Es dürfte nicht ohne Interesse seyn hieraus zu bemerken, wie die Folgerung aus dem Kirchhoff'schen Satze über das Verhältnis zwischen Absorption und Emission, nämlich, das bei derselben Temperatur ein Gas genau diejenigen Strahlen absorbire, die es aussendet, auch mit Rücksicht auf die Aenderung der Wellenlänge des ausgesendeten Lichtes durch die Bewegung der Molecüle, ihre volle Gültigkeit behält.

Nach diesen Bemerkungen bildet man sich leicht eine Vorstellung über das Aussehen der dunkeln Streifen bei Umkehrung eines Gasspectrums, indem man sieht, dass die Vertheilung der Dunkelheit eines Streifens und seine Breite genau dieselben Gesetze befolgen, wie sie oben für die hellen Streifen abgeleitet wurden.

Würde die Absorption des continuirlichen Spectrums eine vollständige seyn, so blieben an den dunkeln Streifen nur die unter a) und b) Art. 2 angegebenen Intensitäten übrig. Bei einem continuirlichen Spectrum von mittlerer Intensität würde dann die Dunkelheit beurtheilt werden nach dem Verhältnisse der den Streifen zukommenden Intensitäten, zu denen der anliegenden Partien des continuirlichen Spectrums. Letztere sind aber, wenn mit I die Intensität für  $\delta = \alpha = 1$  bezeichnet wird:

$$I\frac{\delta}{a}$$

daher werden die Verhältnisse, wenn:

$$\begin{split} &\xi_{i} > \frac{\delta}{2}, \qquad \frac{1}{2} \frac{J}{I} \frac{c}{\lambda_{i} u}; \\ &\xi_{i} < \frac{\delta}{2}, \qquad \frac{J}{I} \frac{\alpha}{\delta} + \left(1 - \frac{2\xi_{i}}{\delta}\right). \end{split}$$

Im ersten Falle ist der Grad der Dunkelheit unabhängig von  $\frac{\alpha}{\delta}$ , und nimmt, wie man aus dem Werthe für u erreicht, in demselben Verhältniss zu, als  $\beta$  oder  $\frac{d\lambda}{\lambda}$  zunimmt.

Im zweiten Falle hingegen ist der Grad der Dunkelheit abhängig und zugleich von  $\alpha$  und  $\delta$ . Da das zweite Glied überwiegt, so erkennt man das Zunehmen der Dunkelheit bei abnehmendem  $\delta$ .

[Von den Werthen ähnlicher Verhältnisse ist auch die Möglichkeit abhängig, einen Spectralstreifen auf einem continuirlichen Spectrum sehen zu können. Unter Annahme derselben Bezeichnungen werden die Verhältnisse zwischen der Intensität im Spectrum an der Stelle des hellen Streifens zur Intensität der anliegenden Partien, wenn:

$$\xi_{i} > \frac{\delta}{2},$$
  $1 + \frac{1}{2} \frac{J}{I} \frac{c}{\lambda_{i}\mu};$   $\xi_{i} < \frac{\delta}{2}, \ \delta = \mu \cdot 2\xi_{i}, \ 1 + \frac{1}{2\mu} \frac{J}{I} \frac{c}{\lambda_{i}\mu}.$ 

Da im ersten Ausdrucke α nicht vorkommt, so sieht man, dass obige Intensitätsverhältnisse durch Vermehrung der Dispersionskraft nicht gesteigert werden können. faktische Sichtbarwerden der Streifen bei größer werdender Dispersion ist daher wohl zurückzuführen, erstlich auf die zunehmende Breite des Streifens, dann auf den Umstand, dass unser Auge Helligkeitsunterschiede bei geringeren Intensitäten besser wahrnimmt als bei sehr großen, endlich auf die höchst wahrscheinliche Nichtcontinuität des Sonnenspectrums selbst innerhalb sehr kleiner Partien, wodurch die Intensität bei sehr großer Dispersion schneller abnehmen wird als nach obiger Formel, der ein continuirliches Spectrum zu Grunde liegt. Der zweite Ausdruck hingegen liefert eine mit ξ und daher auch mit α zunehmende relative Intensität. Diese Betrachtungen bleiben im Wesentlichen ungeändert, wenn man auch vorligende Theorie der Spectralstreifen nicht acceptirt, da gewiss ein solcher Streifen nicht aus absolut homogenem Lichte besteht.]

Die Stärke der Absorption ist natürlich noch abhängig von der Menge der Molecüle, welche ein Lichtstrahl auf seinem Wege trifft, also von der Dichtigkeit und der Dicke der durchstrahlten Schicht. Nach der hier gegebenen Erklärung kann aber dadurch nur die *Dunkelheit* des Streifens der Gränze näher gebracht werden, die in obiger Rechnung angenommen ist, die Breite des Streifens könnte keine Aenderung erfahren.

Dieses Resultat ist vielleicht im Widerspruche mit einigen Vorstellungen über Absorption. Denn nach einigen Anwendungen des Ausdruckes »verstärkte Absorption» will mir scheinen, dass man der Dichtigkeit und der Dicke der durchstrahlten Gasschicht auch eine Vermehrung der Streifenbreite zuzuschreiben geneigt sey.

Ich kann mir aber, bei ideellen Gasen wenigstens, keinen annehmbaren Grund hiefür denken. Wollte man etwa auf einen ähnlichen Vorgang hinweisen, wie er bei tönenden Körpern beobachtet wird, wonach diese auch durch Töne, die vom Eigenton abweichen, wenn auch mit geringerer Intensität, in's Mitschwingen versetzt werden können und diese geringere Intensität bei gehöriger Dicke der Schicht merkbar werden könnte; so ist einzuwenden, dass dieser Umstand in der unvollkommenen Erfüllung der Gränzbedingungen bei tönenden Körpern seinen Grund hat, daher bei einem freien Körper ganz entfällt.

Die Verbreiterung der dunheln wie der hellen Streifen wird also wohl in denselben Umständen seinen Grund haben.

4.

Ich will den erhaltenen Resultaten einige Bemerkungen hinzufügen und nahe liegende Folgerungen ziehen.

Ganz abgesehen von der Messbarkeit der Streisenbreite kann schon ihre blosse Vergleichung einige Ausschlüsse gewähren. Zeigen sich in einem Gasspectrum naheliegende Streisen von disserenter Breite, so würde dieses aus ein Gemische von verschieden dichten Gasen eder auf verschiedene allotropische Zustände desselben Gases hinweisen. In dieser Beziehung scheinen mir im Sauerstoffspectrum einer Geifsler'schen Röhre (ich kenne es leider aus Mangel an Hilfsmitteln nur sehr unvollkommen) einige seine Linien im Blau auf das dichtere Ozon hinzuweisen, dessen Gegenwart in Folge der elektrischen Entladungen wohl zu erwarten steht. — Ob das Austreten neuer Linien durch intensiver

gewordene Schwingungen derselben Molectile oder durch allotrope Zustände zu erklären sey, ließe sich ebenfalls durch Beachtung der Breite dieser Linien entscheiden.

Bei demselben Gase erlaubt die Breite des Streifens einen Schluss auf seine Temperatur. Besonders an Himmelskörpern, wo alle anderen Mittel fehlen, müste eine solche Schätzung von Interesse seyn. Es sind auch Verbreiterungen, namentlich an den Wasserstofflinien, an denen sie der geringen Gasdichte wegen am ersten auffallen mußten, beobachtet worden, und zwar von Lock yer bei (Ha), von Angström bei einer vierten Wasserstofflinie (h) im Spectrum der Protuberanzen, von Huggins eine sehr bedeutende Verbreiterung von (H3) im Sirius-Spectrum u. s. f. Lock ver und Frankland schließen zwar aus ihren Versuchen, dass solche Verbreiterungen nur dem höheren Druck des Gases zuzuschreiben seven, es scheint mir jedoch nicht zweifelhaft, dass in diesen Versuchen das Gas bei höherem Druck auch eine sehr bedeutend höhere Temperatur während des Glühens gehabt hat.

Von Huggins und Lock yer sind auch Verbreiterungen gewisser dunkler Linien im Spectrum des Kernes der Sonnenflecke zuerst beobachtet worden, die demnach auf eine höhere Temperatur der den Kern bildenden Gase und Dämpfe schließen lassen im Vergleiche zu dem Theil der Sonnenatmosphäre, in welchem die Fraunhofer'schen Linien entstehen. Könnte nicht dieser Umstand einen Anhaltspunkt geben für die Lage des Sonnenflecken-Kernes gegen die Sonnenatmosphäre?

Die Messungen der Streifenbreiten würden über Temperatur und Dichte nicht nur relative Beziehungen zu Tage fördern, sondern es wäre möglich aus ihnen wenigstens angenäherte Werthe dieser Größen abzuleiten. Diese hätten immerhin, so wenig auch die Genauigkeit mit anderen Temperatur- und Dichten-Messungen verglichen werden kann, eine Bedeutung in Fällen, wo andere experimentelle Methoden ihren Dienst versagen oder die Objecte nicht zugänglich sind. Die Gküh-Temperaturen der Gase in Geris-

ler'schen Röhren, die Temperaturen der Gase und Dämpfe bekannter Stoffe in der Sonnen- und Stern-Atmosphäre, die Dampfdichten mancher schwer flüchtiger Körper könnten, besonders bei nicht zu großen Dichten der entsprechenden Gase, eine beiläufige Werthermittelung erfahren. Endlich wären Messungen an den Streifen eines und desselben Gases, z. B. an den Wasserstofflinien geeignet, einen experimentellen Nachweis für die Richtigkeit der dynamischen Gas-Theorie zu liefern, selbst wenn man sich nur auf eine Temperatur beschränkte, da bei einer anderen als der angenommenen Ursache für die Verbreiterung der Streifen kaum das oben gefundene Gesetz ebenfalls zutreffen könnte. Entscheidender, aber auch wegen der Temperaturmessung schwieriger, wäre freilich der Vergleich der Breiten eines und desselben Streifens bei verschiedenen Temperaturen.

Bei den vorhandenen Spectroskopen von großer Dispersionsfähigkeit dürften aber derartige angenäherte Messungen, namentlich wenn man das Beobachtungsfernrohr durch das von Zöllner an seinem Reversionsspectroskop angebrachte ersetzt und so das Princip der doppelten Bilder benutzt, nicht in das Bereich der Unmöglichkeit gehören.

Uebrigens möge nicht vergessen werden, dass die erhaltenen Resultate strenge nur für ideelle Gase gelten. Wenn aber, namentlich bei zunehmendem Druck dem das Gas unterworfen wird, oder bei Dämpfen, eine Abweichung von diesem ideellen Zustande vorhanden ist, d. h. wenn die Weglänge, während welcher ein Molecül in der Wirkungssphäre eines anderen verweilt, nicht mehr verschwindend klein ist gegen die mittlere Weglänge; werden nothwendig auch Veränderungen im Spectrum diesen Umstand anzeigen. In diesem Falle wäre zu erwägen, dass die Schwingungsdauern eines Atomcomplexes durch die gegenseitigen Wirkungen zweier Molecüle während eines nicht mehr verschwindend kleinen Wegtheiles geändert werden, und zwar augenscheinlich die größeren Aenderungen auf einer kleineren Wegstrecke als die kleineren. Es werden also neue Schwingungsdauern austreten, deren Intensität im Spectrum um so

kleiner sich zeigen wird, je größer ihre Abweichung von der Schwingungsdauer des Gasmolecüls im ideellen Zustande ist. Hiedurch wird ein Spectralstreifen nach beiden Seiten hin ein verwaschenes Aussehen erhalten und der beleuchtete Theil mit zunehmendem Druck um so mehr sich ausdehnen, je mehr das beobachtete Gas in seinem Verhalten vom Mariotte-Gay-Lussac'schen Gesetze abweicht. Diese Erklärung stimmt sehr wohl mit den Wüllner'schen Versuchen, nach welchen das Verwaschenwerden bei Sauerstoff und Stickstoff unter viel niedrigeren Druckkräften eintrat, als bei Wasserstoff. Wie das schließliche Auftreten des continuirlichen Spectrums erklärt werden kann, wage ich jetzt noch nicht auszusprechen.

Ich hätte freilich gewünscht, die hier dargelegte Theorie einer experimentellen Untersuchung unterziehen zu können, vielleicht wären dann manche Bemerkungen weggefallen, andere hinzugekommen. Da es mir leider wegen Mangel an Hilfsmitteln nicht vergönnt ist, diese Arbeit zu unternehmen, mir aber die Consequenzen aus obiger Theorie doch wichtig genug erscheinen, um sie einer Würdigung werth zu erachten; so will ich sie der Aufmerksamkeit der mit kräftigen Spectralapparaten verschenen Physikern empfehlen, gewärtig, in manchen Punkten, in denen mir der Augenschein mangelt, vielleicht eine Berichtigung erfahren zu müssen.

Graz, im Januar 1870.

### VII. Ueber die Modificationen des Schwefelsäure-Anhydrides; von Carl Schultz-Sellack.

Die vielfach sich widersprechenden älteren Angaben über die Eigenschaften des Schwefelsäure-Anhydrides hat Marignac zusammengestellt und berichtigt 1). Derselbe fand das Verhalten des Schwefelsäure-Anhydrides in der That nicht unveränderlich, und nahm deshalb zwei Modificationen desselben an. Diese werden charakterisirt: 1) Das flüssige Schwefelsäure-Anhydrid siedet bei 46" und erstarrt bei 0° schnell zu einer Masse, welche gleich nach dem Erstarren bei 18° zum größten Theil schmilzt. 2) Das Anhydrid ist nach längerem Außbewahren nicht mehr schmelzbar, verflüchtigt sich erst bei 100° und verdichtet sich zu flüssigem Anhydrid.

H. L. Buff<sup>2</sup>) hat später für Schwefelsäure-Anhydrid angegeben: Siedepunkt 46° bis 47°, Erstarrungspunkt 25°, Schmelzpunkt im zugeschmolzenen Rohr 29°,5, unter gewöhnlichem Luftdruck bedeutend höher; letztere Angabe ist unwahrscheinlich, da in dem zugeschmolzenen Rohr durch die Dampfspannung bei 29°,5 nur eine geringe Druckvermehrung stattfindet.

Schwefelsäure Anhydrid, aus rauchender Schwefelsäure gewonnen und durch Destillation über eine Schicht von Phosphorsäure Anhydrid im zugeschmolzenen Glasgefäß völlig gereinigt, zeigt folgende Eigenschaften.

Kühlt man das flüssige Anhydrid ab, so wird ein eingetauchtes Thermometer bei 16° stationär und die Flüssigkeit erstarrt in langen durchsichtigen Prismen; zuweilen läst sich die Flüssigkeit bis nahe 0° abkühlen und erstarrt dann beim Schütteln plötzlich, indem das Thermometer auf 16" steigt. Die durchsichtigen Prismen schmelzen bei derselben Tem-

<sup>1)</sup> Ann. chim. [3] XXXIX, 193.

<sup>2)</sup> Ann. Chem. Pharm. Suppl. IV, 151.

peratur, und man erhält häufig wieder eine unveränderte Flüssigkeit. Zuweilen aber bleiben in der geschmolzenen Masse weiße Flocken zurück, welche sich zu Warzen von feinen weißen Nadeln vergrößern, und nach einiger Zeit ist die ganze Flüssigkeit in eine verfilzte weiße Masse verwandelt; das Thermometer ist während dieses Vorganges nicht stationär. Dieselbe Umwandlung geschieht nach einiger Zeit stels, wenn man das flüssige Anhydrid bei Temperaturen unter 25° aufbewahrt; bei Temperaturen über 27° bleibt das flüssige Anhydrid unverändert, und wenn ein Theil desselben sich bei niedrigerer Temperatur umgewandelt hatte, so schreitet die Umwandlung bei dieser Temperatur nicht weiter fort.

Erwärmt man die feste Masse, in eine Glasröhre eingeschmolzen, von allen Seiten gleichmäßig, so bleibt sie noch bei 50° unverändert fest, bei höheren Temperaturen wird sie allmählig flüssig, um so schneller, je höher die Temperatur ist, aber selbst wenn ein eingeschlossenes Thermometer 80° zeigt, ist fortgesetztes Erhitzen nöthig. Das Flüssigwerden des festen Anhydrides ist also keine Schmelzung im gewöhnlichen Sinne, so wenig wie die Bildung des festen weißen Anhydrides aus dem flüssigen ein Erstarren im gewöhnlichen Sinne, vielmehr eine moleculare Umwandlung anderer Art, welche innerhalb gewisser Temperaturgränzen vor sich geht. Die aus dem festen Anhydrid erhaltene Flüssigkeit zeigt die Eigenschaften, welche oben für das flüssige Anhydrid angegeben sind.

Das flüssige Schwefelsäure-Anhydrid erfährt durch Wärme eine außerordentlich starke Ausdehnung; wenn man flüssiges Schwefelsäure-Anhydrid in einer cylindrischen Röhre von 20° auf 100° erwärmt, so sieht man die Flüssigkeitssäule um mehr als  $\frac{1}{6}$  sich vergrößern. Durch Beobachtung an einem mit dem Anhydrid gefüllten Dilatemeter fand ich das Volumen zwischen 25° und 45° von 1 auf 1,055 zunehmen; daraus berechnet sich der mittlere scheinbare Ausdehnungscöfficient für 1° zu 0,0027. Ein wenig kleinerer Werth

kann aus den von Buff') angegebenen Bestimmungen abgeleitet werden. Das Schwefelsäure-Anhydrid hat also von allen bekannten Flüssigkeiten, unterhalb der Siedetemperatur, den größten Ausdehnungscoëfficienten, welcher mehr als zwei Drittel von dem der Gase beträgt. Nur bei Temperaturen weit oberhalb ihres Siedepunktes zeigt flüssige Kohlensäure und andere Flüssigkeiten einen so großen Ausdehnungscoëfficienten.

Das flüssige Schwefelsäure-Anhydrid siedet unter 760mm Quecksilberdruck bei 46°; bei 20° beträgt sein Dampfdruck etwa 200mm Quecksilber. Das vollständig in den festen Zustand umgewandelte Anhydrid zeigt, in das Vacuum gebracht, keine wahrnehmbare Dampfspannung, es bildet indessen sehr allmählig Dampf. Zerbricht man ein mit dem festen Anhydrid gefülltes Kügelchen in einem luftleeren zugeschmolzenen Glasgefäß, so findet man bei 20° nach 8 Tagen eine Dampfspannung von 30 bis 40mm Quecksilber. Bei erhöhter Temperatur ist die Dampfbildung reichlicher; wenn man diesen Dampf abkühlt, so erhält man das flüssige Anhydrid. Wenn man deshalb festes Anhydrid, welches in einem Rohr eingeschlossen ist, erwärmt, während ein Theil des Gefässes kalt bleibt, so verdichten sich an diesen Stellen die gebildeten Dämpfe zu einer Flüssigkeit und man kann auf diese Weise schon bei 30° eine scheinbare Schmel zung des festen Anhydrides beobachten.

Lässt man größere Mengen des festen Anhydrides in den festen Zustand übergehen, so zeigen dieselben noch nach längerem Aufbewahren, im Vacuum sogleich eine beträchtliche Dampfspannung; man kann daraus schließen, daß die Umwandlung in den festen Zustand erst nach langer Zeit vollendet ist.

Der Dampf sowohl des slüssigen als des setstewordenen Anhydrides zeigt die normale Dichte; dieselbe wurde 2,74 bis 2,77 gesunden (berechnet SO<sub>3</sub> 2,76). Um die Dampf dichte des sesten Anhydrides zu bestimmen, wurde in einer

I) Buff, L c.

luftleeren Glaskugel, an welche ein meterlanges, 4<sup>mm</sup> weites Glasrohr angeschmolzen war, ein Kügelchen der Substanz zerbrochen; wenn sich nach längerer Zeit Dampf gebildet hatte, wurde die Spannung desselben nach Oeffnung des Rohres unter Quecksilber gemessen, das Rohr nahe der Kugel abgeschnitten und die Menge des Dampfes in der Kugel durch Zersetzen mit Wasser und Fällung als schwefelsaures Baryum bestimmt.

Man kann hiernach zwei Zustände des Schwefelsäure-Anhydrides charakterisiren:

- l)  $\alpha$ -Schwefelsäure-Anhydrid, erstarrt bei  $+16^{\circ}$  in langen farblosen Prismen, welche bei derselben Temperatur schmelzen, siedet bei  $46^{\circ}$ .
- 2) \(\beta\)-Schwefels\(\alpha\)ure-Anhydrid, entsteht bei Temperaturen unter 25\(^n\) aus dem ersten, bildet außerordentlich feine weiße Nadeln; es bildet schon bei gewöhnlicher Temperatur sehr allm\(\alpha\)hlig D\(\alpha\)mpfe, welche die Beschaffenheit des Dampfes der ersten Modification haben; es wird bei Temperaturen \(\text{über}\) 50\(^n\) allm\(\alpha\)hlig fl\(\text{üssig}\) und wieder in die erste Modification \(\text{übergef\(\text{ührt}\)hrt.

Auch die Löslichkeitsverhältnisse beider Modificationen sind sehr verschieden. Flüssiges Schwefelsäure-Anhydrid ist mit Schwefelsäurehydrat in jedem Verhältniss mischbar. Enthält die Mischung auf 10 Th. Anhydrid 1 bis 2 Th. Säure, so scheidet sich daraus allmählig  $\beta$ -Anhydrid aus; enthält die Mischung mehr Säure, so giebt sie selbst bei starker Abkühlung keine feste Ausscheidung; steigt die Säuremenge bis auf 5 Th. gegen 10 Th. Anhydrid, so können aus der Mischung Krystalle von Doppelschwefelsäure erhalten werden. Das  $\beta$ -Anhydrid löst sich in Schwefelsäure außerordentlich langsam auf

Mit Schwefligsäureanhydrid ist slüssiges Schwefelsäure-Anhydrid ebenfalls in jedem Verhältnis mischbar; ist Schwefligsäure-Anhydrid im Ueberschuss, so erhält man auch bei starker Abkühlung keine feste Ausscheidung; aus einer Mischung gleicher Theile setzt sich beim Abkühlen β-Anhydrid ab, welches schon bei gewöhnlicher Temperatur sich wieder löst; überwiegt die Menge des Schwefelsäure-Anhydrides, so wird ein Theil der Mischung auch bei gewöhnlicher Temperatur fest. Eine chemische Verbindung beider Anhydride welche H. Rose<sup>1</sup>) vermuthete, scheint nicht zu bestehen; indessen kann man auf eine starke Anziehung zwischen beiden schließen aus der Erhöhung des Siedepunktes. Eine Mischung aus gleichen Theilen beider Anhydride siedet bei + 5°; Zinnchlorid, Sn Cl<sub>4</sub>, welches mit Schwefligsäure-Anhydrid ebenfalls mischbar ist, erhöht den Siedepunkt nur bis etwa — 5°; aber auch durch Beimischung von Aether wird der Siedepunkt der schwefligen Säure bedeutend erhöht.

Schwefelkohlenstoff ist bei  $30^\circ$  mit flüssigem Schwefelsäure-Anhydrid vollkommen mischbar, bei niedrigeren Temperaturen ist die Mischbarkeit beschränkt; bei  $15^\circ$  nimmt jede der Flüssigkeiten nur etwa  $\frac{1}{8}$  von der anderen auf. Eine Mischung aus gleichen Theilen Schwefelsäure-Anhydrid und Schwefelkohlenstoff siedet bei  $34^\circ$ . Schwefelkohlenstoff und Schwefelsäure-Anhydrid wirken chemisch auf einander ein, besonders bei Gegenwart geringer Mengen Schwefelsäurehydrat; nach einiger Zeit scheidet sich aus der Mischung eine braune zähflüssige Masse ab.

Man könnte geneigt seyn, das β-Schwefelsäure-Anhydrid als polymere Modification aufzufassen, da eine Anzahl organischer Verbindungen ähnliche Umwandlungen ihrer physikalischen Eigenschaften unter Verdichtung des Moleculs zeigen. Die Cyanursäure, welcher nach der Zusammensetzung ihrer Salze das dreifache Moleculargewicht der Cyansäure zuzuschreiben ist, entsteht innerhalb gewisser Temperaturen aus dieser, und bildet in hoher Temperatur allmählig Dämpfe von Cyansäure ²). Ebenso können die Aldehyde, die Chlor- und Bromsubstitute des Aethylens, in

<sup>1)</sup> Pogg. Ann. Bd. 39. 173.

<sup>2)</sup> Troost & Hautefeuille, Compt. rend. 67. 1345.

einen Zustand übergehen, aus welchem sie nur durch Verdampfung wieder in den normalen Zustand zurückgeführt werden.

Berlin, 12. December 1869.

# VIII. Ueber Klang figuren durch Luftvibrationen gebildet; von F. Melde.

m vierten Hefte des dritten Bandes dieser Annalen 1869 S. 560 hat Hr. Vierth einige Mittheilungen über Schwingungen von Luftplatten gemacht, die mich zu folgenden Bemerkungen veranlassen.

1. Zunächst sind die Klangfiguren, welche Hr. Vierth beschreibt, nicht unbekannt, indem bereits im Jahre 1831 Faraday deren Zustandekommen erwähnt und auch Einiges zur Erklärung dieses Zustandekommens mittheilt. Um sich hiervon zu überzeugen, lese man die betreffenden Stellen der schönen Arbeit Faraday's, die unter dem Titel » Ueber eine eigenthümliche Klasse akustischer Figuren, und über gewisse Formen, welche Gruppen von Theilchen auf schwingenden elastischen Flächen annehmen « auch in diese Annalen (Jahrg. 1832, Bd. XXVI, S. 193) übergegangen ist, nämlich die Absätze 29, 30, 31 und 62.

Diese Faraday'schen Klangfiguren, die gebildet werden, wenn einer schwingenden Platte: Metall- oder Glasscheibe oder einer Membran, eine ruhende von einer gewissen Gränze an mehr und mehr in damit paralleler Lage von oben oder von unten genähert wird, und im einen Fall auf die schwingende, im anderen Fall auf die ruhende Platte Lycopodium oder am Besten Korkfeilicht gestreut wird, haben ferner die größte Aehnlichkeit mit den Klangfiguren, welche vor einiger Zeit Hr. Prof. Kundt in diesen Annalen (Jahrg. 1869, Bd. 137, S. 456) bekannt machte, deren Zu-

standekommen aber unter anderen Bedingungen erfolgt. Die Kundt'schen Klangfiguren betrachte ich meinerseits, und ich glaube auch Hr. Kundt, als durch Longitudinalschwingungen einer Luftplatte erzeugt, die durch kräftige Stölse von einem Punkte aus erregt werden. fende Luftplatte liegt hierbei zwischen zwei parallelen Flächen, die an der Bewegung selbst keinen Antheil nehmen, weder an den ursprünglich erregten Longitudinalstößen des Glasstabs, noch an den mit diesen nun auftretenden Luftreibrationen. Wenigstens würde man, falls etwa solche Erzitterungen der abgränzenden Wände stattfinden sollten, diese auf irgend eine Weise wegschaffen können. Also eine schwingende Platte ist bei den Kundt'schen Figuren nicht nöthig, und mit Rücksicht hierauf sind diese Klangfiguren von den Chladni'schen Figuren meines Erachtens völlig unabhängig und ihrem Charakter nach auch keineswegs die Analoga der Chladni'schen Figuren für Luft. Denn die Chladni'schen Figuren kommen vorzugsweise durch Transversalbewegungen der Scheibe zu Stande, während die Kundt'schen lediglich durch Longitudinalbewegungen der Luftmasse gebildet werden, und Transversalbewegungen im Sinne wie bei einer festen Scheibe mit freien Oberslächen bei einer Luftmasse nicht möglich sind.

2. Diejenigen Klangfiguren bei festen Scheiben und Membranen, welche den Kundt'schen entsprechen, kennt man noch nicht in genügender Vollständigkeit. Es müste nämlich ein Mittel erfunden werden: eine Scheibe von einem beliebigen Punkte aus gleichmäßig nach allen Richtungen hin in longitudinale Erschütterungen zu setzen, ebenso wie von dem stoßenden Glasstab aus diese Wellen sich in die Luftmasse verbreiten. Beschränkt man sich auf eine Erregungsstelle, die am Rande der Scheibe liegt, so läßt sich allerdings durch einen Glasstab, den man, in der Ebene der Scheibe gelegen, ankittet, eine Longitudinalerregung der Scheibe ermüglichen, und wird man eine Reihe von Klangfiguren hierbei erhalten; aber selbst diese sind noch nicht näher untersucht, geschweige solche, die erhalten würden,

wenn es gelänge, von einem anderen Orte der Scheibe aus solche Longitudinalwellen gleichmäßig ringsherum zu entsenden.

Also diese Kundt'schen Figuren haben zunächst mit den eigentlichen Chladni'schen nichst zu schaffen. Ihre Formen brauchen desshalb mit keiner Form einer Figur, welche etwa eine der, die Luft abgränzenden, festen Platten giebt, im Zusammenhange zu stehen.

Ganz anders ist es mit den Faraday'schen. Diese Curven kommen dadurch zu Stande, dass eine Scheibe nach einer bestimmten Weise transversal schwingt und von verschiedenen Centren aus die darüber oder darunter liegende Lustplatte in Erschütterungen setzt, wobei die Lustmasse einestheils mit der schwingenden Scheibe gewissermaassen Biegungen erleidet und anderntheils jedenfalls auch Longitudinalschwingnngen oder Strömungen zwischen den Platten annimmt. Die Figuren, die dadurch erzeugt werden, schliefsen sich ihrer allgemeinen Form nach aus Engste an die, der Scheibe zukommende Schwingungsart an, und sobald ein anderer Ton der Scheibe entlockt wird, setzt sich die Schwingungsfigur der Lust auch ebenfalls dem entsprechend um.

Die Bildung der Kundt'schen Figuren erfolgt der Art dass sich ein eigenthümliches Rippensystem um gewisse Mittelpunkte lagert, die als einfache und doppelte Kanten von Hrn. Kundt bezeichnet worden sind. Die Faraday'schen Curvenfiguren kommen dadurch zu Stande, dass dieses Rippensystem umgekehrt schliefslich die Stellen einnimmt, welche der Sand bei der Chladni'schen Figur auf der schwingenden Scheibe besetzte. Auch in diesem Umstande könnte vielleicht eine Verschiedenbeit im Wesen der beiden Bildungen erkannt werden. Doch werden genauere Untersuchungen über diesen Gegenstand erst abzuwarten seyn und es ist trotz dem Mitgetheilten denkbar, das beiden Erscheinungen eine gemeinsame Ursache zu Grunde liegt, die nur in einem Falle aus secundären Gründen äusserlich etwas Anderes hervorruft.

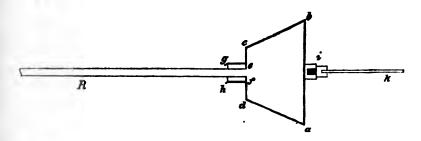
- 3. Ich will nun im Folgenden noch einige Mittheilungen über die Methoden machen, die man anwenden kann um die Faraday'schen oder die Kundt'schen Klangfiguren zu erzeugen. Abgesehen also von der Methode Faraday's und der Vierth'schen gelingen dieselben schön, wenn man die Scheibe, welche schwingen soll, mit einem Streichstäbchen versieht und dieses mit nassen Fingern anstreicht. Stellt man die Scheibe hierbei vorher auf einige Finger, und streut Sand darauf, so wird man die eine oder andere Chladni'sche Klangfigur angezeigt bekommen; ordnet man nach ihr die Finger sorgfältiger, so wird die Figur reiner. Ohne sie zu verrücken, klebt man jetzt unter die Scheibe an einigen passenden Stellen kleine gleich dicke Filzstückehen mit Wachskitt auf, setzt die Scheibe auf eine Unterlage worauf vorher das Korkfeilicht gebracht worden ist und streicht erstere an. Man wird dann die betreffende Faraday'sche Figur unter der Chladni'schen haben und kann beide mit einander vergleichen. Diese Methode gestattet ebenso leicht, die schwingende Scheibe, mit Korkfeilicht bestreut, zu unterst zu nehmen, wodurch allerdings nicht gleichzeitig darüber die Chladni'sche hervorgerufen werden kann. Diese beiden Versuche müssen demnächst näher verglichen werden, indem sie mir nicht genau dieselben Erscheinungen darzubieten scheinen, wie man auch von vornherein erwarten kann. Denn im ersten Fall liegt das Korkfeilicht auf einer ruhenden, im letzteren auf einer schwingenden Scheibe. Von der Stelle, die man dem Fusse des Streichstäbchens giebt, hängt natürlich die zu erwartende Figur ab, und muss noch erwähnt werden, dass auf diese Weise nicht gerade die höheren Tone einer Scheibe hervorgebracht werden können. Will man solche Schwingungsarten sehen, so mufs man größere Glasplatten nehmen, die bei derselben Tonlage mehr Abtheilungen bilden wie eine kleinere.
- 4. Diejenige Manier, welche mir bisher die schönsten Resultate lieferte, besteht in Folgendem. Man kitte einen Glasstab oder eine Glasröhre in der Mitte senkrecht: auf

eine Glasscheibe (meine war quadratisch und über einen Quadratfus gross) und erzeuge den tiefsten Longitudinalton der Röhre, indem man sie etwa in der Mitte mit der linken Hand festhält und mit der rechten durch ein nasses Läppchen in Vibration setzt. Bekommt man hiebei einen klaren anhaltenden Ton, so ist die Sache gut, wo nicht, so breche man nach und nach kleine Stitcke von der Röhre ab und probire immer, ob sie mit der Scheibe zusammen einen nach und nach besseren Ton gebe. Sobald dieser nun erreicht ist, wird man durch auf die Scheibe gestreuten Sand bekanntermaßen eine schöne Chladni'sche Klangfigur Man lässt nun diese ungestört, klebt wiederum erhalten. Filzstückehen unten an, setzt die Scheibe mit dem Stab auf eine Unterlage, am besten eine zweite Scheibe, und streicht die Glasröhre wieder an. Im Moment wird man dann eine tadellose Faraday'sche Klangfigur erhalten, vorausgesetzt, dass vorher auf die untere Scheibe Korkfeilicht gestreut worden war. Das Aufkitten der Glasröhre oder des Glasstabes auf die Scheibe geschieht am besten so, dass man erst einen Korkstopfen mit einem dem Stabe entsprechenden Loche durchbohrt, dann erst den Kork mit Kitt (Mischung von Wachs und Colophonium) aufkittet, erkalten lässt, dann das Loch mit heißem Kitt vollgießt, hierin das etwas erwärmte eine Ende des Stabes setzt, und durch eine vorher schon passend aufgestellte Korkzange in verticaler Lage erhält bis der Kitt völlig erhärtet ist.

Diese Methode kann meines Erachtens ein Mittel abgeben, um zu beweisen, dass die Kundt'schen Figuren andere sind wie die Faraday'schen. Zu dem Ende verschaffe man sich die von Hrn. Kundt angegebene einfache Einrichtung, um die Lustplatten in Vibration zu bringen. Man wähle bei ihr genau dieselbe Größe der Scheiben wie bei der von mir eben beschriebenen Manier; man regulire ferner die Länge des stoßenden Longitudinalstabs bei dem Kundt'schen Apparate so, daß er genau denselben Longitudinalton giebt wie der meinige; man setze ferner die Scheiben in gleichen Abstand von einander und führe beide

Versuche neben einander aus, so wird man erkennen, ob die erhaltenen Figuren dieselben sind oder nicht. Im letzteren Falle begreift man, dass derselbe Ton in Verbindung mit einer schwingenden Platte etwas Anderes liefert als ohne diese.

5. Eine dritte Methode, Lufträume in Bewegung zu setzen, habe ich in folgender Einrichtung kennen gelernt. Nebenstehende Figur zeigt in abcd einen abgestumpften



Kegel von Weisblech, der an seiner schmalen Basis cd sich noch in einen Cylinder efgh fortsetzt, so, das in diesen eine Glasröhre R mit ihrem einen Ende eingekittet oder wenigstens mittelst eines Korks festgemacht werden kann-Dieser Blechkörper mit der Röhre bildet ein System, das wenn bei i das Glasstäbchen k angekittet und mit nassen Fingern gerieben wird, ins Tönen geräth, und ein Ton auftritt, dessen Höhe abhängt einmal von dem Blechkörper, sodann von der eingekitteten Röhre, und dann jedenfalls auch von dem Medium, welches den Raum der Röhre und des Blechkörpers ausfüllt, d. h. der Ton wird wesentlich modificirt, wenn man statt Luft sich als ausfüllenden Körper Wasser dächte.

Die Dimensionen meines Apparats setze ich hieher. Die Seite ab, also der Durchmesser der großen Basis war 143 Millim. lang, desgleichen cd gleich  $62^{mm}$ , ferner die Seite  $ad = bc = 86^{mm}$ ;  $ef = gh = 24^{mm}$ , ebenso  $eg = fh = 24^{mm}$ . Der äußere Durchmesser der Röhre betrug bei einer Länge derselben von 158 Centim.,  $14^{mm}$ . Das Streichstäbehen

war bei i eingekittet oder vielmehr eingeschraubt, indem sein unteres Ende eine bleine Schraubenspindel trug, die in die Mutter i eingeschraubt werden konnte.

Streut man nun in die Röhre Korkfeilicht und streicht das Stäbchen, so wird man sofort gewahren, wie jenes Rippensystem zum Vorschein kommt, das Hr. Kundt erhielt als er mittelst eines longitudinal schwingenden Stabs das eine Ende der Luftsäule erschütterte, d. h. es werden sich Wellenlängen abgegränzt zeigen und aufserdem jene kleinen linearen Abgränzungen, die Hr. Kundt in diesen Annalen Bd. 127, S. 497 beschrieben und deren Erklärungsweise bis jetzt noch nicht genügend gegeben werden konnte. Selbstverständlich hat man es hier mit viel tieferen Tönen zu thun, als wenn man die Luft durch einen longitudinal tönenden Glasstab in Erschütterung setzt. Die Wellen sind in Folge dessen viel länger, die Zahl der Riefen auf einer Welle viel größer. Man kann den ganzen Apparat in der Hand halten und mit Leichtigkeit ihn hier und da vorzeigen. Führt man in das andere Ende der Röhre einen verstellbaren Stempel ein, so lässt sich der Einfluss der Länge der Luftsäule auf die Bildung der Knotenlinien studiren; kurz es wird diese Methode sich nicht unfruchtbar erweisen bei der Verfolgung der hieher gehörenden und zum Theil noch zu lösenden Fragen.

Obne Zweisel wird man das ganze System leicht so einrichten können, dass man statt Lust ein anderes Gas berücksichtigen kann: aber statt der Gase überhaupt wird man auch Flüssigkeiten einfüllen können. Ein Versuch, wobei Wasser eingefüllt und Sand in die Röhre gebracht worden war, lieserte zwar bis jetzt kein rechtes Resultat: aber man lasse ein kleines Lustbläschen eintreten und man wird an ihm eigenthümliche Bewegungen nach gewissen Stellen hin beobachten, falls man die Tonerregung in folgender Weise erzielt. Man schraube das kleine Streichstäbehen, um es vor einem Zerbrechen zu bewahren, ab, und streiche statt seiner energisch die Glassöhre mit einem nassen Lappen an. Sie wird vielleicht nicht sehr entschieden tönen, aber man

merkt sofort an dem Ton, dass es nicht ihr Longitudinalton, sondern der Ton des ganzen Systems ist; sobald er eintritt, wird man das Luftbläschen wandern sehen. Auch in dem Falle, wenn Luft im Systeme ist und man Korkfeilicht in der Röhre hat, kann man diese anstatt des Konus zunächst zum Tönnen bringen, dadurch dass man durch energisches Streichen an ihr das ganze System in Bewegung setzt.

- 6. Den eigenthümlichen Blechkonus mit seinem Streichstäbchen kann man nun auch benutzen um eine Luftplatte in Erschütterungen zu setzen. Zu dem Ende nahm ich zwei große runde Elektrisirmaschinenscheiben und kittete in die obere, die in einem der Sache entsprechenden Abstand parallel zur unteren durch kleine Filzstückchen aufgesetzt war, den Blechkonus mit dem eben bezeichneten Kitte fest. Sobald einige Zeit lang der Ton des Konus erhalten, und dann die obere Scheibe abgehoben wurde, zeigten sich die Curvensysteme im Korkfeilicht, natürlich ein concentrisches System, falls die Centren der Scheiben zusammenfielen. Sand auf die obere Platte aufgestreut wurde, bewegte sich dieser ebenfalls, zum Beweise, dass nicht allein die Luft erschüttert wurde. Es fragte sich daher: waren diese Systeme rein durch Longitudinalschwingungen der Luft erzeugt, oder hatten auch die Schwingungen der oberen Platte hierbei mitzusprechen, d. h. sind es rein die Kundt'schen Figuren oder die Faraday'schen oder etwa ein Mittelding? Ich kann gegenwärtig keine genügende Antwort hierauf geben, hoffe jedoch in Kurzem in der Lage zu seyn, über diesen Gegenstand Näheres mittheilen zu können.
- 7. Noch möchte ich erwähnen, dass man die unter Absatz 3 beschriebene Manier auch benutzen kann, um zwei Scheiben unter einander zum Tönen zu bringen und so gewissermaßen Interserenzsiguren zu erzeugen. Man spanne nämlich zwei Glasscheiben in paralleler Lage, wie es Hr. Vierth in seiner eben erwähnten Arbeit angiebt, in den Schraubstock, wie er zur Erzeugung der Chladni'schen Klangsiguren sast in Jedermanns Hand ist, versehe aber jede mit einem Streichstäbchen. Hat man vorher auf die unterste

Platte Korkfeilicht gebracht und kittet die Stäbchen so auf, dass jede Scheibe z. B. den Ton giebt mit dem Eckenkreuz als Klangfigur, so kann man die eine um die andere um 45° drehen und dann beide anstreichen. Man wird dann sehen, wie hierbei die eine Bewegung des Feilichts modificirt wird, falls die andere Scheibe mittönt. Die Scheiben wird man leicht so herrichten können, das sie genau gleiche Töne geben und wird durch Uebung es auch dahin zu bringen wissen, dass die beiden Töne möglichst gleich stark sind.

Marburg den 9. Februar 1870.

IX. Beobachtungen an der Flamme eines Argand'schen Gasbrenners dessen Zugglas beseitigt ist;
von E. Reusch.

Der Argand'sche Gasbrenner, an welchem die folgenden Beobachtungen gemacht sind, besteht aus einem Porcellanrohr, in dessen obere Ringsläche 32 Löcher im Kreis gebohrt sind. Der Brenner ist 50<sup>mm</sup> hoch, hat 14<sup>mm</sup> inneren, 24<sup>mm</sup> äusseren Durchmesser und erhält das Gas durch ein seitliches Rohr, so dass der untere Theil des inneren Hohlcylinders mit dem Daumen verschlossen werden kann. Das Zugglas ist nicht aufgesetzt.

1. Bei reichlichem Gaszuslus entsteht im Innern der Flamme in kleiner Höhe über dem Brenner ein eigenthümliches wandelbares und desswegen schwer zu beschreibendes wulstförmiges Wirbelgebilde, das einige Aehnlichkeit hat mit den bekannten Ringen von Phosphorwasserstoffgas oder Tabakrauch. Ein Strom glühenden, in unvollständiger Verbrennung begriffenen Leuchtgases scheint sich in der inneren Wölbung der Flamme mit der von unten zuströmenden Luft spiralförmig zu verslechten. Der obere Theil des Wul-

stes ist dunkelroth und trüb; der untere viel heller. Unter Umständen scheint das Wirbelgebilde ganz fest zu stehen und zeigt dann die Spiralen in deutlichster Weise; bei vermindertem Gaszuflus vibrirt aber das Gebilde in demselben Tempo, in welchem die Flamme flackert. Glühende Kohlentheile wirbeln blitzähnlich im Innern herum.

Durch Annäherung des Fingers an die untere Oeffnung wird das Gebilde gewöhnlich ungleichmäßig verzogen und zieht sich weiterhin in die innere Höhlung zurück, wo es verschwindet. Bei stetiger Reduction des Gaszuflusses verschwindet der Wirbel ebenfalls, indem er sich in den leuchtenden Obertheil der inneren Flamme verwandelt, der sich bei weiterer Gasreduction nach oben öffnet. Zwischen dem Geräusch der Flamme und dem jeweiligen Habitus des Wirbels scheint ein Zusammenhang zu bestehen.

- 2. Stellt man die Flamme mit Hülfe des Gashahns ziemlich nieder und verschliefst dann die untere Oeffnung etliche Secunden mit dem Daumen, so erfolgt nach Wegziehen des Fingers eine kleine Detonation. Während des Verschlusses scheint sich durch Wirbel oder Diffusion ein explosives Gemenge von Gas und Luft zu bilden, das beim Aufsteigen verbrennt. Hat man die Oeffnung zu kurze Zeit verschlossen, so findet die kleine Detonation nicht statt.
- 3. Die Flamme werde nun höher gestellt, die untere Oeffnung wieder einige Zeit verschlossen und dann der Finger subtil zurückgezogen; gleich darauf findet eine namhafte Reduction der Leuchtkraft statt, und wenn man nun den Gaszufluß stetig reducirt, so sieht man im Dunkeln eigenthümliche subjective Farbenerscheinungen, indem sowohl über die Fläche der pulsirenden Flamme farbige Wellen hinlaufen, als auch die Flamme selber mit schönen Farbensäumen eingefaßt erscheint. Wird der Gaszufluß unter eine gewisse Gränze reducirt, so endigt die Erscheinung mit einer kleinen Detonation.

Die Bedeutung des Zugglases besteht zu einem guten Theile auch darin, dass die Flamme durch den aufsteigenden Strom in die Axe des Bohrs gleichsam hineingespannt wird; ohne das Zugglas findet unausbleiblich jenes, den Augen so verderbliche Flackern und Pulsiren statt. Die Ursache dieser Periodicität liegt aber wohl darin, dass die Bildung eines explosiven Gemenges von Gas und Luft, und dessen plötzliche Verbrennung, in einem durch die Form und Dimensionen des Brenners, sowie durch den Gasdruck bestimmten Tempo sich rasch folgen und dass jede elementare Detonation eine vorübergehende Rückwirkung auf den Gaszuflufs ausübt. Das Tempo der Pulsationen der Flamme kann übrigens durch die Gegenwart einer Lustmasse von gegebener Schwingungszeit mitbedingt werden. An dem von mir in diesen Annalen 1866 Bd. 127, S. 168 besprochenen Bunsenbrenner zur Intonation großer Rohre habe ich sehr häufig bemerkt, dass der aus dem Rohr genommene Brenner mit demselben Tone, den das Rohr gab, zu summen fortfuhr.

Tübingen 1. März 1870.

## Ueber einen verbesserten elektrischen Lichtregulator; von G. Mos,

Sekretär d. physikal. Vereins in Arnheim.

Jeder, der optische Experimente einem größeren Publicum zu zeigen hat, wird erfahren haben, dass dieselben am meisten nützen, wenn man sie durch Projection allen Anwesenden gleichzeitig zur Anschauung bringen kann. Ein guter Projectionsapparat, mit leicht und bequem zu regulirender starker Beleuchtung, dürfte daher für jedes physikalisches Kabinet ein fast unentbehrliches Erforderniss seyn.

Da die meisten physikalischen Vorträge wohl am Abend gehalten werden, und auch am Tage nur selten auf volles Sonnenlicht zu rechnen ist, so muss man meistens zu künstlichem Lichte seine Zuslucht nehmen. Unter diesem verdient das elektrische Licht, weil es das stärkste ist, den Vorzug, sobald man es mit Bequemlichkeit nur so zu reguliren vermag, dass es constant und ganz anf der nämlichen Stelle bleibt.

Nach wiederholten ungenügenden Versuchen mit oft hochgepriesenen elektrischen Lichtregulatoren im physikalischen Verein hierselbst, legte ich selber endlich Hand ans Werk, und war so glücklich, nach verschiedenen Veränderungen und Verbesserungen einen Apparat herzustellen, der allen Anforderungen, entsprach. Da gewiß Mancher ebenfalls den Wunsch hat, einen sicher arbeitenden elektrischen Lichtregulator mit zweckmäßiger Laterne, um daran die Projectionsapparate zu befestigen, benutzen zu können, so hoffe ich, daß die Beschreibung meiner Vorrichtung von Nutzen seyn werde.

Man sieht den Apparat in Fig. 16 Taf. II abgebildet. Der + Strom tritt von der Batterie mittelst einer schweren Klemmschraube unten in denselben ein, geht durch einen isolirten Leiter nach oben zum runden Stück I und von da durch einen leicht beweglichen Kupferstreifen z zur obersten Kohlenklemme.

Der — Strom tritt ebenfalls unten in den Apparat, durchläuft die Drahtrolle a, geht zum isolirten Stück 2 und den dünnen Kupferblechstreifen y nach der unteren Kohlenklemme.

Auf diese Weise ist für eine sichere Leitung nach den beweglichen Kohlenspitzen gesorgt und zugleich einer oft störenden leitenden Verbindung mit den übrigen Theilen der Lampe vorgebeugt.

Die Kohlenelektroden selbst sind mittelst der isolirten Stäbe 3 und 4 sehr leicht auf und ab zu schieben. Der obere Stab wird durch eine Schnur getragen, welche über eine kleine Rolle nach unten läuft, dort, bei 5, den unteren Stab trägt, und endlich an einer Scheibe, von welcher b den äußeren Knopf vorstellt, befestigt ist.

Wird die Scheibe gedreht, so bewegen sich beide Kohlenspitzen auf- oder abwärts, je nach Richtung der Drehung, wodurch man das Licht beim Beginn des Experimentirens das Licht auf die gewänschte Stelle, z. B. auf den Brennpunkt einer Linse, bringt.

An dem oberen Stabe befindet sich ein Gewicht c. Dieses treibt die beiden durch die Schnur verbundenen Kohlenspitzen stets gegeneinander, und zwar, veranlasst durch die Einrichtung bei 5, die + Spitze doppelt so schnell wie die - Spitze.

Sobald aber die Kohlenspitzen einander berühren, beginnt ein an dem unteren Stabe und in der Drahtrolle hängender Eisenkern zu wirken, indem er in die Rolle gezogen wird und dadurch die Kohlenspitzen wieder trennt.

Durch die vereinte Wirkung des Gewichts und des Eisenkerns entsteht ein Gleichgewichtszustand, welcher die Kohlenspitzen in einem Abstand von einander hält, der willkürlich ist und sich durch die Masse des bei c aufgelegten Gewichtes, das dazu aus mehren Scheiben verfertigt ist, beliebig ändern läst.

So weit würde es, damit das Licht stets auf der nämlichen Stelle bleibe, nothwendig, dass von der + Spitze doppelt so viel fortbrennte als von der - Spitze. Die Erfahrung hat aber gelehrt, dass das wirkliche Verhältniss etwas anders ist und sich auch je nach der Kohlensorte ändern kann. Um also zum richtigen Maasstab in der gegenseitigen Annäherung der Spitzen zu gelangen, ist die Schnur bei den zwei, in der Abbildung wenig sichtbaren, auf der nämlichen Axe befestigten Scheibchen 7 durchschnitten. Das von unten kommende Ende ist an dem einen, und das nach oben gehende Ende an dem anderen Scheibchen befestigt, während der Durchmesser des letzteren durch eine sinnreiche Vorrichtung von ineinander greifenden kegelförmigen, Stücken vergrößert oder verkleinert werden kann, womit natürlich ein rascherer oder langsamerer Gang der oberen Kohlenspitze verbunden ist.

Die in unserer physikalischen Gesellschaft angestellten Proben zeigten, dass die so angesertigte Lampe bei oberflächlich gleichartigen Kohlenspitzen ein solch stillstehendes Licht gab, dass dasselbe in einer halben Stunde kaum um ein Millimeter seine Stelle änderte, so dass die unbedeutende Verrückung leicht durch eine kleine Drehung der Scheibe zu berichtigen war.

Man verlangte aber, dass der Apparat so vollkommen wie möglich wäre, und dass diese Endregulirung, welche durch die nie vollkommene Gleichartigkeit der Kohle nöthig wird, außerhalb der Laterne geschähe.

Darum wurde ein eiserner, den ganzen Regulator umfassender. Lampenkasten verfertigt, welcher auf einem zwischen Führungen beweglichen Bügel ruht. Die untere Stange des Bügels endigt in dem Fuß der Laterne, hat dort eine kleine Rolle und ruht mit derselben auf einem bogenförmigen Keil. Dieser Keil kann nun außerhalb der Laterne auf die einfachste Art unter den den Regulator tragenden Bügel gedreht werden, wodurch der ganze Regulator und somit auch das Licht sich hebt und senkt.

Diese Endregulirung, die einzige, bei welcher die führende Hand nöthig ist, ist so leicht und praktisch, daß sie sehr zu empfehlen ist. Durchaus nothwendig ist sie aber nicht, da sie auch durch eine Drehung des Knopfes der Scheibe 6 geschehen kann.

Die neben dem Regulator liegende Scheibe d wird bei e angehakt; sie dient zur Auffangung abspringender glühender Kohlentheilchen, während f die strahlende Wärme abhält.

Die Laterne ist oben und unten so durchbrochen, daße eine Luftströmung und somit eine Fortführung der störenden Hitze stattfinden kann, ohne daß der Lichtverschlußgestört wird.

An der Laterne sitzt natürlich eine Hülse, welche die Linsen zum Parallelstellen der Lichtstrahlen enthält, und an welcher auch auswärts alle Projections-Apparate zu befestigen sind. Der metallene Reflector ist so vorgerichtet, dass er in jede gewünschte Richtung gestellt werden kann.

Der ganze Regulator ist in der mechanischen und optischen Werkstatt des Hrn. B. Holsboer angefertigt, und so wenig kostbar, dass er sich für jedes physikalische Kabinet beschaffen läst.

### XI. Ueber den Einfluss tönender Schwingungen auf den Magnetismus des Eisens; von Dr. E. Warburg.

(Aus d. Monatsberichten d. Akad. December 1869.)

Matteucci<sup>1</sup>) und später Villari<sup>2</sup>) haben die Veränderungen untersucht, welche das magnetische Moment eines Eisen- oder Stahlstabes erleidet, wenn derselbe durch eine Zugkraft verlängert wird. Die zahlreichen Versuche Villari's beweisen, dass der Magnetismus eines Eisendrahtes, der sich in einer Magnetisirungsspirale besindet, wenn ein stabiler, durch Erschütterungen nicht mehr veränderlicher magnetischer Zustand des Drahtes eingetreten ist, durch Ausdehnungen und Zusammenziehungen des Drahtes in entgegengesetztem Sinne verändert wird.

Nach den herrschenden Ansichten tiber die Natur des Magnetismus ist es wahrscheinlich; dass die Aenderungen der Länge und des magnetischen Momentes sehr nahe gleichzeitig erfolgen. Ist dieses richtig, so müssen, wenn Ausdehnungen und Zusammenziehungen hinter einander in sehr kurzen Zeitintervallen vor sich gehen, die Aenderungen des Magnetismus in gleicher Weise eintreten.

Ein Eisenstab von 1890<sup>mm</sup> Länge, welcher die longitudinalen Schwingungen des Grundtones vollführt, macht in der Secunde ungefähr 1300 ganze Schwingungen. Es geschieht folglich in den Knotenpunkten des Stabes in 1 Secunde der Uebergang von der größten Verdichtung zu der größten Verdünnung.

Ich habe nun in der That gefunden, dass, wenn nur das Eisen hinreichend weich ist, auch in diesem Falle, trotz der Kleinheit der Elongationen und trotz der Schnelligkeit der Schwingungen mit den periodischen Dichtigkeitswechseln

<sup>1)</sup> Ann. de Chim. et de Phys. 3. 58, p. 416, 1858.

<sup>2)</sup> Pogg. Ann. Bd. 126, S. 87. Monatsber. d. Berl. Akad. 1865, S. 380.

sehr merkliche Oscillationen des magnetischen Momentes verbunden sind.

Eine Aenderung des Magnetismus wird am leichtesten durch die von ihr erzeugten Inductionsströme nachgewiesen. Wenn aber hinter einander gleiche und entgegengesetzte Aenderungen des Magnetismus stattfinden, so werden alternirende Inductionsströme erzeugt, welche mit gewöhnlichen Galvanometern nicht wahrgenommen werden können. Solche alternirende Ströme können indess nach W. Weber durch das Elektrodynamometer nachgewiesen werden, welches gegen die Richtung der Ströme, die dasselbe durchsliessen, indifferent ist. W. Weber') hat bereits das genannte, von ihm erfundene Instrument benutzt, um die alternirenden Inductionsströme nachzuweisen, welche durch die periodischen Bewegungen der freien Enden eines transversaltönenden magnetischen Stahlstabes in einer Inductionsspirale erzeugt werden. Ich habe mich desselben Instrumentes bedient, um die Inductionsströme nachzuweisen, welche durch die periodischen Aenderungen des magnetischen Momentes im Knotenpunkte eines longitudinal, tönenden, von einer Magnetisirungsspirale umgebenen Eisendrahtes in einer Inductionsspirale erzeugt werden.

Ein, 1890 mm langer Eisendraht von der käuflichen Sorte ward in der Mitte fest eingeklemmt, so dass derselbe, mit einem harzigen Lederlappen angerieben, den longitudinalen Grundton von etwa 1300 Schwingungen in der Secunde erklingen liefs, bei welchem sich in der Mitte ein Knoten bildet. Die eine Hälfte des Drahtes war fast ganz von einer Magnetisirungsspirale umgeben, auf der andern Hälfte befand sich am Knoten eine kurze Inductionsspirale aus feinem Kupferdraht, während der Rest dieser Hälfte frei blieb, um das Anreiben des Drahtes zu gestatten. Die kurze Inductionsspirale ward in den Schließungskreis eines Spiegeldynamometers eingeschaltet, und die Bewegungen des Spiegels mittelst Scale und Fernrohr beobachtet. Der magnetisirende Strom ward durch zwei Bunsen'sche Elemente gelie-

<sup>1)</sup> Elektrodynam. Maalsbestimm. I, §. 16.

fert. Als der Stab anhaltend kräftig angerieben ward, erhielt man am Dynamometer einen Ausschlag von 30 bis 50 Scalentheilen. Wenn die Inductionsspirale auf das freie Ende des Drahtes geschoben ward, welches auf Seiten der Magnetisirungsspirale lag und von dieser noch frei gelassen ward, so erhielt man gar keinen Ausschlag am Dynamometer. Es ist daraus zu schließen, daß die Inductionsströme in dem ersten Fall nicht durch das Hin- und Hergleiten der magnetischen Eisentheilchen erzeugt wurden, welches Hin- und Hergleiten an der Mitte, nämlich am Knoten, in geringster Stärke, an den freien Enden, den Bäuchen, hingegen in größter Stärke stattfindet, sondern durch Aenderungen des Magnetismus durch die abwechselnden Verdichtuugen und Verdünnungen, welche an den Knoten am größten, in den freien Enden hingegen Null sind.

Als das Dynamometer durch ein Galvanometer ersetzt ward, zeigte die Nadel des letzteren beim Tönen des Drahtes keinen Ausschlag, sondern nur unregelmäßige Bewegungen. Diese rührten von den mit dem Anreiben unvermeidlich verbundenen Schwankungen des magnetischen Eisendrahtes ber; denn jene Wirkungen fanden in gleicher Weisstatt, wenn solche Schwankungen des Drahtes ohne Tochervorgebracht wurden. Es ist daraus zu schließen, daf die Wirkung auf das Dynamometer abwechselnd entgegengesetzt gerichteten Inductionsströmen von gleicher Stärkzuzuschreiben ist, welche abwechselnd entgegengesetzte, gleiche Aenderungen des Magnetismus anzeigen.

Von andern käuflichen Eisendrähten ähnlicher Dimensionen, wie die des bisher benutzten Drahtes, zeigten zwei beim Tönen die beschriebenen Erscheinungen gar nicht; einer dieselben äußerst schwach. Diese Eisendrähte wurden nun in der Mitte, wo sich beim Grundton ein Knoten bildet, ausgeglüht und der Versuch wiederholt. Es zeigten jetzt alle drei Eisendrähte die in Rede stehenden Erscheinungen und zwar zwei dieselben so stark, daß ein Ausschlag von 2 bis 300 Scalentheilen am Dynamometer erhalten ward; der zu den ersten Versuchen benutzte Eisendraht gab, in Knoten

ebenfalls ausgeglüht, bei anhaltendem kräftigem Anreiben einen Ausschlag von 5 bis 600 Scalentheilen. Ein Stahldraht hingegen zeigte auch nach starkem Ausglühen die erwähnten Erscheinungen nicht. Entsprechend diesen Resultaten giebt schon Matteucci an, dass das magnetische Moment weicher Eisendrähte durch das Ziehen stärker verändert wird, als das der harten.

Zur Beurtheilung der Stärke des erhaltenen Effects diene die Angabe, das beispielsweise in einem Versuch beim Oeffnen der Magnetisirungsspirale, also durch das Verschwinden beinahe des ganzen Magnetismus des Eisens, in der Inductionsspirale ein Strom inducirt ward, der nur einen Ausschlag von drei Scalentheilen am Dynamometer hervorbrachte, während die Wirkung der durch anhaltendes Tönen in der Inductionsspirale erhaltenen Ströme sich so weit im Dynamometer summirte, dass die Bisilarrolle um einen 460 Scalentheilen entsprechenden Bogen ausschlug.

Eine Verstärkung des Magnetismus der weichen Drähte, sey es durch Vermehrung der stromerzeugenden Elemente, sey es durch Anwendung mehrerer Magnetisirungsspiralen, gab durchaus keine entsprechende Verstärkung der magnetischen Oscillationen beim Tönen. Entsprechend hatte in Villari's Versuchen eine Verstärkung des magnetisirenden Stromes nicht immer und nur bei gewissen Dimensionen der Drähte eine stärkere Aenderung des magnetischen Momentes durch das Ziehen zur Folge.

Als anstatt zweier Elemente nur eins angewandt wurde, erhielt man schwächere Wirkungen; aber selbst als der magnetisirende Strom geöffnet ward, genügte der remanente Magnetismus des weichen Drahtes, um, wenn der Stab zum Tönen gebracht wurde, einen Ausschlag von 50 bis 60 Scalentheilen am Dynamometer hervorzubringen.

Bedeutend schwächere Oscillationen des magnetischen Momentes wurden in einem Knoten des ersten Obertones des Stabes von 2600 Schwingungen pro Secunde vom Dynamometer angezeigt.

### XII. Resultate einer Arbeit über das Absorptionsspectrum des Joddampfs; von Robert Thalén.

[Die ausführliche Abhandlung ist in den Kongl. Svenska Vetensk. Acad. Handl. f. 1869 erschienen. Da wir außer Stande sind, dieselbe, hauptsächlich der Kupfertafeln wegen, deren sie drei in großem Format enthält, vollständig aufzunehmen, so begnügen wir uns mit dem Auszug, den der Hr. Verf. seiner Arbeit in französischer Sprache vorangeschicht hat.

Durch meine Untersuchungen über die Absorption des J. dampfs bin ich zu folgenden Resultaten gelangt 1).

- 1. Die dunklen Streifen im Absorptionsspectrum les Jod dehnen sich nicht auf die ganze Länge des sichtbaren Spectrums aus, sondern nur auf die zwischen den grünen und rothen Theilen gelegene Hälfte.
- 2. Wenn die Absorption auf ihr Maximum gelangt ist, d. h. wenn der absorbirte Theil des Spectrums fast nur einen einzigen continuirlichen Streifen bildet, hält sich noch der violette Theil ohne die geringste Veränderung; von diesem rührt die dem Joddampf eigene violette Farbe her.
- 3. Die successiven Streifen bilden nicht eine einzige Reihe, sondern mehre, mit einander untermengte, was sich sehr genau an den periodischen Veränderungen, welche die Intensität der Streifen darbietet, erkennen lässt.
- 4. Die zu einer gegebenen Reihe gehörigen Streifen sind nicht aequidistant, sondern ihre gegenseitigen Abstände wachsen fortwährend mit den Wellenlängen, obgleich diesen nicht proportional.
  - 1) Zu diesen Untersuchungen dienten immer sechs Flintglasprismen von 60°. Das angewandte Spectroskop ist übrigens dasjenige, welches ich benutzt habe, sowohl beim Zeichnen des violetten Theils zwischen G und H des Sonnenspectrums (On the Fraunhofer-lines, together with a diagram of the violet part of the solar spectrum, by A. J. Ångström and R. Thalén; K. Vet. Acad. Handl. 1865) als auch bei Bestimmung der Wellenlängen der Metall-Linien (Mém. sur la détermination des longueurs d'onde des raies métalliques, par R. Thalén; Nova Acta Soc. sc. Ups. Vol. VI, 1868).

5. Jeder Streif lässt sich auflösen in mehre sehr seine Striche, welche unter sich mehr oder weniger regelmässige Gruppen bilden.

#### XIII. Physikalische Notizen; von J. Müller.

I.

Im 136. Bande dieser Annalen habe ich eine Methode beschrieben, mittelst des Vibrationschronoskops die Zeit zu bestimmen, welche vergeht zwischen der Entstehung eines Lichtblitzes und einer in Folge der Wahrnehmung desselben mit der Hand ausgeführten Bewegung. Für einen jungen Mann, den ich mit M bezeichnen will, hatte ich damals dieses Zeitintervall zu 0,145 Secunden bestimmt.

Vor Kurzem habe ich diese Vesuche mit zweien meiner Zuhörer wiederholt. Die Anzahl der Stimmgabelschwingungen, welche zwischen den beiden Marken liegen, ergeben die einzelnen Versuche für Stud. G. folgende Werthe

	11,7		11,5
	11,1		11,5
	11,0		12,0
	11,5		13,0
	11,6		12,5
	13,0		11,6
Summa	68,9	Summa	72,1

im Mittel also 11,75 Stimmgabelschwingungen. Für Hrn. Stud. K. dagegen ergab sich

11,1	9,5
10,5	10,5
10,5	10,6
10,7	10,1
11,7	11,7
Summa 54,5	Summa 52,4.

Im Mittel also 10,69 Stimmgabelschwingungen. Für G. betrug also das fragliche Zeitintervall 0,183 Secunden, für K. dagegen 0,165 Secunden, während es bei M 0,145 Secunden betragen hatte.

#### II.

Während der letzten Frostperiode liess ich durch einen meiner Zuhörer Versuche zur Bestimmung des Reibungscoëfficienten von Eisen auf Eis anstellen. Der junge Mann hielt auf seinen Schlittschuhen (neuerer Construction mit glatter Bahn) stehend eine Federwaage in den Händen; an derselben war eine starke Schnur befestigt, mittelst welcher ihn ein zweiter Schlittschuhläufer auf dem Eise fortzog. Beim Beginn der Bewegung zeigte die Federwaage eine Zugkraft von 10 bis 12 Pfund, während des Laufes aber schwankt sie nur zwischen 2 und 4 Pfund. Da der junge Mann 125 Pfund wog, so beträgt demnach der fragliche Reibungscoëfficient beim Beginn der Bewegung 8 bis 9 Proc. der Last, während der Bewegung aber nur 1,6 bis 3,2 Proc.

Freiburg im Januar 1870.

#### Ueber die Minimalablenkung des Licht-XIV. strahls bei symmetrisch aufgestellten Prismen; von Dr. R. Most.

Der Anschaulichl eit wegen möchte sich folgender Beweis für die Minimalablenkung des Liehtstrahls im Prisma oder allgemeiner bei symmetrisch aufgestellten Prismen empfehlen, zumal manche analytischen Beweise nicht streng oder nicht einfach genug erscheinen 1). - Das Maximum oder Minimum ist daran zu erkennen, dass es den Zwischenzustand zwischen zwei nahliegenden gleichen Zuständen bildet; so

1) Pegg. Ann. Bd. 131, S. 473.

liegt das Minimum der Höhe im Thalgrunde zwischen zwei gleichen Höhen der seitwärts aufsteigenden Wände, das Maximum der Höhe in der Bergkuppe zwischen zwei gleichen Höhen des Bergabhanges. Um nun zu erkennen, dass der symmetrische Strahl ABCD (Fig. 12 Taf. II) diesen Auforderungen des Zwischenzustandes zwischen zwei gleichen Ablenkungen  $A_1BC_1D_1$  und  $A_2BC_2D_2$  entspricht, achte man darauf, dass offenbar jeder Strahl, wie z. B. A. B. C. D. parallel mit sich, etwa nach  $B_2$ , verschoben werden kann, ohne dafs die Ablenkung verändert wird; nun denke man sich die beiden mit Indices bezeichneten Strahlen so weit parallel verschoben, dass sie durch die Mitte E von BC (Fig. 13 Taf. II) gehen, so erkennt man aus der vollständigen Symmetrie, dass die Ablenkung im Strahle  $A_1B_1C_1D_1$  dieselbe ist wie im Strahle A, B, C, D, das also der Strahl ABCD einen Zwischenzustand bildet, also ein Maximum oder Minimum der Ablenkung darstellt. Um sich nun davon zu überzeugen, dass ein Minimum vorliegt, braucht man nur zu wissen, dass die Ablenkung desto stärker wird, je weiter sich der einfallende Strahl von dem Einfallsloth entfernt: man vergleiche den Strahl ABCD (Fig. 14 Taf. II) mit einem Strahle  $A_1 B_1 C_1 D_1$ , für welchen  $E B_1$  ebenso weit wie E Bvon der Richtung des Einfallslothes EF absteht; dann ist bei B und  $B_1$  die Ablenkung dieselbe; da dann aber  $E C_1$ weiter als EC von der Richtung des Einfallslothes EG ab steht, so ist die Ablenkung bei  $C_1$  stärker als bei  $C_2$ , also stellt ABCD ein Minimum der Ablenkung dar.

Geht man nun zu symmetrisch aufgestellten Prismen tiber, so hat man nur nöthig, aus der Fig. 12 Taf. II noch das Gesetz zu entnehmen, dass Strahlen, welche im Prisma gleiche Winkel mit der Mittellinie bilden, d. h. mit der Linie, welche den Winkel des Prisma halbirt, gleiche Ablenkung haben, dass aber Strahlen, welche größere Winkel mit ihr bilden, eine kleinere Ablenkung erleiden; das Erste folgt aus der parallelen Verschiebung, das Zweite daraus, dass offenbar kein weiteres Minimum vorhanden ist, dass also mit der Entfernung vom Minimum der Ablenkung ein

Wachsen derselben stattfinden muß. Der Einfachheit wegen denke man sich (Fig. 15 Taf. II) fünf Prismen mit den Spitzen zusammengelegt, so dass die brechenden Flächen zu beiden Seiten gleiche Neigungen mit der Axe AB der Symmetrie haben; dann folgt zunächst aus der parallelen Verschiebung wie oben bei einem Prisma, dass der symmetrische Strahl CD ein Maximum oder Minimum darstellt. Um nun zu zeigen, dass ein Minimum vorliegt, lege man durch B einen zweiten Strahl EF, der auf der rechten Seite BF dieselbe Ablenkung hat wie BD, so muss BF nach der Spitze A hin liegen, denn läge BF auf der andern Seite von BD, so müste nach den bei BE sogleich in Anwendung kommenden Gründen nothwendigerweise BF eine stärkere Ablenkung als BD haben. Da nun BF von BD aus nach A hin liegt, so muss BE in Bezug auf BC von A abgewendet liegen; die Theile des Strahles BE müssen also in den verschiedenen Prismen mit den Mittellinien derselben kleinere Winkel bilden als die entsprechenden Theile des Strables BC, folglich muss die Ablenkung in BE größer seyn als in BC, d. h. in CD findet die Minimalablenkung statt.

## XV. Ueber den chemischen Zusammensatz einer Bactrischen Münze.

Hr. Walter Flight hat kürzlich der Numismatischen Gesellschaft in London eine interessante Mitheilung gemacht über eine vom General Cunningham erhaltene bactrische Münze aus dem zweiten Jahrhundert vor Christus. Dieselbe wiegt 5,266 Grm., hat eine etwas elliptische Gestalt, deren größerer Durchmesser 15 Millim. beträgt, und ist in der Mitte dicker als am Umfang. Sie ist stark angefressen und stellenweis mit einem grünen Ueberzug bekleidet. Auf der einen Seite erkennt man einen Kopf und auf der anderen

einen sehr eleganten Dreifus mit dem Namen  $EY\ThetaYJH$  ( $MO\Sigma$ ).

Eine Probe davon, im Laboratorium des Britischen Museums untersucht, ergab folgende Bestandtheile

 Kupfer
 77,585

 Nickel
 20,038

 Kobalt
 0,544

 Eisen
 1,048

 Zinn
 0,038

 Silber
 Spur

 Schwefel
 0,090

 99,343.

Die bactrische Münze hat demnach fast die Zusammensetzung der belgischen Fünf- und Zehncentimenstücke, die gesetzlich 75 Kupfer und 25 Nickel enthalten sollen, und nach einer früheren Analyse des Hrn. P. Dewilde 1) wirklich 74,4 Kupfer und 25,55 Nickel enthalten.

Später erhielt Hr. F. noch zwei andere bactrische Münzen, die eine aus der Zeit des Euthydemos und die andere aus der des Agathokles, die sich ähnlich zusammengesetzt erwiesen, aber kein Silber enthielten.

Hr. Fl. glaubt, das diese Münzen aus einem Kupfer, Nickel und Eisen enthaltenden Schwefelkies bereitet worden seyen, nach einem ähnlichen Process wie der zu Kleva in Schweden angewandte.

### XVI. Die schwachen Funken betreffend; von P. Riess.

Als ich die Darstellung dieser merkwürdigen Funken angab, die man als die Keime der bis dahin allein bekannten starken elektrischen Funken betrachten kann, habe ich nür den wesentlichen Theil des dazu benutzten Apparats, die 1) Bull, de la Suc. chim. de Paris 1862.

beiden Leydener Flaschen, genau beschrieben, die Einrichtung aber der Holtz'schen Maschine nicht näher bezeichnet (Annalen Bd. 137, S. 452). Ich hatte die Funken an einer Maschine ältester Construction entdeckt, und sie an drei Maschinen verschiedener neuer Einrichtung gesehen, die in Verkaufslokalen ausgestellt waren. Die Leichtigkeit, mit der die Funken erhalten werden, ist indes nicht unabhängig von der benutzten Maschine.

Die neueste Elektrophormaschine, die ich vor Kurzem beschrieben habe (Akad. Monatsber. 1870, S. 3) giebt die Erscheinung viel leichter als es bis dahin vorgekommen ist. und liefert lange Reihen schwacher Funken ohne besondere Vorsicht beim Drehen der Scheibe. Diese Maschine benutzt nur die auf beiden Flächen der gedrehten Scheibe befindlichen Elektricitäten, ist also weit weniger ergiebig, als die alte Maschine, und diess ist der gewünschten Erscheinung günstig. Den Flaschen muß Elektricität in kleinen Portionen zugeführt werden, damit nicht der Punkt überschritten werde, an welchem sie sich mit schwachen Funken entladen. Das kann aber auch an der alten bekannten Maschine erreicht werden, deren zwei Papierkuchen dicht an den Ausschnitten der ruhenden Scheibe befestigt sind, welchen zwei mit den Elektroden verbundene Metallkämme gegenüberstehen. Man hat nur, von diesen Kämmen um einen Ouadranten entfernt, zwei Metallkämme (überzählige Conductoren) diametral von der gedrehten Scheibe anzubringen, die Elektroden zu schließen und die Flaschen an den überzähligen Conductoren zu laden.

Diess ist auf die leichteste Weise auszuführen. Man verschiebe die ruhende Scheibe so weit, dass die Papierkuchen den hinzugesetzten Kämmen gegenüberstehen, verbinde diese Kämme durch einen Metalldraht mit einander und lade die Flaschen an den Elektroden der Maschine, die durch die Verschiebung der ruhenden Scheibe überzählige Conductoren geworden sind. Als ich bei dieser Einrichtung, mit 8,8 Linien breiten Kugeln an den Enden der Conductoren, dem negativen Conductor die größte Länge gegeben und

die nöthige Entfernung der beiden Kugeln gefunden hatte (20½ Linien), erhielt ich in 10 Minuten etwa 1500 schwache Funken, che ein starker Funke erschien. - Nach längerer Thätigkeit der Maschine, wobei lange starke Funken gewonnen wurden, kam es vor, dass die schwachen Funken ausblieben, ohne dass eine andere Lichterscheinung dafür eintrat. Es rührte diess daher, dass die Elektricität der ruhenden Scheibe, die auf die überzähligen Conductoren mit entgegengesetzter Art erregend wirkt, wie die Elektricität der gedrehten Scheibe, stärker geworden war als gewöhnlich. Die beiden Kuchen wurden durch gleichzeitige Berührung mit einer Lahnschnur entladen, einem derselben die entgegengesetzte Elektricität von der gegeben, die er besessen hatte, und die Maschine wieder in Thätigkeit gesetzt, Nach kurzer Zeit des Drehens erschienen die schwachen Funken wie früher, nachdem dem jetzt negativen Conductor die größte Länge gegeben war.

### XVII. Ungewöhnlicher Schneefall.

Hr. Ch. Naudin berichtet in den Compt. rend. T. LXX, p. 214 über einen ungewöhnlichen Schneefall, welcher sich im Januar dieses Jahrs unter 42° 32' N. Br. zu Collioure, im Dép. Pyrénées-Orientales, an der Küste des Mittelländischen Meeres ereignete.

Nach einer langen Reihe schöner Tage, während welcher das tägliche Temperaturmaximum zwischen 11 und 17° C. schwankte, ward es allmählich kälter. Am 17 Jan. betrug das Maximum noch 14°,5, am 18. sank es auf 8°,2, am 19. auf 6° und den 20. auf 4°,5, am anderen Morgen um 7 Uhr betrug das Minimum Null. Dabei war die Luft sehr ruhig und der Himmel bedeckt.

Am 21. Januar gegen 5 Uhr Morgens, als die Temperatur der Luft — 0°,8 C., begann der Schnee, er siel in seinen

und dichten Flocken, getrieben von einem etwas lebhaften Nordwind, der sie in allen Richtungen herumwirbeln ließ. So hielt er an, ohne eine Minute Unterbrechung, den ganzen 21., die ganze Nacht vom 21. auf den 22., dann den ganzen 22., um erst am 23. zwischen 1 und 5 Uhr Morgens aufzuhören, dauerte also ohne auszusetzen oder nachzulassen wenigstens vier und vierzig Stunden. Während dieser ganzen Zeit stand das Thermometer fast auf Null, nur einige Zehntelgrade darüber oder darunter. Am 23. heiterte der Himmel sich wieder auf, der Wind drehte sich von N. nach NW, und die Temperatur stieg ein wenig; um 7 Uhr Morgens stand das Thermometer auf + 1° C., Mittags auf 4° und 5 Uhr Abends auf 0°, um gegen 8 Uhr auf 2°,2 zu steigen, Schwankungen, die den geringeren oder größeren Bedeckungen des Himmels entsprachen.

Die Menge des während dieser 44 Stunden gefallenen Schnees überstieg Alles, dessen sich Leute von mittleren Alters erinnerten; nur einige Greise sagten, dass sich im J. 1804 oder 1805 ein ähnlicher Schneefall zugetragen habe. Begreiflich musste in einem so hügeligen Lande wie dieser Theil von Roussillou die Höhe des gefallenen Schnees sehr ungleich seyn. In der Nähe meines Hauses, im Garten, dicht an der Landstrasse, erreichte sie 0,94 bis 0,96 Meter. In einem tiefer gelegenen Theil des Gartens, der von der 2 Meter hohen Umfassungsmauer begränzt wird, mochte die Schneedecke, aus der Ferne beurtheilt, denn man konnte nicht weit in sie eindringen, nicht unter 1,5 Meter betragen, Im Grunde der Thale von Collioure und in der Stadt selbst hatte sie an verschiedenen Punkten eine Dicke von 1,5 bis 2 Meter. Ohne Uebertreibung lässt sich die mittlere Höhe des auf das ganze Land gefallenen Schnees auf 0,8 Meter veranschlagen. Der Schaden der durch diesen Schneefall an den Oelbäumen, an den Orangen- und Citronenbäumen angerichtet wurde, ist sehr beträchtlich. Merkwürdigerweise haben aber die Palmen wenig dadurch gelitten.

## XVIII. Complicirte Pendelschwingungen; aus einem Briefe des Hrn. Prof. Emsmann.

Stettin 8, Dec. 1869. 🗛 us dem mir vorgestern zugegangenen 22. Jahrgange der Fortschritte der Physik ersah ich, dass am 1. Nov. 1867 Hr. Dr. Dumas in der physikal. Gesellschaft zu Berlin einen Vortrag gehalten hat: Ueber die Bewegung von Pendeln mit beweglichen unter sich fest verbundenen Aufhängepunkten. Diese Phänomene haben mich auch beschäftigt, da ich durch Zufall, als ich in der Classe an einem beweglichen Gasarme ein Fadenpendel aufgehängt hatte und beide gleichzeitig nach entgegengesetzter Seite schwingen liess, Interferenzen beobachtete. Ich habe an dem Gestell der Fallmaschine ganz oben auf der Platte, welche das Rad trägt, einen Träger für das Pendel anbringen lassen, welcher mittelst des bekannten oben aufgesetzten Hammers die Pendelschläge hörbar macht. Am unteren Ende der Pendelstange ist ein Haken eingeschraubt und daran hängt an ganz dünnem Drahte eine Bleikugel, die über 1 Pfund wiegt. Lasse ich beide Pendel nach entgegengesetzten Richtungen schwingen, so macht das Schlagwerk auf dem Ohre den interferirenden Gang bemerkbar. Ob. Hr. Dr. Dumas, den ich nicht kenne, auch diese Einrichtung getroffen habe, weiß ich nicht; ich erlaube mir dieselbe zu erwähnen, weil dadurch der Versuch besonders zu Vorlesungen geeignet wird. Die Theorie dieser Bewegungen ist mit ungemeinen Schwierigkeiten verbunden, da man große Schwingungen braucht. -

# DER PHYSIK UND CHEMIE.

BAND CXXXIX.

## I. Ueber das Holtz'sche Rotationsphänomen; von J. C. Poggendorff.

(Aus d. Monatsberichten d. Akad. November 1869.)

Im J. 1867 veröffentlichte ich ein Paar kurzer Notizen, in welchen ich ein vereinfachtes Verfahren zur Hervorbringung eines wenige Monate früher von Hrn. Holtz entdeckten elektrischen Rotationsphänomens beschrieb. Ich bediente mich dabei einer seiner Elektrisirmaschinen erster Art, aus welcher ich die ruhende Scheibe entfernt hatte. habe ich mir einen eigends auf das Studium dieses Phänomens eingerichteten Apparat anfertigen lassen, um dasselbe, was bisher noch nicht geschehen ist, in seinen einzelnen Phasen eingehender zu untersuchen. Es schien mir diess keine überslüssige Arbeit zu seyn; denn wenn auch dieses Phänomen lediglich durch die bekannten elektrischen Attractionen und Repulsionen hervorgerufen wird, so weicht es doch durch die Art und Weise, wie bei ihm diese Anziehungen und Abstofsungen zur Wirksamkeit gelangen, wesentlich von allen bisher dargestellten elektrischen Rotationen ab, und dabei sind die Vorgänge nicht nur ungemein mannigfaltig, sondern auch zum Theil so verwickelt und räthselhaft, dass ich offen bekennen muss, selbst nach einer zweijährigen Beschäftigung mit demselben nicht im Stande zu seyn, über jeden einzelnen Punkt genügende Rechenschaft zu geben.

Der erwähnte Apparat hat die Größe einer gewöhnlichen Holtz'schen Elektrisirmaschine. Er ist darauf berechnet, eine Scheibe von Glas oder Ebonit (Kamm-Masse) mit Poggendorff's Annal, Bd, CXXXIX, 33

Leichtigkeit in einer Verticalebene rotiren zu lassen. Die horizontale Axe derselben ruht mittelst Stahlzapfen von 1,5 Lin. Dicke auf V-förmigen Pfannen aus Rothguss. Das Gestell, welches diese Pfannen trägt, ist auf beiden Seiten mit einem Kreuz aus Ebonitstäben versehen, die an den Enden konisch durchbohrt sind, um metallene Spitzenkämme aufzunehmen. Es können demnach vier derartige Kämme gegen jede Seite der Scheibe gerichtet werden, zwei an den verticalen Armen der Kreuze, und zwei an den horizontalen. An ihren Stielen haben diese Kämme Einbohrungen und Schrauben, um die Drähte aufzunehmen und zu befestigen, welche sie entweder unter sich oder mit der Elektrisirmaschine verbinden sollen.

Außerdem ist dem Apparat ein verticaler, verschiebbarer Rahmen beigegeben, um mittelst desselben Platten verschiedener Art neben der Scheibe außstellen zu können, entweder auf der einen oder auf der andern oder auch auf beiden Seiten, und zwar in verschiedenen Abständen. Der Rahmen ist dazu mit Nuthen versehen, in welche die Platten eingeschoben werden können.

Die zur Rotation bestimmten Scheiben, möglichst gut aequilibrirt, hielten 15 Zoll im Durchmesser. Glasscheiben wurden von verschiedener Dicke angewandt, gefirnisst und ungefirnisst, belegt und nicht belegt. Vom Ebonit wurde nur eine Scheibe benutzt, da es sich in jeder Beziehung wie Glas verhielt.

Ohne Zweifel würde der Apparat bedeutend an Beweglichkeit gewonnen haben, wenn ich die Scheibe an einer
verticalen Axe auf Spitzen hätte rotiren lassen, wobei auch
ihre Aequilibrirung weniger nothwendig gewesen wäre.
Allein ich würde den Vortheil verloren haben, beide Seiten
der Scheibe mit gleicher Leichtigkeit untersuchen zu können,
und darum wählte ich die senkrechte Stellung. Ueberdiess
ist die Kraft, welche hier in Betracht kommt, groß genug,
um die Scheibe in sehr lebhafte Rotation zu versetzen, selbst
wenn die Zapfen ihrer horizontalen Axe 3,5 Lin. dick sind
und in runden Pfannen laufen.

Die zahlreichen Elemente des beschriebenen Apparats gestatten begreiflich eine noch ungleich größere Zahl von Combinationen, und lassen somit alle Umstände erforschen, unter welchen eine Rotation erfolgt oder nicht, unter welchen sie nur in einer bestimmten Richtung stattfindet und in der entgegengesetzten ausbleibt, unter welchen sie eines anfänglichen Impulses bedarf oder trotz der Reibung an der Axe freiwillig beginnt 1).

Nur die genaue Kenntnis aller dieser Particularitäten kann der Hoffnung Raum geben, dass es dereinst gelingen werde, von dem interessanten Bewegungsphänomen eine vollständige Theorie aufzustellen, zu welcher ich für jetzt nur Material zu liesen vermag.

#### Ŧ.

Die einfachste Gebrauchsweise des Apparats besteht darin, dass man der Scheibe auf der einen Seite zwei Spitzenkämme diametral bis auf ein Paar Linien nahestellt, und ihr mittelst dieser Kämme Elektricität zuführt, am Besten aus einer Holtz'schen Maschine. Ertheilt man dann der Scheibe einen kleinen Impuls, entweder in der einen oder andern Richtung, so fährt sie fort in dieser Richtung zu rotiren, und steigert ihre Geschwindigkeit in kurzer Zeit bis zu dem Grade, dass sie 80 bis 100 Umgänge in der Minute macht, unter günstigen Umständen (bei Trockenheit der Lust, Reinheit der Scheibe, usw.) wohl noch mehr.

Ich beobachtete diess sowohl an einer gesirnisten Scheibe von dünnem Fensterglase, die mit ihrer Axe 2½ Pfd. wog und für gewöhnlich angewandt wurde, als auch an einer ungestrnisten dicken Scheibe Spiegelglas, deren Gewicht mit dem der Axe 4½ Pfd. betrug.

1) In dem ideellen Fall, dass an der Axe keine Reibung stattsände und die Mittellinie derselben genau durch den Schwerpunkt der Scheibe ginge, würde die Rotation begreiflich allemal eine freiwillige werden, wenn die Elektricität entweder nur in einer Richtung wirkte, oder in der einen stärker als in der andern.

Von diesem ideellen Fall kann hier natürlich nicht die Rede seyn.

Die beiden Kämme brauchen übrigens nicht nothwendig eine diametrale Stellung zu haben. Es genügt schon ein quadrantaler Abstand, nur ist dann die Rotationsgeschwindigkeit geringer.

Statt zwei Kämme kann man auch deren vier an einer Seite der Scheibe anbringen, zwei am verticalen, und zwei am horizontalen Stabe des Kreuzes. Sie müssen jedoch so unter sich und mit der Maschine verbunden werden, daß die an einem und demselben Stabe befestigten gleiche Elektricität ausströmen, sie also, im Kreise herum gezählt, abwechselnd positiv und negativ sind. Dann erhält man, nach einem Impuls, eine Rotation in beiden Richtungen, deren Geschwindigkeit wo nicht größer, doch wenigstens eben so groß ist, als die bereits genannte. Hat man aber die Verbindung so gemacht, daß auf zwei positive Kämme zwei negative folgen, so ist die Wirkung der Elektricität, wenn auch nicht ganz Null, doch jedenfalls sehr schwach 1).

In welcher Weise hier die Rotation zu Stande kommt,

1) Um mit voller Sicherheit zu entscheiden, ob in einem gegebenen Falle die auf die Scheibe strömende Elektricität keine Wirkung habe oder nur eine schwache, müßte man der Scheibe zwei Mal einen ganz gleichen Impuls ertheilen, erst während der Wirkung der Elektricität, und dann nach Aufhebung derselben. Beobachtete man nun die Zeiten, innerhalb deren die Scheibe in beiden Fällen vermöge der Reibung auf der Axe und des Widerstandes der Luft zur Ruhe gelangte, so würde die Gleichheit oder Ungleichheit derselben die Frage entscheiden. Allein zur Hervorbringung zweier völlig gleichen Impulse wäre ein besonderer Apparat erforderlich.

In Ermangelung eines solchen könnte man freilich auch dadurch zum Ziele gelangen, dass man der Scheibe in den bezeichneten Fällen zwei ungefähr gleiche Impulse ertheilte, und die Momente abwartete, wo sie eine gleiche Anzahl von Rotationen innerhalb einer gewissen Zeit hervorbrächten. Von diesen Momenten an müsste man dann die Zeiten beobachten, die in beiden Fällen bis zur völligen Ruhe verstrichen.

Diess Verfahren ist aber auch umständlich und schwerlich von einer Person, welche zugleich die Elektrisirmaschine gleichmäsig umdrehen soll, mit Genauigkeit aussührbar. Ich habe mich daher auf eine blose Schätzung beschränkt, und es wäre also wohl möglich, dass die Wirkung in einigen Fällen, wo ich sie für Null ausgab, in der That nur sehr schwach war.

oder vielmehr unterhalten und gesteigert wird, habe ich für den einfachen Fall mit zwei diametralen Kämmen schon in einer meiner früheren Notizen angedeutet<sup>1</sup>).

» Nach dem anfänglichen Impuls — heisst es daselbst bekleidet sich die Scheibe mit den von den Kämmen ausströmenden Elektricitäten, auf der einen Hälfte mit der positiven, auf der andern mit der negativen; und so wie die von dem einen Kamm ausströmende Elektricität zu dem anderen gelangt, wird sie von diesem angezogen, und nicht blos sie allein, sondern auch die Scheibe, an welcher sie adhärirt. Es ist aber auch einzusehen, dass die beiden Hälften der Scheibe nicht dauernd entgegengesetzt elektrisirt seyn könnten — (wie sie es wirklich sind) — wenn die von dem einen Kamme ausströmende Elektricitätsmenge vollständig zu dem anderen gelangte, weil dann die Elektricität des letztern gänzlich zur Neutralisation des ersteren verbraucht werden würde. Es muß also entweder ein Theil der von der Scheibe aufgenommenen Elektricität verloren gehen, oder die von jedem Kamme ausströmende Elektricität in der Weise zerfallen, dass nur ein Theil an die von ihm fortgehende Hälfte der Scheibe übergeht, und der andere die entgegengesetzte Elektricität der an ihn herantretenden Hälfte neutralisirt. «

Wiewohl ohne Zweifel ein ansehnlicher Theil der auf die Scheibe ausströmenden Elektricitäten ungenutzt für die Rotation in die Luft entweicht, so bin ich doch gegenwärtig der Meinung, dass der fortdauernd entgegengesetzt elektrische Zustand beider Hälften der rotirenden Scheibe (der sich so leicht mit einem Elektrometer nachweisen läst) nicht von einer solchen Entweichung hergeleitet werden kann, sondern seinen Grund wirklich in der supponirten Halbirung der Elektricität haben muss.

Jeder Kamm, so scheint es mir natürlich anzunehmen, strömt, unbeschadet der vor ihm rotirenden Scheibe, fortwährend gleichviel Elektricität nach beiden Seiten aus, und so gelangt die eine Hälfte zu dem anderen Kamme, während

<sup>1)</sup> Diese Annal. Bd. 131, S. 655.

die zweite die von diesem herkommende Elektricität neutralisirt 1).

Möglicherweise kann übrigens zur Rotation auch die Abstossung mitwirken, welche jeder Kamm auf die von ihm ausgesandte und an der fortgehenden Scheibenhälfte adhärirende Elektricität ausüben muß.

Mag nun die Rotationskraft auf die eine oder andere Weise entstehen, so ist doch kaum zweifelhaft, daß sie mit der Geschwindigkeit wachsen müsse, weil mit vergrößerter Geschwindigkeit die Elektricität weniger Zeit hat von der Scheibe zu entweichen. Es ist das vielleicht mit ein Grund, weshalb in einigen Fällen die andauernde Rotation nach einem schwachen Impuls nicht zu Stande kommt, wohl aber sehr gut nach einem stärkeren. Es könnte übrigens auch seyn, daß die Reibung eine Function der Geschwindigkeit wäre, sie mit derselben abnähme. Ich habe darüber keine Angaben gefunden.

#### II.

In dem Bisherigen wurde nur eine Seite der Scheibe benutzt: man kann aber auch beide Seiten benutzen und hat dabei Gelegenheit einen theoretischen Punkt zu berichtigen.

Es ist nämlich die Ansicht ausgesprochen worden, das in Rede stehende Rotationsphänomen verwirkliche die Umwandlung der Elektricitat in mechanische Kraft. Ich will die Möglichkeit einer solchen Umwandlung nicht bestreiten, muß aber doch bemerken, daß dieß Phänomen compliciter ist, als es auf den ersten Blick zu seyn scheint. Denn die von der Mäschine ausströmende Elektricität leistet nicht bloß mechanische Arbeit, sondern erzeugt auch wiederum neue Elektricität.

Einen ersten Beweis davon erhält man, wenn man den anfangs beschriebenen Versuch dahin abändert, dass man die beiden diametralen Kämme nicht an einer und derselben

<sup>1)</sup> An den Kämmen der Holtz'schen Elektrisirmaschine findet offenbar eine ähnliche Halbirung der ausströmenden Elektricitäten statt,

Seite der Scheibe anbringt, sondern den einen an dieser und den anderen an jener Seite. Unter den genannten Umständen bekommt man dann eine Rotationsgeschwindigkeit, die der früheren durchaus nicht nachsteht.

Diese Rotation entspringt offenbar daraus, dass die einer jeden Seite der Scheibe zugeführte Elektricität durch Influenz die gleichnamige auf der andern Seite frei macht. Die direct von dem einen Kamme ausströmende Elektricität und die durch Influenz von dem anderen Kamm entwickelte wirken dann ebenso, wie im früheren Falle die beiden ausströmenden Elektricitäten. Nur sind jetzt die positiven Lichtpinsel nicht parallel der Scheibe, sondern rechtwinklig gegen dieselbe gerichtet.

Dass die der einen Seite der Scheibe zugeführten Elektricitäten auf der anderen Seite die gleichnamigen frei machen, ist wohl selbstverständlich; doch aber möchte es nicht überslüssig seyn, hier noch einige darauf beruhende Erscheinungen beizubringen.

Vor der einen Seite der Scheibe (ich will sie die Vorderseite nennen) befestige man zwei Kämme am verticalen Stabe und vor der anderen (der Rückseite) zwei Kämme am horizontalen. Verbindet man nun die ersteren mit der Maschine und die letzteren unter sich durch dicke Drähte, die in Kugeln endigen, bis so weit, dass noch eine kleine Luftstrecke zwischen den Kugeln bleibt, und legt über die Stiele dieser Kämme eine kleine Röhrenslasche, so wird diese, wenn die Scheibe in elektrische Rotation versetzt wird, geladen, und die Entladungen derselben liefern ein hör- und sichtbares Maass für die entwickelten Insluenz-Elektricitäten. Gebe ich den Kugeln einen gegenseitigen Abstand von 6 Lin., so erhalte ich in der Minute wohl an 100 Entladungen, und verktirze ich ihn auf 4 Lin., sogar an 200.

Verbindet man die hinteren Kämme durch eine Geissler'sche Röhre, so wird dieselbe leuchtend, und zeigt dabei zugleich die Richtung des Influenzstromes an.

Am stärksten ist begreiflich diese Entwicklung von Influenz-Elektricität gerade vor den Spitzen der ausströmenden Kämme. Refestigt man demnach die Kämme au der Vorderseite der Scheibe ebenfalls am horizontalen Stabe, so dass sie den Kämmen an der Rückseite gerade gegenüberstehen, und läst nun die Scheibe elektrisch rotinen, so hat man das überraschende Schauspiel eines ununterbrochenen Funkenstroms zwischen den Entladungskugeln der Böhrenslasche, selbst wenn diese einen gegenseitigen Abstand von zwei Zoll und mehr besitzen.

Hält man die Scheibe an, so verschwindet der Funkenstrom, trotz ununterbrochener Zuleitung der Elektricität. Er kommt aber sofort wiederum zum Vorschein, sowie man die Rotation der Scheibe erneut. Da hiebei die Spitzen der einander gegenüber stehenden Kämme entgegengesetzte Elektricitäten ausströmen, so sieht es täuschend aus, wie wenn die Glasscheibe, ungeachtet ihrer ansehnlichen Dicke, während der raschen Bewegung die Elektricität durchließe oder ein Elektricitätsleiter würde.

Die Möglichkeit, dass ein Isolator durch rasche Bewegung zu einem Leiter werde, obwohl weniger wahrscheinlich als umgekehrt die Verwandlung eines Leiters in einen Isolator, könnte wohl gerade nicht bestritten werden, indem Thatsachen, die dagegen sprächen, meines Wissens nicht vorhanden sind. Es wäre aber wohl mehr als voreilig, diese Umwandlung ohne Weiteres zuzugeben, zumal sich eine andere Erklärung aufstellen ließe, die viel weniger gewagt ist.

Man könnte nämlich sagen, das bei einem ruhenden Isolator die Insluenz auf seine Hinterseite nothwendig hald eine Gränze haben müsse, nämlich dann, wenn er auf der Vorderseite keine Elektricität mehr aufzunehmen im Stande ist; wogegen sie in einem bewegten unausgesetzt forldauere, da stets neue noch nicht insluencirte Theilchen an die ausströmenden Spitzen der Kämme herantreten.

Wenn diese Ansicht richtig ist, so würde damit auch die Erklärung einer anderen paradox aussehenden Thatsache gegeben seyn.

Die Drähte nämlich, welche bei den eben beschriebenen Versuchen, so wie überhaupt bei allen Versuchen mit dem Rotationsapparat, die Verbindung desselben mit der Elektrisirmaschine herstellen, zeigen immer, auch wenn sie, wie bei mir, fast eine Linie dick und mit Seide übersponnen sind, viel freie Elektricität, welche sie in die Luft ausstrahlen, oder, falls man ihnen einen Finger nähert, gegen diesen in kleinen Funken entlassen.

Verbindet man die vor der Scheibe angebrachten Kämme metallisch mit einander, indem man z. B. einen Messingstab quer über sie legt, so verschwindet diese freie Elektricität auf den Drähten. Das ist wohl sehr natürlich. Sie verschwindet aber auch oder wird auf ein Minimum reducirt, wenn man zwischen den beiden hinter der Scheibe befindlichen Kämmen eine metallische Verbindung herstellt, ungeachtet dann der Schließungskreis der Elektrisirmaschine zwei Mal durch Glas unterbrochen ist. Und wohl zu merken, dieß Verschwinden findet ebenfalls nur statt, wenn die Scheibe rotirt, nicht wenn sie ruht.

Stellt man den Versuch im Dunklen an, so kann man wahrnehmen, dass, so lange die Scheibe ruht, wenig oder kein elektrisches Licht auf den Spitzen der Kämme erscheint, dass dieses Licht aber sehr lebhaft wird, so wie die Scheibe rotirt. Jedenfalls geht also auf die rotirende Scheibe mehr Elektricität über als auf die rubende, und diess giebt wohl von dem Verschwinden der freien Elektricität auf den Drähten genügenden Aufschlus, mag übrigens dieselbe durchgelassen oder durch Insluenz ausgeglichen werden.

Trotzdem aber ist unter diesen Umständen, d. h. wenn die hinteren Kämme metallisch mit einander verknüpft sind, das Rotationsvermögen der Elektricität viel schwächer als im Fall eine solche Verknüpfung nicht stattfindet. Denn wenn atteb die Scheibe nach einem anfänglichen Impuls eine Weile lebhaft rotirt, kommt sie doch allmählig zum Stillstand.

Ich möchte mir diese Erscheinungen folgendermaßen erklären. Strömt der Vorderkamm  $\alpha$  positive Elektricität aus, so wird die von ihm fortgehende und sum diametralen segativen Vorderkamm b gelangende Scheibenhälfte mit positiver Elektricität bekleidet und zwar nicht bloss auf ihrer Vorderseite, sondern durch Influenz auch auf ihrer Hinter-Befinden sich nun auf dieser Hinterseite ebenfalls Kämme in angegebener Lage und unter sich metallisch verkniipft, so wird der Kamm a, welcher dem Vorderkamm a gegenübersteht, negative Elektricität ausströmen und mit ihr die von ihm fortgehende Scheibenhälfte bekleiden. Hälfte ist aber dieselbe, welche auf derselben Seite durch den Kamm a mit positiver Influenz-Elektricität verseben wurde. Es wird also diese Elektricität neutralisirt werden, oder wohl noch ein Ueberschuss von negativer Elektricität hinzutreten. Aus beiden Gründen wird demnach der Vorderkamm b wenig oder gar nicht anziehend auf die zu ihm gelangenden Scheibentheile wirken können. Ebenso wird der Vorderkamm a keine oder eine nur geringe Anziehung auf die zu ihm gelangenden Scheibentheile ausüben, da sie von dem Vorderkamm b und dem gegenüber stehenden Hinterkamm  $\beta$  mit entgegengesetzten Elektricitäten versehen worden sind.

Ich sagte soeben, dass der dem positiven Vorderkamm a gegentüber stehende Hinterkamm a negative Elektricität ausströme. Dies ist keine Hypothese, sondern eine sichere, im Dunklen leicht erkennbare Thatsache, welche beweist, dass der letztere Kamm seine Thätigkeit unmittelbar von dem ersteren empfängt, und nicht von der Scheibe. Denn wenn er sie von der Scheibe empfinge, mtiste er statt der negativen Elektricität positive aussenden, da die zu ihm gelangende Scheibenhälfte durch ihren Vorübergang vor dem negativen Vorderkamun b an beiden Schein mit negativer Elektricität versehen worden ist.

Es giebt noch mehr Fälle, welche augenscheinlich darthun, dass die Elektricität bei diesem Rotationsphänomen nicht bloss mechanische Arbeit verrichtet, sondern zugleich neue Elektricität erzeugt; allein ich will sie für jetzt übergehen, um mich einer anderen Klasse von merkwürdigen Erscheinungen zuzuwenden.

#### III.

Die auf beschriebene Weise hervorgebrachte Rotationsgeschwindigkeit der Scheibe ist gewiß schon eine recht ansehnliche; allein sie läßt sich noch bedeutend vergrößern durch Anwendung zweier Hülfsmittel: durch die Stellung der Kämme und durch die Hinzuziehung von Nebenplatten.

Was die Kämme betrifft, so waren sie in den bisherigen Versuchen entweder am verticalen oder am horizontalen Stabe, entweder vor oder hinter der Scheibe angebracht, jedoch immer so, dass sie ihrer Länge nach mit dem vor ihnen fortgehenden Radius der Scheibe zusammensielen.

Diese radiale Stellung, welche man als die normale betrachten kann, ist jedoch nicht die wirksamste. Ihre größte Wirksamkeit erhalten die Kämme, wenn man sie aus ihrer radialen Lage um einen Winkel von etwa 45° dreht, und zwar in dem Sinn, daß die rotirende Scheibe sich gegen die ihrer Mitte zugewandte Seite des Kammes bewegt. Rotirt sie in der entgegengesetzten Richtung, so ist die Wirkung am schwächsten.

Von der größeren Wirksamkeit dieser schiefen Stellung der Kämme kann man sich durch jeden der bereits angeführten Versuche überzeugen, am untrüglichsten durch diejenigen, bei welchen hinter der rotirenden Scheibe Inductionsfunken erzeugt werden. Giebt man nämlich den Kugeln, zwischen welchen die Röhrenflasche sich entladet, einen solchen Abstand von einander, daß bei radialer Stellung der Kämme keine Funken mehr zwischen ihnen überschlagen, so kommen sie sogleich zum Vorschein, sowie man die Kämme in die angegebene schiefe Stellung versetzt.

Dasselbe thun andere Versuche dar und selbst der allereinfachste mit zwei diametralen Kämmen an derselben Seite der Scheibe liefert einen Beweis dafür.

Am entschiedensten aber tritt die größere Wirksamkeit der schiefen Kammstellung hervor, wenn man mit derselben noch Nebenplatten verbindet, wie ich dieß weiterhin näher auseinander setzen werde.

Ich habe mich vielfach bemüht, zu ermitteln, weshalb

die Kämme bei schiefer Stellung eine ungleiche Wirkung an beiden Seiten ausüben, bin aber leider nicht so glücklich gewesen, einen Grund dafür aufzusinden, der mir genügt hätte.

Indess habe ich bei dieser Gelegenheit beobachtet, dass die Lichtpinsel, welche man im Dunklen am positiven Kamm erblickt, und welche, wie man das schon von der Holtz'schen Maschine weiß, bei radialer Stellung dieses Kammes rechtwinklig auf ihm stehen, entgegen der Rotation der Scheibe, diese Rechtwinklichkeit bei allen übrigen Stellungen beibehalten, so dass, wenn man den Kamm im Kreise herumdreht, sie ihm darin folgen. Nur werden sie um so schwächer und kürzer, je mehr sich der Kamm der tangentiellen Lage nähert, und sowie er diese erreicht, verschwinden sie wohl ganz, bis auf einige, die aus seinen Enden hervorschießen. Bei der vortheilhaften Stellung des Kamms von 45" sind sie caeteris paribus am längsten, und da sie dann um einen gleichen Winkel einwärts abgelenkt sind, liegen sie nicht in der tangentiellen Richtung, in welcher, wie man glauben sollte, dem positiven Kamm die negative Elektricität zugeführt wird.

Auf welche Weise diess mit der mechanischen Wirkung der Kämme zusammenhänge, muss ich für jetzt dahingestellt seyn lassen.

#### IV.

Sehr mannigfaltig und zum Theil sehr räthselhaft sind die Erscheinungen, welche auftreten, wenn man zum zweiten Verstärkungsmittel übergeht, d. h. neben der beweglichen Scheibe feste Platten aufstellt, zu welchem Behufe aben dem Apparat der anfangs erwähnte verschiebbare Rahmen beigefügt ist.

Die angewandten Platten bestanden entweder aus Glas oder Pappe oder Zink, also entweder aus einem Isolator oder Halbleiter oder metallischen Leiter. Glas und Pappe verhielten sich in allen Stücken gleich, und Zink nur im einigen abweichend.

Was die Gestalt dieser Platten betrifft, so bildeten sie entweder Quadrate von der Größe der Scheibe oder halb so große Rectangel. Die ersteren hatten in der Mitte eine runde Oeffnung, weit genug, um nicht allein die Scheibenaxe durchzulassen, sondern auch einen der 6 Lin. dicken Wülste, zwischen welchen die Scheibe auf der Axe eingeklemmt ist. Sonst hätten sie der Scheibe nicht hinreichend genähert werden können. Zu gleichem Zwecke waren die Halbplatten an einem ihrer Ränder mit einem Ausschnitt versehen.

In den meisten Fällen habe ich vertical stehende Halbplatten angewandt, da sie die größte Bequemlichkeit gewähren, indem man sie gegen einander vertauschen kann, ohne nöthig zu haben, die Scheibe von ihren Lagern abzuheben.

Im Allgemeinen äußern die Nebenplatten ihre Wirkung dadurch, daß sie die Rotationsgeschwindigkeit der Scheibe außerordentlich steigern und sehr rasch auf ihr Maximum erheben. Ohne sie kann die Scheibe freilich auch eine große Geschwindigkeit erlangen, aber es bedarf dazu eines viel stärkeren Impulses und einer viel länger fortgesetzten Einwirkung der Elektricität. Auch müssen die Spitzenkämme relativ der Scheibe sehr nahe gestellt werden, während sie bei Anwendung von Nebenplatten schon aus einer Entfernung von 1 bis 1½ Zoll eine Wirkung ausüben. Stehen andrerseits die Kämme nahe, so wirken die Nebenplatten schon in einem Abstand von 1 bis 2 Zoll von der Scheibe ganz merklich.

Als specielles Beispiel mag Folgendes dienen.

Wenn ich vor der Scheibe zwei Kämme am verticalen Stabe in radialer Lage anbringe und hinter derselben zwei Halbplatten von Glas oder Pappe aufstelle, macht die Scheibe nach einem anfänglichen Impuls aller wenigstens 300 Umgänge in der Minute, ohne Abnahme, so lange man Elektricität auf sie einströmeu läfst. Die Rotationsgeschwindigkeit ist so groß, dass sie sich, ohne eine besondere Vorrichtung, eigentlich gar nicht genau bestimmen läfst. Um einen Begriff von ihr zu geben, will ich nur anführen, dass ein weises Papierscheibchen von  $3\frac{1}{2}$  Lin. Durchmesser, wel-

ches als Marke auf einen der die Scheibe auf der Axe festklemmenden Wülste von schwarzer Ebonitmasse geklebt ist und mit seinem Mittelpunkt 1½ Zoll von der Centrallinie der Axe absteht, während der Rotation fast wie ein zusammenhängender weißer Ring erscheint. Nach aufgehobener Wirkung der Elektricität setzt die Scheibe ihre Rotation noch zwei bis drittehalb Minuten fort, ehe sie zur Ruhe gelangt.

Vor der Scheibe, also auf Seite der Kämme aufgestellt, wirken die Nebenplatten ebenso stark. Allein es ist doch ein bemerkenswerther Unterschied zwischen ihrer jetzigen Wirkung und der früheren vorhanden.

Stellt man nämlich die Platten hinter der Scheibe auf und giebt den Kämmen die schiefe Lage, so erhält man eine dauernde Rotation nur in der einen, mehrmals bezeichneten Richtung, manchmal von selbst, manchmal erst nach einem leisen Anstofs; und wenn man sie in entgegengesetzter Richtung mechanisch eingeleitet hat, kommt die Scheibe bald zur Ruhe und beginnt dann umgekehrt, d. h. in dem ersten Sipn zu rotiren.

Stehen die Platten aber vor der Scheibe, so rotirt die Scheibe, nach einem Impuls, gleich gut in beiden Richtungen, die Kämme mögen radial oder schief, ja sogar tangentiell gestellt seyn 1).

Zu diesen Effecten sind zwei Halbplatten durchaus nicht unumgänglich; man erhält sie auch, wenig oder gar nicht schwächer ausgebildet, schon mit einer einzigen Halbplatte.

Selbst kleinere Platten von Glas, Ebonit oder Pappe, Quadrate von 5 Zoll Seite, die also lange nicht die halbe Scheibe bestreichen und, neben derselben aufgestellt, weit von den Kämmen entfernt bleiben, mit ihrer Mitte um einen Quadranten, verstärken nicht nur die Rotationsgeschwindigkeit in angegebenem Grade, wenn die Kämme radial stehen, sondern geben auch bei schiefer Stellung derselben den

<sup>1)</sup> Die Rotation bei tangentieller Stellung der Kämme bekommt man übrigens auch, wenn die Platten hinter der Scheibe stehen, aber nicht ohne dieselben.

charakteristischen Unterschied, je nachdem sie vor oder hinter der Scheibe angebracht sind.

Eben solche verstärkende Wirkung zeigen die Nebenplatten falls zwei Kämme entweder quadrantal an einer Seite der Scheibe, oder diametral diess und jenseits derselben aufgestellt sind. Selbst eine Halbplatte ist dazu ausreichend, sobald sie nur im ersten Fall dem Kamm am horizontalen Arm gegenübersteht.

Aehnliches beobachtet man, wenn man zu vier Kämmen übergeht.

Vier Kämme gestatten eine zweifache Combination. Entweder kann man sie unter sich und mit der Maschine so verbinden, dass der obere und untere die eine Elektricität, z. B. die positive, und der rechte und linke die andere Elektricität ausströmen, oder aber auf die Weise, dass z. B. der obere und der rechte Kamm positiv werden und die beiden anderen negativ.

Im ersteren Fall, wo also, im Kreise herum gezählt, die Kämme abwechselnd positiv und negativ sind, findet schon ohne Nebenplatten nach einem Impuls eine ganz lebhafte Rotation in beiden Richtungen statt, wenn die Kämme die radiale Lage haben, und eine blos in der vortheithaften Richtung, wenn sie schief gestellt sind. Allein beide Wirkungen treten ungleich stärker hervor, sobald Platten hinter der Scheibe stehen.

Im zweiten Fall sind beide Wirkungen ohne Hinterplatten so schwach, dass man sie für Null halten könnte, werden aber mit demselben eben so stark wie im ersten Fall.

Bemerkenswerth sind die Licht-Erscheinungen, die bei diesen Combinationen im Dunklen sichtbar werden.

Im ersten Fall sieht man an den beiden positiven Kämmen lange Lichtpinsel, im zweiten dagegen kurze, und zwar nur an demjenigen positiven Kamm, der, im Sinne der Rotation gesprochen, der vordere ist und negative Elektricität vom nächst vorangehenden Kamm zugeführt bekommt. Der hintere positive Kamm zeigt dagegen nur Lichtpunkte, gleichwie wenn er negative Elektricität ausströmte. Trotz der

Kürze der positiven Lichtpinsel ist in diesem Fall die Rotationsgeschwindigkeit eben so groß wie im Vorhergehenden.

Ueberhaupt habe ich bemerkt, dass, wiewohl die Länge der positiven Lichtpinsel bei einer und derselben Combination mit der Rotationsgeschwindigkeit wächst, sie doch derselben bei verschiedenen Combinationen keineswegs proportional ist.

Noch auffallender ist die Wirkung der Nebenplatten bei Anwendung von vier Kämmen, wenn diese nicht auf einer und derselben Seite der Scheibe angebracht sind.

Man befestige vor der Scheibe zwei Kämme am verticalen Stabe, und hinter derselben zwei am horizontalen, alle vier in radialer Lage, und verbinde sie solchergestalt unter sich und mit der Maschine, dass von den vorderen Kämmen der obere, und von den hinteren der links liegende (von vorn gesehen) positive, und die beiden anderen negative Elektricität auf die Scheibe ausströmen.

Unter diesen Umständen bekommt man keine Rotation, weder in der einen, noch in der anderen Richtung.

Schiebt man aber zwischen den hinteren Kämmen und der Scheibe Halbplatten von Glas oder Pappe ein, die also die Elektricität dieser Kämme auffangen, so beginnt die Scheibe von selbst zu rotiren, und zwar (von vorn gesehen) in Richtung der Bewegung eines Uhrzeigers. Die Geschwindigkeit, welche sie in kurzer Zeit erlangt, ist außerordentlich groß, möchte wohl 300 Umgänge in der Minute noch übersteigen.

Stellt man nun die Halbplatten vor der Scheibe auf, ohne sonst etwas an der Combination zu ändern, so bekommt man eine Rotation in umgekehrter Richtung, deren Geschwindigkeit der der früheren wenig nachsteht.

Hat man den oberen der vorderen Kämme mit dem (von vorn gesehen) rechts liegenden der hinteren verbunden, so ist die Rotation ebenso stark wie vorhin, aber in beiden Fällen von entgegengesetzter Richtung.

Eine Vertauschung der Pole, also eine Umkehrung des Stroms, ändert dagegen an dem Sinn der Rotation nichts. Ebenso ist es gleich, ob die Kämme die radiale, schiefe oder tangentielle Lage haben.

Glasplatten eignen sich zu diesem Versuch am besten. Er gelingt aber auch ganz gut mit Papptafeln, und, freilich minder gut, selbst mit Metallplatten, wenn sie der Scheibe nur nicht zu nahe stehen, ebenso wie mit belegten Glasplatten, deren Belege der Scheibe zugewandt sind.

Vier Kämme sind nicht unumgänglich nothwendig für diesen Versuch; es genügen schon drei. Von den hinteren kann der positive oder der negative fehlen, kann auch durch eine Halbplatte von Glas, Pappe und selbst Metall, wenn sie der Scheibe nur nicht zu nahe steht, ersetzt werden. Doch ist in allen diesen Fällen das Phänomen weniger intensiv.

Nicht zu übersehen ist, dass die Versetzung der Platten aus der hinteren Stellung in die vordere, welche bei dem eben beschriebenen Versuch eine Umkehrung der Rotation zur Folge hatte, zugleich mit einer andern Modification verknüpft war, indem die Platten in der vorderen Stellung frei standen, ohne dass ihnen Kämme anlagen. Versetzt man auch die hinteren Kämme nach vorn, so dass sich also alle vier Kämme und die Platten an der Vorderseite der Scheibe befinden, so erhält man, wie im ersten Fall, wo die Platten und die Kämme des horizontalen Stabes hinter der Scheibe befindlich waren, eine zeigerrechte Rotation von der angegebenen Geschwindigkeit.

Bringt man nun wieder die Platten nach hinten, ohne sonst an der Combination etwas zu ändern, so kommt man auf den schon behandelten Fall zurück, hat bei radialer Stellung der Kämme Rotation in beiden Richtungen, und bei schiefer bloß in einer.

#### V.

Metallplatten, obwohl im Ganzen wie Platten von Glas oder Pappe wirkend, verhalten sich doch, wie schon gesagt, in einigen Beziehungen abweichend.

Eine volle Glas- oder Papptafel ist so wirksam wie zwei Halbplatten desselben Materials. Eine volle Zinkplatte aber, Poggendorff's Annal. Bd. CXXXIX.

isolirt oder nicht, hinter der Scheibe aufgestellt, etwa 5 bis 6 Linien von ihr entfernt, hat wenig Einfluß auf die Rotation, vielleicht gar keinen.

Bringt man sie indessen näher, so hat man die Erscheinung, daß aus der Rückseite der Scheibe, in der Nähe der Kämme, kleine Funken in Unzahl unter lautem Geprassel auf die Zinkplatte überspringen.

So lange die Scheibe ruht, erscheinen diese Fünkchen nicht, trotz unausgesetzter Hinzuleitung von Elektricität; so wie man aber die Scheibe in Bewegung setzt, kommen sie sogleich zum Vorschein, und dabei zeigt sich der Umstand, dass sie bei langsamer Rotation kräftiger und zahlreicher sind als bei schneller. Bei einem gewissen Abstand der Zinkplatte von der Scheibe können sie wohl ganz verschwinden, wenn letztere schnell rotirt.

Diese Fünkchen haben einen verzögernden Einslus auf die Rotation, und es bedarf daher eines ziemlich starken Impulses, um die Scheibe dauernd in Bewegung zu setzen. Hat sie aber einmal eine gewisse Geschwindigkeit erreicht, so hemmen die Fünkchen die Rotation nicht mehr, wenngleich sie dieselbe immer noch etwas verzögern mögen.

Sehr eigenthümlich ist der Einflus, den diese Fünkchen an der Hinterseite der Scheibe auf die Licht-Erscheinungen an den Kämmen der Vorderseite ausüben. Dieselben erhalten eine ganz ungewöhnliche und unregelmäsige Gestalt, erscheinen unruhig und zeitweise hell außprühend. Wenn man den positiven Kamm näher betrachtet, so sindet man, dass an demselben zweierlei Lichter austreten, lange schwach leuchtende Pinsel und helle Punkte an der Spitze des Kammes. Es sieht fast aus, wie wenn dieser Kamm gleichzeitig oder rasch abwechselnd beide Elektricitäten ausströmte. Aehnliches zeigt der negative Kamm.

Um nicht durch die Funken an der Hinterseite der Scheibe in der Beobachtung dieser sonderbaren Erscheinung gestört zu seyn, habe ich den Versuch mit der Ebonitscheibe wiederholt, die, weil sie schwarz und undurchsichtig ist, blofs die Vorgänge an ihrer Vorderseite zeigt. Das Phäno-

men, auf dessen Erklärung ich hier übrigens nicht eingehen will, trat aber ziemlich in derselben Weise auf.

Statt der ganzen Zinkplatte können nun auch zwei verticale Halbplatten desselben Metalls genommen werden. Stellt man sie zunächst hinter der Scheibe auf, isolirt oder nicht, und getrennt von einander durch einen zollbreiten Raum, so beobachtet man Folgendes.

Mit zwei Kämmen in radialer oder in tangentieller Lage am horizontalen Stabe, die also der Mitte der Platten gegentiberstehen, hat man eine sehr verstärkte Rotation. Dasselbe ist der Fall bei schiefer Lage derselben, und merkwürdig genug, rotirt die Scheibe, nach einem Impuls, beinahe gleich gut in beiden Richtungen.

Bringt man nun die Kämme am verticalen Stabe an, so dass sie dem Zwischenraum beider Halbplatten gegenüberstehen, so hat man ihrer radialen und selbst in ihrer tangentiellen Lage ebenfalls Rotationen in beiden Richtungen, begleitet von Funken zwischen Scheibe und Platten.

Versetzt man hierauf die Kämme in die schiefe Lage, so zeigt sich das interessante Schauspiel, dass die Scheibe entweder ganz von selbst oder nach einer sanften Erschütterung des Apparats in Rotation geräth, und zwar nur in der mehrmals bezeichneten Richtung. In der entgegengesetzten findet selbst nach einem Impuls keine andauernde Rotation statt. In beiden Fällen wird übrigens die Bewegung der Scheibe von einem lebhaften Funken-Uebergang zwischen ihr und den Platten begleitet, wenn letztere ihr etwas nahe stehen.

Statt der Zinkplatte kann man auch Glasplatten anwenden, die einseitig mit Staniol belegt werden. Ich bediente mich einer ganzen Platte, deren Belegung in horizontaler und verticaler Richtung durch einen unbelegten Streifen von Zollbreite in vier Theile zerfällt worden. Wollte ich diese quadrantale Belegung in eine hemiale verwandeln, so füllte ich zwei der freigelassenen Streifen durch Staniol aus.

Werden der Scheibe die Belege dieser Platte zugewandt, so sind die Erscheinungen nicht viel anders als bei soliden Zinkplatten; werden sie ihr aber abgewandt, so treten einige Verschiedenheiten auf.

So z. B. bei der quadrantal belegten Platte. Stellt man sie hinter der Scheibe auf, und vor derselben zwei diametrale Kämme, entweder am verticalen oder am horizontalen Stabe, so ist der Einfluss der Lage der Kämme so gut wie vernichtet. Die Scheibe rotirt, nach einem Impuls, in beiden Richtungen mit bedeutender und ziemlich gleicher Geschwindigkeit, die Kämme mögen die radiale, die schiefe und selbst die tangentielle Lage haben, ungeachtet im letzteren Fall die positiven Lichtpinsel kaum wahrzunehmen sind.

Stellt man aber vier Kämme vor der Scheibe auf, und combinirt sie zu zweien, gleich viel auf welche Weise, so ist der erwähnte Einflus wieder hergestellt. Die Scheibe rotirt bei der schiefen Lage am schnellsten und nur in der einen mehrmals bezeichneten Richtung, während bei tangentieller Lage der Kämme gar keine anhaltende Rotation erfolgt.

Ein Fall, in welchem die Wirkung der Nebenplatten sehr in die Augen springt, ist noch der, wo man vor der Scheibe zwei Kämme in quadrantalem Abstand anbringt.

Für sich geben die so gestellten Kämme, wie schon anfangs bemerkt, nur eine schwache Rotation in beiden Richtungen. Hat man aber Nebenplatten hinter der Scheibe angebracht, so bekommt man eine starke Rotation in der einen Richtung, und keine in der andern. Befindet sich der eine Kamm oben und der andere (von vorn gesehen) rechts, so rotirt die Scheibe schraubenrecht oder wie ein Uhrzeiger, wogegen die Rotation in umgekehrter Richtung erfolgt, wenn er sich an der linken Seite befindet. Dabei ist es gleichgültig, ob die Kämme die radiale oder tangentielle Lage haben, aber am stärksten ist der Unterschied ihrer Wirkung nach beiden Seiten in der schiefen Lage. Auch die Richtung des Stroms ist ohne Einflufs.

Papptafeln und unbelegte Glastafeln zeigen diese Wirkung nicht, wohl aber belegte, die Belege wögen der Scheibe zu- oder abgewandt seyn. Am besten jedoch wirken Zinktafeln, wenn sie isolirt sind.

Andere Particularitäten übergehe ich hier, um nicht zu weitläustig zu werden.

Dagegen muss ich noch erwähnen, dass es bei Anwendung von Zinkplatten oder belegten Glasplatten, ganz wie bei Anwendung von Isolatoren, gar nicht nöthig ist, sie von solcher Größe zu nehmen, dass sie die ganze oder halbe Glasscheibe bestreichen.

Zinkscheiben von 6 und selbst von 4 Zoll Durchmesser, die also respective nur ½ und ½ des Flächeninhalts der drehbaren Glasscheibe besitzen, isolirt oder nicht, am horizontalen Stabe befestigt, während der verticale zwei Kämme trägt, gewähren eine sehr bedeutende Rotationsgeschwindigkeit. Selbst eine einzige solcher kleinen Scheiben wirkt nicht viel schwächer.

#### VI.

Die Wirkung der Nebenplatten brachte mich auf die Idee, die Spitzenkämme, von welchen man für gewöhnlich die Elektricität ausströmen läst, zu ersetzen durch kleine, der drehbaren Glasscheibe parallel gestellte Metallscheiben. Ich habe solche Scheibchen, aus dünnem Zinkblech geschnitten, von zwei und von vier Zoll Durchmesser angewandt.

So lange die große Glasscheibe frei auf ihrer Axe schwebt, haben diese Metallscheibehen wenig oder keine Wirkung auf sie. So wie man aber Halbplatten von Pappe oder Glas vor oder hinter ihr aufstellt, bekommt man, nach einem kleinen Impuls, eine andauernde Rotation in beiden Richtungen, so lebhaft wie sie kaum besser bei Anwendung von Spitzenkämmen zu erlangen ist.

Volle Nebenplatten, hinter der Scheibe aufgestellt, haben dagegen diese Wirkung nicht. Es ist nothwendig, dass die Scheibchen entweder zwischen den Halbplatten stehen oder deren Zwischenraum gegenüber.

Recht artig ist die Licht-Erscheinung, welche im ersteren Fall die Rotation begleitet. Statt der parallelen Lichtpinsel, die vom positiven Spitzenkamm rechtwinklig gegen dessen Länge hervorbrechen, hat man nämlich fächerartig ausgebreitete, gleichsam einen Heiligenschein bildend, hauptsächlich an derjenigen Seite des Scheibenrandes, welche der Bewegung entgegen liegt; doch fehlen sie auch an der anderen Seite nicht. Aehnlich verhält es sich mit den Lichtpunkten am Rande des negativen Scheibehens, Dabei ist ein fortwährendes Zischen hörbar, welches aus dem Ueberspringen kleiner Funken von dem Metall zum Glase entsteht.

Ich habe die Spitzenkämme auch durch Blechstreisen ersetzt, die, an den Hülsen dieser Kämme befestigt, rechtwinklich gegen die Ebene der Scheibe aufgestellt wurden.

Für sich allein bewirken diese Bleche keine Rotation, weder in radialer, noch in schiefer Lage.

Waren aber Glasplatten hinter der Scheibe angebracht, so erfolgte bei schiefer Lage der Bleche eine sehr starke Rotation in der oftmals angegebenen Richtung, während bei radialer Lage derselben die Rotation ausblieb.

Standen endlich die Glasplatten vor der Scheibe, so trat zwar wiederum bei radialer Lage der Bleche keine Rotation ein, aber dafür erfolgte sie sehr stark in beiden Richtungen, wenn die Bleche schief gestellt waren.

#### VII.

Wenn man nun nach allen diesen Einzelheiten die Frage aufwirft, was denn die Ursache der beschriebenen, die Rotation bald einseitig, bald doppelseitig verstärl enden Wirkung der Nebenplatten sey; so scheint es natürlich darauf die Antwort zu geben, dass es die Elektrisirung sey, welche diese Platten seitens der rotirenden Scheibe und auch der Kämme erfahren.

Wirklich lässt sich auch diese Elektrisirung in einigen Fällen ganz entschieden nachweisen.

Stehen isolirte Halbplatten von Zink hinter der rotirenden Scheibe, hinreichend eutfernt von dieser, um keine Funken von ihr zu erhalten, so geben sie doch bei der Berührung kleine Funken, und, wenn sie einander hinreichend nahe stehen, springen solche in ununterbrochener Folge zwischen ihnen über. Außerdem werden sie von der Scheibe angezogen.

Ein anderer Fall ist dieser. Man stelle der Glasscheibe am verticalen Stabe zwei Kämme in radialer Lage und an derselben Seite am horizontalen Stabe zwei kleine Zinkscheiben etwa von 6 Zoll Durchmesser gegenüber, lasse durch den oberen Kamm positive und durch den unteren negative Elektricität ausströmen. Ertheilt man nun der Scheibe durch einen Impuls eine schraubenrechte Rotation, so wird (von vorn gesehen) ihre linke Seite mit negativer, und ihre rechte mit positiver Elektricität bekleidet.

Die isolirt davorstehenden Zinkscheibehen steigern diese Rotation bald sehr ansehnlich, und prüft man sie mit dem Elektrometer, findet man das Scheibehen linker Hand positiv, und das andere negativ (indem aus seinem Stiel das erstere negative und das letztere positive Elektricitäten entläst, was man durch gegenseitige Verbindungen beider Scheibehen befördern kann).

Sie haben also entgegengesetzte Elektricitäten in Bezug auf die sich ihnen nähernden Scheibentheile, müssen folglich dieselben anziehen und somit die Rotation verstärken. Diese Erklärung würde vollständig seyn, wenn man zugleich nachweisen könnte, weshalb die von den Zinkscheibehen fortgehenden Glastheile die Rotation nicht hemmen. Man kann nur vermuthen, dass diese letzteren entweder in schwächerem Grade ungleichnamig mit den Zinkscheibehen elektrisirt sind oder schon gleichnamig mit denselben. Bestimmter ließe sich darüber nur urtheilen, wenn man die Vertheilung der Elektricität auf der rotirenden Scheibe genau kennte, die aber sehr schwer zu ermitteln ist.

Ein dritter Fall, in welchem die erwähnte Elektrisirung in ganz interessanter Weise auftritt, ist folgender.

Ich besitze eine quadratische Glasplatte von 17 Zoll Seite und 1 Lin. Dicke, die ein sehr guter Isolator ist. Stelle ich diese hinter die Scheibe, die darauf durch zwei diametrale Kämme in horizontaler Lage und durch einen Impuls zur Rotation gebracht wird, so übt sie anfangs so gut wie keine Wirkung aus; nach und nach beginnt sie aber zu wirken und in kurzer Zeit steigert sich ihre Wirkung dermaßen, dass die Rotation fast ihr mögliches Maximum erreicht. Halte ich nun die Scheibe an und lasse sie nach einer Weile wieder los, so beginnt sie freiwillig in derselben Richtung zu rotiren; ja wenn ich ihr durch einen mechanischen Impuls die umgekehrte Bewegung einpräge, kommt sie bald zum Stillstand und erneut darauf die Rotation im anfänglichen Sinne.

Hier ist also die ursprünglich indifferente Glasplatte durch die rotirende Scheibe zu einer Wirksamkeit gebracht, die jener der eben erwähnten Zinkscheiben noch übertrifft, da man mit letzteren keine einseitige und freiwillige Rotation erhält.

Eine Prüfung mit dem Elektrometer zeigt übrigens, dass die Glasplatte hinter der positiven Scheibenhälfte negativ und hinter der negativen Hälfte positiv ist, und zwar in der Mitte beider Hälften am stärksten.

Die Erklärung der Rotation würde hier also wie bei den Zinkscheiben ausfallen, aber ebenso mangelhaft seyn wie bei jenen.

Wie wohl nun in diesen und ähnlichen Fällen die Elektrisirung der Nebenplatten ganz unzweifelhaft ist, so habe ich doch auch andere Fälle beobachtet, wo ich sie trotz aller Sorgfalt platterdings nicht nachzuweisen vermochte.

Es gilt diess zunächst von Papptafeln, ungeachtet sie eine ebenso große Rotationsgeschwindigkeit hervorbringen wie Glasplatten.

Es gilt diess aber auch bisweilen von letzteren. Bei der S. 528 beschriebenen automatischen Rotation, bei welcher zwei Kämme vor, und zwei Kämme hinter der Scheibe standen und Halbplatten von Glas eingeschoben wurden, erwiesen sich diese, unmittelbar nach der Rotation geprüft, ganz unelektrisch, sie mochten gesirnist seyn oder nicht.

Ich muss gestehen, dass ich durch diese Thatsachen einigermassen zweifelhaft geworden bin, ob in der That die

Nebenplatten ihre große Wirksamkeit alleinig oder hauptsächlich durch die Elektrisirung erhalten. Es könnte z. B. seyn, daß sie auch dadurch wirkten, daß sie das Entweichen der Elektricität von der rotirenden Scheibe verhinderten oder verringerten. Möglich wäre es übrigens, daß die Platten, in Fällen, wo ich sie nicht elektrisch finden konnte, es dennoch während der Rotation waren. Die Anziehung, welche selbst Papptafeln seitens der rotirenden Scheibe erfahren, scheint dafür zu sprechen, wenn sie nicht andererseits Folge der Luftverdünnung ist, die durch die Centrifugalkraft zwischen den Tafeln und der Scheibe entstehen muß.

Ueber diese und andere Zweifel können nur fernere Versuche entscheiden, die auch die Frage zu beantworten hätten, ob die Influenz unabhängig sey von der Bewegung der Körper oder nicht.

#### VIII.

Es ist nicht bloss die Richtung und Stärke der Rotation, in deren Abänderung sich die Wirkung der Nebenplatten ausspricht: sie äußert sich auch in anderer Weise z. B. in den Erscheinungen, welche eintreten, wenn man die drehbare Scheibe auf der Rückseite mit Stanniol belegt.

Dehnt sich diese Bewegung über die ganze Rückseite aus, so bekommt man keine Rotation. Gleiches ist der Fall, wenn sie einen geschlossenen Ring bildet, dessen Breite gleich ist der Länge der Spitzenkämme. Hat dieser Ring aber zwei diametrale Unterbrechungen, so erfolgt eine Rotation, die freilich bei Anwendung von nur zwei Kämmen auch nur eine mäßige ist.

Wendet man aber vier Kämme an, vorn zwei am verticalen Stabe und hinten zwei am horizontalen, schiebt zwischen den beiden letzteren und der Scheibe zwei Glasplatten ein und verbindet sie nun in der Weise mit dem vorderen und der Maschine, dass der obere und der (von vorn gesehen) links liegende positive, und die beiden anderen negative Elektricität ausströmen, so erhält man eine lebhaste Rotation im Sinne der Bewegung eines Uhrzeigers.

Hiebei werden nun die beiden Halbringe von Stanniol auf der Rückseite der Scheibe durch Influenz abwechselnd mit positiver und negativer Elektricität versehen, und es springen demgemäß, wenn der Abstand zwischen ihnen nicht zu groß genommen ist, hell leuchtende Funken in schneller Folge von einem zum anderen.

So lange die Rotationsgeschwindigkeit eine mäßige ist, hat die Erscheinung nichts Ungewöhnliches. Man sieht nur die beiden Funkenorte im Kreise herumgehen.

So wie aber die Geschwindigkeit einen solchen Grad erreicht hat, dass die Scheibe in der Zwischenzeit des Ueberspringens zweier Funken um ein Beträchtliches vorgerückt ist, erblickt man jeden Funken gesondert an einem anderen Orte, und vermöge der bekannten Dauer der Lichteindrücke auf unser Auge hat man dann das interessante Schauspiel eines ganzen Ringes von helleuchtenden Funken.

Auf solche Weise können wohl an 50 Funken in Gestalt kurzer und gegen die Circumferenz etwas geneigter Lichtlinien zur gleichzeitigen Anschauung gebracht werden, so lange man die Wirkung der Elektricität unterhält. Alles hängt dabei von dem Verhältnis der Rotationsgeschwindigkeit zur Geschwindigkeit des Aufeinanderfolgens der Funken, also zur Elektricitätsmenge ab; bei gleicher Rotation, vermehrt oder vermindert, erscheinen auch die Funkenlinien mehr oder weniger zusammengedrängt und zahlreich.

Deutlich sieht man hiebei, dass die Nebenplatten nicht allein die Rotationsgeschwindigkeit vergrößern, sondern auch den Glanz der Funken beträchtlich erhöhen.

Papptafeln statt den unbelegten Glastafeln zu diesem Versuche angewandt, ändert an der Erscheinung wenig oder nichts. Nimmt man aber Glasplatten, die an der der Scheibe zugewandten Seite belegt sind, so erweist sich die Intensität der Funken bedeutend verstärkt. Die Rotation ist aber nur eine schwache, und sie bedarf einer mechanischen Nachhülfe, um das Funkenphänomen in seiner vollen Ausbildung zu zeigen. Auch dürfen die besagten Tafeln der Scheibe nicht zu nahe stehen, weil sonst Funken von ihnen zu die-

ser überspringen, welche die Funken zwischen den Stanniolbelegen, um die es hier sich handelt, beeinträchtigen und unterdrücken.

Uebrigens ist noch zu bemerken, dass, so lange die Scheibe ruht, keine Funken zwischen ihren Belegen überspringen, ungeachtet diese der influeneirenden Wirkung der Kämme, welche Elektricität auf die Vorderseite ausströmen, fortdauernd ausgesetzt sind. Erst bei der Bewegung der Scheibe kommen die Funken zum Vorschein.

#### IX.

Zum Studium des in Rede stehenden Rotationsphänomens ist der zu dieser Untersuchung benutzte Rotations-Apparat nicht gerade unumgänglich nothwendig; man kann statt seiner auch eine gewöhnliche Holtz'sche Elektrisirmaschine anwenden. Dieselbe gestattet freilich nicht alle die Combinationen, welche der beschriebene Apparat zuläfst, zeigt aber dafür Anderes, auf dessen Beobachtung ich diesen Apparat wenigstens bis jetzt nicht eingerichtet habe. Ich meine die Wirkung der gezahnten Belege und des schrägen Conductors.

Wendet man die Maschine in der einfachsten Gestalt an, d. h. versehen blos mit bleinen Belegen und zwei Kämmen in radialer Lage, so kommt die Scheibe, nach einem anfänglichen Impuls, in dauernde Rotation, wenn man Elektricität auf sie einströmen läßt. Ein Unterschied in den Richtungen ist kaum zu bemerken, wiewohl es scheint, als ginge die Rotation im Sinne der Zähne der Belege etwas leichter und schneller von Statten als in umgehehrter Richtung, gegen diese Zähne.

Ist ja ein Unterschied in dieser Beziehung vorhanden, so wird er vollends verwischt, wenn man den schrägen Conductor anlegt, also vier Kämme auf die bekannte Weise gegen eine Seite der Scheibe in radialer Lage aufstellt.

Wesentlich anders gestaltet sich aber die Erscheinung, sowie man, mit Beibehaltung des schrägen Conductors, die

Belege der ruhenden Scheibe bis ihm gegenüber verlängert. Dann rotirt die Scheibe nur in einer Richtung, in Richtung der Zähne der Belege, manchmal sogar ohne anfänglichen Impuls. Setzt man sie mechanisch in entgegengesetzte Rotation, so kommt sie nach wenigen Umgängen zur Ruhe und kehrt dann wohl ihre Bewegung freiwillig um.

In angegebener Richtung ist die Rotation relativ sehr kräftig, denn sie kommt, freilich erst nach einem Impuls, noch ganz gut zu Stande, wenn auch die Schnurläufe der Maschine, deren die angewandten zwei auf drei wenig beweglichen Rollen besitzt, nicht entfernt worden sind. Nur dürfen diese Schnurläufe nicht zu stark gespannt seyn. Nach Entfernung derselben ist aber die Rotation nicht allein eine automatische, sondern auch ihre Geschwindigkeit eine ungemein viel größere, so groß wie sie überhaupt auf irgend eine andere Weise nur zu erlangen ist.

Offenbar haben die Zähne der Belege einen vorwaltenden Antheil an der Entstehung der einseitigen Rotation. Indess sind sie nicht unumgänglich nothwendig. In schwächerem Grade habe ich diese Rotation auch zu Stande kommen sehen, als die ruhende Platte zwar Belege, aber keine Zähne hatte.

Andrerseits hat der schräge Conductor einen wesentlichen Einfluß auf den Sinn der Rotation. Ich machte diese Erfahrung, als ich die beiden Holtz'schen Maschinen, die zu diesem Versuche benutzt wurden, gegeneinander vertauschte.

In dem Bisherigen war nämlich die getriebene Maschine eine der älteren Art, an welcher der schräge Conductor einefeste Lage besitzt, und zwar so, dass er, von vorn gesehen, nach der linken Seite hin einen Winkel von 45° mit der Verticalen macht.

An der Maschine neuerer Art ist der schräge Conductor drehbar, und als ich sie zur getriebenen Maschine nahm, zeigte sich, dass das Resultat des Versuches wesentlich von der Stellung dieses Conductors abhängt.

Gab ich demselben die eben bezeichnete Lage, so erfolgte die Rotation, wie vorhin im Sinne mit den Zähnen

d. h. von vorn gesehen, entgegen der Bewegung eines Uhrzeigers. Neigte ich ihn aber nach der anderen Seite um 45° gegen die Verticale, so vermochte die Scheibe in beiden Richtungen zu rotiren.

Dess ungeachtet ist es aber nicht die Stellung des Conductors an sich, welche diesen Unterschied hervorrust, sondern seine Stellung zu den Belegen an der Hinterseite der ruhenden Platte.

Haben diese Belege nur die Breite von einem Paar Zoll, so ist die Stellung des Conductors ganz gleichgültig, weil sie ihm nie gegenüber zu stehen kommen; stets erhält man die Rotation in beiden Richtungen. Sind sie aber durch angelegtes Papier bis zu einem Octanten oder Quadranten verlängert, so stehen sie dem Conductor bei seiner links geneigten Lage gegenüber, bei der rechts geneigten nicht, und demgemäß erhält man bei der ersten Lage eine einseitige Rotation und bei der zweiten eine beiderseitige. Haben die Belege die Größe eines Quadranten, so giebt selbst die lothrechte Stellung des Conductors eine einseitige Rotation.

In ähnlicher Weise, wie sich eine Holtz'sche Maschine der ersten Art durch eine andere derselben Art in Rotation versetzen läßt, kann es auch mit einer Maschine der zweiten Art geschehen, wobei denn die interessante Erscheinung eintritt, daß beide Scheiben derselben in entgegengesetzten Richtungen rotiren. Es war gerade dieser Fall, bei welchem Hr. Holtz das neue Rotationsphänomen entdeckte.

Ich habe diesen Fall nicht näher untersucht, weil ich bei Wiederholung desselben die Beobachtung machte, dass mitunter auch beide Scheiben, wenn Funken zwischen ihnen überspringen, in gleichem Sinne rotiren, und dass, um diese Störung zu vermeiden, es nöthig ist, den gegenseitigen Abstand beider Scheiben zu vergrößern, worauf aber meine Maschine nicht eingerichtet ist.

X.

Dagegen habe ich die Untersuchung nach einer anderen nicht uninteressanten Seite hin erweitert, indem ich die These in wantermen a tree un iss n Rein steinende Roseinenmannen auf rine rinnen interfile menticknicht urg mein nern.

Mesenter men die ausgebenden des mit der der Bennen mesen men die ausgebenden der Geschieben gestellt geschieben gestellt geschieben gestellt geschieben gestellt geschieben gestellt geschieben gesch

ne visien ein samt die Line der Assentitie in Montaine versierten Schriche verne währe som seine nersähliche wert, blies und in die diesenlichkeit ner Seinellun und von die Seine in Stromes an

the control of the property of the constitution of the films and control of the constitution of the consti

While him the trans of universal relative Described with the ment of the control of the control

The Education and the frequency area and the Education of the Control of the Cont

Personale such the received without management of the Personal Committee of the Committee o

De ter seine me wint mit dies Charle in Trans.

Hat man aber einen Draht eingeklemmt, der frei in der Luft endet, so kommt die Rotation wiederum zum Vorschein. Besonders lebhaft ist dieselbe, wenn das freie Ende des Drahts mit einem Spitzenkamm versehen oder ableitend mit dem Boden verbunden ist.

Der Grund dieser Erscheinungen ist unschwer einzu sehen.

Gesetzt, man habe zwei diametrale Kämme an der Scheibe. Empfängt der Kamm a positive Elektricität, während der andere b abgeleitet ist, so wird die Scheibe nach einem Impuls, der unter diesen Umständen nothwendig ist, mit positiver Elektricität bekleidet. Diese influencirt den Kamm b, lockt negative Elektricität aus ihm hervor, die nun in derselben Weise wirkt, wie wenn sie direct von der Maschine geliefert worden wäre. Ohne Fortschaffung der positiven Elektricität aus dem Stiele des Kammes kann diese Influenz begreiflich nicht wirksam zu Stande kommen, und darum ist die Einsetzung eines ableitenden Drahtes nothwendig.

Da übrigens der Kamm a auch auf der Rückseite der Scheibe positive Elektricität frei macht, so kann der Kamm b auch dort angebracht werden, aber die Rotation ist dann schwächer.

Aehnlich verhält es sich mit der zweiten Scheibe, wenn ihrem Kamme  $\alpha$  negative Elektricität zugeführt, und die Hülse ihres Kammes  $\beta$  mit einem ableitenden Draht versehen wird.

Verbindet man nun die Kämme b und  $\beta$  beider Scheiben durch einen Draht, so ist klar, daß die Wirkungen einander unterstützen müssen, indem der eine Kamm die Ableitung für den andern bildet, sobald beide Scheiben rotiren.

Nun kann zwar, wie schon gesagt, die eine Scheibe angehalten werden, ohne dadurch die Rotation der anderen sonderlich zu beeinträchtigen, allein dabei ist doch nötflig, daß der festgehaltenen Scheibe Elektricität aus der Maschine zugeführt werde. Geschieht das nicht, so kommt die andere Scheibe bald zum Stillstand.

Diess beruht wohl darauf, dass z.B. der Kamm  $\beta$  die vom Kamm b empfangene positive Elektricität nur dann gegen die ruhende Scheibe dauernd auszuströmen vermag, wenn dieselbe mit negativer Elektricität bekleidet wird, und das muss also von dem mit der Maschine verbundenen Kamm  $\alpha$  aus selbst bei Ruhe der Scheibe stattfinden.

Was diese Ansicht unterstützt, ist der Umstand, dass der Verbindungsdraht zwischen b und  $\beta$ , welcher, während a und  $\alpha$  mit der Maschine verbunden sind, sich nur schwach elektrisch erweist, sogleich sehr stark elektrisch wird, sowie man einen der letzteren Kämme von der Maschine abtrennt.

Endlich sey hier nach einer interessanten Abänderung der eben beschriebene Versuche gedacht. Verbindet man nämlich die erste Scheibe direct mit der Maschine durch zwei diametrale Kämme, denen gegenüber man auf der Rückseite dieser Scheibe zwei andere diametrale Kämme aufgestellt hat, welche durch Drähte zu den Kämmen einer zweiten Scheibe führen, so gerathen, nach einem Impuls, beide Scheiben in anhaltende Rotation.

Hier ist es also die secundäre Elektricität der ersten Scheibe, welche die zweite in Bewegung setzt. In ähnlicher Weise könnte man eine dritte Scheibe durch die ternäre Elektricität der zweiten, eine vierte durch die quaternäre der dritten usw. in Rotation versetzen, könnte also, ideell genommen, fast die ganze Menge der von der Maschine gelieferten Elektricität in mechanische Arbeit verwandeln.

#### XI.

Aus der Gesammtheit der hier mitgetheilten Thatsachen, die noch lange nicht alle von mir beobachteten umfast, wird, glaube ich, zur Genüge hervorgehen, welche Mannigfaltigkeit von verwickelten und zu Theil räthselhaften Erscheinungen mit dem beschriebenen Rotationsphänomen verknüpft ist. Schon jetzt eine vollständige Theorie derselben aufstellen zu wollen, wäre, meiner Meinung nach, ein ver-

gebliches Bemühen. Ich habe deshalb auch keinen Versuch der Art gemacht, sondern mich darauf beschränkt, das Thatsächliche festzustellen und Einzelnes zu erläutern, so weit ich es vermochte.

Dagegen kann ich nicht umhin, hier noch eine Schlussbemerkung anzureihen.

Ohne Widerrede ist das Holtz'sche Rotationsphänomen das kräftigste, welches man bisher durch sg. Reibungselektricität hervorgebracht hat. Dennoch wäre es eine sanguinische Hoffnung, wollte man glauben, es könne damit irgend ein nutzbarer mechanischer Effect erzielt werden. Dass das nicht möglich sey, ergiebt sich schon aus der Betrachtung, wie klein die hier ins Spiel gesetzte Elektricitätsmenge ist im Vergleich zu der, welche die Volta'sche Batterie entwickelt, mit der man dessungeachtet, selbst unter Mitwirkung des durch sie erzeugten Magnetismus, doch auch noch nichts Erkleckliches ausgerichtet hat.

Mit um so größerem Rechte kann man daher die Behauptung aussprechen, daß die älteren Rotationsapparate dieser Art noch weniger im Stande waren, eine irgend erhebliche mechanische Kraft zu erzeugen. Franklin freilich wollte an seinem elektrischen Bratenwender einen Truthahn braten, aber er wollte es nur; nirgends sagt er, daß er es gethan habe. Hätte er den Versuch gemacht, würde er sich bald von der Erfolglosigkeit desselben überzeugt haben 1).

1) In Priestley's History of Electricity, p. 572 (und daraus in der Uebersetzung von Krünitz, S. 378) wird erzählt, Franklin habe 1748 ein elektrisches Gastmahl gegeben. Dabei sey ein indianischer Hahn durch den elektrischen Schlag getödtet, an den elektrischen Bratenwender gesteckt und an einem durch die elektrische Flasche angemachten Feuer gebraten; dann habe man unter dem Donner einer Entladung der elektrischen Batterie die Gesundheit aller berühmten Elektrisirer in England, Holland, Frankreich und Deutschland aus elektrisirten Pokalen ausgebracht. Vergleicht man aber mit dieser Erzählung die Stelle in Franklin's Experiments and observations on Electricity (London 1769, p. 37), aus welcher sie genommen ist, so sieht man sogleich, dass Priestley aus einem blosen Scherz, wie er in jener Zeit wohl gestattet war, fälschlich eine Thatsache gemacht hat. Denn Franklin Poggendorff's Annal, Bd. CXXXIX.

Die Elektricitätsmenge, die zur einmaligen Ladung seines Bratenwenders - einer drehbaren Glasscheibe mit einer Belegung von 13 Zoll Durchmesser - erforderlich ist, ist nicht nur an sich eine so geringe, dass sie von der Holtz'schen Maschine wenigstens 30 bis 40 Mal in der Minute geliefert wird, sondern muß auch im Laufe der successiven Entladungen der Scheibe bald auf eine so winzige Größe herabsinken, dass sie unmöglich einen bedeutenden mechanischen Nutz-Effect gewähren kann. Was Franklin selbst von der Leistungsfähigkeit seines Apparates anführt, widerspricht dem nicht '). Eine horizontale Scheibe, selbst beschwert mit 100 Piastern, auf einer Spitze 20 Mal in der Minute umzudrehen (noch dazu vermuthlich nicht ohne Beihülfe eines anfänglichen Impulses), erfordert nur eine sehr geringe Kraft, die sich nicht messen kann mit der, welche auf horizontaler Axe eine ungefähr gleich große Scheibe und selbst ein halbes Dutzend derselben automatisch zu 300 Umgängen in der Minute zwingt, und zwar ohne Abnahme, so lange es dem Experimentator beliebt. Ueberdiess kommt in dem Franklin'schen Apparat die Rotation auf eine so plane Weise durch das Spiel der elektrischen Anziehungen und Abstofsungen zu Stande, dass er heutigen Tages ganz ohne wissenschaftliches Interesse ist 2).

sagt von dem Gastmahl nur »it is proposed« und weiterhin: a turkey, is to be killed, roasted by the electrical jack, etc., wogegen Priestley sich erlaubt su sagen: a turkey was killed, roasted etc. Schwerlich dürste es auch den Gästen einen augenehmen Genuss bereitet haben, den Wein aus elektrisirten Pokalen (d. h. geladenen Leidner Flaschen) zu trinken, sich also einen elektrischen Schlag in den Mund geben su lassen.

<sup>1)</sup> Ann. Bd. 132, S. 479.

<sup>2)</sup> Franklin's Glasscheibe hatte eine Belegung von etwa 117 Quadratzoll auf jeder Seite und wurde ein Mal geladen. Zwei Flaschen, jede von 73, zusammen also von 146 Quadratzoll äußerer Belegung, werden von meiner Holtz'schen Maschine zwischen Kugeln von 10 Linien Durchmesser in zwei Zoll Abstand 40 Mal in der Minute geladen, und in einem Zoll Abstand sogar 60 Mal. Sie würden also in der halben Stunde, welche der Franklin'sche Versuch dauerte, respective 1200 und 1800 Entladungen geben. Daß eine solche Elektricitätsmenge eine bei VVeitem größere Kraft entwickeln muß als die im zelektrischen Bratenwender« thätige, ist wohl selbstverständlich und würde heutzutage von Franklin selber nicht geläugnet werden. — Mit einem Loth Schießpulver läßst sich nicht so viel ausrichten wie mit einem Centner.

## II. Ueber die Zusammensetzung des Turmalins; von C. Rammelsberg.

(Schluss von S. 411.)

#### No. 16.

Schwarzer Turmalin von Dekalb, St. Lawrence Co., New-York.

Bruchstück eines großen vielstreifigen, an beiden Enden verbrochenen Krystalls. Er ist hie und da an der Oberfläche mit Schüppchen von weißem Glimmer bekleidet, und feine Klüfte im Innern sind mit demselben dünn überzogen. Im Uebrigen ist das Mineral homogen und frisch. Das Pulver ist dunkelgrau.

V. G. = 3.195.

Das grobe Pulver verliert beim Erhitzen nur eine Spur Feuchtigkeit; setzt man es aber, in Platinfolie gehüllt, einer starken Glühhitze aus, so verwandelt es sich in eine festgesinterte schwarze Masse, wobei es 2,917 Proc. am Gewicht verliert. Das Pulver des geglühten T. ist grünlich grau.

Die Fluorbestimmung gab 0,32 Proc.

Die Eisenoxydulbestimmung im Boraxglas gab 14,5 Proc.

Die Analysen mit kohlensaurem Alkali (a) und (des geglühten) mit Fluorwasserstoffsäure (b) gaben.

	a	· <b>b</b>
Kieselsäure	37,07	
Thonerde	30,42	33,31
Eisenoxyd	13,52	14,31
Manganoxydul	0,47	0,56
Magnesia	3,32	3,66
Natron		2,04
Kali		0,30.

Wenn 0,32 Fl = 0,44 Si Fl<sup>4</sup>, so sind 2,917 — 0,44 = 2,477 H<sup>2</sup> O vorhanden. Die Eisenprobe beweist, dass nur Fe anzunehmen ist.

-	•		1	
N/I		tt	a	
TAT		LL		

						Λt,
H³ O	2,48	=	H	0,27	<b>27</b>	• • •
K³ O	0,30		K	0,25	0,64	7.0
Na <sup>3</sup> O	2,04		Na	1,51	6,6	7,2
Mg O	3,49		Mg	2,09	8,7 )	
MnO	0,51		Mn	0,40	0,7 }	<b>26,8</b>
Fe O	12,55		Fe	9,76	17,4	
Al O <sup>3</sup>	31,86		Al	16,95		31
(B <sup>2</sup> Q <sup>3</sup> )	9,70		В	3,05.		27,7
Si O <sup>2</sup>	37,07		Si	17,30		<b>62</b> ·
-	100.					

#### Hier ist

# Al: Si = 1:2 = 1:2 B: Al = 1:1,1 l:1 Ä: Al = 1:1,16 l:1 Ä: Ä = 1:3,7 l:4

Let R: H = 1: 3 (gef. = 1:3,7), so folgt die Formel eines Drittelsilikats

$$\begin{array}{c}
 & \text{R "R Al B Si}^2 \text{ O}^{10} = \\
 & \text{H}^3 \\
 & \text{(Na, K)}
\end{array}$$

#### Berechnung:

#### No. 17. (19.)

Schwarzer Turmalin von Langenbielau.

Schliefst der Glühverlust von 2 Proc. 0,4 Fl = 0.55 Si Fl<sup>4</sup> ein, so ist die Zusammensetzung:

						At.
H <sub>3</sub> O	1,45	=	H	0,16	16	
K <sup>2</sup> O	0,82		K	0,68	1,8	0
Na <sup>2</sup> O	1,93		Na	1,43	6,2	0
Ca O	0,62		Ca	0,44	1	
Mg O	3,65		Mg	2,19	9	26
Fe O	11,64		Fe	9,05	16	
Al O <sup>3</sup>	31,63		Al	16,83		30,8
(B2 O3)	11,02		В	3,46		31
Si O <sup>2</sup>	37,24		Si	17,38		62
	00.			•		

Al : Si = 1 : 2B : Al = 1 : 1

 $\ddot{R} : Al = 1:1,18$ 

 $\dot{R} : \ddot{R} = 1 : 3.25.$ 

Mit Rücksicht darauf, dass dieser T. nicht mehr ganz frisch erscheint, darf man auch für ihn die beiden letzten Proportionen = 1:1 und 1:3, und demnach die Formel

H\* Ř Ř4 Al4 B4 Si8 O40

annehmen.

#### No. 18. (15.)

Schwarzer Turmalin von Bovey-Tracy in Devonshire.

Durch neue Versuche wurden Fl, Si, Al, Fe, Mn, Mg bestimmt; ferner die Größe des FeO-Gehalts im Boraxglas (bouteillengrün).

Das Fluor ist = 0,45 Proc., entsprechend 0,616 Si Fl<sup>4</sup>. Ist der Glühverlust = 2,09, so sind 1,47 H<sup>2</sup> O vorhanden.

Fe O gefunden 15,87 und 15,11 Proc. Die Resultate sind:

Mitte	Mittel der älteren Analyse			Spätere Analyse.	
H <sup>2</sup> O				1,74	
K <sup>3</sup> O	0,65	j			
Na² O	1,39	)			
Ca O	0,50	)			
Mg O	2,58	3		2,62	
Mn O	<del></del>			0,40	
Fe O	14,59	)		13,82	
Al O <sup>8</sup>	33,09	)		30,22 1)	
Si O <sup>2</sup>	37,00	)		37,94 <sup>2</sup> )	
Hiernach ist anzu	nehme	en:			
					At
H <sup>2</sup> O 1,74	=	H	0,19		19
K <sup>2</sup> O 0,65		K	0,54	1,4	5,9
Na <sup>2</sup> O 1,39		Na	, ,	4,5 \	٠,٠
CaO 0,50		Ca	,	<b>0,9</b> )	
MgO 2,62		Mg		6,5 (	27,2
Mn O 0,40		$\mathbf{Mn}$	0,31	0,6 (	س, ر ت
FeO 13,82		Fe	10,75	19,2 )	
Al O <sup>8</sup> 30,22		Al	16,08		29,5
$(B^2O^3) 10,72$		В	3,37		<b>3</b> 0
Si O <sup>2</sup> 37,94		Si	17,70		63
100.	•				
4.9	۵.	1 0	7	enommen	
	Si =		i	1:2	
$B:Al=1:1 \qquad 1:I$					
	Al =	•		1:1	
Ŕ:	Ř <b>=</b>	1 : 4,0	6 · ·	1:4	
Ŕ:	H =	1 : 3,	2	1:3	
		Forme	el:		•

 $\begin{array}{c|c} \mathring{R} \, \mathring{R} \, \mathring{A} \, \mathring{B} \, Si^{2} \, O^{10} = \\ H^{3} \\ (Na, \ K) \end{array} \Big\} \, \mathring{R}^{4} \, \mathring{A} I^{4} \, B^{4} \, Si^{8} \, O^{40}$ 

Mg(Ca, Mn) : Fe = 1 : 3.

K: Na = 1:3. Mg (Ca,
1) Direct bestimmt und als rein erkannt,

<sup>2)</sup> Gelblich, etwas eisenhaltig.

3	H :	<del></del> 3	=	H <sup>2</sup> O	2,00
0,2	5 K	9,75		K <sup>2</sup> O	0,87
0,7	5 Na	17,25		Na <sup>2</sup> O	1,72
	Mg	24		MgO	2,96
3	Fe	168		FeO	16,02
4	Al	218,4		Al O <sup>3</sup>	30,44
4	В	44		$B^2O^3$	10,38
8	Si	224		Si O²	35,61
<b>40</b>	0	640			100.
		1348,4.			

No. 19.

Schwarzer Turmalin von Krumbach in Steiermark.

Bruchstück eines größeren Krystalls. Dünne Splitter sind blau durchsichtig, und das Pulver ist blaugrau.

V. G. = 3,183.

Beim Glühen sintert das grobe Pulver zu einer dunkelbraunen Masse zusammen.

Die Analysen haben ergeben:

	1.	2.	3.	4.
Si O <sup>2</sup>	36,19		36,09	36,46
Al O <sup>3</sup>			31,67	32,75
Fe O	12,63	13,62	12,51	12,54
MnO		0,64	0,39	0,48
MgO	2,31		2,49	2,15
CaO	0,35	0,35	•	0,60
Na <sup>2</sup> O		1,43		
K <sup>2</sup> O		0,46		
Fl	0,64	·		
Glühve	erlust	3,21		

Da  $0.64 \text{ Fl} = 0.87 \text{ Si Fl}^4$ , so sind  $2.34 \text{ H}^2 \text{ O}$  anzunehmen.

Die Eisenoxydulprobe mit H<sup>2</sup> SO<sup>4</sup> im zugeschmolzenen Rohr gab etwa 12 Proc., die mit Borax 13,4 Proc., woraus die Abwesenheit von Fe O<sup>8</sup> folgt.

Im Mittel enthält also dieser Turmalin:

					At.	
H O	<b>2,34</b>	==	H	0,26		<b>26</b>
K <sup>2</sup> O	0,46		K	0,38	1,0 )	= c
Na <sup>2</sup> O	1,43		Na	1, <b>9</b> 6	4,6 }	5,6
CaO	0,40		Ca	0,28	0,7	١
MgO	<b>2,32</b>		Mg	1,39	5,8	965
Mn O	1,50		$\mathbf{Mn}$	1,16	2	20,3
Fe O	12,82		Fe	9,97	18	)
Al O <sup>3</sup>	<b>32</b> ,21		Al	17,13		31
$(B^2O^3)$	10,27		В	3,23		<b>30</b>
Si O'	36,25		Si	16,91		60,4
_	100.					

### Es ist also

	100.		
t	also		
	11 (1) 1 107	angenon	
	Al: Si = 1:1,95		
	B: AI = 1: I	1:	I
	$\ddot{\mathbf{R}}:\mathbf{Al}=1:1,17$	1:	l
	$\dot{R} : \ddot{R} = 1 : 4,7$	1:	5
	$\dot{R} : H = 1 : 4,6$	1:	4.
	ŔŔ Al B Si	O10 =	=
	(Na, K)   Ř <sup>5</sup> Al <sup>5</sup> B <sup>5</sup> Si <sup>10</sup> (	<b>7</b> .50	
	(Na, K) ( R al B Si V	<b>.</b>	
	K: Na == 2:9 - Ga: M	n : Mg : ]	Fe 🛥
	1: 3	: 9 :	27
	4 H = 4 =	$H^2O$	2,15
	0.18  K = 7.02	K <sup>2</sup> O	0.50
	0.82  Na = 18.86	Na <sup>2</sup> O	-
	0.125  Ca = 5	Ca O	-
	$1,125\mathrm{Mg} = 27$	MgO	-
	$0.375 \mathrm{Mn} = 20.6$	MnO	
	3,375 Fe = 184	FeO	•
	5,37516 = 104 $5 Al = 273$	AlO <sup>s</sup>	
			•
	$\begin{array}{ccc} 5 & B = 55 \\ & & \end{array}$		10,44
П	Si = 280		35,84
ST. OF	0 = 800	1	00,
	1674,48.		

#### No. 20. (16.)

#### Schwarzer Turmalin von Alabaschka.

Neue Bestimmungen betreffen Si, Al, Fe, Mn, Mg. Ferner wurde der Fluorgehalt = 0,76 Proc. ermittelt, und das Fe O im Boraxglase in zwei Versuchen = 16,0 und 16,47 Proc. gefunden.

Danach sind die älteren Thonerdebestimmungen etwas zu hoch ausgefallen, denn das Mittel war:

		jetzt
Kieselsäure	35,74	36,19
Thonerde	34,40	30,41
Eisenoxyd	17,16	16,48
Manganoxydul	(17,10	0,54
Magnesia	1,76	1,88.

Nimmt man die zuletzt erhaltenen Werthe, die früheren Alkalibestimmungen, und berechnet aus 0.76 Fluor 1.04 Si Fl<sup>4</sup>, also 2.15-1.04=1.11 H<sup>2</sup>O, das Fe aber ganz und gar als Fe O, so erhält man

					At.	
H <sup>2</sup> O	1,11	=	H	0,12		12
K <sup>2</sup> O	0,47		K	0,39	1.	4.9
Na <sup>2</sup> O	1,02		Na	0,76	3,3	4,3
MgO	1,88		Mg	1,13	4,7	)
MnO	0,54		Mn	0,42	0,8	27,2
FeO	15,59		Fe	12,12	21,7	1
Al O <sup>a</sup>	30,4T		`Al	16,178		29,6
$(B_3 O_3)$	12,79		$\mathbf{B}$	4,02		36
Si O <sup>2</sup>	36,19		Si	16,90		60,3
-	100.					

	angenommen
Al: Si = 1: 2,04	1:2
B:Al=1:0.8	1:1
$\ddot{R}:Al=1:1,09$	1:1
$\dot{R} : \dot{R} = 1 : 6.3$	1:6,

Unter Annahme von Drittelsilikat muss dann

$$\mathbf{H}: \mathbf{\hat{R}} = \mathbf{5}: \mathbf{1}$$

seyn.

Indessen beweist die für das B vorhandene Differenz, die etwas zu groß ist, daß es an  $\ddot{R}$  und wohl auch an  $\ddot{R}$  fehlt, wie dann die Menge der (nur einmal bestimmten) Alkalien auffallend gering ist. Es dürfte also auch hier wie in anderen T.  $\dot{R}: \ddot{R} = 1:5$  zu setzen seyn; dann wird  $H: \dot{R} = 4:1$  (gefunden = 3:1).

Formel:

10 Si

50 O

$$\stackrel{\text{K K Al B Si}^2 O^{10}}{\text{(Na, K)}} = \frac{1}{100} = \frac{1}{100}$$

Berechnung:

K: Na = 1:3 Mn: Mg: Fe = 1:6:28.H<sup>2</sup> O 4 H =4 2,13 0.25 K 9.75 K<sup>2</sup> O 0,70 0.75 Na 17.25 Na<sup>2</sup> O 1,38 0,143 Mn 7,865 Mn O 0,60 0,857 Mg 20,568 Mg O 2.03 4 Fe 224 Fe O 17,01 5 Al 273 Al O<sup>8</sup> **30.3**3 B<sup>2</sup> O<sup>3</sup> 10,34 5 B 55

#### No. 21 (17).

280

800

1691,433.

Si O<sup>2</sup> 35,48

100.

Schwarzer Turmalin von Andreasberg.

Nach einem neueren Versueh ist der Glühverlust = 2,70 Proc., der Fluorgehalt = 0,85 Proc.

$$2,70 - 1,16 \text{ Si Fl}^4 = 1,54 \text{ H}^2 \text{ O}.$$

A. Mitscherlich bestimmte 17,14 und 17,29 Fe O. Meine Versuche geben im Mittel 19,33 Fe O<sup>2</sup> = 17,40 Fe O.

A. Stromeyer hat vor längerer Zeit aus diesem T. 8,47 — 8,83 B<sup>2</sup> O<sup>3</sup> erhalten.

Seine Zusammensetzung ist:

					At.	
H <sup>2</sup> O =	<b>=</b> 1,54	==	H	0,17		
K <sup>2</sup> O	0,58		K	0,48	1,2	1 20
Na O	1,36		Na	1,01	4,4	5,6
Ca O	0,72		Ca	0,51	1,3	}
MgO	0,78		Mg	0,47	2,0	070
MnO	0,11		Mn	0,08	0,1	27,8
FeO	17,40		Fe	13,68	24,4	)
Al O <sup>a</sup>	30,34		Al	16,14		29,6
$(B_3O_8)$	11,11		В	3,50		32
Si O <sup>2</sup>	36,06		Si	15,83		60
	100.					

Also:

angenommen

Al : Si = 1:2,03 1:2  
B : Al = 1,08:1 1:1  

$$\ddot{R}$$
 : Al = 1:1,06 1:1  
 $\dot{R}$  :  $\ddot{R}$  = 1:4,96 1:5.

Der T. von Andreasberg ist also

K: Na = 1:4 Ca: Mg: Fe = 2:3:35.H³ O Н 2,11 0,2 7,8 K<sup>2</sup> O K 0,55 0,8 Na Na<sup>2</sup> O 1,46 18,4 0,25 Ca Ca O 0,82 10  $0.375\,\mathrm{Mg}$ Mg O 0,88 9 4.375 Fe 245 Fe O 18,51 Al O3 30.14 Al 273 5 5 55 B<sup>2</sup> O<sup>3</sup> 10,28 280 Si O3 35,25 10 Si 0 800 **50** 100. 1702,2.

Die Turmaline No. 1 bis 21 charakterisiren sich durch das Verhältnis der zweiwerthigen Elemente (Mg, Fe) zum sechswerthigen Aluminium, welches das von 1:1 ist. Die ihnen allen zugeschriebene Formel

#### Ŕ Ŕ Al B Si2 Ó10

bedingt aber auch dasselbe Verhältnis zwischen den einund zweiwerthigen,  $\ddot{R}:\ddot{R}=1:1$ . Das erstere ist in den Analysen mit voller Sicherheit zu erkennen. Gilt gleiches aber auch für das letztere?

Zur Beurtheilung dieser Frage muß man sich daran erinnern, dass die einwerthigen Elemente der Turmalinmischung einerseits aus den Alkalimetallen Na und K, andererseits aus dem H des chemisch gebundenen Wassers bestehen, und ich darf behaupten, dass ihre Bestimmung kaum jemals genau ausfallen kann. Man wird diess für Kali- und Natronmengen, die kaum 2 Proc. betragen, ohne weiteres zugeben, noch mehr aber für das Wasser, dessen Menge auf dem immer ermittelten Glühverlust und dem nicht immer bestimmten Fluor beruht. Welchen Werth haben solche Fluorbestimmungen, und was beweist, dass der Glühverlust, als aus H2O und SiFl4 hervorgehend, alles Fluor in sich schliesst? Da das Fluor im T. doch ursprünglich nicht einzig und allein an Si gebunden ist, so mag der Vorgang beim Glühen viel verwickelter seyn, in keinem Fall giebt es ein Mittel, die Menge des Wassers genau zu bestimmen. Unter diesen Umständen halte ich es schon für genügend, dass die Hälfte der Analysen das Atomverhältnis H + R: R evident = 1:1 giebt (No. 2, 3, 5, 7, 8, 9, 10, 13, 15, 17, 18). mehre ihm nahe kommen und nur wenige entschieden abweichen, wie z. B.

No. 6 = 1,45:1 12 = 1 : 1,6 14 = 1 : 1,4 20 = 1 : 1,67.

Und dabei ist immer vorausgesetzt, dass die Bestimmung von Ca, Mg, Fe, Mn genau sey. Fehlen uns die Mittel, das Verhältniss zwischen dem Wasserstoff und den Alkalimetallen genau zu bestimmen, so müssen die Analysen doch mehr Aufschluss geben über dasjenige, welches zwischen letzteren und den zweiwerthigen Elementen (Ca, Mg, Mn, Fe) obwaltet. Hier können nur mangelhafte Methoden und Arbeiten irre führen. Im Folgenden sind die gefundenen Verhältnisse zusammengestellt.

(Na, K): Ř No. 17 1:3,25 1:3,37 16 1:3,71:3.9 1:4.0 8 1:4,3 3 1:4,518 1:4,6 19 1:4,7 7 1:4.8 21 1:4,96 11 1:5,29 u. 15 1:5,3 13 1:5,6 14 1:5,7 10 1:5,820 1:6.35 1:6,4 12 1:7,7.

Aus dieser Reihe folgt wenigstens mit Gewissheit, dass Ř: Ř bei diesen T. variirt; wenn ich aber in den speciellen Formeln der einzelnen T. nur die Verhältnisse

1:4 1:5 1:6

und demgemäss

H: (Na, K) = 3:1 4:1 5:1 angenommen hahe, so will ich doch gern zugeben, dass solche Annahmen in manchen Fällen willkürlich erscheinen, und dass zwischen H und den Alkalimetallen als gleichwerthigen Elementen vielfache Wechsel stattfinden können.

# No. 22. (18.)

#### Schwarzer Turmalin von Saar.

Neue Bestimmungen wurden gemacht von Fluor, Borsäure, Eisen, Mangan, Magnesia, Kieselsäure und Thonerde, von denen die letzte durch Zufall verloren ging.

Fluor	0,41			
Kieselsäure	35,74			
Borsäure	11,64			
Eisenoxyd	14,15	=	Fe O	12,73
Manganoxydul	0,28			
Magnesia	1,48			

Das Boraxglas war gelbgrün; es wurden 14,8 Fe O gefunden, was wenigstens beweist, dass kein Eisenoxyd vorhanden ist.

Die früheren Resultate binsichtlich dieser Bestandtheile waren:

	a.	<b>b</b> .	c.
Kieselsäure	<b>36,82</b>	<b>35,78</b>	
Thonerde	36,02	35,70	34,67
Eisenoxydul	} <b>13</b> ,31	14,06	13,41
Manganoxydul	10,01	14,00	10,41
Magnesia		1,55	1,52

$$0.41 \text{ Fl} = 0.56 \text{ Si Fl}^4$$
  
 $1.82 - 0.56 = 1.26 \text{ H}^2 \text{ O}.$ 

	Mittel:				At.	
H <sup>2</sup> O	1,26	=	H	0,14	14	
K <sup>2</sup> O	0,09		K	0,08	0,2 }	9.4
Na <sup>2</sup> O	0,98		Na	0,73	3,2 \	3,4
MgO	1,52		Mg	0,93	3,9	
Mn O	0,28		Mn	0,22	0,4	22,6
Fe O	13,17		Fe	10,24	18,3	
Al O <sup>3</sup>	35,46		Al	18,86	34,5	
$B^2O^8$	11,64		В	3,66	36	
Si O²	36,11		Si	16,85	60,2	
	100,51.					

Das Atomverhältniss Al : Si ist hier = 1:1,745. nach a ist es = 1:1,75

b = 1:1,70

Der kleinste Al-Gehalt (c) und der größte Si-Gehalt (a) geben es

= 1:1.8.

Ferner ist

B:Al = 1:0.96 = 1.04:1

 $\ddot{R}: Al = 1:1,5$ 

 $\dot{R} : \ddot{R} = 1 : 6.6$ 

Im Vergleich zu allen anderen Eisen-Turmalinen finden sich hier so geringe Mengen K und Na, und ein so hoher Thonerdegehalt, dass sie Zweisel an der Richtigkeit erwecken. Bei Mangel an Material ließen sich dieselben faktisch nicht heben, wir gestatten uns deshalb eine kleine Correction und nehmen an:

Al : Si = 1 : 2

B:Al=1:1

 $\ddot{\mathbf{R}}: \mathbf{Al} = \mathbf{1}: \mathbf{1}, \mathbf{5}$ 

 $\acute{R}: \H{R} = 1:2.$ 

Dann muss H: R = 4: 1 seyn und die Formel

 $\mathring{R}^5 \mathring{R}^2 Al^3 B^3 Si^6 O^{60} =$ 

 $\begin{pmatrix} \mathbf{H}^4 \\ (\mathbf{Na}, \mathbf{K}) \end{pmatrix} \ddot{\mathbf{R}}^2 \mathbf{Al}^3 \mathbf{B}^3 \mathbf{Si}^6 \mathbf{O}^{30} = 6 \dot{\mathbf{R}}^6 \mathbf{Si} \mathbf{O}^5$ 

Berechnung:

974.09.

## No. 23. (21.)

Blauer (blauschwarzer) Turmalin von Sarapulsk bei Mursinsk.

Fluorbestimmung. Die Menge des Fluors ist = 0,80 Proc. Glühverlust. Ein neuer Versuch in Platinfolie ergab 2,91 Proc. Das grobe Pulver war stark gesintert und hatte seine blaugraue Farbe mit einer grauen vertauscht. Einzelne Partikel erschienen fast weiß.

Da  $0.8 \text{ Fl} = 1.1 \text{ Si Fl}^4$ , so sind  $2.91 - 1.1 = 1.81 \text{ H}^2 \text{ O}$  entwichen.

## Bestimmung von Al, Fe, Mn, Mg.

a.	<b>b.</b>	
im ungeglühten	im geglühten	
Min.	Min.	Mittel
AlO <sup>3</sup> 30,46	32,60	31,53
$FeO^3$ 11,47 = $FeO$ 10,	32  11,43 = FeO  10,29	10,30
Mn O 2,60	2,77	2,68
Mg O 1,09	1,03	1,06.

Eisenbestimmung. A. Mitscherlich hatte 7,54 bis 7,65 Proc. FeO gefunden. Danach könnten 2,95 FeO<sup>3</sup> vorhanden seyn.

Zwei Boraxproben (braungelbes Glas) ergaben 12,5 und 11,7 Proc. FeO und hiernach glaube ich, das Eisenoxyd nicht oder in nur sehr geringer Menge vorhanden seyn kann.

Die Alkalibestimmung ist nicht wiederholt, aber es muß bemerkt werden, daß das Natron etwas Lithion einschließt.

Die hauptsächliche Differenz fällt der Thonerde zur Last, die früher im Mittel zu 36,17 Proc. direct bestimmt wurde. Auch jetzt wurden nahe kommende Größen, nämlich

erhalten.

Nachstehend die procentische Zusammensetzung des Ammoniakniederschlags beider Analysen, wobei die AlO<sup>3</sup> nach dem Glühen nochmals ausgewaschen war.

	a.	<b>b.</b>
Si O <sup>2</sup>	1,59	
MgO	1,83	2,06
Mn <sup>3</sup> O	6,13	6,45
FeO <sub>s</sub>	25,18	24,50
Al O <sup>3</sup>	69,84 ¹)	73,07
•	104,57	106,08.

Hiernach darf für den T. von Sarapulsk folgende Zusammensetzung angenommen werden:

				At.	
H <sup>2</sup> O	1,81	=	H 0,20	20	
K <sup>2</sup> O	0,33		K 0,28	0,7	07
Na <sup>2</sup> O(	Li) 2,37		Na 1,76	8,0	8,7
Mg O	1,06		Mg 0,63	2,6	)
Mn O	2,68		Mn 2,08	3,8	20,7
Fe O	10,30		Fe 8,01	14,3	)
Al O³	31,53		Al 16,77		30,8
(B <sup>2</sup> O <sup>3</sup> )	11,62		B 3,31		<b>30</b>
Si O <sup>2</sup>	38,30		Si 17,90		64
	100.				

Es sind also die At. von

Ein Drittelsilikat erheischt dann

 $\dot{R} : H = 1 : 4.$ 

Formel des vorigen.

1) Abermals aufgelöst und mit kohlensaurem Ammoniak gefällt == 69,0.

<b>K</b> :	Na = 1:	11. M	lg : M	<b>in : Fe</b> :	<b>2</b> :3:
	4 H =	= 4	=	H <sup>2</sup> O	3,68
	$\frac{1}{12}$ K	<b>3</b> ,25		K <sup>3</sup> O	0,40
	$\frac{11}{12}$ Na	21,08		Na <sup>3</sup> O	2,90
	¹ Mg	6		Mg (	1,03
	$\frac{3}{8}$ Mn	20,62		Mn O	2,73
	11 Fe	77		Fe O	10,14
	3 Al	163,8		Al O <sup>3</sup>	31,51
	3 B	<b>3</b> 3		$\mathbf{B_3} \mathbf{O_3}$	10,75
	6 Si	168		Si O <sup>2</sup>	<b>36,</b> 86
	<b>30</b> O	480		Ī	100.
	-	976,75.			

No. 24.

Blauer Turmalin von Goshen, Massachusets.

Bruchstück eines größeren Krystalls; die Masse scheinbar sehr rein, an dünnen Kanten blau durchscheinend. Pulver graublau.

V.-G. = 3.203.

Durch starkes Glühen sintert er sehr zusammen, wird dunkelbraun und verliert 3,33 Proc. Durch längeres Erhitzen tritt wieder eine Gewichtszunahme ein, wohl in Folge der Oxydation von Eisenoxydul; der Verlust betrug dann nur 2,98 Proc.

Analysen: 1, 2 und 3 mit kohlensaurem Natron; 4. des geglühten mit Fluorwasserstoffsäure, auf ungeglühten berechnet; 5. Bestimmung des Eisenoxyduls im Boraxglas.

	1.	2.	3.	4.	5.
Borsäure		10,65			
Kieselsäure	36,13	36,13	36,40		
Thonerde	33,60	32,87	33,57		FeO
Eisenoxyd	13,09	13,38	,		13,87
Manganoxydul	1,20	1,40	1,15		14,02
Magnesia	0,51	0,70	0,68		•
Lithion	,	•	•	0,84	
Natron				1,75	
Kali				0,40	
Fluor			0,82	•	

Besteht der Glühverlust aus Wasser und Fluorkiesel, so sind 0,82 Fl = 1,12 Si Fl<sup>4</sup> und es bleiben für Wasser 3,33 = 1,12 = 2,21 Proc. Das Mittel ist dann

Wasser	2,21	=	H	0,245	24,5	At.
Kali	0,40		K	0,332	0,85	)
Natron	1,75		Na	1,3	5,65	12,1
Lithion	0,84		Li	0,392	5,6	<b>)</b>
Magnesia	0,63		Mg	0,38	1,6	}
Manganoxydu	ıl 1,25		Mn	0,97	1,8	20,0
Eisenoxydul	11,95		Fe	9,29	16,6	)
Thonerde	33,35		Al	17,74	<b>32</b> ,5	
Borsäure	10,65		В	3,35	<b>30,</b> 5	
Kieselsäure	36,22		Si	16,90	60,4	
	99,25	-				•

### Hier ist das Atomverhältniss

3 B

6 Si

**30 O** 

33

168

480

971,9.

 $B_3 O_3$ 

Si O<sup>2</sup>

11,01

37,04

100.

No. 25.

Schwarzer Turmalin (Eisen-Turmalin) von S. Pietro auf Elba.

Dünne glänzende Prismen, in feinen Splittern theils grünlich, theils bräunlich durchscheinend. Geben ein graues Pulver.

Glühverlust = 2,54 Proc. Fluor = 0,47 Proc. = 0,64 Si Fl<sup>4</sup>.

a) Analyse mit kohlensaurem Natron; b) mit Fluorwasserstoffsäure.

•	a	b
Si O <sup>2</sup>	37,14	
Al O <sup>8</sup>	34,00	34,30
Fe O	10,52	
Mn O	2,00	1,75
Mg O	1,72	1,64
Li <sup>2</sup> O		0,32
Na <sup>2</sup> O		2,50
K <sup>2</sup> O		0,75

# Hieraus folgt:

					At.
H <sup>2</sup> O	1,90	= H	0,21		
K <sup>2</sup> O	0,75	K	0,62	1,6	)
Na <sup>2</sup> O	2,30	Na	1,70	7,4	11
Li <sup>2</sup> O	0,32	Li	0,15	2,0	)
Mg O	1,68	Mg	1,01	4,2	)
Mn O	1,87	Mn	1,45	2,6	21,4
Fe O	10,52	Fe	8,18	14,6	)
Al O <sup>3</sup>	34,15	Al 1	8,17		<b>33</b>
(B2 O3)	9,37	В	<b>2,9</b> 5		<b>27</b>
Si O <sup>2</sup>	37,14	Si 1	7,33		<b>62</b>
1	00				

	ang chominen
Al: Si = 1:1,87	1:2
B : Al = 1 : 1,2	1:1
$\ddot{R}: Al = 1:1,5$	1:1,5
$\dot{R} : \ddot{R} = 1:1,95$	1 : 2.

angenommen

Formel des vorigen.

K: Na: Li = 1:4	: 1 M	g: Mn: Fe == 3:2:11
4 H =	4 =	H <sup>2</sup> O 3,70
1 K	6,5	K <sup>2</sup> O 0,80
· 2 Na	15,33	Na <sup>2</sup> O 2,12
1 Li	1,16	Li <sup>2</sup> O 0,26
§ Mg	9	Mg O 1,55
¼ Mn	13,75	Mn O 1,83
$\frac{11}{8}$ Fe	71	Fe O 10,19
3 Al	<b>163</b> ,8	Al O <sup>3</sup> 31,68
3 B	33	B <sup>2</sup> O <sup>3</sup> 10,81
6 Si	168	Si O <sup>2</sup> 37,06
30 O	480	100.
•	971,54	

### No. 25 a.

Dunkler Turmalin (Magnesia-Eisen-Turmalin) von Elba.

Lose Krystallbruchstücke, dicke Prismen, zum Thill grün oder braun durchscheinend, im Ganzen den früher (No. 22) analysirten ähnlich.

Glühverlust = 3,34 Proc.

Fluor = 0.98 Proc. = 1.34 Si Fl<sup>4</sup>

Fe O im Boraxglas = 6,5 Proc.

Unter Annahme des früher gefundenen Alkaligehalts ist die Zusammensetzung:

	_			At	
H³ (	2,00	= H	0,22		
K³C	0,38	K	0,31	0,8 }	7.4
(Li) Na <sup>2</sup>	O 2,04	Na	1,51	6,6	7,4
Ca (	0,30	Ca	0,21	<b>0,5</b> \	
Mg	O 4,30	Mg	<b>2,58</b>	10,8 ( ,	326
Mn	O 3,59	Mn	2,78	5,0 (	23,8
FeC	5,43	Fe	4,22	7,5 }	
AlO	<sup>3</sup> 33,19	Al	17,66	;	<b>32,3</b>
(B <sup>2</sup> C	)°) 10,53	В.	3,31	;	30
Si O	38,24	Si	17,18	(	51,3
	100.				

Al: Si = 1:1,9 B: Al = 1:1,1  $\ddot{R}: Al = 1:1,36$   $\dot{R}: \ddot{R} = 1:3.2$ .

Die Analyse stimmt nicht mit der einer anderen Abänderung überein. Die geglühte Masse zeigte deutlich, dass die Substanz zum Theil Magnesia-Eisen-Turmalin war, denn dieser war zu einer schwarzen Masse geschmolzen oder gesintert. Dazwischen aber befanden sich zahlreiche weise Parthien, wie sie der hellgrüne Turmalin von Elba liefert.

Die Turmaline No. 22 bis 25, sämmtlich Eisen-Turmaline, unterscheiden sich von den vorhergehenden durch das Atomverhältnis

$$\ddot{R} : Al = 2 : 3$$

welches sich auch dann noch deutlich ergeben würde, wenn der Thonerdegehalt hie und da etwas zu hoch ausgefallen seyn sollte. Da Al: Si auch hier == 1:2 ist, so muß R: Si == 1:3 und nicht wie früher == 1:2 seyn, was sämmtliche Analysen zweifellos darthun.

Als Drittelsilikate müssen diese vier Abänderungen durch

# R 5 R 2 Al 8 B 8 Si 6 O 30

bezeichnet werden, d. h. es mus (H, K, Na, Li): R = 5:2 seyn. In den Analysen fehlt es nun immer an den einwerthigen Elementen, höchstens stellt sich das Verhältniss 2:1 heraus. Dieser Umstand darf aber, wie ich glaube, nicht hindern, diese vier Turmaline gleich allen anderen als Drittelsilikate zu betrachten, wenn man dabei berücksichtigt, dass sowohl die Angriffe, welchen ein Silikat auf seiner Lagerstätte ausgesetzt ist, als auch die Analyse einen Verlust an den einwerthigen Elementen zur Folge haben.

# No. 26. (23.)

#### Grüner Turmalin von Elba.

Nur eine Kieselsäurebestimmung bei Gelegenheit der früheren Untersuchung, überhaupt die genaue Feststellung des Atomverhältnisses der Hauptbestandsheile machte neue Versuche nöthig. Hierbei wurde das Fluor direkt = 0,50 Proc. bestimmt. Ferner ergaben zwei Versuche mit dem fast farblosen Boraxglas 1,86 und 1,66 Proc. Fe O. Kallfand sich gar nicht, dagegen 2\frac{1}{3} Proc. mehr Thonerde, so dass es scheint, als sey in den älteren Analysen der Rest derselben beim Fe, Mn, Mg geblieben und auch der Kalkniederschlag nichts als Thonerde gewesen.

Das Resultat der neuen Versuche ist:

Kieselsäure 37,74
Thonerde 41,89
Eisenoxyd 1,65 = Fe O 1,385
Manganoxydul 2,51
Magnesia 0,41

Wenn 0,5 Fluor = 0,68 Si Fl<sup>4</sup>, und der Glühverlust dieses T. = 3,28 Proc., so sind 3,28 - 0,68 = 2,6 H<sup>2</sup> O vorhanden.

Setzen wir die Alkalien der früheren Analyse in die neue, so erhalten wir:

•					At.
H <sup>2</sup> O	2,60	=	H	0,29	29
K <sup>2</sup> O	0,34		K	0,28	0,7 )
Na <sup>2</sup> O	2,40		Na	1,78	7,7 \ 13,3
Li <sup>2</sup> O	0,74		Li	0,345	4,9 )
MgO	0,41		Mg	0,246	1,0 }
Fe O	1,38		Fe	1,07	1,9 6,4
Mn O	2,51		Mn	1,945	3,5
AlO <sup>3</sup>	41,89		Al	12,28	40,8
$(\mathbf{B}_{\mathbf{i}}\mathbf{O}_{\mathbf{i}})$	9,99		В	3,14	28,5
Si O <sup>2</sup>	37,74		Si	1.7,61	63
	100.			•	

Hier ist:

	angenommen
Al: Si = 1:1,5	1:1,5
B:Al=1:1,4	1:1,5
$\ddot{R} : Al = 1 : 6,5$	1:6
$\ddot{R} : \dot{R} = 1 : 2.08$	1:2

Bei Annahme eines Drittelsilikats muß H: R = 1:1 seyn.

Hieraus folgt für diesen T. die Formel

$$\mathring{R}^4 \mathring{R} \mathring{A}l^6 B^4 Si^9 O^{45} = 9 \mathring{R}^6 Si O^5$$

oder speciell:

$$\frac{H^{2}}{(Na, Li)^{2}} \left\{ \begin{array}{l} \H{\rm R} \ Al^{6} \ B^{4} \ Si^{9} \ O^{48}. \end{array} \right.$$

Berechnung.

Na: Li = 1:	10:7. Mg	: Fe: Mn = 2
2 H =	= 2 =	H <sup>2</sup> O 1,26
0,11 K	4,3	K <sup>2</sup> O 0,36
1,12 Na	25,76	Na <sup>2</sup> O 2,42
0,77 Li	5,4	Li O 0,80
0,15 Mg	3,6	Mg O 0,43
0,31 Fe	17,36	Fe O 1,56
0,54 Mn	29,7	MnO 2,67
6 Al	327,6	Al O <sup>3</sup> 43,00
4 B	44	B <sup>2</sup> O <sup>3</sup> 9,78
9 Si	<b>252</b>	Si O <sup>2</sup> 37,72
45 O	<b>720</b>	100.
	1431,72.	

No. 27. (29.)

Rother Turmalin von Schaitansk.

Der Glühverlust = 3,45 liegt sehr nahe dem des rothen Turmalins von Elba. Unter Annahme von 0,7 Proc. Fluor =  $0.96 \text{ Si Fl}^4$  kommen  $3,45-0.96=2,49 \text{ H}^2 \text{ O}$  in Rechnung.

H <sup>2</sup> O K <sup>2</sup> O Na <sup>2</sup> O	2,49 0,21 1,53	=	H K Na	0,27 0,17 1,135	At. 27 0,4 5,0	8,6
Li <sup>2</sup> O	0,48		Li	0,224	3,2	0,0
CaO	0,62		Ca	0,44	1,0	
MgO	1,62		Mg	0,74	3,0 {	6,0
Mn O	1,53		Mn	1,19	2,0	
Al O <sup>3</sup>	<b>43,9</b> 7		Αl	23,39		<b>42,9</b>
(B <sup>2</sup> O <sup>3</sup> )	9,29		В	2,92		26,6
Si O <sup>2</sup>	38,26		Si	17,86		<b>63,8</b>
]	100.					

### Hier ist:

angenommen Al: Si = 1 : 1,491 :1,5 B:Al = 1:1,61 : 1,5  $\dot{R} : \ddot{R} = 1.4:1$ 1,33:1

 $\ddot{R} = 2\dot{R}$  gesetzt,

 $\ddot{R}: Al = 1 : 2.08 \quad 1 : 2.$ 

Dann muss H: R = 1:1 seyn.

Formel:

1401,26.

## No. 28. (23.)

Rother Turmalin von Paris in Maine.

In dieser Abänderung wurden neu bestimmt: 1) das Fluor; 2) die Borsäure; 3) die übrigen Bestandtheile mit Ausnahme der Alkalien.

Aus den gefundenen 1,18 Proc. Fluor (aus einem Ca Fl<sup>2</sup> berechnet, dessen Ca besonders ermittelt wurde) berechnen sich 1,61 Si Fl<sup>4</sup>, und folglich 3,61-1,61=2,00 H<sup>2</sup> O.

Das Resultat der neuen Versuche ist:

Fluor	1,18
Wasser	2,00
Kieselsäure	37,27
Borsäure	9,975
Thonerde	41,58
Manganoxydul	1,94
Magnesia	0,39
Kalk	0,45.

Fügt man das Mittel der früheren Si-, Al- und Alkalibestimmungen hinzu, so enthält dieser Turmalin:

·				At.
H <sup>2</sup> O	2,00 =	= H 0,2 <b>2</b>		<b>22</b>
K <sup>2</sup> O	0,68	K 0,565	1,4	)
Na <sup>2</sup> O	2,60	Na 1,93	8,4	17,6
Li <sup>2</sup> O	1,17	Li 0,546	7,8	)
Ca O	0,45	Ca 0,32	0,8	)
Mg O	0,39	Mg 0,23	1,0	4,5
Mn O	1,94	Mn 1,50	2,7	)
Al O <sup>8</sup>	42,63	Al <b>22,6</b> 8		41,5
(B <sup>2</sup> O <sup>3</sup> )	9,975	B 3,135		28,5
Si O <sup>2</sup>	38,19	Si 17,82		63,7
	100.02.			

Hier ist:

	angenommen
Al: Si = 1:1,53	1:1,5
B:Al=1:1,46	1:1,5
$\ddot{\mathbf{R}} : \dot{\mathbf{R}} = 1 : 4$	1:4

Formel:

$$\frac{H^6}{(K, \ Na, \ Li)^4} \ \Big\} \ \ \overset{''}{R} \ Al^{12} \ B^8 \ Si^{18} \ O^{90}.$$

### Berechnung:

## No. 29. (30.)

Rother Turmalin von Rozena.

Da dieser T. wahrscheinlich schon eine anfangende Veränderung in Lepidolith erfahren hat, so mag eine Discussion der früheren Resultate genügen.

Er verlor beim Glühen im Mittel 3,76 und gab 1,19 Proc. Fluor, so dass 2,57 H<sup>2</sup> O in Rechnung kommen und die Zusammensetzung ist:

					At.
H <sup>2</sup> O	2,57	=	H	0,28	
K <sup>2</sup> O	2,17		K	1,80	<b>4,6</b> )
Na <sup>2</sup> O	1,37		Na	1,02	4,4 } 11,7
Li <sup>2</sup> O	0,41		Li	0,19	2,7
MgO	0,61		Mg	0,36	1,5 )
Mn O	0,95		$\mathbf{Mn}$	0,73	1,4
Al O <sup>3</sup>	41,83		Al	<b>22</b> ,25	41
(B <sup>2</sup> O <sup>3</sup> )	8,93		В	<b>2</b> ,80	26
Si O <sup>2</sup>	41,16		Si	19,21	<b>68</b>
_	100.				

Hier ist

angenommen

Al: Si = 1: 1,66 1: 1,5 B: Al = 1: 1,58 1: 1,5  $\ddot{R}$ : Al = 1:14 1:12  $\dot{R}$ :  $\ddot{R}$  = 4: 1 4: 1.

Wenn man diese Verhältnisse annimmt, so ist der T. von Rozena

 $\overset{\prime\prime}{R}$  Al  $^{12}$  B  $^{9}$  Si  $^{18}$  O  $^{90}$ 

H6

# No. 30 (27).

Farbloser (röthlicher) Turmalin von Elba.

- a. Bestimmung von Fl, Si, Al, Mg, Mn. 4,027 = 0,058 Ca Fl<sup>2</sup> = Fl 0,02826 1,548 Si O<sup>2</sup> 1,756 Al O<sup>3</sup> 0,04 Mn<sup>3</sup> O<sup>4</sup> 0,0079 Mg O.
- b. Bestimmung des B.
   3,23 = 1,107 K B Fl<sup>4</sup> = 0,307414 B<sup>2</sup> O<sup>2</sup>.

-	_	-			
-	1	4	м		
111		₹.	м	,	-

		Mittel der früheren	Mittel
		Versuche	beider
Fi	0,70		
Si O <sup>2</sup>	38,44	39,27	38,85
$B^2 O^3$	9,52	7,87	
Al O <sup>3</sup>	<b>43,68</b>	44,41	44,05
Mn O	0,92	0,58	
Mg O	0,20	0,78	
		Li <sup>2</sup> O 1,22	
		Na <sup>2</sup> O 2,00	
		K <sup>2</sup> O 1,30.	

Der Glühverlust war = 3,37 Proc. Da 0,7 Fl = 0,96 Si Fl<sup>4</sup>, so bleiben für H<sup>2</sup> O 2,41, und die Zusammensetzung ist:

Also

Formel:

1) Einschliesslich R = 2 R.

## Nach der Analyse ist:

Die Rechnung stimmt, wie man sieht, mit den Analysen sehr gut überein. Wenn letztere durch ein Mehr von 0,5 Proc. chemisch gebundenen Wassers abweichen, so mußs man bedenken, daß dessen Menge unter der Voraussetzung gefunden ist, daß beim Glühen außerdem nur Fluorkiesel entweicht.

1401,932.

Das Atomverhältnis B: Si = 4:9 möchte man vielleicht einfacher, = 1:2 erwarten. Hierzu ist aber zu bemerken, dass dies Verhältnis auf 38,5 Si O² 11,2 B² O³ bedingt. Nun hat die ältere Borsäurebestimmung allerdings nur 7,06 Proc. ergeben, die Wiederholung aber nach einer bessern Methode, wobei 2½ Proc. mehr erhalten wurden, zeigt, wie gegründet die Zweisel waren, welche ich schon damals gegen die directe Borbestimmung äußerte ¹).

Die Turmaline No. 26 his 30 bilden die zweite Abtheilung der Gruppe, in welcher Al: Si = 2:3 ist. Die Analysen stellen diese Proportion mit großer Schärfe fest (wobei der T. von Rozena natürlich nicht in Anschlag kommen kann).

<sup>1)</sup> A. a. O. Bd. 80, S. 466.

Qualitativ weichen diese farblosen, grünlichen, röthlichen oder rothen durchsichtigen T. dadurch von den übrigen ab, dass sie eisenfrei und wesentlich lithionhaltig 1) sind. Blos der grünliche Turmalin von Elba enthält 1 Proc. Eisen.

Ganz besonders aber zeichnet sich diese Abtheilung durch das Zurücktreten der zweiwerthigen Elemente aus. In der ersten Abtheilung fand das Umgekehrte statt, auf 1 At. der Alkalimetalle kamen 2 bis 6 At. der Ä, während wir hier haben:

(K, Na, Li) : Kin No. 27 = 1,4 : 126 = 2 : 128. 29 = 4 : 130 = 9,7 : 1.

Man könnte sie deshalb Alkali-Turmaline nennen.

Wo die Borsäure direct bestimmt wurde (in No. 28 und 30), ergiebt sich B: Al = 2:3, und dasselbe Verhältnis folgt auch für die übrigen, wo jene aus der Differenz ermittelt wurde.

Verwandelt man die stets kleine Menge der zweiwerthigen (Mn, Mg etc.) in ihr Aeq. einwerthiger Elemente, und bezeichnet sie mit R, so hat man

No. 28  $\stackrel{'}{=}$  1 : 1,5 26 = 1 : 1,6 27. 30 = 1 : 2 29 1 = 1 : 2,3.

bestimmbar aber nur in No. 24 und 25.

In früheren Zeiten würde man diese Differenzen unerklärt gelassen oder den einzelnen Gliedern eine verschiedene Constitution zugeschrieben haben. Setzt man aber voraus, dass in dem Mineral noch ein K enthalten ist, der 1) Li ist auch in vielen T. der ersten Abtheilung enthalten, quantitativ Wasserstoff, und zieht diesen mit in Rechnung, so erhält man:

Es liegt also in dieser Abtheilung ein faktischer Beweis für die Gegenwart des Wasserstoffs in der Turmalinzusammensetzung.

Ist nun

$$Al : Si = 2 : 3$$
 $B : Al = 2 : 3$ 
 $R : Al = 1 : 1$ 

so ist der allgemeine Ausdruck für die zweite Abtheilung

$$\stackrel{\mathsf{R}^{6} \text{ Al}^{6} \text{ B}^{4} \text{ Si}^{9} \text{ O}^{45}}{\overset{\mathsf{R}^{6} \text{ Si O}^{5}}{\overset{\mathsf{O}}{\overset{\mathsf{O}^{5}}{\overset{\mathsf{O}^{5}}{\overset{\mathsf{O}^{5}}{\overset{\mathsf{O}^{5}}{\overset{\mathsf{O}^{5}}}{\overset{\mathsf{O}^{5}}{\overset{\mathsf{O}^{5}}}{\overset{\mathsf{O}^{5}}{\overset{\mathsf{O}^{5}}}{\overset{\mathsf{O}}}{\overset{\mathsf{O}^{5}}{\overset{\mathsf{O}^{5}}{\overset{\mathsf{O}^{5}}{\overset{\mathsf{O}^{5}}{\overset{\mathsf{O}^{5}}{\overset{\mathsf{O}^{5}}{\overset{\mathsf{O}^{5}}}{\overset{\mathsf{O}^{5}}}{\overset{\mathsf{O}}}{\overset{\mathsf{O}^{5}}}{\overset{\mathsf{O}^{5}}{\overset{\mathsf{O}^{5}}}}{\overset{\mathsf{O}^{5}}}{\overset{\mathsf{O}}}{\overset{\mathsf{O}^{5}}{\overset{\mathsf{O}^{5}}}}}}}}}}}}}}}}}}}}}}}}}}}}$$

Der Typus dieser Abtheilung ist der schöne Turmalin von Elba No. 30, dessen blafs röthliche Krystalle zum Theil ganz farblos sind. Er enthält nur 0,7 Proc. Mn und 0,1 Mg, und stellt wahrscheinlich in seinen ungefärbten Theilen einen reinen Alkali-Turmalin dar.

Noch viel weniger hat sich ein T. gefunden, der frei oder fast frei von einwerthigen Elementen wäre, ein solcher müste

$$\overset{\text{R* Al}^{2} B^{2} Si^{4} O^{20}}{=} \left\{ \begin{array}{c}
\overset{\text{R* Si O}^{5}}{=} \\
B^{2} Si O^{5} \\
2 \text{ Al Si O}^{6}
\end{array} \right\}$$

seyn.

Die beiden letzten Formeln bezeichnen die Normalglieder der beiden Turmalinabtheilungen.

## No. 31. (25.)

Grüner Turmalin aus Brasilien.

Mit dieser durch ihre Farbe, Durchsichtigkeit und Härte ausgezeichneten Abänderung habe ich neuerlich wiederholte Untersuchungen angestellt.

Der Gehalt an Fluor wurde dabei = 0,705 Proc. gefunden.

Der Glühverlust, früher zu 2,92 Proc. bestimmt, ergab sich bei einer Wiederholung = 3,19 Proc., und das grobe grüne Pulver war in eine stark gesinterte graugrüne Masse verwandelt.

Wenn  $0.705 \text{ Fl} = 0.965 \text{ Si Fl}^4 \text{ sind, so sind } 3.19 - 0.96 = 2.23 \text{ H}^3 \text{ O vorhanden.}$ 

Zwei Analysen mit kohlensaurem Alkali (a und b) und eine mit H Fl (c) mögen hier den Resultaten der früheren gegenübergestellt werden:

	früher	a	b	c
Si O <sup>2</sup>	<b>3</b> 8,55	38,01	37,55	
Al O <sup>3</sup>	37.8 - 39.0	35,60	37,83	38,83
Fe O	6,61	5,58	5,56	5,55
Mn O	0,73	1,37	1,01	1,42
Mg O	0,73	0,96	1,07	•
Li <sup>2</sup> O	1,20	•	·	1,39
Na <sup>2</sup> O	2,37	•		2,05
K <sup>2</sup> O	0,37			0,48

# Als Mittel folgt:

	U			At.	
H2O =	<b>=</b> 2,23 =	= ' H	$0,\!25$		
$\mathbf{K}^{2}\mathbf{O}$	0,42	K	0,35	0,9	)
Na <sup>2</sup> O	2,21	Na	1,64	7,1	} 16,7
Li <sup>2</sup> O	1,30	Li	0,61	8,7	)
MgO	0,92	Mg	0,55	2,3	)
MnO	1,13	Mn	0,88	1,6	12,0
FeO	<b>5,83</b> ¹)	Fe	4,53	8,1	)
Al O <sup>3</sup>	37,81 <sup>2</sup> )	Al	20,11		<b>36,8</b>
$(B^2O^3)$	10,09	В	3,17		29
Si O <sup>2</sup>	38,06	Si	17,76		<b>63,4</b>
	100.				

<sup>1)</sup> A Mitscherlich fand 6,74 Proc.

<sup>2)</sup> Direct bestimmt.

Der brasilianische T. gehört zu den reinsten, seine Durchsichtigkeit und Härte sind vollkommen. Die wiederholten Analysen dürften größere Fehler ausschließen, ihre Berechnung sollte also zu ganz bestimmten Resultaten führen.

Nun finden wir hier das fundamentale Verhältniss Al: Si weder = 1:2 noch = 2:3, sondern dazwischen liegend, denn 36.8:63.4 ist = 1:1.7. Will man dieses Mittel nicht gelten lassen, so folgt aus

- d. Minim. d. AlO3 u. d. Maxim. d. SiO2 1:1,85
- d. Maxim. " Minim. " 1:1,65.

Wer aber dennoch zweifelt, ob wir es nicht mit den Verhältnissen 1:2 oder 2:3 zu thun haben, möge sich die Mühe nehmen, die Rechnung unter dieser Annahme durchzuführen, er wird dann finden, daß, wenn Al Si² in diesem T. steckte, schon das Minimum der gefundenen Thonerde 41,6 Proc. Kieselsäure, und das Maximum der letzteren nur 32,9 Thonerde erfordern würde, d. h. meine Bestimmungen jedes dieser beiden Körper müßten um mindestens 3 Proc. zu groß oder zu klein seyn.

Wenn andererseits Al<sup>2</sup> Si<sup>3</sup> vorhanden wäre, so würde der höchste Thonerdegehalt (39 Proc.) doch nur 34,2 Proc. Kieselsäure bedingen, überhaupt aber letztere weniger betragen als jene, wovon gar nicht die Rede seyn kann.

Ich glaube also überzeugend dargethan zu haben, dass der T. aus Brasilien weder der ersten noch der zweiten Abtheilung angehört. Aber er vereinigt gleichsam die Charaktere beider in sich. Sein Gehalt an Eisen (Mn, Mg) erinnert an die erste, das Lithion und seine physikalischen Eigenschaften reihen ihn in die zweite ein. Es ist daher der nächstliegende Gedanke, ihn für eine isomorphe Mischung aus beiden zu halten, und es entspricht den gefundenen Werthen ganz gut, wenn man annimmt, die Zusammenlagerung sey im Verhältniss aequivalenter Mengen erfolgt, d. h.

2 Ř<sup>6</sup> Al<sup>6</sup> B<sup>4</sup> Si<sup>3</sup> O<sup>45</sup>  
9 Ř<sup>3</sup> Al B Si<sup>2</sup> O<sup>10</sup>  

$$\stackrel{\longrightarrow}{}$$
 Ř<sup>39</sup> Al<sup>21</sup> B<sup>17</sup> Si<sup>36</sup> O<sup>180</sup>,

### dann muss:

Al: Si = 7:12 = 1:1,714 | 1:1,72 B: Al = :1,235 | 1:1,27.

Mit den Analysen stimmt ferner die Theilung der 39  $\hat{R}$  in  $H^{_{10}}$   $\hat{R}^{_{10}}$   $\hat{R}^{_{7}}$  sehr gut, weil dann

 \begin{align\*} \begi

so dass die specielle Formel

 $\frac{H^{15}}{(K, \, Na, \, Li)^{10}} \left\{ \stackrel{H'}{R'} \, Al^{21} \, B^{17} \, Si^{36} \, O^{180} \right.$ 

ist:

#### Berechnung:

: Na : Li = 1:8:9Mn : Mg : Fe = 2 : 3 : 10.15 H =15 H<sup>2</sup>O 2,35 K<sup>2</sup>O  $0.56 \, \mathrm{K} =$ 21,67 0,45  $4.44 \, \text{Na} = 102.2$ Na<sup>2</sup> O 2,40 Li = 35 Li<sup>2</sup> O 1.30 1.4 Mg =33,6 MgO 0,98  $0.94 \, \text{Mn} =$ Mn O 1,16 51,3  $4,66 \, \text{Fe} = 261,3$ FeO 5,85 21 Al = 1146,6Al O<sup>3</sup> 37,53 B<sup>2</sup> O<sup>3</sup> 10,36  $17 \cdot B = 187$ Si O<sup>2</sup> 37,62 · 36 Si = 1008180 O = 2880100. 5741,67.

## No. 32. (26.)

Grüner Turmalin von Chesterfield.

Diese Abänderung ist im folgenden vollständig neu untersucht.

- 1. Glühverlust = 3,06 Proc. Das grobe Pulver war eine stark gesinterte grüngraue Masse geworden, in welcher durch die Lupe einige Quarzkörner sich bemerken liefsen.
- 2. Fluorbestimmung. Sie ergab 0,55 Proc., welche, 0,75 Si Fl<sup>4</sup> entsprechend, mit Rücksicht auf 3,06 Proc. Glühverlust auf 2,31 H<sup>2</sup> O führen.
- 3. Borsäurebestimmung. Aus dem KBFl' folgen 9,73 Proc. B<sup>2</sup> O<sup>3</sup>.
- 4. Zwei Analysen, a) mit kohlensaurem Alkali und b) mit HFl, deren Resultat ist:

	a.	ь.	
Si O <sup>2</sup>	41,84		
Al O <sup>3</sup>	34,32	35,67	(beide direct bestimmt)
Fe O <sup>8</sup>	6,33	6,65	
Mn O	0,86	0,68	
Mg O	1,48	1,85	
Ca O	0,27	0,42	
Li <sup>2</sup> O		1,24	
Na <sup>2</sup> O		2,85	
K <sup>2</sup> O		0,30	;

Es ist zu bemerken, dass dieser T. theilweise trübe, weich und in Glimmer verwandelt erscheint, so wie, dass die Substanz nicht ganz frei von Quarz war. Letzterem Umstande ist es zuzuschreiben, dass hier die SiO<sup>2</sup> noch mehr beträgt wie in den früheren Versuchen. Seine Farbe, sein V. G., sowie seine Zusammensetzung im Allgemeinen aber lassen keinen Zweifel, dass die Turmaline von Brasilien und von Chestersield identisch sind. Die bei jenem, als dem reinen und frischen, gewonnenen Resultate müssen also hier berücksichtigt werden.

Zieht man aus sämmtlichen Versuchen das Mittel, und

fügt die niedrigste Zahl für die Si O2 hinzu, so erhält man:

						A.	t.
H <sub>3</sub> O	2,31	-	H	0,26			
K <sup>2</sup> O	0,47		K	0,39	1)		
Na <sup>2</sup> O	2,47		Na	1,83	8 }	13,	8 ,
Li <sup>2</sup> O	0,72		Li	0,336	4,8 )		
CaO	0,50		Ca	0,36	0,9 )		
MgO	1,38	`	Mg	0,83	3,4 (	1.4	4
Mn O	0,78		Mn	0,60	1,1 (	14,	4
Fe O	6,38		Fe	4,96	9 )		
AlO <sup>8</sup>	36,80		Al	19,577		<b>36</b>	
$B^2O^3$	9,73		В	3,06		<b>28</b>	
Si O <sup>2</sup>	40,09	(38,46)	Si	18,71 (1	7,95)	67	(64)
Ī	101,63						

Dann ist:

Al: Si = 1:1,8 (1,77)

B : Al = 1 : 1,28

 $^{1}$  B : Si = 1 : 2,4

 $\ddot{R}: Al = 1:2,5$ 

 $\dot{R}: \ddot{R} = 1:1.$ 

Wird das erste Verhältniss gleich wie beim brasilianischen Turmalin = 7:12 = 1:1,714 . . . . angenommen, so wie

 $\ddot{R}: Al = 1:2,625$ 

 $\dot{R} : \ddot{R} = 1 : 1$ 

so folgt die fast identische Formel 1)

$$(K\ Na,\ Li)^{8} \ \ \tilde{R}^{8}\ Al^{31}\ B^{17}\ Si^{96}\ O^{180},$$

deren Berechnung, wenn

K : Na : Li = 1 : 8 : 5

Ca: Mn : Mg : Fe = 1 : 1 : 3 : 9

ist, ergiebt:

1) Ganz reines Material dürfte wohl die vollkommne Gleichheit beider Turmaline ergeben.

15	H	=	15	=	$H^2O$	2,34
0,5	7 K	===	22,23		K <sup>2</sup> O	0,47
4,5'	7 Na	=	105,11		Na <sup>3</sup> O	2,46
2,8	6 Li	=	20		Li <sup>2</sup> O	0,74
0,5	7 Ca	=	<b>22</b> ,8		Ca O	0,55
1,7	l Mę	<u> </u>	41		MgO	1,19
0,5	7 Mr	<b>1</b> ==	31,35		Mn O	0,70
5,1	5Fe	=	288,4		FeO	6,43
21	Al	= 1	146,6		Al O <sup>8</sup>	37,36
17	$\mathbf{B}$	=	187		B2O3	10,31
<b>3</b> 6	Si	<b>==</b> ]	1008		Si O <sup>2</sup>	37,45
180	0	= 2	2880			100.
		-	5767,49			

# III. Ueber Emission, Absorption und Reflexion der bei niederer Temperatur ausgestrahlten Wärmearten; von G. Magnus.

(Schlufs von S. 457.)

Gegen diesen zweiten Theil der Abhandlung, deren erster auf S. 481 dieses Bandes sich findet, hat Hr. Knoblauch einen besonderen Angriff gerichtet, S. 282 d. B. Er erwähnt darin zunächst, das ich früher seine Arbeiten der Akademie mitgetheilt und dass er mir seine Dissertation dedicirt habe. Weshalh Hr. Knoblauch dies hervorhebt, weis ich nicht, vermuthe aber, um den Fehler, den ich nach seiner Ansicht begangen habe, seine Arbeiten nicht zu kennen oder nicht erwähnt zu haben, greller hervortreten zu lassen.

Die Methode, welche Hr. K. als sein fünstes Prüfungsmittel der Wärme bezeichnet, nämlich die Durchstrablung verschiedener diathermaner Substanzen, kann nicht entscheiden, ob die Wärme einfach ist. Die Einfarbigkeit der von einem Körper ausgestrahlten Wärme kann nur nachgewiesen werden durch Bestimmung des Brechungsexponenten oder dadurch, dass dieselbe vollkommen absorbirt wird durch eine Substanz, welche alle anderen Wärmearten vollkommen durchläst; diess muss nach dem Kirchhoff'schen Satze die gleichartige Substanz seyn. Aber auch diese wird

nur dann so wirken, wenn die Temperaturverschiedenheit nicht zu groß ist; sonst ist es wahrscheinlich, daß die erwärmte Substanz noch andere Wärmearten aussendet als die nicht erwärmte aussendet und absorbirt, so scheint es sich z. B. mit dem Sylvin zu verhalten.

Die Versuche der Hrn. K. über Reflexion sind mit einem Argand'schen Brenner und anderen Wärmequellen angestellt, die eine große Mannigsaltigkeit von Strahlen aussenden, von denen gewisse durch die diffus reflectirenden Substanzen absorbirt werden, so daß man die übrigen reflectirt erhält. Diese in alle Lehrbücher übergegangene Thatsache zu erwähnen schien mir nicht angemessen, da es sich bei mein Versuchen um regelmäsige Reflexion von Strahlen handelte, die von einer Substanz ausgehen, die nur eine oder einige wenige Wellenlängen aussendet.

#### II. Ueber die Reflexion der Wärme.

### Einleitung.

Nachdem es gelungen war, die Wärme verschiedener bis 150° C. erhitzter Substanzen frei von den Strahlen der erhitzenden Flammen und anderer erwärmender Körper zu erhalten und es dadurch möglich geworden nachzuweisen, dass es Körper giebt, die nur eine oder einige wenige Wellenlängen ausstrahlen, während die meisten eine größere Zahl aussenden, konnte man versuchen die Frage zu beantworten, ob die Körper auch in Bezug auf ihr Reflexionsvermögen ähnliche Besonderheiten zeigen, namentlich ob solche Verschiedenheiten, wie sie in Bezug auf Emission, Absorption und Durchgang der Wärme bei Körpern, die sich gegen das Licht ganz gleich verhalten, beobachtet sind, auch in Bezug auf die Reflexion der Wärme vorkommen. Früher war solche Untersuchung nicht möglich, weil sich voraussehen liefs, dass Unterschiede in dem Reslexionsvermögen nur dann bestimmt erkennbar seyn würden, wenn Strahlen von nur einer oder von einigen wenigen Wellenlängen zur Anwendung kommen, da, wenn aus einer großen Anzahl verschiedener Wellenlängen auch einzelne vorzugsweise reflectirt werden sollten, dadurch die gesammte reflectirte Menge nicht merklich gesteigert wird.

100

Strahlen, die sämmtlich von einer oder wenigen Wellenlängen sind, konnte man auch schon früher herstellen, entweder indem man einzelne Theile eines mit einem Steinsalzprisma erzeugten Spectrums benutzte, oder indem man die Strahlen einer Wärmequelle, die viele Wellenlängen aussendet, z. B. die einer Lampe, durch Substanzen gehen ließs, die eine Anzahl dieser Wellenlängen absorbirten. Allein es giebt nur sehr wenig Substanzen, welche Strahlen von nur einer oder von wenigen Wellenlängen durchlassen, und außerdem sind diese durchgelassenen ebenso wie die durch das Prisma erhaltenen Strahlen von nur geringerer Intensität.

Trotz dieser Schwierigkeit haben die HHrn. La Provostaye und Desains<sup>1</sup>) schon im Jahre 1849 gezeigt, daßs von der Wärme einer Locatelli'schen Lampe, je nachdem sie durch Glas oder durch Steinsalz gegangen war, von Spiegelmetall, Silber und Platin verschiedene Mengen reflectirt werden, und zwar für alle reflectirenden Flächen von der durch Glas gegangenen weniger als von der durch Steinsalz.

Bald darauf haben Dieselben <sup>2</sup>) mit der mittelst eines Glasprismas zerlegten Wärme einer Lampe umfangreiche Versuche veröffentlicht, bei denen sich ebenfalls zeigte, daß die Wärme der verschiedenen Theile des Spectrums verschieden reflectirt wird. Allein sie haben ohne Zweifel wegen der geringen Intensität der auffallenden Wärme ihre Versuche auf die Reflexion durch metallische Oberflächen beschränkt. Jetzt, wo man in dem Steinsalz eine Substanz hat, die nur eine oder einige wenige Wellenlängen aussendet, und auch andere Körper kennt, die bei der Temperatur von 150° C. eine beschränkte Zahl von Wellenlängen ausstrahlen, war es möglich, die Versuche über die Reflexion auch auf nicht metallische Oberflächen auszudehnen.

<sup>1)</sup> Comptes rendus XXVIII, 501.

Annales de Chimie III. Ser., XXX, 159. Pogg. Ann. Ergänzungsband III, 411.

#### Versuche.

Die Art, wie die Versuche ausgeführt wurden, war folgende.

Die Platten, deren Wärme untersucht werden sollte, wurden, wie bei den Versuchen über Emission und Absorption, mittelst der Aerolampe erwärmt, und die Strahlen gingen, wie bei jenen Versuchen, zunächst durch eine Oeffnung, die sich in einem Schirm aus doppelten Metallwänden befand. Sodann durch eine zweite Oeffnung, die in einem ähnlichen Metallschirm angebracht war. Beide Schirme, AB und CD Fig. 8 Taf. III, waren 14cm von einander entfernt. Der erste AB war 7cm von der Lampe. Die Oeffnungen hatten bei den Versuchen, die in der Tabelle S. 588 mitgetheilt sind, 20mm im Quadrat.

Auch hier war, wie bei den früheren Versuchen, ein beweglicher Schirm FG zwischen der erhitzten Platte und dem ersten Diaphragma angebracht, außerdem aber noch ein zweiter PR zwischen beiden Diaphragmen. Beide wurden gleichzeitig entfernt, wenn die Beobachtung stattfinden sollte. Um dieß leichter bewerkstelligen zu können, war der Schirm FG so angebracht, daß er nur in die Höhe gezogen zu werden brauchte.

Hinter dem zweiten Diaphragma war eine horizontale mit einer Kreistheilung versehene Platte OQ, die  $30^{cm}$  im Durchmesser hatte, so angebracht, daß sie etwas tiefer als der untere Rand der beiden Oeffnungen sich befand und um eine verticale Axe drehbar war, deren Verlängerung durch die Verlängerung der die Mittelpunkte der beiden Oeffnungen verbindenden Linie ging. Auf dieser Kreisscheibe war eine dünne Platte VW befestigt, deren Mittellinie mit dem Durchmesser der Scheibe zusammenfiel. Auf derselben befand sich die mit einem Conus versehene Thermosäule. Um diese gegen Temperatur-Aenderungen zu schützen, war sie mit einem Glaskasten umgeben, aus dem der Rand des Conus nur um  $3^{mm}$  hervorragte. Ueber diesem Glaskasten befand sich noch ein Kasten aus Pappe LM, der überall nur  $10^{mm}$  von dem Glaskasten entfernt war. Er hatte nur

eine viereckige Oeffnung, genau so groß, wie die vorher erwähnten Oeffnungen. Die Wand des Kastens, in der diese sich befand, lag nahe an dem Rand des Conus, und ihr Mittelpunkt fiel in die Axe desselben. Wurde die getheilte Scheibe so gedreht, daß diese Wand des Kastens mit den vorerwähnten Schirmen parallel war, so lag der Mittelpunkt der in ihr befindlichen Oeffnung mit den Mittelpunkten der in den Schirmen angebrachten in einer Horizontalen, die zugleich die Axe der Thermosäule war. Der Abstand dieser Wand des Kastens von der Drehungsaxe betrug 10<sup>cm</sup>. Bei dieser Stellung der Säule konnte man die Erwärmung derselben bei direkter Bestrahlung beobachten.

Um aber die Reflexion zu untersuchen, war noch eine kleine getheilte Scheibe ZZ auf der Platte VW befindlich, die sich ganz unabhängig um die verticale Axe der Scheibe OQ drehen ließ. Auf dieser Scheibe wurde die reflectirende Platte vertical so befestigt, daß die verticale Mittellinie ihrer reflectirenden Ebene in die Axe der Scheibe PQ fiel.

Durch diese Einrichtung war es möglich, die Strahlen der ausstrahlenden Platte unter jeden Winkel auf die reflectirende Fläche fallen zu lassen, und die Säule so anzubringen, dass die reflectirten Strahlen zu ihr gelangten. Der Weg, den der Strahl von der erwärmten Platte bis zur Thermosäule zurückzulegen hatte, blieb dabei stets von gleicher Länge 64cm, die Bestrahlung mochte direkt oder durch Reflexion stattfinden.

Die Reflexion wurde bestimmt für verschiedene Einfallswinkel von 26° bis 70°. Größere Winkel anzuwenden, schien überflüssig, und wenn man kleinere benutzen wollte, trat die Thermosäule hindernd in den Weg der auffallenden Strahlen.

Substanzen, die man in hinreichend großen Platten erbalten kann, um ihre Reslexion zu untersuchen, giebt es ausser den Metallen und ihren Legirungen nur wenige. Die Metalle aber bieten unter sich keine große Verschiedenheiten dar, wie das schon aus den vorher erwähnten Versuchen von La Provostaye und Desains hervorgeht.

Zunächst wurde das Reflexionsvermögen von Silber, Glas, Steinsalz, Sylvin und Flusspath untersucht. Als ausstrahlende Platten sind dabei dieselben Substanzen benutzt worden, nur ist noch Kienruss auf Silber zum Vergleich hinzugefügt.

Die Zahl der Beobachtungen, die angestellt wurden, ist eine sehr große gewesen, besonders mit der von Steinsalz ausgesandten Wärme, da es darauf ankam, die auffallenden Erscheinungen, welche diese in Bezug auf Reflexion zeigt, festzustellen. Es wäre unnütz, diese Beobachtungen alle anzuführen. In der folgenden Tabelle ist für jede der ausstrahlenden Substanzen eine Reihe derselben enthalten. Fürjede ausstrahlende Substanz ist der bei direkter Bestrahlung, d. i. ohne Reflexion erhaltene Ausschlag des Galvanometers angegeben, damit man einen Vergleich für die Größe der Ausstrahlung habe. Die übrigen Beobachtungen sind nur nach Procenten der direkten Bestrahlung angeführt.

Man darf übrigens keine zu großen Ansprüche an die Uebereinstimmung der erhaltenen Werthe machen. Die reflectirenden Platten waren zwar alle eben geschliffen und polirt, aber es war schwer, sie immer ganz genau senkrecht einzustellen. Außerdem übt bei diathermanen Substanzen auch die Beschaffenheit der hinteren Fläche einen nicht unbedeutenden Einfluss auf die Reslexion. Endlich war es nicht möglich, die Beobachtungen andauernd hinter einander anzustellen, weil, wenn die Versuche während längerer Zeit fortgesetzt wurden, sich der der Aerolampe zunächst befindliche Schirm trotz aller angewandten Vorsicht so stark erwärmte, dass Wärme von ihm zur Säule gelangte. Dann mussten die Beobachtungen unterbrochen werden. Allein, wenn sie später wieder aufgenommen wurden, war es nicht möglich, die ausstrahlende Platte immer genau auf dieselbe Temperatur wie zuvor zu bringen.

					Ausstrahlende Substanz	stanz	
Reflecti	Reflectirende Platten		Kohle auf Silber 1)	Glas	Steinsalz	Sylvin	Flusspath
Ohne Reflexion oder direkt	xion		124.5 = 100	119,8 == 100	21,5 = 100	35,5 == 100	63,0 <b>=</b> 100
Silber polirt	reflectirt (unter	33° 45° 62°	93,6 pC. 94,4 93,6	88,8 pC. 89,4 94,2	84,8 pC. 89,4 96,9	83,8 P.C. 92,6 99,0	82,5 pC. 86,0 87,3
Glas	2	33. 62.	8,4	7,5 8,6 14,8	7,0 9,3 13,9	6,7 8,8 3,5	11,0 15,0
Steinsalz	*	33° 62°	8,3	7,6 8,2 12,9	6,0 8,4 12,8	6,5 8,1 10,8	4,9 10,0 11,7
Sylvin		33° 45° 62°	3,6	တွေ့ မေ့ ထွ က က က	4,6 6,0 10,7	2,73,8 7,40,	2,7 4,0 10,8
Flusspath	*	33° 62°	9,8	7,2 8,8 14,3	23,0 24,2 33,5	15,4 18,1 24,3	6,5 10,9 12,4

1) Die Kohle oder das Lampenschwarz befand sich nur in dünner Schicht auf der Silberplatte, weil es sich in dickerer Lage loslöste. Wahrscheinlich ist deshalb die Ausstrahlung etwas zu gening.

Aus dieser Tabelle erkennt man trotz der erwähnten Unsicherheiten der Beobachtungen, dass von der Wärme, welche die fünf angewandten Substanzen ausstrahlten, zwar nicht gleiche, aber nur wenig verschiedene Antheile unter demselben Winkel von den verschiedenen Platten reslectirt werden. Nur der Flusspath macht eine Ausnahme. Denn von den verschiedenen Wärmearten reslectirt unter dem Winkel von 45°

 Silber
 86
 bis
 94,4
 Proc.

 Glas
 8,4
 bis
 11

 Steinsalz
 8,2
 bis
 10

 Sylvin
 3,5
 bis
 6.

Der Flusspath dagegen restectirt unter demselben Winkel von der Wärme des Steinsalzes 24,2 Proc. und von der des Sylvins 18,1 Proc. Von den übrigen Wärmearten restectirt er dagegen nur ähnliche Antheile wie die übrigen Substanzen Glas, Steinsalz etc.

Reflexion an der Oberfläche von anderen Substanzen.

Außer den oben erwähnten reflectirenden Platten sind auch noch Platten von Selen, Kalkspath, Glimmer, Gyps, Quarz, Schwerspath, Kryolith, Chlorsilber, Salmiac, Alaun, Marmor und Paraffin angewendet worden. Es lassen sich bei einzelnen derselben wohl Verschiedenheiten in der Reflexion der verschiedenen Wärmearten erkennen, allein sie sind unbedeutend und haben kein sicheres Resultat geliefert. Dagegen reflectiren die verschiedenen Platten eine und dieselbe Wärmeart in sehr verschiedenem Maasse. Zum Theil mag diess davon herrühren, dass einige derselben, wie Kryolith, Salmiac, nicht den Grad von Politur oder Glätte annehmen wie andere, z. B. Quarz oder wie sie die Spaltungs flächen von Glimmer und von Kalkspath besitzen. Zum Theil aber werden diese Verschiedenheiten auch dadurch bedingt, dass die Platten mehr oder weniger diatherman sind. Denn bei diathermanen Platten findet die Reflexion nicht an der vorderen Fläche allein, sondern auch an der hinteren statt. Desshalb zeigt z. B. eine dünne Steinsalzplatte eine andere Reflexion als eine dicke, und je nachdem die hintere Fläche mehr oder weniger polirt ist, ändert sich der Einfluss derselben 1).

Nur vom Flusspath ist mit voller Sicherheit festgestellt, dass er ein bedeutend größeres Reslexionsvermögen für die vom Steinsalz und Sylvin ausgesandten Strahlen besitzt, als für alle andere Strahlen.

Es wäre möglich und ist sogar wahrscheinlich, dass auch noch andere Substanzen ein ähnliches, ausgezeichnetes Reflexionsvermögen besitzen, allein es ist klar, dass, wenn diess für eine von den vielen Wellenlängen, welche die meisten Körper aussenden, vorhanden seyn sollte, die gesammte Reflexion aller dieser verschiedenen Strahlen nicht in dem Maasse dadurch geändert würde, dass die Aenderung sich erkennen ließe. Am meisten würden Verschiedenheiten in der Reslexion bei Anwendung von Steinsalzwärme, die, wie in dem ersten Theile dieser Arbeit S. 449 gezeigt worden nur eine oder einige wenige Wärmearten enthält, hervortreten.

Auch hier bestätigt sich, was bei den Versuchen über Emission und Absorption bereits hervorgehoben, dass der Sylvin zwar eine große Menge von derselben Wärme wie das Steinsalz ausstrahlt, daneben aber auch noch andere Wärmearten, denn der Flußspath reflectirt von der Wärme des Sylvins nur 18,1 Proc., während er von der des Steinsalzes 24,2 Proc. reflectirt.

Reflexion unter verschiedenen Winkeln.

Die Werthe für die verschiedenen Ausstrahlungswinkel, welche in der Tabelle enthalten sind, bieten in so fern ein

1) Vielleicht hat auch die geringe Reflexion an der Sylvinfläche darin ihren Grund, dass die zur Reflexion benutzte Platte sehr dick und an ihrer Hintersläche unregelmäsig begränzt war. Ganz klare Platten von Sylvin, die eine hinreichende Grösse für die Reflexion haben, sind sehr selten. Die angewandte gehörte einem Krystall an, der 80mm im Durchmesser hatte und vollkommen wasserhell war. Es ist der grösste mir bekannte von solcher Klarheit, und ich habe nicht gewagt, ihn durchzuschneiden, da der Sylvin noch leichter als das Steinsalz zu zersprin-

Interesse, als sie zeigen, das die Aenderungen der Reslexion bei verschiedener Incidenz an der Obersläche von Silber sehr gering, an der von nicht metallischen Körpern aber ziemlich bedeutend sind. Ein ganz ähnliches Verhalten wie das des Silbers, haben die HHrn. De la Provostaye und Desains 1) auch bei fast allen andern Metallen beobachtet, als sie von ihnen die Wärme einer Moderateurlampe ressectiven ließen. Es scheint daher, das überhaupt bei den Metallen, bei denen die Menge der reslectirten Wärme sehr groß ist, die Unterschiede für verschiedene Einfallswinkel sehr gering sind. Wogegen bei den nicht metallischen Körpern, an deren Oberslächen viel geringere Mengen von Wärme reslectirt werden, die Unterschiede für die verschiedenen Einfallswinkel sehr viel bedeutender sich zeigen.

Die geringe Verschiedenheit der durch Silber unter den verschiedensten Einfallswinkeln reflectirten Wärmen bildet einen neuen Beweis dafür, dass die Fresnel'schen Formeln für die Reslexion der Wärme von Metallen nicht anwendbar sind. Das Maximum der Polarisation der von den Metallen reslectirten Wärme zu bestimmen, ist mir bei einer früheren Arbeit<sup>2</sup>) nicht gelungen. Es war daher unmöglich zu prüfen, in wie weit die von Cauch y gegebenen Formeln den vorliegenden Beobachtungen entsprechen.

Bei nicht metallischen Körpern, bei denen die Fresnel'schen Formeln sich für das Licht in so hohem Maasse bewährt haben, konnte man zweiseln, ob sie auch für die Wärme anwendbar seyen. Indess haben die HHrn. De la Provostaye und Desains 3) sie für leuchtende Wärme vollkommen bestätigt gefunden. Ebenso habe ich in einer

gen pflegt. Beim Flusspath, dessen Platten nicht groß genug für die Reflexion unter 62° waren, wurden zwei dünne Platten, die gerade Ränder hatten, dicht aneinander gesetzt.

<sup>1)</sup> Annales de Chim. III, Ser. XXX, 284. Pogg. Ann. Erganzungsband III, 435.

<sup>2)</sup> Ueber die Polarisation der Wärme von 100° C.

Mémoire sur la Polarisation de la chaleur par Refraction simple and Mémoire sur la Réflexion de la chaleur. Annales de Chim. III. Sér., XXX, 159 und 276. Pogg. Annal. Ergänzbd. III, 411 und 429.

Abhandlung Ueber die Polarisation der Wärme und ihren Durchgang durch parallele Platten!) gezeigt, dass auch bei dem Durchgang der dunkeln Wärme durch Platten von Glas oder Glimmer diese Formeln mit der Erfahrung vollständig übereinstimmen. Man wird sich daher annäherungsweise derselben für die Bestimmung der Intensität der gebrochenen Wärmestrahlen bedienen können. Für die vollständige Uebereinstimmung tritt aber noch die besondere Schwierigkeit ein, dass die größte Anzahl der nicht metallischen Körper mehr oder weniger diatherman sind. Man hat es daher nicht mit der an der vorderen Fläche allein reflectirten Wärme zu thun, sondern diese tritt mit der an der hinteren reflectirten gemischt aus.

Die große Menge von Steinsalzwärme, welche an der Obersläche des Flußspaths reslectirt wird, erklärt auch, weßhalb der Flußspath wenig oder gar nichts von dieser Wärme durchläßt und dennoch nur sehr wenig derselben ausstrahlt, was, wie oben S. 453 erwähnt, daraus hervorgeht, daß die von ihm ausgestrahlte Wärme nur wenig vom Steinsalz absorbirt wird.

# Ergebnisse.

Auch hier hat sich, wie bei den Versuchen über Emission und Absorption, bestätigt, daß der Sylvin zwar eine große Menge von Steinsalzwärme, daneben aber auch noch andere Wärmearten aussendet. Denn der Flußspath reflectirt von der Wärme des Sylvins unter 45° etwa 15 Proc., also weniger als von der des Steinsalzes und mehr als von der der übrigen ausstrahlenden Körper.

Wenn es ein Auge gäbe, das die verschiedenen Wellenlängen der Wärme ebenso wie die Farben des Lichtes zu unterscheiden vermöchte, so würde diesem, wenn die Strahlen des Steinsalzes auf verschiedene Körper fielen, der Flußspath heller als alle andern erscheinen. Fielen die Strahlen vom Sylvin auf dieselben, so würde der Flußspath

<sup>1)</sup> Pogg. Ann. CXXVII, 600.

auch heller als alle übrigen Körper erscheinen, aber nicht so hell wie bei Steinsalzbestrahlung.

Durch Melloni weiß man, dass die verschiedenen Substanzen die Wärme in sehr verschiedenem Maasse durchlassen, und dass die Wärmequelle, von der sie stammt, von bedeutendem Einfluss für die Durchlassung ist. Allein man unterschied die Wärmequellen nur nach ihrem Wärmegrad und wusste, dass mit zunehmender Temperatur die Mannigfaltigkeit der ausgestrahlten Wellenlängen zunimmt. In dem ersten Theile dieser Untersuchung ist gezeigt, dass auch bei einer und derselben Temperatur, und zwar bei einer, die sehr weit von der Glühhitze entfernt ist, bei 150°C., die verschiedenen Substanzen sehr verschiedene Wärmearten aussenden, dass also in jedem Raume eine ausserordentlich große Zahl verschiedener Wellenlängen, auch bei niederer Temperatur, sich kreuzen. Dazu kommt die soeben nachgewiesene sehr verschiedene Reflexion gewisser Wärmearten an einzelnen Oberstächen, so dass dadurch die Mannigfaltigkeit der Strahlen von dieser niederen Temperatur noch besonders vermehrt wird.

Ein Auge, das die verschiedenen Wellenlängen der Wärme wie die Farben des Lichts zu unterscheiden vermöchte, würde alle Gegenstände, ohne das sie besonders erwärmt wären, in den allerverschiedensten Farben erblicken.

# 'III. Zur Theorie der Farben; von Dr. J. J. Müller.

(Schluss von S. 431.)

Ueber die Abhängigkeit der Fluorescenz der Retina von der Wellenlänge und Intensität des auffallenden Lichtes.

Für die qualitativen Mischungsversuche werden von den Veränderungen, welche die Lichtstrahlen im Auge noch vor Poggendorff's Annal, Bd. CXXXIX. ihrer erregenden Wirkung erleiden, von besonderer Wichtigkeit die Aenderungen ihrer Brechbarkeit. Das Studium der Fluorescenz im Auge muss daher mit zu den Grundlagen der Farbentheorie gerechnet werden. Wie bekannt, zeigen sowohl Cornea und Linse als Retina Fluorescenz; es ist aber klar, dass nur die Fluorescenz der letzteren von wesentlichem Einslusse auf die Resultate der Farbenmischung seyn kann. Denn die von der Linse und Hornhaut ausgesandten Strahlen werden sich in diffuser Weise über die ganze Retina verbreiten und dürfen so dem Eigenlicht derselben zugezählt werden. Der Einsluss des letzteren muss aber auf alle Farben ein gleichmässiger seyn.

Zu größerer Einfachheit der Darstellung nenne ich im Folgenden: Fluorescenzlicht diejenige eigenthümliche Farbenerscheinung, welche beim Auffallen eines homogenen Lichtbüschels auf eine fluorescirende Substanz dem bloßen Auge sich darbietet; Fluorescenzspectrum, die prismatisch zerlegte Farbenerscheinung, die durch das Auffallen eines homogenen Lichtbüschels auf die fluorescirende Substanz neu erzeugt ist. Die Helligkeit und Farbe des Fluorescenzlichtes sowohl als die Mannigfaltigkeit des Fluorescenzspectrum und die Intensität jedes ihrer Elemente sind Functionen der Wellenlänge und der Intensität des auffallenden Lichtes. Diese Abhängigkeit soll für die Retina untersucht werden.

Die Untersuchung geschah an der herausgeschnittenen möglichst frischen Netina nach einer Methode, welche der von Hrn. Helmholtz angewandten 1) sehr ähnlich ist. Wie überall, wo es sich um Erkennen sehr geringer. Grade von Fluorescenz handelt, mußte auf die Retina Licht von nur einer bestimmten Brechbarkeit, dieses aber in möglichst großer Stärke, auffallen, was die Herstellung eines vollkommen homogenen und möglichst intensiven Strahlenbüschels bei vollkommener Abblendung alles diffusen Lichtes von der Retina forderte. Damit war dann auch von selbst die für die specielle Richtung der Untersuchung geeignete Methode gegeben. Weiter mußte jede Spur falsch dispergirten

<sup>1)</sup> Helmholtz, Pogg. Ann. Bd. 94, S. 205.

weißen Lichtes vermieden und einer Täuschung durch fremde Fluorescenz vorgebeugt seyn. Ich suchte diesen Forderungen in folgender Weise nachzukommen (Fig. 2 Taf. III).

Vom Heliostaten H reflectirt fielen die Sonnenstrahlen durch einen beliebig zu erweiternden verticalen Spalt s. von 4 Cent. Höhe in 3 Meter Entfernung auf eine achromatische Linse L von 40 Cm. Brennweite. In der Mitte der Brennweite nahm sie das Münchener Flintglasprisma P von 60° brechendem Winkel, die Kante vertical und im Minimum der Ablenkung auf. Das von ihm entworfene spectrale Bild des Spaltes s fiel auf den von Hrn. Helmholtz construirten Schirm S, es war sehr hell, aber unrein, ja in der Mitte in kleiner Ausdehnung ganz weiß. Von diesem Spectrum wurde jetzt ein kleiner Theil, einer bestimmten Brechbarkeit entsprechend, herausgegriffen, um ihm durch eine zweite Zerlegung die Homogenität zu verschaffen. Durch den einen Spalt S (er soll durch denselben Buchstaben bezeichnet seyn wie der Schirm) gedrungen, siel nämlich dieser Theil in 25 Cm. Entfernung auf ein verticales Quarzprisma p, von 50" brechendem Winkel. Unmittelbar hinter ihm stehend, entwarf eine achromatische Linse l von 5 Cm. Brennweite ein spectrales Bild von S auf einem schwarzen Schirm s2 aus Carton. Dieses Spectrum zeigte den sehr hellen linearen Streifen, welcher der gewählten Farbe entsprach und jetzt als homogen betrachtet werden konnte; daran schloss sich die Reihe der schwächeren Farben, die von der ursprünglichen Beimischung von Weiss zu jenem Streifen herrührte. Der Schirm sa enthielt einen verticalen, beliebig zu erweiternden Spalt. Ueber seine Rückseite wurde die Netzhaut in nicht zu dicker Lage ausgebreitet; sie blieb meistens ohne Weiteres auch in dieser verticalen Lage sofort an ihm haften. Dem Spalte wurde eine solche Lage gegeben, dass nur die intensive gewählte Farbe durch ihn auf die Netzhaut fiel. Auf der letzteren war dann von der Rückseite aus nur dieses eine helle Bild zu sehen. wurde durch ein zweites Quarzprisma p2 nicht in der Richtung des direct durchgehenden Lichtes betrachtet. Die brechende Kante dieses Prisma kann horizontal nach der Methode von Stokes, oder, was vielleicht hier noch passender ist, ebenfalls vertical wie diejenige der übrigen gestellt seyn.

Die Versuche waren immer an sehr hellen Sommertagen angestellt. Das Beobachtungszimmer war möglichst verdunkelt, eine Reihe aufgestellter Schirme suchte das noch vorhandene Licht von der Retina abzuhalten. Um dasjenige Licht, das in  $p_i$  und l etwa noch diffus zerstreut worden war, fortzuschaffen, war unmittelbar vor dem Schirme  $s_i$  eine blaue Glasplatte B aufgestellt. Durch die besondere Art der Application der Retina war endlich jede Fluorescenz eines Trägers (z. B. von Glasplatten, in deren Wahl man nicht vorsichtig genug seyn kann) ausgeschlossen. Die Versuche waren immer an ganz frischen, unmittelbar nach dem Tode des Thieres herausgeschnittenen Rindsaugen angestellt.

Es ist ersichtlich, dass die oben präcis gesalste Aufgabe sich bei der Retina nicht in der Allgemeinheit in genauen Messungen lösen lässt, wie es dort gesordert ist. Es giebt aber einzelne ausgezeichnete Punkte, deren Kenntniss ein vollkommen richtiges Gesammtbild jener Function verschafft. Diese suchle ich zu ermitteln.

Zunächst lässt sich die Abhängigkeit des Fluorescenzspectrum von der Wellenlänge des erzeugenden Lichtes im Allgemeinen leicht auf folgende Weise demonstriren. Der Spalt S steht zunächst im Violett, etwa in der Mitte zwischen den Linien G und H. Man sieht durch p, ein helles violettes Bild, an welches sich ein zwar schwaches, aber doch sehr deutliches Spectrum anreiht, das mit Ausnahme des Violett sämmtliche Farben des gewöhnlichen prismatischen Sonnenspectrum zeigt. Wird die blaue Glasplatte B unmittelbar vor das Prisma p<sub>2</sub> gehalten, so verschwindet das Fluorescenzspectrum vollständig. - Jetzt wird der Spalt S durch Drehen der verticalen Schraube des entsprechenden Schlittens oder, bei größeren Excursionen durch Verschiebung des ganzen Schirmes in seiner eigenen Ebene gegen die weniger brechbaren Strahlen gerückt, die blaue Glasplatte steht wieder vor der Retina. Sofort wird das Fluorescenzspectrum sichtlich schwächer, und wenn S im weniger brechbaren Blau angekommen ist, so verschwindet es gänzlich. Man sieht in diesem Falle nur das helle blaue Bild des primitiven Spectrum. Für das Indigo ist dagegen das Fluorescenzspectrum bei vollkommen richtiger Accommodation noch mit Sicherheit zu erkennen; es ist auch da ganz vollständig. — Wird nun der Spalt S wieder in's Violett gerückt, so ist das Fluorescenzspectrum wieder in relativ starker Helligkeit da. Dieses Wechselspiel läßt sich beliebig wiederholen. Es geht daraus hervor, daß bei den betreffenden Intensitätsverhältnissen des Versuches  $(s_1 = 6^{\text{mm}}, S = 2,5^{\text{mm}})$  die Retina relativ starke Fluorescenz zeigt im violetten Lichte, nur sehr schwache im Indigo, keine oder wenigstens kaum erkennbare Spuren im Cyan.

Wird andererseits der Spalt S von der Mitte zwischen G und H gegen das Ende des Violett gerückt, so nimmt die Fluorescenz ebenfalls sehr ab, um für die ultravioletten Strahlen eine minimale zu werden. Diese Beobachtungen mit den erstern zusammengehalten ergeben, das für das Sonnenspectrum die Fluorescenz der Retina zwischen G und H ein Maximum erreicht, und nach beiden Seiten sowohl gegen die weniger brechbaren als gegen die brechbareren Strahlen hin rasch abnimmt.

Ich suchte nun näher zu bestimmen, für welche Wellenlänge des Sonnenspectrum die Fluorescenz der Retina eben merklich zu werden anfange. Hiezu stellte ich den Spalt S zunächst wieder in das Violett, ich sah dann ganz deutlich das Fluorescenzspectrum. Hierauf verschob ich S so lange in das Blau, bis ich bei der größten Aufmerksamkeit noch die geringste Spur von dem Fluorescenzspectrum wahrnahm. Wurde dann der Spalt S mittelst der verticalen Schraube noch ein wenig gegen das weniger brechbare Ende verschoben, so verschwand auch diese letzte Spur. Sie wurde jedoch wieder hergestellt und hierauf, analog wie bei der Bestimmung der ausgezeichneten Wellenlänge des Grün, durch einige Ablesungen an der Scala des Schlittens der Ort bestimmt, welchen der Spalt im Spectrum einnahm. Macht man, was bei der hier überall erreichbaren Genauig-

keit wohl erlaubt ist, die Voraussetzung, das beim Uebergange von F nach G die Aenderung der Wellenlänge proportional der Entfernung von F erfolgt, so läst sich aus den Wellenlängen dieser Linien leicht diejenige jenes Ortes finden.

Die Messungen wurden bei derselben Breite ( $6^{mm}$ ) des Spaltes  $s_1$  an einem ganz frischen Stücke Retina so rasch hinter einander ausgeführt, als es die Sorgfalt, mit welcher Einstellung und Ablesung geschehen mußten, erlaubte. In der von ihnen in Anspruch genommenen Zeit konnten weder die Eigenschaften der Retina (durch Austrocknung), noch die Helligkeit des Sonnenspectrum (durch Aenderung des Standes der Sonne) sich wesentlich geändert haben. So fand ich in drei Wiederholungen die Wellenlänge für den Anfang der Fluorescenz (in Milliontel Millimetern):

大のはない はないのとれて、これのないないないないないとないいないと

448,1; 145,0; 445,2.

Eine weitere Versuchsreihe bezog sich auf die Abhängigkeit des retinalen Fluorescenzspectrum von der Helligkeit des Sonnenspectrum. Es leuchtet ein, das bei der obigen Anordnung der Versuche eine Variation der Helligkeit des Sonnenspectrum einfach durch Aenderung der Breite des Spaltes  $s_1$  erzielt werden konnte. Da das Fluorescenzspectrum, wie oben erwähnt, auch bei der geringsten eigenen Helligkeit ein vollständiges war, so war jetzt weiter nicht auf eine Aenderung seiner Mannigfaltigkeit zu achten. Den Einflus der Helligkeit des Sonnenspectrum auf seine Intensität glaubte ich am Passendsten in folgender Weise darzulegen.

Der Spalt  $s_1$  hat zunächst eine geringe Breite; S wird so lange gegen das weniger brechbare Blau verschoben, bis das Fluorescenzspectrum eben verschwindet. Nun wird  $s_1$  weiter gemacht; dann tritt sofort das Fluorescenzspectrum deutlich hervor, während es bei Reduction der Breite von  $s_1$  auf den ursprünglichen Werth wieder verschwindet. Die Helligkeit des Fluorescenzspectrum wächst also mit der Intensität des Sonnenspectrum. Mit dem Wachsen des letzteren rückt der Ort, wo das Fluorescenzspectrum eben merklich wird, in dem Sonnenspectrum gegen das weniger brechbare Ende.

Um eine Anschauung davon zu gewinnen, wie viel sich der Anfang der Fluorescenz bei bestimmter Aenderung der Intensität des Sonnenlichtes in der Scala seiner Wellenlängen verschiebt, war nur für eine Anzahl von verschiedenen Breiten des Spaltes  $s_1$  der Ort des Anfanges der Fluorescenz zu bestimmen. Ich habe solche Messungen in der oben beschriebenen Weise ausgeführt für die Spaltbreiten 3, 6,  $9^{mm}$ . Die Beobachtungen waren wieder an demselben Stücke Retina und möglichst rasch nach einander ausgeführt. Es ergaben sich in der Reihenfolge jener Breiten folgende Wellenlängen für den Anfang der Fluorescenz:

429,1; 451,4; 464,6.

Bei der ersten Erweiterung des Spaltes s<sub>1</sub> rückte also der Ort des Anfanges der Fluorescenz um 22,3, bei der zweiten ebenso großen um 13,2 Einheiten der Wellenlänge gegen die größeren Wellenlängen.

Die Resultate der Beobachtungen über die Fluorescenz der Retina für die unter gewöhnlichen Verhältnissen sichtbaren Strahlen des Sonnenspectrum sind also:

Die Helligkeit des Fluorescenzlichtes erreicht zwischen G und H ein Maximum und nimmt sowohl gegen das Blau als gegen das violette Ende rasch ab. Sie wächst mit der Helligkeit des erregenden Lichtes.

Die Mannigfaltigkeit seiner Strahlen umfast alle Strahlen von der Wellenlänge des erregenden Lichtes bis zum Roth. Das Fluorescenzlicht ist daher weistlich.

Der letzte Punkt scheint eine kleine Abweichung von den Resultaten der Untersuchungen, die Hr. Helmholtz über die Fluorescenz im ultravioletten Lichte 1) ausführte, darzubieten. Im Fluorescenzspectrum der ultravioletten Strahlen fehlt nämlich das Roth. Ursache dieser Verschiedenheit mag die sehr viel geringere Intensität des ultravioletten Lichtes gegenüber der Intensität der oben angewandten Strahlen seyn. Diess musste einmal eine geringere Intensität des Fluorescenzlichtes bedingen, als es hier der Fallwar. Weiter fehlte das sehr helle Bild des primitiven

<sup>1)</sup> Helmholtz, Pogg. Ann. Bd. 94, S. 205.

Spectrum, das sich hier überall an das Fluorescenzspectrum anschloß und daher ein relatives Zurüchtreten des Grün und Blau gegenüber dem Roth bedingen konnte. Damit war in den Versuchen des Hrn. Helmholtz die Möglichkeit gegeben, noch grüne und blaue Strahlen wahrzunehmen, wo keine rothen mehr vorhanden waren, was in den meinigen nicht der Fall war. Der Ausdruck der thatsächlichen Verhältnisse mag daher der seyn: Wenn die Helligkeit des retinalen Fluorescenzlichtes einen gewissen Grad erreicht, so sind alle Strahlen in ihm enthalten von der erregenden Farbe bis zum Roth; erreicht sie jenen Grad nicht, so fehlt das Roth. Dort muß daher die Farbe desselben eine weißliche, hier eine bläulichgrüne seyn.

Absorptionserscheinungen im Auge müssen namentlich auf quantitative Bestimmungen in Farbenmischungen von größetem Einslus werden. Sie mögen daher hier wenigstens angedeutet werden. Bekanntlich hat schon Hr. Stokes in seiner berühmten Abhandlung über die Fluorescenz vielfach aufmerksam gemacht auf den Zusammenhang zwischen Fluorescenz und Absorption. Die Intensitäten beider entsprechen sich stets, beide erreichen in demselben Orte des primären Spectrum ihm Maximum 1). Daraus folgt zunächst, dass in der Retina eine Absorption der Lichtstrahlen auftritt, die für das Violett eine maximale ist.

Bei Hornhaut und Linse ist für das Violett eine starke Fluorescenz nachgewiesen<sup>2</sup>). Für das Blau ist sie, wenigstens für größere Intensität, ebenfalls sicher. Man überzeugt sich davon leicht an seinem eigenen Auge wie für das Violett. Fällt ein sehr helles blaues Strahlenbüschel von der Seite her auf die Cornea, so verbreitet sich im Gesichtsfelde ein weißlich grüner Schimmer, während ein zweiter Beobachter die Linse in ähnlichem Lichte erblickt. Daraus ergiebt sich eine Absorption der blauen und violetten Strahlen durch Hornhaut und Linse von selber.

Die schon erwähnte eigenthümliche Absorption der blau-

最の是 我時間では 一年を

<sup>1)</sup> Stokes, Ueber die Veränderung der Brechbarkeit des Lichtes. Phil. Trans. 1852 (II.) Pogg. Ann. Ergzb. IV, 227.

<sup>2)</sup> Helmholtz, phys. Optik. 233. 267.

grünen Strahlen im Pigmente des gelben Fleckes ist neuerdings von den HH. Maxwell, Helmholtz und M. Schultze hervorgehoben worden.

Die hier hervorgehobenen Sätze gewinnen für die Theorie der Farbenmischung Wichtigkeit. Vor allem ist hervorzuheben, dass im Auge des Beobathters die Fluorescenzerscheinungen unzweifelhaft schon bei viel geringeren Intensitäten des auf die Retina fallenden Lichtes, als die obigen sind, einen solchen Grad erreichen, dass sie von Einstus seyn müssen auf die durch jenes Licht bewirkte Empfindung. Es wurde schon angedeutet, dass in den obigen Versuchen die allerschwächsten Grade der Fluorescenz, die das Auge des Beobachters an einer präparirten Netzhaut wahrzunehmen im Stande ist, wahrscheinlich nicht beobachtet wurden. Aber wäre auch dieser Grad erreicht gewesen, so bliebe noch zu erwägen, dass die Intensität des Fluorescenzlichtes durch Zusammensetzung der Intensitäten der einzelnen Farben im Fluorescenzspectrum entsteht, und dass die Strablen des letzteren von der präparirten Retina aus bis auf die Retina des Reobachters ein sehr complicirtes System von Medien zu durchlaufen haben. In dem zerlegenden Prisma sowohl, als in den Medien des Auges ist dabei reichliche Gelegenheit zu Reslexion und Absorption und damit zur Reduction der kleinen Lichtmasse unter ihren Schwellenwerth geboten. Diess alles fällt bei der Flueres cenz im eigenen Auge weg.

Die Fluorescenz der Retina wirft sofort neues Licht auf die Thatsache, dass unter allen Theilen des Spectrum der Farbenton des violetten (und übervioletten) Lichtes am veränderlichsten ist bei veränderter Lichtstärke. Insbesondere dürfte beim Violett und Blau der Uebergang in Weiss bei gesteigerter Intensität durch die Fluorescenz unterstützt seyn. Und in der That, er zeigt sich gerade bei diesen Farben am aller Auffallendsten, während doch der bevorzugte Uebergang einer Grundfarbe in Weiss sehr sonderbar erscheinen muss.

Es sind jetzt die obigen qualitativen Mischungsversuche zu beleuchten. Wie bereits angemerkt, kann bei ihnen von den Absorptionserscheinungen ganz abgesehen werden, denn diese können ja nur auf die Mengen der Farben Einfluss haben, die gar nicht bestimmt wurden. Fluorescenzerscheinungen können aber wiederum nur in den Fällen, wo Blau oder Violett in die Mischung getreten sind, vermuthet werden. Hier treten nun zwei Hauptfälle auf, die Mischungen von Blaugrün (F) und Violett zu spectralem Blau und von Roth mit Indigo zu einem Violett, das oft fast ebenso gesättigt wie das spectrale erscheint.

Es sollen zunächst das homogene und gemischte Blau betrachtet werden. Hier ist die Helligkeit des spectralen Blau zwar größer als die des Violett. Für das Violett ist aber die Fluorescenz relativ größer, ihre absolute Stärke darf also wohl als nahe gleich der des Blau angenommen werden. Dann ist beiden Farbenempfindungen Blau Weiss in gleichem Maasse beigemischt und ihre Gleichheit bedingt daher auch Gleichheit der Sättigung der Farbenempfindungen, die wir ohne Fluorescenz haben würden. - Liegen aber ein homogenes und gemischtes Violett vor, so verhält sich alles umgekehrt. Die Helligkeit des Violett ist größer als die des Blau, und das Blau hat eine schwächere relative Fluorescenz. Diess bedingt, dass dem gemischten Violett sehr wenig Weiss beigemischt ist, während das homogene durch solches sehr verändert seyn kann. Hier also wird die Mischfarbe verglichen mit einer schon weisslich gemachten Farbe. Wenn sie daher dieser gleich ist, so muss diess als ein Beweis dafür angesehen werden, dass die Mischfarbe weisslich ist. Wenn sie aber, wie ich wirklich beobachtete, noch weniger gesättigt ist als die homogene Farbe, so ist diess ein Beweis a fortiori für die Beimischung von Weiss.

Nach dieser Discussion der Fluorescenz der Retina können die oben mitgetheilten Beobachtungen im Verbande mit den übrigen Thatsachen der Mischung der Spectralfarben in folgendem *Mischungsgesetze* ausgedrückt werden:

1) Es giebt im Spectrum zwei Gebiete (Roth bis b und Violett bis F), innerhalb deren jede Combination von zwei Farben in stetig sich änderndem Verhältnisse ihrer Mengen Mischfarben giebt, die einem stetigen Uebergange der Far-

bentöne von der einen zur andern Farbe im Spectrum entsprechen.

- 2) Es giebt im Spectrum Combinationen von zwei Farben, welche für ein stetig sich änderndes Verhältnis ihrer Mengen Mischfarben liefern, die einer stetigen Aenderung der Sättigung der einen und andern Farbe bis zu reinem Weis entsprechen (Complementärfarben).
- 3) Alle übrigen Combinationen zweier Farben des Spectrum in allen möglichen Verhältnissen der Mengen geben, wenn die Farben weniger weit von einander entfernt sind als Complementärfarben, die zwischen ihnen liegenden Farben des Spectrum, wenn sie aber weiter von einander abstehen als Complementärfarben, die Farben zwischen jeder von ihnen und dem entsprechenden Ende des Spectrum und Purpur je in variabeler Sättigung.

Eine Anschauung von der Genauigkeit dieses Gesetzes gewährt ein Blick auf die physikalischen und physiologischen Leistungen der Apparate. Die Forderung an die im Versuche benutzten Instrumente ist, homogene Farben für die Mischung zu liefern. Die Reinheit einer Farbe verlangt ') zunächst, dass der ihr entsprechende austretende und einfallende Strahl gleiche Winkel mit den Flächen des Prisma bilden. Diess ist nur für eine Farbe möglich, während in den Mischungen immer eine Anzahl von Farben, welche dasselbe Prisma lieferte, benutzt wurde. Weiter ist strenger Parallelismus der Strahlen mit dem Hauptschnitte des Prisma gefordert. Im Versuche war durch die mäßige Entfernung (3 Meter) des Prisma von den Spalten immer ein endlicher Oeffnungswinkel der Strahlenbüschel bedingt. Endlich müssen für die Homogenität der Farben nicht nur die Lichtquellen linear seyn, sondern auch die Wellenlängen der Farben einem verschwindend kleinen Intervalle δλ angehören, d. h. alle Spalten müssen linear seyn. Die Spalten in S, hatten oft eine Breite von 10 bis 15mm, die in S, eine solche von 1 bis 1,5mm. Es fragt sich daher, welchen Einfluss muß die durch diese Umstände bedingte Unreinheit der Farben haben? Da die Verhältnisse des Versuches we-

<sup>1)</sup> Vergl. Helmholtz, physiol. Optik S. 249 ff.

nigstens nahe Annäherungen an die strengen Forderungen sind, so kann schon objectiv die Unreinheit der Farben nur gering seyn. Relativ zu den Leistungen des Auges im Erkennen von Unterschieden der Farben darf sie aber wohl als verschwindend klein betrachtet werden.

Die Kenntniss der Unterschiedsempsindlichkeit des Auges für Sättigungs rade müßte zu einer numerischen Bestimmung Genauigkeit der obigen Beobachtungen über die Farbenmischung g, insbesondere der Bestimmung der Gränzen des Grün und des Ortes seines ausgezeichneten Tones führen. Die vorhandenen Versuche über dieselbe 1) ermöglichen zwar bei dem Mangel einer Vergleichung der Helligkeiten verschiedener Farben eine solche Ber rechnung nicht. So viel sich aber aus den Angaben des Hrn. Aubert übersehen läst, ist die Leistungsfähigkeit des Auges gen in dieser Beziehung beträchtlich. Er fand für eine rotirende, he intensiv farbige Scheibe weniger als einen Grad Weiss als happenreichend, um eine merkliche Aenderung in der Sättigung herv Liorzurufen. Aehnliche Versuche führten mich zu analogen er Resul-Daher mag den Mischungsversuchen die volleöl Genauigkeit beigelegt werden, die an der Grundlage ett iner Theorie der Farben gesucht werden muß.

## 2. Ueber die Farbentafel.

Aus den experimentell gewonnenen Sätzen soll nund die geometrische Farbentafel abgeleitet werden.

Zunächst ist nach der Analyse der Veränderungen dies Lichtes im Auge einleuchtend, dass zu unterscheiden stind eine Farbentasel, welche die Farben wiedergiebt, wie isie dem Auge erscheinen, und eine solche, welche sie so dsarstellt, wie sie ohne die im Auge vorhandenen Veränderungen des Lichtes erscheinen würden. In der That alle Farben, deren Strahlen Fluorescenz in der Retina erregen, er scheinen zu wenig gesättigt, sie müssen daher eigentlich in größeren Abstand vom Weiß gerückt werden, als die Beobachtung ergiebt. Alle Farben, deren Strahlen merklich absorbirt werden, erscheinen bei einer gewissen objectiven

<sup>1)</sup> Aubert, Netzhaut S. 144ff.

Lichtstärke relativ zu wenig hell und haben daher eine zu große Distanz vom Weiß erhalten. Es soll hier die den Beobachtungen unmittelbar entsprechende Form gefunden werden.

Es geht aus dem Mischungsgesetze hervor, dass die Farbentafel ausgezeichnet seyn wird, ausser durch die Lage je zweier Complementärfarben auf einer durch den Ort des Weiss gehenden Geraden, noch durch die weitere Eigenthümlichkeit, dass der geometrische Ort aller Farben nom Roth bis zur Linie b und aller vom Violett bis zur Linie F je eine Gerade ist. Diese Geraden sind verbunden an ihren innern Enden durch eine kurze bogenförmig gekrümmte Linie, das Gebiet des Grün, an ihren äußern Enden durch eine dritte Gerade, den geometrischen Ort der gesättigten Purpurtöne.

Dieser allgemeine Charakter der Farbencurve muß sich in allen Formen wiederlinden. Ihre nähere Gestalt hängt bekanntlich ab von der Wahl von vier Parametern und kann daher durch gewisse Bedingungen gewisse Eigenthümlichkeiten annehmen. Diese sind freilich nicht ganz beliebig wählbar. So ist es beispielsweise ganz unmöglich, der Farbencurve die Kreisform von Newton¹) zu geben; denn diese implicirt, daß je zwei endlich von einander entfernte Farben Mischfarben erzeugen, die weniger gesättigt sind als die dazwischen liegenden Töne des Spectrum.

Es sollen nach dem Vorgange des Hrn. Helmholtz die Einheiten der Farben so gewählt seyn, dass ihre Mengen gleich sind, wenn sie dem Auge gleich hell erscheinen <sup>2</sup>). Dann wird die Curve der Farben sehr nahe die von Hrn. Helmholtz gegebene Form annehmen, nur ihre beiden Schenkel werden statt leicht gebogen, gerade ausfallen. Die äusern Gränzen dieser Geraden sind gebildet von dem äusersten Roth und dem brechbarsten Tone des Violett, der noch keine Umkehr zum Blau zeigt; die innern Gränzen fallen nach den obigen Bestimmungen mit den Linien b und F zusammen. Der Scheitel des sie verbindenden Bogens

<sup>1)</sup> Newton, Optice lib. 1., pars 11. prop. VI.

<sup>&</sup>quot;) Helmholtz, Pogg. Ann. Bd. 94, S. 24. Optik S. 288.

darf als identisch betrachtet werden mit der oben bestimmten Wellenlänge des Grün, die mit Roth und Violett gleiche Sättigungsverminderung der Mischfarbe gab: 506,3.

Die angedeutete allgemeine Form der Tafel darf wehl mit Recht als eine allgemeine Eigenschaft des normalen Auges angesehen werden. Die specielleren Momente derselben bleiben immer Eigenthümlichkeiten des grad beobachtenden Auges. Wenn ich mir erlaube, einige Bemerkungen über diesen nähern Verlauf beizufügen, so können sie daher im Allgemeinen nur individuelle Gültigkeit haben.

Die relative Lage der ausgezeichneten Punkte der Farbencurve suchte ich durch die Ermittlung der complementären Wellenlängen zu Roth und Violett näher zu bestimmen. Analog zu den früheren Versuchen stellte ich neben einander zwei weiße Felder her, das eine aus den zwei complementären Farben des Spectrum gebildet, das andere von unzerlegtem Sonnenlichte gewonnen. Im Schirme S, wurden beide Spalten benutzt. Sie lieferten zwei Spectren auf S2, denen leicht eine solche relative Lage gegeben werden konnte, dass die beiden zum Voraus annähernd bekannten Complementärfarben durch den einen Spalt in S2 fallen, während der andere für das Weiss disponibel blieb. Letzteres wurde, wie oben, von einem Spalt in S, durch doppelte Reflexion seiner Strahlen an einem seitlichen Spiegel und an der hintern brechenden Fläche des Prisma gewon-Jener Spalt in S, wurde nun genauer auf eine dunkele Linie im Roth oder Violett eingestellt. Der die Complementärfarbe liefernde Spalt in  $S_1$  war dann so lange zu verschieben, bis die beiden weißen Felder möglichst gleich War diess erreicht, so wurden die dunkeln Liausfielen. nien der Complementärfarben beobachtet und aus ihnen wie oben die Wellenlänge der Farbe abgeleitet.

Die Bestimmungen zeigten bei Wiederholungen sehr gute Uebereinstimmung für jedes einzelne Auge. Dagegen stellte sich durchweg ein kleiner Unterschied für dieselbe Bestimmung bei beiden Augen ein, der zwar gering, aber doch immer größer als die Schwankungen der Werthe für jedes einzelne Auge, aussiel. Die folgende Tabelle giebt die Resultate meiner Messungen. An der rothen Gränze des Spectrum konnte ich wegen zu rasch sinkender Helligkeit nicht über die Linie C hinausgehen; am violetten Ende war aus gleicher Ursache keine Bestimmung für H möglich; ohne die Spalten zu breit zu machen, konnte ich hier die von Hrn. Ditscheiner mit B bezeichnete Linie nicht überschreiten. Ich wählte daher geradezu C und B als die Töne des Roth und Violett.

Farbe VVellenlänge	Compl. Farbe	Wellenlänge	
		links	rechts
C=655,9	Blaugrün	487,5	486,5
B = 422,5	Gelb	559,1	560,8
	C=655,9	C=655,9 Blaugrün	C=655,9 Blaugrün 487,5

Diese Werthe<sup>1</sup>) weichen beträchtlich von den Messungen des Hrn. Helmholtz<sup>2</sup>) ab und bedingen demgemäß eine etwas andere Lage des Weiß in der Tafel für meine Augen.

Aus den discutirten ausgezeichneten Punkten der Farbencurve und unter Berücksichtigung der Angaben des Hrn. Helmholtz über die relative Sättigung der Farben suchte ich in Fig. 4 Taf. III die wahrscheinlichste Form dieser Farbentafel zu geben. Als genau ist in ihr jedoch nur die

- Nach den Bestimmungen des Hrn. Ångström (Recherches sur le spectre solaire), die ich zu meinem Bedauern erst nach Abschluss der vorliegenden Arbeit kennen lernte, ergeben sich die obigen für die Farbenmischung charakteristischen Wellenlängen in Zehnmilliontel Millimetern:
  - 1. Grün, eine Sättigungsabnahme bedingend:

untere Gränze b<sub>1</sub> — b<sub>4</sub> 5183,1 — 5166,9 obere Gränze F 4860,7.

2. Grün, gleiche Sättigungsverminderung nach beiden Seiten bedingend: sichtbare Linien (vergl. S. 430)

5017,6 5040,1 und 5041,2 5098,1 5026,4 5049,3 und 5051,0 5107,0 wahrscheinlicher Werth 5062,3.

3. Complementärfarben

zu Roth C = 6562,1 4875,3 4865,5 zu Violett B = 4226,4 5593,1 5608,9.

2) Helmholtz, Pogg. Ann. Bd. 94, S. 15. Optik S. 277.

Natur des geometrischen Ortes der Farben von C bis b und von B bis F, sowie der gesättigten Purpurtöne anzusehen; die relativen Lagen aller Farben zu einander und zu Weiß sind rein geschätzt. Eben deswegen können auch die strenge geforderten Reductionen der Ort des Blaugrün und des brechbaren Endes des Spectrum hier von keiner weitern Bedeutung seyn. Die Verschiedenheit der Tafeln für meine beiden Augen sind nur gering; sie ergeben sich leicht aus den Unterschieden der Complementärfarben, die für das linke Auge eine kleine Verschiebung des Ortes des Weiß gegen die blauen Töne hin verlangen.

Hr. Maxwell 1) hat seine Farbentafel nach dem allgemeinern Princip, welches die Intensitäten der Grundfarben für willkürlich erklärt, construirt; demgemäß mußte die Gestalt jener Tafel eine andere seyn als die der oben abgeleiteten, insbesondere sind am violetten Ende alle Farbentöne sehr zusammengedrängt. Abgesehen bievon hat nun zwar die Tafel des Hrn. Maxwell mit der obigen das gemeinsam, dass auch sie für die Orte zweier Gruppen von Spectralfarben zwei Gerade aufweist. Wesentlich verschieden sind aber die Orte des äußersten Roth und des Indigo in der Nähe einer Geraden, welche das brechbarste Roth mit dem brechbarsten Cyan verbindet. Die Complementärfarben fallen ganz anders aus als die Messungen des Hrn. Helmholtz. Der die Geraden verbindende Bogen hat eine weniger brechbare Lage im Spectrum relativ zu dem oben Es ist weder möglich, die Ursachen dieser Unterschiede alle in individuelle Eigenthümlichkeiten der Augen zu verlegen, noch, sie in etwaiger Verschiedenheit der Vollkommenheit der Versuche zu suchen. Die Differenzen der Tafeln müssen also auf einer wesentlichen Verschiedenheit der beiden Bestimmungen beruhen.

So viel ich übersehe, kann diese nur die seyn: Hr. Maxwell hat seine Tafel aus quantitativen Bestimmungen von Lichtstärken berechnet, während die oben gegebene aus qualitativen Versuchen gefolgert ist. Daraus folgt zunächst,

<sup>1)</sup> Phil. Trans. 1860 p. 57.

dass ebensowohl Fluorescenz und Absorption im Auge, als Absorption in Prismen und Linse auf die Resultate seiner Messungen von Einfluss sevn mussten. Fluorescenz ist im Violett und Indigo durchweg und bei größeren Intensitäten auch im Cyanblau wohl zu berücksichtigen. Absorption musste für dieselben Strahlen, die Fluorescenz erregen, für das Blaugrün im gelben Flecke und für das brechbarere Ende des Spectrum in Prismen und Linse vorhanden seyn. Nun erfolgt allerdings die Absorption proportional der Stärke des auffallenden Lichtes, und die Einheiten der Grundfarben sind willkürlich wählbar. Daher konnten Absorptionserscheinungen von keinem wesentlichen Einflusse auf die Construction seyn. Anders aber die Fluorescenz. Berücksichtigt man diese, so ordnen sich die Orte des Indigo in die Fortsetzung des geometrischen Ortes der Töne von Grün bis Cyan. Nach den Maxwell'schen Tafeln wäre das Indigo im spectralen Sättigungsgrade mischbar aus brechbarerem Roth und brechbarstem Cyan. Ich habe diesen Versuch mit besonderer Sorgfalt angestellt; es gelang mir aber nie, auch nur annähernd jenen Sättigungsgrad zu erreichen. Vielleicht ist in den Abweichungen, welche die Tone beider Enden des Spectrum zeigen, auch die von Hrn. Maxwell selber angedentete Unsicherheit der Bestimmung zu berücksichtigen; diess dürfte namentlich für den in seinen beiden Tafeln auffallend schwankenden Ort des äußersten Roth gelten.

## 3. Zur physiologischen Farbentheorie.

Die Bestimmung der physiologischen Grundfarben hat eine Eigenschaft des Auges zum Angelpunkt; sie verlangt daher eine Variation dieser Eigenschaften und kann unter Voraussetzung constanter physiologischer Zustände des Auges nie gewonnen werden. Daraus folgt, daß aus den Mischungsversuchen für das normale Auge allein eine Bestimmung der Grundfarben strenge gar nicht möglich ist. In dem besonderen Falle aber, wo die Existenz dreier einfacher Farben sich aus denselben ergiebt, sind mit großer

Wahrscheinlichkeit diese auch als die Grundfarben anzusehen. Denn ist die thatsächliche sensorielle Zusammensetzung der Farben aus drei Grundfarben nachgewiesen und lassen sich in Wirklichkeit durch Mischung dreier bestimmter Farben die übrigen erhalten, so ist die einfachste Annahme die, dass jene subjective Zusammensetzung diese objectiv möglich sey; und wenn in Wirklichkeit gewisse Empfindungen nie durch Zusammensetzung erhalten werden können, so berechtigt Nichts anzunehmen, das sie zusammengesetzt sind. Bindend ist freilich dieser Schlus nicht; auch bei Voraussetzung einfacher Farben könnten immer noch drei Grundfarben angenommen werden, welche gesättigtere Abstufungen solcher Farben wären, die sich aus jenen mischen lassen.

Einfache Farben stellten sich oben zwar nicht in voller Strenge, aber doch angenähert heraus. Aus den Mischungsversuchen folgt daher jetzt mit großer Wahrscheinlichkeit, daß die physiologischen Grundfarben Roth, Grün ( $\lambda=506,3$ ) und Violett sind. Die Sättigungsverminderung, welche das Grün in allen Mischungen bedingt, verlangt aber, daß die Grundfarbe Grün gesättigter sey als das Grün des Spectrum. Die Aenderung des Tones jeder Farbe bei sehr vermehrter Intensität des Lichtes, Ermüdungserscheinungen und gewisse Beobachtungen an Farbenblinden fordern außerdem, daß alle drei Grundfarben wesentlich gesättigter seyen als das Roth und Violett des Spectrum und jenes schon gesättigtere Grün.

Die Annahme von Roth und Grün als Grundfarben ist mit den aus der Untersuchung Farbenblinder gewonnenen Resultaten in voller Uebereinstimmung. Die dritte Grundfarbe ist durch solche Untersuchungen nicht ermittelt; die Santoninerscheinungen, die einen Ersatz dafür bieten möchten, können, wie Hr. Hüfner 1) gezeigt hat, auf eine Lähmung Violett empfindender Fasern zurückgeführt werden. Dass Violett und nicht Blau als dritte Grundfarbe erscheint, hat insofern etwas Auffallendes, als die erstere Empfindung sich schon wieder dem Roth nähert. In dem Umstand aber,

<sup>1)</sup> Archiv f. Ophthalmologie XIII. 2. 309.

dass die Schwingungszahl der violetten Strahlen ungefähr die doppelte ist von der des Roth, die Ursache eines Mitschwingens der rothen Fasern bei dieser Wellenlänge und darum einen Wahrscheinlichkeitsgrund für das Blau als dritte Grundfarbe zu sehen, scheint mir den experimentell begründeten Ansichten über das Wesen der Nervenerregung zu widersprechen. Keine der Grundfasern schwingt für die tiesere ultrarothe Octave mit; und wie die Consequenzen der Theorie des Mitschwingens mit den Thatsachen stimmen, ist oben angedeutet. Neben Roth und Grün ist Violett von den Begründern der Theorie, Young und Helmholtz, Blau von den HHrn. Maxwell und Fick angenommen worden 1).

Aus der Farbentafel lässt sich das Curvensystem ableiten. welches die Vertheilung der Erregung in den drei Fasergattungen (oder die relativen Intensitäten der drei verschiedenen Erregungsprocesse in derselben Faser) als Function der Wellenlänge im Spectrum darstellt; es muss dabei die Gesammterregung für alle Farbentöne als constant angenommen werden. Abstrahirt man zunächst von der unbekannten Differenz der Sättigung, welche die Grundfarben Roth und Violett gegenüber den entsprechenden Spectralfarben und die Grundfarbe Grün relativ zu dem Grün zeigt, das eine dem Durchschnitte der Geraden Cb und BF der Tafel (Fig. 4 Taf. III) entsprechende Sättigung hat, so kann man den Verlauf dieser Curven bis auf die Lage der Abscisse annähernd angeben (Fig. 5). In den Tönen C. Gr und B. welche den Grundfarben entsprechen, muss je eine der Fasern maximal etregt seyn; in Gr ist diese maximale Erregung aber verbunden mit einer kleinen Erreguug der beiden andern Fasern. Für die Intervalle Cb und BF ist die Erregung wechselnd auf je zwei Fasern vertheilt, in dem Gebiete bF ist Erregung in allen dreien vorhanden. Unter Berücksichtigung jener Sättigungsdifferenz ist die Abscisse tiefer (nach C'Gr'B') zu verlegen und die Curve des Roth und Violett

<sup>1)</sup> Young, Lectures I, p. 429. Helmholtz, Optik S. 291. Maxwell, Trans. 1860 p. 78. Fick, Anst. v. Phys. d. Sinnesorg. S. 292.

von den Punkten b und F an, wo sie in die Richtung CB übergehen, über die übrigen Töne des Spectrum zu verlängern.

Dieses Curvensystem ermöglicht die Ableitung eines zweiten, welches die Vertheilung der elementaren Empfindungsintensitäten bei constanter Gesammterregung für die verschiedenen Farbentöne des Spectrum darstellt. Die Untersuchungen der HHrn. Fechner und Fick machen es nämlich höchst wahrscheinlich, dass die Abhängigkeit, in welcher die Empfindungsintensität von der Nervenerregung steht, eine logarithmische Function ist. Diese müste zwar für die verschiedenen Fasergattungen der Retina von verschiedenem Grade seyn; doch mag hievon, da die Verhältnisse ja alle nur geschätzte sind, abgesehen werden. die mittleren Grade der Gesammterregung nehmen dann die Curven für die elementaren Empfindungen ungefähr die in Fig. 6 Taf. III gegebene Form an und die jedesmalige Summe der elementaren Empfindungen wird durch die stärker gezeichnete Curve angedeutet. Für eine bestimmte Gesammterregung nimmt diese Summe also für die Grundfarben die kleinsten, für Gelb und Blau die größten Werthe an.

Diess führt nun auf einen fundamentalen Punkt der Theorie. Wenn auch nicht gerade angenommen werden darf, dass die Intensität der Farbenempfindung gleich sey der Summe der Intensitäten der elementaren Empfindungen, so ist es andererseits doch unwahrscheinlich, dass diese sehr verschiedenen Summen derselben Farbenintensität entsprechen. Am wahrscheinlichsten ist wohl die Annahmé, dass mit der Summe der elementaren Empfindungsintensitäten auch die Intensität der Farbe wächst. Dann läst sich die gefundene Beziehung auch so aussprechen: Für eine bestimmte Gesammterregung ist die Intensität der Farbenempfindung (die Helligkeit) für die Grundfarben die kleinste, für Gelb und Blau die größte. Diess entspräche der punktirten Linie der Fig. 6 Taf. III.

Umgekehrt muss jetzt für eine gegebene Intensität der Empfindung (Helligkeit) die größte Erregung stattfinden, wenn sie einer Grundfarbe angehört, kleinere, wenn sie gemischten zukommt. Wenn die Erregung nur in einer Grundfarbe stattfindet, ist die Empfindung am schwächsten, wenn sie auf zwei gleichmäßig vertheilt ist, ist letztere am größten. Auf alle drei Fasern ausgedehnt folgt für das Weiß, daß es bei einer gegebenen Intensität die kleinste Gesammterregung erfordert.

Es ergeben sich hieraus einige interessante Consequenzen. Bei intermittirender Beleuchtung z. B. muß für das Zustandekommen einer gleichmäßigen Empfindung die Summe der Dauer eines hellen und dunkeln Sectors, gleiche Helligkeit vorausgesetzt, für die Grundfarben die größte seyn. Die positiven Nachbilder der Grundfarben müssen am längsten dauern. Wenn die Geschwindigkeit der Fortpflanzung der Nervenerregung mit der Größe der letzteren wächst, so muß eine Mischfarbe cet. par. eine größere Zeit für die Wahrnehmung erfordern, als die Grundfarben. Die experimentelle Untersuchung dieser Punkte muß rückwärts Licht auf die gemachte Hypothese werfen.

Aehnliche Bemerkungen lassen sich tiber die Beziehungen zwischen Reiz und Empfindung anstellen; hier finden die Entwickelungen, die Hr. Fechner über die Vertheilung der Empfindungsintensitäten macht 1), Anwendung. Es ist jedoch zu berücksichtigen, dass die Constanten in den Functionen, welche die Abhängigkeit der Erregung vom Reiz ausdrücken, für die verschiedenen Fasergattungen sehr verschieden ausfallen müssen 2).

<sup>1)</sup> Fechner, Psychophysik Bd. II, S. 68.

<sup>2)</sup> In meiner Mittheilung der obigen Versuche im Archiv für Ophthalmologie hatte ich versucht, die Farbentasel als ein Abbild der Mannigsaltigkeit der Farben aufzusassen. Diese Art ihrer Darstellung schien sich mir deshalb zu empsehlen, weil die Beziehungen der Farben dann in leicht übersehbaren Constructionen vorlagen. Sie verlangt aber, dass als Helligkeit der Farben die subjective eingeführt werde, was dem Begriff der Farbentasel, der objective Helligkeiten voraussetzt, widerspricht. Letztere muß gerade nach dem Vorgange des Hrn. Maxwell aus den objectiven Lichtmengen bestimmt werden.

V. Ueber die ungehinderte Drehung der beweglichen Leiter und des Solenoïds am Ampère'schen Gestell; von Dr. Georg Krebs in Wiesbaden.

Wenn man einen beweglichen Leiter in der Form (Fig. 1 und 2 Taf. IV), wie sie gewöhnlich in den physikalischen Lehrbüchern angegeben wird (Pouillet-Müller, Wiedemann, Frick etc.) an das Ampère'sche Gestell (Fig. 3) ebenfalls in der Form, wie sie in den physikalischen Lehrbüchern angegeben zu werden pflegt, hängt, so stellt sich, nachdem durch Einleiten eines elektrischen Stromes der Leiter seine ostwestliche Stellung angenommen, beim Umkehren des Stromes der höchst unangenehme Uebelstand heraus, dass der Leiter sich immer so dreht, dass er an den horizontalen Armen pq und mn des Gestelles (Fig. 3) widerstößt; man muß ihn aus- und auf der andern Seite wieder einhängen, wenn er seine ostwestliche Stellung soll einnehmen können. Kehrt man abermals den Strom um, so zeigt sich derselbe Uebelstand von Neuem.

Dabei ist selbstverständlich vorausgesetzt, daß die horizontalen Arme mn und pq des Ampère'schen Gestells entweder von Süd nach Nord, oder von Nord nach Süd gerichtet sind.

Dass der bewegliche Leiter wirklich die vorhin angegebene Drehung bei der Umkehrung des Stromes machen müsse, läst sich leicht aus der Theorie ableiten.

Der Erdstrom ef (Fig. 4 Taf. IV), welcher von Ost nach West geht, wird als so weit von dem beweglichen Leiter abcd angenommen, dass die Einwirkungen desselben auf die horizontalen Arme ad und bc einander aufheben 1). Ist der Leiter in seiner richtigen Stellung (2), so herrscht stabiles Gleichgewicht: der Leiter kehrt wieder in diese

<sup>1)</sup> Wiedemann, Lehre vom Galvanismus, II. Band, 1. Abtheilung, S. 56 u. f.

seine Stellung zurück, wenn er aus derselben gebracht wird; denn der Erdstrom sucht die eine verticale Seite cd des Leiters nach Osten, die andere verticale Seite ba aber nach Westen zu bewegen. Es wirken also an den Seiten cd und ba zwei gleiche und ungleichsinnig parallele Kräfte, welche (in Bezug auf das vom Leiter umschlossene Viereck) nach Außen gerichtet sind. Befindet sich nun der Leiter genau in der Ebene von Ost nach West, so fallen die zwei gleichen und entgegengesetzten Kräfte in dieselbe Gerade und heben einander auf. Wird aber der Leiter nach der einen oder der anderen Seite etwas aus seiner ostwestlichen Richtung gebracht, so bilden die zwei genannten Kräfte ein Kräftepaar und wirken jedesmal so, dass sie den Leiter in seine ursprüngliche Stellung zurückzubringen streben; das Gleichgewicht ist also stabil.

Kehrt man jetzt den Strom in dem Leiter abcd um, fliesst er in demselben, wie in (1) angedeutet, so sucht der Erdstrom den einen verticalen Arm cd nach Westen, den andern ba nach Osten zu bewegen. An den Armen cd und ba wirken also zwei gleiche und ungleichsinnige parallele Kräfte, welche (in Bezug auf das vom Leiter umschlossene Viereck) nach Innen gerichtet sind. Leiter genau in der Richtung von Ost nach West, so fallen die Richtungen der zwei genannten Kräfte in dieselbe Gerade und heben einander auf. Bringt man aber den Leiter etwas aus seiner Lage heraus (indem man ihn um seine verticale Mittellinie dreht) einerlei ob nach der einen, oder der andern Seite, so bilden die zwei Kräfte ein Paar, welches den Leiter nicht wieder in seine ursprüngliche Richtung zurückzutreiben, sondern ihn in die entgegengesetzte zu bringen treibt: das Gleichgewicht ist also labil.

Zugleich erhellt, dass wenn ein beweglicher Leiter bei labilem Gleichgewicht (1) genau in der Lage von Ost nach West sich befindet, er trotz seiner verkehrten Stellung in derselben verharrt und dass es ihm gleichgültig ist, nach welcher Richtung er sich drehen soll, vorausgesetzt, dass sonst keine Einwirkungen auf ihn stattfinden. Der geringste Stoss

nach rechts oder links bringt ihn aus seinem falschen Gleichgewicht und er vollführt nach der Seite hin, nach welcher er aus seiner Gleichgewichtslage gebracht worden, eine Drehung um 180°. Anfänglich freilich, wenn er sich erst um wenig aus seiner labilen Gleichgewichtslage entfernt hat, ist die Drehkraft sehr gering, das Moment des Paares ist sehr klein; erst allmählig wird dasselbe größer und erlangt sein Maximum, wenn sich der Leiter um 90° gedreht hat, worauf es wieder abnimmt, um in der gerade entgegengesetzten Lage gleich Null zu werden. Zugleich tritt in dem Moment, wo die Drehung 90° erreicht hat, der Uebergangspunkt ein, wo das Einwärtswirken des Kräftepaars in ein Auswärtswirken übergeht.

Befindet sich also ein beweglicher Leiter abcd (Fig. 5 Taf. IV) am Ampère'schen Gestell im stabilen Gleichgewicht und kehrt man nun den Strom im Leiter um, so kann der Erdstrom gar keine Drehung bewerkstelligen, wenn der Leiter genau von Ost nach West steht. Nun stellt sich aber der Leiter nie genau von Ost nach West und zwar aus dem Grunde, weil der im Ampère'schen Gestell kreisende Strom eine Einwirkung auf denselben ausübt. aber ist diese Einwirkung beschaffen? Die horizontalen Arme mn und pq des Gestells haben die Richtung von Süd nach Nord (oder umgekehrt) und es steht die Ebene des Leiters, wenn sie genau von Ost nach West geht, auf der Richtung der Arme mn und pg senkrecht; die zwei verticalen Arme ad und bc erfahren demnach von Seiten der verticalen Stangen v und t keinerlei Einwirkung, denn sie sind nahezu gleichweit von ihnen entfernt. Auch kann man annehmen, dass die Einwirkung des Armes mn gegen die des Armes pq verschwinde, so dass im Wesentlichen nur die Einwirkung von pq auf ab zu beachten ist.

In der normalen Lage nun — im stabilen Gleichgewicht — sucht der Strom in pq (Fig. 6) den Arm ab in der Richtung des Pfeiles zu drehen, in dem sich die Ströme in ab und pq einander parallel zu stellen suchen; daher kann sich denn auch der bewegliche Leiter nie genau von

And he are seen

Ost nach West stellen; er dreht sich mit dem Ende b, so lange nach Süden (in die Lage b'a'), bis das Kräftepaar, welches in Folge des Erdstromes an dem Leiter wirkt, vereint mit der Reibung, dem Kräftepaar, welches in Folge der Einwirkung des in pq laufenden Stromes auf ba wirkt, das Gleichgewicht halten kann.

Kehrt man jetzt den Strom in dem beweglichen Leiter um, so dreht sich ba in der Richtung des Pfeiles (Fig. 7 Taf. IV) weiter um, denn 1) sucht sich der Strom in ba dem in pq gleichsinnig parallel zu stellen und 2) dreht sich bei labilem Gleichgewicht der Leiter nach der Richtung, nach welcher er aus seiner Gleichgewichtslage gebracht worden. Nun stehen aber die umgebogenen Enden des Leiters nach Westen (Fig. 5 Taf. IV) und es muß deshalb der Leiter bei seiner Drehung nach Südwesten gegen die horizontalen Arme des Ampère'schen Gestells anstoßen, so daß er seine Drehung nicht vollführen kann.

Wird nun der Leiter aus- und auf der andern Seite eingehängt, so stellt er sich jetzt so, daß er wieder nicht genau von Ost nach West steht (Fig. 8 Taf. IV), sondern daß b in die Lage b' (etwas nach Süden) zu liegen kommt. Kehrt man jetzt den Strom um (Fig. 9 Taf. IV), so wirken der Erdstrom und der Strom in pq vereint und bringen eine Drehung des Leiters in der Richtung des Pfeiles zu Wege, wobei der Leiter abermals widerstößt und seine Drehung nicht ausführen kann.

Dass ein beweglicher Leiter seine Drehung bei der Umkehrung des Stromes nicht ausführen kann, ist höchst lästig und es fragt sich nun, wie diess zu vermeiden sey. Hierzu bedarf es nur einer sehr einfachen Umänderung des beweglichen Leiters: man biegt die Drahtenden nach der entgegengesetzten Seite (Fig. 10 Taf. IV) und zwar das kleinere um das größere herum, so aber dass es dasselbe nicht berührt.

Dass ein solcher Leiter sich stets so dreht, dass er seine halbe Umdrehung bei der Umkehrung des Stromes ohne

anzustofsen vollführen kann, wird aus dem Nachstehenden leicht klar werden.

Wird unser Leiter an das Ampère'sche Gestell gehängt und der Strom, wie Fig. 11 Taf. IV zeigt, eingeleitet, so stellen sich die Umbiegungen der Drahtenden nach Osten; doch steht der Leiter auch hier nicht genau von Ost nach West: er stellt sich so, dass b etwas nach Süden, in die Lage b', rückt (Fig. 12 Taf IV) — der untere Arm pq des Ampère'schen Gestells sucht die Seite ab so zu stellen, dass der Strom in beiden gleichsinnig parallel läuft. Kehrt man jetzt den Strom um (Fig. 13 Taf. IV), so wirken der Strom in pq und der Erdstrom vereint auf den Leiter so, dass b nach Süden zu geht, die Umdrehung also in der Richtung des Pfeiles erfolgt; und da die Umbiegungen der Drahtenden nach Osten stehen, so ist eine halbe Umdrehung ohne Anstoss ausführbar. Schliefslich nimmt der Leiter eine solche Stellung an, dass die Umbiegungen der Drahtenden nach Westen stehen und der Strom in pq und ab so läuft, wie Fig. 14 Taf. IV angiebt. Allein auch hier stellt sich der Leiter nicht genau von Ost nach West; ab rückt in die Lage q'b' und kehrt man jetzt den Strom um (Fig. 15 Taf. IV), so wirken der Strom in pg und der Erdstrom vereint so, dass sich der Leiter in der Richtung des Pfeiles umdreht Auch diese Umdrehung ist ohne Anstofs ausführbar.

Zu demselben Resultate gelangt man, wenn die horizontalen Arme des Ampère'schen Gestells nicht von Süden nach Norden, sondern von Norden nach Süden stehn.

Der Versuch bestätigt das Gesagte vollkommen.

In ähnlicher Art kann man auch Solenoïde construiren, welche sich immer so drehen, dass sie nicht an den horizontalen Armen des Ampère'schen Gestells anstossen.

Fig. 16 Taf. IV zeigt ein solches Solenoïd. Der horizontale Querarm ab steht etwa 3" (obwohl auch schon 2" genügen) über den Windungen, welche beliebig rechts oder links gewunden seyn können, jedoch so, das ihre Ebenen auf der Axe des Solenoïds möglichst senkrecht stehen. Das

kleinere Ende rs biegt sich um das größere uv so herum, daß es dasselbe nicht berührt, wobei es einerlei ist, ob die Drahtenden rs und uv von a nach b, oder umgekehrt gerichtet sind. Wird das Solenoïd an das Ampère'sche Gestell gehängt, so muß der horizontale Querdraht ab des Solenoïds dicht unter dem unteren horizontalen Arm pq des Ampère'schen Gestells hergehen. Selbstverständlich muß das Ampère'sche Gestell so gerichtet werden, daß seine horizontalen Arme entweder von Ost nach West, oder von West nach Ost gehen, resp. auf der Richtung der Declinationsnadel senkrecht stehen.

Die Einwirkung des in pq fließenden Stromes auf den im Querdraht ab fließenden verhindert nun, daß die Axe des Solenoïds genau die Richtung der Declinationsnadel einnimmt, ganz so, wie dieß bei den beweglichen Leitern auseinandergesetzt worden. Wird jetzt der Strom umgekehrt, so tritt labiles Gleichgewicht ein und das Solenoïd dreht sich nach der Seite hin um  $180^\circ$ , nach welcher es bereits durch die Einwirkung von pq auf ab verschoben gewesen ist. Diese Drehung erfolgt aber, wie aus dem in Betreff der beweglichen Leiter Gesagten hervorgeht, stets so, daß das Solenoïd seine halbe Umdrehung ohne Anstoß vollführen kann.

Hiermit soll aber nicht gesagt seyn, dass es nicht auch andere Solenoïde gäbe, welche sich ohne anzustoßen drehen. Man kann z. B. den Strom im Arm pq auf die Windungen selbst in geeigneter Weise einwirken lassen. Dabei darf man den horizontalen Querdraht ab natürlich nicht über den Windungen herführen, sondern man muß ihn durch die Axe des Solenoïds gehen lassen, wie dieß ja auch häusig geschieht. Nach meinen Versuchen aber ist diese Methode weniger zuverlässig, weshalb ich die vorhin erklärte Einrichtung vorziehen möchte.

## VI. Ueber die Spannung flüssiger Lamellen; von R. Lüdtge. 1)

Die Capillaritäts-Theorie weist nach, dass die mannigsachen Erscheinungen, welche ihrem Gebiete angehören, zurückzuführen sind auf Molecular-Kräfte, welche, wenn auch im Innern einer Flüssigkeit thätig, doch nur in einer dünnen Oberstächenschicht derselben Bewegungs - und Spannungs-Wirkungen hervorzubringen im Stande sind.

Es ist klar, dass deshalb diese Erscheinungen unabhängig seyn werden von der Dicke der Flüssigkeitsschicht, an deren Obersläche sie stattfinden, so fern dieselbe nur größer ist, wie der Wirkungsradius jener Molecular-Kräfte. lange man denselben als verschwindend klein betrachtete, war es erlaubt, diese Unabhängigkeit als vollkommen anzunehmen und z. B. bei der Spannung flüssiger Lamellen die Dicke derselben außer Acht zu lassen. Dieser Standpunkt ist wesentlich verrückt worden, seitdem neuere Untersuchungen, besonders eine interessante Arbeit des Hrn. Quinck e 2) dargethan haben, dass der Wirkungsradius, wenn auch eine geringe, so doch merkliche Größe (1 50000 mm) besitze; es erscheint nothwendig, die Capillaritäts-Erscheinungen in ihrer Abhängigkeit von der Dicke der Flüssigkeitsschicht, so fern dieselbe geringer ist als die Größe des Wirkungsradius aufzufassen und in Bezug auf die Lamellartheorie insbesondere treten zwei Fragen in den Vordergrund. Erstens. bis zu welcher Gränze es erlaubt sey, die Spannung der Lamellen als unabhängig von ihrer Dicke zu betrachten und zweitens, in welcher Weise sich über diese Granze hinaus der Einfluss der Dicke der Lamelle auf die Spannung derselben äußert. Die Theorie, um auch diese zu erwähnen.

Diese Untersuchung ist im physikalischen Laboratorium des Hrn. G. Magnus angestellt.

<sup>2)</sup> Ueber die Entfernung, in welcher die Molekular-Kräfte der Capillarität noch wirksam sind. Pogg. Ann. 1869, Bd. 137, S. 402-

macht wahrscheinlich, und Plateau hat die Folgerung ausgesprochen, dass die Spannung einer Lamelle bei geringerer Dicke selbst geringer werde, da die Anzahl der wirkenden Molecule selbst eine geringere sey. Die vorliegende Untersuchung hat den Zweck, beide Fragen auf dem Wege des Experiments zu erledigen.

Wenn man die beiden kreisförmigen Oeffnungen einer cylindrischen Röhre durch ebene Lamellen schließt, was leicht in der Weise zu bewirken ist, dass man den ganzen Rand der Oeffnung mit einer schon gebildeten ebenen Lamelle von etwas größerem Umfang in Berührung bringt und man bläst Luft in den jetzt geschlossenen cylindrischen Raum, entweder durch ein Ansatzrohr oder durch eine Glasröhre mit zugespitztem Ende, das direct durch eine der Lamellen in den Cylinder gesteckt wird, so werden sich die vorher ebenen Lamellen aufblähen, durch die Vermehrung des Luftdruckes im Innern Lamellen bilden, die fast genau Kugelcalotten sind. Wenn beide Calotten gleiche Spannung besitzen, werden auch ihre Radien einander gleich seyn müssen, da, wie Dupré gezeigt hat, wenn P den Druck der inneren Luftmasse, t die Spannung und r den Radius der Kugelflächen bezeichnet,  $P = \frac{4t}{\pi}$  ist. Für beide Lamellen hat aber P dieselbe Größe, t wird als gleich vorausgesetzt, also muss auch r in beiden gleich seyn. Ist aber nur Pfür beide Lamellen gleich, t dagegen verschieden, bildet man also die eine Lamelle aus Seifenlösung, so wird, da .. t für Saponinlösung bedeutend größer ist, als für Seifenlösung in demselben Maasse die Saponincalotte weniger gekrümmt erscheinen als die Seifencalotte.

Wenn man beide Lamellen aus derselben Flüssigkeit bildet, so werden im Allgemeinen beide Calotten auch denselben Radius haben. Aeußert aber die Dicke der Lamellen einen Einsluss auf ihre Spannung, so wird es sich ereignen können, daß, obgleich aus derselben Flüssigkeit bestehend, dennoch beide Calotten verschiedene Krümmung besitzen, wenn sie nämlich verschieden dick sind und es wäre möglich, nicht allein diesen Einflus der Dicke nachzuweisen, sondern ihn auch zu analysiren, da die weniger gekrimmte Lamelle die stärkere Spannung besitzen mus.

In der That ist ein solcher Einstus der Dicke leicht auf diese Weise darzuthun: Man lasse zu diesem Zweck zwischen der Bildung der beiden Lamellen einige Zeit verstreichen, so dass, wenn die zweite hervorgebracht wird, die erste bereits durch die Ordnung ihrer Farben anzeigt, dass ihre Dicke eine sehr geringe geworden ist; wenn man nun Lust in den Cylinder bläst, so werden stets die beiden Calotten verschiedene Krümmung zeigen und zwar ist die der letzt gebildeten Lamelle die größere, d. h. ihre Spannung die geringere, während die dünne Lamelle geringere Krümmung, größere Spannung zeigt.

Diese Thatsache tritt sehr deutlich ein, wenn man zwischen der Bildung beider Lamellen längere Zeit verstreichen lässt, aber selbst, wenn man die zweite Lamelle fast unmittelbar nach der ersten bildet, ist die Verschiedenheit der Krümmung stets in derselben Hinsicht nachweisbar, dass nämlich die zuerst gebildete Lamelle weniger gekrümmt ist, als die letzt gebildete, woraus nicht allein hervorgehen würde, dass bei geringerer Dicke die Spannung eine größere wird, sondern auch, dass fast unmittelbar nach der Entstehung einer Lamelle sich dieser Einsluss der Dicke auf ihre Spannung zeigt, dass mithin die Dicke der Lamellen fast immer kleiner ist als der doppelte Wirkungsradius, der letztere also entgegen früheren Annahmen, eine sehr merkliche Größe besitzen muß. Diese Versuche sind sowohl mit Glas- als Metallcylindern, sowohl mit Seifenlösung, als mit Quillaja-Decoct angestellt worden, und wenn auch keine genaue Messungen zweckmäßig erschienen, so ergab die Beobachtung für einen Versuch mit Seifenlösung, dass während 5 Minuten die Spannung von 2,8 auf 2,84 gestiegen war.

Man könnte dieser Methode den Einwurf machen, dass dieselbe andere störende Elemente mit einschließe, dass die hygroskopische Eigenschaft des Glycerins, das der Plateau'schen Seifenlösung beigesetzt ist, mit der Zeit die Spannung einer Lamelle schon an und für sich vergrößern müsse, daß daher die beiden Lamellar-Calotten sich nicht blos in Bezug auf ihre Dicke, sondern auch in Bezug auf ihren Wassergehalt unterschieden haben, da sie verschieden lange Zeit der feuchten Atmosphäre ausgesetzt waren. Dieser Einwurf aber würde einerseits die ähnlichen Versuche mit Quillaja-Decoct unberührt lassen, andererseits ist es leicht, sich des gewonnenen Resultates noch durch andere Versuche zu versichern.

Wenn man auf eine Lamelle einen dünnen biegsamen Faden legt und zerstört die Lamelle auf der einen Seite des Fadens oder ersetzt sie durch eine Lamelle von geringerer Cohäsion, so wird in beiden Fällen, wie ich ausführlicher in einer früheren Untersuchung 1) gezeigt habe, der Faden sich convex und kreisförmig nach der Lamelle mit größerer Spannung ziehen. Die Form des Fadens, welcher zwei Lamellen verschiedener Spannung trennt, giebt deshalb ein sehr empfindliches Mittel ab, zu erkennen, welche Lamelle die größere Spannung besitzt. Bildet man in einem ebenen Drahtkreise eine Lamelle und neigt dieselbe etwas gegen den Horizont, so wird bald die Ordnung der Farben anzeigen, dass die Lamelle oben dünner wie unten geworden ist; befestigt man nun einen dünnen Seidenfaden (am besten einfachen Coconfaden) mit beiden Enden am Drahtkreise. so dass er in der Lamelle lose schwebt (Fig. 17 Taf. IV), so wird derselbe zuerst seiner Schwere gemäs, die Form einer Kettenlinie annehmen, die ihre convexe Seite nach unten kehrt.

Es ist hierbei wohl zu bemerken, dass ein solcher Faden und mag er noch so dünn seyn, nie eigentlich auf der Lamelle schwimmt, sondern dieselbe vollständig in zwei gesonderte Lamellen theilt, deren bewegliche Begränzung er bildet, eine Thatsache, die äusserlich durch den plötzlichen

<sup>1)</sup> Ueber die Ausbreitung der Flüssigkeiten auf einander, Pogg. Ann. 1869. Bd. 137, S. 362.

Sprung der Farben zu beiden Seiten des Fadens hervortritt. Und in der That, da auf der einen Seite des Fadens sich die obere dünne, auf der anderen die untere dicke Lamelle befindet, so erleidet derselbe eine eigenthümliche und interessante Veränderung seiner Form: An einer Stelle beginnt er langsam aus der Convexität nach unten in eine solche nach oben überzugehen (Fig. 18 Taf. IV), die von ihm gebildete Curve zeigt einen Wendepunkt, der Theil des Fadens, der seine convexe Scite nach oben kehrt, wird immer größer, der andere immer kleiner und das Spiel endigt damit, dass der Faden fast genau halbkreisförmig seiner Schwere entgegen nach oben gekrümmt ist (Fig. 19 Taf. IV). Löst man nun das eine Ende des Fadens vom Drahtkreise und überlässt es den wirkenden Kräften, so zieht sich der Faden rasch noch weiter nach oben in die Lamelle hinein, deutlich die von der oberen Lamelle ausgeübte Spannung verrathend. Dieser Versuch ist leicht anzustellen, nur vermeide man eine zu große Dicke des Fadens und eine zu starke Neigung der Lamelle, weil in beiden Fällen die Schwere des Fadens eine störende Rolle spielt.

Ebenso wie durch die Neigung läst sich noch auf andere Weise die Lamelle zu einer Seite des Fadens dünner als die zur anderen machen. Die einfachste Methode wäre vielleicht die, dass man einen Faden, ihn lose mit beiden Händen haltend, mit einer ebenen horizontalen Lamelle in Berührung bringe, so dass er die ganze Lamelle durchschneidet, ohne straff gespannt zu seyn.

Bewegt man nun den ganzen Faden senkrecht zu seiner Hauptrichtung, so wird die eine der beiden Lamellen größer, die andere kleiner, die erstere wird in Folge dessen dünner als die zweite. Der Einfluß dieser Verschiedenheit der Dicke zeigt sich dadurch, daß der Faden kreisförmig convex nach der dünneren Lamelle hinein gekrümmt ist und löse ich das eine Ende des Fadens, sich noch weiter in diese hineinzuziehen bestrebt ist.

Achnlich verhält sich ein Faden, der in Schleifenform (Fig. 20 Taf. IV) auf eine Lamelle gelegt ist, so zwar, dass

man die Schleife beliebig zuziehen und lösen kann. Zieht man die Schleife zu, so wird die innere eingeschlossene Lamelle dicker seyn wie die äußere ringförmige, die selbst wegen ihrer jetzt größeren Ausdehnung dünner geworden ist; die Schleife nimmt genau Kreisform an und zeigt deutlich das Bestreben, sich zu erweitern.

Es werden sich noch viele Methoden ersinnen lassen. welche geeignet sind, die Lamelle auf einer Seite des Fadens dünner als die auf der anderen Seite zu machen; es genügt z. B. das Fortnehmen der Flüssigkeit der einen Lamelle mittelst eines Holzstäbchens; ebenso können diese Versuche sehr schön dadurch variirt werden, dass man nicht ebene, sondern gekrümmte Lamellen, z. B. Blasen, Schraubenflächen usw., anwendet; es genüge hier, diese Versuche soweit beschrieben zu haben, als sie zur Herleitung unseres Satzes nothwendig erscheinen. Nur noch einen Versuch möchte ich erwähnen, der, wenn er auch in seiner Erklärung mit den obigen Erscheinungen übereinstimmt, doch bestimmt ist, eine Lücke in einer von mir in diesen Annalen veröffentlichten Untersuchung ') » Ueber die Ausbreitung der Flüssigkeiten auf einander« auszufüllen. jener Arbeit, welche die Ausbreitung einer Flüssigkeit auf einer andern, z. B. des Oels auf Wasser, auf den Unterschied der Oberflächenspannungen der betreffenden Flüssigkeiten zurückführt, wird ein Versuch beschrieben, der mit dieser Ausbreitung im innigsten Zusammenhange steht, gleichsam den einfachsten Fall derselben bildet. Mit einer Lamelle oder einem Lamellar-System von Oel wird ein Tropfen Seifenslüssigkeit in Berührung gebracht; derselbe breitet sich zu einer kreisförmigen Lamelle innerhalb der Oel-Lamelle aus, und ersetzt diese endlich vollständig. van der Mensbrugghe, der diesen Versuch wiederholte, giebt an, dass sich derselbe in größerem Maasstabe mit Saponinlösung und Seifenwasser anstellen lasse; mich haben neuere Erfahrungen gelehrt, dass noch besser mit Quillaja-Decoct und Seifenwasser zu operiren sey, da Quillaja-

<sup>1)</sup> Pogg. Ann. 1869, Bd. 137, S. 363.

Decoct einmal größere Spannung wie Seifenwasser besitzt, dann aber auch fast ebenso gute Lamellen als dieses liefert.

Bei dieser Erscheinung nun tritt eine eigenthümliche Störung ein, wenn man auf eine recht große Quillaja-Lamelle nur sehr wenig Seifenwasser bringt, vielleicht nur so viel wie an der Spitze eines kleinen Haarpinsels adhärirt. Dieses Tröpfchen breitet sich zuerst ziemlich regelmässig innerhalb der Quillaja-Lamelle aus, bald aber wird die Geschwindigkeit der Ausbreitung geringer und endlich gleich Null, d. h. die Quillaja-Lamelle wird nicht vollständig verdrängt, sondern umgiebt ringförmig die im Innern kreisförmig schwebende Seifen-Lamelle. Die letztere ist nämlich jetzt, wie auch die Ordnung ihrer Farben zeigt, so dünn, dass ihre Spannung gleich der der Quillaja Lamelle geworden Hieraus ist es auch klar, wenn auch vielleicht noch andere Ursachen binzutreten, warum die Ausbreitung der Flüssigkeiten auf einander auch nur eine begränzte ist, warum der Tropfen Oel, wenn er auf Wasser, der Tropfen Seifenwasser, wenn er auf Oel gebracht wird, die dargebotene Fläche meist nicht ganz und gar, sondern nur bis zu einem Umfange, der Größe des Tropfens entsprechend, überzieht.

Wenn es also erwiesen scheint, dass die Spannung der Lamellen bei geringerer Dicke zunimmt, dass die Lamellen fast augenblicklich nach ihrem Entstehen diesem Einfluss unterworfen sind, so bleibt eine Erscheinung zu erklären, die mit diesem Gesetze im scheinbaren Widerspruch steht, die Erscheinung nämlich, dass eine Lamelle, besonders wenn sie gegen den Horizont geneigt ist, an verschiedenen Stellen verschieden dick seyn kann. In der That, in einer ebenen Lamelle sowohl wie in einem gekrümmten Lamellar-System müssen die tangentialen Kräfte an irgend einem Punkt im Gleichgewicht seyn; haben wir aber den einfachsten Fall, eine geneigte ebene Lamelle, so ware die Spannung, die einen Punkt derselben nach oben zieht, größer als diejenige, die ihn nach unten zieht, da erstere einem dünneren Stück der Lamelle angehört als die letztere und die Spannung mit der Dünne wächst.

Wenn wir aber die wirkenden Kräfte näher untersuchen, so ist es eben nicht der Unterschied der Spannungen allein, welchen der Punkt unterworfen ist, und der folgend er freilich (wie in dem vorher erwähnten Versuche der Faden) nach oben wandern müßte, sondern es tritt die Wirkung der Schwere hinzu, diese zieht ihn nach unten und addirt sich zur Spannung des unteren Theiles der Lamelle. Gleichgewicht wird also seyn, wenn für jeden Punkt die Spannung der oberen dünnen Lamelle gleich ist der Summe aus der Schwere und der Spannung der unteren Lamelle.

Manchem Beobachter wird es aufgefallen seyn, und am klarsten tritt die Erscheinung hervor, wenn man das vergrößerte Bild einer geneigt stehenden Lamelle auf eine weiße Fläche projectirt, daß die Theilchen der Lamelle nicht blos ihrer Schwere gemäß eine Bewegung nach unten, sondern auch eine solche und zwar lebhaft nach oben zeigen. Diese letztere Bewegungen, die sonst ganz unverständlich seyn würden, beruhen eben auf jenem Unterschied der Spannungen der oberen Theile der Lamelle und der unteren, und ebenso wie ein Kampherstückchen auf Wasser im Spiel der Spannungs-Unterschiede an seinem Umfange die eigenthümlichen Bewegungen zeigt, so drehen und bewegen sich die einzelnen Theile einer Lamelle und geben zu jenen rasch wechselnden Farbenspielen Anlaß, wie sie die kleinste Lamelle sogar noch unter dem Mikroskop zeigt.

Ich werde nicht versuchen, mich hier schon auf eine Discussion des gefundenen Resultates einzulassen. Die Theorie schien dem Hauptgesetz gemäß über die vollkommene Beweglichkeit der Flüssigkeiten, so wie den bisher bekannten Gesetzen der Molecularkräfte gemäß das entgegengesetzte Resultat zu fordern; die Versuche sind unzweideutig und es bleibt übrig, die Theorie zu ergänzen. Ob die Entfernung der Theilchen bei einer dünnen Lamelle gleich der einen dickeren sey, oder ob sich nicht vielmehr eine dünne Lamelle immer mehr dem Zustande eines festen

elastischen Häutchens nähere, und die Theilchen sich mehr von einander entfernen, sind Fragen, die mit dem angeführten Gesetze in naher Verbindung zu stehen scheinen.

Sicher scheint' jedoch, dass die Erscheinungen, dass Platten um so fester an einander haften, je dünner die zwischen ihm befindliche Flüssigkeitsschicht ist, dass ferner Leim um so besser kittet, je dünner er zwischen die Holzstücke gebracht wird, auch mit dem obigen Versuche in nahem Zusammenhange stehen.

Fassen wir noch einmal zum Schluss die Resultate dieser Untersuchung zusammen, so scheint erwiesen:

- Dass eine Lamelle schon gleich nach ihrem Entstehen eine Dicke hat, die kleiner ist als der doppelte Wirkungsradius der Molecularkräfte, dass also die Spannung einer Lamelle keine Constante, sondern eine Function der Dicke ist.
- 2) Dass die Spannung einer Lamelle zunimmt, wenn die Dicke abnimmt.

## VII. Ueber den Einfluss der Temperatur auf die Empfindlichkeit der Spectral-Reactionen; von E. Cappel, Bergassessor.

Schon die Entdecker der Spectral-Analyse, Kirchhoff und Bunsen, wiesen in ihrer ersten über diesen Gegenstand veröffentlichten Abhandlung') darauf hin, dass die Intensität der Spectren der Alkalien und alkalischen Erden mit der Steigerung der angewendeten Temperatur zunehme, ohne sich indessen ausdrücklich darüber auszusprechen, ob die vergrößerte Lichtstärke lediglich in der vermehrten

h .:

<sup>1)</sup> Pogg. Ann. Bd. 110, S. 161.

Flüchtigkeit dieser Metalle oder in der hierdurch verstärkten Empfindlichkeit der Spectralreactionen zu suchen sey.

Zur Entscheidung dieser Frage und um die Empfindlichkeitsgränze derjenigen Metalle zu bestimmen, über welche
bisher zuverlässige Angaben nicht vorliegen, wurden die
Salzlösungen der zu untersuchenden Metalle zwischen den
Polen eines kleinen Stöhrer'schen Funkeninductors verflüchtigt, dessen secundäre Rolle eine Höhe von 20 und
einen Durchmesser von 9 Cm. hatte und bei Erregung durch
drei bis vier Grove'sche Becher einen Funken von 1½ Cm.
Länge zu liefern vermochte.

Als Elektroden erwiesen sich die von Al. Mitscherlich 1) angegebenen Bündel aus feinen Platindrähten sehr
zweckmäßig, die ein leichtes und sicheres Außaugen der
Probe gestatten und hierdurch das unter Einwirkung des
Funkenstroms leicht eintretende mechanische Fortschleudern
der Flüssigkeit verhindern. Die Reinigung dieser Platindrahtbündel, von denen der Bequemlichkeit halber stets
eine größere Anzahl vorräthig zu halten ist, wird am besten bewirkt, wenn dieselben als Anode eines schwachen
galvanischen Stroms in verdünnte Säure getaucht werden.

Es scheinen sich nämlich bei der hohen Temperatur des elektrischen Funkens, namentlich in dem Falle der Anwendung von concentrirteren Lösungen, Legirungen von Platin und den betreffenden Metallen zu bilden, da weder eine lange und anhaltende Behandlung mit Säuren, noch Schmelzen mit zweifach schwefelsaurem Kali das Spectrum von den Linien der angewandten Metalle, wohin übrigens nicht blos die eigentlichen Metalle, sondern diese im weitesten Sinne (z. B. Lithium) gehören, zu befreien vermag. Nach mehrstündiger Behandlung der Elektroden in der Zersetzungszelle des galvanischen Stromkreises erhält man jedoch gewöhnlich ein Spectrum von befriedigender Reinheit.

Sowohl das äußere Aussehen der Spectren, wie direct angestellte Vergleiche ergeben, daß für den beabsichtigten Zweck die Einschaltung einer Leidener Flasche in den in-

<sup>1)</sup> Zeitschr. f. analyt. Chem. Bd. I, S. 456.

ducirten Draht nicht zweckmäsig war. Die gesteigerte Lichtstärke der Metallinien wird in diesem Falle mehr wie compensirt durch die verstärkte Helligkeit des Hintergrundes, die äußerst zahlreichen und hellen Linien der atmosphärischen Luft und die Nothwendigkeit, unter diesen Verhältnissen die Millimeter-Scale des Spectroskops stark zu erleuchten. Es ist möglich, vielleicht sogar wahrscheinlich, dass unter anderen Bedingungen und namentlich bei gesteigerter Leistungsfähigkeit des Inductors diese Verhältnisse andere werden; wenigstens scheinen die Angaben von Kirchhoff<sup>1</sup>) hierauf hinzuweisen.

Zur Bestimmung der Reactionsfähigkeit der einzelnen Metalle wurde dieselbe Methode angewendet, deren sich Kirchhoff und Bunsen 2) beim Caesium und Rubidium helienten. Von jedem Metallsalze und zwar gewöhnlich dem Chride wurde eine Reihe von Lösungen hergestellt, deren Concentrationsgrad ine geometrische Reihe mit dem Exponenten 2 bildete, so das jein folgende Lösung den doppelten Verdünnungsgrad der vorhergennden hatte. Mit diesen Lösungen wurden vermittels eines Platifdrahtes, de vermochte, die negative Elektrode des Funkeninduct bors befeuchtet, und hierauf der Funkenstrom durch das Spiektroskop analysirt, indem successive von den verdünnteren den concentrirteren Lösungen fortgeschritten wurde, die Linien des betreffenden Metalls, deren Lage für benutzte Instrument vorher genau festgestellt war, deutlich erkannt wurden.

Bei den äußerst geringen Spuren, um deren Nachweitsung aus einem sehr schnell vorübergehenden, häufig nur ein- bis zweimal stattfindenden Aufblitzen der betreffendet Spectrallinien es sich hier handelt, ist es von Wichtigkeit bevor der Inductor in Thätigkeit gesetzt wird, das Auge vor das Ocular des Beobachtungsfernrohrs zu bringen. Ohne Beihülfe einer zweiten Person wird dieser Zweck erreicht.

<sup>1)</sup> Kirchhoff, Untersuchungen über das Sonnenspectrum, 1. Th. S. 7.

<sup>2)</sup> Pogg. Ann. Bd. 113, S. 380.

wenn an die Spitze der Stahlnadel, welche in Verbindung mit einer verschiebbaren Metallkugel bei den Stöhrer'schen Apparaten die Bewegung des oscillirenden Ankers regulirt, ein dünner Faden befestigt wird, der von hier um die Inductionsrolle bis zur Hand des Experimentirenden reicht. Ein gelindes Anziehen des Fadens vermag dann den Inductor jeder Zeit in und außer Thätigkeit zu setzen, während das Auge des Beobachters sich ununterbrochen vor dem Fernrohrocular befindet.

Die folgende Tabelle enthält als Resultate der angestellten Beobachtungen in der zweiten Columne die Minima der Gewichtsmengen, auf das betreffende Element in metallischem Zustande bezogen, welche die Gränze der Reactionsfähigkeit bezeichnen und in der dritten Columne diejenigen Linien auf die von Al. Mitscherlich angegebene Scale!) bezogen, welche bei dieser Gränze im Spectrum noch sichtbar waren. Die griechischen Buchstaben dieser Columne bezeichnen die identischen Linien der gewöhnlichen Flammenspectren.

Tabelle No. 1.

		Empfindlichkeit in Milli	
Name des unter- suchten Metalls		grammen bei Anwendung des Ind. Funk.	Empfindlichste Linien
1.	Caesium `	1 4000	α
2.	Rubidium	1 1000	α
3.	Kalium	1 400	α
4.	Lithium	4000000	, α
5.	Baryum	900 000	65 ·
6.	Strontium	1 100 000 000	<b>70.</b> (δ)
7.	Calcium	10 000 000	41,6
8.	Magnesium	50000	98,5
9.	Chrom	1 4 000 000	99,1
10.	Mangan	1 90000	60,2
11.	Zink	1 600 000	81
12.	<b>In</b> dium	1 90 000	α

<sup>1)</sup> Pogg. Ann. Bd. 121, Taf. V und VI.

Name des unter- suchten Metalls		Empfindlichkeit in Milli- grammen bei Anwendung des Ind. Funk.	Empfindlichste Linien
13.	Kobalt	1000	<b>32</b>
14.	Nickel	1 600	108,3
15.	Eisen	· 1 26 000	55
16.	Thallium	80 000 000	α
17.	Kadmium	1 18 000	93,9
18.	Blei	29 000	27
19.	Wismuth	70 000	7 <b>6,7</b> '
20.	Kupfer	<u> </u>	95. 97,5. 100
21.	Silber	20 000	108
22.	Quecksilber	12 000	53,4
23.	Gold	10 000	<b>80,2</b> `
24.	Zinn	1 7 000	<b>65.</b>

Aus der zweiten Columne der vorstehenden Tabelle, in welcher die Reihenfolge der einzelnen Metalle nach ihrem chemischen Verhalten geordnet ist, läst sich im Allgemeinen das Resultat ableiten, dass die Empfindlichkeit der Spectralreactionen bei der Temperatur des benutzten Inductionsfunkens mit einem Minimum bei der Kaliumgruppe der Alkalien (Cae, Rb, Ka) beginnt, dann sehr schnell bei den alkalischen Erden und einem Theil der schweren Metalle steigt, um von da ab wieder langsam zu sinken, so dass zum Theil die Reactionsfähigkeit auf den bei der Kaliumgruppe beobachteten Grad zurücksinkt. (Au.)

Aus der dritten Columne erhellt, dass mit Ausnahme des Kupfers bei allen untersuchten Metallen eine specifisch charakteristische Linie das Maximum der Empfindlichkeit repräsentirt.

Hinsichtlich einzelner Metalle ist Folgendes zu bemerken. Eine Prüfung der Natriumverbindungen auf dem gewählten Wege war aus bekannten Gründen nicht möglich; nur im Allgemeinen konnte aus der Beschaffenheit des Spectrums der Schluss gezogen werden, dass die Empfindlichkeit der Natriumreaction bei der Temperatur des Inductionsfunkens wahrscheinlich größer ist, wie in der Bunsen'schen Gas-

flamme. Das Natrium würde daher in spectraler Beziehung der Gruppe des Lithiums, nicht der des Kaliums beizuzählen seyn

Hinsichtlich der Kalkverbindungen stellen sich bei der Temperatur des Inductionsfunkens ähnliche Schwierigkeiten ein, wie sie für das Natrium schon in den Flammenspectren auftreten. Reines destillirtes Wasser, welches nur kurze Zeit mit Glasgefäsen in Berührung gewesen ist, zeigt fast immer die charakteristische Linie 41,6, welche identisch ist mit der einzigen Metall Linie im blanvioletten Felde, welche bei der Temperatur der Gasslamme austritt. Es war daher auch nicht möglich, mit Sicherheit die äuserste Empfindlichkeitsgränze dieses Körpers zu bestimmen; wahrscheinlich ist sie bedeutend höher als angegeben und etwa der des Strontiums gleich zu setzen.

Die für Eisen, Kobalt und Nickel erhaltenen Resultate ergeben wahrscheinlich wegen der äußerst großen Schwersfüchtigkeit dieser Körper zu kleine Werthe, insofern die Stärke des benutzten Inductionsapparats hier nicht ausreichte; bei kräftigeren Inductoren werden ohne Zweifel sich Resultate erzielen lassen, welche der chemischen Stellung dieser Metalle mehr entsprechen. Dass im Uebrigen bei zur Bildung von Spectren ausreichender Temperatur die Flüchtigkeit an sich ohne merklichen Einflus auf die Reactionsfähigkeit ist, beweist vor Allem das Beispiel des Quecksilbers, dessen Empfindlichkeit vollständig seiner chemischen Stellung in der Reihenfolge der Metalle entspricht.

Die ungemeine und der chemischen Stellung des Metalls nach anomale Empfindlichkeit der Thalliumreaction findet ein entsprechendes Analogon in den chemischen Eigenschaften dieses Elements, welches, obwohl zu den schweren Metallen zählend, durch die Auflöslichkeit seines Oxyds in Wasser an Alkalien und alkalische Erden erinnert.

Die für die Reactionsempfindlichkeit der aufgeführten 24 Metalle ermittelten Resultate stimmen in keiner Weise mit den von Brassack 1) gefundenen Zahlen; es ist indes-

<sup>1)</sup> Zeitschr. f. anal. Chem. Bd. 4, S. 87.

sen leicht zu erkennen, dass das von diesem Autor eingeschlagene Verfahren nicht zu richtigen Besultaten führen konnte. Die von ihm gewählte Methode, aus dem Gewichtsverlust der metallischen Elektroden, welchen diese in der Zeiteinheit (Secunde) durch das Ueberspringen des Inductionsfunkens erleiden, die Reactionsfähigkeit der betreffenden Metalle abzuleiten, setzt nämlich zur Erlangung richtiger Resultate die Bedingung voraus, dass erstens die Empfindlichkeit der Spectralreactionen umgekehrt proportional der Flüchtigkeit des betreffenden Metalles sey, und zweitensdafs die Gewichtsverminderung der Metallelektroden lediglich durch Verdampfung entstanden sey. Die erste Voraussetzung ist unbewiesen und, auch abgesehen von den von mir erhaltenen Resultaten, gänzlich unwahrscheinlich; die zweite widerlegt sich aus Brassack's eigenen Angaben: Denn nach diesen würde sich Zink, welches schon unter dem Schmelzpunkt des Eisens destillirt, schwieriger verstücktigen als dieses. Er giebt nämlich für jenes als Gränze der Spectralreaction 5000, für dieses 2500 Milligr. an. Die Erklärung für die scheinbar geringere Flüchtigkeit des Zinks liegt wohl in dem auch anderweit bekannten Umstande, dass der Inductionsfunke nicht nur durch Wärme, sondern auch mechanisch abreißend an den Elektroden wirkt, und die abgerissenen Metalltheile nicht sämmtlich in den dampfförmigen Zustand übergeführt worden.

Das vollständig Unzutreffende der Brassack'schen Methode springt aber am besten in die Augen, wenn man erwägt, dass nach ihr leicht verdampfbaren und spectralanalytisch zugleich sehr empfindlichen Körpern, wie diess z. B. das Thallium unzweiselhaft ist, eine relativ sehr geringe Reactionsfähigkeit zukommen würde.

Die folgende Tabelle No. 2 ist aus äkteren Beobachtungen mit der Modification zusammengestellt, das sämmtliche Angaben auf den Metallgehalt der betreffenden Verbindungen reducirt wurden.

### Tabelle No. 2.

	Name	Reactionsfähigkeit bei der Temperatur
	des	der Bunsen'schen Gasslamme
	Metalls	in Milligr.
l,	Caesium	1 2,5000
2.	Rubidium	7000
3.	Kalium	3000
4.	Natrium	14 000 000
5.	· Lithium	600 000
6.	Baryum	. 1 2086
7.	Strontium	1 30000
<b>.8.</b>	Calcium	1 50000
9.	Mangan .	188
10.	Indium	1 2000
11.	Thallium	1 50000
12.	Kupfer	1 280

Die angegebenen Zahlen für die Körper sub 1) bis 8) sind den Angaben Kirchhoff's und Bunsen's 1), diejenigen sub 9) und 12) denjenigen Simmler's 2) und die sub 11) derjenigen Lamy's 3) entnommen.

Für das Indium lag eine entsprechende Angabe nicht vor; ich bestimmte daher die Empfindlichkeit desselben auf demselben Wege, der für die mit Hülfe des Inductionsfunkens beobachteten Reactionen eingeschlagen war, in Ermangelung von Leuchtgas mit Hülfe der von Rexroth 1) angegebenen Alkoholgaslampe zu 100 Milligr. Da die Temperatur dieser Flamme niedriger ist als diejenige des Bunsen sen schen Brenners, suchte ich durch Vergleich mit anderen Körpern einen annähernden Werth zu gewinnen, welcher der Temperatur des letzteren entspricht.

Nach zu diesem Zweck angestellten Versuchen wurde die Reactionsfähigkeit von Cae, Sr und Tl in der Rexroth'schen Lampe zu resp. 1050, 7000 und 5000 Milligr. gefunden;

<sup>1)</sup> Pogg. Ann. Bd. 110, S. 161 und Bd. 113, S. 380.

<sup>2)</sup> Zeitschr. f. anal. Chem. Bd. 1, S. 353.

<sup>3)</sup> Zeitschr. f. anal. Chem. Bd. 1, S. 481.

<sup>4)</sup> Zeitschr. f. anal. Chem. Bd, 3, S. 455.

sie war also um das 4 bis 10 fache geringer wie für den Bunsen'schen Brenner. Man wird daher die Empfindlichkeit der Indiumreaction bei der Temperatur des letzteren zu mindestens  $\frac{1}{5.400} = \frac{1}{2000}$  Milligr. schätzen können.

Dividirt man mit den Zahlen der zweiten Columne von Tabelle No. 2 in die entsprechenden Werthe der Tabelle No. 1, so erhält man für die betreffenden Metalle das Verhältnis der Reactionsfähigkeit bei der Temperatur des Inductionsfunkens zu derjenigen bei der Temperatur der Gasslamme.

#### Tabelle No. 3.

	<b>A</b>	Verhältnis der Reactionssähigkeit
Name des Metalls		im Inductionsfunken zu derjenigen in der Gasslamme
1.	Caesium	in dei Gashainme
2.	Rubidium	17
3.	Kalium	1
4.	Lithium	<b>70</b> : 1
5.	Baryum	<b>450</b> : <b>1</b>
6.	Strontium	<b>3300 : 1</b>
7.	Calcium	<b>330</b> : 1
8.	Mangan	<b>2400</b> : 1
9.	Indium	44 : 1
10.	Thallium	1600 : 1
11.	Kup <b>f</b> er	70 : 1.

Die Bedeutung dieser Zahlen ist nachstehend erörtert. Schon Kirchhoff wies darauf hin 1), dass das Spectrum des Kaliums bei der Temperatur des Inductionsfunkens erheblich weniger intensiv erscheine, als in der nicht leuchtenden Gasslamme; schon hieraus lässt sich a priori die geringere Empsindlichkeit der Spectralreaction dieses Metalls bei jener Temperatur folgern. Diese Folgerung gilt, wie die Zahlen sub 1) bis 3) der vorstehenden Tabelle zeigen, nicht nur für das Kalium, sondern für sämmtliche Metalle

<sup>1)</sup> Kirchhoff, Unters. über das Sonnenspectr. 2. Thl. S. 7.

der Kaliumgruppe (Cae, Rb, Ka). Es ist ferner erwiesen ), das bei der Temperatur der Wasserstoffsamme und namentlich der Knallgasslamme bei den Alkalien neue Spectrallinien sichtbar werden, welche bei gleicher Leistungsfähigkeit des optischen Apparats weder in der nichtleuchtenden Gasslamme, noch in dem Inductionsfunken austreten. Dies scheint selbst von dem den Uebergang zu den alkalischen Erden bildenden Lithium zu gelten, da die blaue Linie dieses Metalls weder in den Kirchhoff'schen Tafeln angegeben ist, noch von mir wahrgenommen werden konnte.

Für die übrigen Metalle, einschließlich des Lithiums, erhellt aus der Tabelle, daß bei der Temperatur des elektrischen Funkens die Empfindlichkeit der Spectralreactionen auf das 40 bis 3000 fache derjenigen steigt, welche bei der Temperatur der Gasslamme stattfindet. Zugleich treten im Spectrum des Inductionsfunkens zahlreiche neue Linien auf, welche bei niedrigeren Wärmegraden nicht sichtbar werden.

Combinirt man diese Erscheinungen, so liegt es nahe, dieselben in folgenden Sätzen zusammen zu fassen, deren Bestätigung im Einzelnen freilich weiteren Forschungen überlassen bleiben muß.

- 1) Mit steigender Temperatur nimmt die Empfindlichkeit der Spectralreactionen und die Zahl der Spectrallinien bis zu einem gewissen Temperaturgrade zu; wird die Temperatur über diesen Grad hinaus gesteigert, so findet in beiden Beziehungen eine Abnahme statt.
- 2) Linienreichthum und Empfindlichkeit eines Spectrums sind in der Weise correlate Erscheinungen, dass bei derjenigen Temperatur, wo jener am stärksten ausgebildet ist, auch diese ihr Maximum erreicht.
- 3) Derjenige Temperaturgrad, bei welchem das Maximum der Empfindlichkeit stattfindet, ist für die verschiedenen Metalle verschieden; derselbe steigt im Allgemeinen von den Alkalien zu dem elektro-negativen Ende der Metallreihe.

Zur Vermeidung von Missverständnissen mache ich ausdrücklich darauf aufmerksam, dass, wo im Vorstehenden von

1) Zeitschr. f. anal. Chem. Bd. 1, S. 459.

Linien des Spectrums die Rede ist, hierunter immer die dem Metall entsprechenden Streifen verstanden sind und sich nicht auf die Bänder oder Linien der Verbindungsspectren beziehen.

Nach meinen Erfahrungen nimmt die bei niedriger Temperatur emptindlichste Metalllinie auch bei gesteigerter Wärme diesen Rang ein. Es gilt diess z. B. unbedingt vom Li, Sr, Ca, In, Tl. Wie aus einem Vergleich mit den von Al. Mitscherlich publicirten Taseln 1) hervorgeht, scheint diess indessen bei anderen Metallen z. B. Mn und Ba nicht der Fall zu seyn.

Als practisches Ergebniss der vorstehenden Erörterungen läst sich der Satz aufstellen, dass die Spectralanalyse der Alkalien am vortheilhaftesten etwa bei der Temperatur der Knallgasslamme, diejenige der übrigen Metalle bei derjenigen des elektrischen Funkens vorgenommen wird.

:

Da mit Anwendung stärkerer Inductoren unzweiselhaft auch die Temperatur des Funkens zunimmt, so ist es höchst wahrscheinlich, dass hierdurch für eine große Reihe von Metallen die Empfindlichkeit der Speetralreactionen über die oben mitgetheilten Gräuzwerthe hinaus gesteigert zu werden vermag; unzweifelhaft aber dürfte es seyn, daß die Wahl einer zweckmäßigen Temperatur für die Empfindlichkeit der Spectralanalyse nicht weniger wichtig ist, als die Anwendung des Spectroskops selbst. Denn nummt man z. B. an, dass von Strontium im Wege der gewöhnlichen Analyse noch Tho Milligr. nachweisbar ist, so wurde die Analyse des Flammenspectrums des Bunsen'schen Brenners noch 300 dieser Menge nachweisen, während der elektrische Funke noch 3000 der durch das Flammenspectrum erkennbaren Menge angiebt.

Auch für die Entdeckung neuer Metalle scheint die Anwendung höherer Temperaturen von großer Bedeutung zu seyn. Erwägt man beispielsweise, daß, abgesehen von dem Jargonium, alle spectralanalytisch entdeckten Metalle unter Anwendung der Gasslamme aufgefunden zu zeyn scheinen,

<sup>1)</sup> Pogg. Ann. Bd. 121 a. a. O.

und dadurch die Zahl derjenigen Metalle, welche überhaupt bei dieser Temperatur ein Spectrum geben, fast verdoppelt worden ist, so leuchtet ohne Weiteres ein, dass die Wahrscheinlichkeit der Auffindung neuer Metalle unter Anwendung des elektrischen Funkens eine sehr große ist, da sowohl die Feinheit wie der Umfang dieser Art der Analyse hierdurch erheblich gesteigert werden.

Dortmund, im December 1869.

VIII. Ueber Knochenhauer's Vergleichung der Theorie mit der Erfahrung für die oscillatorische elektrische Entladung in einem verzweigten Schliefsungsbogen; von W. Feddersen.

Nachdem ich in dem 130. Bande dieser Annalen S. 439 u. f. die Theorie der elektrischen Flaschenentladung auf den Fall angewendet hatte, wo der Schließungsbogen eine Zweigleitung enthält, und gezeigt, dass gewisse, von Knochenhauer aufgefundene Anomalien der Wärmeentwicklung, in den einzelnen Zweigen aus den Grundprincipien der Elektricitätslehre ihre natürliche Erklärung finden, hat der genannte Experimentator im 133. Bande d. Ann. S. 447 u. f. sowie S. 655 u. f. eine Reihe von Versuchen veröffentlicht, aus welchen er eine Discordanz zwischen Theorie und Erfahrung abzuleiten sucht. Es war meine Absicht, nicht blos negativ zu zeigen, dass die von Knochenhauer geführte Rechnung in ihren Grundlagen falsch ist, in Folge dessen seine daraus gezogenen Schlüsse unzutreffend sind, sondern auch positiv durch Experimente zu beweisen, dass in der That Theorie und Erfahrung auch im verzweigten Schliessungbogen, soweit man Erstere durch Letztere zu prüfen im Stande ist, vollkommen Hand in Hand gehen oder materiell den Differenzpunkt näher anzugeben. Bereits hatte ich mir verschiedene Apparate herstellen lassen, als persönliche Verhältnisse mich veranlassen, von einer experimentellen Behandlung des Gegenstandes wenigstens vorläusig abzusehen. Um nun die Einwürfe Knochenhauer's gegen die Theorie nicht länger unerledigt zu lassen, beschränke ich mich auf die Ausführung des ersten Theils meines Planes, nämlich die Besprechung der a. a. O. von Knochenhauer veröffentlichten Experimente, und der von ihm dafür versuchten Berechnung, wobei sich zeigen wird, dass die Versuche, weit entsernt, die Richtigkeit der Theorie in Zweisel zu stellen, vielmehr, soweit sie eine approximative Controle der Theorie zulassen, als Stütze derselben dienen können.

Zunächst möge kurz recapitulirt werden, warum es sich handelt.

Entladet man eine Leydener Flaschenbatterie durch einen gut leitenden einfachen Schließungsbogen, so oscillirt, wie durch Theorie und Erfahrung hinreichend bewiesen, die vorher in der Batterie angehäufte Elektricität, durch Wärmeabgabe und Arbeitsleistung sich verzehrend, zwischen den inneren und äußeren Belegungen 1).

Die Theorie für einen einfachen Schließungsbogen läßt sich auch auf den Fall anwenden, wo sich in demselben ein Zweigsystem befindet.

In meiner Abhandlung über die Theorie der Stromverzweigung bei der elektrischen oscillatorischen Entladung a. a. O. habe ich unter gewissen Voraussetzungen den Ausdruck für die Stromstärke entwickelt, welche in irgend einem Augenblick in einem von zwei Zweigen stattfindet. Aus

1) Der mathematische Ausdruck für die Existenz dieser oscillatorischen Entladungsweise ist bekanntlich in der Bedingung

$$\frac{4}{A\beta} > \frac{W^2}{4A^2}$$

enthalten, wo  $\beta$  die Capacität der Batterie, W der Widerstand des Schließungsbogens und A die elektrodynamische Constante (das Strompotential oder die elektrodynamische Capacität) des Letzteren bedeutet.

der Formel für diese Stromstärke habe ich durch Integration einen Ausdruck, abgeleitet für die Wärmeentwicklung an zwei identischen Prüfungsstellen der Zweige (also z. B. in zwei gleichen, in die Zweige eingeschalteten Luftthermometern). Der Ausdruck war eine complicirte Formel, welche sich jedoch unter beschränkenden Annahmen außerordentlich vereinfachen ließe. Es ergab sich nämlich, daß die in einem Zweige entwickelte Wärmemenge in diesem Falle umgekehrt proportional wurde dem Quadrat der elektrodynamischen Constante, dieses Zweiges, analog wie die Erwärmung in dem Zweige eines galvanischen Schließungsbogens umgekehrt proportional dem Quadrat des galvanischen Widerstands seyn würde.

Ferner machte ich a. a. O. darauf aufmerksam, dass bei verschiedenen Versuchen von Knochenhauer die erwähnten beschränkenden Annahmen zutreffend scheinen, und, dass er in diesen Fällen die Wärmeentwicklung umgekehrt proportional mit dem Quadrat der von ihm so genannten »aequivalenten Länge« gefunden hat. Ich sprach es aus, dass in diesen Fällen die »aequivalente Länge« (wenigstens annähernd) als ein Ausdruck für das Strompotential und mithin in gewisser Weise als eine physikalische Constante zu betrachten sey. Als Consequenz davon hob ich hervor, dass in jenen Fällen die »aequivalente Länge« in derselben Art und in demselben Sinne wie die elektrodynamische Constante nur von Figur und Dimensionen des Zweigdrahtes sich abhängig zeigt.

Zugleich erwähnte ich, dass bei einer andern Anzahl von Versuchen, wo Knochenhauer die aequivalente Länge von dem Material des Zweigdrahtes, von der Größe der Batterie, so wie von dem Widerstand der Hauptleitung des Schließungsbogens abhängig findet, hinreichender Grund zu der Annahme vorhanden ist, dass die beschränkenden Bedingungen nicht erfüllt sind, unter denen die Erwärmung einer Prüfungsstelle in einem Zweige dem reciproken Quadrate der elektrodynamischen Constante dieses Zweiges proportional gesetzt werden dars. Die aequivalente Länge ,

durch die reciproke Wurzel aus dem Werthe der Erwärmung bestimmt, lässt sich dann nicht mehr als eine physikalische Constante des in dem Zweige angewandten Leitersystems betrachten.

Untersucht man mit Hülfe der allgemeinen, a. a. O. von mir entwickelten Erwärmungsformel theoretisch, wie sich der unter beschränkenden Annahmen gefundene einfache Ausdruck der Erwärmung ändert, wenn man die eine oder andere der Beschränkungen fallen lässt, so findet man eine Aenderung, welche dem Sinne nach durchaus der Aenderung entspricht, welche Knochenhauer bei seiner aequivalenten Länge« gefunden hat; dies habe ich ebenfalls a. a. O. des Weiteren auseinandergesetzt, ohne jedoch die Uebereinstimmung von Theorie und Erfahrung für einzelne Versuche Knochenhauer's numerisch nachzuweisen. Eine solche Nachweisung müßte ihr Missliches haben, weil auf der einen Seite die Figur und Anordnung der Drähte bei Knochenhauer nicht genau genug beschrieben war, um danach eine genauere Auswerthung der elektrodynamischen Constante vornehmen zu können, auf der andern Seite aber die Auswerthung selbst, bei nicht ganz einfachen geometrischen Figuren unüberwindliche mathematische Schwierigkeiten bietet 1). Dennoch ließen sich in manchen Fällen vielleicht gewisse wahrscheinliche Werthe ermitteln.

Wenigstens versucht Knochenhauer für einige 2) sei-

Die elektrodynamische Constante (oder das Strompotential, auch elektrodynamische Capacität genannt) eines Leiters muß ja durch Integration von

$$\frac{8}{c^2} \iint \frac{ds \, ds'}{r} \cos \theta \cos \theta'$$

über den ganzen Leiter gefunden werden. (Die Buchstaben haben hier die gewöhnliche, auch von Kirchhoff gebrauchte Bedeutung.)

2) Knochenhauer theilt in derselben Abhandlung an verschiedenen Stellen mehre Versuche mit, in denen Verhältnisse (Magnetisirungen theils von eisernen Leitungsdrähten, theils von in Inductionsrollen gesehobenen Eisendrahtbündeln) vorkommen, welche der Vereinfachung halber, von Anfang an, bei Entwicklung der Formeln ausgeschlossen waren. Da die Bedingungen, für welche die Formeln der elektrischen Entladung abgeleitet sind, sowohl in den Thomson'schen und Kirchhoff'schen

ner, in diesen Annalen Bd. 133 beschriebenen Versuche, eine Vergleichung zwischen Theorie und Erfahrung anzustellen, und hiervon soll in Folgendem die Rede seyn.

Zunächst bespricht Knochenhauer in der vorliegenden Abhandlung einen Fall, wo ein 33°,532 langer, 1°°,184 dicker Kupferdraht das eine Mal als »gestreckter Draht«, das andere Mal als Spirale von 32 Windungen mit 3′′′ = 6°°,767 Abstand zweier benachbarter Windungen zum Versuch diente. Die »aequivalenten Längen« sind von Knochenhauer in gewöhnlicher Weise bestimmt, und der Versuch fällt in die Kategorie derjenigen, für die ich behauptet habe, dass die »aequivalente Länge« wenigstens annäherungsweise als ein Ausdruck des Strompotentials für den betreffenden Draht in der angewandten Form und Aufspannungsart anzusehen sey. Knochenhauer findet aus dem Versuch das Verhältnis der »aequivalenten Länge« für den »gestreckten Draht« zu derjenigen für die Spirale, wie

1 : 6.73.

Es kommt nun darauf an, für beide Formen der gebrauchten 33<sup>m</sup>,532 die elektrodynamische Constante zu entwickeln, und das Verhältnis zu bilden, welches der Theorie nach mit dem eben angegebenen übereinstimmen soll.

Für die zweite Form (die Spirale) die elektrodynamische Constante zu bilden, ist nach der von Kirchhoff, in diesen Annalen Bd. 121, S. 560 gegebenen Formel nicht schwer. Wenn man hier, wie auch später, den Factor  $\frac{8.2.33532}{c^3}$  fortläfst, beträgt sie nach Knochenhauer bei einem zu 6 mm, 767 angenommenen Abstand der Windungen

46,4441,

Abhandlungen, als auch von mir a. a. O. erörtert wurden, so brauche ich auf diese Versuche wohl nicht mehr einzugehen; ebenso darf ich mich wohl einer jeden Polemik enthalten gegen die Einführung eines besonderen »elektrischen« Widerstandes, den jeder der Zweige außer seinem galvanischen Widerstand nach besitzen soll. (S. Knochenhauer a. a. O. S. 660.)

Ŧ, ,

nach meiner Berechnung bei einem zu 6<sup>mm</sup>,756 angenommenen Abstand <sup>1</sup>)

46,50.

Für die erste Form, die 33°,532 "gestreckten Drahtes«, die Constante zu bilden, hat jedoch weit größere Schwierigkeit. Knochenhauer setzt freilich ohne Weiteres die Constante einfach gleich  $\log \frac{L}{\alpha}$ , wo L die Länge und  $\alpha$  der Radius des Drahtes ist, also hier gleich

 $\log \frac{33,532}{0,592}$ 

und findet darnach das gesuchte Verbältniss

1:4,23.

So einfach liegen indessen die Sachen nicht; es bedarf vielmehr einer sorgfältigen Ueberlegung, welche Form wohl dem "gestreckten Draht" entsprechen möge, und welche Vernachlässigungen bei der Bildung des Ausdrucks erlaubt sind. Die von Kirchhoff gegebene Formel

$$\frac{8}{c^3} \cdot 2L \log \frac{L}{a}$$

(oder wie oben  $\log \frac{L}{\alpha}$ , mit Weglassung des Factors  $\frac{8}{c^4}$ . 2L) für die elektrodynamische Constante eines Drahtes von der Länge L und dem Radius  $\alpha$  bezieht sich zunächst auf Werthe von L und  $\alpha$ , für welche  $\log \frac{L}{\alpha}$  gegen die Einheit eine sehr große Zahl ist. Dieß trifft in unserem Falle nicht zu; wir würden daher schon mit größerer Annäherung die elektrodynamische Constante des "gestreckten Drahtes" er halten, wenn wir die von Kirchhoff, diese Annalen Bd. 100, S. 200 zu Ende vernachlässigte Zahl — 1 dem Logarithmus addiren, allein es kann in unserem Falle von einem geraden Drahte überhaupt nicht die Rede seyn.

Es ist leicht einzusehen, dass, wenn in einem Zweige eine Inductionsrolle (von immerhin geringer Ausdehnung) cet. par. durch einen »gestreckten Draht« ersetzt wird, oder

<sup>1)</sup> Es ist der Abstand, welchen ich früher an den von Knochenhauer mir zugesandten Rollen gemessen hatte.

wenn von zwei Zweigen der eine aus einer Inductionsrolle, der andere aus einem »gestreckten Drahte« besteht, die Enden dieses »gestreckten Drahtes« in keiner größeren Entfernung von einander seyn können, als die Enden der Inductionsrolle. Man könnte daher für die elektrodynamische Constante des 33<sup>m</sup>,352 »gestreckten Drahtes « näherungsweise die Formel anwenden wollen, welche Kirchhoff für einen kreisförmigen, oder etwa für einen, in Form eines Quadrates aufgespannten Draht, gegeben hat; allein auch diess würde nicht statthaft seyn, weil Knoch en hauer die 33",532 Draht gar nicht direct in »gestreckter « Form mit der Spiralform verglichen hat, sondern als Maass für die » aequivalente Länge «, die Länge eines Drahtes von » höchstens 20 bis 30 Fus« gebraucht, hiermit andere Spiralen bestimmt, und erst, mit Anwendung dieser Hülfsspiralen, die »aequivalente Länge« unserer aus den 33m,532 Draht gewickelten Spirale ermittelt hat.

Wir werden daher, um auf das Experiment gehörige Rücksicht zu nehmen, uns die 33<sup>m</sup>,532 in einzelne Theile zerlegt denken, die elektrodynamische Constante für jeden Theil nach einer für das Experiment wahrscheinlichen Form suchen, und aus der Summe ') der so erhaltenen Werthe, mit dem oben angegebenen Werthe für die Spirale, das gesuchte Verhältnis bilden müssen. Die Zahlen, welche die Ausführung dieser Operationen für das gesuchte Verhältnis liefert, sind:

- 1) wenn wir den 33<sup>m</sup>,532 langen Draht uns in vier gleiche Theile zerlegt denken,
  - a) bei Annahme der Kreisform,

1:5,78,

b) bei Annahme der Quadratform,

1:6,07;

- wenn wir uns den bereffenden Draht in fünf gleiche Theile zerlegt denken,
- Die einzelnen Theile sind in derjenigen gegenseitigen Lage gedacht, wo es gestattet ist, die Induction je zweier aufeinander zu vernachlässigen, gegen die Induction jedes einzelnen auf sich selbst.

- a) bei Annahme der Kreisform, 1:5,93,
- b) bei Annahme der Quadratform, 1:6.26.

Nähern sich diese Zahlen schon bedeutend dem von Knochenhauer durch den Versuch gefundenen Verhältnifs (1:6,73) der »aequivalenten Längen«, so ist noch zu bedenken, dass weder eine besonders angenäherte Kreisnoch eine dergl. Quadratform für Knochenhauer's Experimente wahrscheinlich ist, dass aber, wie eine einfache Ueberlegung ergiebt, eine Abweichung von dieser Form, wodurch zwei von demselben Strome gleichzeitig in entgegengesetzter Richtung durchflossene Leitertheile einander näher gebracht werden, in jedem der beiden Fälle eine weitere Verkleinerung der Zahl mit sich bringt, welche wir für die elektrodynamische Constante des 33m.532 langen Drahtes in »gestreckter « Form zu setzen haben, woraus eine weitere Annäherung des gesuchten Verhältnisses an das von Knochenhauer gefundene resultirt. Erinnert man sich an die nur mässige Feinheit der Beobachtungen mit dem Luftthermometer überhaupt, und berücksichtigt ferner, dass bei gänzlicher Unkenntnis der Figur, welche der Schliessungsbogen beschreibt, nicht zu wissen ist, ob nicht noch wesentliche Einwirkungen von anderen Theilen des Schließungsbogens auf die 20 bis 30 Fuss Draht, womit die Rollen verglichen wurden, stattgefunden haben, so kann man in der That nor überrascht seyn, dass es möglich war, bis zu solcher Annäherung Beobachtung und Theorie in Einklang zu bringen.

Die Beobachtungen von Knochenhauer S. 453 a. a. O. sind ebenfalls vollständig conform mit der Theorie; sie zeigen, wenn auch natürlich nur mit einer Genauigkeit, wie sie der Art des Experimentes entspricht, dass man die »aequivalente Länge« eines Drahtsystems constant findet, wenn man mit gut leitenden Zweigen eines gut leitenden Schliefsungsbogens experimentirt, und die eine der entwickelten

Wärmemengen an den identischen Prüfungsstellen nicht sehr klein wird gegen die andere.

Die darauf folgenden Beobachtungsreihen (No. 2 bis 7) mit langem und dünnem Platindraht in einem Zweige, gehören in diejenige Kategorie, wo die von Knochenhauer bestimmte »aequivalente Länge « dieses Zweiges, keine physikalische Constante ist, wo sie vielmehr eine complicirte Function verschiedener Bedingungen des Experimentes bildet: - eine aus der Beobachtung abgeleitete Zahl, die zu kennen in der Regel kein weiteres Interesse hat. Dass die Veränderung dieser Zahl, welche Knochenhauer merkwürdiger Weise auch hier noch »aequivalente Länge« nennt, obgleich er das Unzutreffende dieser Benennung eingesteht 1), in demselben Sinne erfolgt, wie die Theorie es verlangt, geht schon aus früheren Versuchen Knochenhauer's hervor, und ist schon in meiner Abhandlung »Ueber die Theorie der Stromverzweigung etc. « besprochen. So interessant es auch wäre, eine wirkliche Berechnung der Versuche anzustellen, um zu sehen, ob ähnliche Verschiedenheiten zwischen den Zahlen der Theorie und des Experimentes stattfinden, wie sie Kirchhoff früher für meine Beobachtungen der Oscillationsdauer gefunden hat, so muss man doch mit den von Knochenhauer gegebenen Daten darauf verzichten.

Seite 457 und 458 theilt Knochenhauer einige Versuche mit, welche aus schon angeführten Gründen (s. Anm. S. 642) nicht hierher gehören.

Seite 459 bis 460 zur Hälfte, sind Versuche mitgetheilt, welche das, übrigens schon früher bestätigte Resultat der Theorie, dass die am Ende einer Entladung durch die einzelnen Zweige schliefslich entwichenen Elektricitätsmengen sich umgekehrt verhalten wie die galvanischen Widerstände dieser Zweige, auf's Neue bestätigen.

<sup>1)</sup> Seite 455 sagt Knochenhauer: »die strenge Bedeutung von aequivalent lässt sich in diesem Fall überhaupt nicht seststellen, insosern sie aussagt, dass eine Drahtverbindung für einen Kupserdraht in gestreckter Form, abgesehen vom Widerstand, substituirt werden kann, ohne die ganze Art und Weise der Batterieentladung zu ändern.«

Die auf Seite 460 bis 461 sowie in der Fortsetzung S. 655 bis 660 angeführten Galvanometerbeobachtungen zeigen, dass dasselbe Verhalten noch stattsindet, wenn in einem Zweige namhafte Magnetisirungen weichen Eisens durch die Entladung hervorgebracht werden: ein bemerkenswerthes Resultat des Versuchs, aber, insofern bei Entwicklung der Theorie dieser Fall ausgeschlossen wurde, nicht hierher gehörig. Ebenso wenig die auf denselben Seiten angeführten Thermometerbeobachtungen. Es folgt also auch nicht im Entferntesten daraus, dass die Theorie (wie Knochenhauer S. 660 meint) »nicht mit den durch die Versuche gegebenen Thatsachen übereinstimme.«

Noch weniger als die letzten, Beobachtungen, steht das auf S. 661 bis 664 Vorgebrachte, in irgend einer Beziehung zu meiner theoretischen Untersuchung über die Stromverzweigung; nirgends findet sich in dieser Untersuchung der Fall behandelt, wo in einem Zweige eine Unterbrechung der Leitung stattfindet, nirgends der Fall, wo der Hauptbatterie eine Nebenbatterie beigeordnet ist. Es soll damit nicht gesagt seyn, dass sich die mathematische Theorie der Elektricität nicht auch auf diese Fälle anwenden ließe; allein die von mir aufgestellten Formeln beziehen sich nicht darauf; man darf sich daher auch nicht wundern, dass diese Formeln die, durch derartige Versuche gefundenen » Thatsachen nicht ausdrücken.«

Auf Seite 666 folgt die Ausführung einer Integration; dieselbe würde mich nicht befremden, wenn es sich hier um die Entwicklung der Theorie handelte, oder wenn eine Formel gewonnen würde, die sich in besserer Weise auf die vorliegenden Versuche anwenden ließe; da aber Beides nicht der Fall ist, so darf ich auch die daran geknüpften, mir zum Theil unverständlichen Betrachtungen mit Stillschweigen übergehen.

Das, was nun bis Seite 672 folgt, ist im Wesentlichen ein Versuch, die auf S. 454 u. f. aufgeführten, mit einem dünnen Platindraht angestellten Beobachtungen, mit der von mir in der mehrfach genannten Abhandlung gegebenen For-

mel (für die Erwärmung in den Zweigen eines Schließungsbogens durch eine oscillatorische Batterieentladung) numerisch zu vergleichen. Daß die Versuche sich dazu nicht eignen, habe ich schon oben gesagt, doch möge es mir gestattet seyn, zu zeigen, wie oberslächlich der Verfasser sich über die Schwierigkeiten hinweggeholfen hat.

Seite 667 macht er die Annahme, dass der Widerstand des Zweigsystems bei der oscillatorischen Entladung gleich  $\frac{1}{4}\frac{(\sqrt{\theta_1}+\sqrt{\theta_2})^2}{\theta}$ .  $(\omega_1+\omega_2)$  gesetzt werden könne, wo  $\theta$ ,  $\theta_1$ ,  $\theta_2$  die Erwärmungen an identischen Prüfungsstellen respective im Stamm und in den Zweigen I und II,  $\omega_1$  und  $\omega_2$  die galvanischen Widerstände der Zweige sind; — eine willkürliche Annahme, die durch Nichts begründet wird.

Seite 667 bis 671 ') macht er die ebenfalls willkürliche Annahme, dass die elektrodynamische Constante des Zweigsystems gleich der halben elektrodynamischen Constante des gut leitenden Zweiges gesetzt werden könne <sup>2</sup>).

- Dass Knochenhauer hier, wie an andern Orten, östers einsach von Länge spricht, wenn er »aequivalente Länge« meint, gehört zu den vielen Ungenauigkeiten im Ausdruck, die seine Auseinandersetzungen nicht selten ganz unverständlich machen.
- 2) Aus Gleichung (1) und (2), diese Annalen Bd. 130, S. 441 folgt:

$$w_1 i_1 + a_1 \frac{di_1}{dt} = w i + a \frac{di}{dt}$$

wo w und a respective den Widerstand und die elektrodynamische Constante des Zweigsystemes (dasselbe als Ganzes genommen) bezeichnen, die übrigen Buchstaben aber die dort angegebene Bedeutung haben. Findet eine oscillatorische Entladung statt, so kann man die in dersel-

ben Abhandlung zu findenden Werthe von  $i_1$ ,  $\frac{di_1}{dt}$ , i und  $\frac{di}{dt}$  als Func-

tionen von t einsetzen und erhält eine Gleichung, welche für alle Werthe von t gelten muß. Setzen wir t = 0 und schreiben  $A_0 + a$  statt A, wobei  $A_0$  die elektrodynamische Constante des Schließungsbogens ohne das Zweigsystem bedeutet, so erhalten wir durch Reduction

$$a=\frac{a_1\,a_2}{a_1+a_2}$$

als allgemein gültig für eine oscillatorische Entladung. Es bezeichnen hier, wie wohl kaum zu erwähnen nöthig,  $a_1$  und  $a_2$  die elektrodynamischen Constanten der einzelnen Zweige.

Auf Seite 671 bespricht er eine dritte Schwierigkeit, nämlich die Umwandlung der »aequivalenten Länge« in die elektrodynamische Constante. Schon oben auf Seite 643 bis 645 habe ich ausführlich besprochen, dass für den »gestreckten Draht«, durch dessen Länge die »aequivalente Länge« der gebrauchten Inductionsrollen gemessen wird, die elektrodynamische Constante nicht in der Weise berechnet werden darf, als wäre er ein geradliniger Draht von unendlich kleinem Durchmesser.

Die auf Seite 454 Anm. 3 von Knochenhauer gemachte und hier auf S. 672 benutzte Angabe, dass ein 5 Fuss langer, auf eine enge Glasröhre gewickelter Kupferdraht eine seiner natürlichen gleiche »aequivalente « Länge habe, ist ungenügend, weil man von den Fehlergränzen des Versuches, der zu diesem Schlusse geführt, keine bestimmte Vorstellung hat.

Ob die Berechnung der absoluten Widerstände des Schließungsbogens und seiner einzelnen Theile ohne directe Vergleichung mit einem absoluten Normalwiderstande, hinreichend genaue Zahlen ließern könne, will ich dahingestellt seyn lassen; jedenfalls möchte ich aber hier darauf außmerksam machen, daß bei Berechnung der Erwärmung nach  $\int i^2 dt$  die fehlerhaften Werthe aus i im Allgemeinen in quadratischer Form im Resultat erscheinen.

Es erweist sich also die Ermittlung der Constanten bei dem Versuche Knochenhauer's, die Theorie mit der Erfahrung zu vergleichen, als vollkommen ungenügend; doch nicht dies allein; ich vermisse in der Abhandlung noch die Besprechung eines anderen wesentlichen Punktes. Bei Entwicklung der Formeln für die Stromstärke in jedem der beiden Zweige eines verzweigten Schließungsbogens machte ich die Voraussetzung, dass die Inductionswirkungen der beiden Zweige auf einander, so wie auf die Stammleitung, gegen die Inductionen, welche jedes einzelne Glied auf sich selbst ausübt, vernachlässigt werden könnten; dieser Vor-

aussetzung wird in der Knochenhauer'schen Abhandlung mit keiner Silbe gedacht und auch aus der Beschreibung des Versuches ist nicht ersichtlich, ob sie erfüllt war.

# IX. Ueber das Schwimmen des festen Eisens auf flüssigem; nebst Bemerkung über den Trèves'schen Versuch;

von Dr. L. Overzier in Cöln.

Festes Eisen schwimmt auf slüssigem; es ist dies eine Beobachtung, die Jeder leicht anstellen kann, wenn er nur in eine Eisengieserei sich begeben, und zur Zeit des Gusses ein Stück schon erkaltetes, festes Eisen auf die noch slüssige Masse wersen will. Die Thatsache steht fest; eine hinreichende, alle Entgegnung beseitigende Erklärung wurde aber bis jetzt meines Wissens noch nicht gegeben, obgleich das Problem schon in mehreren Hauptversammlungen des sächsischen Ingenieur-Vereins und des Vereins deutscher Ingenieure zur Besprechung vorlag.

Es liegt sehr nahe, zunächst an die allgemein bekannte, dabei für den Haushalt der Natur so überaus wichtige Eigenthümlichkeit des Wassers zu denken, demgemäß dasselbe von 3°R. auf- und abwärts an Dichte abnimmt, und zwar ist nach übereinstimmenden Versuchen von Dufour, Despretz, Kopp und Duvernoy die Ausdehnung vom Zustande seiner größten Dichte bis zum Gefrierpunkte fast doppelt so groß, als die bis zur Siedhitze. Gefäße, in denen Wasser gefriert, selbst starke eiserne Bomben, springen, Baumstämme platzen bei großer Kälte. Die Lockerung des Bodens durch Ausfrieren, die Zersprengung von Felsen durch Erstarren des Wassers in den Spalten und Rissen etc. sind nur Folgen der unwiderstehlichen Kraft, mit welcher sich jene Ausdehnung vollzieht. Uebrigens steht das Was-

ser in dieser Hinsicht nicht vereinzelt da. Das Rose'sche, aus 2 Theilen Wismuth, 1 Theil Blei und 1 Theil Zinn bestehende Metallgemisch dehnt sich nur bis zur Temperatur von 35°,3 R. stufenweise aus, zieht sich dann bei weiterer Erwärmung rasch zusammen und erreicht bei 55°.2 R. seine größte Dichtigkeit. Aehnlich verhält sich absoluter Alkohol, welcher nach Versuchen von Tralles seine größte Dichte bei - 89°,5 C. erreicht, bei noch niedrigerer Temperatur sich jedoch wieder ausdehnt. Recknagel untersuchte den Einflufs, den ein Zusatz von Alkohol auf das Erstarren des Wassers ausübt. Er fand die Intervalle für die Ausdehnung des wasserhaltigen Weingeistes größer als beim Wasser, während sie bei Salzlösungen bekanntlich geringer sind. Auch Wismuth dehnt sich beim Erstarren stark aus, wahrscheinlich auch Antimon. Der Grund dieser Erscheinung ist wohl darin zu suchen, dass die Massetheilchen bei ihrer mit dem Dichtigkeitspunkte beginnenden Neigung sich zur krystallinischen Structur zu ordnen, sich wahrscheinlich nach gewissen Richtungen hin anziehen, nach anderen abstofsen und so von dem Zustande gleichförmiger Anziehung, welcher die Kugelform bedingt, sich entfernen. Die Beobachtungen von Savart, denen gemäß das Wasser im Zustande seiner größten Dichtigkeit das Maximum, unmittelbar darauf, bei + 1 bis + 2° C. das Minimum seiner Zähigkeit besitzt, und dieselbe dann bis 0° wieder zunimmt, deuten darauf hin. dass, wie Savart bemerkt, die Wassertheilchen während dieses Ueberganges aus dem flüssigen in den festen Zustand um ihren Schwerpunkt sich drehen, indem sie hierbei vorübergehend in eine solche Lage gerathen, dass sie sich untereinander in einem Zustande schwankenden Gleichgewichtes befinden, und können um so weniger befremden, wenn man berücksichtigt, dass die Krystallform des Eises höchst wahrscheinlich eine hexagonale Säule ist.

Wenn Meister, gestützt auf einen, in dies. Ann. Bd. 104, S. 657 mitgetheilten Versuch, das Vorhandenseyn von Luftbläschen als Ursache des geringeren specifischen Gewichtes des Eises annehmen möchte, so dürfte bei den entsprechenden Beobachtungen von C. Brunner, welcher das specifische Gewicht selbst des luftfreien Eises geringer als das des Wassers fand, jedenfalls der aus dem Meister'schen, immerhin interessanten Versuche gezogene Schluss ein versehlter seyn. Die Eismasse sinkt unter, nicht weil sie durch Entweichen der Luft schwerer wird, sondern weil das Wasser nach Verringerung des auf ihm lastenden Atmosphärendruckes sich ausdehnt, also specifisch leichter wird, eine Ausdehnung, der die feste Eismasse nicht in gleicher Weise unterliegt.

Anders verhält es sich dagegen bei Gusseisen. Es läst sich nachweisen, dass kaltes festes Eisen dichter und daher relativ schwerer ist als slüssiges. Man weiss ferner, dass das slüssige Eisen die Formen, in welche es gegossen wird, sehr genau ausfüllt. In Folge der großen Zusammenziehung der slüssigen Masse beim Erstarren muß dabei das Modell immer noch um ein Gewisses größer seyn als der eiserne Gegenstand, welcher durch den Guss erhalten werden soll. Festes Eisen nimmt ein geringeres Volumen ein, als eine gleiche slüssige Masse, müßte also in derselben untersinken. Weßbalb schwimmt es?

Der Hinweis auf den innigeren Zusammenbang der Molecüle an der Obersläche einer Flüssigkeit, als in ihren Inneren zeigt sich schon auf den ersten Blick als unhaltbar. Feine Nähnadeln, Erdtheile usw. schwimmen freilich auf specifisch leichterem Wasser, indem sie die Obersläche wie ein leicht gespanntes Häutchen eindrücken. Aber dieses Schwimmen dauert nur so lange, als sie nicht übernetzt sind. Sobald sie nass geworden sind, mit andern Worten, sobald das Häutchen durchbrochen ist, sinken sie sehr rasch unter. Anders verhält es sich beim festen Eisen, indem die einzelnen selbst niedergetauchten Stücke mit einer gewissen Kraft emporschnellen.

Als Ursache dieses Schwimmens lassen sich drei Möglichkeiten annehmen, deren Realität näher zu untersuchen mir jedoch augenblicklich Gelegenheit und Instrumente fehlten.

Man könnte zunächst darauf hinweisen, dass auch Eis bei fortgesetztem Erkalten sich zwar noch immer ausdehnt, dann aber sich rasch zusammenzieht. Es bekommt Spalten und Risse. Umgekehrt stellen sich auf weiten Eisslächen, wenn nach anhaltender Kälte das Wetter wärmer wird, die Schollen wie Kartenhäuser auf und schieben sich oft an 6 Fuss und noch mehr über das Ufer hinaus. Auch der Alkohol, wenn er über - 89°,5 C. erkaltet wird, nimmt wieder schnell an Dichte zu. So könnte denn auch das erstarrte Eisen. wenn auch anfangs namentlich, so lange es im Contacte mit der heissflüssigen Masse seinem Schmelzpunkte sich noch sehr nahe befindet, in der That specifisch leichter seyn, als das flüssige Eisen, daher schwimmen; bei fortgesetztem Erkalten dagegen in Folge der fortschreitenden Zusammenziehung wieder specifisch schwerer als die noch flüssige Masse werden. Mehrere Anzeichen sprechen für diese Erklärung.

Es ist bekannt, das Eisen- und Zinkgüsse sich durch große Schärfe und Sauberkeit auszeichnen, weniger die von Messing und Tombak. Der Blei-Antimongus zeigt dagegen wieder schöne Feinheit und Schärfe. Eine Erklärung des vorliegenden Abkühlungsprocesses müßte füglich drei Perioden unterscheiden.

Nach dem Füllen der Form giebt zunächst das eingegossene Metall denjenigen Theil seiner Wärme, durch welchen es über den Schmelzpunkt erhitzt wurde, theils an die Form, theils an-die Luft ab. Um daher eine zu schnelle Abkühlung zu vermeiden, wodurch bei der zunehmenden Zähigkeit der Masse die Schärfe des Gusses leiden würde, muß die Form zuvor hinreichend erwärmt werden. Bis zum Uebergange aus dem flüssigen in den festen Zustand hat erstens die Form an Ausdehnung gewonnen, zweitens die eingegossene Masse eine bestimmte Zusammenziehung erfahren. Im Momente des Erstarrens nimmt jedoch in Folge der neuen Anordnung der kleinsten Theilchen das Volumen der eingeschlossenen Masse zu, so dass das Metall mit einer gewissen Kraft in die feinsten Vertiefungen der Form sich hineinpresst. Daher die bei Eisen-, Zink-, und Antimongüssen so ausgezeichnete

Die allmählige Zusammenziehung Schärfe der Abdrücke. der Form beim Erkalten und der Druck, welcher dadurch auf die eingeschlossene Masse ausgeübt wird, dürfte vielleicht durch die im Augenblicke des Erstarrens frei werdende Wärme paralysirt werden. Zum Erzielen sauberer Güsse wäre demnach nicht nur die Ausdehnung der Form und die Zusammenziehung der Masse ins Auge zu fassen, sondern zugleich ein Zusatz solcher Metalle anzurathen, welche wie Wismuth, Antimon eine im Momente des Erstarrens erfahrungsgemäß starke Ausdehnung besitzen. Beim Erkalten des erstarrten Stückes bis zur Temperatur der Atmosphäre tritt wieder Zusammenziehung ein, welche oft sehr beträchtlich wird und die im Erstarrungsmomente eingetretene Ausdehnung weit überragt. Der Modelleur oder Former muß daher die Stärke dieses Schwindens genau kennen, um die erforderliche Größe der Form beurtheilen zu können. Doch variirt der Betrag ungemein nach der Natur des Metalles und nach besonderen Umständen in einzelnen Fällen, wobei voraussichtlich nicht nur die Gestalt und Größe des Gusstückes, der Grad der Ueberhitzung des Metalles vor dem Eingießen in die Form, sondern auch die Ausdehnung des jedesmaligen Metalles beim Erstarren, sowie die Wärmeleitungsfähigkeit und der Ausdehnungscoëfficient der Form ihren Einfluss geltend machen.

Versuche an Ort und Stelle müssen das Nähere ergeben. Man bringe ein Handstück schon erkalteten Eisens auf die noch flüssige Masse. Dasselbe müßte, wenn ein dem Eise analoges Verhalten Grund des Schwimmens wäre, änfangs untersinken, und erst dann wieder an die Obersläche kommen, wenn es eine dem Schmelzpunkte nahe Temperatur angenommen hat. Bei der Leitungsfähigkeit, welche Eisen für Wärme besitzt, kann der Moment nicht lange auf sich warten lassen. Die Eisenmasse muß emporschnellen. Folgender, leicht anzustellende Versuch dürfte vielleicht die Frage über ein dem Eise analoges Verhalten zur Entscheidung bringen. Man fülle ein Platingefäß mit geschmolzenem Eisen; im Contacte mit dem heißsstüssigen Inhalte wird sich dasselbe

ausdehnen. Um eine genaue Füllung zu erzielen, gieße man das Nöthige zu und verschließe sorgfältig. Beim Erkalten des Ganzen muß, wenn beim Erstarren des flüssigen Eisens eine Zunahme des Volumens eintritt, das Gefäß springen, um so mehr, als das Platin sich gleichzeitig zusammenzieht. Im anderen Falle würde ein Reißen der Gefäßswände nur dann eintreten, wenn das Platin sich stärker wie Eisen zusammenziehen sollte, was aber für eine Temperaturverminderung von 100° auf 0° C. erfahrungsgemäß nicht der Fall ist.

Wie aber, wenn das auf die flüssige Masse gebrachte Stück festen Eisens, obgleich specifisch schwerer, ohne erst unterzutauchen, auf der Obersläche schwimmen sollte? Obige Erklärung würde in diesem Falle unzureichend seyn. Man könnte geneigt seyn, im ersten Augenblicke an die tragende Kraft eingeschlossener Gase zu denken. Kupfer und Silber zeigen bekanntlich nach dem Erstarren eine blasige Structur-Nach Dick. Russell und Matthiessen wäre dieselbe iedoch keineswegs Folge absorbirter Gase, sondern durch Reduction des Kupferoxyduls durch Holzkohle zu erklären. welche mechanisch unter die Metallmasse gerissen wird durch die fortwährende Strömung, welche von der sich abkühlenden Obersläche ausgeht. So lange das Ganze sitssig ist, scheidet sich Kohlenoxyd aus; so bald eine feste Kruste sich bildet, wird diese gehoben. Das während des Erstarrens sich bildende Kohlenoxyd bleibt, da es nicht entweichen kann, vertheilt in der Masse zurück, und ertheilt dem Kupfer jene blasige Structur. Beim Erkalten darf daher das geschmolzene Kupfer nicht einen Augenblick mit Sauerstoff in Berührung kommen. Es muss unter der Holzkoble erkalten und liefert dann einen dichten, festen Guss.

Anders verhält es sich beim Eisen. Hier ist das Ganze nach dem Erstarren unter sonst gleichen Umständen äußerst homogen und dicht. Uebrigens würde das Vorhandenseyn blasig aufgetriebener, mit Gasen angefüllter Räume eo ipso ein geringeres specifisches Gewicht bedingen. Das feste Stück ist aber von Hause aus specifisch schwerer als flüssi-

ges Eisen, und dennoch schwimmt es. Aber beim Erhitzen strömen die eingesperrten Gase und Wasserdämpfe mit einer gewissen Kraft aus. Könnte man nun nicht diesem Gasstrome die tragende Kraft zuschreiben? Warum treten denn nicht ähnliche Erscheinungen auch bei anderen Körpern ein, welche nachweisbar noch weit mehr Gase in sich aufgenommen haben. Ucbrigens fängt das feste Eisen sehr bald an seiner Obersläche zu schmelzen an. Dennoch schwimmt es weiter. Die Tragkraft der Gase müste doch mit dem Aufhören des Ausströmens ebenfalls erlöschen.

Aber das Eisen zeigt sich bei höherer Temperatur sehr thermeabel für Gase. Versuche von Sainte-Claire Deville und Troost ergaben, dass Wasserstoff und Stickstoff, nach neueren Versuchen auch Kohlenoxyd, vermöge der endosmotischen Zugkraft der Metalltheilchen durch eine erbitzte Eisenmasse hindurchgehen. Dieselbe wirkt gleichsam wie eine Pumpe, welche die Gase einsaugt und nach Außen leitet. Es ist daher sogar sehr wahrscheinlich, dass bei diesem endosmotischen Einsaugen der Gase das Volumen des Eisens eine Ausdehnung erfährt und zwar mit einer ähnlichen Kraft, mit welcher capillares Eindringen von Feuchtigkeit in dürres Holz erfolgt. Wir hätten demnach nur eine Ausdehnung der Erscheinungen bei tropfbaren Flüssigkeiten auf gasförmige. Wenn auch die Kraft dieses Eindringens bisher keine practische Verwerthung fand, so doch die Thatsache selbst, indem Sainte-Claire Deville ein Eisenrohr in einem Ofen als das wirksamste Mittel empfahl, um die sich entwickelnden Wasserstoff- und Kohlenoxydgase zu entfernen. In Folge dieser mit innerer Nothwendigkeit erfolgenden Volumenzunahme wäre das Schwimmen leicht zu erklären. Es würden daher, um Gewissheit zu erlangen, solche festen Stücke nach einem längeren Contacte mit der heifsslüssigen Masse auf specifisches Gewicht und aufgenommene Gase zu untersuchen seyn.

Eine dritte Möglichkeit bliebe noch zu besprechen. Es ist so gut wie gewiss, das jede Strömung des molecularen Possendorff's Annal. Bd. CXXXIX.

Gleichgewichtes an einem Körper Elektricität hervorruft. Berücksichtigen wir, dass durch Berührung ungleichartiger Molecüle, dass Temperaturdifferenzen selbst eines und desselben Metalles (Stoffes?), dass Druck und Stoss und im entgegengesetzten Sinne Spaltung und Trennung, dass selbst endosmotisches Eindringen von Gasen und Flüssigkeiten in poröse Stoffe, dass chemische Verbindung und Scheidung, dass Lichtstrahlen und Schallwellen als ebenso viele Elektricitätsquellen sich kund geben, so gewinnt die Vermuthung große Wahrscheinlichkeit, daß Elektricität nur eine Bewegungserscheinung und daher nur als eine Umwandlung der jedesmaligen Bewegungsform in die specielle der Elektricität aufzufassen sey 1). Doch sey dem, wie ihm wolle, wir haben in unserem Falle die verschiedensten Elektricitätsquellen mit einander und auf einander wirkend. Mögen die durch Contact oder, wenn man will, durch chemische Action erzeugten elektrischen Ströme (fein zertheilte, innig an einander liegende Kohlen und Eisentheilchen bilden, Gase durchziehen die Masse) ungerichtet seyn, die thermoelektrischen Ströme, welche in Folge der Temperaturdifferenz zwischen den heißsflüssigen und noch festen kälteren Metalltheilchen in bestimmtem Sinne die Masse durchziehen, wirken richtend auf die Gesammtheit. Welche Schlüsse lassen sich hieraus auf das Schwimmen der Eisenmasse ziehen? Die Theile eines und desselben geradlinigen Stromes stoßen einander ab. Füllt man nämlich eine durch eine Scheidewand in zwei Abtheilungen getrennte Wanne mit Quecksilber und lässt in beiden Abtheilungen mit Seide überzogene Kupferdrähte schwimmen, welche an dem einen Ende durch einen die Scheidewand überbrückenden Bogen verbunden sind, werden dann die von den Polen einer Keite kommenden Drähte in den Verlängerungen der Arme in die Abtheilungen einge-

Ein n\u00e4heres Eingehen auf die hier ausgesprochene Ansicht, wobei das Auftreten sog. positiver und negativer Elektricit\u00e4t, die verschiedene Natur des elektrischen Lichtes, die Gesetze elektrischer Spannung eine eingehende Betrachtung finden sollen, sey einem sp\u00e4teren Aufsatze vorbehalten.

taucht, so schwimmt der Kupferdraht auf dem Quecksilberfortgleitend zurück. Dasselbe findet in unserem Falle statt. Auch hier stoßen sich die einzelnen Theilchen desselben Stromes ab. Die Wirkung der an beiden Polen erfolgenden Abstosung äußert sich nach oben, wohin die feste Masse entweichen kann; sie wird daher durch die repulsirende Kraft sowohl an den + als - Enden getragen. Wenn aber nicht bei allen Körpern in ähnlichen Fällen dieselbe Erscheinung auftritt, so müssen wir bedenken, dass die Richtung und Stärke der erregten Ströme von der Natur der jedesmaligen Substanz abhängt, dass die elektrische Abstossung je nachdem von der größeren specifischen Schwere überwunden wird. Wir wissen zudem, dass durch elektrische Strömung die Leiter magnetisch werden, und Eisen das κατ' εξοχήν magnetische Metall ist. Auch hat der Trèves'sche Versuch 1) gezeigt, dass eine Gussmasse von ihrem, einer Temperatur von 1300° entsprechenden flüssigen Zustande bis zur vollständigen Erkaltung stark magnetisch seyn kann. Doch blieben vielleicht in Betreff eines Punktes Zweifel. Dass in Folge der erkannten Ursachen elektrische Differenzen entstehen, ist gewifs; ob dieselben aber durch Strömung sich ausgleichen, darüber könnte man bei der nahen Aneinanderlagerung der Molectile Scrupel empfinden. Wird aber nicht eine im Kreise aufgeführte Zamboni'sche Säule ebenso gut Ströme zeigen, als wenn die entgegengesetzt erregten Platten durch einen leitenden Draht verbunden sind? Zeigt nicht ein Wismuthring an einer Stelle erhitzt, einen Strom an? Verengen wir den Kreis bis zur Aneinanderlagerung der Theilchen, so sind wir zwar nicht mehr im Stande ein Galvanometer einzuschalten, wenn wir nicht wieder einen Kreis construiren wollen, doch die gerichteten Ströme bleiben in ihrer inneren Wirkung dieselben. Aber selbst im ungünstigsten Falle bleibt die elektrische Differenz, und die einzelnen Theile der offen gedachten Säule stoßen sich ebenso ab; daher das Schwimmen der festen Masse auf der

<sup>1)</sup> Ueber den Trèves'schen Versuch vergl. die Bemerkung am Schluss.

flüssigen. Doch scheint mir das Vorhandenseyn von Strömen wahrscheinlicher, indem die elektrische Erregung gerade bei der nahen Aneinanderlagerung der Molecüle eine stetige Ausgleichung, die fortdauernde Erwärmung bis zum Schmelzen eine stetige Erregung bedingt.

Welcher von diesen drei Fällen Realität beanspruche, ob sie nicht alle drei zusammenwirkend das Schwimmen hervorbringen, darüber müssen Untersuchungen an Ort und Stelle unterscheiden. Mir fehlten dazu Gelegenheit und Instrumente.

Bemerkung über den Trèves'schen Versuch.

Das Resultat des Trèves'schen Versuches darf wohl als sicher angesehen werden. Ebenso gewiss ist es jedoch, dass ein Magnet durch Erwärmen an Magnetismus verliert. Wie ist dieser scheinbare Widerspruch zu lösen? Durch Annahme thermo-elektrischer Ströme. Nach Peltier's Entdeckung entsteht, wenn durch zusammengelöthete Metalle ein Volta'scher Strom geleitet wird, Erwärmung oder Erkaltung, je nachdem die Richtung dieses Stromes entgegengesetzt oder einerlei ist mit der Richtung jenes thermo-elektrischen Stromes, der durch Erwärmen der betreffenden Löthstelle entstände. Jeder Volta'sche Strom, welcher einen aus zwei verschiedenen Metallen zusammengesetzten Bogen durchzieht, wird daher eo ipso in diesem einen thermo-clektrischen Strom entgegengesetzter Richtung erzeugen, welcher schwächend auf den ersten wirkt. Bei künstlich hervorgerufener Erwärmung wird dieser letztere noch verstärkt, und so bei hinreichender Erwärmung der erstere in seiner Wirkung aufgehoben. Beim Erkalten entstehen hingegen thermo-elektrische Ströme derselben Richtung, wie der Volta'sche. Es wird dadurch also nicht nur der natürliche thermo-elektrische aufgehoben, sondern noch die Wirkung des Volta'schen vermehrt.

# X. Ueber neue Schwefelsalze; von R. Schneider.

(Vierte Abhaudlung.)

Am Ende der letzten Abhandlung (s. d. Ann. Bd. 138, S. 604 bis 628) habe ich darauf aufmerksam gemacht, daßs das Dinatriumplatin-Sulfoplatinat mit überraschender Leichtigkeit den Austausch des Natriums gegen andere Metalle gestattet. An Verbindungen, die auf solche Weise aus der Natriumverbindung entstehen, wurden bereits beschrieben das Silberplatin-Sulfoplatinat und das Thalliumplatin-Sulfoplatinat, deren Zusammensetzung durch die folgenden Formeln ausgedrückt ist:

Ag<sub>2</sub> S, Ag<sub>2</sub> S, Pt S, Pt S Pt S<sub>2</sub> 1) und Tl<sub>2</sub> S, Tl<sub>2</sub> S, Pt S, Pt S Pt S<sub>2</sub>.

Ich lasse nun zunächst die Beschreibung einiger Verbindungen folgen, die derselben Reihe angehören, die aber an Stelle des Natriums zweiwerthige Metalle enthalten.

## 17. Kupferplatin - Sulfoplatinat.

Diese Verbindung wird mit Leichtigkeit erhalten auf Zusatz einer verdünnten Kupfervitriollösung zu frisch bereitetem Dinatriumplatin-Sulfoplatinat bei möglichst abgehaltener Luft. Obschon dabei die rothen Krystalle sofort eine dunkel schwarzblaue Farbe annehmen, so bedarf es doch einer etwas längeren Einwirkung der Kupferlösung, ehe das Natrium bis auf den letzten Rest durch Kupfer verdrängt ist. Nach einiger Zeit filtrirt man die Krystalle ab, wäscht

1) In die Formel dieser Silber-Verbindung hat sich in der vorigen Abbandlung (l. c. S. 625 Z. 5 von oben) ein bedauerlicher Druckfehler eingeschlichen: selbstverständlich muss es am Ende der Formel statt Pt<sub>4</sub> heisen Pt S<sub>2</sub>.

Ein zweiter Druckfehler findet sich in derselben Abhandlung S. 606, wo es in der ersten der beiden eingerückten Formeln statt Cu<sub>3</sub> S heisen muss: Cu<sub>2</sub> S.

sie mit kaltem Wasser aus und trocknet sie bei gelinder Wärme im Wasserbade.

Die Bildung dieser Verbindung erfolgt im Sinne der Zeichen

$$2 \text{Na}_2 \text{ S}, 2 \text{Pt S} \{ \text{Pt S}_2 + 2 \text{Cu S O}_4 \\ = 2 \text{Na}_2 \text{ S O}_4 + 2 \text{Cu S}, 2 \text{Pt S} \{ \text{Pt S}_2.$$

Bei der Analyse derselben wurden folgende Resultate erhalten:

- 1) 0,570 Grm., durch Rösten an der Luft zersetzt, gaben 0,362 Grm. Platin und 0,100 Grm. Halb-Schwefelkupfer.
- 0,274 Grm., durch Schmelzen mit Kali und Salpeter zersetzt, gaben 0,410 Grm. schwefelsaures Baryum.
   Diese Zahlen stimmen ziemlich gut mit der Formel

Cu S, Cu S, Pt S, Pt S { Pt S2.

 Berechuet
 Gefunden

 1
 11

 2 Cu = 127,0
 13,93 Proc.
 14,03 —

 3 Pt = 592,2
 64,99 »
 63,51 —

 6 S = 192,0 
$$= 100,00$$
 21,08 »
 —

 911,2
 100,000

Diese Kupfer-Verbindung bildet ein Aggregat schwach glänzender, dunkelblaugrauer Krystallnadeln, die wahre Pseudomorphosen nach Dinatriumplatin-Sulfoplatinat sind. Dieselben sind bei gewöhnlicher Temperatur luftbeständig. Bei Luftzutritt erhitzt, verglimmen sie wie Zunder unter Ausstoßung von schwefliger Säure und Schwefelsäure zu einem schwarzgrauen Gemenge von metallischem Platin und Kupferoxyd.

An kochende Salzsäure und Salpetersäure geben sie unter partieller Zersetzung und mit Hinterlassung dunkel stahlgrauer Nadeln das Kupfer ab und selbst von kochendem Königswasser werden sie nur unvollständig zersetzt.

## 18. Bleiplatin - Sulfoplatinat.

Wird auf ähnliche Weise erhalten wie die vorige Verbindung unter Anwendung einer verdünnten Lösung von

neutralem Bleinitrat. Nachdem die Krystallchen sich gleichmäßig dunkelschwarzgrau gefärbt haben, werden sie mit kaltem Wasser ausgewaschen. Hierbei scheint ein wenig des im Ueberschuß angewandten Bleinitrats hartnäckig zurückgehalten zu werden.

Da über die Zusammensetzung dieser Verbindung — nach ihrer Bildung zu urtheilen — kaum ein Zweifel bestehen konnte, so habe ich geglaubt, mich bei der Analyse auf eine Bleibestimmung beschränken zu dürfen.

0,445 Grm., unter Kohlensäure scharf getrocknet, gaben, durch Schmelzen mit Salpeter und Soda zersetzt, 0,223 Grm. Bleisulfat.

Dieser Werth befindet sich mit der Formel

PbS, PbS, PtS, PtS { PtS<sub>2</sub>

in genügender Uebereinstimmung.

Berechnet:	Gefunden:	
34,58 Proc.	34,16	
49,35 »		
16,07		
	34,58 Proc. 49,35 »	

Die Verbindung bildet ein lockeres Aggregat dunkelschwarzgrauer, bei gewöhnlicher Temperatur luftbeständiger Nadeln, die beim Erhitzen an der Luft mit schwachem Knistern verglimmen unter Auftreten von schwefliger Säure und unter Hinterlassung eines grauen Gemenges von Platin und Bleisulfat. Von Salzsäure wird sie selbst beim Sieden nur wenig angegriffen; kräftiger wirkt Salpetersäure ein, wobei ein Theil des Bleis gelöst wird, während ein anderer als Sulfat neben Schwefelplatin im Rückstande bleibt. Kochendes Königswasser greift die Verbindung energisch an, doch erfolgt auch hierbei nur schwierig völlige Lösung, da ein Theil des Schwefelplatins der Zersetzung hartnäckig widersteht.

19. Quecksilberplatin-Sulfoplatinat mit Quecksilberchlorid.

Eine ähnliche Veränderung wie durch Kupfersulfat und Bleinitrat erfährt das frisch bereitete Dinatriumplatin-Sulfoplatinat unter der Einwirkung einer mäßig concentrirten Quecksilberchloridlösung: es verwandelt sich dabei ziemlich schnell in ein schwammartig aufgelockertes Haufwerk dünner, dunkelaschgrauer, fast glanzloser Nadeln.

Hierbei findet indess nicht nur eine Vertretung des Natriums durch Quecksilber statt, sondern es wird zugleich etwas unzersetztes Quecksilberchlorid so sest gebunden, dass es selbst durch anhaltendes Waschen mit Wasser der Verbindung nicht wieder entzogen werden kann. Die Menge desselben scheint gewissen Schwankungen unterworsen und theils von der Concentration der angewandten Lösung, theils von der Dauer ihrer Einwirkung abhängig zu seyn. Wendet man eine kaltgesättigte Quecksilberchloridlösung im Ueberschuss an und läst man dieselbe so lange einwirken, bis die graue Krystallmasse hinsichtlich ihres Farbentons keine bemerkbare Veränderung mehr erleidet, so beobachtet man an dem Präparate eine Zusammensetzung, die sich der Formel

angenähert zeigt, ohne derselben indes genau zu entsprechen.

- 1) 0,332 Grm. hinterließen nach dem Glühen an der Luft 0,116 Grm, metall. Platin.
- 2) 0,332 Grm,, durch Schmelzen mit Kali und Salpeter zersetzt, gaben 0,088 Grm. Chlorsilber und 0,296 Grm. schwefelsaures Baryum,

Die obige Formel verlangt:		Gefunden;			
34,34 I	Proc.	Platin	34,94	Proc.	
46,32	»	Quecksilber	46,21	w	(Diff.)
8,22	*	Chlor	6,62	20	•
11,12	u	Schwefel	12,23		•
100,00.			100,00		•

Die Verbindung ist wie die unter 17 und 18 beschriebenen vollkommen luftbeständig. Beim Erhitzen im Glasrohr giebt sie ein Sublimat, das neben Schwefelquecksilber und metallischem Quecksilber auch Quecksilberchlorür enthält. Bei freiem Luftzutritt erhitzt, lässt sie zunächst Chlorquecksilber entweichen, bei höherer Temperatur tritt unter Entwickelung von schwefliger Säure Verglimmung ein und der Glührückstand besteht aus reinem Platin, welches noch deutlich die Nadelform der ursprünglichen Krystalle erkennen lässt.

Von Salzsäure wird die Verbindung selbst in der Wärme nicht angegriffen; Königswasser wirkt zersetzend darauf ein, doch erfolgt auch nach lange fortgesetztem Kochen keine vollständige Lösung.

Wie schon früher angegeben wurde, wirken auch neutrale Eisenoxydul-Manganoxydul-Cadmiumoxyd- und Zinkoxydlösungen auf das Dinatriumplatin Sulfoplatinat zersetzend ein unter Bildung von Sulfosalzen, die allem Anschein nach eine den oben beschriebenen entsprechende Zusammensetzung besitzen. Ich habe dieselben nicht näher untersucht, da sie ein besonderes Interesse nicht darbieten.

Durch neutrale Erdsalze dagegen wird das Dinetriumplatin-Sulfoplatinat nicht zerseizt. Es erfolgt also Zerseizung nur durch die Salze solcher Metalle, die aus ihren neutralen Lösungen durch Schwefelnatrium gefällt werden.

Außer den in den vorhergehenden Nummern beschriebenen existiren zahlreiche andere Verbindungen, die sich ihrer Zusammensetzung nach dem allgemeinen Schema

unterordnen. Es hat sich z. B. gezeigt, dass in den unter 12 und 13 besprochenen Platinverbindungen das Zinn durch Titan und (wenigstens in der Natriumverbindung) das Platin durch Iridium isomorph vertreten werden kann. Außerdem wird beim Zusammenschmelzen von Palladiumchlorür-Ammoniak oder von Schwefelpalladium mit einem Ueberschuss von Schwefel und Pottasche eine prachtvolle blaue Palladium Verbindung erhalten, die vielleicht derselben Reihe angehört, was indess noch der weiteren experimentellen Bestätigung bedarf.

Ich behalte mir vor, über diese sämmtlichen, zum Theil sehr schönen Verbindungen in den nächsten Abhandlungen zu berichten. Für jetzt wende ich mich zur Beschreibung eines Schwefelsalzes, das sich hinsichtlich seiner Constitution den unter 2 und 5 besprochenen Wismuthverbindungen an die Seite stellt.

## 20. Schwefelkalium - Schwefelthallium.

Diese schöne Verbindung wird mit Sicherheit und Leichtigk eit erhalten, wenn man 1 Theil Thalliumsulfat (oder auch Chlorthallium) mit 6 Theilen trocknem kohlensaurem Kalium und 6 Theilen Schwefel etwa 10 Minuten lang über der Gebläselampe zusammenschmilzt und die erkaltete Schwelze mit Wasser behandelt. Dabei hinterbleibt, während das Kaliumpolysulfuret sich mit gelber Farbe löst, die neue Thalliumverbindung in Form eines dunkel cochenillerothen Krystallpulvers, das, wie schon bei mäßiger Vergrößerung deutlich erkannt wird, aus lauter scharf ausgebildeten quadratischen Tafeln von gelbrother Farbe besteht. Dasselbe wird durch Auswaschen mit kaltem Wasser leicht völlig rein erhalten und hat nach dem Trocknen eine rothbraune Farbe.

Bei der Analyse dieser Verbindung wurden folgende Resultate erhalten:

- 0,270 Grm. (bei 100° getrocknet) gaben, durch Schmelzen mit Kali und Salpeter
   zersetzt, 0,400 Grm. Baryumsulfat und 0,288 Grm. Jodthallium.
- 2) 0,3335 Grm. (derselben Bereitung) wurden durch Schwefelsäure und wenig Salpetersäure zersetzt. Aus der filtrirten Lösung wurde durch Ammoniak u. Schwefelammonium das Thallium gefällt und im Filtrat das
- 1) Es verdient bemerkt zu werden, dass beim Behandeln dieser Schmelze mit heissem VVasser sich etwas Thallium löst, während die Hauptmenge desselben als schwarzbraunes Peroxyd ungelöst bleibt. Es mus also, nachdem aus dem wäsrigen Auszuge der Sohmelze die Schwefelsäure gefällt worden ist, aus dem Filtrat die kleine, darin enthaltene Thalliummenge auf geeignete Weise abgeschieden und zur Bestimmung gebracht werden.

Kalium als Sulfat bestimmt. Das Schwefelthallium wurde auf bekannte Weise in Jodthallium verwandelt. Es wurden erhalten 0,094 Grm. schwefelsaures Kalium und 0,358 Grm. Jodthallium.

- 3) 0,436 Grm. (einer anderen Bereitung) gaben 0,124 Grm. schwefelsaures Kalium.
- 4) 0,307 Grm., durch Schwefelsäure und wenig Salpetersäure zersetzt, gaben 0,332 Grm. Jodthallium.

Diese Zahlen führen zu der Formel K<sub>2</sub> S, Tl<sub>2</sub> S<sub>3</sub>, wie die folgende Zusammenstellung zeigt.

	Berec	Berechnet:		Gefunden:			
			Ī.	II.	III.	IV.	
$K^2 = 78,5$	26 12,74	Proc.		12,63	12,75	· ·	
$Tl_2 = 408,0$	00 66,42	w	65,70	66,26		66,64	
$S_4 = 128,0$	00 20,84	*	20,35		_		
614,	26 100,00	•	•				

Als typischer Ausdruck für die Zusammensetzung dieser Verbindung könnte der folgende gegeben werden:

$$\left. egin{array}{c} K \\ T \\ T \\ K \end{array} \right\} S_4 \ \ oder \ \ vereinfacht: \left. egin{array}{c} K \\ T \\ T \end{array} \right\} S_2.$$

Die Structur der Verbindung könnte etwa in folgender Weise veranschaulicht werden:

Hiernach ist klar, dass das Thallium in dieser Verbindung dreiwerthig und die Gruppe Tl<sub>2</sub> sechswerthig fungirt oder mit anderen Worten: dass die Verbindung die dem schwarzen Thalliumperoxyd (Tl<sub>2</sub>O<sub>3</sub>) entsprechende Schwefelungsstuse (Tl<sub>2</sub>S<sub>5</sub>) enthält, die meines Wissens bis jetzt im isolirten Zustande nicht dargestellt ist.

Dem entsprechend verhält sich auch die Verbindung gegen Wasserstoff bei höherer Temperatur. Wird dieselbe nämlich im Wasserstoffstrome erhitzt, so schmilzt sie zunächst zu einer schwarzbraunen Masse; bei weiter gesteigerter Hitze läst sie nahezu die Hälfte ihres Schwefelgehaltes als Schwefelwasserstoff entweichen und der Rückstand verhält sich wie ein Gemenge von Schwefelkalium und Einfach-Schwefelthallium.

0,4 Grm. Substanz gaben, nachdem das durch Wasserstoff daraus entwickelte Schwefelwasserstoffgas in eine ammoniakalische Auflösung von reinem Kupfernitrat geleitet war, bei der Zersetzung des Schwefelkupfers 0,018 Grm. Schwefel in Substanz und 0,162 Grm. schwefelsaures Barryum.

Die Hälfte vom Schwefelgehalte der Verbindung beträgt 10,42 Proc. Reobachteter Verlust an Schwefel 10,05 Proc.

Die Wirkung des Wasserstoff verläuft also im Sinne der Zeichen

 $K_2 S$ ,  $Tl_2 S_3 + 4H = 2H_2 S + K_2 S + Tl_2 S$ .

Die Eigenschaften der Verbindung sind folgene braunes, vollkommen gleichmäßiges Krystallpulver, aus nen, scharf ausgebildeten, viereckigen Tafeln bestehend, di in sehr dünnen Schichten gelb oder gelbroth und durchsich tig erscheinen. Ueber die Form derselben hat Hr. G. Rose die Freundlichkeit gehabt, mir die folgende Notiz zu geben:

Die Krystalle erscheinen unter dem Mikroskop als durchsichtige quadratische Tafeln von röthlichgelber Farbe; die kleineren sind ganz rein, die größeren enthalten in der



Mitte eine kleinere Tafel von dunklerer Farbe in gleicher Stellung und solche dunkleren Partien finden sich auch in der Mitte der Ränder wie in der nebenstehenden Zeichnung dargestellt ist.

Die Krystallchen besitzen lehhaften Glanz und geben feingerieben ein rostbraunes Pulver. Ihr spec. Gewicht ist = 4,263.

Sie sind bei gewöhnlicher Temperatur vollkommen luftbeständig und werden von Wasser nicht verändert. Erhitzen im Röhrchen schmelzen sie zu einem schwarzbraunen Fluidum, das selbst bei schwacher Rothgluth nur eine Spur Schwefel ausgiebt und das beim Erkalten undeutlich krystallinisch erstarrt. - An der Luft erhitzt, färben sie sich dunkelschwarzbraun und sinken fast plötzlich, ohne wirklich zu schmelzen, auf ein geringes Volumen zusammen. Hierbei findet eine partielle Oxydation statt, denn in dem wäsrigen Auszuge der erkalteten Masse lässt sich Schwefelsäure nachweisen.

Durch Salzsäure wird die Verbindung, besonders schnell beim Erwärmen, unter Schwefelwasserstoff-Entwickelung und Abscheidung eines Gemenges von Chlorthallium und Schwefel zersetzt; der ausgeschiedene Schwefel erscheint durch eine geringe Beimengung von unzersetztem Schwefelthallium lichtbraun gefärbt. Aehnlich ist das Verhalten gegen mässig concentrirte Schwefelsäure.

Salpetersäure bewirkt in der Wärme sofort Zersetzung unter Ausscheidung von gelbem Schwefel. Dagegen wirken Ammoniakflüssigkeit und Kalilösung selbst in der Wärme kle nicht zersetzend ein.

. Roth

108

end, dr

rchsich,

. Rosé

geben:

op als

Farbe:

in der

Farbe

n Par-

länder

darge

geben

扯拢

Beim Uebergießen mit einer Auflösung von Silberuftrat erfahren die Krystallchen unter Aufnahme von Silber eine partielle Zersetzung; sie färben sich in Folge dessen zwnächst oberslächlich, allmählich durch die ganze Masse stahlblau, ohne dass übrigens ihre Form eine Veränderung erleidet.

Hierbei findet indess nicht, wie bei der unter I beschriebenen Eisenverbindung (K2S, Fe2S2), ein Austausch von Silber gegen Kalium allein statt, sondern gleichzeitig gegen Thallium, denn lässt man auf eine bestimmte Quantität der Verbindung diejenige Silbermenge einwirken, die gerade binreichen würde, das Kalium zu ersetzen, so findet man in der Lösung, sobald das Silber daraus verschwunden ist, nicht nur Kalium, sondern auch Thallium in deutlich nachweisbarer Menge.

Ganz anders als gegen ein schmelzendes Gemenge von Pottasche und Schwefel verhält sich das Thalliumsulfat gegen ein solches von Soda und Schwefel. Die Schmelze erscheint in diesem Falle nach dem Erkalten fast ganz homogen und amorph; dieselbe giebt auf Wasserzusatz ein hellgelbes, undeutlich krystallinisches Pulver, das aber höchst unbeständig ist und sich in Berührung mit Luft und größeren Mengen von Wasser schnell tiefbraun färbt. Der ausgewaschene braune Rückstand, der an der Luft keine weitere Veränderung erleidet, scheint nur Thallium und Schwefel und zwar im Verhältnis von 4:5 Atomen zu enthalten.

Ich werde bei einer späteren Gelegenheit auf diesen Gegenstand ausführlicher zurückkommen.

Berlin, im April 1870.

## XI. Akustische Abstossung und Anziehung; von K. H. Schellbach.

Wenn man glaubt die Wirkung von Atomen, die sie aufeinander aus sehr kleiner Entfernung ausüben, begreifen zu können, so muß man auch zugeben, daß Anziehung oder Abstoßung der Materie sich auf sehr große Entfernungen erstrecken könne. Die magnetischen und elektrischen Wirkungen in die Ferne bedürfen dann keiner besonderen Erklärung und müssen nicht etwa durch Beihülfe eines Zwischenmittels hervorgerufen werden. Nichtsdestoweniger wäre es möglich, daß Oscillationen des Aethers oder der Luft Erscheinungen der Anziehung oder Abstoßung auf größere Entfernungen hervorrufen.

Einige Versuche, die ich bereits im verflossenen Sommer anstellte und Hrn. Prof. Quincke zuerst mittheilte, scheinen diese Vermuthung zu bestätigen. Ich brachte näm-

lich die Flamme eines Stearinlichts fast in Berührung mit einer horizontal befestigten Stimmgabel. Sobald ich die Stimmgabel anstrich, wurde die Flamme ganz deutlich abgestossen, so lange als die Gabel tönte. Befand sich die Flamme unter der Gabel, so wurde sie niedergedrückt und zu einer Scheibe abgeplattet. Achnliche Erscheinungen zeigten vertical befestigte Klangscheiben und Orgelpfeifen. Eine Lichtslamme an die Mündung eines Resonanzkästchens mit einer Stimmgabel, die in der Secunde 512 einfache Schwingungen machte, wurde stark und immerwährend abgestofsen, so lange die Stimmgabel tönte. Bei stärkerem Tönen der Stimmgabel erlosch das Licht. Eine Gasslamme von einem Centimeter Länge, die aus einem engen Glasrohre strömte, spaltete sich an der Mündung des Kästchens in zwei Zungen. Der von Räucherkerzen aufströmende Rauch wurde ebenfalls abgestofsen.

Gleich im Anfang meiner Versuche bemerkte ich, dass an Fäden hängende Holundermarkkugeln angezogen wurden, sowohl von einer tönenden Stimmgabel, als von vertical befestigten Klangscheiben. Von dem erwähnten Resonanzkästchen wurden leicht bewegliche Metallscheiben und Kugeln, selbst wenn die Massen 120 Gramm schwer waren und sich acht Centimeter weit von der Mündung befanden, deutlich angezogen und zur Berührung mit dem Kästchen gebracht.

Mehrere dieser Versuche habe ich bereits zu Ende des vorigen Sommersemesters Hrn. Geheimrath Magnus mitgetheilt, der die jungen Physiker, welche bei ihm arbeiteten, damit bekannt machte. Auch Hr. Prof. Poggendorff sah im December einige dieser Versuche bei mir. Es scheinen aber nicht alle Stimmgabeln diese Erscheinung in gleicher Stärke hervorzurufen, denn als ich im verflossenen Herbste dieselben Versuche mit anderen Apparaten ausführen wollte, misslangen sie.

Wegen vieler Berufsgeschäfte bin ich bisher verhindert worden, meine Versuche fortzusetzen. Da ich aber aus No. 115 der Proceedings of the Royal Society of London ersche, dass Hr. Guthrie ähnliche Versuche angestellt hat, so sinde ich mich jetzt zu dieser vorläusigen Mittheilung veranlasst.

## XII. Ueber die durch Muskelcontractionen geleistete Beugungsarbeit; von Dr. R. Most.

Ast ein Muskel AB (Fig. 10 Taf. II), z. B. der m. brachialis internus, in der Contraction begriffen, um die Knochen AC und BC einander zu nähern, so ist das Drehungsmoment, welches derselbe ausübt, wegen des veränderlichen Abstandes CD des Muskels vom Gelenk C, selbst veränderlich; wichtiger als die Frage nach diesem Drehungsmoment, auf welches in den anatomischen Lehrbüchern aufmerksam gemacht wird 1), erscheint uns die Frage danach, wie die in den Muskeln disponible Arbeit zur Verwendung komme. Bezeichnen wir die augenblickliche Länge des in der Contraction begriffenen Muskels AB mit u, so wird die Kraft K, welche er in diesem Zustande zu leisten fähig ist, offenbar eine Function von u seyn; da es sich hier nur um eine Schätzung handelt, soll die Kraft K in den nachfolgenden Rechnungen constant angenommen werden; für die unendlich kleine Contraction du ist die Arbeit gleich Kdu. zeichnet man nun die größte Länge des Muskels, bei welcher er also in keiner Weise tetanisirt ist, mit a, seine kleinste Länge, bei der er vollständig contrahirt ist, mit b, so ist die durch eine vollständige Contraction disponibel gemachte Arbeit:  $\int K \cdot du = K(a - b)$ ; setzen wir voraus, dass in dem Gelenk C eine Beugung von 180° möglich sey,

<sup>1)</sup> Vergl. Hermann Meyer, Physiologische Anatomie S. 155 u, 156.

so ergeben sich für die Entfernungen der Ansatzstellen A und B von dem Gelenk C die Gleichungen:

$$AC = \frac{a+b}{2} \qquad BC = \frac{a-b}{2}.$$

$$BG = K \cdot \frac{DC}{BC}$$

verkleinert sich nun  $\langle ACB = \varphi \rangle$  durch Contraction des Muskels um  $d\varphi$ , so macht der Punkt B in der Richtung BG den Weg  $BC \cdot d\varphi$ ; die in B geleistete Arbeit ist also  $K \cdot DC \cdot d\varphi$ ; nun ist aber

$$DC = \frac{AC \cdot BC \cdot \sin \varphi}{\sqrt{AC^2 + BC^2 - 2AC \cdot BC \cos \varphi}}$$

also

$$DC.d\varphi = d.V\overline{AC^2 + BC^2 - 2AC.BC\cos\varphi} = du,$$

also ist die in B geleistete Arbeit gleich der durch Contraction disponibel gemachten Arbeit  $K.\,du$ . Der günstigste Fall für die Beugungsarbeit ist also der, daß einer der Knochen vollkommen fixirt ist; findet das nicht statt, sondern bewegt sich etwa der Knochen AC um ein oberes Gelenk H, so tritt auch in der Richtung der Componente BF Bewegung ein und ein Theil der disponiblen Arbeitskraft wird hier verwendet. Bildet HC (Fig. 11 Taf. II) mit einer festen Axe HX den Winkel  $\psi$ , so verändere sich dieser um  $d\psi$ , während gleichzeitig der Winkel  $\varphi$  um  $d\varphi$  geändert wird. Bei der Contraction des Muskels greift in A

und B die Kraft K an als AH und BE; bezeichnet man die Winkel bei A und B mit  $\alpha$  und  $\beta$ , so sind die Componenten der Kraft BE zu bestimmen durch die Gleichungen  $BG = K \cdot \sin \beta$  und  $BF = K \cdot \cos \beta$ ; BG bewirkt die Bewegung des Knochens CB; BF denke man sich nach C als CL verlegt und parallel und senkrecht zu AC in CM und CN zerlegt, so wirkt  $CN = K \cdot \cos \beta \cdot \sin \varphi$  auf den Knochen HC, während gleichzeitig in A die Componente  $AC = K \cdot \sin \alpha$  angreift. Um nun die Wege der Angriffspunkte in der Richtung dieser Kräfte zu bestimmen, denke man sich zunächst mit constantem  $\varphi$  den Winkel  $\psi$  um  $d\psi$  geändert, so daß HCB in die Lage  $HC_1B_1$  übergeht und dann erst trete die Veränderung von  $\varphi$  um  $d\varphi$  ein. Für die auf den Knochen HC verwendete Arbeit  $A_1$  erhält man somit:

- 1)  $dA_1 = K \cdot \cos \beta \cdot \sin \varphi$ .  $HC \cdot d\psi K \cdot \sin \alpha \cdot HA \cdot d\psi$ ; um nun die Projection von  $BB_1$  auf BG zu bestimmen, verlängere man BC und  $B_1C_1$  bis zum gemeinsamen Schnitt in P, dann überzeugt man sich leicht, daß der  $< P = d\psi$  ist; macht man also  $CB_2$  gleich und parallel  $C_1B_1$ , so ist  $BB_2 = CB \cdot d\psi$  und  $B_2B_1 = CC_1 = HC \cdot d\psi$ ; danach ergiebt sich für die auf CB verwendete Kraft  $A_2$ :
- 1a)  $dA_2 = K \cdot \sin \beta [-BCd\varphi BC \cdot d\psi + \cos \varphi \cdot HC \cdot d\psi];$ nennt man die Gesammtarbeit A, so ist:

 $dA = dA_1 + dA_2 = -K \cdot \sin\beta \cdot BC \cdot d\varphi = -K \cdot du$ , wie es seyn muſs. — Um die Anwendung der Gleichungen 1) und 1<sub>a</sub>) zu zeigen, soll die Vertheilung der Arbeitskraft auf beide Knochen bestimmt werden unter der Voraussetzung, daſs sich der Muskel AB selbst parallel bleibe, dann ist  $d\psi = d\alpha$ , also, indem man für die sinus von  $\beta$  und  $\varphi$  bekannte Werthe einsetzt:

2) 
$$\begin{cases} dA_1 = K \cdot \cos \beta \cdot \frac{HC}{BC} \cdot u \cdot \sin \alpha \cdot d\alpha - K \cdot HA \cdot \sin \alpha \cdot d\alpha \\ dA_2 = -Kdu - K \cdot AC \cdot \sin \alpha \cdot d\alpha \\ + K \cdot \frac{HC \cdot AC}{BC} \cos \varphi \cdot \sin \alpha \cdot d\alpha; \end{cases}$$

führt man durch die Gleichungen:

$$d \cdot \cos \alpha = \frac{1}{2AC} \left( 1 - \frac{ab}{u^2} \right) du$$

$$\cos \beta = \frac{u^2 - ab}{2uBC} \qquad \cos \varphi = \frac{AC^2 + BC^2 - u^2}{2AC \cdot BC}$$

die Ausdrücke auf u und integrirt, entsprechend der Kraftentwicklung von a bis b, so erhält man:

3) 
$$A_1 = \frac{K}{3} \cdot \frac{HC}{AC}(a-b)$$

$$A_2 = K(a-b) - \frac{K}{3} \cdot \frac{HC}{AC}(a-b);$$

liegt also die Ansatzstelle A dem Gelenk H nahe, so daßs man  $\frac{HC}{AC}$  gleich 1 setzen kann, so wird  $\frac{1}{3}$  der disponiblen Arbeitskraft auf den ersten Knochen HC,  $\frac{2}{3}$  auf den zweiten verwandt.

Bei diesen Rechnungen ist vorausgesetzt, dass die Knochen bei ihrer Bewegung, wie eine Maschine im umkehrbaren Process, nur Widerstände finden, welche den wirkenden Kräften gleich sind oder doch nur unendlich wenig von ihnen verschieden sind. Freilich erscheinen die wirkenden Kräfte wenig constant, so durchläuft z. B. das Drehungsmoment, welches den Knochen BC (Fig. 10 Taf. II) beugt, die Werthe von Null bis  $K \cdot BC = K \cdot \frac{a-b}{2}$ . Berechnet man aber den Durchschnitt aller Drehungsmomente:

$$\frac{K \int_{a}^{b} DC \cdot du}{\int_{du}^{b}} = \frac{K}{2(a-b)} \int_{a}^{b} V(\overline{a^{2}-u^{2}}) (u^{2}-b^{2}) \frac{du}{u} = \frac{\pi}{4} \frac{K}{2} (a-b),$$

so erkennt man, dass derselbe dem Maximum sehr nahe liegt; berücksichtigt man nun noch, dass der Apparat bei Arbeitsverrichtungen selten aus der vollen Strecklage seine Bewegung beginnt und ebenso wenig in die letzte Beugelage übergeht, dass überhaupt die Knochendicke die Minimalwerthe des Drehungsmomentes gar nicht eintreten lässt, so erkennt

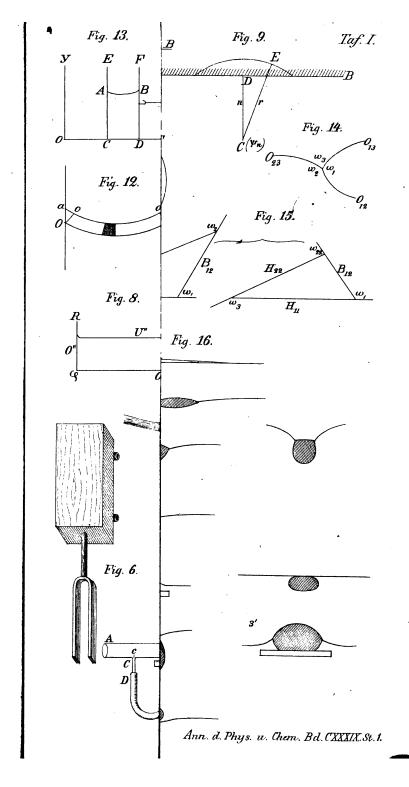
man, dass der Muskel, welcher bei seiner Contraction die Kraft K entwickelt, fähig ist, annähernd einen Widerstand mit dem Drehungsmoment  $\frac{\pi}{8}K(a-b)$  zu überwinden.

## Nekrolog.

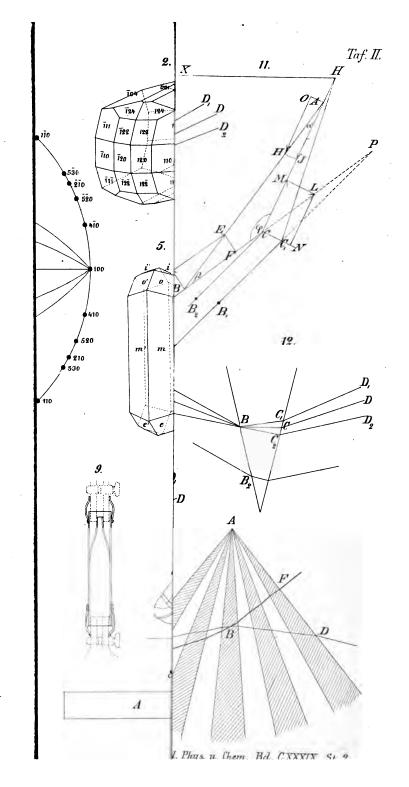
Abermals haben Physik und Chemie, haben diese Annalen einen herben Verlust erlitten, der auch in weiten Kreisen empfunden werden wird. Gustav Magnus, noch einer jener Männer, die aus der Schule von Berzelius hervorgegangen sind, ist leider, nach mehr als 40 jähriger ruhmvoller Thätigkeit für beide Wissenschaften, am 4tea dieses Monats einer langwierigen und schmerzhaften Krankheit zum Opfer gefallen. Wer dem Verewigten näher gestanden hat, wer da weiss, wie viel er, neben seinen eigenen gediegenen Forschungen, zur Förderung und Belebung des physikalischen Studiums in Berlin beigetragen hat und ohne Zweifel auch fernerhin noch beigetragen haben würde, der wird mit einstimmen in die gerechten Klagen seiner zahlreichen Freunde und Schüler, denen er viel, viel zu früh entrissen worden ist. Gleichwie er durch die Humboldt's-Stiftung, die hauptsächlich sein Werk ist, dem großen Naturforscher ein immerwährendes Denkmal errichtet hat, so wird auch sein Name für immer in der Wissenschaft fortleben. und denen ein Vorbild seyn, die berufen werden mögen, die durch seinen Tod eingetretene sehr fühlbare Lücke auszufüllen.

Berlin, 24. April 1870.

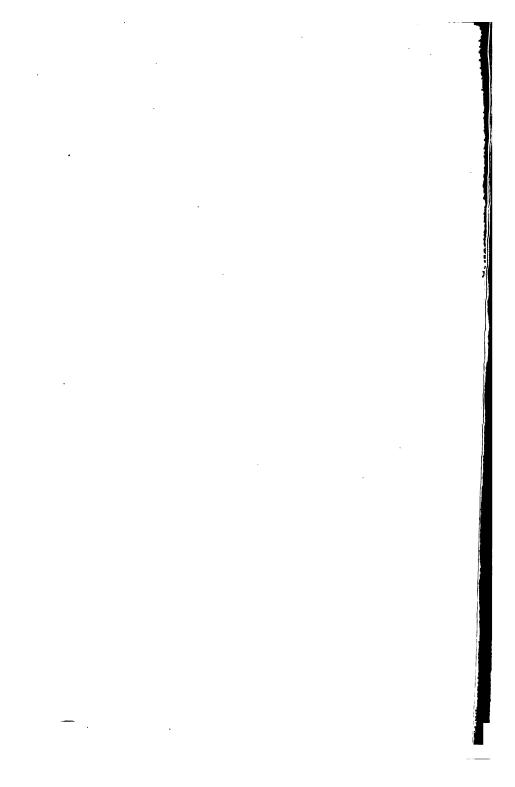
Poggendorff.

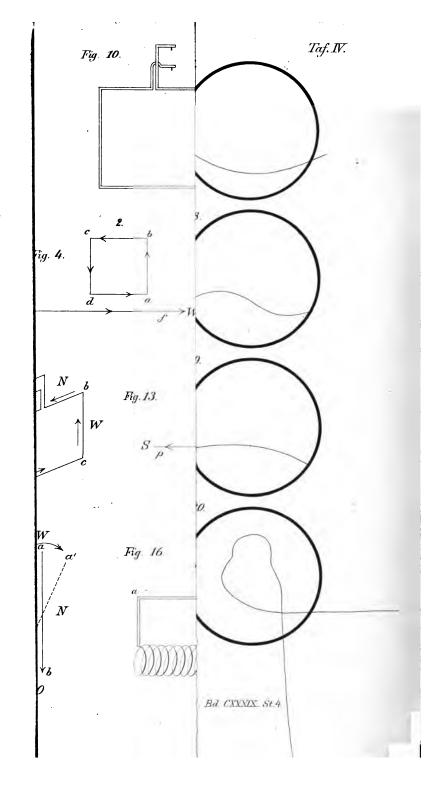


•



, 





(

